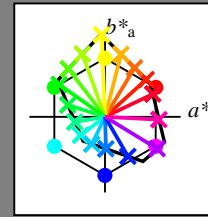


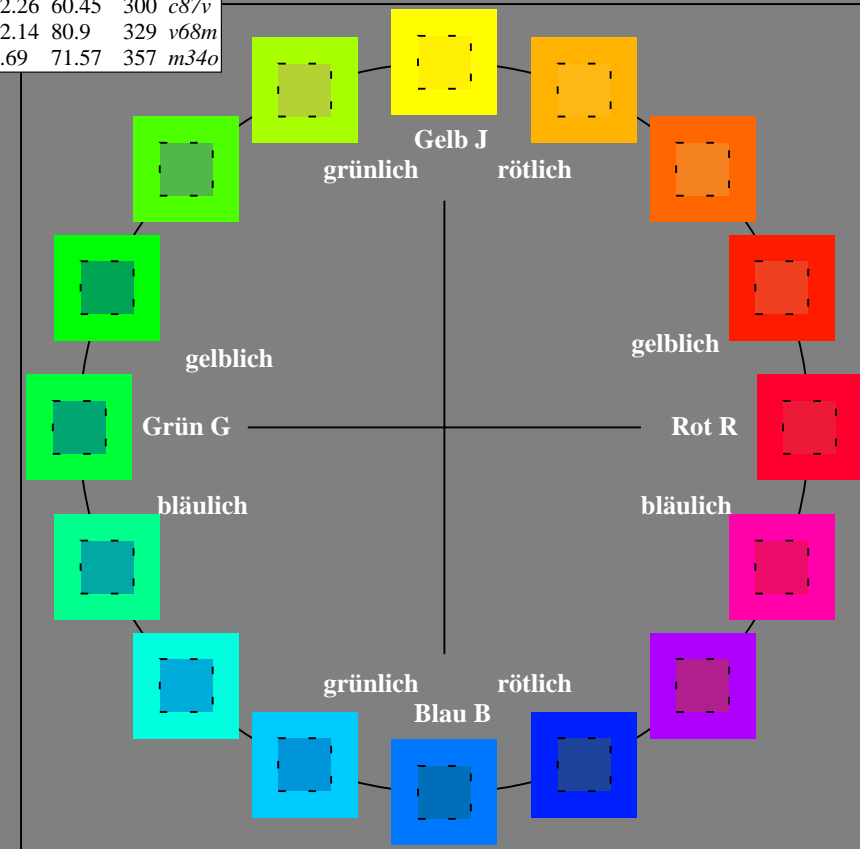
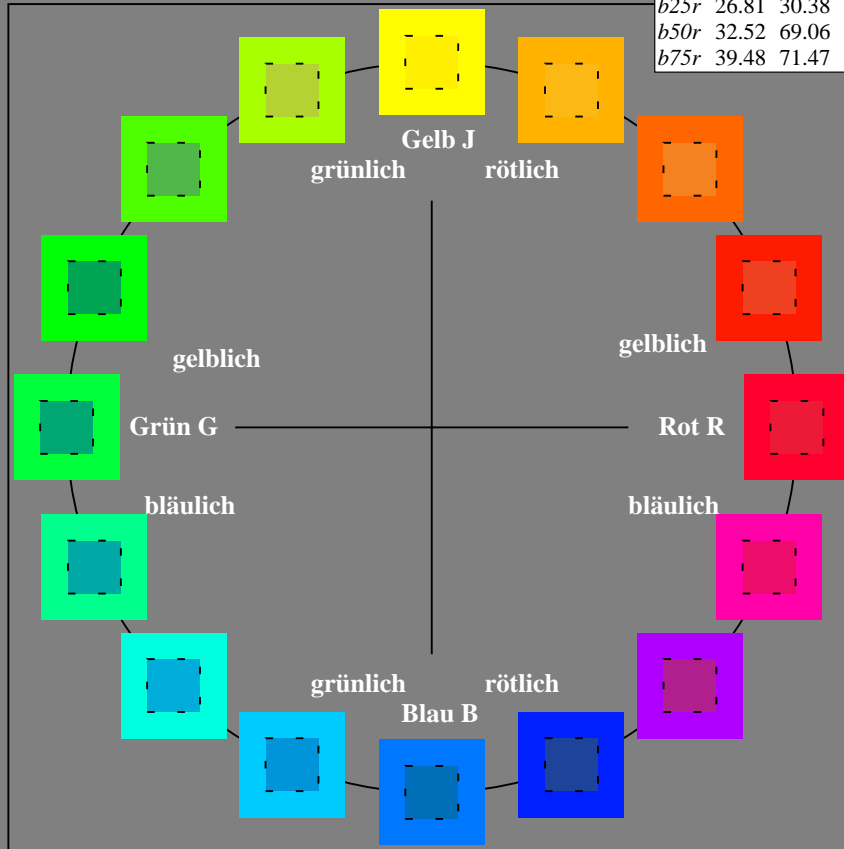
Ein und Ausgabe:
 Farbmetrisches Drucker-Reflektiv-System FRS12_95a
 Daten für jede Farbe:
 u^*_e und Nummer $Nr.$ = 00 .. 15
 Elementar-Bunttextext:
 $u^*_e = 16$ Bunttoene $r00j, r25j, \dots, b75r$
 Kontrastreduzierungsfaktor:
 $c_R = 1.0$

FRS12_95a; adaptierte CIELAB-Daten						
u^*_e	$L^*=L^*_a$	a^*_a	b^*_a	$C^*_{ab,a}$	$h^*_{ab,a}$	u^*_d
r00j	38.47	63.32	30.17	70.15	25	m81o
r25j	42.12	54.56	49.45	73.64	42	o10y
r50j	53.64	39.15	64.89	75.79	59	o40y
r75j	67.01	21.26	82.83	85.52	76	o69y
j00g	86.18	-4.38	108.53	108.62	92	o98y
j25g	69.73	-29.89	83.06	88.28	110	y34l
j50g	57.03	-48.31	63.49	79.78	127	y69l
j75g	47.73	-60.33	42.64	73.88	145	l03c
g00b	50.59	-49.08	15.74	51.54	162	l23c
g25b	52.97	-39.7	-6.72	40.27	190	l55c
g50b	54.85	-32.33	-24.35	40.48	217	l87c
g75b	49.92	-17.29	-36.02	39.96	244	c20v
b00r	40.91	1.28	-42.35	42.37	272	c53v
b25r	26.81	30.38	-52.26	60.45	300	c87v
b50r	32.52	69.06	-42.14	80.9	329	v68m
b75r	39.48	71.47	-3.69	71.57	357	m34o



%Umfang
 $u^*_{rel} = 109$
 %Regularität
 $g^*_{H,rel} = 31$
 $g^*_{C,rel} = 40$

FRS12_95a; adaptierte CIELAB-Daten					
Name	$L^*=L^*_a$	a^*_a	b^*_a	$C^*_{ab,a}$	$h^*_{ab,a}$
OMa	38.06	60.0	44.0	74.4	36
YMa	86.77	-5.17	109.32	109.44	93
LMa	47.13	-62.67	48.24	79.09	142
CMa	55.66	-29.14	-31.99	43.27	228
VMa	17.15	50.3	-59.04	77.57	310
MMa	40.37	78.64	-33.5	85.48	337
NMa	11.58	0.0	0.0	0.0	0
WMa	95.02	0.0	0.0	0.0	0
RCIE	39.92	58.74	27.99	65.07	25
JCIE	81.26	-2.89	71.56	71.62	92
GCIE	52.23	-42.42	13.6	44.55	162
BCIE	30.57	1.41	-46.47	46.49	272



Siehe ähnliche Dateien: <http://www.ps.bam.de/Fg64/>; www.ps.bam.de/Fg64/HTM
 Technische Information: <http://www.ps.bam.de> Version 2.1, io=1,1, ColSpx=0

BAM-Registrierung: 20081001-Fg64/10L/L64g00NP.PDF/.PS BAM-Material: Code=rh4ta
 Anwendung für Beurteilung und Messung von Drucker- oder Monitorssystemen

Ein und Ausgabe: Farbmetrisches Drucker-Reflektiv-System FRS12_95a, L*=12_95 für relativen CIELAB-Buntton $h^* = lab^*h^* = h_{ab}/360 = 0.071$ $u^*_e = r00j$

Daten für jede Farbe:

lab^*tch^* und lab^*icu^*

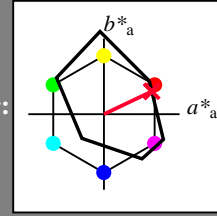
Bunttontexte:

$u^*_e = r00j$ $u^*_d = m81o$

Kontrastreduzierungsfaktor:

$c_R = 1.0$

Dreiecks-Helligkeit i^*



FRS12_95a; adaptierte CIELAB-Daten

	u^*_e	$L^*=L^*_a$	a^*_a	b^*_a	$C^*_{ab,a}$	$h^*_{ab,a}$
O _{Ma}	38.06	60.0	44.0	74.4	36	
Y _{Ma}	86.77	-5.17	109.32	109.44	93	
L _{Ma}	47.13	-62.67	48.24	79.09	142	
C _{Ma}	55.66	-29.14	-31.99	43.27	228	
V _{Ma}	17.15	50.3	-59.04	77.57	310	
M _{Ma}	40.37	78.64	-33.5	85.48	337	
N _{Ma}	11.58	0.0	0.0	0.0	0	
W _{Ma}	95.02	0.0	0.0	0.0	0	
R _{Ma}	39.92	58.74	27.99	65.07	25	
J _{Ma}	81.26	-2.89	71.56	71.62	92	
G _{Ma}	52.23	-42.42	13.6	44.55	162	
B _{Ma}	30.57	1.41	-46.47	46.49	272	

Daten für Maximalfarbe (Ma):

$LAB^*LAB^*_{Ma}$: 38 63 30

$LAB^*LCH^*_{Ma}$: 38 70 25

$lab^*rgb^*_{Ma}$: 1.0 0.0 0.0

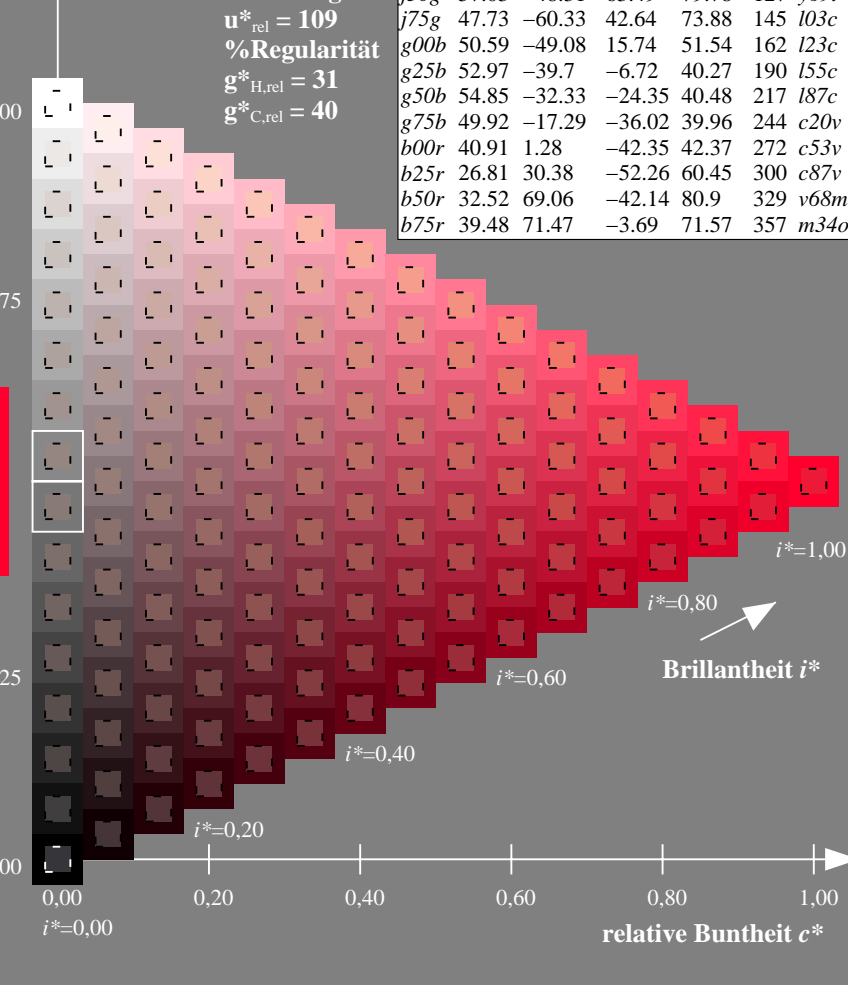
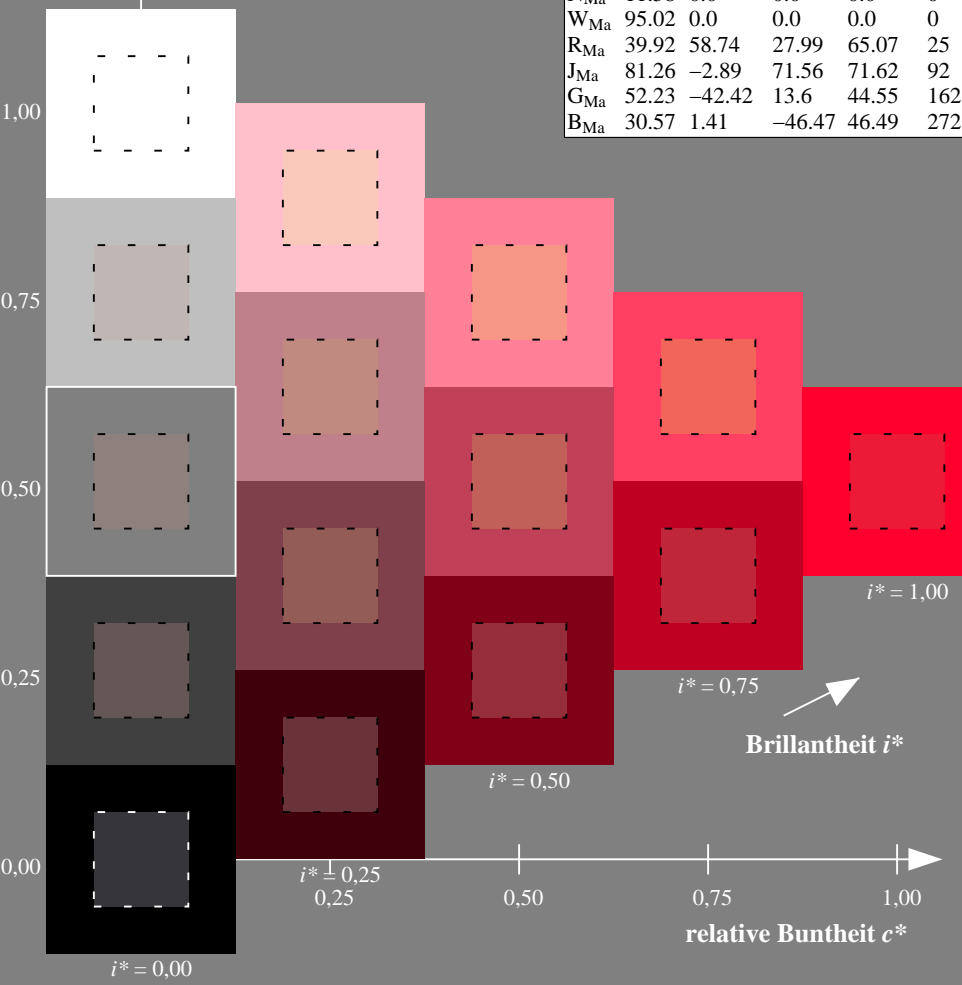
$lab^*olv^*_{Ma}$: 1.0 0.0 0.18

Dreiecks-Helligkeit i^*

%Umfang
 $u^*_{rel} = 109$
 %Regularität
 $g^*_{H,rel} = 31$
 $g^*_{C,rel} = 40$

FRS12_95a; adaptierte CIELAB-Daten

	u^*_e	$L^*=L^*_a$	a^*_a	b^*_a	$C^*_{ab,a}$	$h^*_{ab,a}$	u^*_d
r00j	38.47	63.32	30.17	70.15	25	m81o	
r25j	42.12	54.56	49.45	73.64	42	o10y	
r50j	53.64	39.15	64.89	75.79	59	o40y	
r75j	67.01	21.26	82.83	85.52	76	o69y	
j00g	86.18	-4.38	108.53	108.62	92	o98y	
j25g	69.73	-29.89	83.06	88.28	110	y34l	
j50g	57.03	-48.31	63.49	79.78	127	y69l	
j75g	47.73	-60.33	42.64	73.88	145	l03c	
g00b	50.59	-49.08	15.74	51.54	162	l23c	
g25b	52.97	-39.7	-6.72	40.27	190	l55c	
g50b	54.85	-32.33	-24.35	40.48	217	l87c	
g75b	49.92	-17.29	-36.02	39.96	244	c20v	
b00r	40.91	1.28	-42.35	42.37	272	c53v	
b25r	26.81	30.38	-52.26	60.45	300	c87v	
b50r	32.52	69.06	-42.14	80.9	329	v68m	
b75r	39.48	71.47	-3.69	71.57	357	m34o	

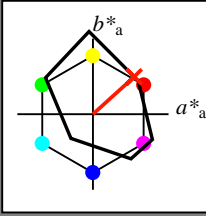


Siehe ähnliche Dateien: <http://www.ps.bam.de/Fg64/>; www.ps.bam.de/Fg.HTM
 Technische Information: <http://www.ps.bam.de> Version 2.1, io=1,1, ColSpx=0

BAM-Registrierung: 20081001-Fg64/10L/L64g00NP.PDF/ .PS BAM-Material: Code=rh4ta
 Anwendung für Beurteilung und Messung von Drucker- oder Monitorssystemen

Ein und Ausgabe: Farbmetrisches Drucker-Reflektiv-System FRS12_95a, L*=12_95 für relativen CIELAB-Buntton $h^* = lab^*h^* = h_{ab}/360 = 0.117$ $u^*_e = r25j$

Daten für jede Farbe:
 lab^*tch^* und lab^*icu^*
 Bunttontexte:
 $u^*_e = r25j$ $u^*_d = o10y$
 Kontrastreduzierungsfaktor:
 $c_R = 1.0$
 Dreiecks-Helligkeit t^*



FRS12_95a; adaptierte CIELAB-Daten

	u^*_e	$L^*=L^*_a$	a^*_a	b^*_a	$C^*_{ab,a}$	$h^*_{ab,a}$
O _{Ma}	38.06	60.0	44.0	74.4	36	
Y _{Ma}	86.77	-5.17	109.32	109.44	93	
L _{Ma}	47.13	-62.67	48.24	79.09	142	
C _{Ma}	55.66	-29.14	-31.99	43.27	228	
V _{Ma}	17.15	50.3	-59.04	77.57	310	
M _{Ma}	40.37	78.64	-33.5	85.48	337	
N _{Ma}	11.58	0.0	0.0	0.0	0	
W _{Ma}	95.02	0.0	0.0	0.0	0	
R _{Ma}	39.92	58.74	27.99	65.07	25	
J _{Ma}	81.26	-2.89	71.56	71.62	92	
G _{Ma}	52.23	-42.42	13.6	44.55	162	
B _{Ma}	30.57	1.41	-46.47	46.49	272	

Daten für Maximalfarbe (Ma):

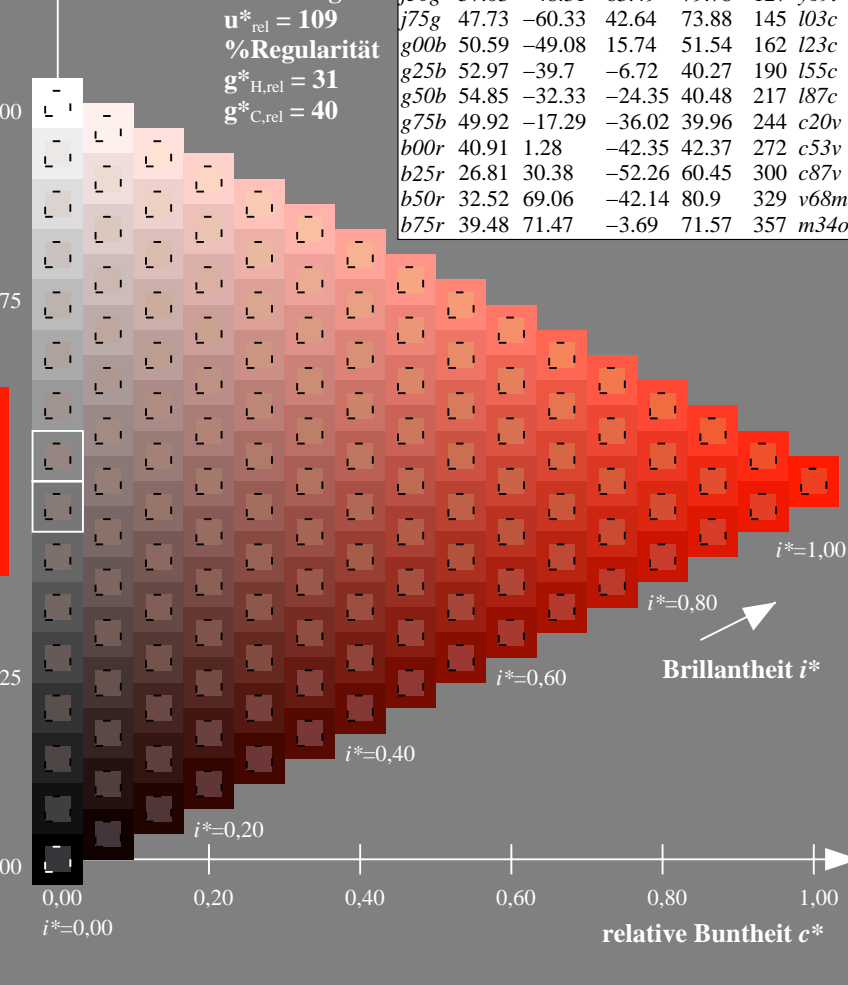
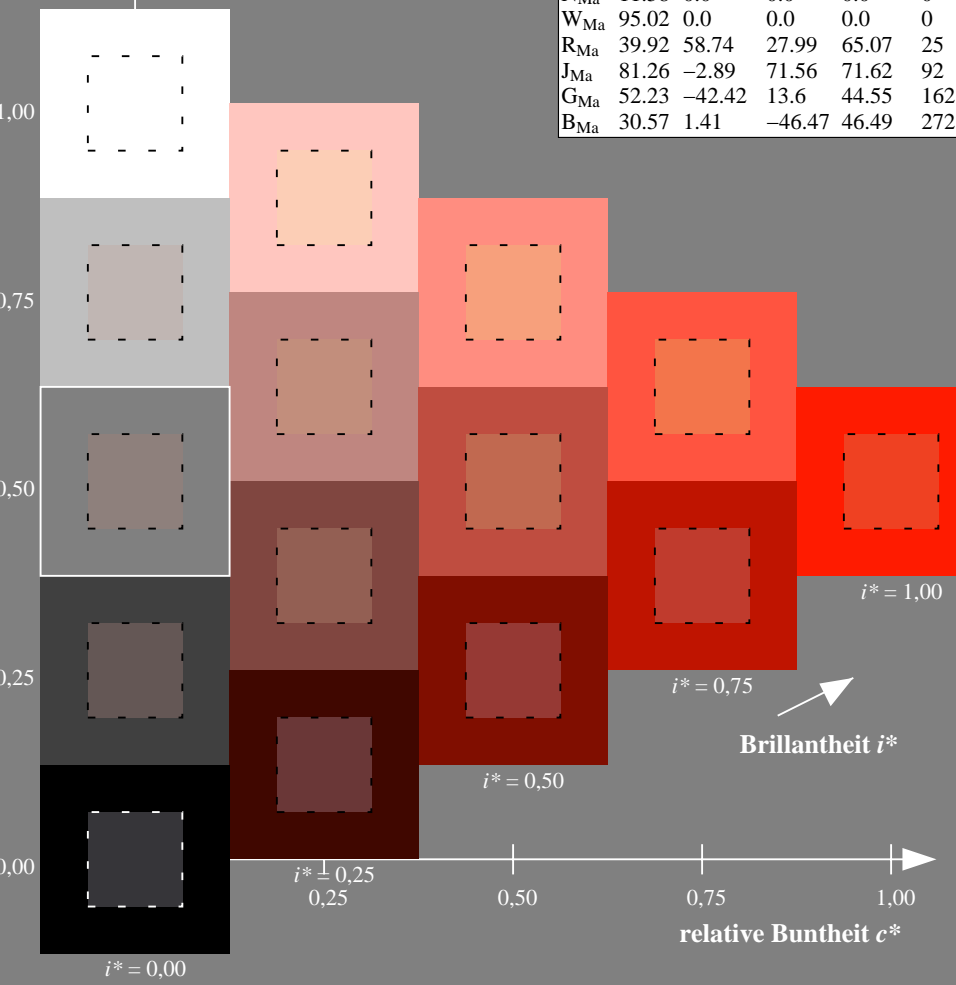
$LAB^*LAB^*_{Ma}$: 42 55 49
 $LAB^*LCH^*_{Ma}$: 42 74 42
 $lab^*rgb^*_{Ma}$: 1.0 0.25 0.0
 $lab^*olv^*_{Ma}$: 1.0 0.11 0.0

FRS12_95a; adaptierte CIELAB-Daten

	u^*_e	$L^*=L^*_a$	a^*_a	b^*_a	$C^*_{ab,a}$	$h^*_{ab,a}$	u^*_d
r00j	38.47	63.32	30.17	70.15	25	m81o	
r25j	42.12	54.56	49.45	73.64	42	o10y	
r50j	53.64	39.15	64.89	75.79	59	o40y	
r75j	67.01	21.26	82.83	85.52	76	o69y	
j00g	86.18	-4.38	108.53	108.62	92	o98y	
j25g	69.73	-29.89	83.06	88.28	110	y34l	
j50g	57.03	-48.31	63.49	79.78	127	y69l	
j75g	47.73	-60.33	42.64	73.88	145	l03c	
g00b	50.59	-49.08	15.74	51.54	162	l23c	
g25b	52.97	-39.7	-6.72	40.27	190	l55c	
g50b	54.85	-32.33	-24.35	40.48	217	l87c	
g75b	49.92	-17.29	-36.02	39.96	244	c20v	
b00r	40.91	1.28	-42.35	42.37	272	c53v	
b25r	26.81	30.38	-52.26	60.45	300	c87v	
b50r	32.52	69.06	-42.14	80.9	329	v68m	
b75r	39.48	71.47	-3.69	71.57	357	m34o	

Dreiecks-Helligkeit t^*

%Umfang
 $u^*_{rel} = 109$
 %Regularität
 $g^*_{H,rel} = 31$
 $g^*_{C,rel} = 40$



Siehe ähnliche Dateien: <http://www.ps.bam.de/Fg64/>; www.ps.bam.de/Fg.HTM
 Technische Information: <http://www.ps.bam.de> Version 2.1, io=1,1, ColSpx=0

BAM-Registrierung: 20081001-Fg64/10L/L64g00NP.PDF/ .PS BAM-Material: Code=rhatha
 Anwendung für Beurteilung und Messung von Drucker- oder Monitorssystemen

Ein und Ausgabe: Farbmetrisches Drucker-Reflektiv-System FRS12_95a, L*=12_95 für relativen CIELAB-Buntton $h^* = lab^*h^* = h_{ab}/360 = 0.164$ $u^*_e = r50j$

Daten für jede Farbe:

lab^*tch^* und lab^*icu^*

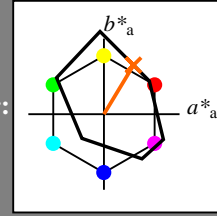
Bunttontexte:

$u^*_e = r50j$ $u^*_d = o40y$

Kontrastreduzierungsfaktor:

$c_R = 1.0$

Dreiecks-Helligkeit i^*



FRS12_95a; adaptierte CIELAB-Daten

	u^*_e	$L^*=L^*_a$	a^*_a	b^*_a	$C^*_{ab,a}$	$h^*_{ab,a}$
O _{Ma}	38.06	60.0	44.0	74.4	36	
Y _{Ma}	86.77	-5.17	109.32	109.44	93	
L _{Ma}	47.13	-62.67	48.24	79.09	142	
C _{Ma}	55.66	-29.14	-31.99	43.27	228	
V _{Ma}	17.15	50.3	-59.04	77.57	310	
M _{Ma}	40.37	78.64	-33.5	85.48	337	
N _{Ma}	11.58	0.0	0.0	0.0	0	
W _{Ma}	95.02	0.0	0.0	0.0	0	
R _{Ma}	39.92	58.74	27.99	65.07	25	
J _{Ma}	81.26	-2.89	71.56	71.62	92	
G _{Ma}	52.23	-42.42	13.6	44.55	162	
B _{Ma}	30.57	1.41	-46.47	46.49	272	

Daten für Maximalfarbe (Ma):

$LAB^*LAB^*_{Ma}$: 54 39 65

$LAB^*LCH^*_{Ma}$: 54 76 58

$lab^*rgb^*_{Ma}$: 1.0 0.5 0.0

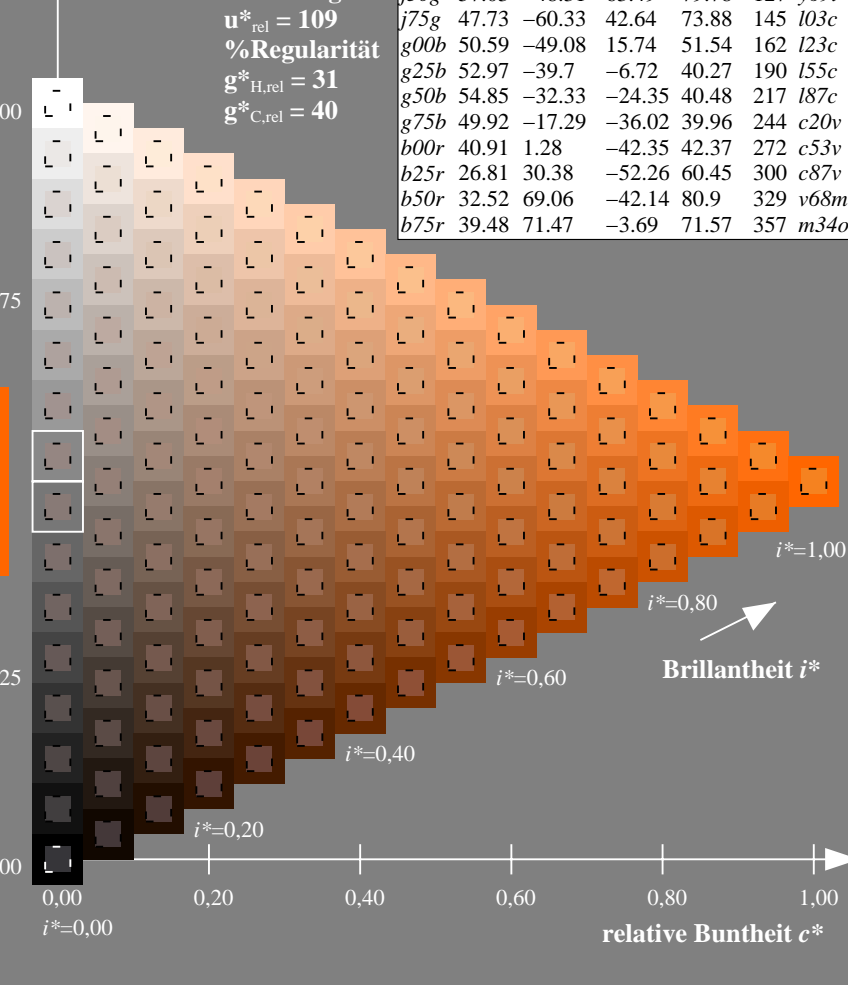
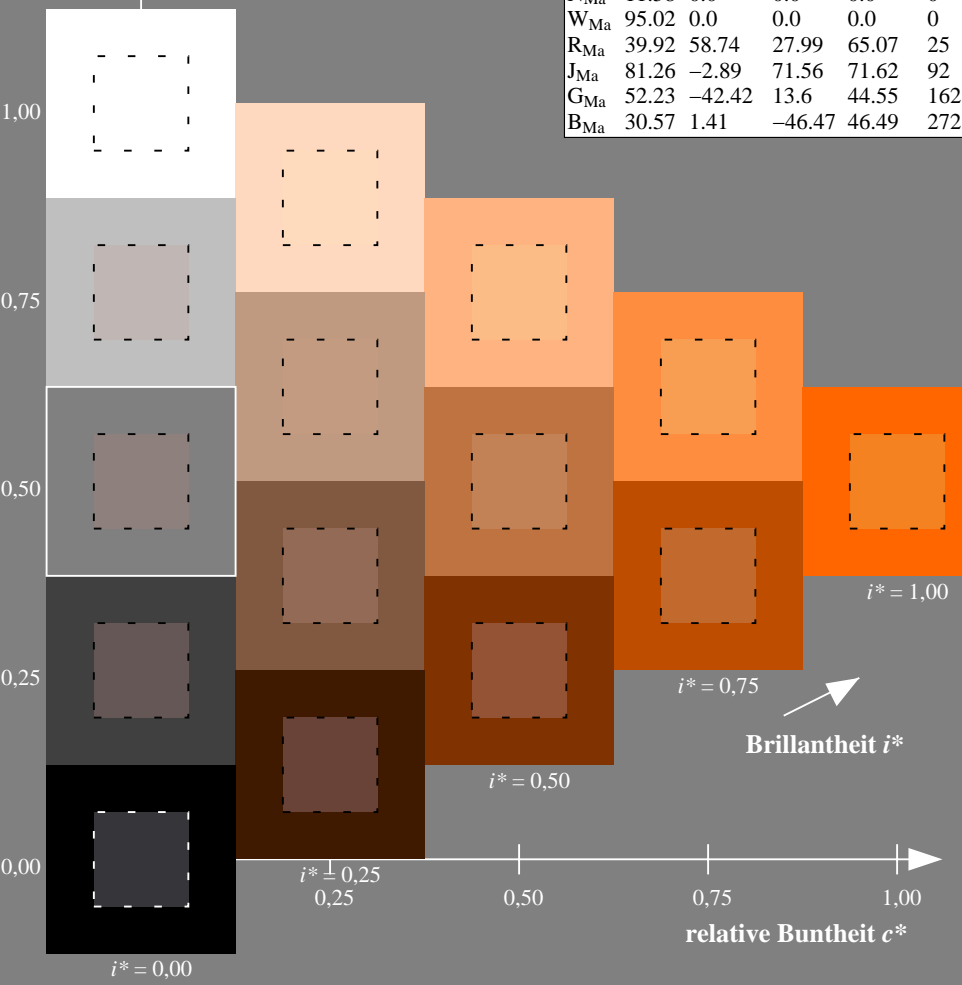
$lab^*olv^*_{Ma}$: 1.0 0.4 0.0

Dreiecks-Helligkeit i^*

%Umfang
 $u^*_{rel} = 109$
 %Regularität
 $g^*_{H,rel} = 31$
 $g^*_{C,rel} = 40$

FRS12_95a; adaptierte CIELAB-Daten

	u^*_e	$L^*=L^*_a$	a^*_a	b^*_a	$C^*_{ab,a}$	$h^*_{ab,a}$	u^*_d
r00j	38.47	63.32	30.17	70.15	25	m81o	
r25j	42.12	54.56	49.45	73.64	42	o10y	
r50j	53.64	39.15	64.89	75.79	59	o40y	
r75j	67.01	21.26	82.83	85.52	76	o69y	
j00g	86.18	-4.38	108.53	108.62	92	o98y	
j25g	69.73	-29.89	83.06	88.28	110	y34l	
j50g	57.03	-48.31	63.49	79.78	127	y69l	
j75g	47.73	-60.33	42.64	73.88	145	l03c	
g00b	50.59	-49.08	15.74	51.54	162	l23c	
g25b	52.97	-39.7	-6.72	40.27	190	l55c	
g50b	54.85	-32.33	-24.35	40.48	217	l87c	
g75b	49.92	-17.29	-36.02	39.96	244	c20c	
b00r	40.91	1.28	-42.35	42.37	272	c53v	
b25r	26.81	30.38	-52.26	60.45	300	c87v	
b50r	32.52	69.06	-42.14	80.9	329	v68m	
b75r	39.48	71.47	-3.69	71.57	357	m34o	



Siehe ähnliche Dateien: <http://www.ps.bam.de/Fg64/>; www.ps.bam.de/Fg64/HTM
 Technische Information: <http://www.ps.bam.de> Version 2.1, io=1,1, ColSpx=0

BAM-Registrierung: 20081001-Fg64/10L/L64g00NP.PDF/ .PS BAM-Material: Code=rhatha
 Anwendung für Beurteilung und Messung von Drucker- oder Monitorssystemen

Ein und Ausgabe: Farbmetrisches Drucker-Reflektiv-System FRS12_95a, L*=12_95 für relativen CIELAB-Buntton $h^* = lab^*h^* = h_{ab}/360 = 0.21$ $u^*_e = r75j$

Daten für jede Farbe:

lab^*tch^* und lab^*icu^*

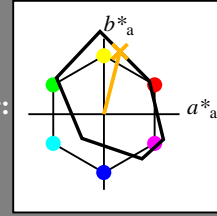
Buntkontexte:

$u^*_e = r75j$ $u^*_d = o69y$

Kontrastreduzierungsfaktor:

$c_R = 1.0$

Dreiecks-Helligkeit i^*



FRS12_95a; adaptierte CIELAB-Daten

	u^*_e	$L^*=L^*_a$	a^*_a	b^*_a	$C^*_{ab,a}$	$h^*_{ab,a}$
O _{Ma}	38.06	60.0	44.0	74.4	36	
Y _{Ma}	86.77	-5.17	109.32	109.44	93	
L _{Ma}	47.13	-62.67	48.24	79.09	142	
C _{Ma}	55.66	-29.14	-31.99	43.27	228	
V _{Ma}	17.15	50.3	-59.04	77.57	310	
M _{Ma}	40.37	78.64	-33.5	85.48	337	
N _{Ma}	11.58	0.0	0.0	0.0	0	
W _{Ma}	95.02	0.0	0.0	0.0	0	
R _{Ma}	39.92	58.74	27.99	65.07	25	
J _{Ma}	81.26	-2.89	71.56	71.62	92	
G _{Ma}	52.23	-42.42	13.6	44.55	162	
B _{Ma}	30.57	1.41	-46.47	46.49	272	

Daten für Maximalfarbe (Ma):

$LAB^*LAB^*_{Ma}$: 67 21 83

$LAB^*LCH^*_{Ma}$: 67 86 75

$lab^*rgb^*_{Ma}$: 1.0 0.75 0.0

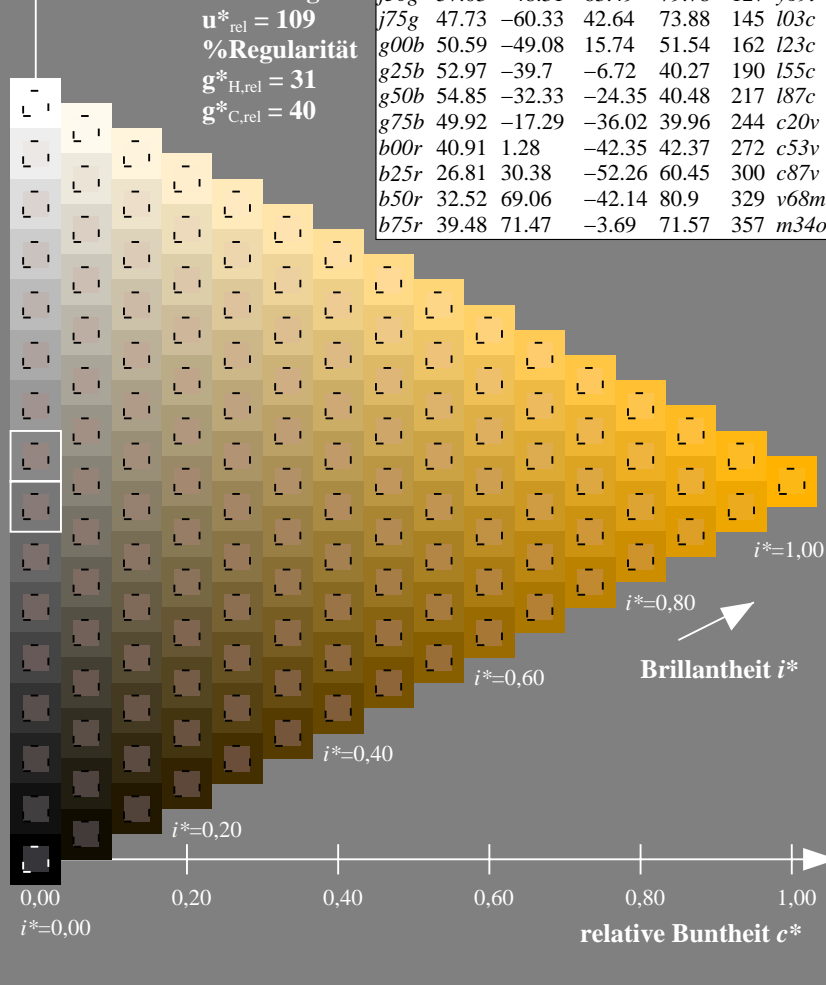
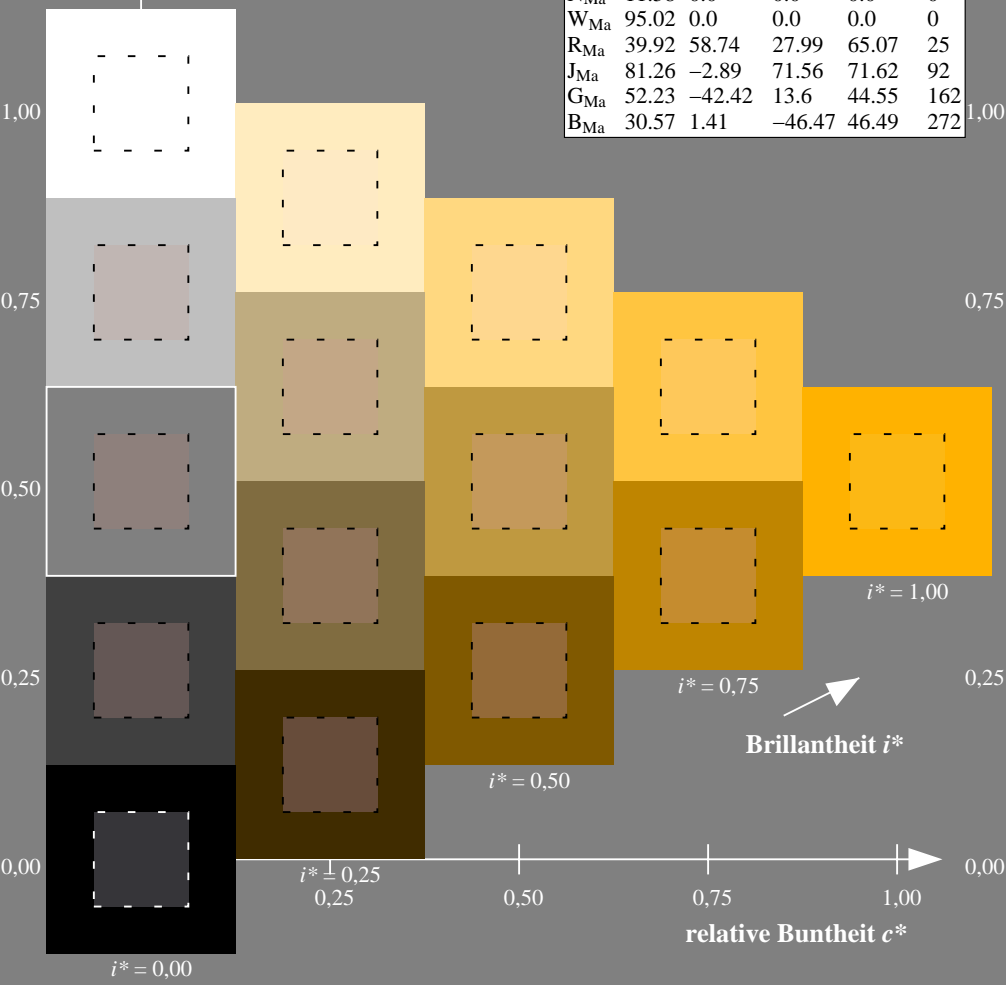
$lab^*olv^*_{Ma}$: 1.0 0.7 0.0

Dreiecks-Helligkeit i^*

%Umfang
 $u^*_{rel} = 109$
 %Regularität
 $g^*_{H,rel} = 31$
 $g^*_{C,rel} = 40$

FRS12_95a; adaptierte CIELAB-Daten

	u^*_e	$L^*=L^*_a$	a^*_a	b^*_a	$C^*_{ab,a}$	$h^*_{ab,a}$	u^*_d
r00j	38.47	63.32	30.17	70.15	25	m81o	
r25j	42.12	54.56	49.45	73.64	42	o10y	
r50j	53.64	39.15	64.89	75.79	59	o40y	
r75j	67.01	21.26	82.83	85.52	76	o69y	
j00g	86.18	-4.38	108.53	108.62	92	o98y	
j25g	69.73	-29.89	83.06	88.28	110	y34l	
j50g	57.03	-48.31	63.49	79.78	127	y69l	
j75g	47.73	-60.33	42.64	73.88	145	l03c	
g00b	50.59	-49.08	15.74	51.54	162	l23c	
g25b	52.97	-39.7	-6.72	40.27	190	l55c	
g50b	54.85	-32.33	-24.35	40.48	217	l87c	
g75b	49.92	-17.29	-36.02	39.96	244	c20v	
b00r	40.91	1.28	-42.35	42.37	272	c53v	
b25r	26.81	30.38	-52.26	60.45	300	c87v	
b50r	32.52	69.06	-42.14	80.9	329	v68m	
b75r	39.48	71.47	-3.69	71.57	357	m34o	

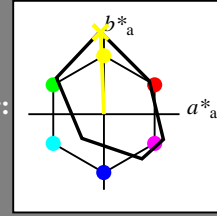


Siehe ähnliche Dateien: <http://www.ps.bam.de/Fg64/>; www.ps.bam.de/Fg64/HTM
 Technische Information: <http://www.ps.bam.de> Version 2.1, io=1,1, ColSpx=0

BAM-Registrierung: 20081001-Fg64/10L/L64g00NP.PDF/ .PS BAM-Material: Code=rh4ta
 Anwendung für Beurteilung und Messung von Drucker- oder Monitorssystemen

Ein und Ausgabe: Farbmetrisches Drucker-Reflektiv-System FRS12_95a, L*=12_95 für relative CIELAB-Bunton $h^* = lab^*h^* = h_{ab}/360 = 0.256$ $u^*_e = j00g$

Daten für jede Farbe:
 lab^*tch^* und lab^*icu^*
 Buntkontexte:
 $u^*_e = j00g$ $u^*_d = o98y$
 Kontrastreduzierungsfaktor:
 $c_R = 1.0$
 Dreiecks-Helligkeit i^*

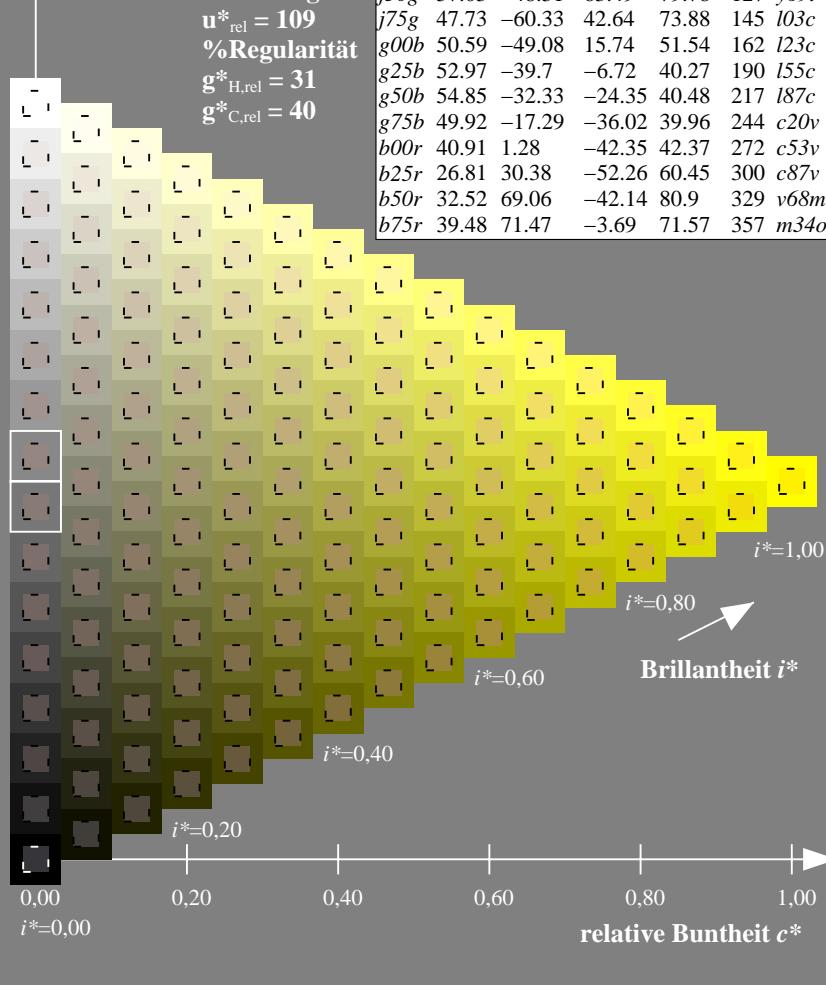
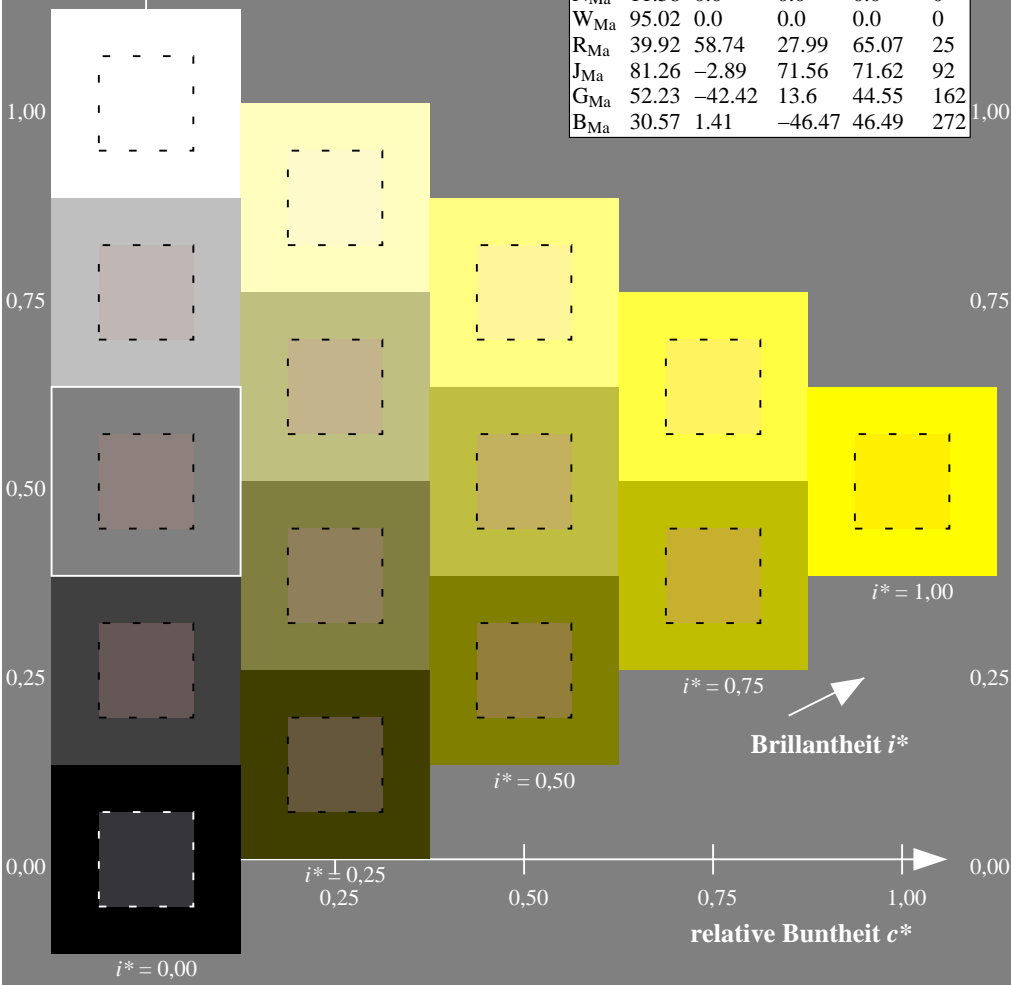


FRS12_95a; adaptierte CIELAB-Daten						
	u^*_e	$L^*=L^*_a$	a^*_a	b^*_a	$C^*_{ab,a}$	$h^*_{ab,a}$
O _{Ma}	38.06	60.0	44.0	74.4	36	
Y _{Ma}	86.77	-5.17	109.32	109.44	93	
L _{Ma}	47.13	-62.67	48.24	79.09	142	
C _{Ma}	55.66	-29.14	-31.99	43.27	228	
V _{Ma}	17.15	50.3	-59.04	77.57	310	
M _{Ma}	40.37	78.64	-33.5	85.48	337	
N _{Ma}	11.58	0.0	0.0	0.0	0	
W _{Ma}	95.02	0.0	0.0	0.0	0	
R _{Ma}	39.92	58.74	27.99	65.07	25	
J _{Ma}	81.26	-2.89	71.56	71.62	92	
G _{Ma}	52.23	-42.42	13.6	44.55	162	
B _{Ma}	30.57	1.41	-46.47	46.49	272	

Daten für Maximalfarbe (Ma):
 $LAB^*LAB^*_{Ma}$: 86 -4 109
 $LAB^*LCH^*_{Ma}$: 86 109 92
 $lab^*rgb^*_{Ma}$: 1.0 1.0 0.0
 $lab^*olv^*_{Ma}$: 1.0 0.99 0.0

FRS12_95a; adaptierte CIELAB-Daten							
	u^*_e	$L^*=L^*_a$	a^*_a	b^*_a	$C^*_{ab,a}$	$h^*_{ab,a}$	u^*_d
r00j	38.47	63.32	30.17	70.15	25	m81o	
r25j	42.12	54.56	49.45	73.64	42	o10y	
r50j	53.64	39.15	64.89	75.79	59	o40y	
r75j	67.01	21.26	82.83	85.52	76	o69y	
j00g	86.18	-4.38	108.53	108.62	92	o98y	
j25g	69.73	-29.89	83.06	88.28	110	y34l	
j50g	57.03	-48.31	63.49	79.78	127	y69l	
j75g	47.73	-60.33	42.64	73.88	145	l03c	
g00b	50.59	-49.08	15.74	51.54	162	l23c	
g25b	52.97	-39.7	-6.72	40.27	190	l55c	
g50b	54.85	-32.33	-24.35	40.48	217	l87c	
g75b	49.92	-17.29	-36.02	39.96	244	c20v	
b00r	40.91	1.28	-42.35	42.37	272	c53v	
b25r	26.81	30.38	-52.26	60.45	300	c87v	
b50r	32.52	69.06	-42.14	80.9	329	v68m	
b75r	39.48	71.47	-3.69	71.57	357	m34o	

Dreiecks-Helligkeit i^*
 %Umfang
 $u^*_{rel} = 109$
 %Regularität
 $g^*_{H,rel} = 31$
 $g^*_{C,rel} = 40$

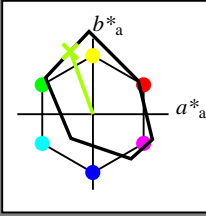


Siehe ähnliche Dateien: <http://www.ps.bam.de/Fg64/>; www.ps.bam.de/Fg64/HTM
 Technische Information: <http://www.ps.bam.de> Version 2.1, io=1,1, ColSpx=0

BAM-Registrierung: 20081001-Fg64/10L/L64g00NP.PDF/ .PS BAM-Material: Code=rh4ta
 Anwendung für Beurteilung und Messung von Drucker- oder Monitorssystemen

Ein und Ausgabe: Farbmetrisches Drucker-Reflektiv-System FRS12_95a, L*=12_95 für relativen CIELAB-Buntton $h^* = lab^*h^* = h_{ab}/360 = 0.305$ $u^*_e = j25g$

Daten für jede Farbe:
 lab^*tch^* und lab^*icu^*
 Bunttontexte:
 $u^*_e = j25g$ $u^*_d = y34l$
 Kontrastreduzierungsfaktor:
 $c_R = 1.0$
 Dreiecks-Helligkeit i^*

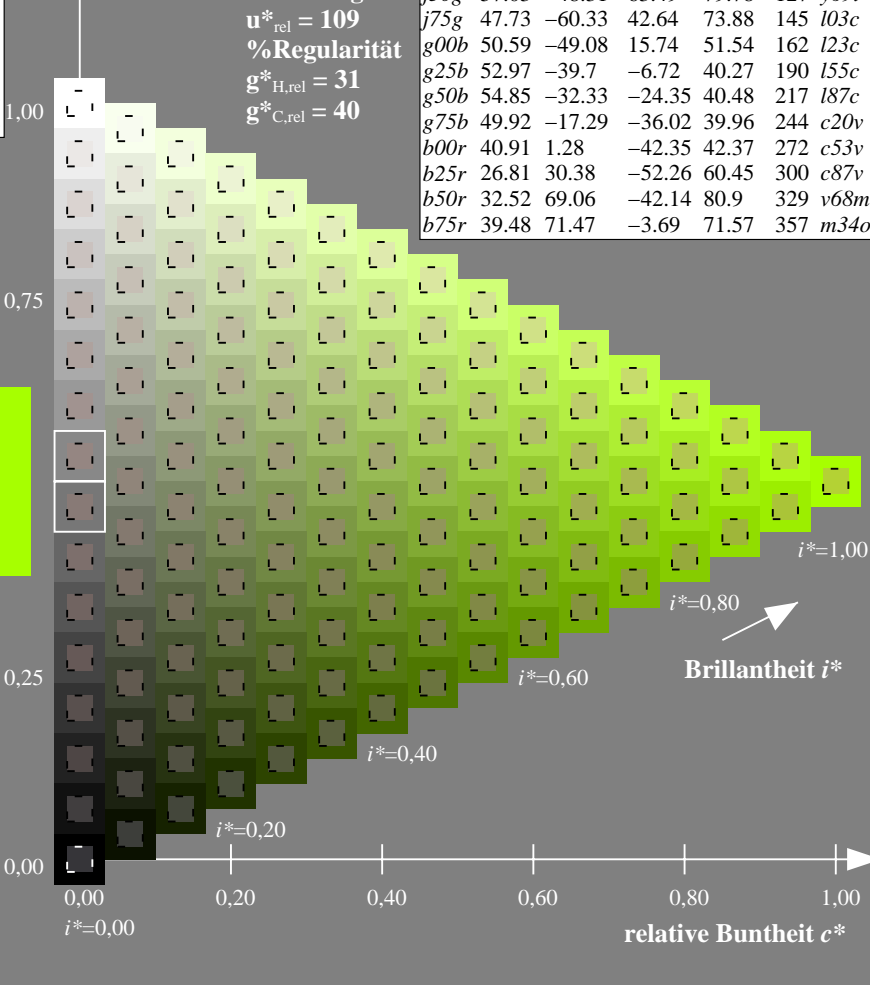
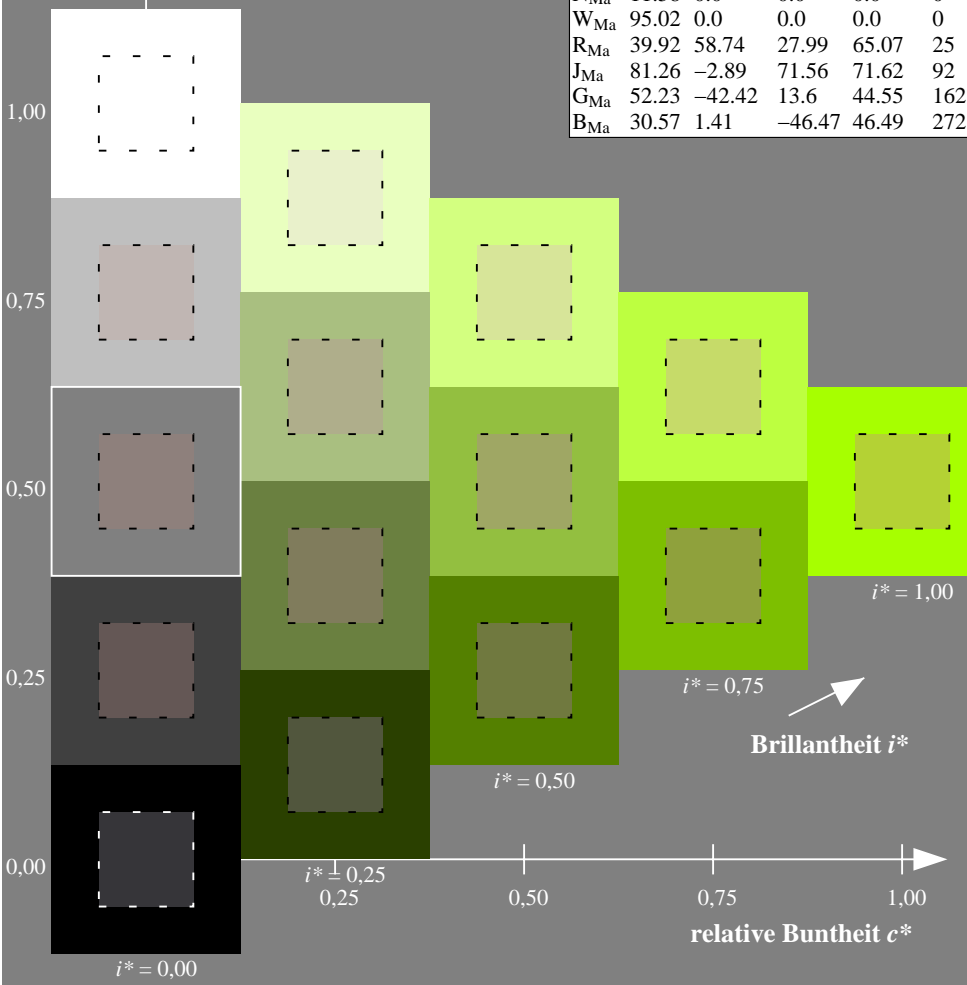


FRS12_95a; adaptierte CIELAB-Daten						
	u^*_e	$L^*=L^*_a$	a^*_a	b^*_a	$C^*_{ab,a}$	$h^*_{ab,a}$
O _{Ma}	38.06	60.0	44.0	74.4	36	
Y _{Ma}	86.77	-5.17	109.32	109.44	93	
L _{Ma}	47.13	-62.67	48.24	79.09	142	
C _{Ma}	55.66	-29.14	-31.99	43.27	228	
V _{Ma}	17.15	50.3	-59.04	77.57	310	
M _{Ma}	40.37	78.64	-33.5	85.48	337	
N _{Ma}	11.58	0.0	0.0	0.0	0	
W _{Ma}	95.02	0.0	0.0	0.0	0	
R _{Ma}	39.92	58.74	27.99	65.07	25	
J _{Ma}	81.26	-2.89	71.56	71.62	92	
G _{Ma}	52.23	-42.42	13.6	44.55	162	
B _{Ma}	30.57	1.41	-46.47	46.49	272	

Daten für Maximalfarbe (Ma):
 $LAB^*LAB^*_{Ma}$: 70 -30 83
 $LAB^*LCH^*_{Ma}$: 70 88 109
 $lab^*rgb^*_{Ma}$: 0.75 1.0 0.0
 $lab^*olv^*_{Ma}$: 0.66 1.0 0.0

FRS12_95a; adaptierte CIELAB-Daten							
	u^*_e	$L^*=L^*_a$	a^*_a	b^*_a	$C^*_{ab,a}$	$h^*_{ab,a}$	u^*_d
r00j	38.47	63.32	30.17	70.15	25	m81o	
r25j	42.12	54.56	49.45	73.64	42	o10y	
r50j	53.64	39.15	64.89	75.79	59	o40y	
r75j	67.01	21.26	82.83	85.52	76	o69y	
j00g	86.18	-4.38	108.53	108.62	92	o98y	
j25g	69.73	-29.89	83.06	88.28	110	y34l	
j50g	57.03	-48.31	63.49	79.78	127	y69l	
j75g	47.73	-60.33	42.64	73.88	145	l03c	
g00b	50.59	-49.08	15.74	51.54	162	l23c	
g25b	52.97	-39.7	-6.72	40.27	190	l55c	
g50b	54.85	-32.33	-24.35	40.48	217	l87c	
g75b	49.92	-17.29	-36.02	39.96	244	c20c	
b00r	40.91	1.28	-42.35	42.37	272	c53v	
b25r	26.81	30.38	-52.26	60.45	300	c87v	
b50r	32.52	69.06	-42.14	80.9	329	v68m	
b75r	39.48	71.47	-3.69	71.57	357	m34o	

Dreiecks-Helligkeit i^*
 %Umfang
 $u^*_{rel} = 109$
 %Regularität
 $g^*_{H,rel} = 31$
 $g^*_{C,rel} = 40$



Siehe ähnliche Dateien: <http://www.ps.bam.de/Fg64/>; www.ps.bam.de/Fg.HTM
 Technische Information: <http://www.ps.bam.de> Version 2.1, io=1,1, ColSpx=0

BAM-Registrierung: 20081001-Fg64/10L/L64g00NP.PDF/ .PS BAM-Material: Code=rh4ta
 Anwendung für Beurteilung und Messung von Drucker- oder Monitorssystemen

Ein und Ausgabe: Farbmetrisches Drucker-Reflektiv-System FRS12_95a, L*=12_95 für relativen CIELAB-Buntton $h^* = lab^*h^* = h_{ab}/360 = 0.354$ $u^*_e = j50g$

Daten für jede Farbe:

lab^*ch^* und lab^*icu^*

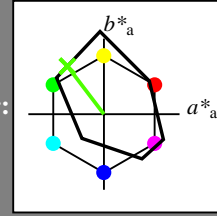
Buntkontexte:

$u^*_e = j50g$ $u^*_d = y69l$

Kontrastreduzierungsfaktor:

$c_R = 1.0$

Dreiecks-Helligkeit i^*



FRS12_95a; adaptierte CIELAB-Daten

	u^*_e	$L^*=L^*_a$	a^*_a	b^*_a	$C^*_{ab,a}$	$h^*_{ab,a}$
O _{Ma}	38.06	60.0	44.0	74.4	36	
Y _{Ma}	86.77	-5.17	109.32	109.44	93	
L _{Ma}	47.13	-62.67	48.24	79.09	142	
C _{Ma}	55.66	-29.14	-31.99	43.27	228	
V _{Ma}	17.15	50.3	-59.04	77.57	310	
M _{Ma}	40.37	78.64	-33.5	85.48	337	
N _{Ma}	11.58	0.0	0.0	0.0	0	
W _{Ma}	95.02	0.0	0.0	0.0	0	
R _{Ma}	39.92	58.74	27.99	65.07	25	
J _{Ma}	81.26	-2.89	71.56	71.62	92	
G _{Ma}	52.23	-42.42	13.6	44.55	162	
B _{Ma}	30.57	1.41	-46.47	46.49	272	

Daten für Maximalfarbe (Ma):

$LAB^*LAB^*_{Ma}$: 57 -48 63

$LAB^*LCH^*_{Ma}$: 57 80 127

$lab^*rgb^*_{Ma}$: 0.5 1.0 0.0

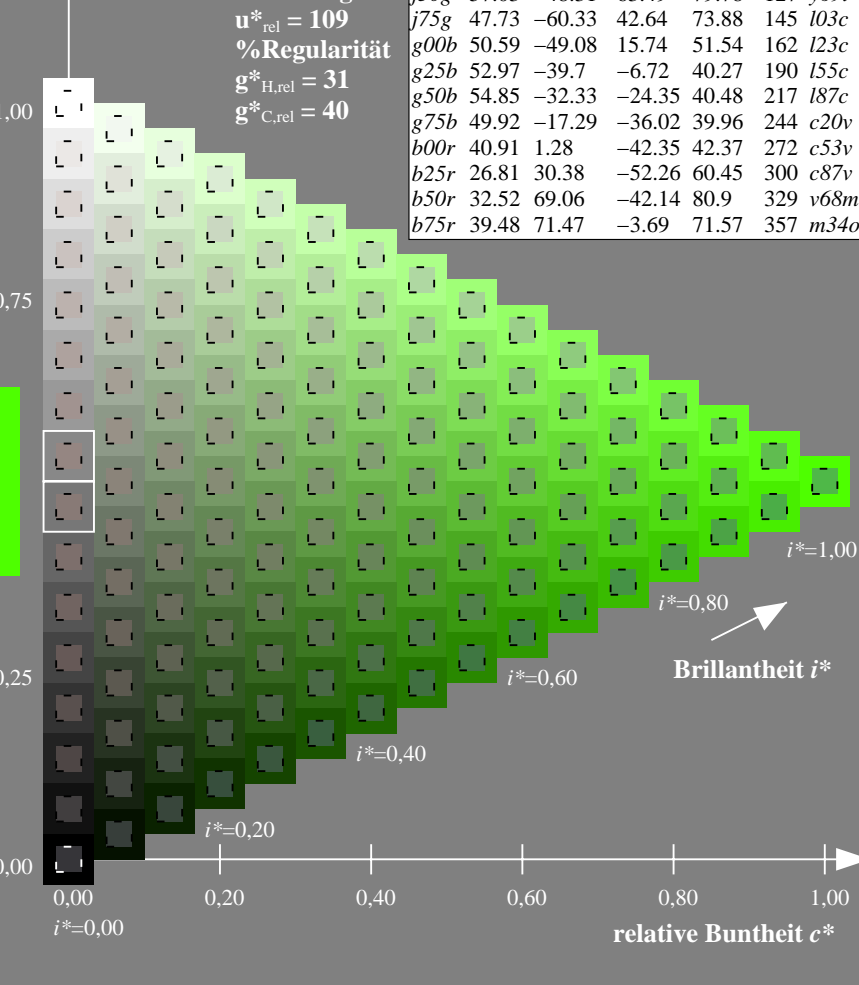
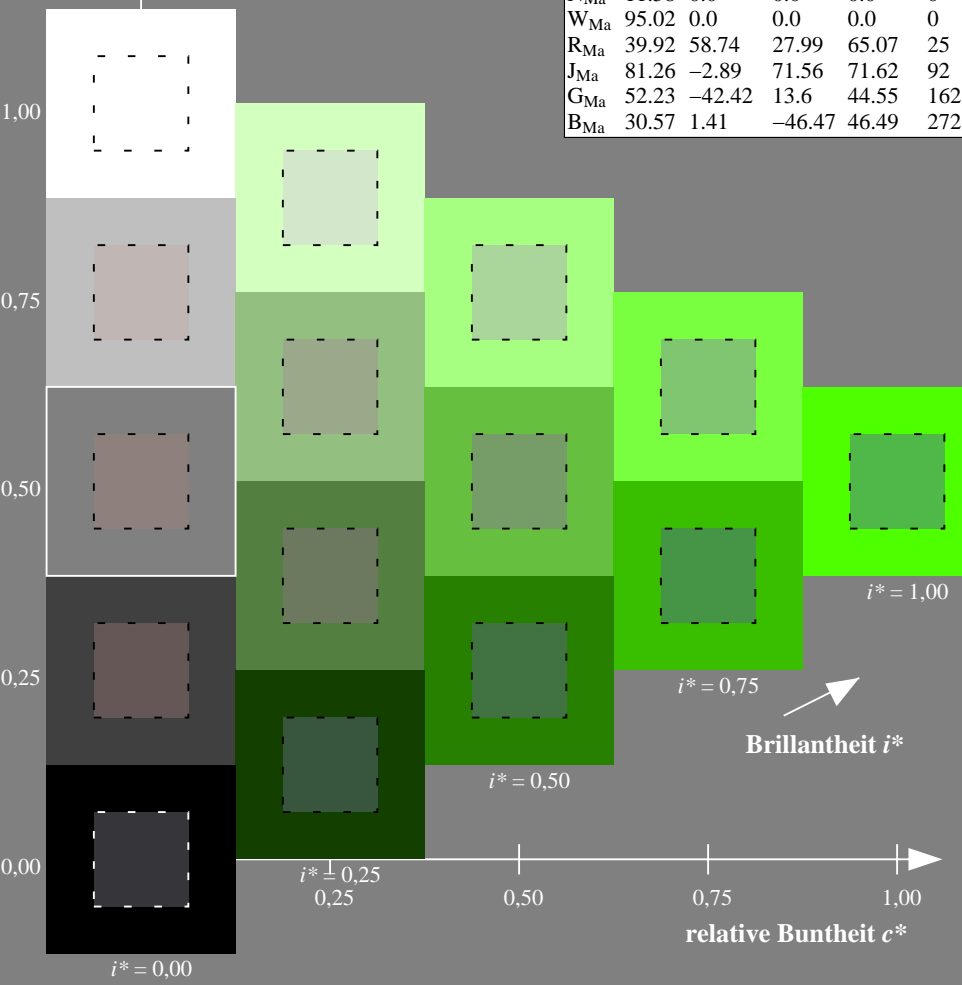
$lab^*olv^*_{Ma}$: 0.3 1.0 0.0

Dreiecks-Helligkeit i^*

%Umfang
 $u^*_{rel} = 109$
 %Regularität
 $g^*_{H,rel} = 31$
 $g^*_{C,rel} = 40$

FRS12_95a; adaptierte CIELAB-Daten

	u^*_e	$L^*=L^*_a$	a^*_a	b^*_a	$C^*_{ab,a}$	$h^*_{ab,a}$	u^*_d
r00j	38.47	63.32	30.17	70.15	25	m81o	
r25j	42.12	54.56	49.45	73.64	42	o10y	
r50j	53.64	39.15	64.89	75.79	59	o40y	
r75j	67.01	21.26	82.83	85.52	76	o69y	
j00g	86.18	-4.38	108.53	108.62	92	o98y	
j25g	69.73	-29.89	83.06	88.28	110	y34l	
j50g	57.03	-48.31	63.49	79.78	127	y69l	
j75g	47.73	-60.33	42.64	73.88	145	l03c	
g00b	50.59	-49.08	15.74	51.54	162	l23c	
g25b	52.97	-39.7	-6.72	40.27	190	l55c	
g50b	54.85	-32.33	-24.35	40.48	217	l87c	
g75b	49.92	-17.29	-36.02	39.96	244	c20v	
b00r	40.91	1.28	-42.35	42.37	272	c53v	
b25r	26.81	30.38	-52.26	60.45	300	c87v	
b50r	32.52	69.06	-42.14	80.9	329	v68m	
b75r	39.48	71.47	-3.69	71.57	357	m34o	



Siehe ähnliche Dateien: <http://www.ps.bam.de/Fg64/>; www.ps.bam.de/Fg64/HTM
 Technische Information: <http://www.ps.bam.de> Version 2.1, io=1,1, ColSpx=0

BAM-Registrierung: 20081001-Fg64/10L/L64g00NP.PDF/ .PS BAM-Material: Code=rh4ta
 Anwendung für Beurteilung und Messung von Drucker- oder Monitorssystemen

Ein und Ausgabe: Farbmetrisches Drucker-Reflektiv-System FRS12_95a, L*=12_95 für relativen CIELAB-Buntton $h^* = lab^*h^* = h_{ab}/360 = 0.402$ $u^*_e = j75g$

Daten für jede Farbe:

lab^*ch^* und lab^*icu^*

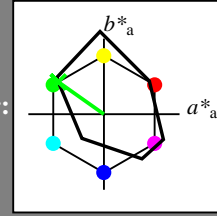
Bunttontexte:

$u^*_e = j75g$ $u^*_d = i03c$

Kontrastreduzierungsfaktor:

$c_R = 1.0$

Dreiecks-Helligkeit i^*



FRS12_95a; adaptierte CIELAB-Daten

	u^*_e	$L^*=L^*_a$	a^*_a	b^*_a	$C^*_{ab,a}$	$h^*_{ab,a}$
O _{Ma}	38.06	60.0	44.0	74.4	36	
Y _{Ma}	86.77	-5.17	109.32	109.44	93	
L _{Ma}	47.13	-62.67	48.24	79.09	142	
C _{Ma}	55.66	-29.14	-31.99	43.27	228	
V _{Ma}	17.15	50.3	-59.04	77.57	310	
M _{Ma}	40.37	78.64	-33.5	85.48	337	
N _{Ma}	11.58	0.0	0.0	0.0	0	
W _{Ma}	95.02	0.0	0.0	0.0	0	
R _{Ma}	39.92	58.74	27.99	65.07	25	
J _{Ma}	81.26	-2.89	71.56	71.62	92	
G _{Ma}	52.23	-42.42	13.6	44.55	162	
B _{Ma}	30.57	1.41	-46.47	46.49	272	

Daten für Maximalfarbe (Ma):

$LAB^*LAB^*_{Ma}$: 48 -60 43

$LAB^*LCH^*_{Ma}$: 48 74 144

$lab^*rgb^*_{Ma}$: 0.25 1.0 0.0

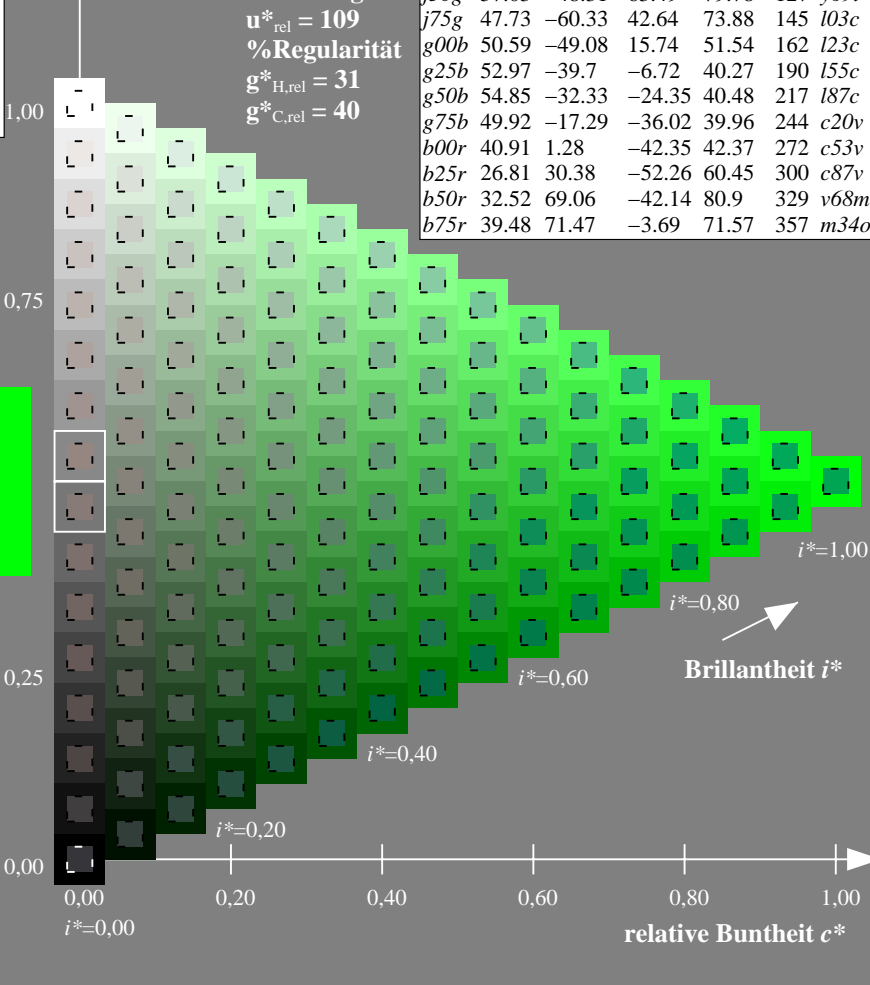
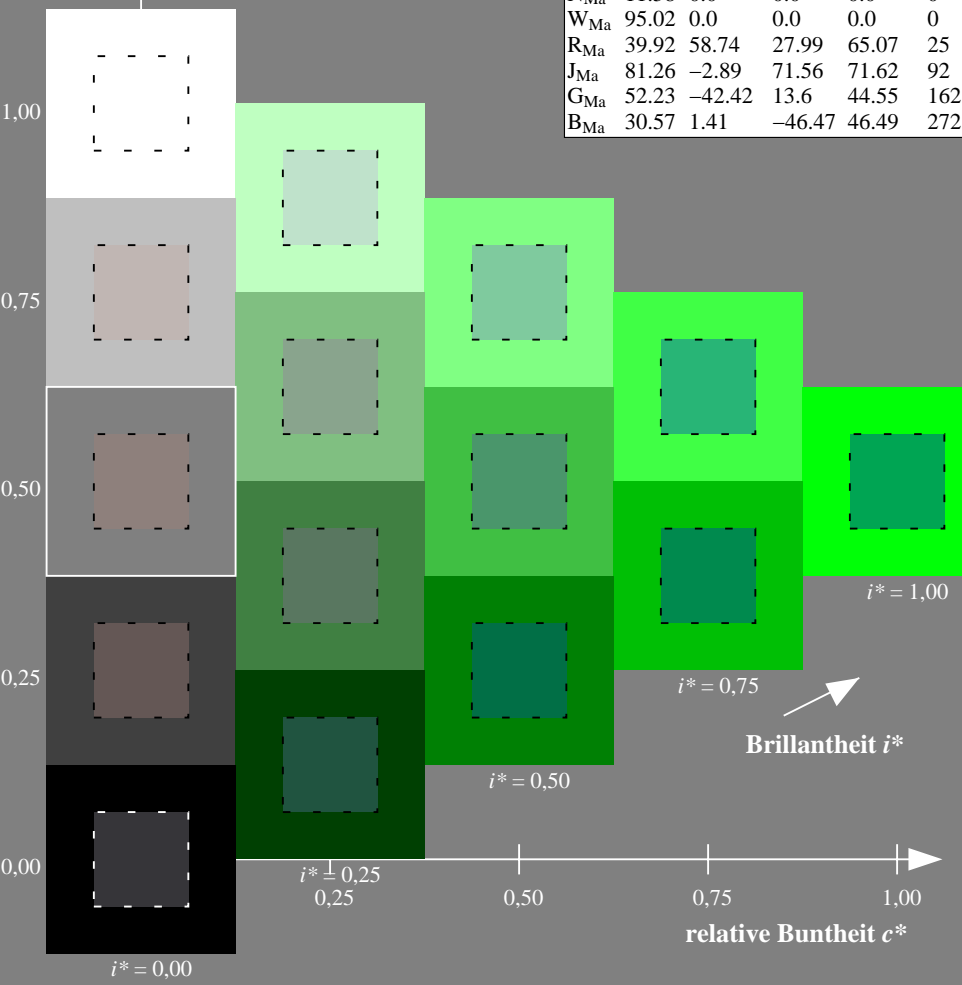
$lab^*olv^*_{Ma}$: 0.0 1.0 0.03

Dreiecks-Helligkeit i^*

%Umfang
 $u^*_{rel} = 109$
 %Regularität
 $g^*_{H,rel} = 31$
 $g^*_{C,rel} = 40$

FRS12_95a; adaptierte CIELAB-Daten

	u^*_e	$L^*=L^*_a$	a^*_a	b^*_a	$C^*_{ab,a}$	$h^*_{ab,a}$	u^*_d
r00j	38.47	63.32	30.17	70.15	25	m81o	
r25j	42.12	54.56	49.45	73.64	42	o10y	
r50j	53.64	39.15	64.89	75.79	59	o40y	
r75j	67.01	21.26	82.83	85.52	76	o69y	
j00g	86.18	-4.38	108.53	108.62	92	o98y	
j25g	69.73	-29.89	83.06	88.28	110	y34l	
j50g	57.03	-48.31	63.49	79.78	127	y69l	
j75g	47.73	-60.33	42.64	73.88	145	i03c	
g00b	50.59	-49.08	15.74	51.54	162	i23c	
g25b	52.97	-39.7	-6.72	40.27	190	i55c	
g50b	54.85	-32.33	-24.35	40.48	217	i87c	
g75b	49.92	-17.29	-36.02	39.96	244	c20v	
b00r	40.91	1.28	-42.35	42.37	272	c53v	
b25r	26.81	30.38	-52.26	60.45	300	c87v	
b50r	32.52	69.06	-42.14	80.9	329	v68m	
b75r	39.48	71.47	-3.69	71.57	357	m34o	



Siehe ähnliche Dateien: <http://www.ps.bam.de/Fg64/>; www.ps.bam.de/Fg64/HTM
 Technische Information: <http://www.ps.bam.de> Version 2.1, io=1,1, ColSpx=0

BAM-Registrierung: 20081001-Fg64/10L/L64g00NP.PDF/.PS BAM-Material: Code=rh4ta
 Anwendung für Beurteilung und Messung von Drucker- oder Monitorssystemen

Ein und Ausgabe: Farbmetrisches Drucker-Reflektiv-System FRS12_95a, L*=12_95 für relativen CIELAB-Buntton $h^* = lab^*h^* = h_{ab}/360 = 0.451$ $u^*_e = g00b$

Daten für jede Farbe:

lab^*tch^* und lab^*icu^*

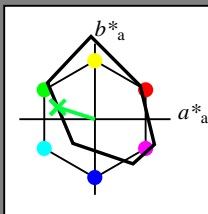
Bunttontexte:

$u^*_e = g00b$ $u^*_d = l23c$

Kontrastreduzierungsfaktor:

$c_R = 1.0$

Dreiecks-Helligkeit t^*



FRS12_95a; adaptierte CIELAB-Daten

	u^*_e	$L^*=L^*_a$	a^*_a	b^*_a	$C^*_{ab,a}$	$h^*_{ab,a}$
O _{Ma}	38.06	60.0	44.0	74.4	36	
Y _{Ma}	86.77	-5.17	109.32	109.44	93	
L _{Ma}	47.13	-62.67	48.24	79.09	142	
C _{Ma}	55.66	-29.14	-31.99	43.27	228	
V _{Ma}	17.15	50.3	-59.04	77.57	310	
M _{Ma}	40.37	78.64	-33.5	85.48	337	
N _{Ma}	11.58	0.0	0.0	0.0	0	
W _{Ma}	95.02	0.0	0.0	0.0	0	
R _{Ma}	39.92	58.74	27.99	65.07	25	
J _{Ma}	81.26	-2.89	71.56	71.62	92	
G _{Ma}	52.23	-42.42	13.6	44.55	162	
B _{Ma}	30.57	1.41	-46.47	46.49	272	

Daten für Maximalfarbe (Ma):

$LAB^*LAB^*_{Ma}$: 51 -49 16

$LAB^*LCH^*_{Ma}$: 51 52 162

$lab^*rgb^*_{Ma}$: 0.0 1.0 0.0

$lab^*olv^*_{Ma}$: 0.0 1.0 0.23

Dreiecks-Helligkeit t^*

%Umfang

$u^*_{rel} = 109$

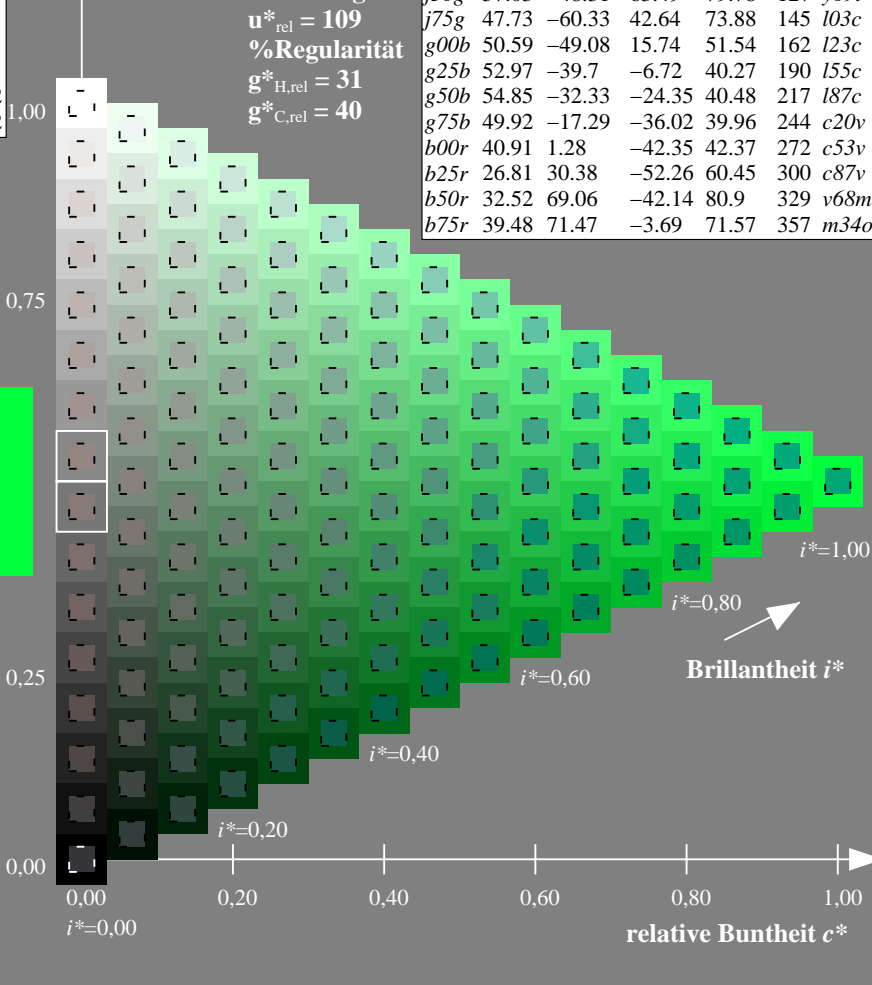
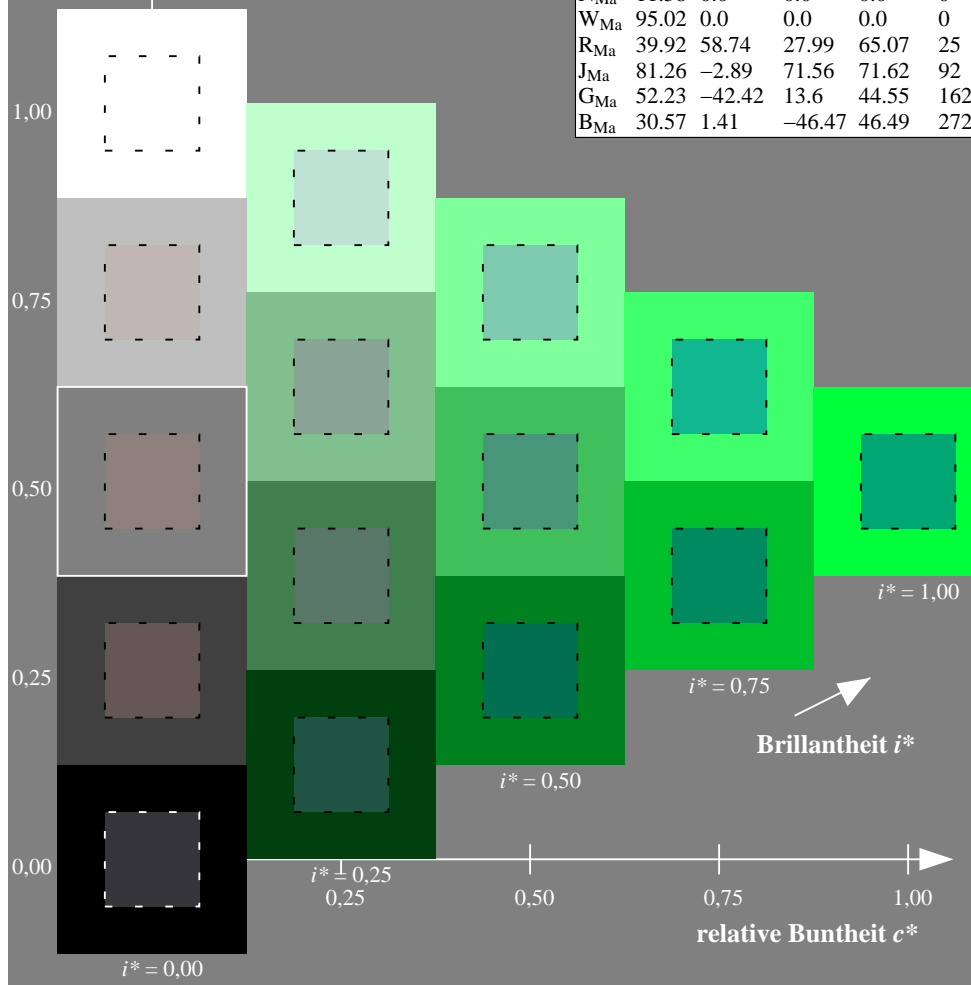
%Regularität

$g^*_{H,rel} = 31$

$g^*_{C,rel} = 40$

FRS12_95a; adaptierte CIELAB-Daten

	u^*_e	$L^*=L^*_a$	a^*_a	b^*_a	$C^*_{ab,a}$	$h^*_{ab,a}$	u^*_d
r00j	38.47	63.32	30.17	70.15	25	m81o	
r25j	42.12	54.56	49.45	73.64	42	o10y	
r50j	53.64	39.15	64.89	75.79	59	o40y	
r75j	67.01	21.26	82.83	85.52	76	o69y	
j00g	86.18	-4.38	108.53	108.62	92	o98y	
j25g	69.73	-29.89	83.06	88.28	110	y34l	
j50g	57.03	-48.31	63.49	79.78	127	y69l	
j75g	47.73	-60.33	42.64	73.88	145	l03c	
g00b	50.59	-49.08	15.74	51.54	162	l23c	
g25b	52.97	-39.7	-6.72	40.27	190	l55c	
g50b	54.85	-32.33	-24.35	40.48	217	l87c	
g75b	49.92	-17.29	-36.02	39.96	244	c20v	
b00r	40.91	1.28	-42.35	42.37	272	c53v	
b25r	26.81	30.38	-52.26	60.45	300	c87v	
b50r	32.52	69.06	-42.14	80.9	329	v68m	
b75r	39.48	71.47	-3.69	71.57	357	m34o	

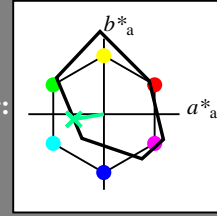


Siehe ähnliche Dateien: <http://www.ps.bam.de/Fg64/>; www.ps.bam.de/Fg64/HTM
 Technische Information: <http://www.ps.bam.de> Version 2.1, io=1,1, ColSpx=0

BAM-Registrierung: 20081001-Fg64/10L/L64g00NP.PDF/ .PS BAM-Material: Code=rhatha
 Anwendung für Beurteilung und Messung von Drucker- oder Monitorssystemen

Ein und Ausgabe: Farbmetrisches Drucker-Reflektiv-System FRS12_95a, L*=12_95 für relativen CIELAB-Buntton $h^* = lab^*h^* = h_{ab}/360 = 0.527$ $u^*_e = g25b$

Daten für jede Farbe:
 lab^*tch^* und lab^*icu^*
 Bunttontexte:
 $u^*_e = g25b$ $u^*_d = l55c$
 Kontrastreduzierungsfaktor:
 $c_R = 1.0$
 Dreiecks-Helligkeit i^*



FRS12_95a; adaptierte CIELAB-Daten

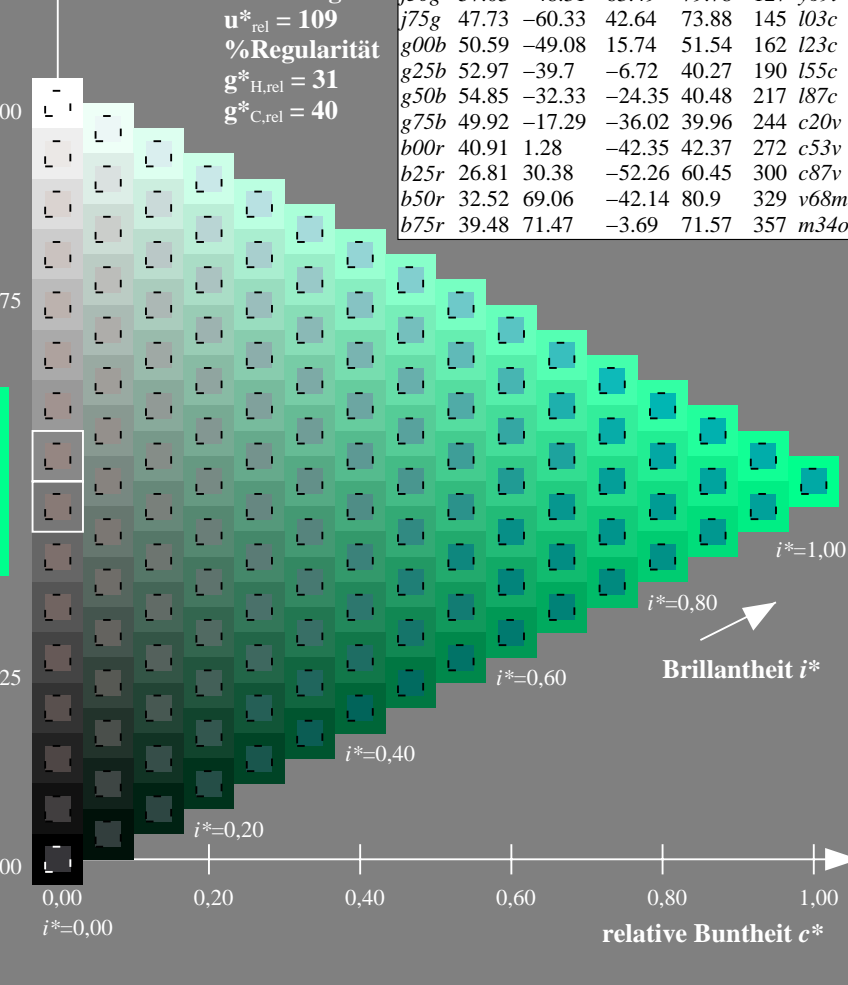
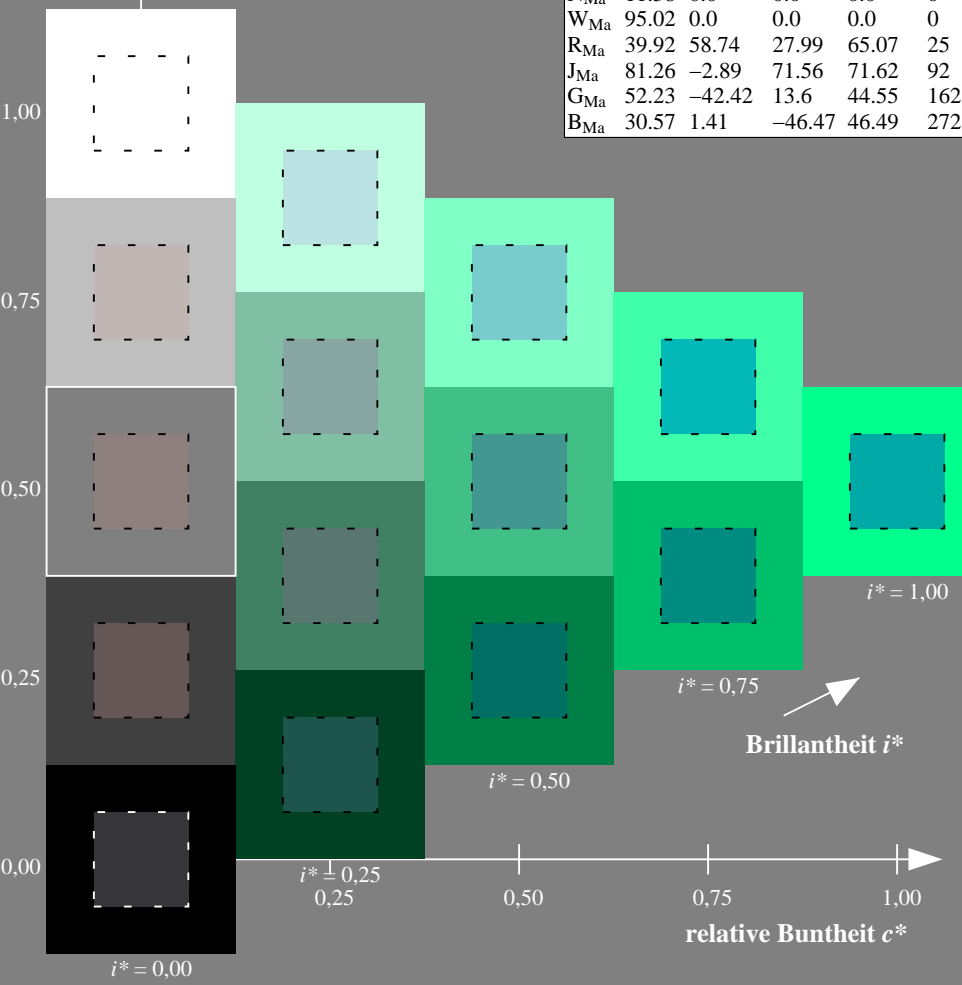
	u^*_e	$L^*=L^*_a$	a^*_a	b^*_a	$C^*_{ab,a}$	$h^*_{ab,a}$
O _{Ma}	38.06	60.0	44.0	74.4	36	
Y _{Ma}	86.77	-5.17	109.32	109.44	93	
L _{Ma}	47.13	-62.67	48.24	79.09	142	
C _{Ma}	55.66	-29.14	-31.99	43.27	228	
V _{Ma}	17.15	50.3	-59.04	77.57	310	
M _{Ma}	40.37	78.64	-33.5	85.48	337	
N _{Ma}	11.58	0.0	0.0	0.0	0	
W _{Ma}	95.02	0.0	0.0	0.0	0	
R _{Ma}	39.92	58.74	27.99	65.07	25	
J _{Ma}	81.26	-2.89	71.56	71.62	92	
G _{Ma}	52.23	-42.42	13.6	44.55	162	
B _{Ma}	30.57	1.41	-46.47	46.49	272	

Daten für Maximalfarbe (Ma):
 $LAB^*LAB^*_{Ma}$: 53 -40 -7
 $LAB^*LCH^*_{Ma}$: 53 40 189
 $lab^*rgb^*_{Ma}$: 0.0 1.0 0.5
 $lab^*olv^*_{Ma}$: 0.0 1.0 0.55

FRS12_95a; adaptierte CIELAB-Daten

	u^*_e	$L^*=L^*_a$	a^*_a	b^*_a	$C^*_{ab,a}$	$h^*_{ab,a}$	u^*_d
r00j	38.47	63.32	30.17	70.15	25	m81o	
r25j	42.12	54.56	49.45	73.64	42	o10y	
r50j	53.64	39.15	64.89	75.79	59	o40y	
r75j	67.01	21.26	82.83	85.52	76	o69y	
j00g	86.18	-4.38	108.53	108.62	92	o98y	
j25g	69.73	-29.89	83.06	88.28	110	y34l	
j50g	57.03	-48.31	63.49	79.78	127	y69l	
j75g	47.73	-60.33	42.64	73.88	145	l03c	
g00b	50.59	-49.08	15.74	51.54	162	l23c	
g25b	52.97	-39.7	-6.72	40.27	190	l55c	
g50b	54.85	-32.33	-24.35	40.48	217	l87c	
g75b	49.92	-17.29	-36.02	39.96	244	c20v	
b00r	40.91	1.28	-42.35	42.37	272	c53v	
b25r	26.81	30.38	-52.26	60.45	300	c87v	
b50r	32.52	69.06	-42.14	80.9	329	v68m	
b75r	39.48	71.47	-3.69	71.57	357	m34o	

Dreiecks-Helligkeit i^*
 %Umfang
 $u^*_{rel} = 109$
 %Regularität
 $g^*_{H,rel} = 31$
 $g^*_{C,rel} = 40$



Siehe ähnliche Dateien: <http://www.ps.bam.de/Fg64/>; www.ps.bam.de/Fg64/HTM
 Technische Information: <http://www.ps.bam.de> Version 2.1, io=1,1, ColSpX=0

BAM-Registrierung: 20081001-Fg64/10L/L64g00NP.PDF/ .PS BAM-Material: Code=rhatha
 Anwendung für Beurteilung und Messung von Drucker- oder Monitorssystemen

Ein und Ausgabe: Farbmetrisches Drucker-Reflektiv-System FRS12_95a, L*=12_95 für relative CIELAB-Buntton $h^* = lab^*h^* = h_{ab}/360 = 0.603$ $u^*_e = g50b$

Daten für jede Farbe:

lab^*tch^* und lab^*icu^*

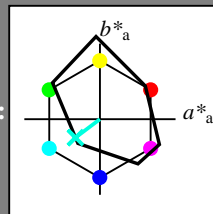
Bunttontexte:

$u^*_e = g50b$ $u^*_d = 187c$

Kontrastreduzierungsfaktor:

$c_R = 1.0$

Dreiecks-Helligkeit i^*



FRS12_95a; adaptierte CIELAB-Daten

	u^*_e	$L^*=L^*_a$	a^*_a	b^*_a	$C^*_{ab,a}$	$h^*_{ab,a}$
O _{Ma}	38.06	60.0	44.0	74.4	36	
Y _{Ma}	86.77	-5.17	109.32	109.44	93	
L _{Ma}	47.13	-62.67	48.24	79.09	142	
C _{Ma}	55.66	-29.14	-31.99	43.27	228	
V _{Ma}	17.15	50.3	-59.04	77.57	310	
M _{Ma}	40.37	78.64	-33.5	85.48	337	
N _{Ma}	11.58	0.0	0.0	0.0	0	
W _{Ma}	95.02	0.0	0.0	0.0	0	
R _{Ma}	39.92	58.74	27.99	65.07	25	
J _{Ma}	81.26	-2.89	71.56	71.62	92	
G _{Ma}	52.23	-42.42	13.6	44.55	162	
B _{Ma}	30.57	1.41	-46.47	46.49	272	

Daten für Maximalfarbe (Ma):

$LAB^*LAB^*_{Ma}$: 55 -32 -24

$LAB^*LCH^*_{Ma}$: 55 40 216

$lab^*rgb^*_{Ma}$: 0.0 1.0 1.0

$lab^*olv^*_{Ma}$: 0.0 1.0 0.87

Dreiecks-Helligkeit i^*

%Umfang

$u^*_{rel} = 109$

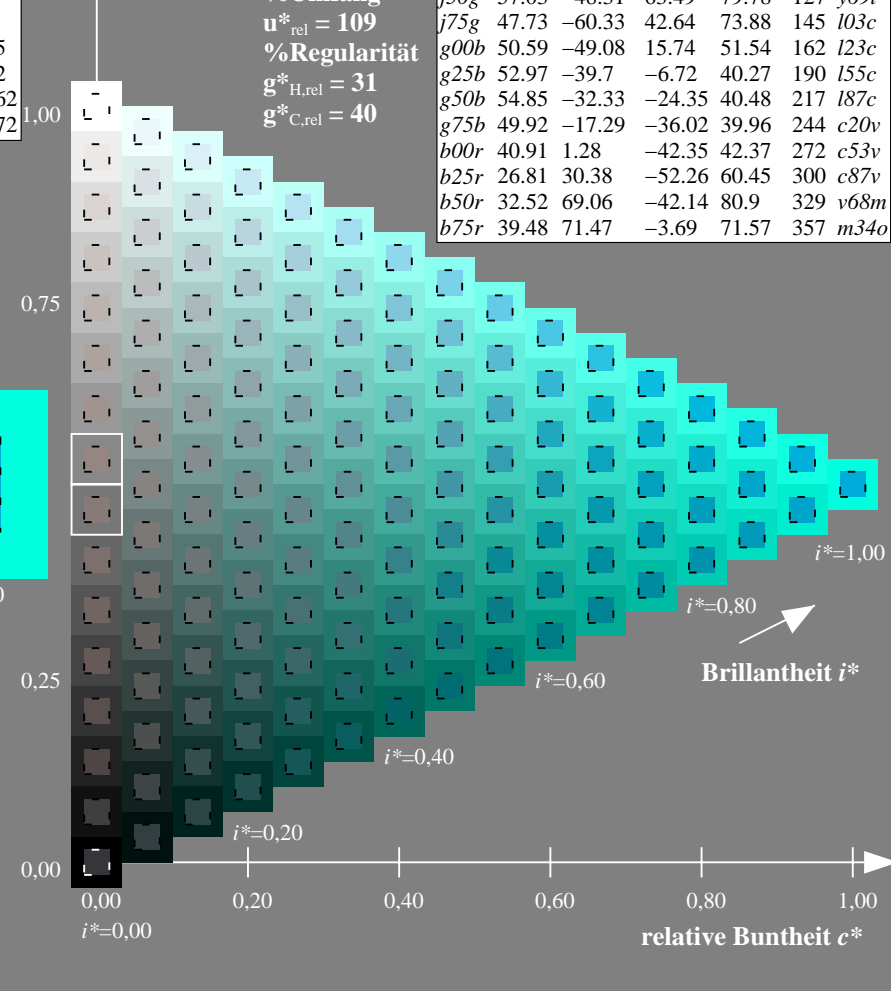
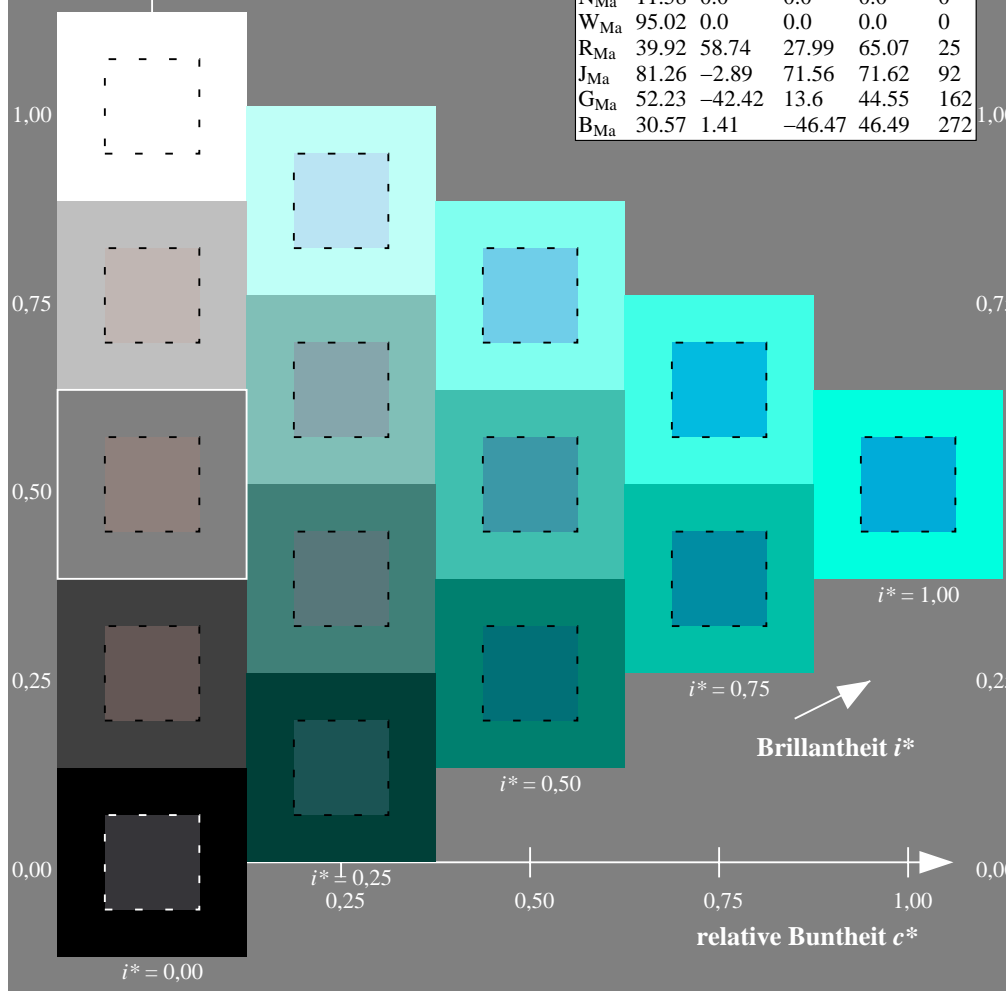
%Regularität

$g^*_{H,rel} = 31$

$g^*_{C,rel} = 40$

FRS12_95a; adaptierte CIELAB-Daten

	u^*_e	$L^*=L^*_a$	a^*_a	b^*_a	$C^*_{ab,a}$	$h^*_{ab,a}$	u^*_d
r00j	38.47	63.32	30.17	70.15	25	m81o	
r25j	42.12	54.56	49.45	73.64	42	o10y	
r50j	53.64	39.15	64.89	75.79	59	o40y	
r75j	67.01	21.26	82.83	85.52	76	o69y	
j00g	86.18	-4.38	108.53	108.62	92	o98y	
j25g	69.73	-29.89	83.06	88.28	110	y34l	
j50g	57.03	-48.31	63.49	79.78	127	y69l	
j75g	47.73	-60.33	42.64	73.88	145	l03c	
g00b	50.59	-49.08	15.74	51.54	162	l23c	
g25b	52.97	-39.7	-6.72	40.27	190	l55c	
g50b	54.85	-32.33	-24.35	40.48	217	l87c	
g75b	49.92	-17.29	-36.02	39.96	244	c20v	
b00r	40.91	1.28	-42.35	42.37	272	c53v	
b25r	26.81	30.38	-52.26	60.45	300	c87v	
b50r	32.52	69.06	-42.14	80.9	329	v68m	
b75r	39.48	71.47	-3.69	71.57	357	m34o	



Siehe ähnliche Dateien: <http://www.ps.bam.de/Fg64/>; www.ps.bam.de/Fg64/HTM
 Technische Information: <http://www.ps.bam.de> Version 2.1, io=1,1, ColSpx=0

BAM-Registrierung: 20081001-Fg64/10L/L64g00NP.PDF/ .PS BAM-Material: Code=rh4ta
 Anwendung für Beurteilung und Messung von Drucker- oder Monitorssystemen

Ein und Ausgabe: Farbmetrisches Drucker-Reflektiv-System FRS12_95a, L*=12_95 für relativen CIELAB-Buntton $h^* = lab^*h^* = h_{ab}/360 = 0.679$ $u^*_e = g75b$

Daten für jede Farbe:

lab^*tch^* und lab^*icu^*

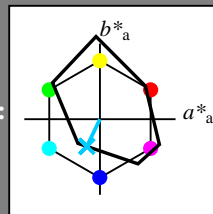
Bunttontexte:

$u^*_e = g75b$ $u^*_d = c20v$

Kontrastreduzierungsfaktor:

$c_R = 1.0$

Dreiecks-Helligkeit i^*



FRS12_95a; adaptierte CIELAB-Daten

	u^*_e	$L^*=L^*_a$	a^*_a	b^*_a	$C^*_{ab,a}$	$h^*_{ab,a}$
O _{Ma}	38.06	60.0	44.0	74.4	36	
Y _{Ma}	86.77	-5.17	109.32	109.44	93	
L _{Ma}	47.13	-62.67	48.24	79.09	142	
C _{Ma}	55.66	-29.14	-31.99	43.27	228	
V _{Ma}	17.15	50.3	-59.04	77.57	310	
M _{Ma}	40.37	78.64	-33.5	85.48	337	
N _{Ma}	11.58	0.0	0.0	0.0	0	
W _{Ma}	95.02	0.0	0.0	0.0	0	
R _{Ma}	39.92	58.74	27.99	65.07	25	
J _{Ma}	81.26	-2.89	71.56	71.62	92	
G _{Ma}	52.23	-42.42	13.6	44.55	162	
B _{Ma}	30.57	1.41	-46.47	46.49	272	

Daten für Maximalfarbe (Ma):

$LAB^*LAB^*_{Ma}$: 50 -17 -36

$LAB^*LCH^*_{Ma}$: 50 40 244

$lab^*rgb^*_{Ma}$: 0.0 0.5 1.0

$lab^*olv^*_{Ma}$: 0.0 0.8 1.0

Dreiecks-Helligkeit i^*

%Umfang

$u^*_{rel} = 109$

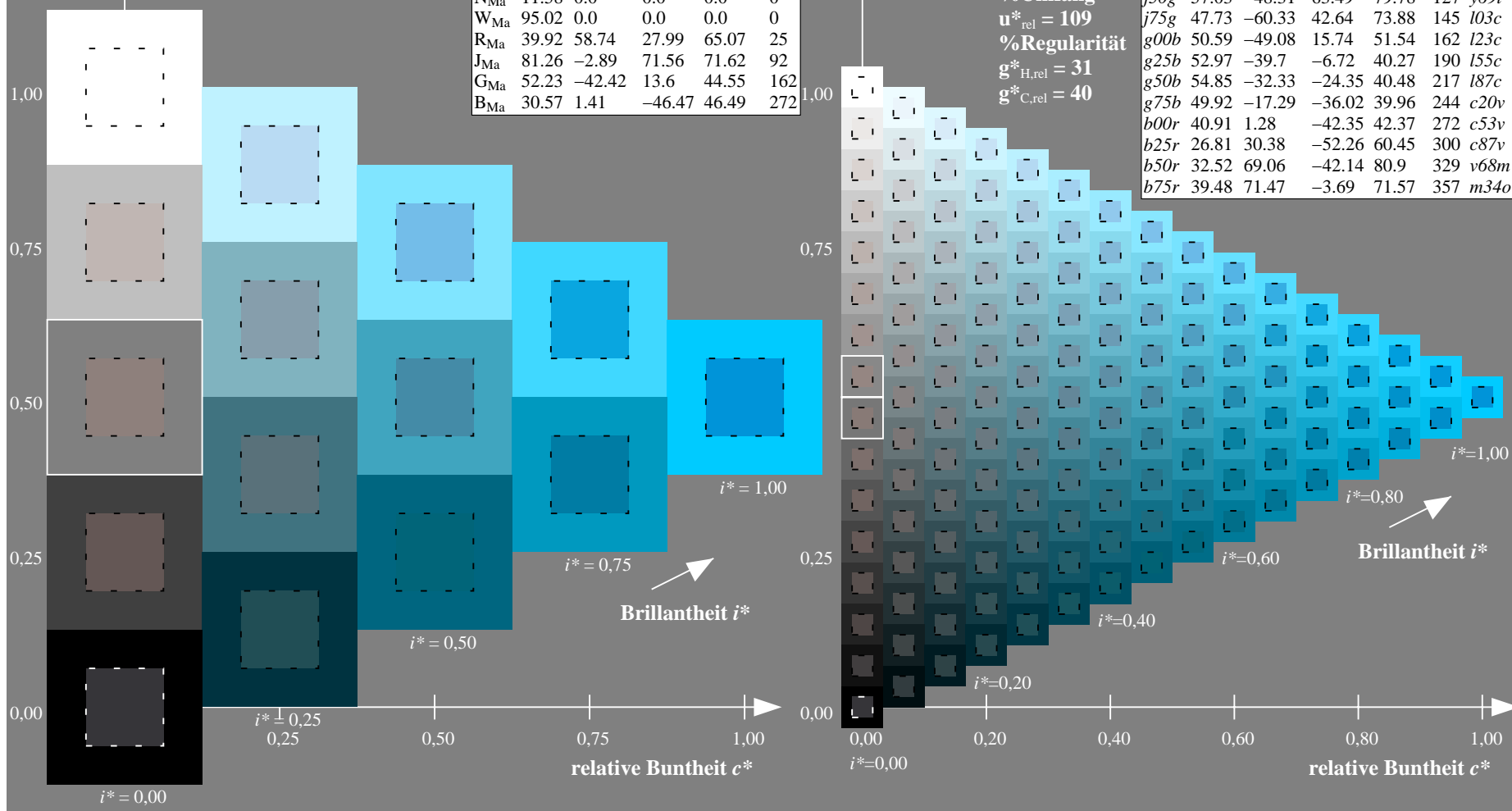
%Regularität

$g^*_{H,rel} = 31$

$g^*_{C,rel} = 40$

FRS12_95a; adaptierte CIELAB-Daten

	u^*_e	$L^*=L^*_a$	a^*_a	b^*_a	$C^*_{ab,a}$	$h^*_{ab,a}$	u^*_d
r00j	38.47	63.32	30.17	70.15	25	m81o	
r25j	42.12	54.56	49.45	73.64	42	o10y	
r50j	53.64	39.15	64.89	75.79	59	o40y	
r75j	67.01	21.26	82.83	85.52	76	o69y	
j00g	86.18	-4.38	108.53	108.62	92	o98y	
j25g	69.73	-29.89	83.06	88.28	110	y34l	
j50g	57.03	-48.31	63.49	79.78	127	y69l	
j75g	47.73	-60.33	42.64	73.88	145	l03c	
g00b	50.59	-49.08	15.74	51.54	162	l23c	
g25b	52.97	-39.7	-6.72	40.27	190	l55c	
g50b	54.85	-32.33	-24.35	40.48	217	l87c	
g75b	49.92	-17.29	-36.02	39.96	244	c20v	
b00r	40.91	1.28	-42.35	42.37	272	c53v	
b25r	26.81	30.38	-52.26	60.45	300	c87v	
b50r	32.52	69.06	-42.14	80.9	329	v68m	
b75r	39.48	71.47	-3.69	71.57	357	m34o	



Siehe ähnliche Dateien: <http://www.ps.bam.de/Fg64/>; [www.ps.bam.de/Fg64/Version 2.1, io=1,1, Colspx=0](http://www.ps.bam.de/Fg64/Version%202.1,%20io=1,1,Colspx=0)
 Technische Information: <http://www.ps.bam.de>

BAM-Registrierung: 20081001-Fg64/10L/L64g00NP.PDF/ .PS BAM-Material: Code=rhatha
 Anwendung für Beurteilung und Messung von Drucker- oder Monitorssystemen

Ein und Ausgabe: Farbmetrisches Drucker-Reflektiv-System FRS12_95a, L*=12_95 für relativen CIELAB-Buntton $h^* = lab^*h^* = h_{ab}/360 = 0.755$ $u^*_e = b00r$

Daten für jede Farbe:

lab^*tch^* und lab^*icu^*

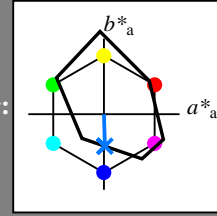
Bunttontexte:

$u^*_e = b00r$ $u^*_d = c53v$

Kontrastreduzierungsfaktor:

$c_R = 1.0$

Dreiecks-Helligkeit i^*



FRS12_95a; adaptierte CIELAB-Daten

	u^*_e	$L^*=L^*_a$	a^*_a	b^*_a	$C^*_{ab,a}$	$h^*_{ab,a}$
O _{Ma}	38.06	60.0	44.0	74.4	36	
Y _{Ma}	86.77	-5.17	109.32	109.44	93	
L _{Ma}	47.13	-62.67	48.24	79.09	142	
C _{Ma}	55.66	-29.14	-31.99	43.27	228	
V _{Ma}	17.15	50.3	-59.04	77.57	310	
M _{Ma}	40.37	78.64	-33.5	85.48	337	
N _{Ma}	11.58	0.0	0.0	0.0	0	
W _{Ma}	95.02	0.0	0.0	0.0	0	
R _{Ma}	39.92	58.74	27.99	65.07	25	
J _{Ma}	81.26	-2.89	71.56	71.62	92	
G _{Ma}	52.23	-42.42	13.6	44.55	162	
B _{Ma}	30.57	1.41	-46.47	46.49	272	

Daten für Maximalfarbe (Ma):

$LAB^*LAB^*_{Ma}$: 41 1 -42

$LAB^*LCH^*_{Ma}$: 41 42 271

$lab^*rgb^*_{Ma}$: 0.0 0.0 1.0

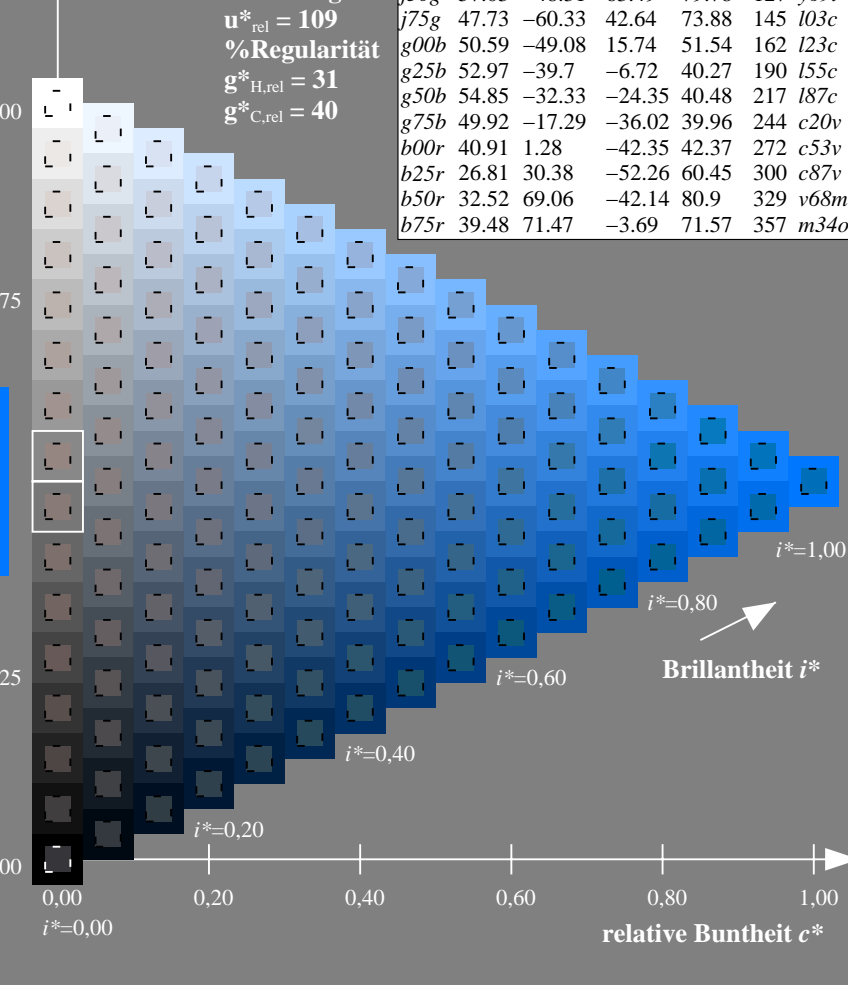
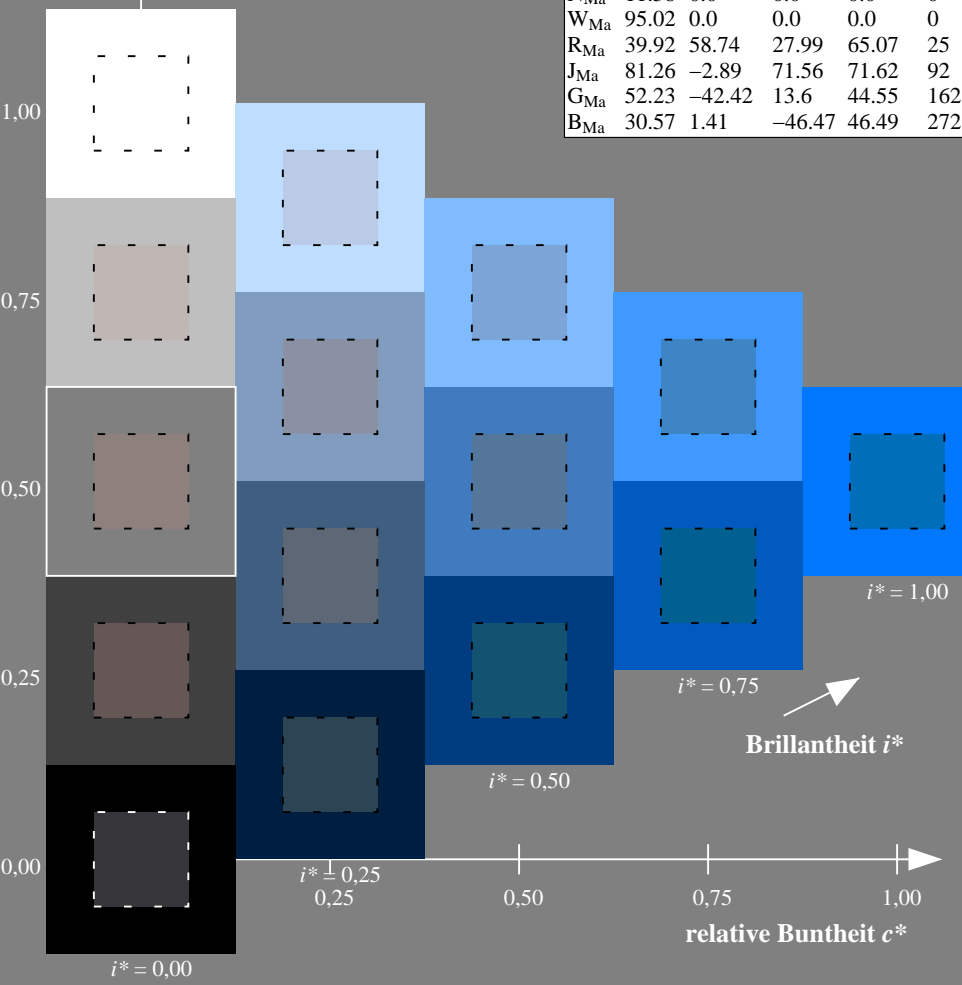
$lab^*olv^*_{Ma}$: 0.0 0.47 1.0

Dreiecks-Helligkeit i^*

%Umfang
 $u^*_{rel} = 109$
 %Regularität
 $g^*_{H,rel} = 31$
 $g^*_{C,rel} = 40$

FRS12_95a; adaptierte CIELAB-Daten

	u^*_e	$L^*=L^*_a$	a^*_a	b^*_a	$C^*_{ab,a}$	$h^*_{ab,a}$	u^*_d
r00j	38.47	63.32	30.17	70.15	25	m81o	
r25j	42.12	54.56	49.45	73.64	42	o10y	
r50j	53.64	39.15	64.89	75.79	59	o40y	
r75j	67.01	21.26	82.83	85.52	76	o69y	
j00g	86.18	-4.38	108.53	108.62	92	o98y	
j25g	69.73	-29.89	83.06	88.28	110	y34l	
j50g	57.03	-48.31	63.49	79.78	127	y69l	
j75g	47.73	-60.33	42.64	73.88	145	l03c	
g00b	50.59	-49.08	15.74	51.54	162	l23c	
g25b	52.97	-39.7	-6.72	40.27	190	l55c	
g50b	54.85	-32.33	-24.35	40.48	217	l87c	
g75b	49.92	-17.29	-36.02	39.96	244	c20v	
b00r	40.91	1.28	-42.35	42.37	272	c53v	
b25r	26.81	30.38	-52.26	60.45	300	c87v	
b50r	32.52	69.06	-42.14	80.9	329	v68m	
b75r	39.48	71.47	-3.69	71.57	357	m34o	

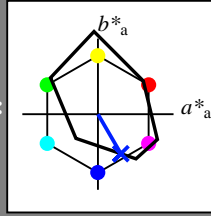


Siehe ähnliche Dateien: <http://www.ps.bam.de/Fg64/>; [www.ps.bam.de/Fg64/Version 2.1, io=1,1, Colspx=0](http://www.ps.bam.de/Fg64/Version%202.1,%20io=1,1,Colspx=0)
 Technische Information: <http://www.ps.bam.de>

BAM-Registrierung: 20081001-Fg64/10L/L64g00NP.PDF/ .PS BAM-Material: Code=rh4ta
 Anwendung für Beurteilung und Messung von Drucker- oder Monitorssystemen

Ein und Ausgabe: Farbmetrisches Drucker-Reflektiv-System FRS12_95a, L*=12_95 für relativen CIELAB-Buntton $h^* = lab^*h^* = h_{ab}/360 = 0.834$ $u^*_e = b25r$

Daten für jede Farbe:
 lab^*tch^* und lab^*icu^*
 Bunttontexte:
 $u^*_e = b25r$ $u^*_d = c87v$
 Kontrastreduzierungsfaktor:
 $c_R = 1.0$
 Dreiecks-Helligkeit i^*



FRS12_95a; adaptierte CIELAB-Daten

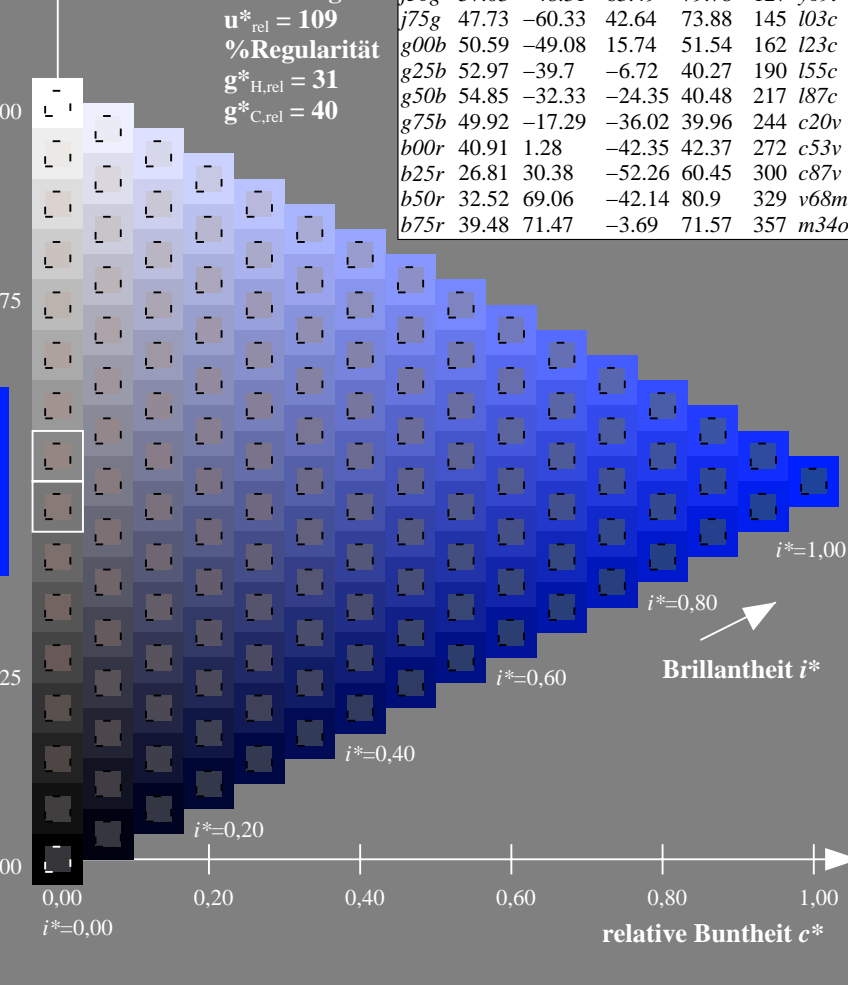
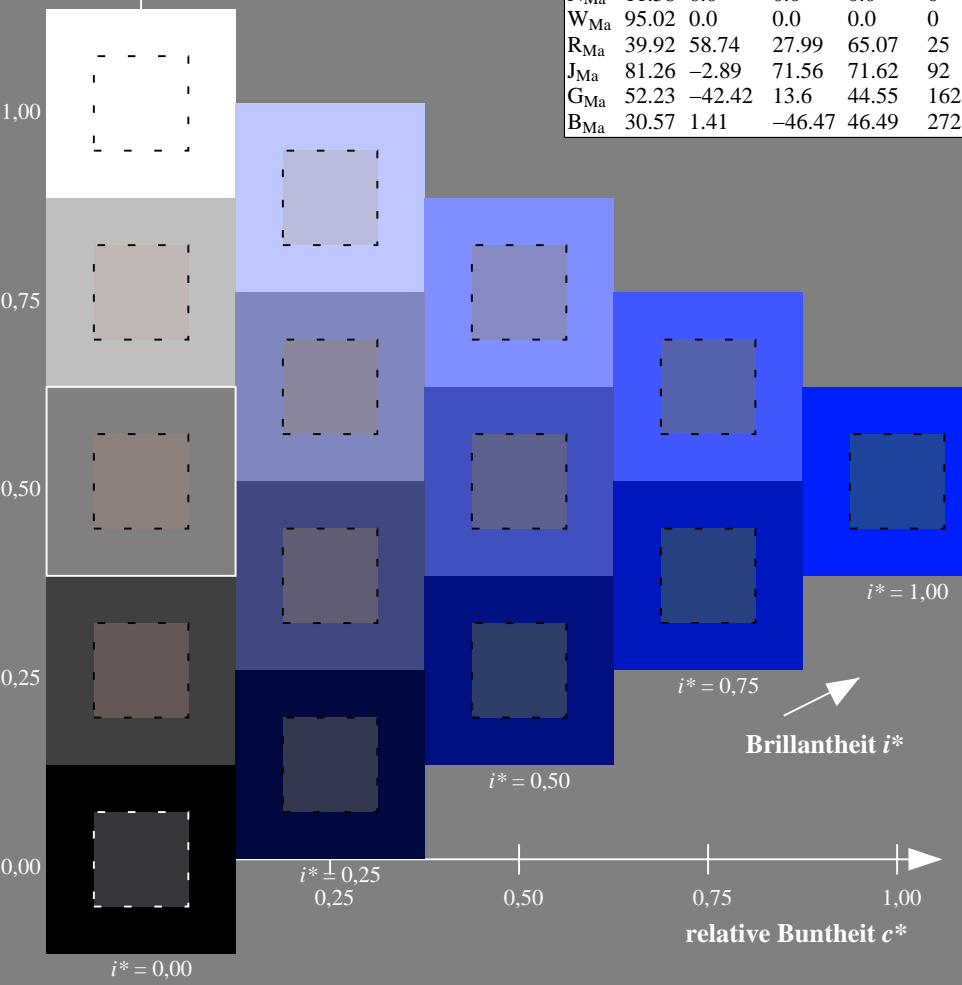
	u^*_e	$L^*=L^*_a$	a^*_a	b^*_a	$C^*_{ab,a}$	$h^*_{ab,a}$
O _{Ma}	38.06	60.0	44.0	74.4	36	
Y _{Ma}	86.77	-5.17	109.32	109.44	93	
L _{Ma}	47.13	-62.67	48.24	79.09	142	
C _{Ma}	55.66	-29.14	-31.99	43.27	228	
V _{Ma}	17.15	50.3	-59.04	77.57	310	
M _{Ma}	40.37	78.64	-33.5	85.48	337	
N _{Ma}	11.58	0.0	0.0	0.0	0	
W _{Ma}	95.02	0.0	0.0	0.0	0	
R _{Ma}	39.92	58.74	27.99	65.07	25	
J _{Ma}	81.26	-2.89	71.56	71.62	92	
G _{Ma}	52.23	-42.42	13.6	44.55	162	
B _{Ma}	30.57	1.41	-46.47	46.49	272	

Daten für Maximalfarbe (Ma):
 $LAB^*LAB^*_{Ma}: 27\ 30\ -52$
 $LAB^*LCH^*_{Ma}: 27\ 60\ 300$
 $lab^*rgb^*_{Ma}: 0.5\ 0.0\ 1.0$
 $lab^*olv^*_{Ma}: 0.0\ 0.12\ 1.0$

FRS12_95a; adaptierte CIELAB-Daten

	u^*_e	$L^*=L^*_a$	a^*_a	b^*_a	$C^*_{ab,a}$	$h^*_{ab,a}$	u^*_d
r00j	38.47	63.32	30.17	70.15	25	m81o	
r25j	42.12	54.56	49.45	73.64	42	o10y	
r50j	53.64	39.15	64.89	75.79	59	o40y	
r75j	67.01	21.26	82.83	85.52	76	o69y	
j00g	86.18	-4.38	108.53	108.62	92	o98y	
j25g	69.73	-29.89	83.06	88.28	110	y34l	
j50g	57.03	-60.31	63.49	79.78	127	y69l	
j75g	47.73	-48.33	42.64	73.88	145	l03c	
g00b	50.59	-49.08	15.74	51.54	162	l23c	
g25b	52.97	-39.7	-6.72	40.27	190	l55c	
g50b	54.85	-32.33	-24.35	40.48	217	l87c	
g75b	49.92	-17.29	-36.02	39.96	244	c20v	
b00r	40.91	1.28	-42.35	42.37	272	c53v	
b25r	26.81	30.38	-52.26	60.45	300	c87v	
b50r	32.52	69.06	-42.14	80.9	329	v68m	
b75r	39.48	71.47	-3.69	71.57	357	m34o	

Dreiecks-Helligkeit i^*
 %Umfang
 $u^*_{rel} = 109$
 %Regularität
 $g^*_{H,rel} = 31$
 $g^*_{C,rel} = 40$

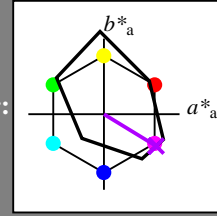


Siehe ähnliche Dateien: <http://www.ps.bam.de/Fg64/>; [www.ps.bam.de/Fg64/Version 2.1, io=1,1, Colspx=0](http://www.ps.bam.de/Fg64/Version%202.1,%20io=1,1,Colspx=0)
 Technische Information: <http://www.ps.bam.de>

BAM-Registrierung: 20081001-Fg64/10L/L64g00NP.PDF/ .PS BAM-Material: Code=rh4ta
 Anwendung für Beurteilung und Messung von Drucker- oder Monitorssystemen

Ein und Ausgabe: Farbmetrisches Drucker-Reflexiv-System FRS12_95a, L*=12_95 für relativen CIELAB-Buntton $h^* = lab^*h^* = h_{ab}/360 = 0.913$ $u^*_e = b50r$

Daten für jede Farbe:
 lab^*tch^* und lab^*icu^*
 Bunttontexte:
 $u^*_e = b50r$ $u^*_d = v68m$
 Kontrastreduzierungsfaktor:
 $c_R = 1.0$
 Dreiecks-Helligkeit i^*



FRS12_95a; adaptierte CIELAB-Daten

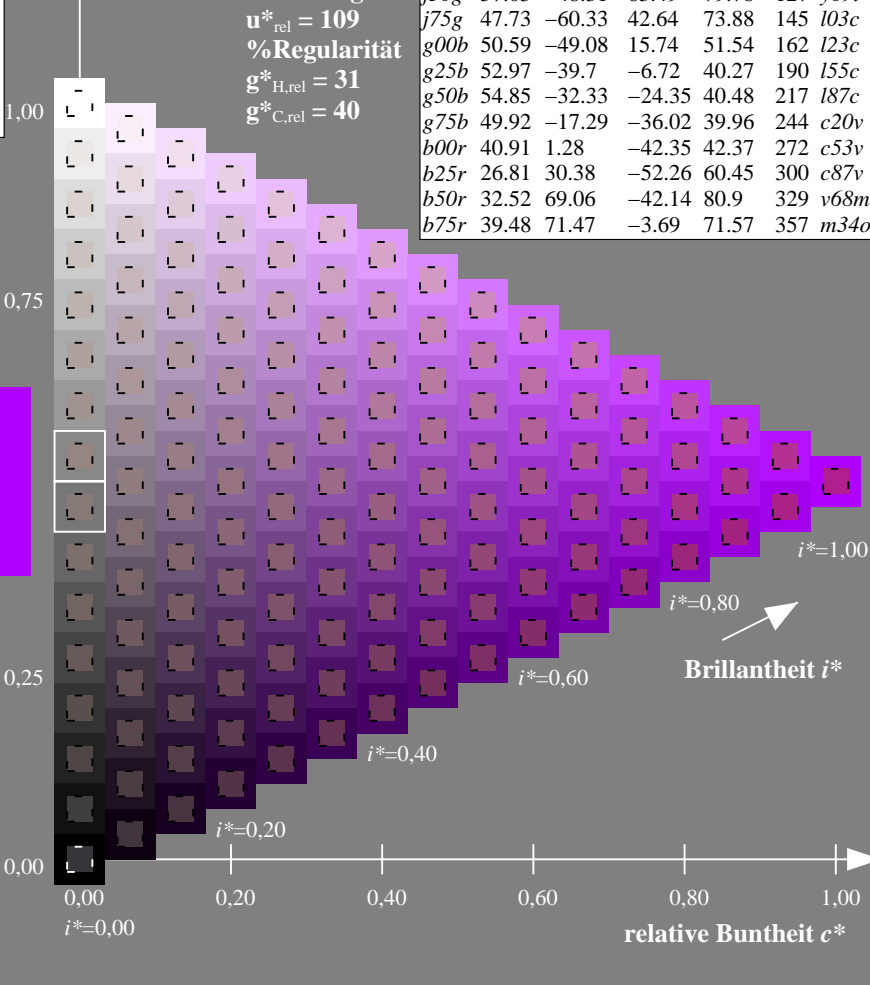
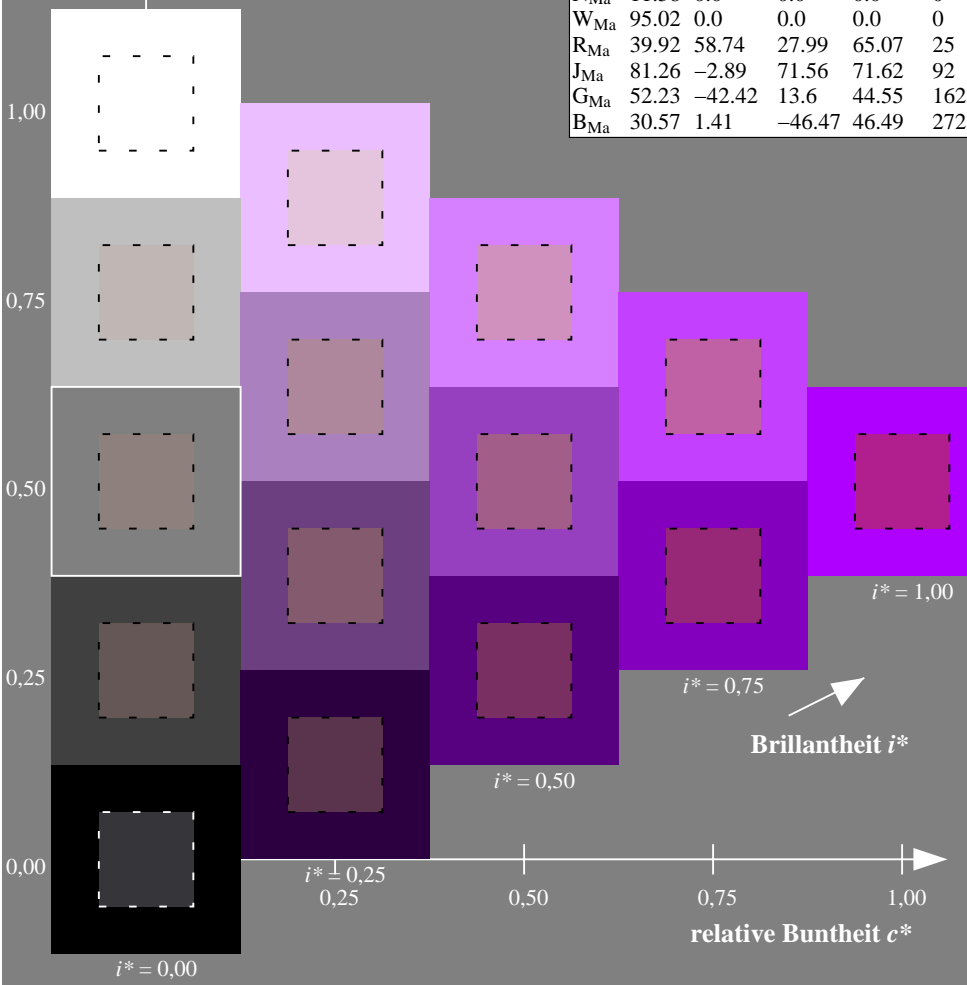
	u^*_e	$L^*=L^*_a$	a^*_a	b^*_a	$C^*_{ab,a}$	$h^*_{ab,a}$
O _{Ma}	38.06	60.0	44.0	74.4	36	
Y _{Ma}	86.77	-5.17	109.32	109.44	93	
L _{Ma}	47.13	-62.67	48.24	79.09	142	
C _{Ma}	55.66	-29.14	-31.99	43.27	228	
V _{Ma}	17.15	50.3	-59.04	77.57	310	
M _{Ma}	40.37	78.64	-33.5	85.48	337	
N _{Ma}	11.58	0.0	0.0	0.0	0	
W _{Ma}	95.02	0.0	0.0	0.0	0	
R _{Ma}	39.92	58.74	27.99	65.07	25	
J _{Ma}	81.26	-2.89	71.56	71.62	92	
G _{Ma}	52.23	-42.42	13.6	44.55	162	
B _{Ma}	30.57	1.41	-46.47	46.49	272	

Daten für Maximalfarbe (Ma):
 $LAB^*LAB^*_Ma: 33\ 69\ -42$
 $LAB^*LCH^*_Ma: 33\ 81\ 328$
 $lab^*rgb^*_Ma: 1.0\ 0.0\ 1.0$
 $lab^*olv^*_Ma: 0.69\ 0.0\ 1.0$

FRS12_95a; adaptierte CIELAB-Daten

	u^*_e	$L^*=L^*_a$	a^*_a	b^*_a	$C^*_{ab,a}$	$h^*_{ab,a}$	u^*_d
r00j	38.47	63.32	30.17	70.15	25	m81o	
r25j	42.12	54.56	49.45	73.64	42	o10y	
r50j	53.64	39.15	64.89	75.79	59	o40y	
r75j	67.01	21.26	82.83	85.52	76	o69y	
j00g	86.18	-4.38	108.53	108.62	92	o98y	
j25g	69.73	-29.89	83.06	88.28	110	y34l	
j50g	57.03	-60.31	63.49	79.78	127	y69l	
j75g	47.73	-48.33	42.64	73.88	145	l03c	
g00b	50.59	-49.08	15.74	51.54	162	l23c	
g25b	52.97	-39.7	-6.72	40.27	190	l55c	
g50b	54.85	-32.33	-24.35	40.48	217	l87c	
g75b	49.92	-17.29	-36.02	39.96	244	c20v	
b00r	40.91	1.28	-42.35	42.37	272	c53v	
b25r	26.81	30.38	-52.26	60.45	300	c87v	
b50r	32.52	69.06	-42.14	80.9	329	v68m	
b75r	39.48	71.47	-3.69	71.57	357	m34o	

Dreiecks-Helligkeit i^*
 %Umfang
 $u^*_{rel} = 109$
 %Regularität
 $g^*_{H,rel} = 31$
 $g^*_{C,rel} = 40$

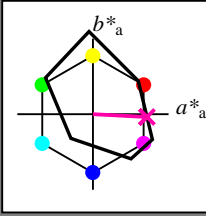


Siehe ähnliche Dateien: <http://www.ps.bam.de/Fg64/>; [www.ps.bam.de/Version 2.1](http://www.ps.bam.de/Version2.1), io=1,1, ColSpX=0
 Technische Information: <http://www.ps.bam.de>

BAM-Registrierung: 20081001-Fg64/10L/L64g00NP.PDF/ .PS BAM-Material: Code=rhatha
 Anwendung für Beurteilung und Messung von Drucker- oder Monitorssystemen

Ein und Ausgabe: Farbmetrisches Drucker-Reflektiv-System FRS12_95a, L*=12_95 für relativen CIELAB-Buntton $h^* = lab^*h^* = h_{ab}/360 = 0.992$ $u^*_e = b75r$

Daten für jede Farbe:
 lab^*tch^* und lab^*icu^*
 Bunttontexte:
 $u^*_e = b75r$ $u^*_d = m34o$
 Kontrastreduzierungsfaktor:
 $c_R = 1.0$
 Dreiecks-Helligkeit i^*



FRS12_95a; adaptierte CIELAB-Daten

	u^*_e	$L^*=L^*_a$	a^*_a	b^*_a	$C^*_{ab,a}$	$h^*_{ab,a}$
O _{Ma}	38.06	60.0	44.0	74.4	36	
Y _{Ma}	86.77	-5.17	109.32	109.44	93	
L _{Ma}	47.13	-62.67	48.24	79.09	142	
C _{Ma}	55.66	-29.14	-31.99	43.27	228	
V _{Ma}	17.15	50.3	-59.04	77.57	310	
M _{Ma}	40.37	78.64	-33.5	85.48	337	
N _{Ma}	11.58	0.0	0.0	0.0	0	
W _{Ma}	95.02	0.0	0.0	0.0	0	
R _{Ma}	39.92	58.74	27.99	65.07	25	
J _{Ma}	81.26	-2.89	71.56	71.62	92	
G _{Ma}	52.23	-42.42	13.6	44.55	162	
B _{Ma}	30.57	1.41	-46.47	46.49	272	

Daten für Maximalfarbe (Ma):

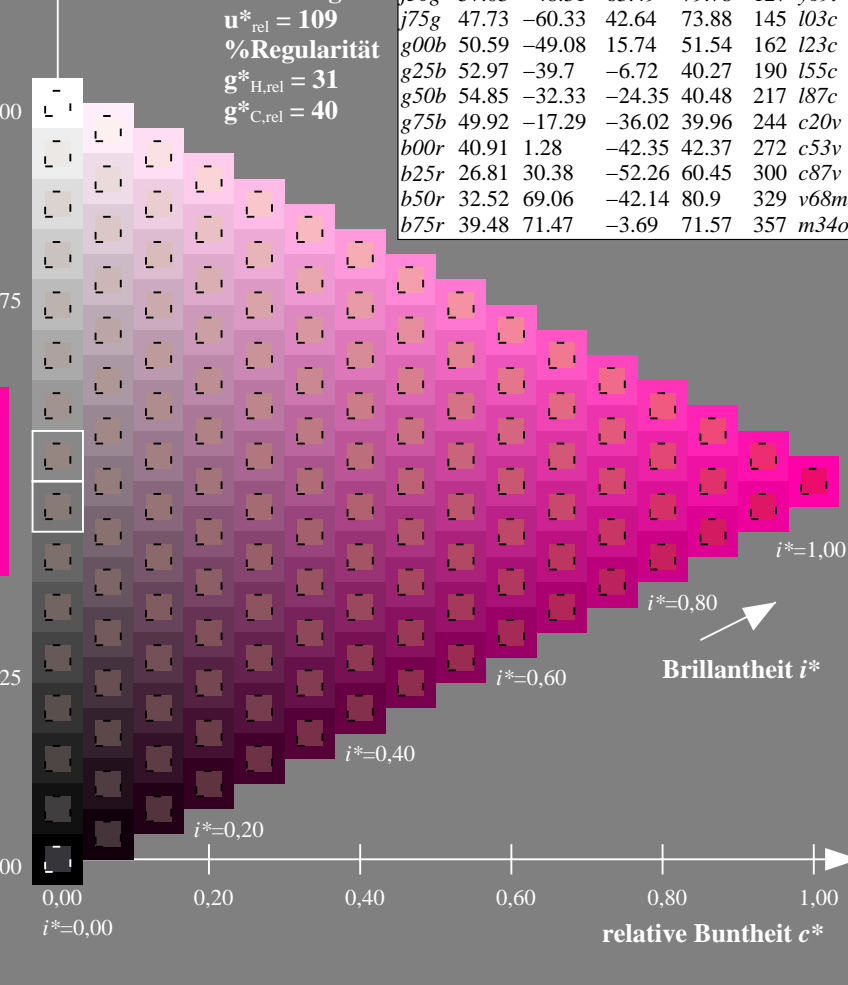
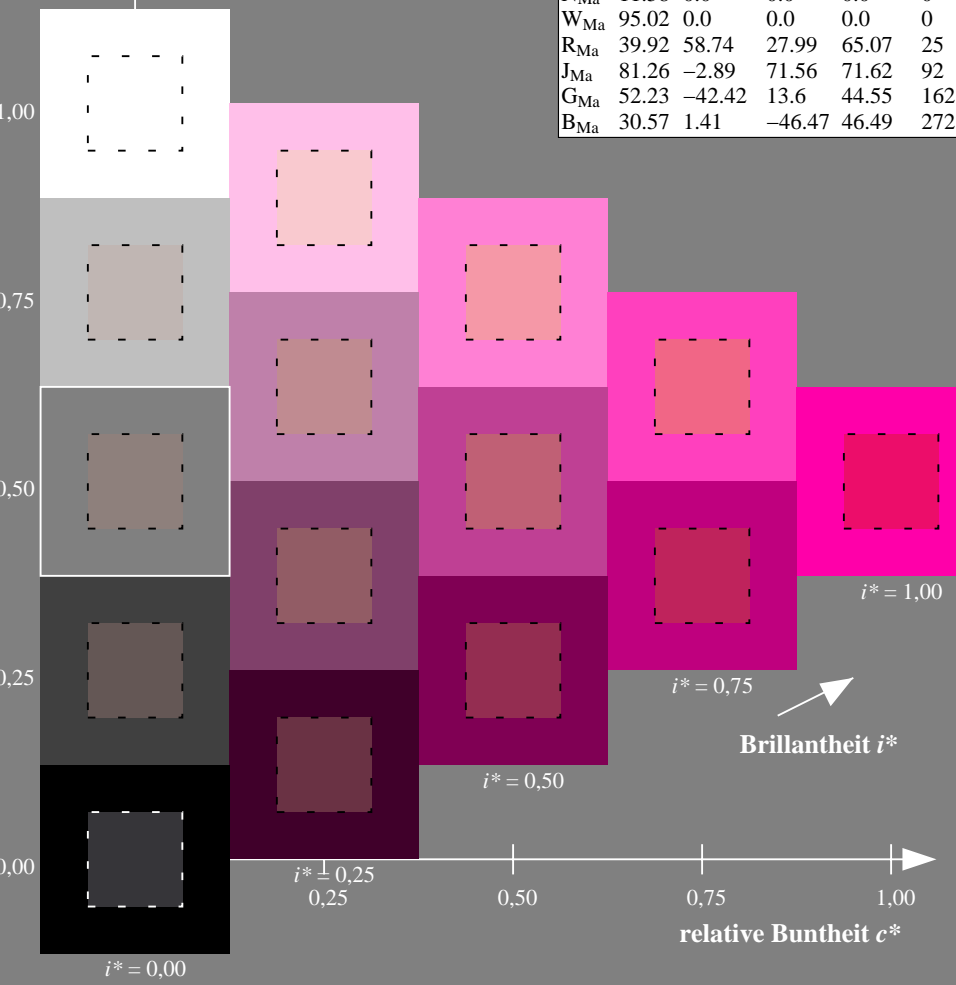
$LAB^*LAB^*_{Ma}$: 39 71 -4
 $LAB^*LCH^*_{Ma}$: 39 72 357
 $lab^*rgb^*_{Ma}$: 1.0 0.0 0.5
 $lab^*olv^*_{Ma}$: 1.0 0.0 0.66

FRS12_95a; adaptierte CIELAB-Daten

	u^*_e	$L^*=L^*_a$	a^*_a	b^*_a	$C^*_{ab,a}$	$h^*_{ab,a}$	u^*_d
r00j	38.47	63.32	30.17	70.15	25	m81o	
r25j	42.12	54.56	49.45	73.64	42	o10y	
r50j	53.64	39.15	64.89	75.79	59	o40y	
r75j	67.01	21.26	82.83	85.52	76	o69y	
j00g	86.18	-4.38	108.53	108.62	92	o98y	
j25g	69.73	-29.89	83.06	88.28	110	y34l	
j50g	57.03	-48.31	63.49	79.78	127	y69l	
j75g	47.73	-60.33	42.64	73.88	145	l03c	
g00b	50.59	-49.08	15.74	51.54	162	l23c	
g25b	52.97	-39.7	-6.72	40.27	190	l55c	
g50b	54.85	-32.33	-24.35	40.48	217	l87c	
g75b	49.92	-17.29	-36.02	39.96	244	c20v	
b00r	40.91	1.28	-42.35	42.37	272	c53v	
b25r	26.81	30.38	-52.26	60.45	300	c87v	
b50r	32.52	69.06	-42.14	80.9	329	v68m	
b75r	39.48	71.47	-3.69	71.57	357	m34o	

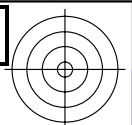
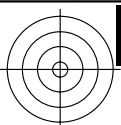
Dreiecks-Helligkeit i^*

%Umfang
 $u^*_{rel} = 109$
 %Regularität
 $g^*_{H,rel} = 31$
 $g^*_{C,rel} = 40$



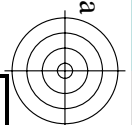
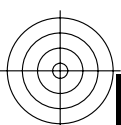
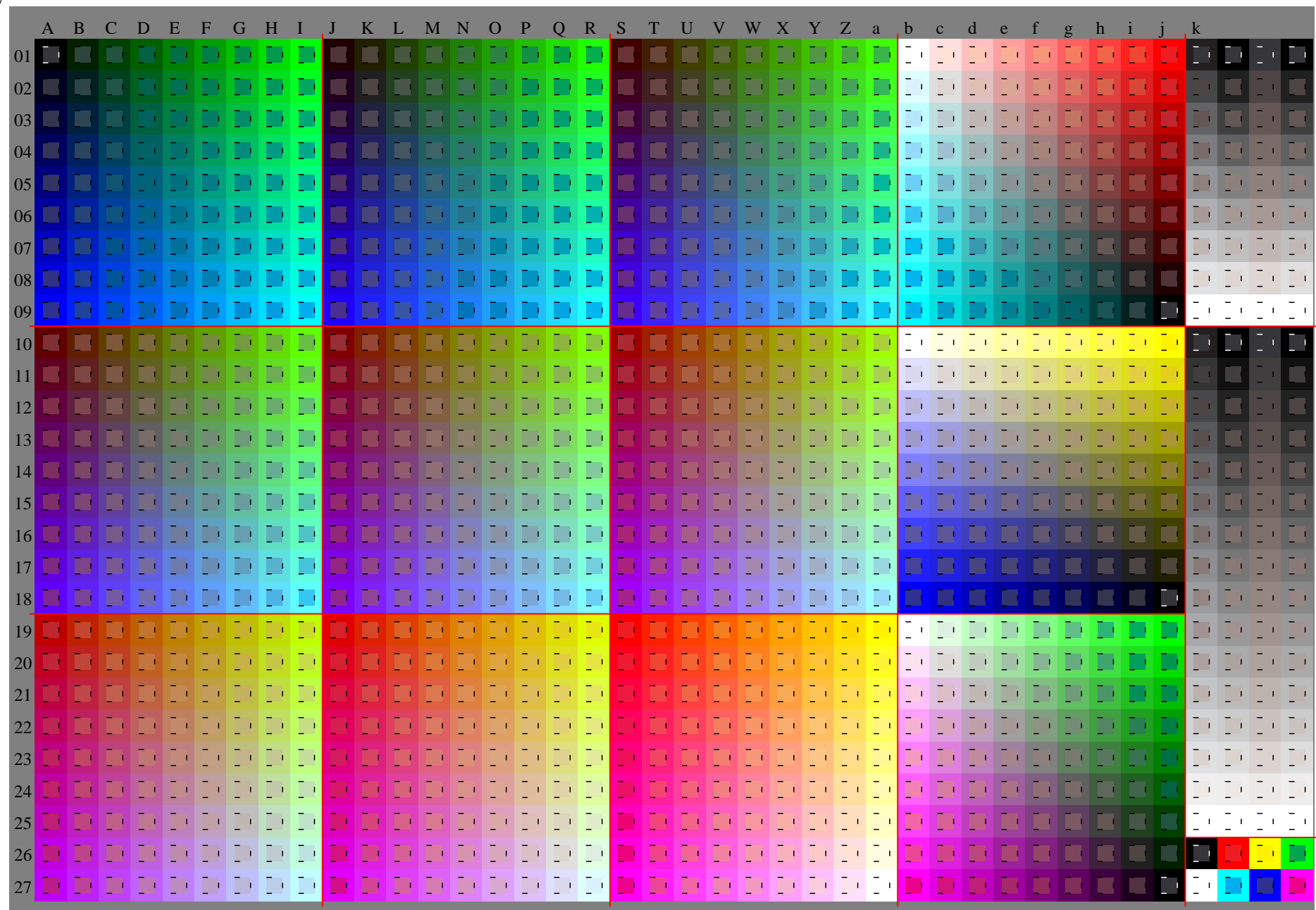
Siehe ähnliche Dateien: <http://www.ps.bam.de/Fg64/>; [www.ps.bam.de/Version 2.1, io=1,1, Colspx=0](http://www.ps.bam.de/Version2.1,io=1,1,Colspx=0)
 Technische Information: <http://www.ps.bam.de>

BAM-Registrierung: 20081001-Fg64/10L/L64g00NP.PDF/ .PS BAM-Material: Code=rhatha
 Anwendung für Beurteilung und Messung von Drucker- oder Monitorssystemen



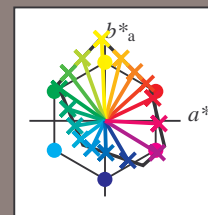
Siehe ähnliche Dateien: <http://www.ps.bam.de/Fg64/>; www.ps.bam.de/Fg64/HTM
Technische Information: <http://www.ps.bam.de> Version 2.1, io=1,1, ColSpX=0

BAM-Registrierung: 20081001-Fg64/10L/L64g00NP.PDF/.PS BAM-Material: Code=rh4ta
Anwendung für Beurteilung und Messung von Drucker- oder Monitorsystemen



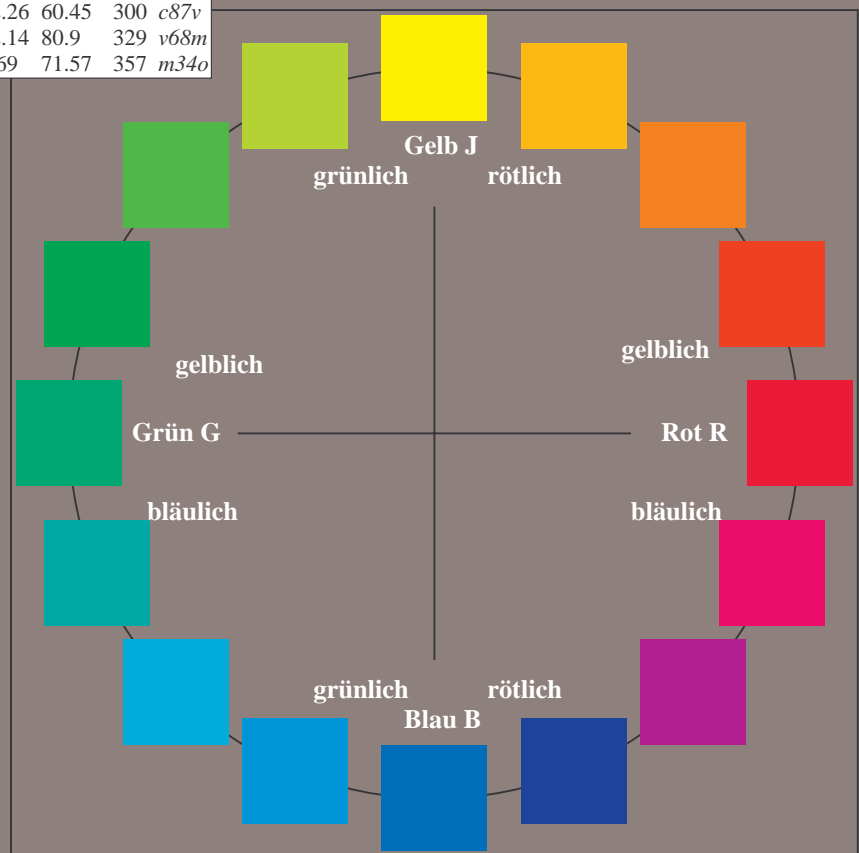
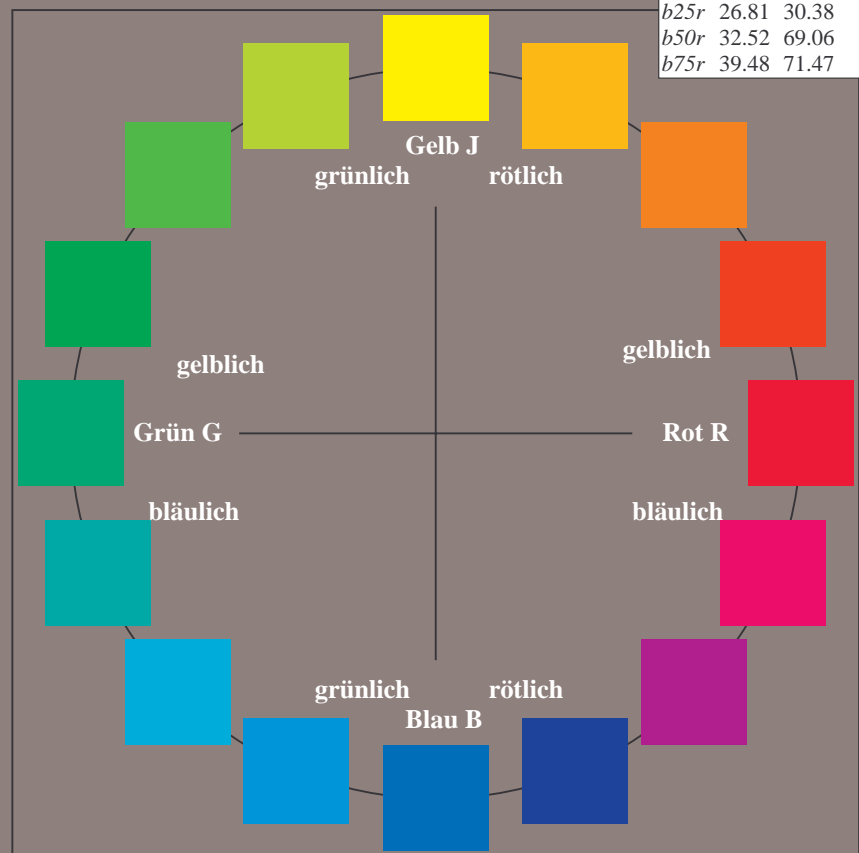
Ein und Ausgabe:
 Farbmetrisches Drucker-Reflektiv-System FRS12_95a
 Daten für jede Farbe:
 u^*_e und Nummer *Nr.* = 00 .. 15
 Elementar-Bunttext:
 $u^*_e = 16$ Bunttoene *r00j, r25j, ..., b75r*
 Kontrastreduzierungsfaktor:
 $c_R = 1.0$

FRS12_95a; adaptierte CIELAB-Daten						
u^*_e	$L^*=L^*_a$	a^*_a	b^*_a	$C^*_{ab,a}$	$h^*_{ab,a}$	u^*_d
r00j	38.47	63.32	30.17	70.15	25	m81o
r25j	42.12	54.56	49.45	73.64	42	o10y
r50j	53.64	39.15	64.89	75.79	59	o40y
r75j	67.01	21.26	82.83	85.52	76	o69y
j00g	86.18	-4.38	108.53	108.62	92	o98y
j25g	69.73	-29.89	83.06	88.28	110	y34l
j50g	57.03	-48.31	63.49	79.78	127	y69l
j75g	47.73	-60.33	42.64	73.88	145	l03c
g00b	50.59	-49.08	15.74	51.54	162	l23c
g25b	52.97	-39.7	-6.72	40.27	190	l55c
g50b	54.85	-32.33	-24.35	40.48	217	l87c
g75b	49.92	-17.29	-36.02	39.96	244	c20v
b00r	40.91	1.28	-42.35	42.37	272	c53v
b25r	26.81	30.38	-52.26	60.45	300	c87v
b50r	32.52	69.06	-42.14	80.9	329	v68m
b75r	39.48	71.47	-3.69	71.57	357	m34o



%Umfang
 $u^*_{rel} = 109$
 %Regularität
 $g^*_{H,rel} = 31$
 $g^*_{C,rel} = 40$

FRS12_95a; adaptierte CIELAB-Daten					
Name	$L^*=L^*_a$	a^*_a	b^*_a	$C^*_{ab,a}$	$h^*_{ab,a}$
OMa	38.06	60.0	44.0	74.4	36
YMa	86.77	-5.17	109.32	109.44	93
LMa	47.13	-62.67	48.24	79.09	142
CMa	55.66	-29.14	-31.99	43.27	228
VMa	17.15	50.3	-59.04	77.57	310
MMa	40.37	78.64	-33.5	85.48	337
NMa	11.58	0.0	0.0	0.0	0
WMa	95.02	0.0	0.0	0.0	0
JCIE	39.92	58.74	27.99	65.07	25
RCIE	81.26	-2.89	71.56	71.62	92
GCIE	52.23	-42.42	13.6	44.55	162
BCIE	30.57	1.41	-46.47	46.49	272



Siehe ähnliche Dateien: <http://www.ps.bam.de/Fg64/>; www.ps.bam.de/Fg64/HTM
 Technische Information: <http://www.ps.bam.de> Version 2.1, io=1,1, ColSp=0

BAM-Registrierung: 20081001-Fg64/10L/L64g00NP.PDF/ .PS BAM-Material: Code=rh4ta
 Anwendung für Beurteilung und Messung von Drucker- oder Monitorsystemen

Ein und Ausgabe: Farbmetrisches Drucker-Reflektiv-System FRS12_95a, L*=12_95 für relativen CIELAB-Buntton $h^* = lab^*h^* = h_{ab}/360 = 0.071$ $u^*_e = r00j$

Daten für jede Farbe:

lab^*ch^* und lab^*icu^*

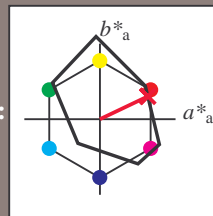
Bunttontexte:

$u^*_e = r00j$ $u^*_d = m81o$

Kontrastreduzierungsfaktor:

$c_R = 1.0$

Dreiecks-Helligkeit i^*



FRS12_95a; adaptierte CIELAB-Daten

	u^*_e	$L^*=L^*_a$	a^*_a	b^*_a	$C^*_{ab,a}$	$h^*_{ab,a}$
O _{Ma}	38.06	60.0	44.0	74.4	36	
Y _{Ma}	86.77	-5.17	109.32	109.44	93	
L _{Ma}	47.13	-62.67	48.24	79.09	142	
C _{Ma}	55.66	-29.14	-31.99	43.27	228	
V _{Ma}	17.15	50.3	-59.04	77.57	310	
M _{Ma}	40.37	78.64	-33.5	85.48	337	
N _{Ma}	11.58	0.0	0.0	0.0	0	
W _{Ma}	95.02	0.0	0.0	0.0	0	
R _{Ma}	39.92	58.74	27.99	65.07	25	
J _{Ma}	81.26	-2.89	71.56	71.62	92	
G _{Ma}	52.23	-42.42	13.6	44.55	162	
B _{Ma}	30.57	1.41	-46.47	46.49	272	

Daten für Maximalfarbe (Ma):

$LAB^*LAB^*_{Ma}$: 38 63 30

$LAB^*LCH^*_{Ma}$: 38 70 25

$lab^*rgb^*_{Ma}$: 1.0 0.0 0.0

$lab^*olv^*_{Ma}$: 1.0 0.0 0.18

Dreiecks-Helligkeit i^*

%Umfang

$u^*_{rel} = 109$

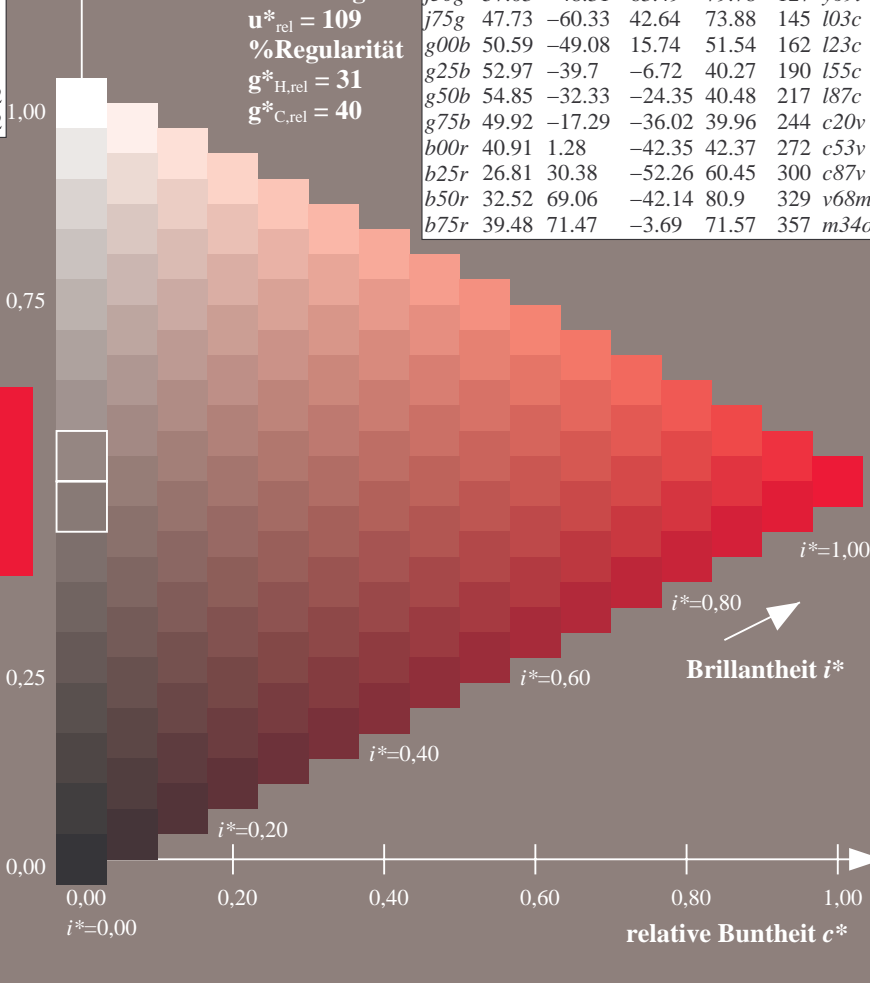
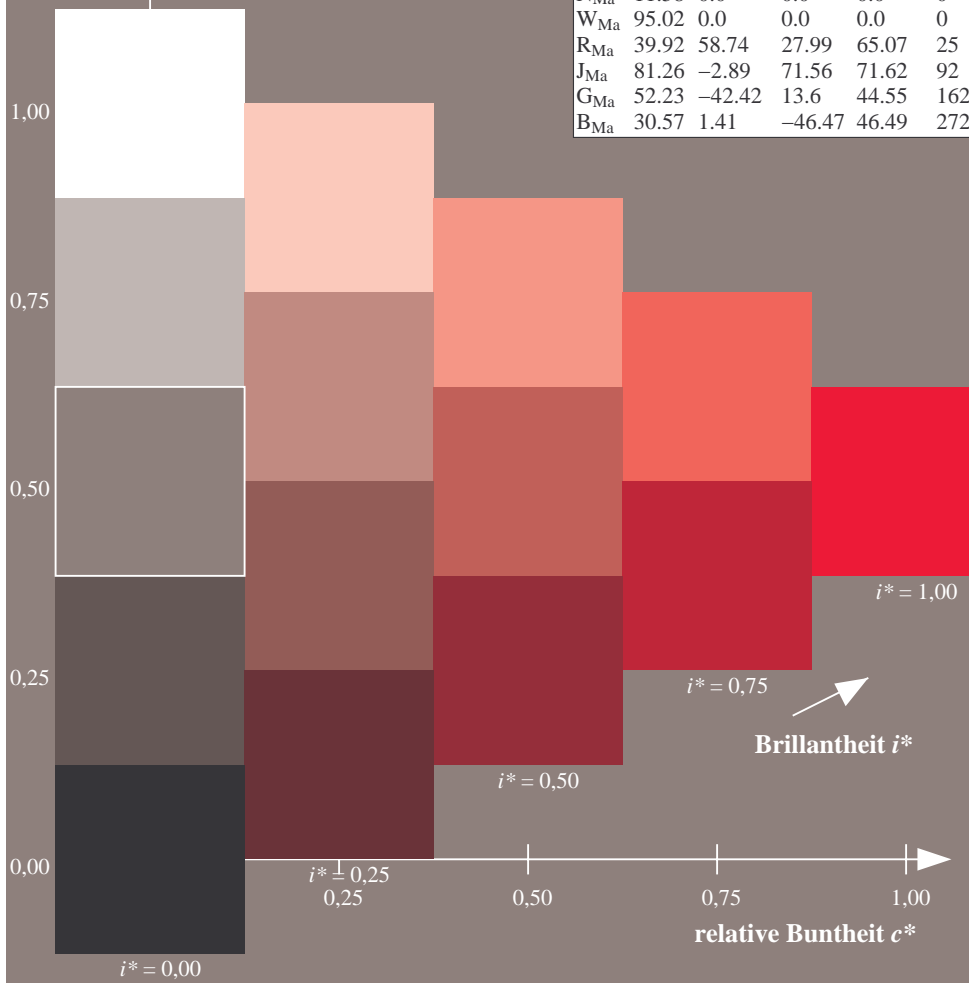
%Regularität

$g^*_{H,rel} = 31$

$g^*_{C,rel} = 40$

FRS12_95a; adaptierte CIELAB-Daten

	u^*_e	$L^*=L^*_a$	a^*_a	b^*_a	$C^*_{ab,a}$	$h^*_{ab,a}$	u^*_d
r00j	38.47	63.32	30.17	70.15	25		m81o
r25j	42.12	54.56	49.45	73.64	42		o10y
r50j	53.64	39.15	64.89	75.79	59		o40y
r75j	67.01	21.26	82.83	85.52	76		o69y
j00g	86.18	-4.38	108.53	108.62	92		o98y
j25g	69.73	-29.89	83.06	88.28	110		y34l
j50g	57.03	-48.31	63.49	79.78	127		y69l
j75g	47.73	-60.33	42.64	73.88	145		l03c
g00b	50.59	-49.08	15.74	51.54	162		l23c
g25b	52.97	-39.7	-6.72	40.27	190		l55c
g50b	54.85	-32.33	-24.35	40.48	217		l87c
g75b	49.92	-17.29	-36.02	39.96	244		c20v
b00r	40.91	1.28	-42.35	42.37	272		c53v
b25r	26.81	30.38	-52.26	60.45	300		c87v
b50r	32.52	69.06	-42.14	80.9	329		v68m
b75r	39.48	71.47	-3.69	71.57	357		m34a

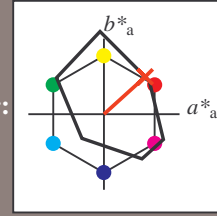


Siehe ähnliche Dateien: <http://www.ps.bam.de/Fg64/>; www.ps.bam.de/Fg64/HTM
 Technische Information: <http://www.ps.bam.de> Version 2.1, io=1,1, ColSpx=0

BAM-Registrierung: 20081001-Fg64/10L/L64g00NP.PDF/ .PS BAM-Material: Code=rh4ta
 Anwendung für Beurteilung und Messung von Drucker- oder Monitorssystemen

Ein und Ausgabe: Farbmetrisches Drucker-Reflektiv-System FRS12_95a, L*=12_95 für relativen CIELAB-Buntton $h^* = lab^*h^* = h_{ab}/360 = 0.117$ $u^*_e = r25j$

Daten für jede Farbe:
 lab^*ch^* und lab^*icu^*
 Bunttontexte:
 $u^*_e = r25j$ $u^*_d = o10y$
 Kontrastreduzierungsfaktor:
 $c_R = 1.0$
 Dreiecks-Helligkeit i^*

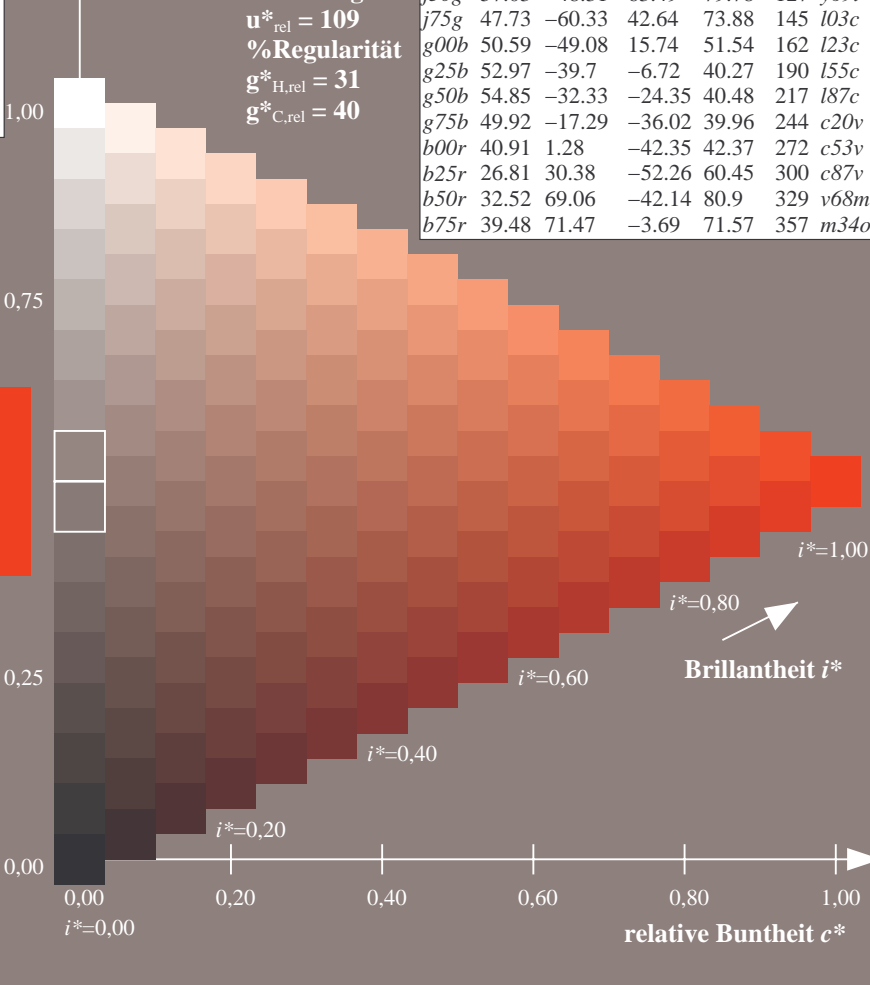
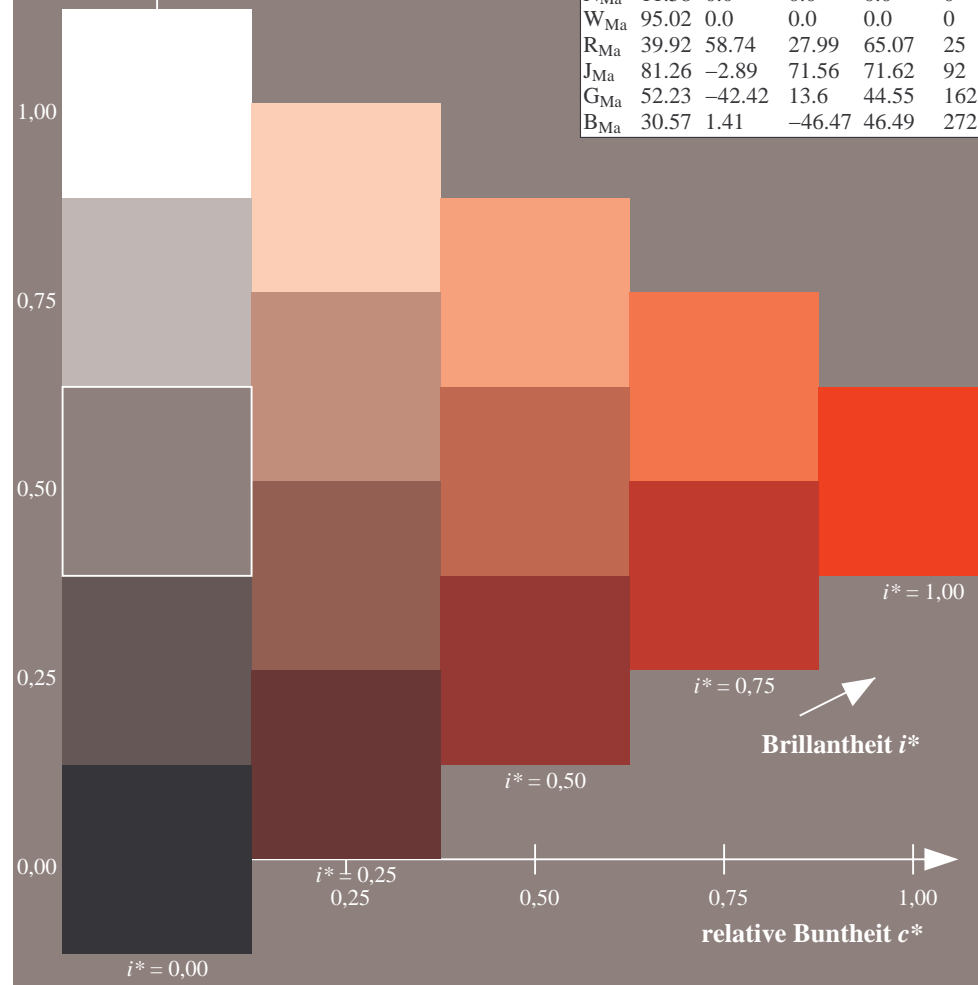


FRS12_95a; adaptierte CIELAB-Daten						
	u^*_e	$L^*=L^*_a$	a^*_a	b^*_a	$C^*_{ab,a}$	$h^*_{ab,a}$
O _{Ma}	38.06	60.0	44.0	74.4	36	
Y _{Ma}	86.77	-5.17	109.32	109.44	93	
L _{Ma}	47.13	-62.67	48.24	79.09	142	
C _{Ma}	55.66	-29.14	-31.99	43.27	228	
V _{Ma}	17.15	50.3	-59.04	77.57	310	
M _{Ma}	40.37	78.64	-33.5	85.48	337	
N _{Ma}	11.58	0.0	0.0	0.0	0	
W _{Ma}	95.02	0.0	0.0	0.0	0	
R _{Ma}	39.92	58.74	27.99	65.07	25	
J _{Ma}	81.26	-2.89	71.56	71.62	92	
G _{Ma}	52.23	-42.42	13.6	44.55	162	
B _{Ma}	30.57	1.41	-46.47	46.49	272	

Daten für Maximalfarbe (Ma):
 $LAB^*LAB^*_{Ma}$: 42 55 49
 $LAB^*LCH^*_{Ma}$: 42 74 42
 $lab^*rgb^*_{Ma}$: 1.0 0.25 0.0
 $lab^*olv^*_{Ma}$: 1.0 0.11 0.0

FRS12_95a; adaptierte CIELAB-Daten							
	u^*_e	$L^*=L^*_a$	a^*_a	b^*_a	$C^*_{ab,a}$	$h^*_{ab,a}$	u^*_d
r00j	38.47	63.32	30.17	70.15	25	m81o	
r25j	42.12	54.56	49.45	73.64	42	o10y	
r50j	53.64	39.15	64.89	75.79	59	o40y	
r75j	67.01	21.26	82.83	85.52	76	o69y	
j00g	86.18	-4.38	108.53	108.62	92	o98y	
j25g	69.73	-29.89	83.06	88.28	110	y34l	
j50g	57.03	-48.31	63.49	79.78	127	y69l	
j75g	47.73	-60.33	42.64	73.88	145	l03c	
g00b	50.59	-49.08	15.74	51.54	162	l23c	
g25b	52.97	-39.7	-6.72	40.27	190	l55c	
g50b	54.85	-32.33	-24.35	40.48	217	l87c	
g75b	49.92	-17.29	-36.02	39.96	244	c20c	
b00r	40.91	1.28	-42.35	42.37	272	c53v	
b25r	26.81	30.38	-52.26	60.45	300	c87v	
b50r	32.52	69.06	-42.14	80.9	329	v68m	
b75r	39.48	71.47	-3.69	71.57	357	m34o	

Dreiecks-Helligkeit i^*
 %Umfang
 $u^*_{rel} = 109$
 %Regularität
 $g^*_{H,rel} = 31$
 $g^*_{C,rel} = 40$



Siehe ähnliche Dateien: <http://www.ps.bam.de/Fg64/>; www.ps.bam.de/Fg64/HTM
 Technische Information: <http://www.ps.bam.de> Version 2.1, io=1,1, ColSpX=0

BAM-Registrierung: 20081001-Fg64/10L/L64g00NP.PDF/ .PS BAM-Material: Code=rh4ta
 Anwendung für Beurteilung und Messung von Drucker- oder Monitorssystemen

Ein und Ausgabe: Farbmetrisches Drucker-Reflektiv-System FRS12_95a, L*=12_95 für relativen CIELAB-Buntton $h^* = lab^*h^* = h_{ab}/360 = 0.164$ $u^*_e = r50j$

Daten für jede Farbe:

lab^*tch^* und lab^*icu^*

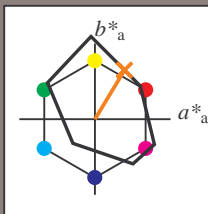
Bunttontexte:

$u^*_e = r50j$ $u^*_d = o40y$

Kontrastreduzierungsfaktor:

$c_R = 1.0$

Dreiecks-Helligkeit i^*



FRS12_95a; adaptierte CIELAB-Daten

	u^*_e	$L^*=L^*_a$	a^*_a	b^*_a	$C^*_{ab,a}$	$h^*_{ab,a}$
O _{Ma}	38.06	60.0	44.0	74.4	36	
Y _{Ma}	86.77	-5.17	109.32	109.44	93	
L _{Ma}	47.13	-62.67	48.24	79.09	142	
C _{Ma}	55.66	-29.14	-31.99	43.27	228	
V _{Ma}	17.15	50.3	-59.04	77.57	310	
M _{Ma}	40.37	78.64	-33.5	85.48	337	
N _{Ma}	11.58	0.0	0.0	0.0	0	
W _{Ma}	95.02	0.0	0.0	0.0	0	
R _{Ma}	39.92	58.74	27.99	65.07	25	
J _{Ma}	81.26	-2.89	71.56	71.62	92	
G _{Ma}	52.23	-42.42	13.6	44.55	162	
B _{Ma}	30.57	1.41	-46.47	46.49	272	

Daten für Maximalfarbe (Ma):

$LAB^*LAB^*_{Ma}$: 54 39 65

$LAB^*LCH^*_{Ma}$: 54 76 58

$lab^*rgb^*_{Ma}$: 1.0 0.5 0.0

$lab^*olv^*_{Ma}$: 1.0 0.4 0.0

Dreiecks-Helligkeit i^*

%Umfang

$u^*_{rel} = 109$

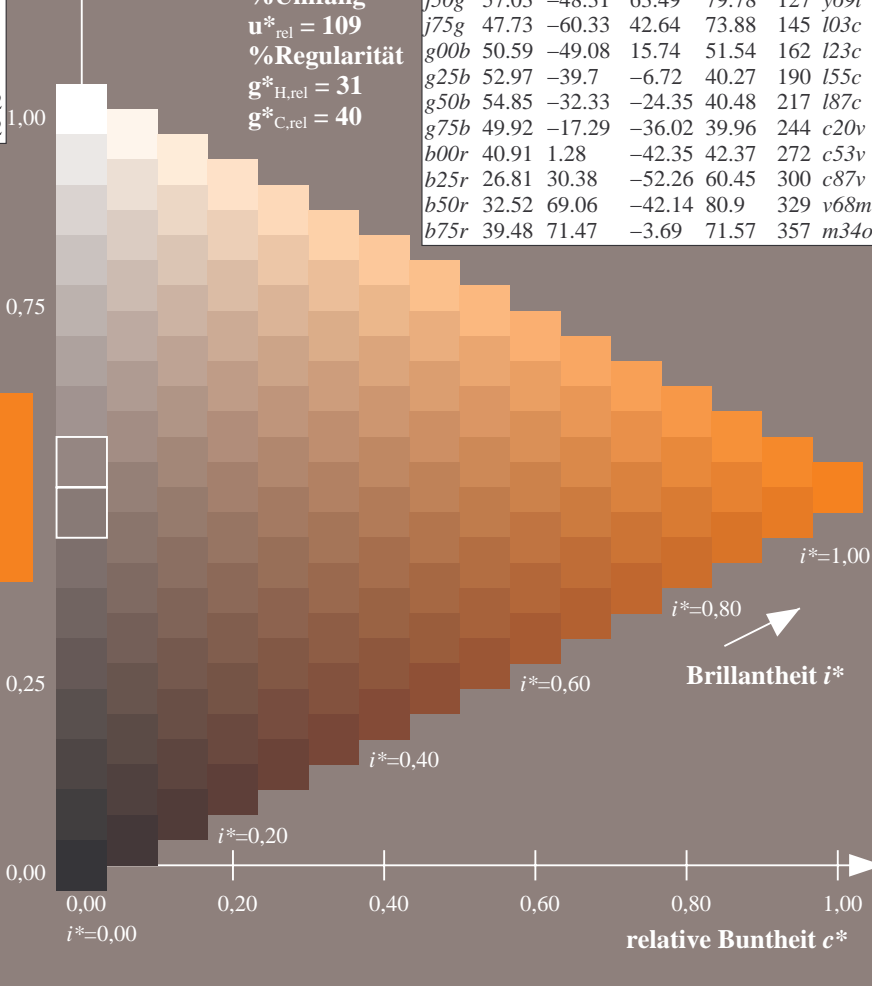
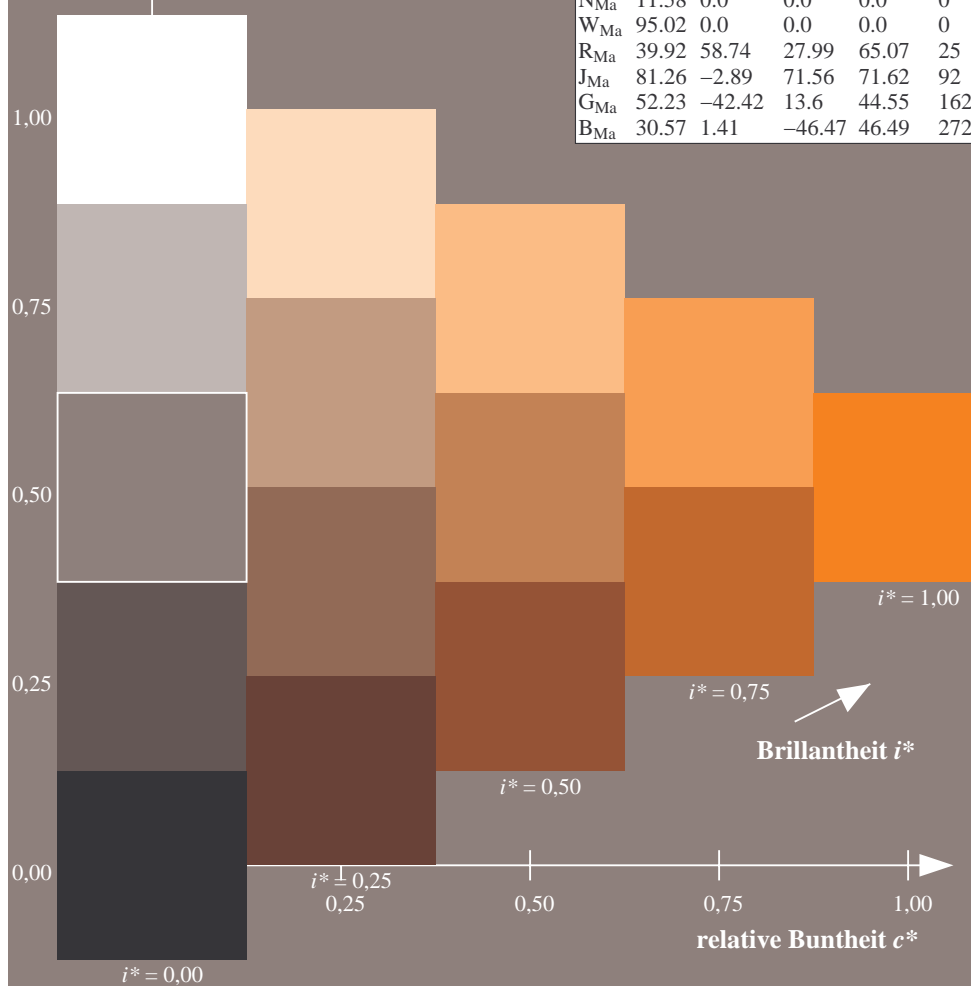
%Regularität

$g^*_{H,rel} = 31$

$g^*_{C,rel} = 40$

FRS12_95a; adaptierte CIELAB-Daten

	u^*_e	$L^*=L^*_a$	a^*_a	b^*_a	$C^*_{ab,a}$	$h^*_{ab,a}$	u^*_d
r00j	38.47	63.32	30.17	70.15	25	m81o	
r25j	42.12	54.56	49.45	73.64	42	o10y	
r50j	53.64	39.15	64.89	75.79	59	o40y	
r75j	67.01	21.26	82.83	85.52	76	o69y	
j00g	86.18	-4.38	108.53	108.62	92	o98y	
j25g	69.73	-29.89	83.06	88.28	110	y34l	
j50g	57.03	-48.31	63.49	79.78	127	y69l	
j75g	47.73	-60.33	42.64	73.88	145	l03c	
g00b	50.59	-49.08	15.74	51.54	162	l23c	
g25b	52.97	-39.7	-6.72	40.27	190	l55c	
g50b	54.85	-32.33	-24.35	40.48	217	l87c	
g75b	49.92	-17.29	-36.02	39.96	244	c20v	
b00r	40.91	1.28	-42.35	42.37	272	c53v	
b25r	26.81	30.38	-52.26	60.45	300	c87v	
b50r	32.52	69.06	-42.14	80.9	329	v68m	
b75r	39.48	71.47	-3.69	71.57	357	m34o	



Siehe ähnliche Dateien: <http://www.ps.bam.de/Fg64/>; www.ps.bam.de/Fg64/HTM
 Technische Information: <http://www.ps.bam.de> Version 2.1, io=1,1, ColSpX=0

BAM-Registrierung: 20081001-Fg64/10L/L64g00NP.PDF/ .PS BAM-Material: Code=rhatha
 Anwendung für Beurteilung und Messung von Drucker- oder Monitorssystemen

Ein und Ausgabe: Farbmetrisches Drucker-Reflektiv-System FRS12_95a, L*=12_95 für relativen CIELAB-Buntton $h^* = lab^*h^* = h_{ab}/360 = 0.21$ $u^*_e = r75j$

Daten für jede Farbe:

lab^*tch^* und lab^*icu^*

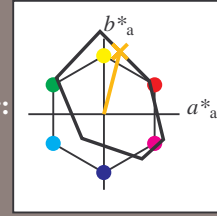
Bunttontexte:

$u^*_e = r75j$ $u^*_d = o69y$

Kontrastreduzierungsfaktor:

$c_R = 1.0$

Dreiecks-Helligkeit i^*



FRS12_95a; adaptierte CIELAB-Daten

	u^*_e	$L^*=L^*_a$	a^*_a	b^*_a	$C^*_{ab,a}$	$h^*_{ab,a}$
O _{Ma}	38.06	60.0	44.0	74.4	36	
Y _{Ma}	86.77	-5.17	109.32	109.44	93	
L _{Ma}	47.13	-62.67	48.24	79.09	142	
C _{Ma}	55.66	-29.14	-31.99	43.27	228	
V _{Ma}	17.15	50.3	-59.04	77.57	310	
M _{Ma}	40.37	78.64	-33.5	85.48	337	
N _{Ma}	11.58	0.0	0.0	0.0	0	
W _{Ma}	95.02	0.0	0.0	0.0	0	
R _{Ma}	39.92	58.74	27.99	65.07	25	
J _{Ma}	81.26	-2.89	71.56	71.62	92	
G _{Ma}	52.23	-42.42	13.6	44.55	162	
B _{Ma}	30.57	1.41	-46.47	46.49	272	

Daten für Maximalfarbe (Ma):

$LAB^*LAB^*_{Ma}$: 67 21 83

$LAB^*LCH^*_{Ma}$: 67 86 75

$lab^*rgb^*_{Ma}$: 1.0 0.75 0.0

$lab^*olv^*_{Ma}$: 1.0 0.7 0.0

Dreiecks-Helligkeit i^*

%Umfang

$u^*_{rel} = 109$

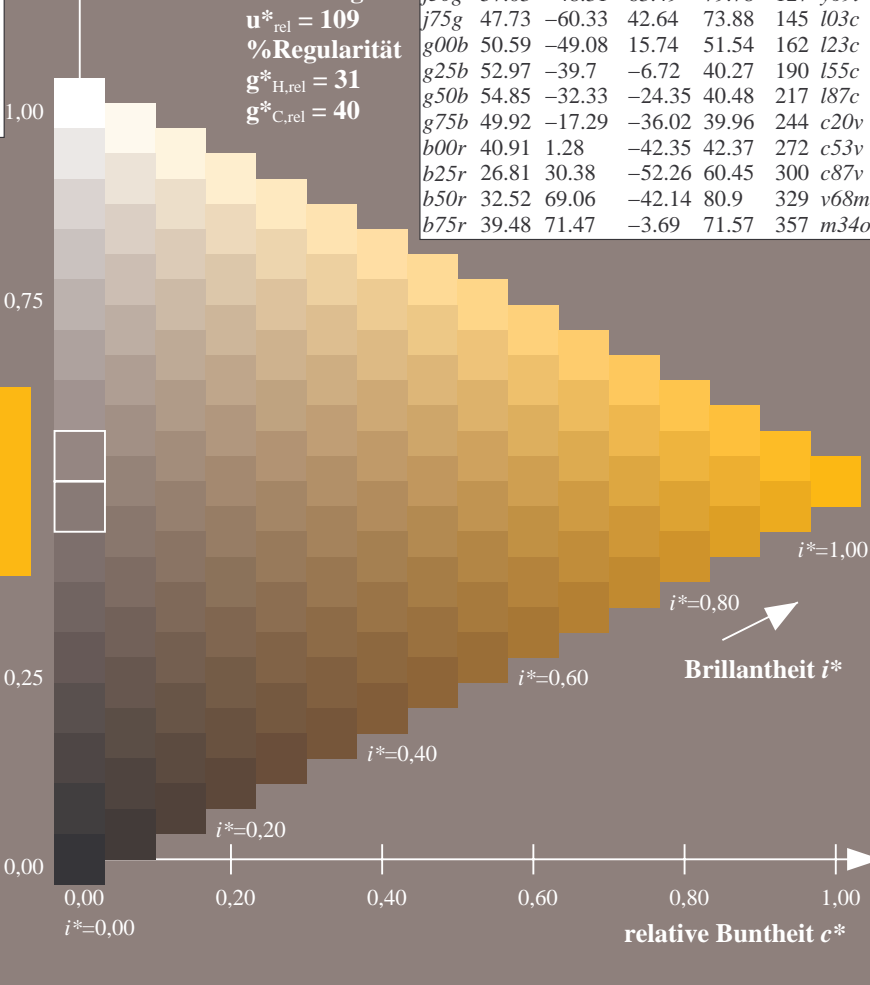
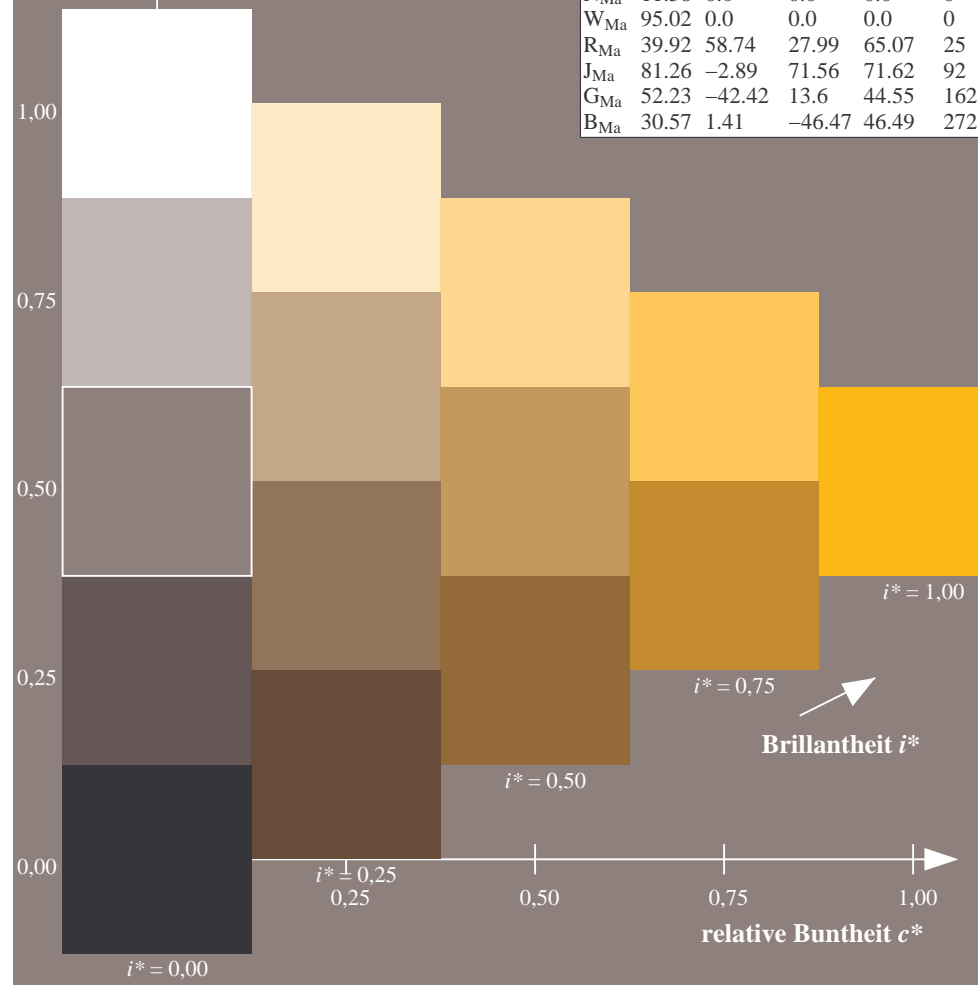
%Regularität

$g^*_{H,rel} = 31$

$g^*_{C,rel} = 40$

FRS12_95a; adaptierte CIELAB-Daten

	u^*_e	$L^*=L^*_a$	a^*_a	b^*_a	$C^*_{ab,a}$	$h^*_{ab,a}$	u^*_d
r00j	38.47	63.32	30.17	70.15	25	m81o	
r25j	42.12	54.56	49.45	73.64	42	o10y	
r50j	53.64	39.15	64.89	75.79	59	o40y	
r75j	67.01	21.26	82.83	85.52	76	o69y	
j00g	86.18	-4.38	108.53	108.62	92	o98y	
j25g	69.73	-29.89	83.06	88.28	110	y34l	
j50g	57.03	-48.31	63.49	79.78	127	y69l	
j75g	47.73	-60.33	42.64	73.88	145	l03c	
g00b	50.59	-49.08	15.74	51.54	162	l23c	
g25b	52.97	-39.7	-6.72	40.27	190	l55c	
g50b	54.85	-32.33	-24.35	40.48	217	l87c	
g75b	49.92	-17.29	-36.02	39.96	244	c20v	
b00r	40.91	1.28	-42.35	42.37	272	c53v	
b25r	26.81	30.38	-52.26	60.45	300	c87v	
b50r	32.52	69.06	-42.14	80.9	329	v68m	
b75r	39.48	71.47	-3.69	71.57	357	m34o	

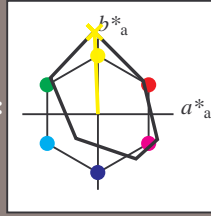


Siehe ähnliche Dateien: <http://www.ps.bam.de/Fg64/>; www.ps.bam.de/Fg64/HTM
 Technische Information: <http://www.ps.bam.de> Version 2.1, io=1,1, ColSpx=0

BAM-Registrierung: 20081001-Fg64/10L/L64g00NP.PDF/ .PS BAM-Material: Code=rhatha
 Anwendung für Beurteilung und Messung von Drucker- oder Monitorssystemen

Ein und Ausgabe: Farbmetrisches Drucker-Reflektiv-System FRS12_95a, L*=12_95 für relativen CIELAB-Buntton $h^* = lab^*h^* = h_{ab}/360 = 0.256$ $u^*_e = j00g$

Daten für jede Farbe:
 lab^*tch^* und lab^*icu^*
 Bunttontexte:
 $u^*_e = j00g$ $u^*_d = o98y$
 Kontrastreduzierungsfaktor:
 $c_R = 1.0$
 Dreiecks-Helligkeit i^*

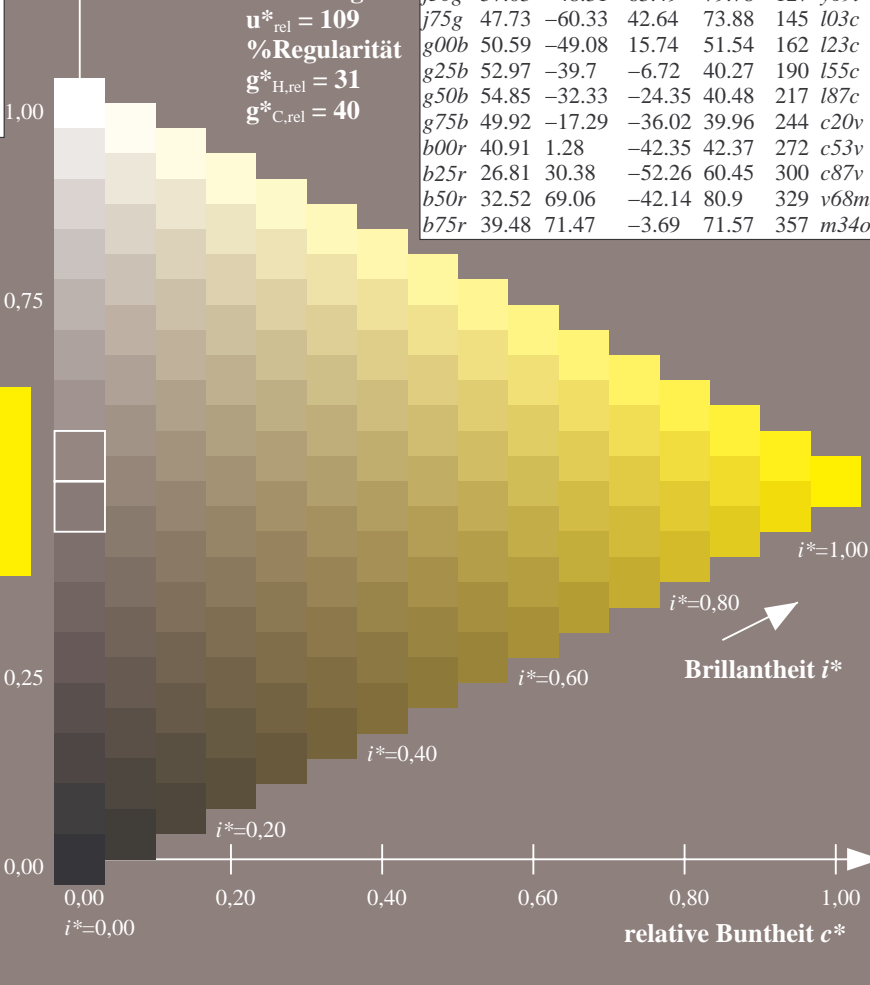
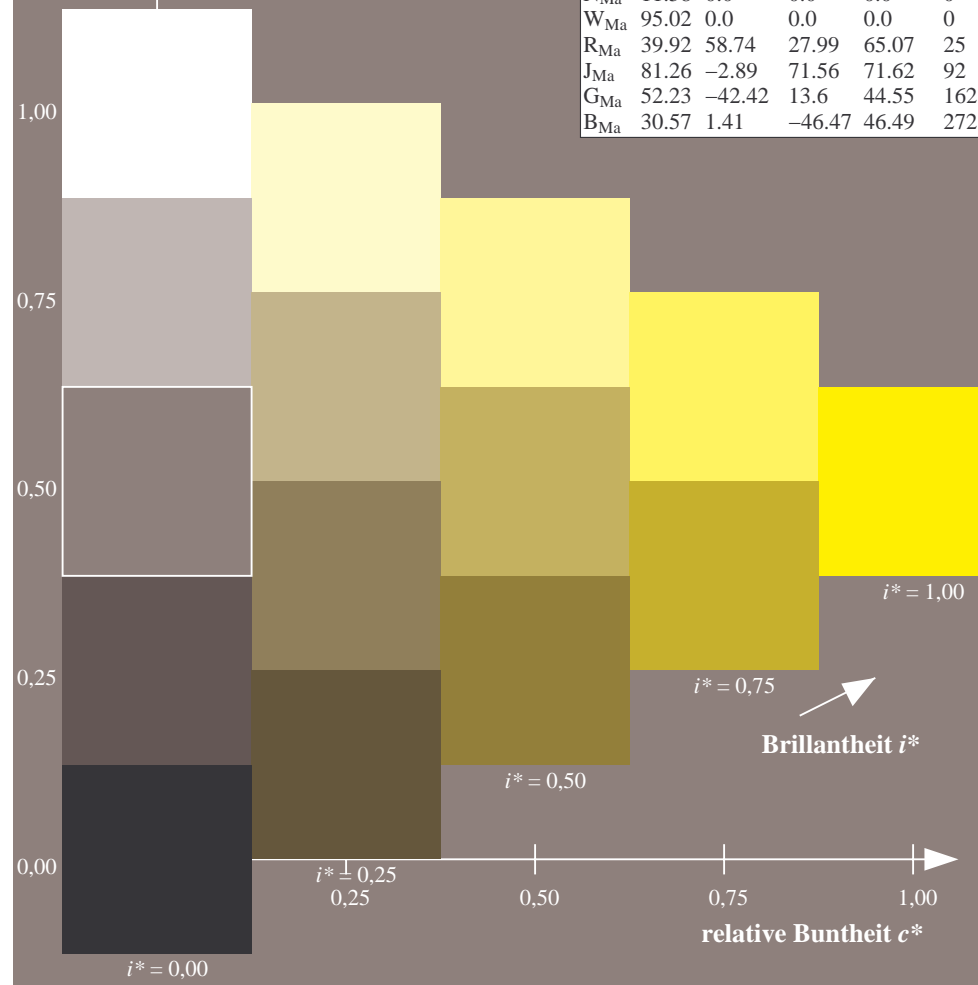


FRS12_95a; adaptierte CIELAB-Daten						
	u^*_e	$L^*=L^*_a$	a^*_a	b^*_a	$C^*_{ab,a}$	$h^*_{ab,a}$
O _{Ma}	38.06	60.0	44.0	74.4	36	
Y _{Ma}	86.77	-5.17	109.32	109.44	93	
L _{Ma}	47.13	-62.67	48.24	79.09	142	
C _{Ma}	55.66	-29.14	-31.99	43.27	228	
V _{Ma}	17.15	50.3	-59.04	77.57	310	
M _{Ma}	40.37	78.64	-33.5	85.48	337	
N _{Ma}	11.58	0.0	0.0	0.0	0	
W _{Ma}	95.02	0.0	0.0	0.0	0	
R _{Ma}	39.92	58.74	27.99	65.07	25	
J _{Ma}	81.26	-2.89	71.56	71.62	92	
G _{Ma}	52.23	-42.42	13.6	44.55	162	
B _{Ma}	30.57	1.41	-46.47	46.49	272	

Daten für Maximalfarbe (Ma):
 $LAB^*LAB^*_{Ma}$: 86 -4 109
 $LAB^*LCH^*_{Ma}$: 86 109 92
 $lab^*rgb^*_{Ma}$: 1.0 1.0 0.0
 $lab^*olv^*_{Ma}$: 1.0 0.99 0.0

FRS12_95a; adaptierte CIELAB-Daten							
	u^*_e	$L^*=L^*_a$	a^*_a	b^*_a	$C^*_{ab,a}$	$h^*_{ab,a}$	u^*_d
r00j	38.47	63.32	30.17	70.15	25	m81o	
r25j	42.12	54.56	49.45	73.64	42	o10y	
r50j	53.64	39.15	64.89	75.79	59	o40y	
r75j	67.01	21.26	82.83	85.52	76	o69y	
j00g	86.18	-4.38	108.53	108.62	92	o98y	
j25g	69.73	-29.89	83.06	88.28	110	y34l	
j50g	57.03	-48.31	63.49	79.78	127	y69l	
j75g	47.73	-60.33	42.64	73.88	145	l03c	
g00b	50.59	-49.08	15.74	51.54	162	l23c	
g25b	52.97	-39.7	-6.72	40.27	190	l55c	
g50b	54.85	-32.33	-24.35	40.48	217	l87c	
g75b	49.92	-17.29	-36.02	39.96	244	c20v	
b00r	40.91	1.28	-42.35	42.37	272	c53v	
b25r	26.81	30.38	-52.26	60.45	300	c87v	
b50r	32.52	69.06	-42.14	80.9	329	v68m	
b75r	39.48	71.47	-3.69	71.57	357	m34o	

Dreiecks-Helligkeit i^*
 %Umfang
 $u^*_{rel} = 109$
 %Regularität
 $g^*_{H,rel} = 31$
 $g^*_{C,rel} = 40$



Siehe ähnliche Dateien: <http://www.ps.bam.de/Fg64/>; www.ps.bam.de/Fg64/HTM
 Technische Information: <http://www.ps.bam.de> Version 2.1, io=1,1, ColSpX=0

BAM-Registrierung: 20081001-Fg64/10L/L64g00NP.PDF/ .PS BAM-Material: Code=rh4ta
 Anwendung für Beurteilung und Messung von Drucker- oder Monitorssystemen

Ein und Ausgabe: Farbmetrisches Drucker-Reflektiv-System FRS12_95a, L*=12_95 für relativen CIELAB-Buntton $h^* = lab^*h^* = h_{ab}/360 = 0.305$ $u^*_e = j25g$

Daten für jede Farbe:

lab^*tch^* und lab^*icu^*

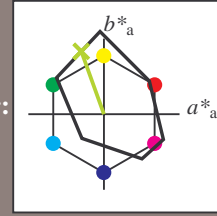
Bunttontexte:

$u^*_e = j25g$ $u^*_d = y34l$

Kontrastreduzierungsfaktor:

$c_R = 1.0$

Dreiecks-Helligkeit i^*



FRS12_95a; adaptierte CIELAB-Daten						
	u^*_e	$L^*=L^*_a$	a^*_a	b^*_a	$C^*_{ab,a}$	$h^*_{ab,a}$
O _{Ma}	38.06	60.0	44.0	74.4	36	
Y _{Ma}	86.77	-5.17	109.32	109.44	93	
L _{Ma}	47.13	-62.67	48.24	79.09	142	
C _{Ma}	55.66	-29.14	-31.99	43.27	228	
V _{Ma}	17.15	50.3	-59.04	77.57	310	
M _{Ma}	40.37	78.64	-33.5	85.48	337	
N _{Ma}	11.58	0.0	0.0	0.0	0	
W _{Ma}	95.02	0.0	0.0	0.0	0	
R _{Ma}	39.92	58.74	27.99	65.07	25	
J _{Ma}	81.26	-2.89	71.56	71.62	92	
G _{Ma}	52.23	-42.42	13.6	44.55	162	
B _{Ma}	30.57	1.41	-46.47	46.49	272	

Daten für Maximalfarbe (Ma):

$LAB^*LAB^*_{Ma}$: 70 -30 83

$LAB^*LCH^*_{Ma}$: 70 88 109

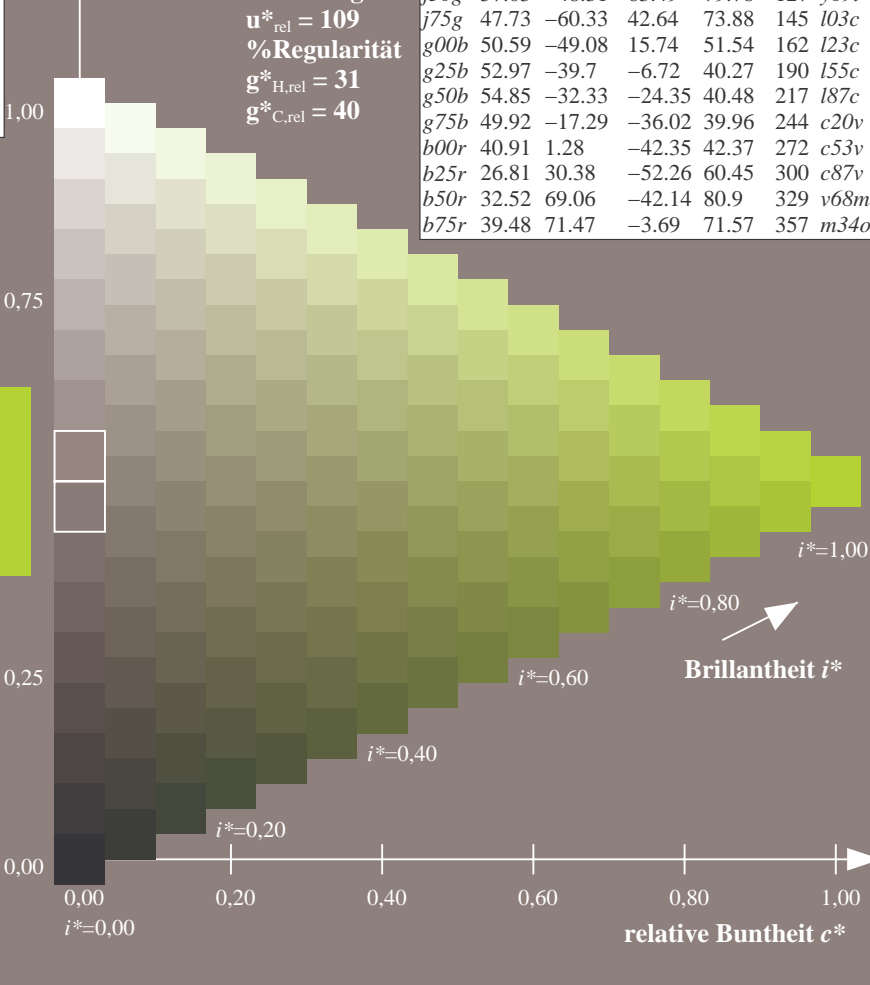
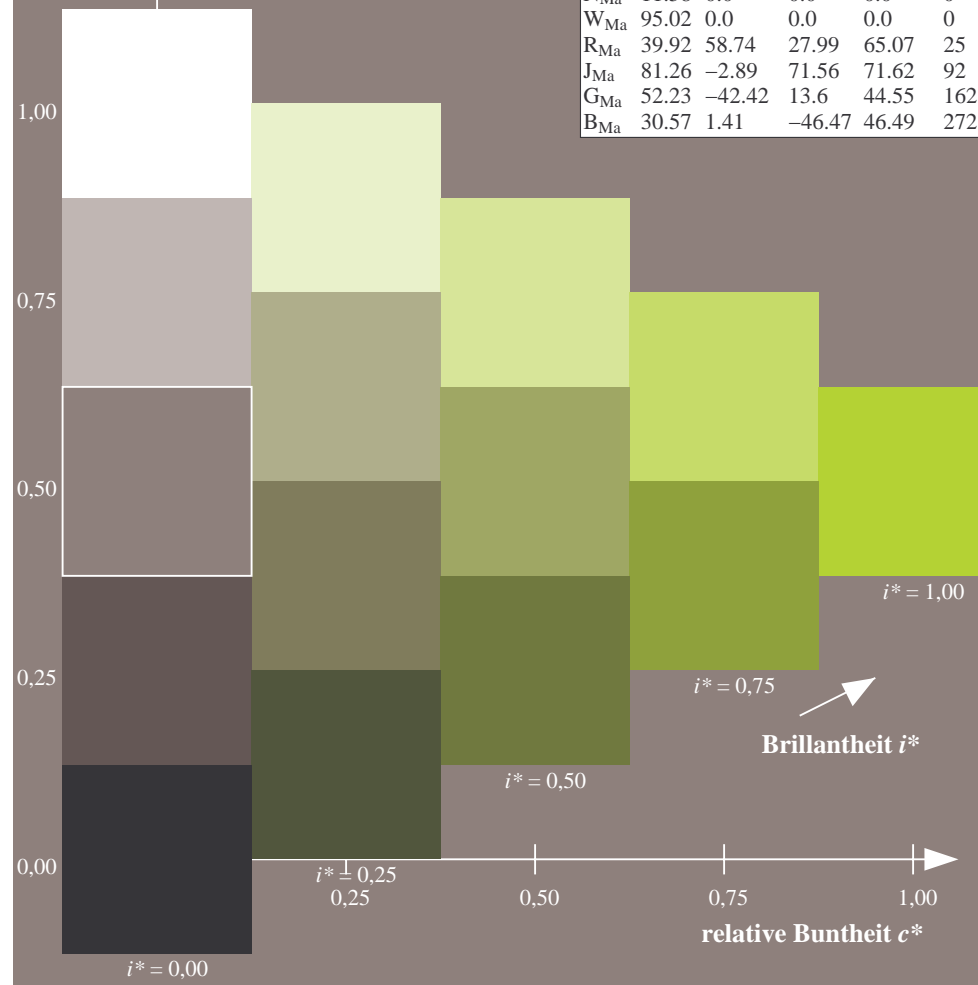
$lab^*rgb^*_{Ma}$: 0.75 1.0 0.0

$lab^*olv^*_{Ma}$: 0.66 1.0 0.0

Dreiecks-Helligkeit i^*

%Umfang
 $u^*_{rel} = 109$
 %Regularität
 $g^*_{H,rel} = 31$
 $g^*_{C,rel} = 40$

FRS12_95a; adaptierte CIELAB-Daten							
	u^*_e	$L^*=L^*_a$	a^*_a	b^*_a	$C^*_{ab,a}$	$h^*_{ab,a}$	u^*_d
r00j	38.47	63.32	30.17	70.15	25	m81o	
r25j	42.12	54.56	49.45	73.64	42	o10y	
r50j	53.64	39.15	64.89	75.79	59	o40y	
r75j	67.01	21.26	82.83	85.52	76	o69y	
j00g	86.18	-4.38	108.53	108.62	92	o98y	
j25g	69.73	-29.89	83.06	88.28	110	y34l	
j50g	57.03	-48.31	63.49	79.78	127	y69l	
j75g	47.73	-60.33	42.64	73.88	145	l03c	
g00b	50.59	-49.08	15.74	51.54	162	l23c	
g25b	52.97	-39.7	-6.72	40.27	190	l55c	
g50b	54.85	-32.33	-24.35	40.48	217	l87c	
g75b	49.92	-17.29	-36.02	39.96	244	c20v	
b00r	40.91	1.28	-42.35	42.37	272	c53v	
b25r	26.81	30.38	-52.26	60.45	300	c87v	
b50r	32.52	69.06	-42.14	80.9	329	v68m	
b75r	39.48	71.47	-3.69	71.57	357	m34o	

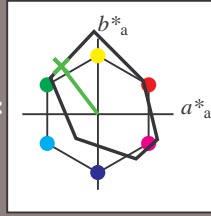


Siehe ähnliche Dateien: <http://www.ps.bam.de/Fg64/>; www.ps.bam.de/Fg64/HTM
 Technische Information: <http://www.ps.bam.de> Version 2.1, io=1,1, ColSpx=0

BAM-Registrierung: 20081001-Fg64/10L/L64g00NP.PDF/ .PS BAM-Material: Code=rh4ta
 Anwendung für Beurteilung und Messung von Drucker- oder Monitorssystemen

Ein und Ausgabe: Farbmetrisches Drucker-Reflektiv-System FRS12_95a, L*=12_95 für relativen CIELAB-Buntton $h^* = lab^*h^* = h_{ab}/360 = 0.354$ $u^*_e = j50g$

Daten für jede Farbe:
 lab^*ch^* und lab^*icu^*
 Bunttontexte:
 $u^*_e = j50g$ $u^*_d = y69l$
 Kontrastreduzierungsfaktor:
 $c_R = 1.0$
 Dreiecks-Helligkeit i^*



FRS12_95a; adaptierte CIELAB-Daten						
	u^*_e	$L^*=L^*_a$	a^*_a	b^*_a	$C^*_{ab,a}$	$h^*_{ab,a}$
O _{Ma}	38.06	60.0	44.0	74.4	36	
Y _{Ma}	86.77	-5.17	109.32	109.44	93	
L _{Ma}	47.13	-62.67	48.24	79.09	142	
C _{Ma}	55.66	-29.14	-31.99	43.27	228	
V _{Ma}	17.15	50.3	-59.04	77.57	310	
M _{Ma}	40.37	78.64	-33.5	85.48	337	
N _{Ma}	11.58	0.0	0.0	0.0	0	
W _{Ma}	95.02	0.0	0.0	0.0	0	
R _{Ma}	39.92	58.74	27.99	65.07	25	
J _{Ma}	81.26	-2.89	71.56	71.62	92	
G _{Ma}	52.23	-42.42	13.6	44.55	162	
B _{Ma}	30.57	1.41	-46.47	46.49	272	

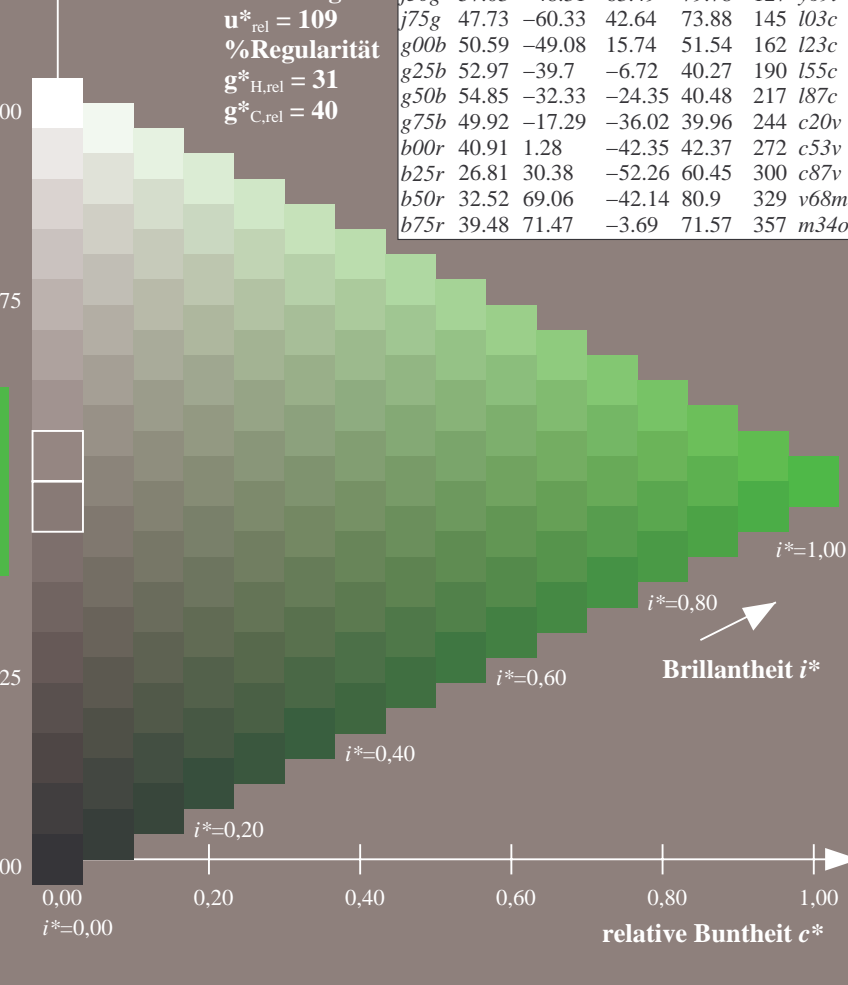
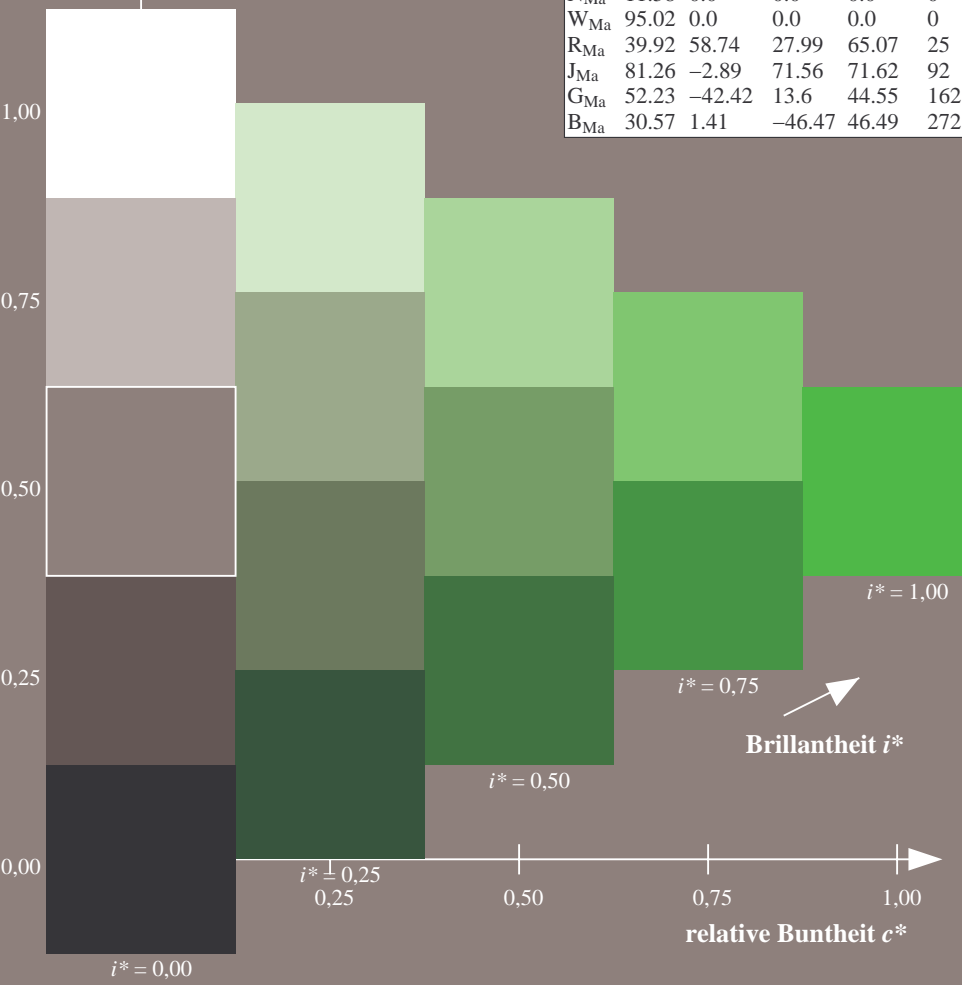
Daten für Maximalfarbe (Ma):

$LAB^*LAB^*_{Ma}$: 57 -48 63
 $LAB^*LCH^*_{Ma}$: 57 80 127
 $lab^*rgb^*_{Ma}$: 0.5 1.0 0.0
 $lab^*olv^*_{Ma}$: 0.3 1.0 0.0

FRS12_95a; adaptierte CIELAB-Daten							
	u^*_e	$L^*=L^*_a$	a^*_a	b^*_a	$C^*_{ab,a}$	$h^*_{ab,a}$	u^*_d
r00j	38.47	63.32	30.17	70.15	25	m81o	
r25j	42.12	54.56	49.45	73.64	42	o10y	
r50j	53.64	39.15	64.89	75.79	59	o40y	
r75j	67.01	21.26	82.83	85.52	76	o69y	
j00g	86.18	-4.38	108.53	108.62	92	o98y	
j25g	69.73	-29.89	83.06	88.28	110	y34l	
j50g	57.03	-48.31	63.49	79.78	127	y69l	
j75g	47.73	-60.33	42.64	73.88	145	l03c	
g00b	50.59	-49.08	15.74	51.54	162	l23c	
g25b	52.97	-39.7	-6.72	40.27	190	l55c	
g50b	54.85	-32.33	-24.35	40.48	217	l87c	
g75b	49.92	-17.29	-36.02	39.96	244	c20v	
b00r	40.91	1.28	-42.35	42.37	272	c53v	
b25r	26.81	30.38	-52.26	60.45	300	c87v	
b50r	32.52	69.06	-42.14	80.9	329	v68m	
b75r	39.48	71.47	-3.69	71.57	357	m34o	

Dreiecks-Helligkeit i^*

%Umfang
 $u^*_{rel} = 109$
 %Regularität
 $g^*_{H,rel} = 31$
 $g^*_{C,rel} = 40$



Siehe ähnliche Dateien: <http://www.ps.bam.de/Fg64/>; www.ps.bam.de/Fg64/HTM
 Technische Information: <http://www.ps.bam.de> Version 2.1, io=1,1, ColSpx=0

BAM-Registrierung: 20081001-Fg64/10L/L64g00NP.PDF/ .PS BAM-Material: Code=rh4ta
 Anwendung für Beurteilung und Messung von Drucker- oder Monitorssystemen

Ein und Ausgabe: Farbmetrisches Drucker-Reflektiv-System FRS12_95a, L*=12_95 für relativen CIELAB-Buntton $h^* = lab^*h^* = h_{ab}/360 = 0.402$ $u^*_e = j75g$

Daten für jede Farbe:

lab^*tch^* und lab^*icu^*

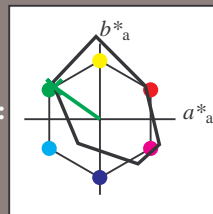
Bunttontexte:

$u^*_e = j75g$ $u^*_d = i03c$

Kontrastreduzierungsfaktor:

$c_R = 1.0$

Dreiecks-Helligkeit i^*



FRS12_95a; adaptierte CIELAB-Daten

	u^*_e	$L^*=L^*_a$	a^*_a	b^*_a	$C^*_{ab,a}$	$h^*_{ab,a}$
O _{Ma}	38.06	60.0	44.0	74.4	36	
Y _{Ma}	86.77	-5.17	109.32	109.44	93	
L _{Ma}	47.13	-62.67	48.24	79.09	142	
C _{Ma}	55.66	-29.14	-31.99	43.27	228	
V _{Ma}	17.15	50.3	-59.04	77.57	310	
M _{Ma}	40.37	78.64	-33.5	85.48	337	
N _{Ma}	11.58	0.0	0.0	0.0	0	
W _{Ma}	95.02	0.0	0.0	0.0	0	
R _{Ma}	39.92	58.74	27.99	65.07	25	
J _{Ma}	81.26	-2.89	71.56	71.62	92	
G _{Ma}	52.23	-42.42	13.6	44.55	162	
B _{Ma}	30.57	1.41	-46.47	46.49	272	

Daten für Maximalfarbe (Ma):

$LAB^*LAB^*_{Ma}$: 48 -60 43

$LAB^*LCH^*_{Ma}$: 48 74 144

$lab^*rgb^*_{Ma}$: 0.25 1.0 0.0

$lab^*olv^*_{Ma}$: 0.0 1.0 0.03

Dreiecks-Helligkeit i^*

%Umfang

$u^*_{rel} = 109$

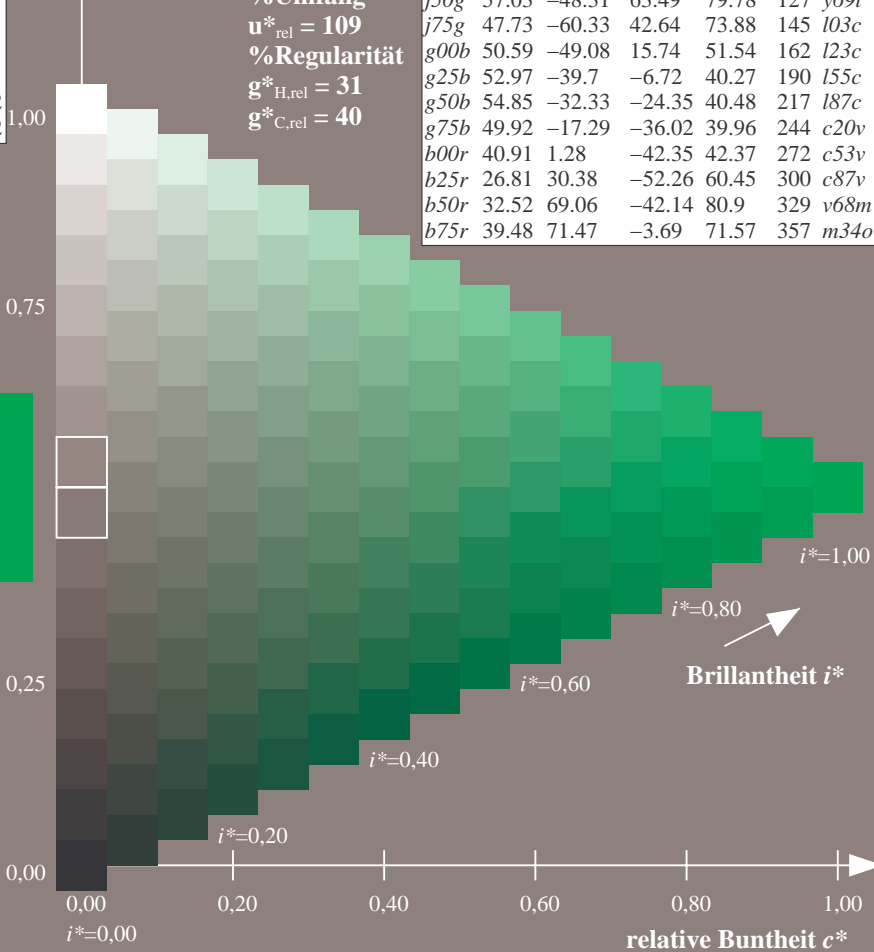
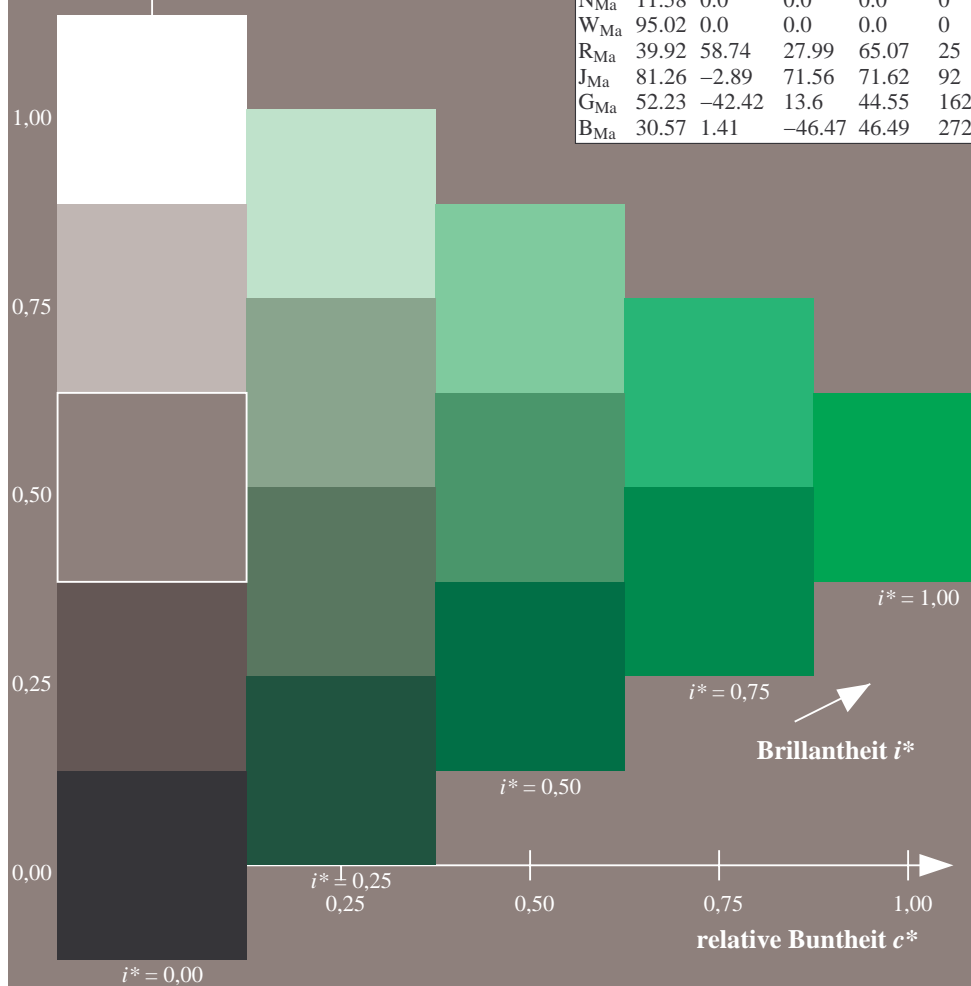
%Regularität

$g^*_{H,rel} = 31$

$g^*_{C,rel} = 40$

FRS12_95a; adaptierte CIELAB-Daten

	u^*_e	$L^*=L^*_a$	a^*_a	b^*_a	$C^*_{ab,a}$	$h^*_{ab,a}$	u^*_d
r00j	38.47	63.32	30.17	70.15	25	m81o	
r25j	42.12	54.56	49.45	73.64	42	o10y	
r50j	53.64	39.15	64.89	75.79	59	o40y	
r75j	67.01	21.26	82.83	85.52	76	o69y	
j00g	86.18	-4.38	108.53	108.62	92	o98y	
j25g	69.73	-29.89	83.06	88.28	110	y34l	
j50g	57.03	-48.31	63.49	79.78	127	y69l	
j75g	47.73	-60.33	42.64	73.88	145	i03c	
g00b	50.59	-49.08	15.74	51.54	162	i23c	
g25b	52.97	-39.7	-6.72	40.27	190	i55c	
g50b	54.85	-32.33	-24.35	40.48	217	i87c	
g75b	49.92	-17.29	-36.02	39.96	244	c20v	
b00r	40.91	1.28	-42.35	42.37	272	c53v	
b25r	26.81	30.38	-52.26	60.45	300	c87v	
b50r	32.52	69.06	-42.14	80.9	329	v68m	
b75r	39.48	71.47	-3.69	71.57	357	m34o	



Siehe ähnliche Dateien: <http://www.ps.bam.de/Fg64/>; www.ps.bam.de/Fg64/HTM
 Technische Information: <http://www.ps.bam.de> Version 2.1, io=1,1, ColSPx=0

BAM-Registrierung: 20081001-Fg64/10L/L64g00NP.PDF/ .PS BAM-Material: Code=rh4ta
 Anwendung für Beurteilung und Messung von Drucker- oder Monitorssystemen

Ein und Ausgabe: Farbmetrisches Drucker-Reflektiv-System FRS12_95a, L*=12_95 für relativen CIELAB-Buntton $h^* = lab^*h^* = h_{ab}/360 = 0.451$ $u^*_e = g00b$

Daten für jede Farbe:

lab^*ch^* und lab^*icu^*

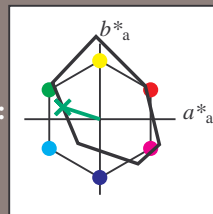
Bunttontexte:

$u^*_e = g00b$ $u^*_d = l23c$

Kontrastreduzierungsfaktor:

$c_R = 1.0$

Dreiecks-Helligkeit i^*



FRS12_95a; adaptierte CIELAB-Daten

	u^*_e	$L^*=L^*_a$	a^*_a	b^*_a	$C^*_{ab,a}$	$h^*_{ab,a}$
O _{Ma}	38.06	60.0	44.0	74.4	36	
Y _{Ma}	86.77	-5.17	109.32	109.44	93	
L _{Ma}	47.13	-62.67	48.24	79.09	142	
C _{Ma}	55.66	-29.14	-31.99	43.27	228	
V _{Ma}	17.15	50.3	-59.04	77.57	310	
M _{Ma}	40.37	78.64	-33.5	85.48	337	
N _{Ma}	11.58	0.0	0.0	0.0	0	
W _{Ma}	95.02	0.0	0.0	0.0	0	
R _{Ma}	39.92	58.74	27.99	65.07	25	
J _{Ma}	81.26	-2.89	71.56	71.62	92	
G _{Ma}	52.23	-42.42	13.6	44.55	162	
B _{Ma}	30.57	1.41	-46.47	46.49	272	

Daten für Maximalfarbe (Ma):

$LAB^*LAB^*_{Ma}$: 51 -49 16

$LAB^*LCH^*_{Ma}$: 51 52 162

$lab^*rgb^*_{Ma}$: 0.0 1.0 0.0

$lab^*olv^*_{Ma}$: 0.0 1.0 0.23

Dreiecks-Helligkeit i^*

%Umfang

$u^*_{rel} = 109$

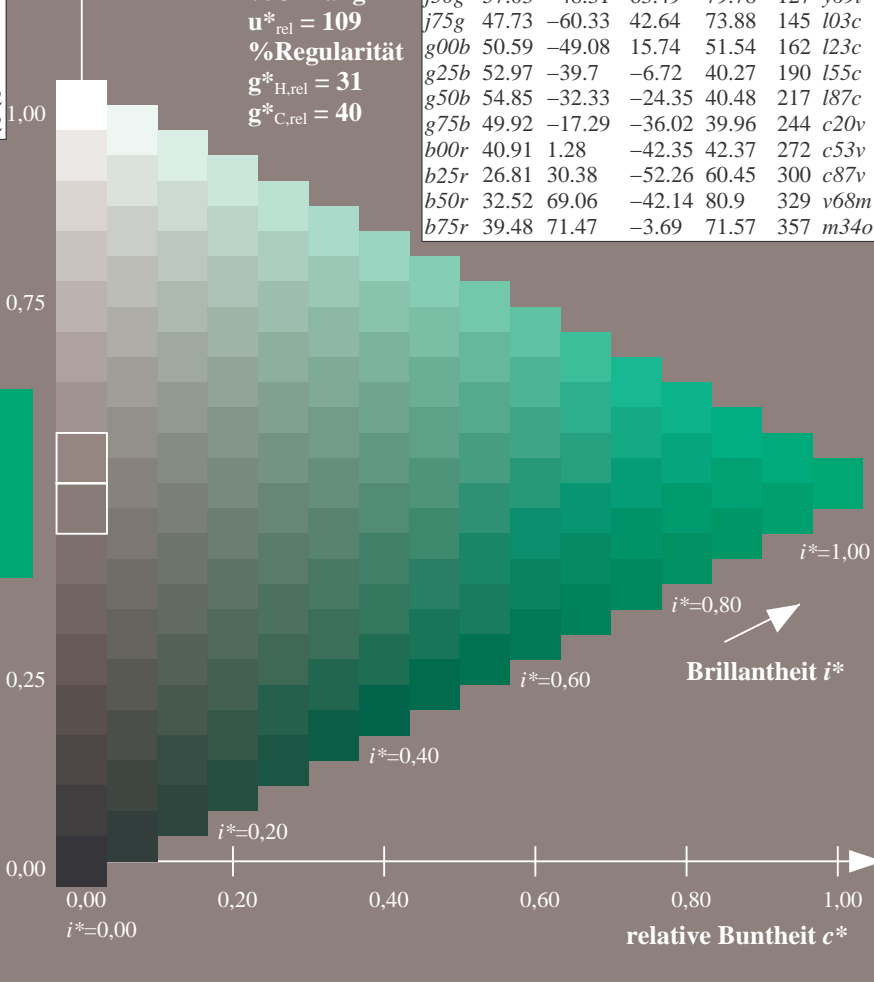
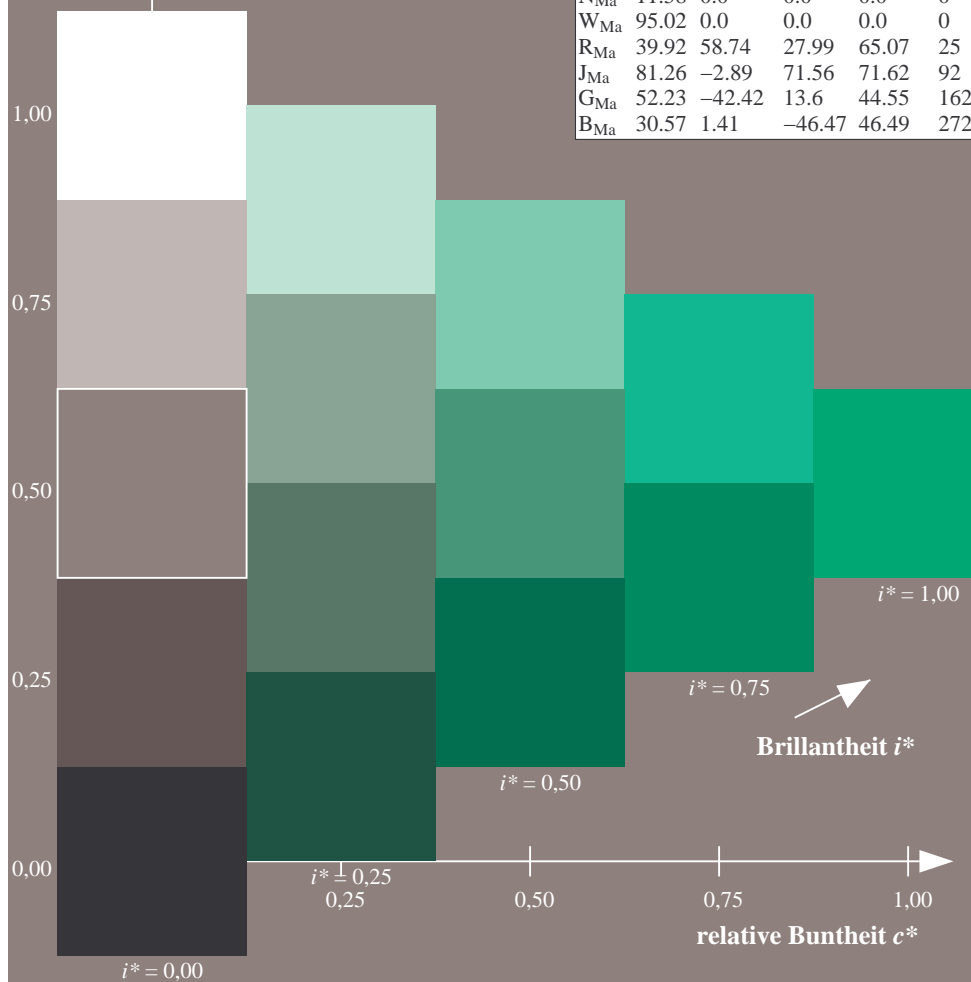
%Regularität

$g^*_{H,rel} = 31$

$g^*_{C,rel} = 40$

FRS12_95a; adaptierte CIELAB-Daten

	u^*_e	$L^*=L^*_a$	a^*_a	b^*_a	$C^*_{ab,a}$	$h^*_{ab,a}$	u^*_d
r00j	38.47	63.32	30.17	70.15	25	m81o	
r25j	42.12	54.56	49.45	73.64	42	o10y	
r50j	53.64	39.15	64.89	75.79	59	o40y	
r75j	67.01	21.26	82.83	85.52	76	o69y	
j00g	86.18	-4.38	108.53	108.62	92	o98y	
j25g	69.73	-29.89	83.06	88.28	110	y34l	
j50g	57.03	-48.31	63.49	79.78	127	y69l	
j75g	47.73	-60.33	42.64	73.88	145	l03c	
g00b	50.59	-49.08	15.74	51.54	162	l23c	
g25b	52.97	-39.7	-6.72	40.27	190	l55c	
g50b	54.85	-32.33	-24.35	40.48	217	l87c	
g75b	49.92	-17.29	-36.02	39.96	244	c20v	
b00r	40.91	1.28	-42.35	42.37	272	c53v	
b25r	26.81	30.38	-52.26	60.45	300	c87v	
b50r	32.52	69.06	-42.14	80.9	329	v68m	
b75r	39.48	71.47	-3.69	71.57	357	m34o	



Siehe ähnliche Dateien: <http://www.ps.bam.de/Fg64/>; www.ps.bam.de/Fg64/HTM
 Technische Information: <http://www.ps.bam.de> Version 2.1, io=1,1, ColSpX=0

BAM-Registrierung: 20081001-Fg64/10L/L64g00NP.PDF/ .PS BAM-Material: Code=rh4ta
 Anwendung für Beurteilung und Messung von Drucker- oder Monitorssystemen

Ein und Ausgabe: Farbmetrisches Drucker-Reflektiv-System FRS12_95a, L*=12_95 für relative CIELAB-Bunton $h^* = lab^*h^* = h_{ab}/360 = 0.527$ $u^*_e = g25b$

Daten für jede Farbe:

lab^*tch^* und lab^*icu^*

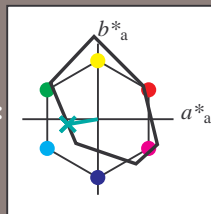
Buntontexte:

$u^*_e = g25b$ $u^*_d = l55c$

Kontrastreduzierungsfaktor:

$c_R = 1.0$

Dreiecks-Helligkeit i^*



FRS12_95a; adaptierte CIELAB-Daten

	u^*_e	$L^*=L^*_a$	a^*_a	b^*_a	$C^*_{ab,a}$	$h^*_{ab,a}$
O _{Ma}	38.06	60.0	44.0	74.4	36	
Y _{Ma}	86.77	-5.17	109.32	109.44	93	
L _{Ma}	47.13	-62.67	48.24	79.09	142	
C _{Ma}	55.66	-29.14	-31.99	43.27	228	
V _{Ma}	17.15	50.3	-59.04	77.57	310	
M _{Ma}	40.37	78.64	-33.5	85.48	337	
N _{Ma}	11.58	0.0	0.0	0.0	0	
W _{Ma}	95.02	0.0	0.0	0.0	0	
R _{Ma}	39.92	58.74	27.99	65.07	25	
J _{Ma}	81.26	-2.89	71.56	71.62	92	
G _{Ma}	52.23	-42.42	13.6	44.55	162	
B _{Ma}	30.57	1.41	-46.47	46.49	272	

Daten für Maximalfarbe (Ma):

$LAB^*LAB^*_{Ma}$: 53 -40 -7

$LAB^*LCH^*_{Ma}$: 53 40 189

$lab^*rgb^*_{Ma}$: 0.0 1.0 0.5

$lab^*olv^*_{Ma}$: 0.0 1.0 0.55

Dreiecks-Helligkeit i^*

%Umfang

$u^*_{rel} = 109$

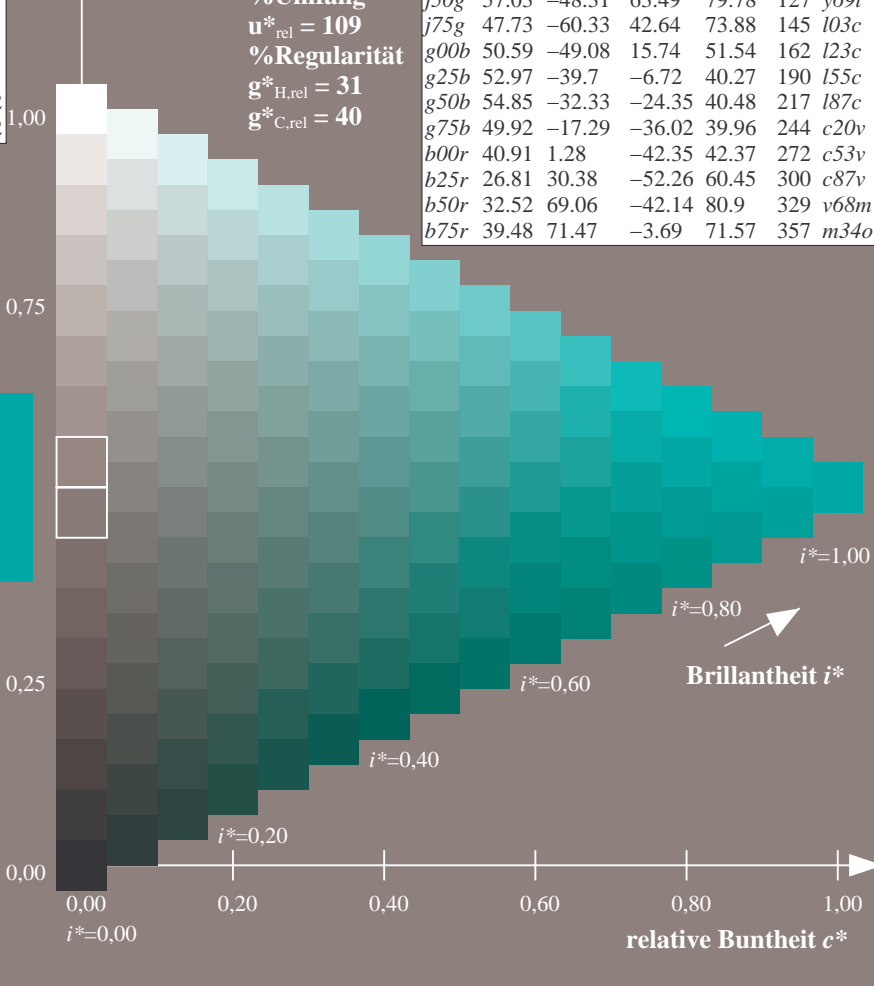
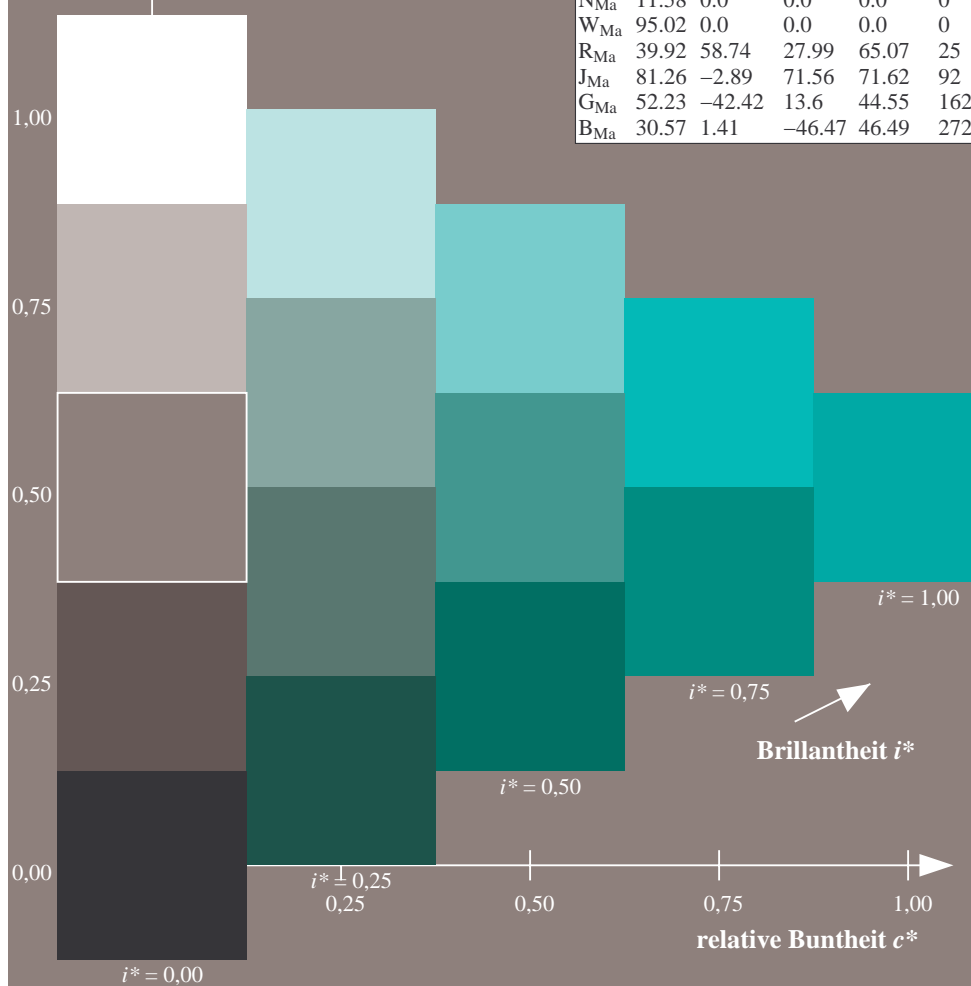
%Regularität

$g^*_{H,rel} = 31$

$g^*_{C,rel} = 40$

FRS12_95a; adaptierte CIELAB-Daten

	u^*_e	$L^*=L^*_a$	a^*_a	b^*_a	$C^*_{ab,a}$	$h^*_{ab,a}$	u^*_d
r00j	38.47	63.32	30.17	70.15	25	m81o	
r25j	42.12	54.56	49.45	73.64	42	o10y	
r50j	53.64	39.15	64.89	75.79	59	o40y	
r75j	67.01	21.26	82.83	85.52	76	o69y	
j00g	86.18	-4.38	108.53	108.62	92	o98y	
j25g	69.73	-29.89	83.06	88.28	110	y34l	
j50g	57.03	-48.31	63.49	79.78	127	y69l	
j75g	47.73	-60.33	42.64	73.88	145	l03c	
g00b	50.59	-49.08	15.74	51.54	162	l23c	
g25b	52.97	-39.7	-6.72	40.27	190	l55c	
g50b	54.85	-32.33	-24.35	40.48	217	l87c	
g75b	49.92	-17.29	-36.02	39.96	244	c20v	
b00r	40.91	1.28	-42.35	42.37	272	c53v	
b25r	26.81	30.38	-52.26	60.45	300	c87v	
b50r	32.52	69.06	-42.14	80.9	329	v68m	
b75r	39.48	71.47	-3.69	71.57	357	m34o	

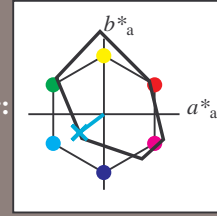


Siehe ähnliche Dateien: <http://www.ps.bam.de/Fg64/>; www.ps.bam.de/Fg64/HTM
 Technische Information: <http://www.ps.bam.de> Version 2.1, io=1,1, ColSpx=0

BAM-Registrierung: 20081001-Fg64/10L/L64g00NP.PDF/ .PS BAM-Material: Code=rh4ta
 Anwendung für Beurteilung und Messung von Drucker- oder Monitorssystemen

Ein und Ausgabe: Farbmetrisches Drucker-Reflektiv-System FRS12_95a, L*=12_95 für relativen CIELAB-Buntton $h^* = lab^*h^* = h_{ab}/360 = 0.603$ $u^*_e = g50b$

Daten für jede Farbe:
 lab^*tch^* und lab^*icu^*
 Bunttontexte:
 $u^*_e = g50b$ $u^*_d = l87c$
 Kontrastreduzierungsfaktor:
 $c_R = 1.0$
 Dreiecks-Helligkeit i^*



FRS12_95a; adaptierte CIELAB-Daten						
	u^*_e	$L^*=L^*_a$	a^*_a	b^*_a	$C^*_{ab,a}$	$h^*_{ab,a}$
O _{Ma}	38.06	60.0	44.0	74.4	36	
Y _{Ma}	86.77	-5.17	109.32	109.44	93	
L _{Ma}	47.13	-62.67	48.24	79.09	142	
C _{Ma}	55.66	-29.14	-31.99	43.27	228	
V _{Ma}	17.15	50.3	-59.04	77.57	310	
M _{Ma}	40.37	78.64	-33.5	85.48	337	
N _{Ma}	11.58	0.0	0.0	0.0	0	
W _{Ma}	95.02	0.0	0.0	0.0	0	
R _{Ma}	39.92	58.74	27.99	65.07	25	
J _{Ma}	81.26	-2.89	71.56	71.62	92	
G _{Ma}	52.23	-42.42	13.6	44.55	162	
B _{Ma}	30.57	1.41	-46.47	46.49	272	

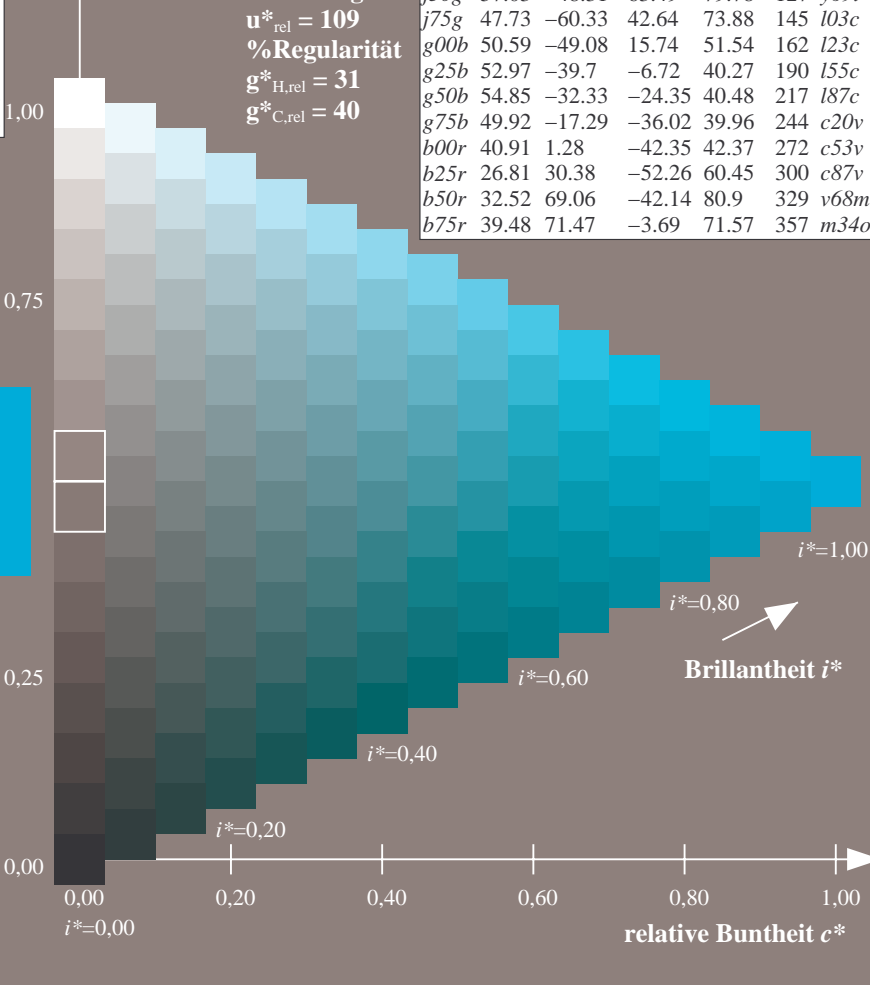
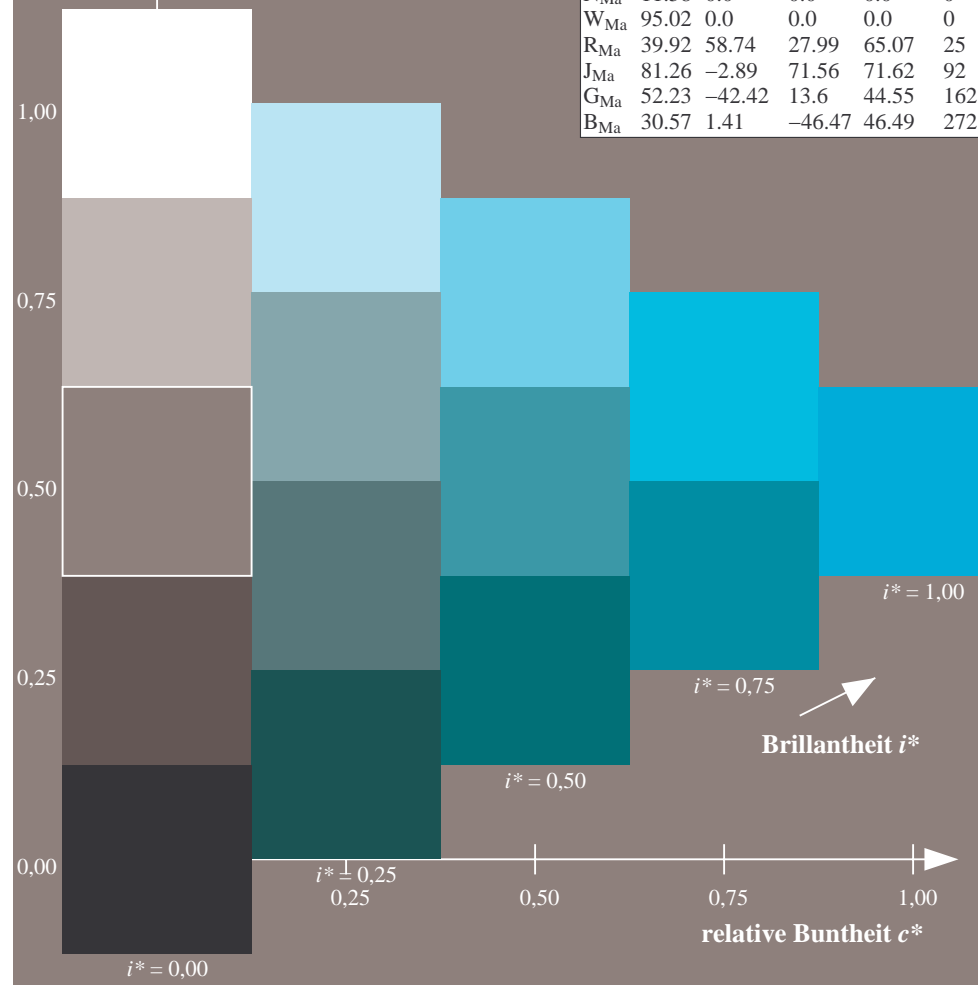
Daten für Maximalfarbe (Ma):

$LAB^*LAB^*_{Ma}$: 55 -32 -24
 $LAB^*LCH^*_{Ma}$: 55 40 216
 $lab^*rgb^*_{Ma}$: 0.0 1.0 1.0
 $lab^*olv^*_{Ma}$: 0.0 1.0 0.87

FRS12_95a; adaptierte CIELAB-Daten							
	u^*_e	$L^*=L^*_a$	a^*_a	b^*_a	$C^*_{ab,a}$	$h^*_{ab,a}$	u^*_d
r00j	38.47	63.32	30.17	70.15	25	m81o	
r25j	42.12	54.56	49.45	73.64	42	o10y	
r50j	53.64	39.15	64.89	75.79	59	o40y	
r75j	67.01	21.26	82.83	85.52	76	o69y	
j00g	86.18	-4.38	108.53	108.62	92	o98y	
j25g	69.73	-29.89	83.06	88.28	110	y34l	
j50g	57.03	-48.31	63.49	79.78	127	y69l	
j75g	47.73	-60.33	42.64	73.88	145	l03c	
g00b	50.59	-49.08	15.74	51.54	162	l23c	
g25b	52.97	-39.7	-6.72	40.27	190	l55c	
g50b	54.85	-32.33	-24.35	40.48	217	l87c	
g75b	49.92	-17.29	-36.02	39.96	244	c20v	
b00r	40.91	1.28	-42.35	42.37	272	c53v	
b25r	26.81	30.38	-52.26	60.45	300	c87v	
b50r	32.52	69.06	-42.14	80.9	329	v68m	
b75r	39.48	71.47	-3.69	71.57	357	m34o	

Dreiecks-Helligkeit i^*

%Umfang
 $u^*_{rel} = 109$
 %Regularität
 $g^*_{H,rel} = 31$
 $g^*_{C,rel} = 40$



Siehe ähnliche Dateien: <http://www.ps.bam.de/Fg64/>; [http://www.ps.bam.de/Version 2.1](http://www.ps.bam.de/Version2.1/), io=1,1, ColSpx=0

BAM-Registrierung: 20081001-Fg64/10L/L64g00NP.PDF/ .PS BAM-Material: Code=rh4ta
 Anwendung für Beurteilung und Messung von Drucker- oder Monitorssystemen

Ein und Ausgabe: Farbmetrisches Drucker-Reflektiv-System FRS12_95a, L*=12_95 für relativen CIELAB-Buntton $h^* = lab^*h^* = h_{ab}/360 = 0.679$ $u^*_e = g75b$

Daten für jede Farbe:

lab^*tch^* und lab^*icu^*

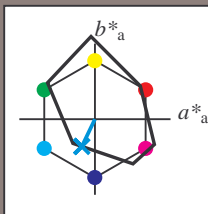
Bunttontexte:

$u^*_e = g75b$ $u^*_d = c20v$

Kontrastreduzierungsfaktor:

$c_R = 1.0$

Dreiecks-Helligkeit i^*



FRS12_95a; adaptierte CIELAB-Daten

	u^*_e	$L^*=L^*_a$	a^*_a	b^*_a	$C^*_{ab,a}$	$h^*_{ab,a}$
O _{Ma}	38.06	60.0	44.0	74.4	36	
Y _{Ma}	86.77	-5.17	109.32	109.44	93	
L _{Ma}	47.13	-62.67	48.24	79.09	142	
C _{Ma}	55.66	-29.14	-31.99	43.27	228	
V _{Ma}	17.15	50.3	-59.04	77.57	310	
M _{Ma}	40.37	78.64	-33.5	85.48	337	
N _{Ma}	11.58	0.0	0.0	0.0	0	
W _{Ma}	95.02	0.0	0.0	0.0	0	
R _{Ma}	39.92	58.74	27.99	65.07	25	
J _{Ma}	81.26	-2.89	71.56	71.62	92	
G _{Ma}	52.23	-42.42	13.6	44.55	162	
B _{Ma}	30.57	1.41	-46.47	46.49	272	

Daten für Maximalfarbe (Ma):

$LAB^*LAB^*_{Ma}$: 50 -17 -36

$LAB^*LCH^*_{Ma}$: 50 40 244

$lab^*rgb^*_{Ma}$: 0.0 0.5 1.0

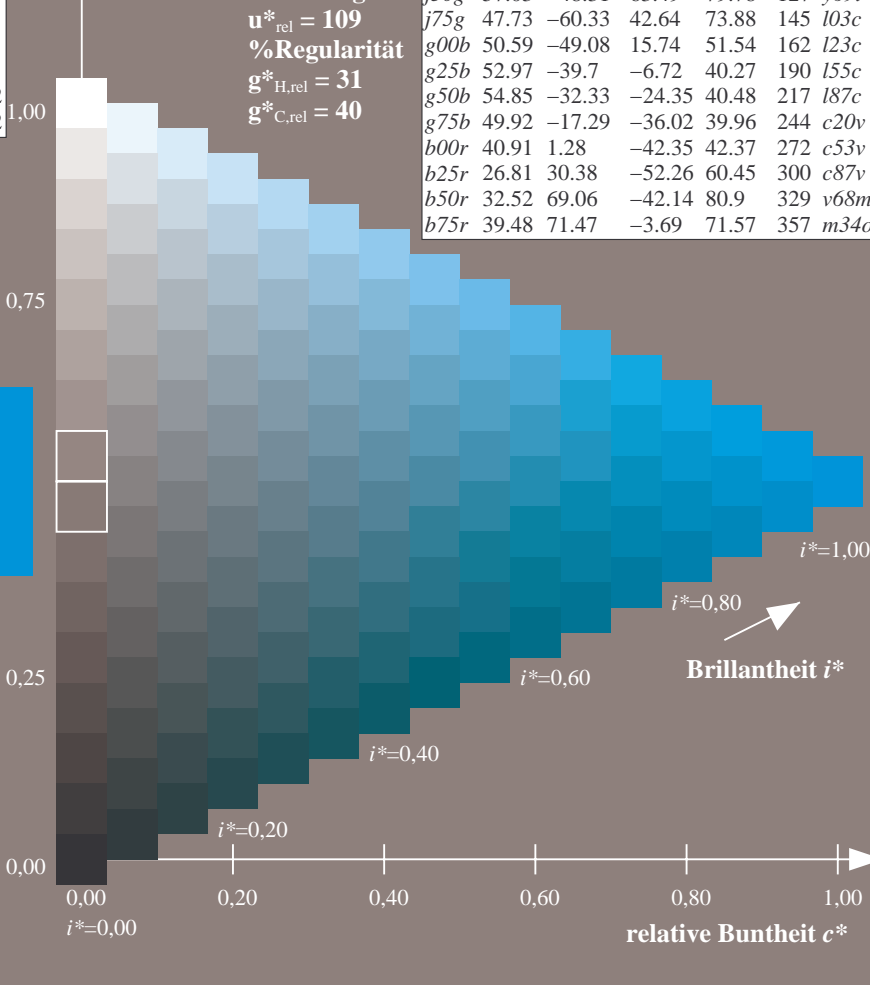
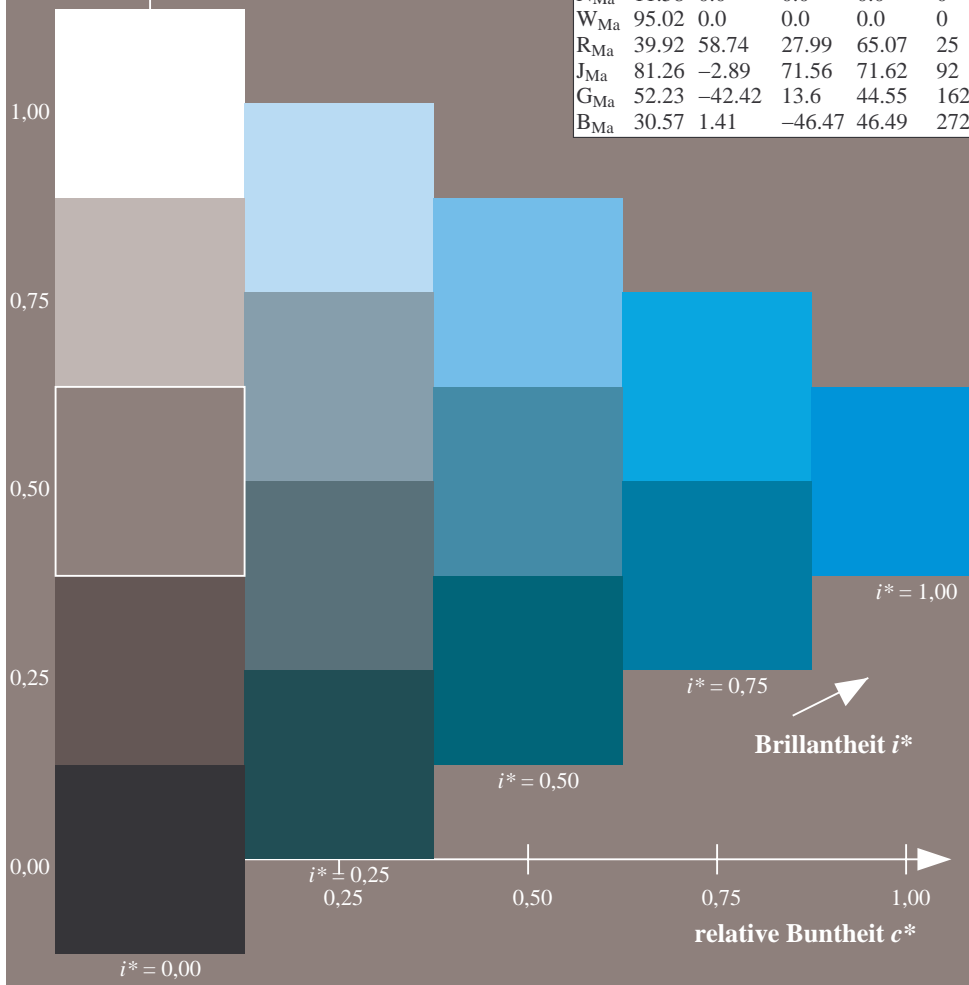
$lab^*olv^*_{Ma}$: 0.0 0.8 1.0

Dreiecks-Helligkeit i^*

%Umfang
 $u^*_{rel} = 109$
 %Regularität
 $g^*_{H,rel} = 31$
 $g^*_{C,rel} = 40$

FRS12_95a; adaptierte CIELAB-Daten

	u^*_e	$L^*=L^*_a$	a^*_a	b^*_a	$C^*_{ab,a}$	$h^*_{ab,a}$	u^*_d
r00j	38.47	63.32	30.17	70.15	25	m81o	
r25j	42.12	54.56	49.45	73.64	42	o10y	
r50j	53.64	39.15	64.89	75.79	59	o40y	
r75j	67.01	21.26	82.83	85.52	76	o69y	
j00g	86.18	-4.38	108.53	108.62	92	o98y	
j25g	69.73	-29.89	83.06	88.28	110	y34l	
j50g	57.03	-48.31	63.49	79.78	127	y69l	
j75g	47.73	-60.33	42.64	73.88	145	l03c	
g00b	50.59	-49.08	15.74	51.54	162	l23c	
g25b	52.97	-39.7	-6.72	40.27	190	l55c	
g50b	54.85	-32.33	-24.35	40.48	217	l87c	
g75b	49.92	-17.29	-36.02	39.96	244	c20v	
b00r	40.91	1.28	-42.35	42.37	272	c53v	
b25r	26.81	30.38	-52.26	60.45	300	c87v	
b50r	32.52	69.06	-42.14	80.9	329	v68m	
b75r	39.48	71.47	-3.69	71.57	357	m34o	

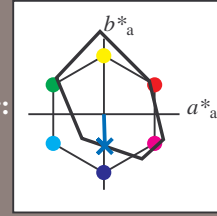


Siehe ähnliche Dateien: <http://www.ps.bam.de/Fg64/>; www.ps.bam.de/Fg64/HTM
 Technische Information: <http://www.ps.bam.de> Version 2.1, io=1,1, ColSpX=0

BAM-Registrierung: 20081001-Fg64/10L/L64g00NP.PDF/ .PS BAM-Material: Code=rh4ta
 Anwendung für Beurteilung und Messung von Drucker- oder Monitorssystemen

Ein und Ausgabe: Farbmetrisches Drucker-Reflektiv-System FRS12_95a, L*=12_95 für relativen CIELAB-Buntton $h^* = lab^*h^* = h_{ab}/360 = 0.755$ $u^*_e = b00r$

Daten für jede Farbe:
 lab^*tch^* und lab^*icu^*
 Bunttontexte:
 $u^*_e = b00r$ $u^*_d = c53v$
 Kontrastreduzierungsfaktor:
 $c_R = 1.0$
 Dreiecks-Helligkeit i^*



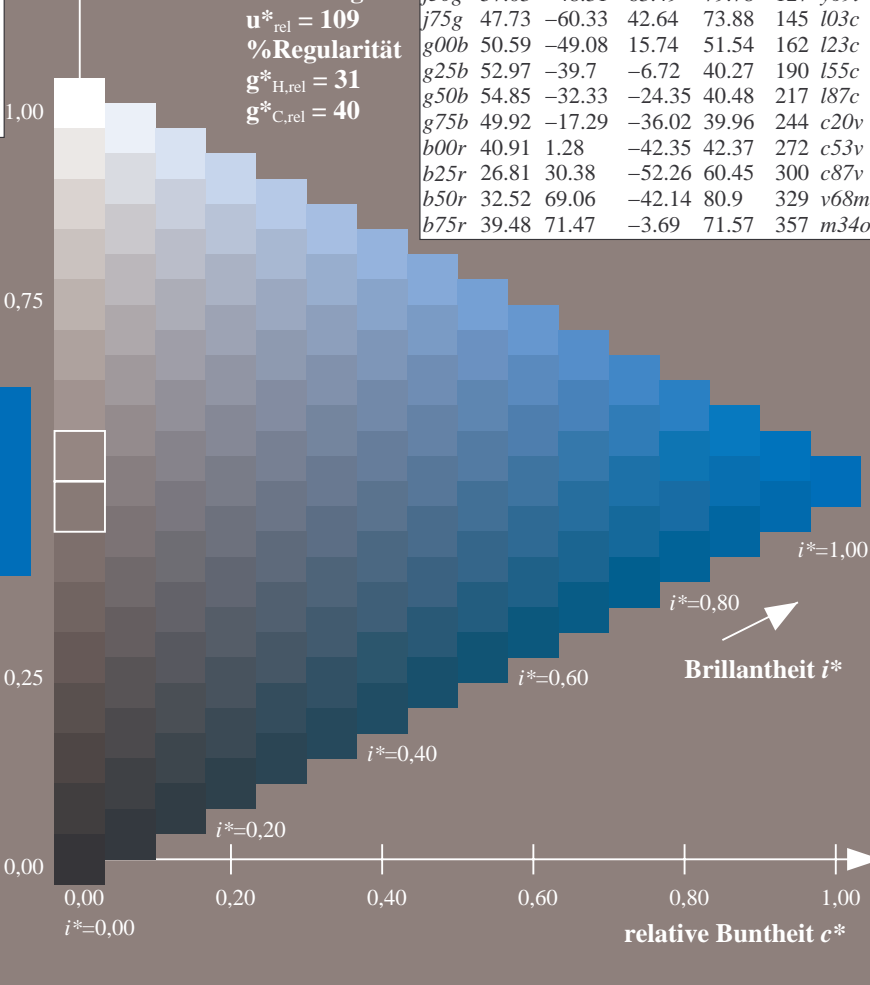
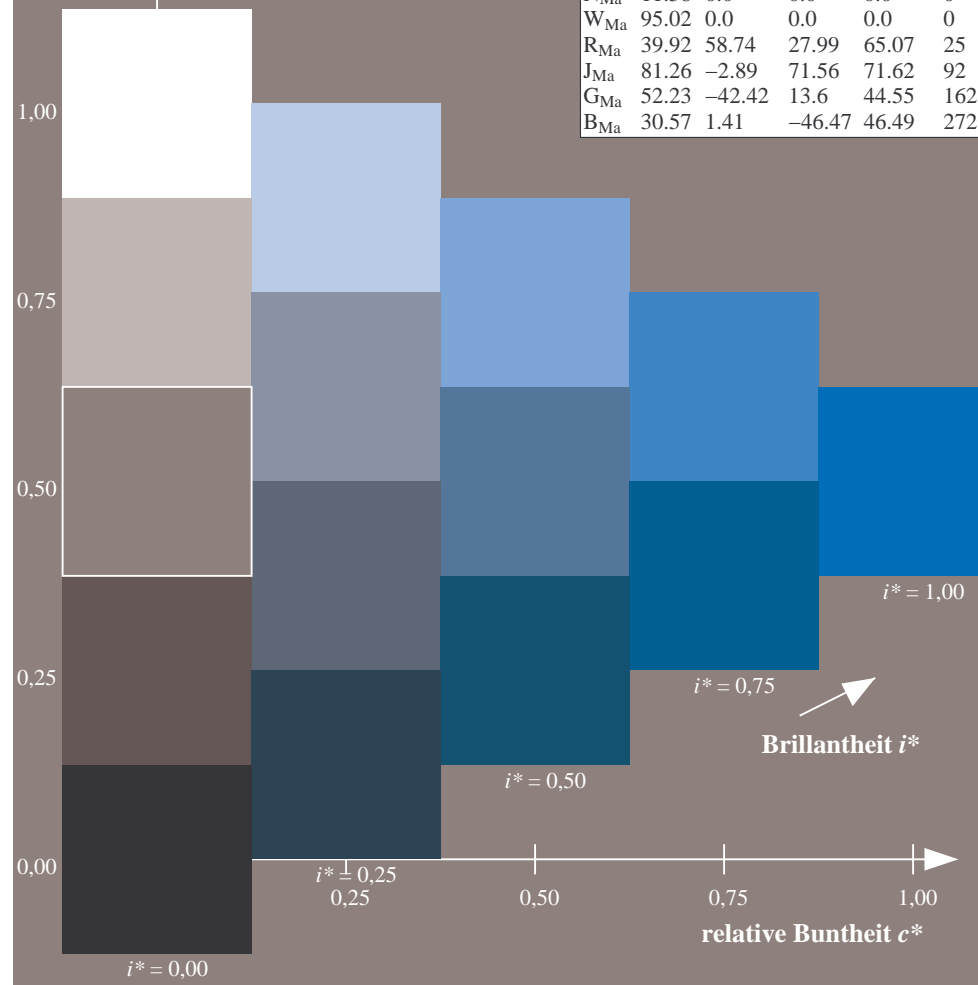
FRS12_95a; adaptierte CIELAB-Daten						
	u^*_e	$L^*=L^*_a$	a^*_a	b^*_a	$C^*_{ab,a}$	$h^*_{ab,a}$
O _{Ma}	38.06	60.0	44.0	74.4	36	
Y _{Ma}	86.77	-5.17	109.32	109.44	93	
L _{Ma}	47.13	-62.67	48.24	79.09	142	
C _{Ma}	55.66	-29.14	-31.99	43.27	228	
V _{Ma}	17.15	50.3	-59.04	77.57	310	
M _{Ma}	40.37	78.64	-33.5	85.48	337	
N _{Ma}	11.58	0.0	0.0	0.0	0	
W _{Ma}	95.02	0.0	0.0	0.0	0	
R _{Ma}	39.92	58.74	27.99	65.07	25	
J _{Ma}	81.26	-2.89	71.56	71.62	92	
G _{Ma}	52.23	-42.42	13.6	44.55	162	
B _{Ma}	30.57	1.41	-46.47	46.49	272	

Daten für Maximalfarbe (Ma):

$LAB^*LAB^*_{Ma}$: 41 1 -42
 $LAB^*LCH^*_{Ma}$: 41 42 271
 $lab^*rgb^*_{Ma}$: 0.0 0.0 1.0
 $lab^*olv^*_{Ma}$: 0.0 0.47 1.0

FRS12_95a; adaptierte CIELAB-Daten							
	u^*_e	$L^*=L^*_a$	a^*_a	b^*_a	$C^*_{ab,a}$	$h^*_{ab,a}$	u^*_d
r00j	38.47	63.32	30.17	70.15	25	m81o	
r25j	42.12	54.56	49.45	73.64	42	o10y	
r50j	53.64	39.15	64.89	75.79	59	o40y	
r75j	67.01	21.26	82.83	85.52	76	o69y	
j00g	86.18	-4.38	108.53	108.62	92	o98y	
j25g	69.73	-29.89	83.06	88.28	110	y34l	
j50g	57.03	-48.31	63.49	79.78	127	y69l	
j75g	47.73	-60.33	42.64	73.88	145	l03c	
g00b	50.59	-49.08	15.74	51.54	162	l23c	
g25b	52.97	-39.7	-6.72	40.27	190	l55c	
g50b	54.85	-32.33	-24.35	40.48	217	l87c	
g75b	49.92	-17.29	-36.02	39.96	244	c20v	
b00r	40.91	1.28	-42.35	42.37	272	c53v	
b25r	26.81	30.38	-52.26	60.45	300	c87v	
b50r	32.52	69.06	-42.14	80.9	329	v68m	
b75r	39.48	71.47	-3.69	71.57	357	m34o	

Dreiecks-Helligkeit i^*
 %Umfang
 $u^*_{rel} = 109$
 %Regularität
 $g^*_{H,rel} = 31$
 $g^*_{C,rel} = 40$



Siehe ähnliche Dateien: <http://www.ps.bam.de/Fg64/>; www.ps.bam.de/Fg64/HTM
 Technische Information: <http://www.ps.bam.de> Version 2.1, io=1,1, ColSpX=0

BAM-Registrierung: 20081001-Fg64/10L/L64g00NP.PDF/ .PS BAM-Material: Code=rh4ta
 Anwendung für Beurteilung und Messung von Drucker- oder Monitorssystemen

Ein und Ausgabe: Farbmetrisches Drucker-Reflektiv-System FRS12_95a, L*=12_95 für relativen CIELAB-Buntton $h^* = lab^*h^* = h_{ab}/360 = 0.834$ $u^*_e = b25r$

Daten für jede Farbe:

lab^*tch^* und lab^*icu^*

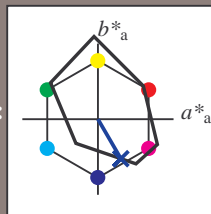
Bunttontexte:

$u^*_e = b25r$ $u^*_d = c87v$

Kontrastreduzierungsfaktor:

$c_R = 1.0$

Dreiecks-Helligkeit i^*



FRS12_95a; adaptierte CIELAB-Daten

	u^*_e	$L^*=L^*_a$	a^*_a	b^*_a	$C^*_{ab,a}$	$h^*_{ab,a}$
O _{Ma}	38.06	60.0	44.0	74.4	36	
Y _{Ma}	86.77	-5.17	109.32	109.44	93	
L _{Ma}	47.13	-62.67	48.24	79.09	142	
C _{Ma}	55.66	-29.14	-31.99	43.27	228	
V _{Ma}	17.15	50.3	-59.04	77.57	310	
M _{Ma}	40.37	78.64	-33.5	85.48	337	
N _{Ma}	11.58	0.0	0.0	0.0	0	
W _{Ma}	95.02	0.0	0.0	0.0	0	
R _{Ma}	39.92	58.74	27.99	65.07	25	
J _{Ma}	81.26	-2.89	71.56	71.62	92	
G _{Ma}	52.23	-42.42	13.6	44.55	162	
B _{Ma}	30.57	1.41	-46.47	46.49	272	

Daten für Maximalfarbe (Ma):

$LAB^*LAB^*_{Ma}$: 27 30 -52

$LAB^*LCH^*_{Ma}$: 27 60 300

$lab^*rgb^*_{Ma}$: 0.5 0.0 1.0

$lab^*olv^*_{Ma}$: 0.0 0.12 1.0

Dreiecks-Helligkeit i^*

%Umfang

$u^*_{rel} = 109$

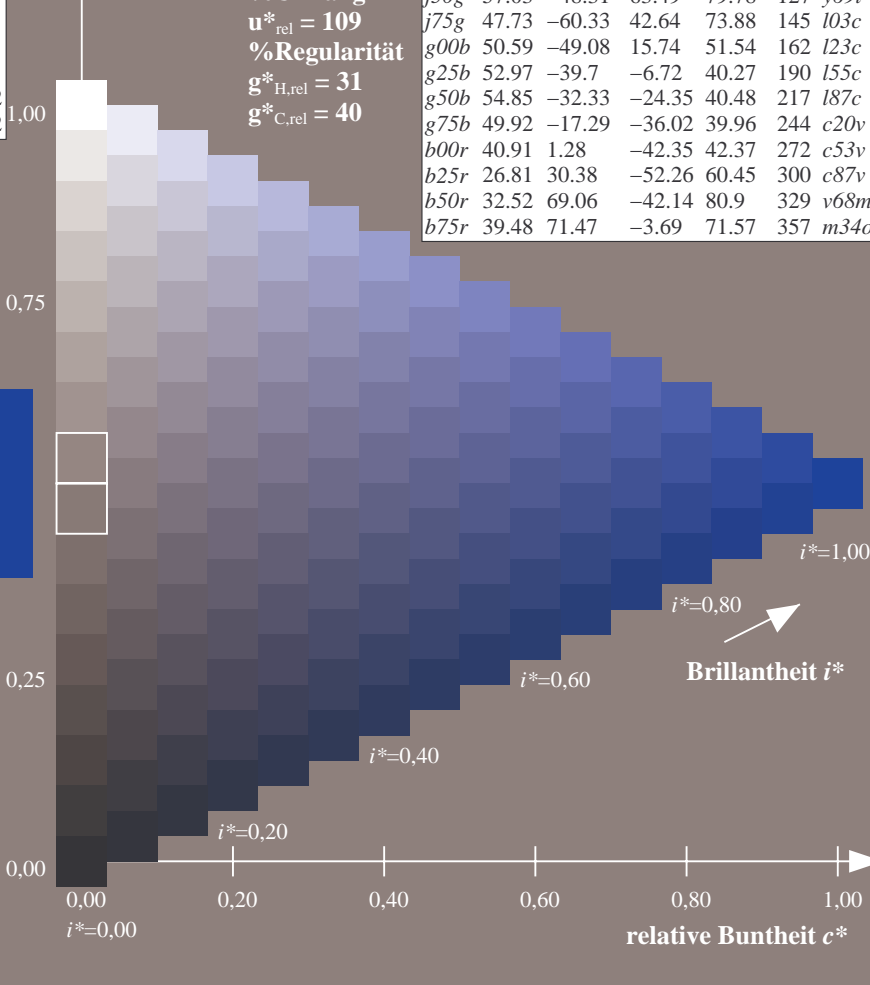
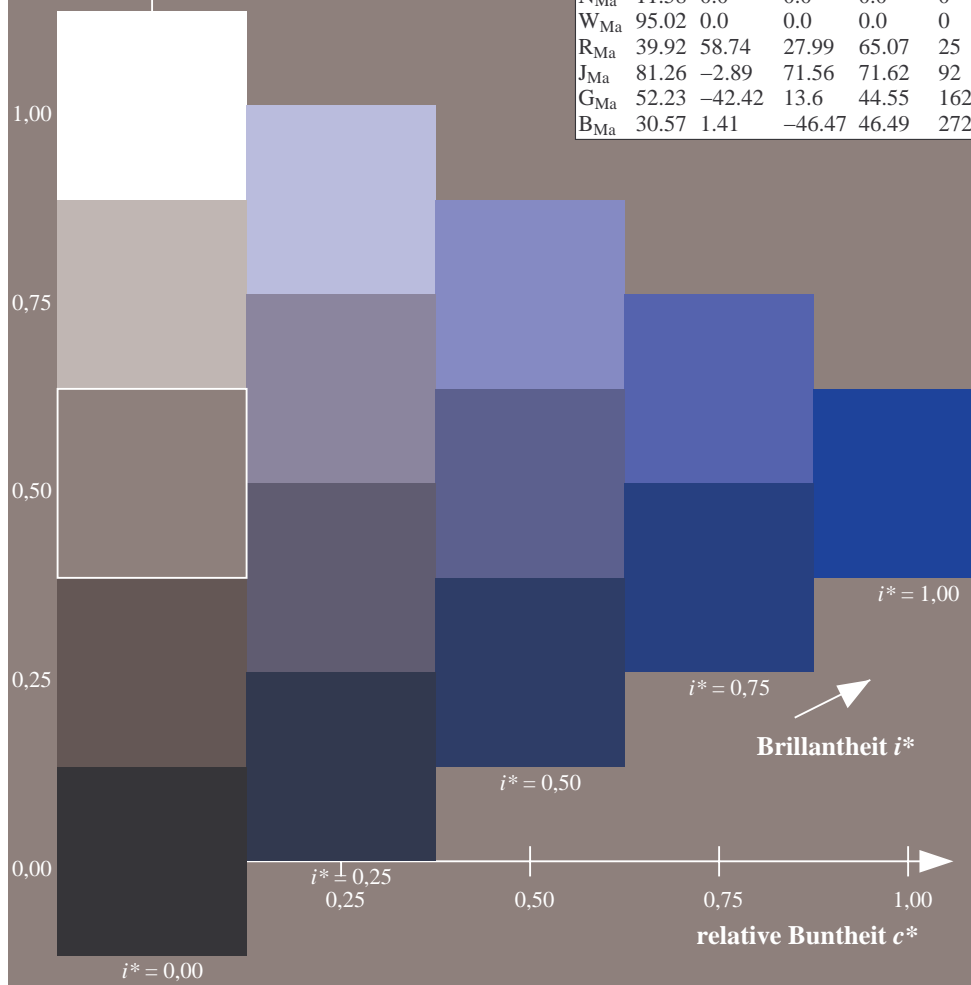
%Regularität

$g^*_{H,rel} = 31$

$g^*_{C,rel} = 40$

FRS12_95a; adaptierte CIELAB-Daten

	u^*_e	$L^*=L^*_a$	a^*_a	b^*_a	$C^*_{ab,a}$	$h^*_{ab,a}$	u^*_d
r00j	38.47	63.32	30.17	70.15	25	m81o	
r25j	42.12	54.56	49.45	73.64	42	o10y	
r50j	53.64	39.15	64.89	75.79	59	o40y	
r75j	67.01	21.26	82.83	85.52	76	o69y	
j00g	86.18	-4.38	108.53	108.62	92	o98y	
j25g	69.73	-29.89	83.06	88.28	110	y34l	
j50g	57.03	-48.31	63.49	79.78	127	y69l	
j75g	47.73	-60.33	42.64	73.88	145	l03c	
g00b	50.59	-49.08	15.74	51.54	162	l23c	
g25b	52.97	-39.7	-6.72	40.27	190	l55c	
g50b	54.85	-32.33	-24.35	40.48	217	l87c	
g75b	49.92	-17.29	-36.02	39.96	244	c20c	
b00r	40.91	1.28	-42.35	42.37	272	c53v	
b25r	26.81	30.38	-52.26	60.45	300	c87v	
b50r	32.52	69.06	-42.14	80.9	329	v68m	
b75r	39.48	71.47	-3.69	71.57	357	m34o	

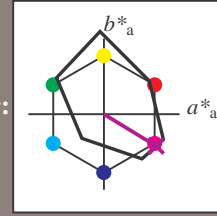


Siehe ähnliche Dateien: <http://www.ps.bam.de/Fg64/>; www.ps.bam.de/Fg64/HTM
 Technische Information: <http://www.ps.bam.de> Version 2.1, io=1,1, ColSpx=0

BAM-Registrierung: 20081001-Fg64/10L/L64g00NP.PDF/ .PS BAM-Material: Code=rh4ta
 Anwendung für Beurteilung und Messung von Drucker- oder Monitorssystemen

Ein und Ausgabe: Farbmetrisches Drucker-Reflektiv-System FRS12_95a, L*=12_95 für relativen CIELAB-Buntton $h^* = lab^*h^* = h_{ab}/360 = 0.913$ $u^*_e = b50r$

Daten für jede Farbe:
 lab^*ch^* und lab^*icu^*
 Bunttontexte:
 $u^*_e = b50r$ $u^*_d = v68m$
 Kontrastreduzierungsfaktor:
 $c_R = 1.0$
 Dreiecks-Helligkeit i^*



FRS12_95a; adaptierte CIELAB-Daten						
	u^*_e	$L^*=L^*_a$	a^*_a	b^*_a	$C^*_{ab,a}$	$h^*_{ab,a}$
OMa	38.06	60.0	44.0	74.4	36	
YMa	86.77	-5.17	109.32	109.44	93	
LMa	47.13	-62.67	48.24	79.09	142	
CMa	55.66	-29.14	-31.99	43.27	228	
VMa	17.15	50.3	-59.04	77.57	310	
NMa	40.37	78.64	-33.5	85.48	337	
WMa	11.58	0.0	0.0	0.0	0	
WMa	95.02	0.0	0.0	0.0	0	
RMa	39.92	58.74	27.99	65.07	25	
JMa	81.26	-2.89	71.56	71.62	92	
GMa	52.23	-42.42	13.6	44.55	162	
BMa	30.57	1.41	-46.47	46.49	272	

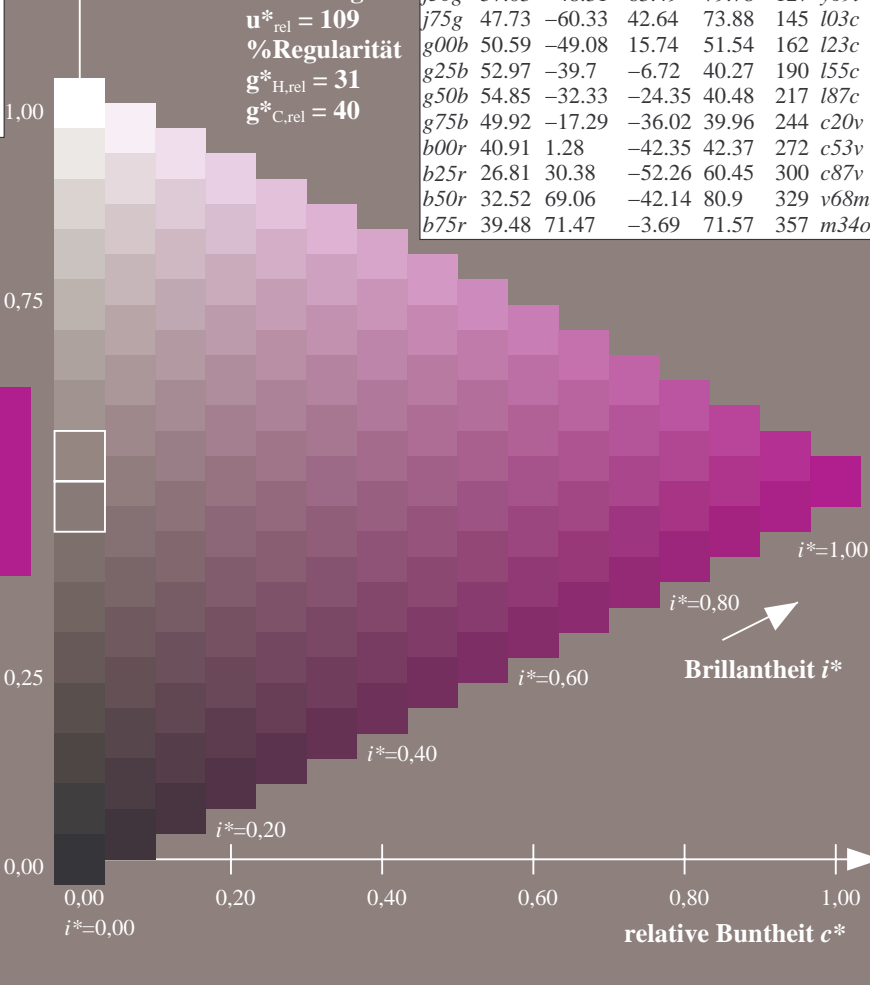
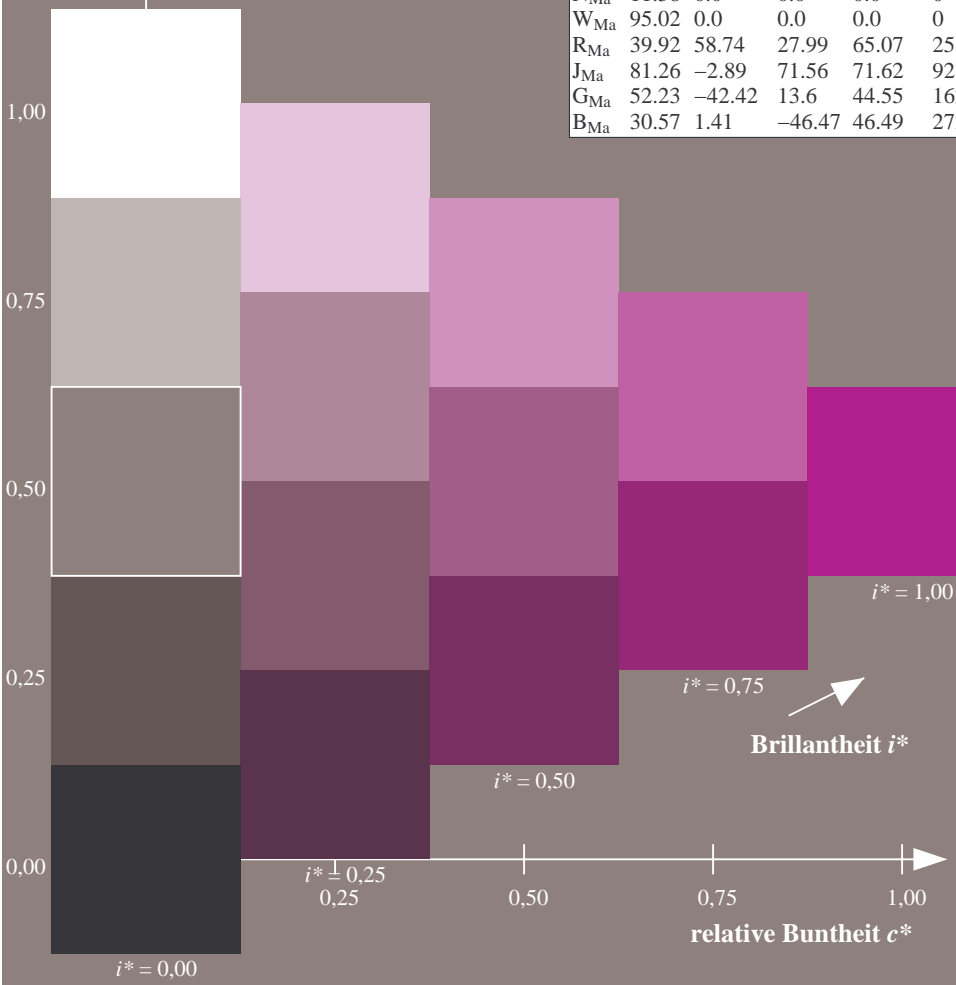
Daten für Maximalfarbe (Ma):

$LAB^*LAB^*_{Ma}$: 33 69 -42
 $LAB^*LCH^*_{Ma}$: 33 81 328
 $lab^*rgb^*_{Ma}$: 1.0 0.0 1.0
 $lab^*olv^*_{Ma}$: 0.69 0.0 1.0

FRS12_95a; adaptierte CIELAB-Daten							
	u^*_e	$L^*=L^*_a$	a^*_a	b^*_a	$C^*_{ab,a}$	$h^*_{ab,a}$	u^*_d
r00j	38.47	63.32	30.17	70.15	25	m81o	
r25j	42.12	54.56	49.45	73.64	42	o10y	
r50j	53.64	39.15	64.89	75.79	59	o40y	
r75j	67.01	21.26	82.83	85.52	76	o69y	
j00g	86.18	-4.38	108.53	108.62	92	o98y	
j25g	69.73	-29.89	83.06	88.28	110	y34l	
j50g	57.03	-48.31	63.49	79.78	127	y69l	
j75g	47.73	-60.33	42.64	73.88	145	l03c	
g00b	50.59	-49.08	15.74	51.54	162	l23c	
g25b	52.97	-39.7	-6.72	40.27	190	l55c	
g50b	54.85	-32.33	-24.35	40.48	217	l87c	
g75b	49.92	-17.29	-36.02	39.96	244	c20v	
b00r	40.91	1.28	-42.35	42.37	272	c53v	
b25r	26.81	30.38	-52.26	60.45	300	c87v	
b50r	32.52	69.06	-42.14	80.9	329	v68m	
b75r	39.48	71.47	-3.69	71.57	357	m34o	

Dreiecks-Helligkeit i^*

%Umfang
 $u^*_{rel} = 109$
 %Regularität
 $g^*_{H,rel} = 31$
 $g^*_{C,rel} = 40$

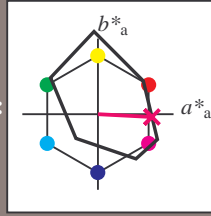


Siehe ähnliche Dateien: <http://www.ps.bam.de/Fg64/>; www.ps.bam.de/Fg64/HTM
 Technische Information: <http://www.ps.bam.de> Version 2.1, io=1,1, ColSpx=0

BAM-Registrierung: 20081001-Fg64/10L/L64g00NP.PDF/ .PS BAM-Material: Code=rh4ta
 Anwendung für Beurteilung und Messung von Drucker- oder Monitorssystemen

Ein und Ausgabe: Farbmetrisches Drucker-Reflektiv-System FRS12_95a, L*=12_95 für relativen CIELAB-Buntton $h^* = lab^*h^* = h_{ab}/360 = 0.992$ $u^*_e = b75r$

Daten für jede Farbe:
 lab^*tch^* und lab^*icu^*
 Bunttontexte:
 $u^*_e = b75r$ $u^*_d = m34o$
 Kontrastreduzierungsfaktor:
 $c_R = 1.0$
 Dreiecks-Helligkeit i^*

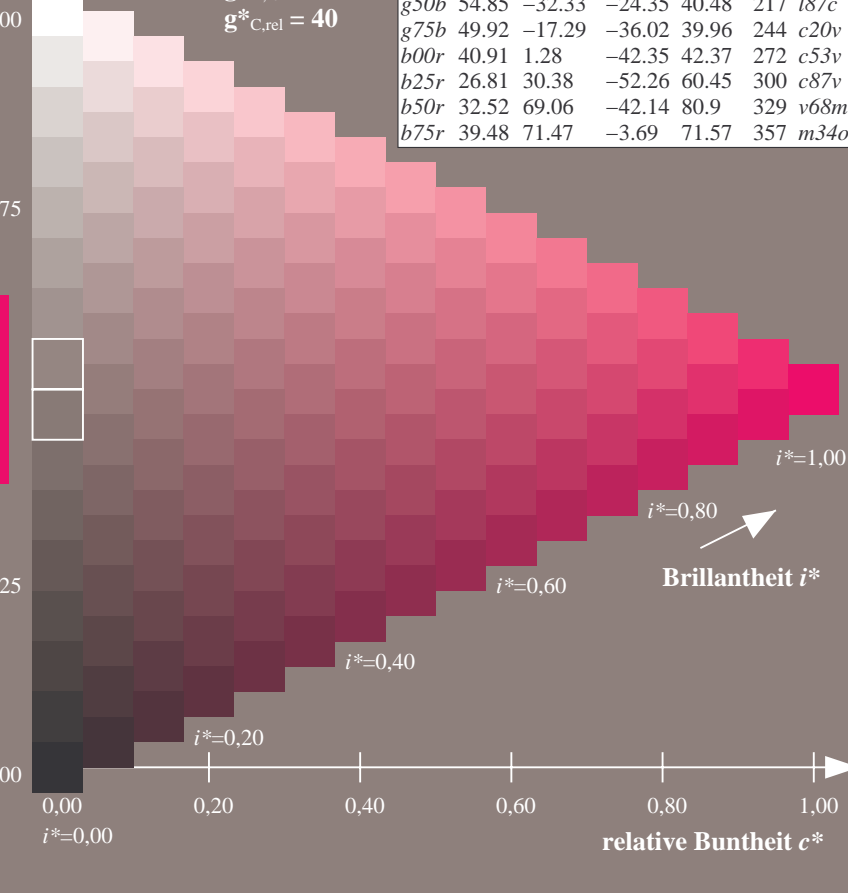
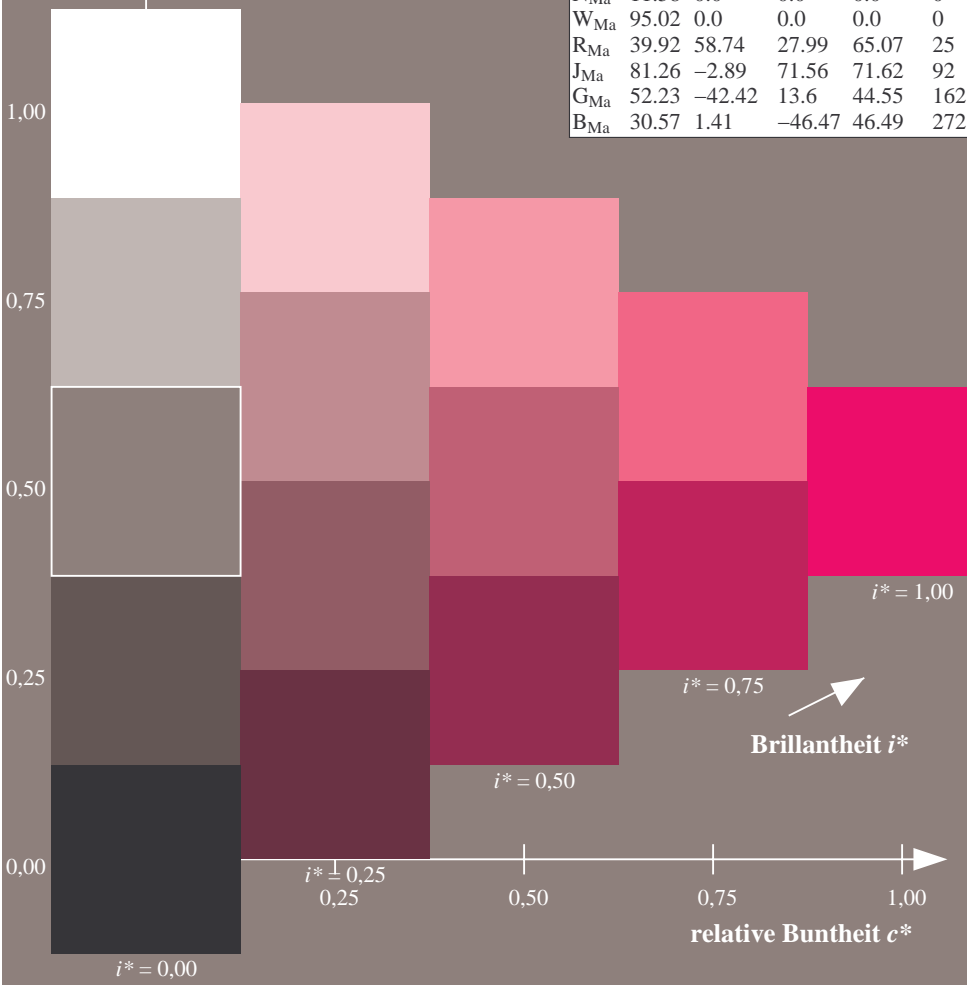


FRS12_95a; adaptierte CIELAB-Daten						
	u^*_e	$L^*=L^*_a$	a^*_a	b^*_a	$C^*_{ab,a}$	$h^*_{ab,a}$
O _{Ma}	38.06	60.0	44.0	74.4	36	
Y _{Ma}	86.77	-5.17	109.32	109.44	93	
L _{Ma}	47.13	-62.67	48.24	79.09	142	
C _{Ma}	55.66	-29.14	-31.99	43.27	228	
V _{Ma}	17.15	50.3	-59.04	77.57	310	
M _{Ma}	40.37	78.64	-33.5	85.48	337	
N _{Ma}	11.58	0.0	0.0	0.0	0	
W _{Ma}	95.02	0.0	0.0	0.0	0	
R _{Ma}	39.92	58.74	27.99	65.07	25	
J _{Ma}	81.26	-2.89	71.56	71.62	92	
G _{Ma}	52.23	-42.42	13.6	44.55	162	
B _{Ma}	30.57	1.41	-46.47	46.49	272	

Daten für Maximalfarbe (Ma):
 $LAB^*LAB^*_{Ma}$: 39 71 -4
 $LAB^*LCH^*_{Ma}$: 39 72 357
 $lab^*rgb^*_{Ma}$: 1.0 0.0 0.5
 $lab^*olv^*_{Ma}$: 1.0 0.0 0.66

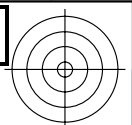
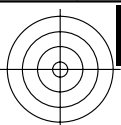
FRS12_95a; adaptierte CIELAB-Daten							
	u^*_e	$L^*=L^*_a$	a^*_a	b^*_a	$C^*_{ab,a}$	$h^*_{ab,a}$	u^*_d
r00j	38.47	63.32	30.17	70.15	25	m81o	
r25j	42.12	54.56	49.45	73.64	42	o10y	
r50j	53.64	39.15	64.89	75.79	59	o40y	
r75j	67.01	21.26	82.83	85.52	76	o69y	
j00g	86.18	-4.38	108.53	108.62	92	o98y	
j25g	69.73	-29.89	83.06	88.28	110	y34l	
j50g	57.03	-48.31	63.49	79.78	127	y69l	
j75g	47.73	-60.33	42.64	73.88	145	l03c	
g00b	50.59	-49.08	15.74	51.54	162	l23c	
g25b	52.97	-39.7	-6.72	40.27	190	l55c	
g50b	54.85	-32.33	-24.35	40.48	217	l87c	
g75b	49.92	-17.29	-36.02	39.96	244	c20v	
b00r	40.91	1.28	-42.35	42.37	272	c53v	
b25r	26.81	30.38	-52.26	60.45	300	c87v	
b50r	32.52	69.06	-42.14	80.9	329	v68m	
b75r	39.48	71.47	-3.69	71.57	357	m34o	

Dreiecks-Helligkeit i^*
 %Umfang
 $u^*_{rel} = 109$
 %Regularität
 $g^*_{H,rel} = 31$
 $g^*_{C,rel} = 40$



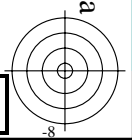
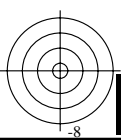
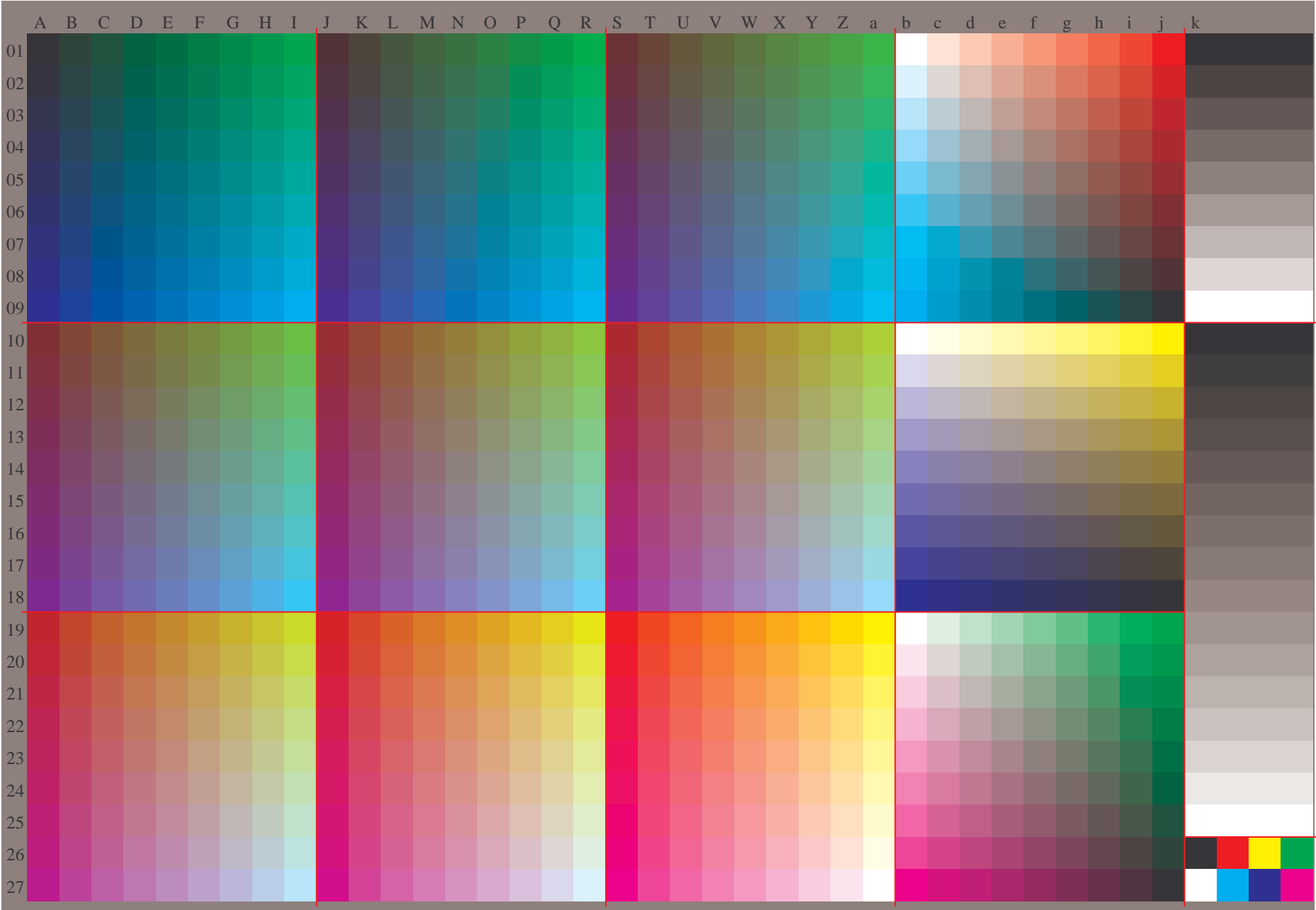
Siehe ähnliche Dateien: <http://www.ps.bam.de/Fg64/>; www.ps.bam.de/Fg64/HTM
 Technische Information: <http://www.ps.bam.de> Version 2.1, io=1,1, ColSpx=0

BAM-Registrierung: 20081001-Fg64/10L/L64g00NP.PDF/.PS BAM-Material: Code=rh4ta
 Anwendung für Beurteilung und Messung von Drucker- oder Monitorssystemen



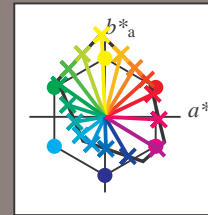
Siehe ähnliche Dateien: <http://www.ps.bam.de/Fg64/>; www.ps.bam.de/Fg64/HTM
Technische Information: <http://www.ps.bam.de/Version2.1,io=1,1,Colspx=0>

BAM-Registrierung: 20081001-Fg64/10L/L64g00NP.PDF/.PS BAM-Material: Code=rh4ta
Anwendung für Beurteilung und Messung von Drucker- oder Monitorsystemen



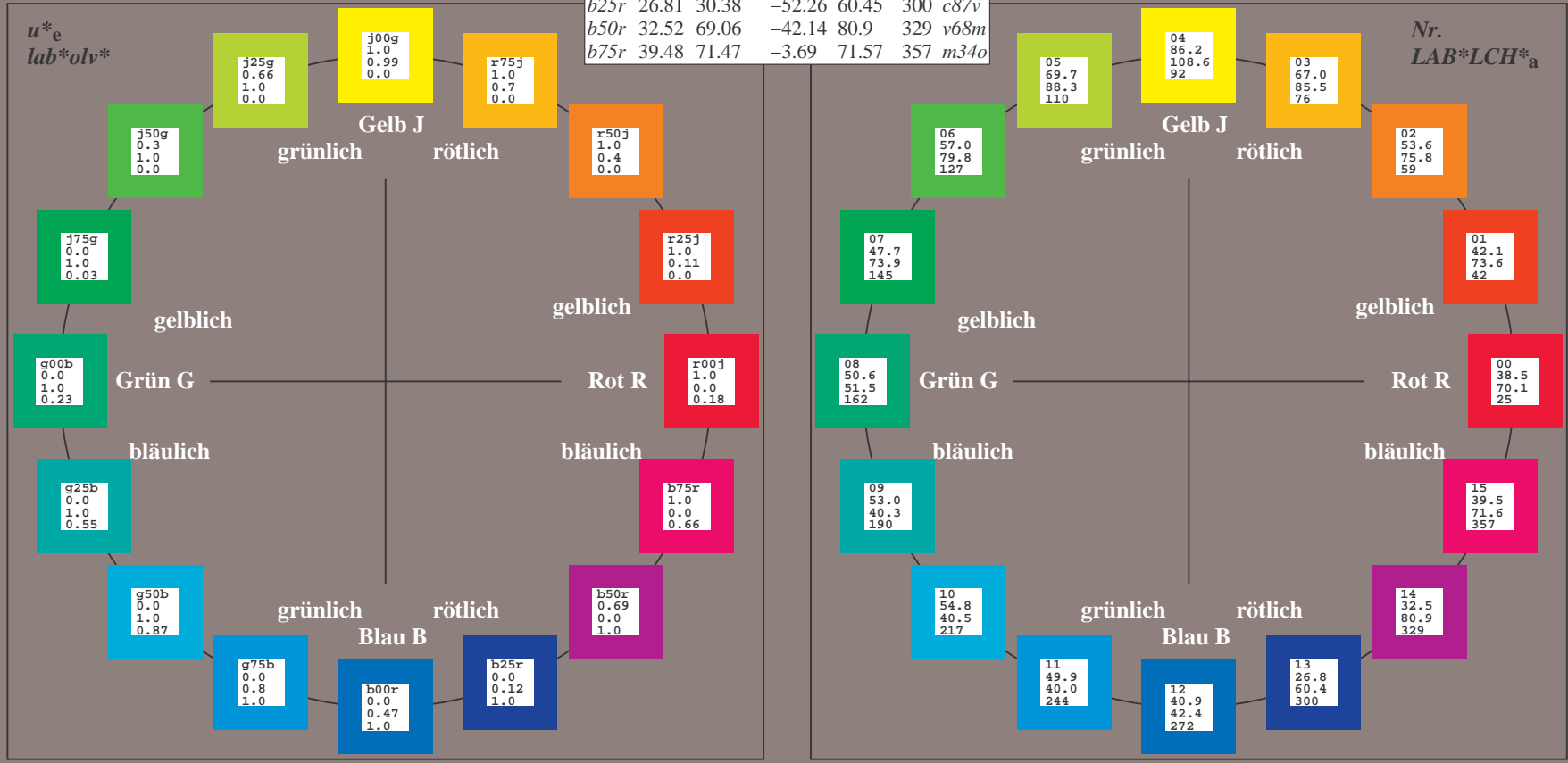
Ein und Ausgabe:
 Farbmetrisches Drucker-Reflektiv-System FRS12_95a
 Daten für jede Farbe:
 u^*_e und Nummer *Nr.* = 00 .. 15
 Elementar-Bunttext:
 $u^*_e = 16$ Bunttoene *r00j, r25j, ..., b75r*
 Kontrastreduzierungsfaktor:
 $c_R = 1.0$

FRS12_95a; adaptierte CIELAB-Daten						
u^*_e	$L^*=L^*_a$	a^*_a	b^*_a	$C^*_{ab,a}$	$h^*_{ab,a}$	u^*_d
r00j	38.47	63.32	30.17	70.15	25	m81o
r25j	42.12	54.56	49.45	73.64	42	o10y
r50j	53.64	39.15	64.89	75.79	59	o40y
r75j	67.01	21.26	82.83	85.52	76	o69y
j00g	86.18	-4.38	108.53	108.62	92	o98y
j25g	69.73	-29.89	83.06	88.28	110	y34l
j50g	57.03	-48.31	63.49	79.78	127	y69l
j75g	47.73	-60.33	42.64	73.88	145	l03c
g00b	50.59	-49.08	15.74	51.54	162	l23c
g25b	52.97	-39.7	-6.72	40.27	190	l55c
g50b	54.85	-32.33	-24.35	40.48	217	l87c
g75b	49.92	-17.29	-36.02	39.96	244	c20v
b00r	40.91	1.28	-42.35	42.37	272	c53v
b25r	26.81	30.38	-52.26	60.45	300	c87v
b50r	32.52	69.06	-42.14	80.9	329	v68m
b75r	39.48	71.47	-3.69	71.57	357	m34o



%Umfang
 $u^*_{rel} = 109$
 %Regularität
 $g^*_{H,rel} = 31$
 $g^*_{C,rel} = 40$

FRS12_95a; adaptierte CIELAB-Daten					
Name	$L^*=L^*_a$	a^*_a	b^*_a	$C^*_{ab,a}$	$h^*_{ab,a}$
OMa	38.06	60.0	44.0	74.4	36
YMa	86.77	-5.17	109.32	109.44	93
LMa	47.13	-62.67	48.24	79.09	142
CMa	55.66	-29.14	-31.99	43.27	228
VMa	17.15	50.3	-59.04	77.57	310
MMa	40.37	78.64	-33.5	85.48	337
NMa	11.58	0.0	0.0	0.0	0
WMa	95.02	0.0	0.0	0.0	0
RCIE	39.92	58.74	27.99	65.07	25
JCIE	81.26	-2.89	71.56	71.62	92
GCIE	52.23	-42.42	13.6	44.55	162
BCIE	30.57	1.41	-46.47	46.49	272

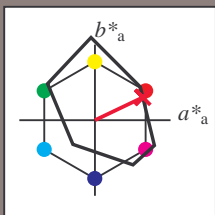


Siehe ähnliche Dateien: <http://www.ps.bam.de/Fg64/>; [www.ps.bam.de/Fg64/Version 2.1, io=1,1, ColSpx=0](http://www.ps.bam.de/Fg64/Version2.1.htm)
 Technische Information: <http://www.ps.bam.de>

BAM-Registrierung: 20081001-Fg64/10L/L64g00NP.PDF/.PS BAM-Material: Code=rhatha
 Anwendung für Beurteilung und Messung von Drucker- oder Monitorssystemen

Ein und Ausgabe: Farbmetrisches Drucker-Reflektiv-System FRS12_95a, L*=12_95 für relative CIELAB-Buntton $h^* = lab^*h^* = h_{ab}^*/360 = 0.071$ $u^*_e = r00j$
 lab^*olv^*

Daten für jede Farbe:
 lab^*tch^* und lab^*icu^*
 Bunttontexte:
 $u^*_e = r00j$ $u^*_d = m81o$
 Kontrastreduzierungsfaktor:
 $c_R = 1.0$
 Dreiecks-Helligkeit i^*

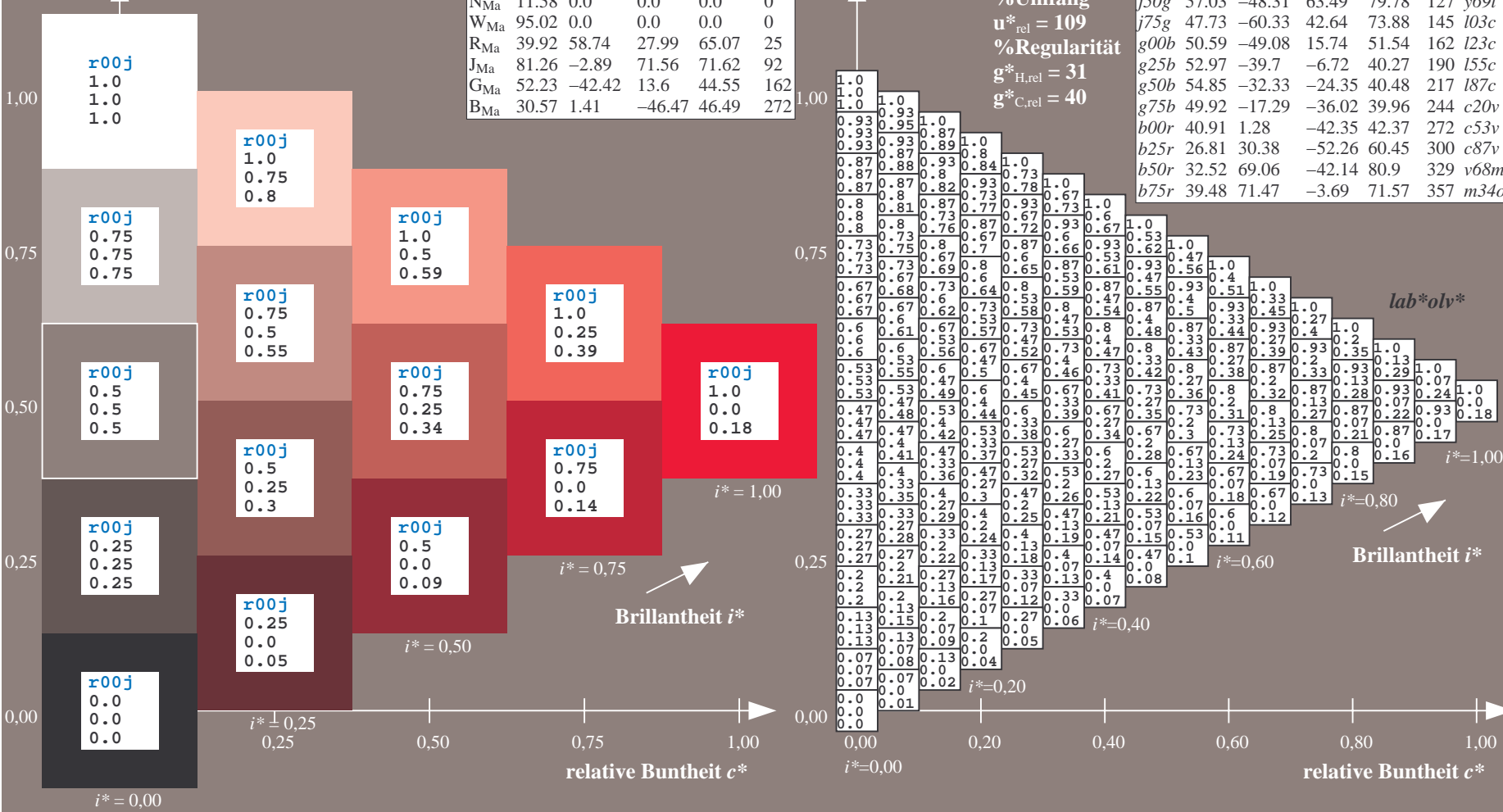


FRS12_95a; adaptierte CIELAB-Daten						
	u^*_e	$L^*=L^*_a$	a^*_a	b^*_a	$C^*_{ab,a}$	$h^*_{ab,a}$
O _{Ma}	38.06	60.0	44.0	74.4	36	
Y _{Ma}	86.77	-5.17	109.32	109.44	93	
L _{Ma}	47.13	-62.67	48.24	79.09	142	
C _{Ma}	55.66	-29.14	-31.99	43.27	228	
V _{Ma}	17.15	50.3	-59.04	77.57	310	
M _{Ma}	40.37	78.64	-33.5	85.48	337	
N _{Ma}	11.58	0.0	0.0	0.0	0	
W _{Ma}	95.02	0.0	0.0	0.0	0	
R _{Ma}	39.92	58.74	27.99	65.07	25	
J _{Ma}	81.26	-2.89	71.56	71.62	92	
G _{Ma}	52.23	-42.42	13.6	44.55	162	
B _{Ma}	30.57	1.41	-46.47	46.49	272	

Daten für Maximalfarbe (Ma):
 $LAB^*LAB^*_{Ma}$: 38 63 30
 $LAB^*LCH^*_{Ma}$: 38 70 25
 $lab^*rgb^*_{Ma}$: 1.0 0.0 0.0
 $lab^*olv^*_{Ma}$: 1.0 0.0 0.18

FRS12_95a; adaptierte CIELAB-Daten							
	u^*_e	$L^*=L^*_a$	a^*_a	b^*_a	$C^*_{ab,a}$	$h^*_{ab,a}$	u^*_d
r00j	38.47	63.32	30.17	70.15	25	m81o	
r25j	42.12	54.56	49.45	73.64	42	o10y	
r50j	53.64	39.15	64.89	75.79	59	o40y	
r75j	67.01	21.26	82.83	85.52	76	o69y	
j00g	86.18	-4.38	108.53	108.62	92	o98y	
j25g	69.73	-29.89	83.06	88.28	110	y34l	
j50g	57.03	-48.31	63.49	79.78	127	y69l	
j75g	47.73	-60.33	42.64	73.88	145	l03c	
g00b	50.59	-49.08	15.74	51.54	162	l23c	
g25b	52.97	-39.7	-6.72	40.27	190	l55c	
g50b	54.85	-32.33	-24.35	40.48	217	l87c	
g75b	49.92	-17.29	-36.02	39.96	244	c20v	
b00r	40.91	1.28	-42.35	42.37	272	c53v	
b25r	26.81	30.38	-52.26	60.45	300	c87v	
b50r	32.52	69.06	-42.14	80.9	329	v68m	
b75r	39.48	71.47	-3.69	71.57	357	m34o	

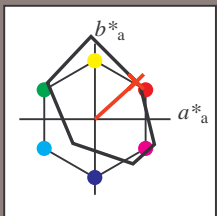
Dreiecks-Helligkeit i^*
 %Umfang
 $u^*_{rel} = 109$
 %Regularität
 $g^*_{H,rel} = 31$
 $g^*_{C,rel} = 40$



Siehe ähnliche Dateien: <http://www.ps.bam.de/Fg64/>; www.ps.bam.de/Fg.HTM
 Technische Information: <http://www.ps.bam.de> Version 2.1, io=1,1, ColSpX=0

BAM-Registrierung: 20081001-Fg64/10L/L64g00NP.PDF/.PS BAM-Material: Code=rh4ta
 Anwendung für Beurteilung und Messung von Drucker- oder Monitorssystemen

Ein und Ausgabe: Farbmetrisches Drucker-Reflektiv-System FRS12_95a, L*=12_95 für relative CIELAB-Buntton $h^* = lab^*h^* = h_{ab}^*/360 = 0.117$ $u^*_e = r25j$
 Daten für jede Farbe: lab^*tch^* und lab^*icu^*
 Bunttontexte: $u^*_e = r25j$ $u^*_d = o10y$
 Kontrastreduzierungsfaktor: $c_R = 1.0$
 Dreiecks-Helligkeit i^*



FRS12_95a; adaptierte CIELAB-Daten

	u^*_e	$L^*=L^*_a$	a^*_a	b^*_a	$C^*_{ab,a}$	$h^*_{ab,a}$
O _{Ma}	38.06	60.0	44.0	74.4	36	
Y _{Ma}	86.77	-5.17	109.32	109.44	93	
L _{Ma}	47.13	-62.67	48.24	79.09	142	
C _{Ma}	55.66	-29.14	-31.99	43.27	228	
V _{Ma}	17.15	50.3	-59.04	77.57	310	
M _{Ma}	40.37	78.64	-33.5	85.48	337	
N _{Ma}	11.58	0.0	0.0	0.0	0	
W _{Ma}	95.02	0.0	0.0	0.0	0	
R _{Ma}	39.92	58.74	27.99	65.07	25	
J _{Ma}	81.26	-2.89	71.56	71.62	92	
G _{Ma}	52.23	-42.42	13.6	44.55	162	
B _{Ma}	30.57	1.41	-46.47	46.49	272	

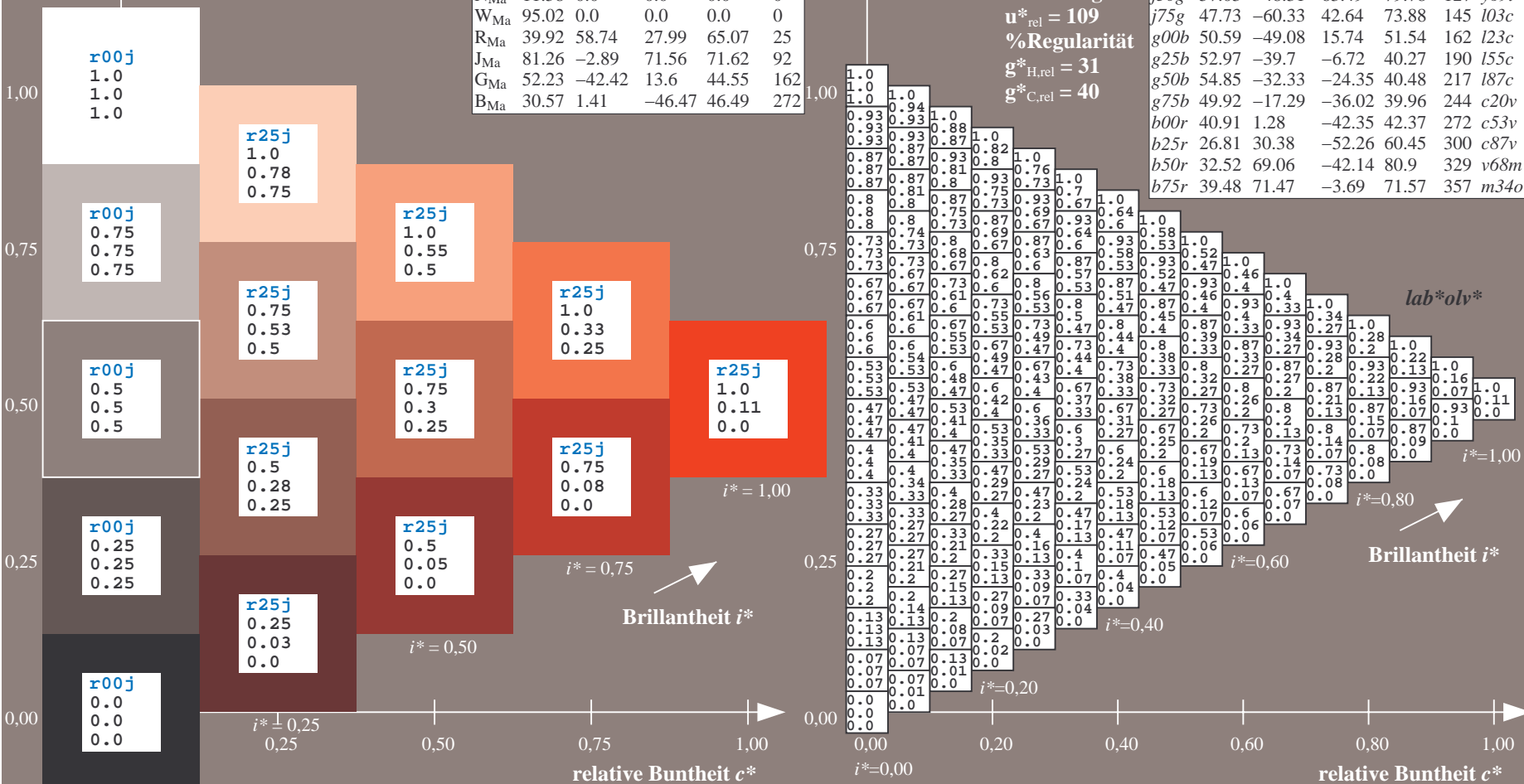
Daten für Maximalfarbe (Ma):

$LAB^*LAB^*_{Ma}$: 42 55 49
 $LAB^*LCH^*_{Ma}$: 42 74 42
 $lab^*rgb^*_{Ma}$: 1.0 0.25 0.0
 $lab^*olv^*_{Ma}$: 1.0 0.11 0.0

FRS12_95a; adaptierte CIELAB-Daten

	u^*_e	$L^*=L^*_a$	a^*_a	b^*_a	$C^*_{ab,a}$	$h^*_{ab,a}$	u^*_d
r00j	38.47	63.32	30.17	70.15	25	m81o	
r25j	42.12	54.56	49.45	73.64	42	o10y	
r50j	53.64	39.15	64.89	75.79	59	o40y	
r75j	67.01	21.26	82.83	85.52	76	o69y	
j00g	86.18	-4.38	108.53	108.62	92	o98y	
j25g	69.73	-29.89	83.06	88.28	110	y34l	
j50g	57.03	-48.31	63.49	79.78	127	y69l	
j75g	47.73	-60.33	42.64	73.88	145	l03c	
g00b	50.59	-49.08	15.74	51.54	162	l23c	
g25b	52.97	-39.7	-6.72	40.27	190	l55c	
g50b	54.85	-32.33	-24.35	40.48	217	l87c	
g75b	49.92	-17.29	-36.02	39.96	244	c20v	
b00r	40.91	1.28	-42.35	42.37	272	c53v	
b25r	26.81	30.38	-52.26	60.45	300	c87v	
b50r	32.52	69.06	-42.14	80.9	329	v68m	
b75r	39.48	71.47	-3.69	71.57	357	m34o	

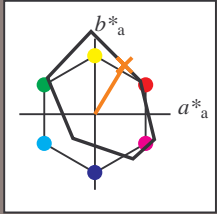
Dreiecks-Helligkeit i^*
 %Umfang $u^*_{rel} = 109$
 %Regularität $g^*_{H,rel} = 31$
 $g^*_{C,rel} = 40$



Siehe ähnliche Dateien: <http://www.ps.bam.de/Fg64/>; www.ps.bam.de/Fg.HTM
 Technische Information: <http://www.ps.bam.de> Version 2.1, io=1,1, ColSpx=0

BAM-Registrierung: 20081001-Fg64/10L/L64g00NP.PDF/.PS BAM-Material: Code=rh4ta
 Anwendung für Beurteilung und Messung von Drucker- oder Monitorssystemen

Ein und Ausgabe: Farbmetrisches Drucker-Reflektiv-System FRS12_95a, L*=12_95 für relativen CIELAB-Buntton $h^* = lab^*h^* = h_{ab}^*/360 = 0.164$ $u^*_e = r50j$
 Daten für jede Farbe: lab^*tch^* und lab^*icu^*
 $u^*_e = r50j$ $u^*_d = o40y$
 Kontrastreduzierungsfaktor: $c_R = 1.0$
 Dreiecks-Helligkeit i^*



FRS12_95a; adaptierte CIELAB-Daten

	u^*_e	$L^*=L^*_a$	a^*_a	b^*_a	$C^*_{ab,a}$	$h^*_{ab,a}$
O _{Ma}	38.06	60.0	44.0	74.4	36	
Y _{Ma}	86.77	-5.17	109.32	109.44	93	
L _{Ma}	47.13	-62.67	48.24	79.09	142	
C _{Ma}	55.66	-29.14	-31.99	43.27	228	
V _{Ma}	17.15	50.3	-59.04	77.57	310	
M _{Ma}	40.37	78.64	-33.5	85.48	337	
N _{Ma}	11.58	0.0	0.0	0.0	0	
W _{Ma}	95.02	0.0	0.0	0.0	0	
R _{Ma}	39.92	58.74	27.99	65.07	25	
J _{Ma}	81.26	-2.89	71.56	71.62	92	
G _{Ma}	52.23	-42.42	13.6	44.55	162	
B _{Ma}	30.57	1.41	-46.47	46.49	272	

Daten für Maximalfarbe (Ma):

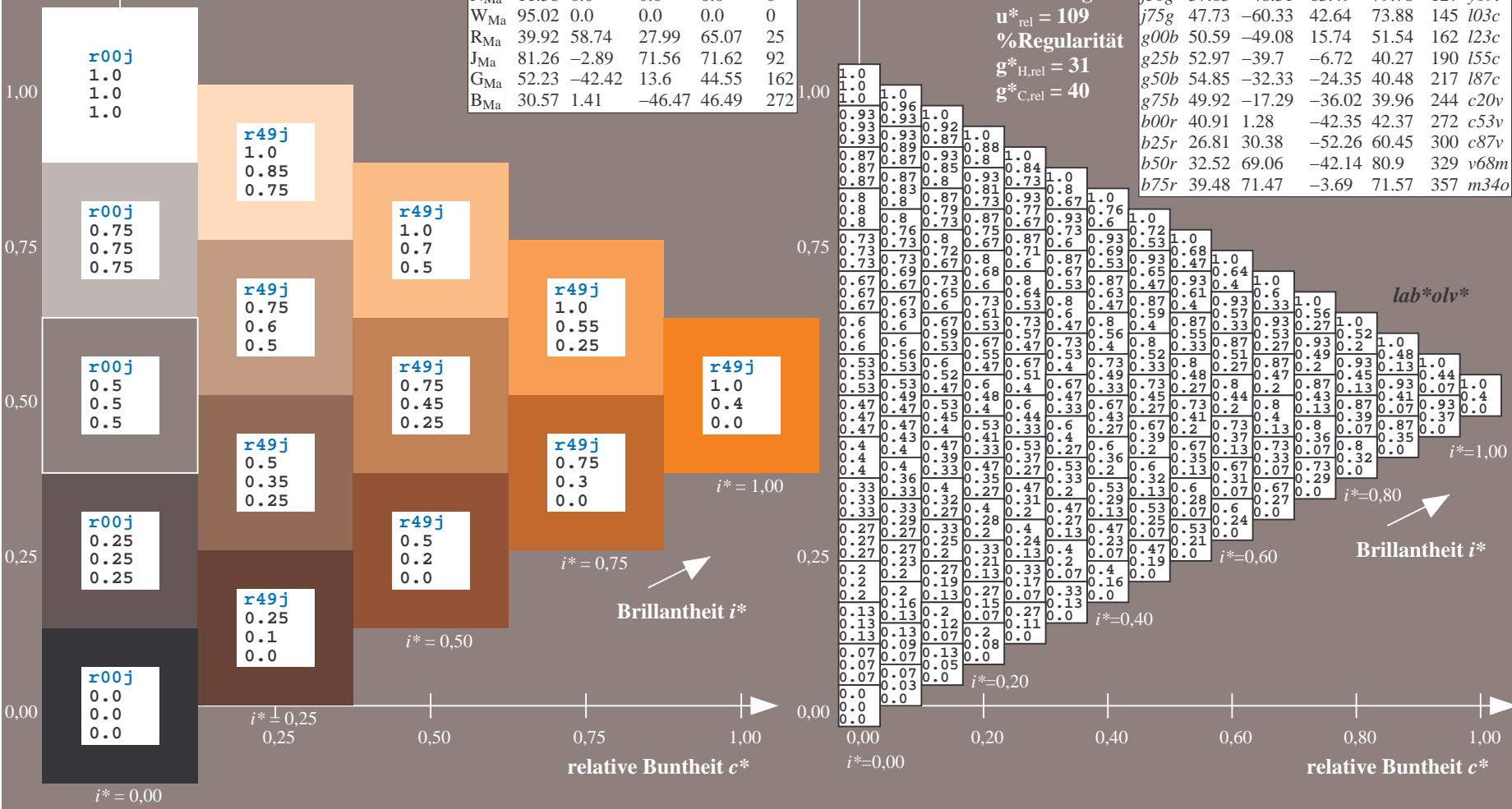
$LAB^*LAB^*_{Ma}$: 54 39 65
 $LAB^*LCH^*_{Ma}$: 54 76 58
 $lab^*rgb^*_{Ma}$: 1.0 0.5 0.0
 $lab^*olv^*_{Ma}$: 1.0 0.4 0.0

FRS12_95a; adaptierte CIELAB-Daten

	u^*_e	$L^*=L^*_a$	a^*_a	b^*_a	$C^*_{ab,a}$	$h^*_{ab,a}$	u^*_d
r00j	38.47	63.32	30.17	70.15	25	m81o	
r25j	42.12	54.56	49.45	73.64	42	o10y	
r50j	53.64	39.15	64.89	75.79	59	o40y	
r75j	67.01	21.26	82.83	85.52	76	o69y	
j00g	86.18	-4.38	108.53	108.62	92	o98y	
j25g	69.73	-29.89	83.06	88.28	110	y34l	
j50g	57.03	-48.31	63.49	79.78	127	y69l	
j75g	47.73	-60.33	42.64	73.88	145	l03c	
g00b	50.59	-49.08	15.74	51.54	162	l23c	
g25b	52.97	-39.7	-6.72	40.27	190	l55c	
g50b	54.85	-32.33	-24.35	40.48	217	l87c	
g75b	49.92	-17.29	-36.02	39.96	244	c20v	
b00r	40.91	1.28	-42.35	42.37	272	c53v	
b25r	26.81	30.38	-52.26	60.45	300	c87v	
b50r	32.52	69.06	-42.14	80.9	329	v68m	
b75r	39.48	71.47	-3.69	71.57	357	m34o	

Dreiecks-Helligkeit i^*

%Umfang
 $u^*_{rel} = 109$
 %Regularität
 $g^*_{H,rel} = 31$
 $g^*_{C,rel} = 40$



BAM-Registrierung: 20081001-Fg64/10L/L64g00NP.PDF/.PS BAM-Material: Code=rh4ta
 Anwendung für Beurteilung und Messung von Drucker- oder Monitorssystemen

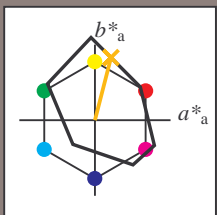
Ein und Ausgabe: Farbmetrisches Drucker-Reflektiv-System FRS12_95a, L*=12_95 für relativen CIELAB-Buntton $h^* = lab^*h^* = h_{ab}/360 = 0.21$ $u^*_e = r75j$
 lab^*olv^*

Daten für jede Farbe:
 lab^*tch^* und lab^*icu^*

Bunttontexte:
 $u^*_e = r75j$ $u^*_d = o69y$

Kontrastreduzierungsfaktor:
 $c_R = 1.0$

Dreiecks-Helligkeit i^*



FRS12_95a; adaptierte CIELAB-Daten

	u^*_e	$L^*=L^*_a$	a^*_a	b^*_a	$C^*_{ab,a}$	$h^*_{ab,a}$
O _{Ma}	38.06	60.0	44.0	74.4	36	
Y _{Ma}	86.77	-5.17	109.32	109.44	93	
L _{Ma}	47.13	-62.67	48.24	79.09	142	
C _{Ma}	55.66	-29.14	-31.99	43.27	228	
V _{Ma}	17.15	50.3	-59.04	77.57	310	
M _{Ma}	40.37	78.64	-33.5	85.48	337	
N _{Ma}	11.58	0.0	0.0	0.0	0	
W _{Ma}	95.02	0.0	0.0	0.0	0	
R _{Ma}	39.92	58.74	27.99	65.07	25	
J _{Ma}	81.26	-2.89	71.56	71.62	92	
G _{Ma}	52.23	-42.42	13.6	44.55	162	
B _{Ma}	30.57	1.41	-46.47	46.49	272	

Daten für Maximalfarbe (Ma):

$LAB^*LAB^*_{Ma}$: 67 21 83

$LAB^*LCH^*_{Ma}$: 67 86 75

$lab^*rgb^*_{Ma}$: 1.0 0.75 0.0

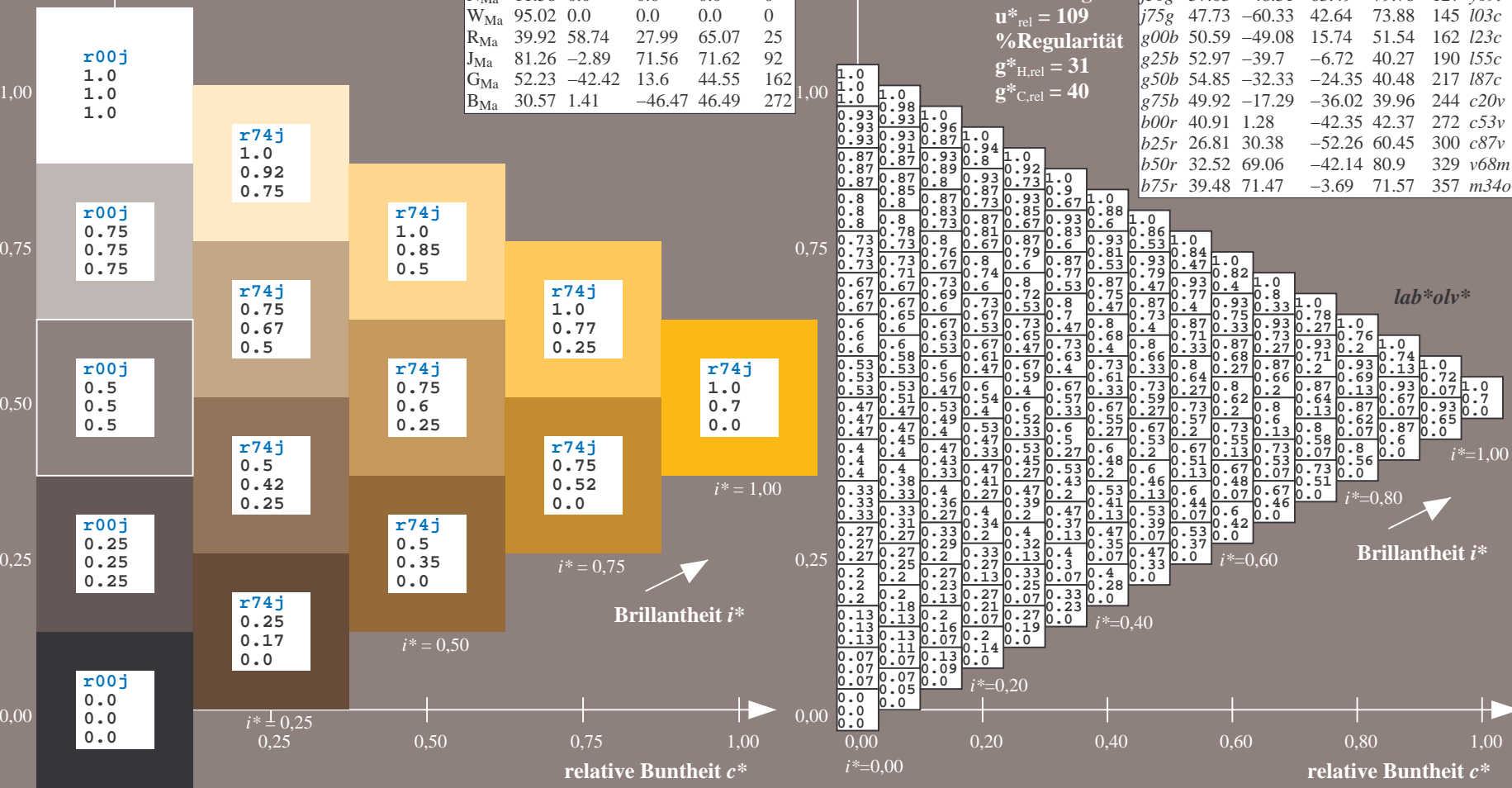
$lab^*olv^*_{Ma}$: 1.0 0.7 0.0

Dreiecks-Helligkeit i^*

FRS12_95a; adaptierte CIELAB-Daten

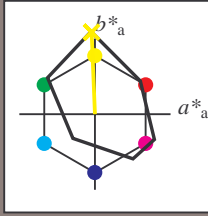
	u^*_e	$L^*=L^*_a$	a^*_a	b^*_a	$C^*_{ab,a}$	$h^*_{ab,a}$	u^*_d
r00j	38.47	63.32	30.17	70.15	25	m81o	
r25j	42.12	54.56	49.45	73.64	42	o10y	
r50j	53.64	39.15	64.89	75.79	59	o40y	
r75j	67.01	21.26	82.83	85.52	76	o69y	
j00g	86.18	-4.38	108.53	108.62	92	o98y	
j25g	69.73	-29.89	83.06	88.28	110	y34l	
j50g	57.03	-48.31	63.49	79.78	127	y69l	
j75g	47.73	-60.33	42.64	73.88	145	l03c	
g00b	50.59	-49.08	15.74	51.54	162	l23c	
g25b	52.97	-39.7	-6.72	40.27	190	l55c	
g50b	54.85	-32.33	-24.35	40.48	217	l87c	
g75b	49.92	-17.29	-36.02	39.96	244	c20v	
b00r	40.91	1.28	-42.35	42.37	272	c53v	
b25r	26.81	30.38	-52.26	60.45	300	c87v	
b50r	32.52	69.06	-42.14	80.9	329	v68m	
b75r	39.48	71.47	-3.69	71.57	357	m34o	

%Umfang
 $u^*_{rel} = 109$
 %Regularität
 $g^*_{H,rel} = 31$
 $g^*_{C,rel} = 40$



BAM-Registrierung: 20081001-Fg64/10L/L64g00NP.PDF/.PS BAM-Material: Code=rh4ta
 Anwendung für Beurteilung und Messung von Drucker- oder Monitorssystemen

Ein und Ausgabe: Farbmetrisches Drucker-Reflektiv-System FRS12_95a, L*=12_95 für relativen CIELAB-Buntton $h^* = lab^*h^* = h_{ab}^*/360 = 0.256$ $u^*_e = j00g$
 Daten für jede Farbe: lab^*tch^* und lab^*icu^*
 Bunttontexte: $u^*_e = j00g$ $u^*_d = o98y$
 Kontrastreduzierungsfaktor: $c_R = 1.0$
 Dreiecks-Helligkeit t^*



FRS12_95a; adaptierte CIELAB-Daten

	u^*_e	$L^*=L^*_a$	a^*_a	b^*_a	$C^*_{ab,a}$	$h^*_{ab,a}$
O _{Ma}	38.06	60.0	44.0	74.4	36	
Y _{Ma}	86.77	-5.17	109.32	109.44	93	
L _{Ma}	47.13	-62.67	48.24	79.09	142	
C _{Ma}	55.66	-29.14	-31.99	43.27	228	
V _{Ma}	17.15	50.3	-59.04	77.57	310	
M _{Ma}	40.37	78.64	-33.5	85.48	337	
N _{Ma}	11.58	0.0	0.0	0.0	0	
W _{Ma}	95.02	0.0	0.0	0.0	0	
R _{Ma}	39.92	58.74	27.99	65.07	25	
J _{Ma}	81.26	-2.89	71.56	71.62	92	
G _{Ma}	52.23	-42.42	13.6	44.55	162	
B _{Ma}	30.57	1.41	-46.47	46.49	272	

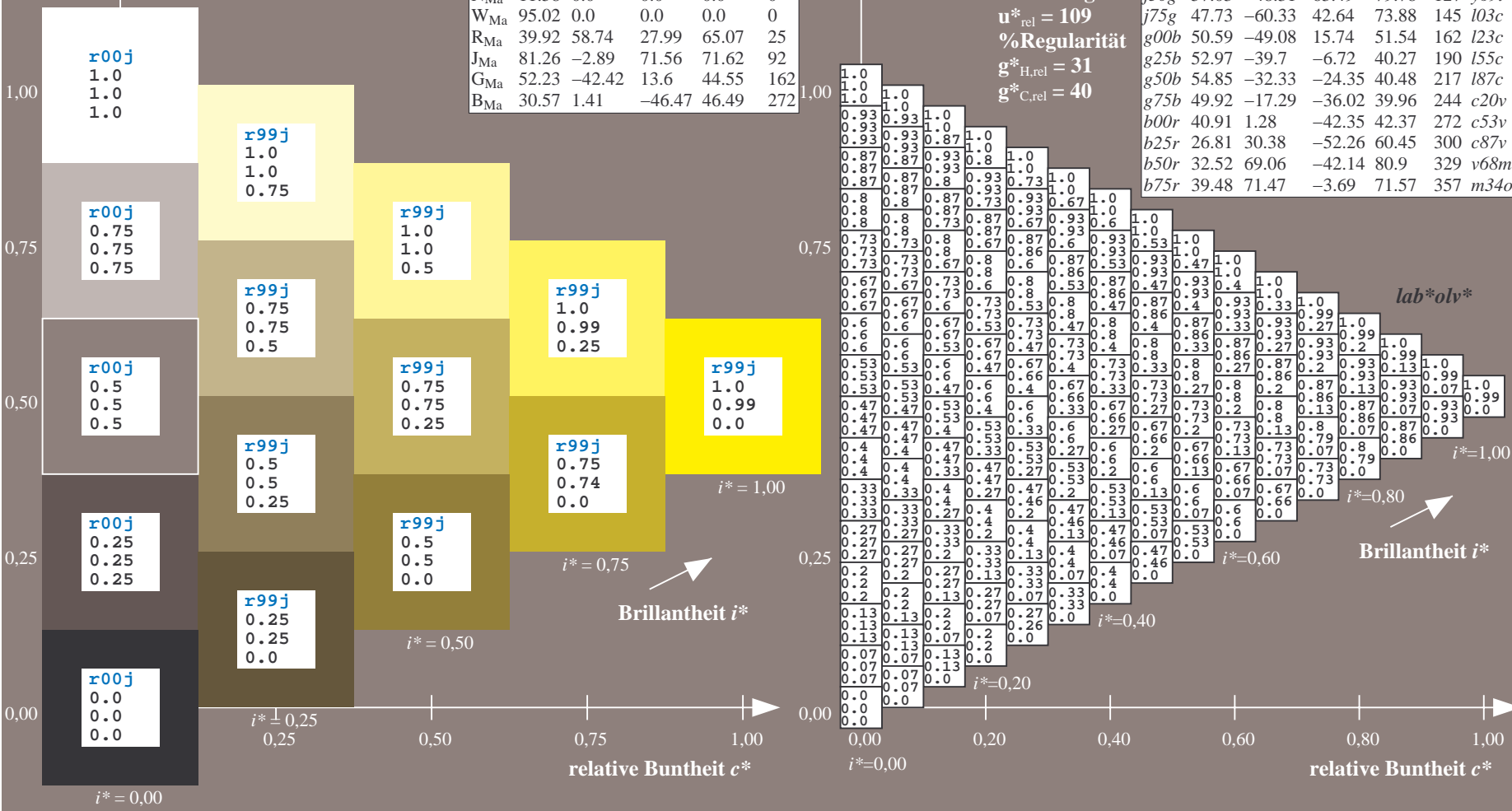
Daten für Maximalfarbe (Ma):

$LAB^*LAB^*_{Ma}$: 86 -4 109
 $LAB^*LCH^*_{Ma}$: 86 109 92
 $lab^*rgb^*_{Ma}$: 1.0 1.0 0.0
 $lab^*olv^*_{Ma}$: 1.0 0.99 0.0

FRS12_95a; adaptierte CIELAB-Daten

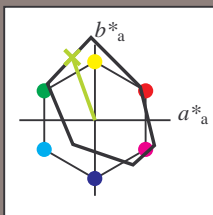
	u^*_e	$L^*=L^*_a$	a^*_a	b^*_a	$C^*_{ab,a}$	$h^*_{ab,a}$	u^*_d
r00j	38.47	63.32	30.17	70.15	25	m81o	
r25j	42.12	54.56	49.45	73.64	42	o10y	
r50j	53.64	39.15	64.89	75.79	59	o40y	
r75j	67.01	21.26	82.83	85.52	76	o69y	
j00g	86.18	-4.38	108.53	108.62	92	o98y	
j25g	69.73	-29.89	83.06	88.28	110	y34l	
j50g	57.03	-48.31	63.49	79.78	127	y69l	
j75g	47.73	-60.33	42.64	73.88	145	l03c	
g00b	50.59	-49.08	15.74	51.54	162	l23c	
g25b	52.97	-39.7	-6.72	40.27	190	l55c	
g50b	54.85	-32.33	-24.35	40.48	217	l87c	
g75b	49.92	-17.29	-36.02	39.96	244	c20v	
b00r	40.91	1.28	-42.35	42.37	272	c53v	
b25r	26.81	30.38	-52.26	60.45	300	c87v	
b50r	32.52	69.06	-42.14	80.9	329	v68m	
b75r	39.48	71.47	-3.69	71.57	357	m34o	

Dreiecks-Helligkeit t^*
 %Umfang $u^*_{rel} = 109$
 %Regularität $g^*_{H,rel} = 31$
 $g^*_{C,rel} = 40$



BAM-Registrierung: 20081001-Fg64/10L/L64g00NP.PDF/.PS BAM-Material: Code=rh4ta
 Anwendung für Beurteilung und Messung von Drucker- oder Monitorssystemen

Ein und Ausgabe: Farbmetrisches Drucker-Reflektiv-System FRS12_95a, L*=12_95 für relative CIELAB-Buntton $h^* = lab^*h^* = h_{ab}^*/360 = 0.305$ $u^*_e = j25g$
 Daten für jede Farbe: lab^*tch^* und lab^*icu^*
 Bunttontexte: $u^*_e = j25g$ $u^*_d = y34l$
 Kontrastreduzierungsfaktor: $c_R = 1.0$
 Dreiecks-Helligkeit t^*



FRS12_95a; adaptierte CIELAB-Daten

	u^*_e	$L^*=L^*_a$	a^*_a	b^*_a	$C^*_{ab,a}$	$h^*_{ab,a}$
O _{Ma}	38.06	60.0	44.0	74.4	36	
Y _{Ma}	86.77	-5.17	109.32	109.44	93	
L _{Ma}	47.13	-62.67	48.24	79.09	142	
C _{Ma}	55.66	-29.14	-31.99	43.27	228	
V _{Ma}	17.15	50.3	-59.04	77.57	310	
M _{Ma}	40.37	78.64	-33.5	85.48	337	
N _{Ma}	11.58	0.0	0.0	0.0	0	
W _{Ma}	95.02	0.0	0.0	0.0	0	
R _{Ma}	39.92	58.74	27.99	65.07	25	
J _{Ma}	81.26	-2.89	71.56	71.62	92	
G _{Ma}	52.23	-42.42	13.6	44.55	162	
B _{Ma}	30.57	1.41	-46.47	46.49	272	

Daten für Maximalfarbe (Ma):

$LAB^*LAB^*_{Ma}$: 70 -30 83

$LAB^*LCH^*_{Ma}$: 70 88 109

$lab^*rgb^*_{Ma}$: 0.75 1.0 0.0

$lab^*olv^*_{Ma}$: 0.66 1.0 0.0

Dreiecks-Helligkeit t^*

%Umfang

$u^*_{rel} = 109$

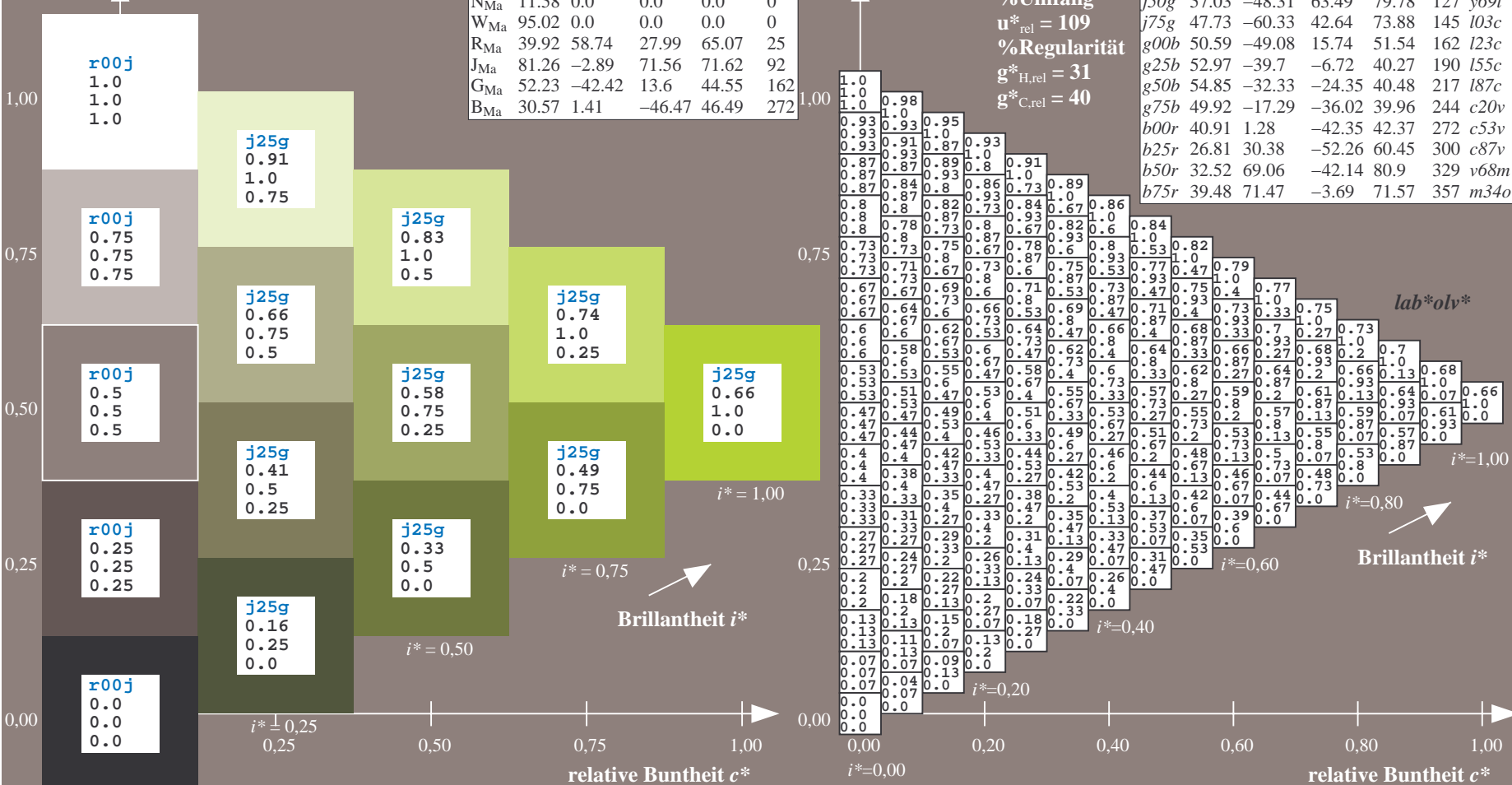
%Regularität

$g^*_{H,rel} = 31$

$g^*_{C,rel} = 40$

FRS12_95a; adaptierte CIELAB-Daten

	u^*_e	$L^*=L^*_a$	a^*_a	b^*_a	$C^*_{ab,a}$	$h^*_{ab,a}$	u^*_d
r00j	38.47	63.32	30.17	70.15	25	m81o	
r25j	42.12	54.56	49.45	73.64	42	o10y	
r50j	53.64	39.15	64.89	75.79	59	o40y	
r75j	67.01	21.26	82.83	85.52	76	o69y	
j00g	86.18	-4.38	108.53	108.62	92	o98y	
j25g	69.73	-29.89	83.06	88.28	110	y34l	
j50g	57.03	-48.31	63.49	79.78	127	y69l	
j75g	47.73	-60.33	42.64	73.88	145	l03c	
g00b	50.59	-49.08	15.74	51.54	162	l23c	
g25b	52.97	-39.7	-6.72	40.27	190	l55c	
g50b	54.85	-32.33	-24.35	40.48	217	l87c	
g75b	49.92	-17.29	-36.02	39.96	244	c20v	
b00r	40.91	1.28	-42.35	42.37	272	c53v	
b25r	26.81	30.38	-52.26	60.45	300	c87v	
b50r	32.52	69.06	-42.14	80.9	329	v68m	
b75r	39.48	71.47	-3.69	71.57	357	m34o	



Siehe ähnliche Dateien: <http://www.ps.bam.de/Fg64/>; [www.ps.bam.de/Fg64/Version 2.1, io=1,1, Colspx=0](http://www.ps.bam.de/Fg64/Version%201.1,io=1,1,Colspx=0)
 Technische Information: <http://www.ps.bam.de>

BAM-Registrierung: 20081001-Fg64/10L/L64g00NP.PDF/.PS BAM-Material: Code=rh4ta
 Anwendung für Beurteilung und Messung von Drucker- oder Monitorssystemen

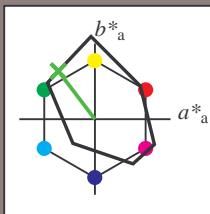
Ein und Ausgabe: Farbmetrisches Drucker-Reflektiv-System FRS12_95a, L*=12_95 für relative CIELAB-Bunton $h^* = lab^*h^* = h_{ab}/360 = 0.354$ $u^*_e = j50g$
 lab^*olv^*

Daten für jede Farbe:
 lab^*tch^* und lab^*icu^*

Buntontexte:
 $u^*_e = j50g$ $u^*_d = y69l$

Kontrastreduzierungsfaktor:
 $c_R = 1.0$

Dreiecks-Helligkeit i^*



FRS12_95a; adaptierte CIELAB-Daten

	u^*_e	$L^*=L^*_a$	a^*_a	b^*_a	$C^*_{ab,a}$	$h^*_{ab,a}$
O _{Ma}	38.06	60.0	44.0	74.4	36	
Y _{Ma}	86.77	-5.17	109.32	109.44	93	
L _{Ma}	47.13	-62.67	48.24	79.09	142	
C _{Ma}	55.66	-29.14	-31.99	43.27	228	
V _{Ma}	17.15	50.3	-59.04	77.57	310	
M _{Ma}	40.37	78.64	-33.5	85.48	337	
N _{Ma}	11.58	0.0	0.0	0.0	0	
W _{Ma}	95.02	0.0	0.0	0.0	0	
R _{Ma}	39.92	58.74	27.99	65.07	25	
J _{Ma}	81.26	-2.89	71.56	71.62	92	
G _{Ma}	52.23	-42.42	13.6	44.55	162	
B _{Ma}	30.57	1.41	-46.47	46.49	272	

Daten für Maximalfarbe (Ma):

$LAB^*LAB^*_{Ma}$: 57 -48 63

$LAB^*LCH^*_{Ma}$: 57 80 127

$lab^*rgb^*_{Ma}$: 0.5 1.0 0.0

$lab^*olv^*_{Ma}$: 0.3 1.0 0.0

Dreiecks-Helligkeit i^*

%Umfang

$u^*_{rel} = 109$

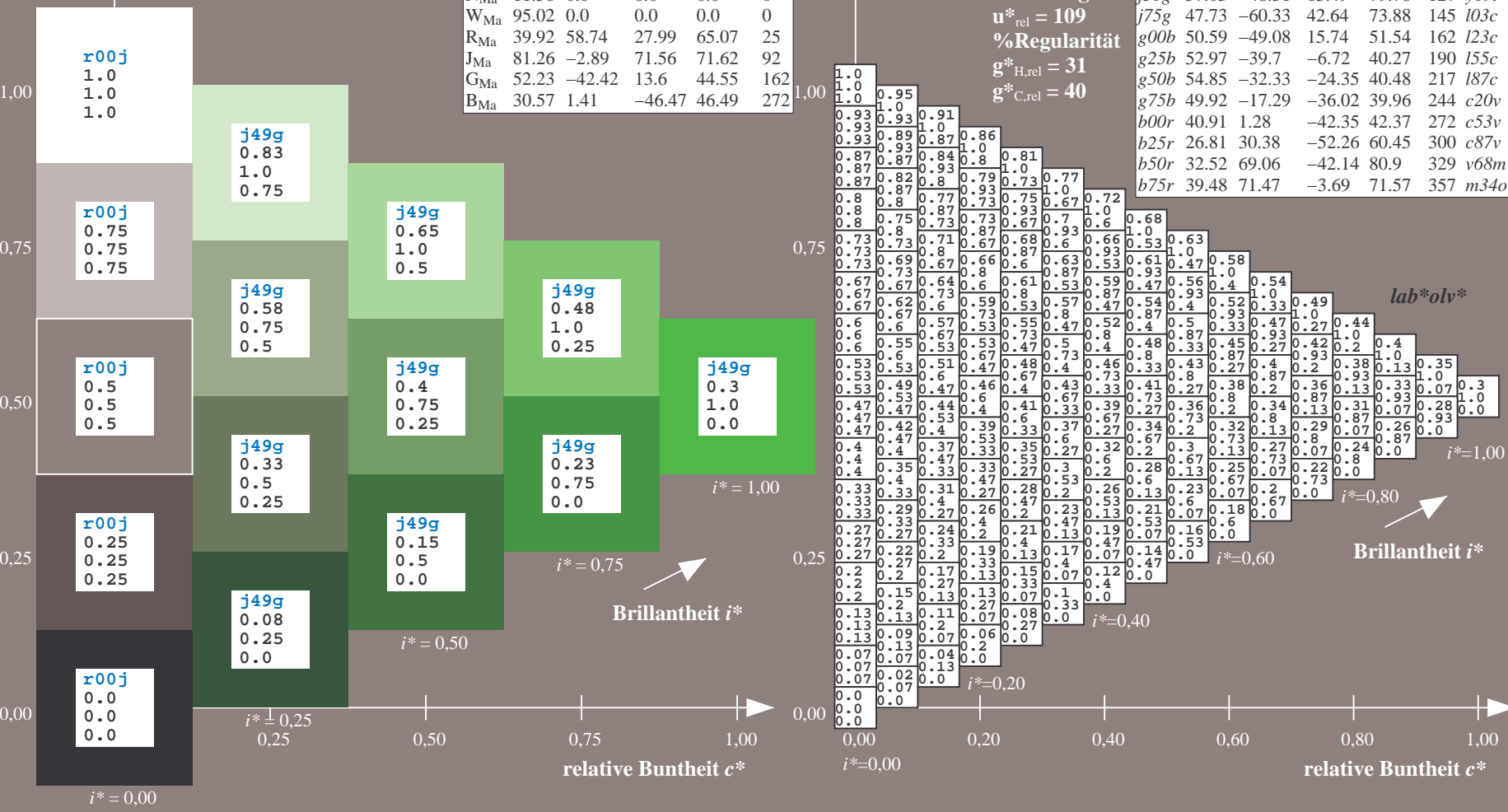
%Regularität

$g^*_{H,rel} = 31$

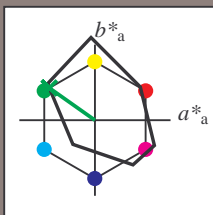
$g^*_{C,rel} = 40$

FRS12_95a; adaptierte CIELAB-Daten

	u^*_e	$L^*=L^*_a$	a^*_a	b^*_a	$C^*_{ab,a}$	$h^*_{ab,a}$	u^*_d
r00j	38.47	63.32	30.17	70.15	25	m81o	
r25j	42.12	54.56	49.45	73.64	42	o10y	
r50j	53.64	39.15	64.89	75.79	59	o40y	
r75j	67.01	21.26	82.83	85.52	76	o69y	
j00g	86.18	-4.38	108.53	108.62	92	o98y	
j25g	69.73	-29.89	83.06	88.28	110	y34l	
j50g	57.03	-48.31	63.49	79.78	127	y69l	
j75g	47.73	-60.33	42.64	73.88	145	l03c	
g00b	50.59	-49.08	15.74	51.54	162	l23c	
g25b	52.97	-39.7	-6.72	40.27	190	l55c	
g50b	54.85	-32.33	-24.35	40.48	217	l87c	
g75b	49.92	-17.29	-36.02	39.96	244	c20v	
b00r	40.91	1.28	-42.35	42.37	272	c53v	
b25r	26.81	30.38	-52.26	60.45	300	c87v	
b50r	32.52	69.06	-42.14	80.9	329	v68m	
b75r	39.48	71.47	-3.69	71.57	357	m34o	



Ein und Ausgabe: Farbmetrisches Drucker-Reflektiv-System FRS12_95a, L*=12_95 für relative CIELAB-Buntton $h^* = lab^*h^* = h_{ab}/360 = 0.402$ $u^*_e = j75g$
 Daten für jede Farbe: lab^*tch^* und lab^*icu^*
 $u^*_e = j75g$ $u^*_d = i03c$
 Kontrastreduzierungsfaktor: $c_R = 1.0$
 Dreiecks-Helligkeit i^*



FRS12_95a; adaptierte CIELAB-Daten

	u^*_e	$L^*=L^*_a$	a^*_a	b^*_a	$C^*_{ab,a}$	$h^*_{ab,a}$
O _{Ma}	38.06	60.0	44.0	74.4	36	
Y _{Ma}	86.77	-5.17	109.32	109.44	93	
L _{Ma}	47.13	-62.67	48.24	79.09	142	
C _{Ma}	55.66	-29.14	-31.99	43.27	228	
V _{Ma}	17.15	50.3	-59.04	77.57	310	
M _{Ma}	40.37	78.64	-33.5	85.48	337	
N _{Ma}	11.58	0.0	0.0	0.0	0	
W _{Ma}	95.02	0.0	0.0	0.0	0	
R _{Ma}	39.92	58.74	27.99	65.07	25	
J _{Ma}	81.26	-2.89	71.56	71.62	92	
G _{Ma}	52.23	-42.42	13.6	44.55	162	
B _{Ma}	30.57	1.41	-46.47	46.49	272	

Daten für Maximalfarbe (Ma):

$LAB^*LAB^*_{Ma}$: 48 -60 43

$LAB^*LCH^*_{Ma}$: 48 74 144

$lab^*rgb^*_{Ma}$: 0.25 1.0 0.0

$lab^*olv^*_{Ma}$: 0.0 1.0 0.03

Dreiecks-Helligkeit i^*

%Umfang

$u^*_{rel} = 109$

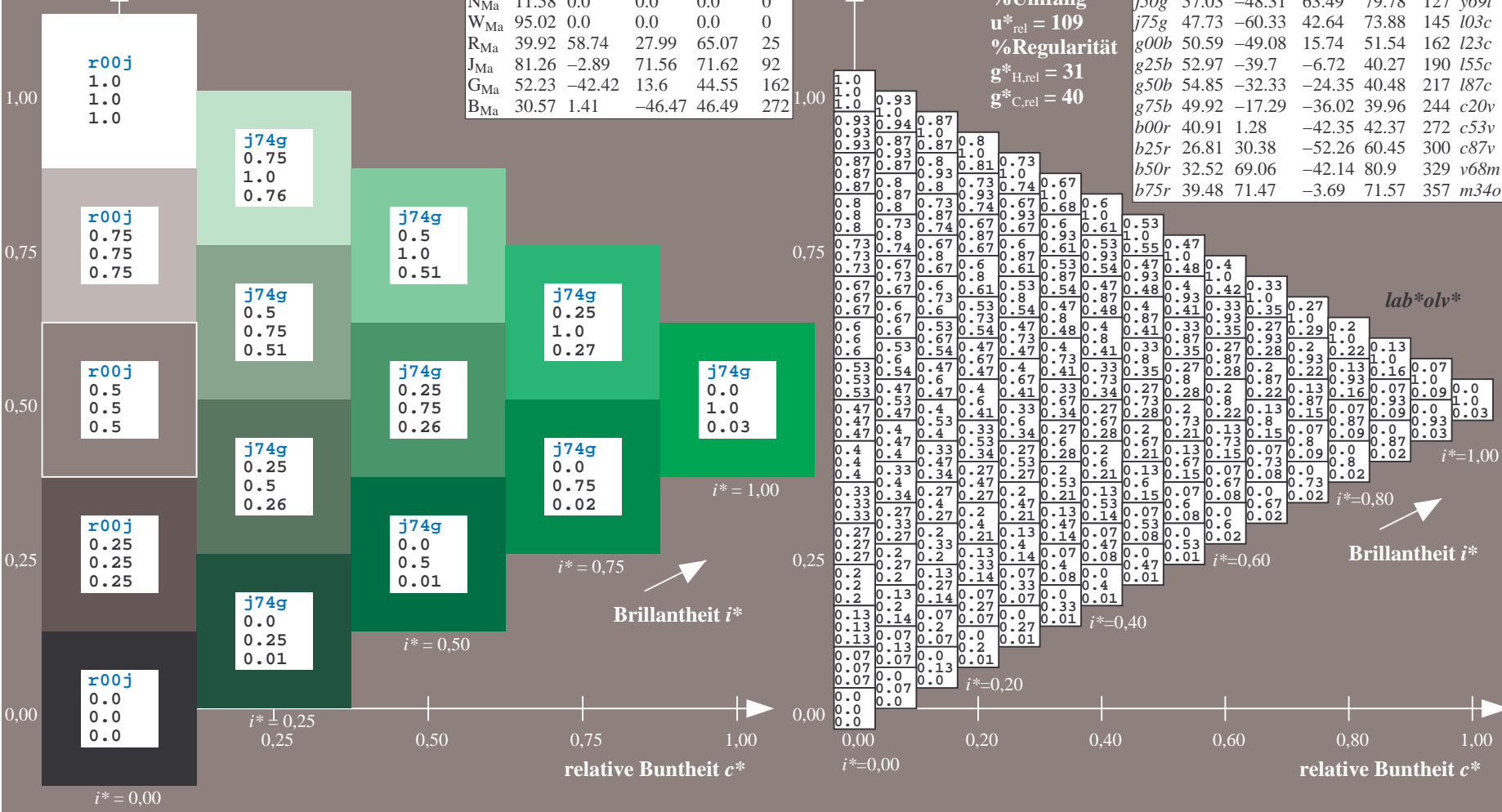
%Regularität

$g^*_{H,rel} = 31$

$g^*_{C,rel} = 40$

FRS12_95a; adaptierte CIELAB-Daten

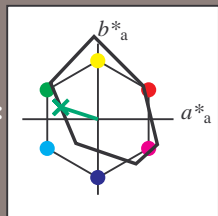
	u^*_e	$L^*=L^*_a$	a^*_a	b^*_a	$C^*_{ab,a}$	$h^*_{ab,a}$	u^*_d
r00j	38.47	63.32	30.17	70.15	25	m81o	
r25j	42.12	54.56	49.45	73.64	42	o10y	
r50j	53.64	39.15	64.89	75.79	59	o40y	
r75j	67.01	21.26	82.83	85.52	76	o69y	
j00g	86.18	-4.38	108.53	108.62	92	o98y	
j25g	69.73	-29.89	83.06	88.28	110	y34l	
j50g	57.03	-48.31	63.49	79.78	127	y69l	
j75g	47.73	-60.33	42.64	73.88	145	i03c	
g00b	50.59	-49.08	15.74	51.54	162	i23c	
g25b	52.97	-39.7	-6.72	40.27	190	i55c	
g50b	54.85	-32.33	-24.35	40.48	217	i87c	
g75b	49.92	-17.29	-36.02	39.96	244	c20v	
b00r	40.91	1.28	-42.35	42.37	272	c53v	
b25r	26.81	30.38	-52.26	60.45	300	c87v	
b50r	32.52	69.06	-42.14	80.9	329	v68m	
b75r	39.48	71.47	-3.69	71.57	357	m34o	



Siehe ähnliche Dateien: <http://www.ps.bam.de/Fg64/>; www.ps.bam.de/Version.2.1,io=1,1,Colspx=0
 Technische Information: <http://www.ps.bam.de>

BAM-Registrierung: 20081001-Fg64/10L/L64g00NP.PDF/.PS BAM-Material: Code=rh4ta
 Anwendung für Beurteilung und Messung von Drucker- oder Monitorssystemen

Ein und Ausgabe: Farbmetrisches Drucker-Reflektiv-System FRS12_95a, L*=12_95 für relative CIELAB-Buntton $h^* = lab^*h^* = h_{ab}/360 = 0.451$ $u^*_e = g00b$
 Daten für jede Farbe: lab^*tch^* und lab^*icu^*
 Bunttontexte: $u^*_e = g00b$ $u^*_d = l23c$
 Kontrastreduzierungsfaktor: $c_R = 1.0$
 Dreiecks-Helligkeit t^*



FRS12_95a; adaptierte CIELAB-Daten

	u^*_e	$L^*=L^*_a$	a^*_a	b^*_a	$C^*_{ab,a}$	$h^*_{ab,a}$
O _{Ma}	38.06	60.0	44.0	74.4	36	
Y _{Ma}	86.77	-5.17	109.32	109.44	93	
L _{Ma}	47.13	-62.67	48.24	79.09	142	
C _{Ma}	55.66	-29.14	-31.99	43.27	228	
V _{Ma}	17.15	50.3	-59.04	77.57	310	
M _{Ma}	40.37	78.64	-33.5	85.48	337	
N _{Ma}	11.58	0.0	0.0	0.0	0	
W _{Ma}	95.02	0.0	0.0	0.0	0	
R _{Ma}	39.92	58.74	27.99	65.07	25	
J _{Ma}	81.26	-2.89	71.56	71.62	92	
G _{Ma}	52.23	-42.42	13.6	44.55	162	
B _{Ma}	30.57	1.41	-46.47	46.49	272	

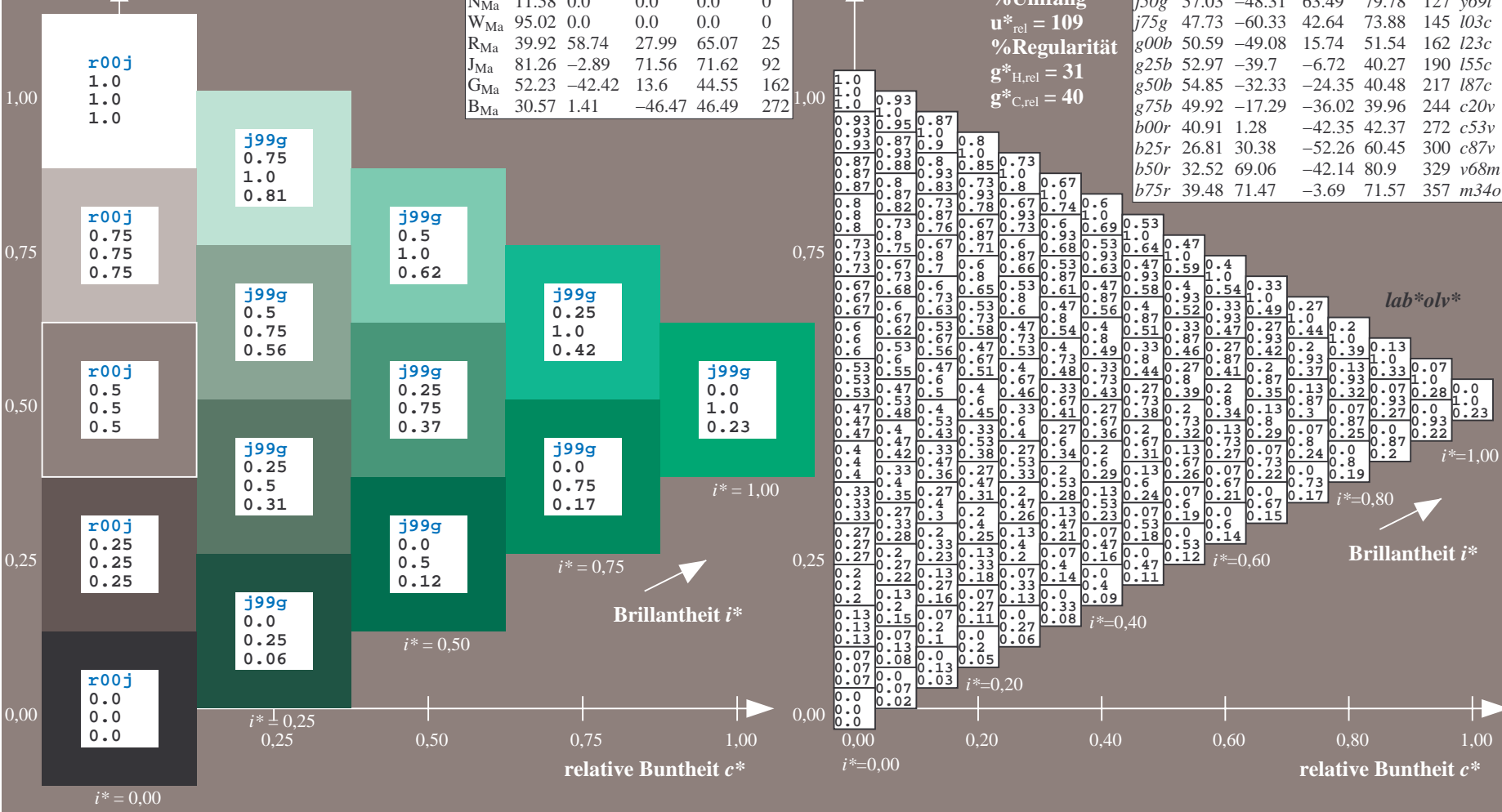
Daten für Maximalfarbe (Ma):

$LAB^*LAB^*_{Ma}$: 51 -49 16
 $LAB^*LCH^*_{Ma}$: 51 52 162
 $lab^*rgb^*_{Ma}$: 0.0 1.0 0.0
 $lab^*olv^*_{Ma}$: 0.0 1.0 0.23

FRS12_95a; adaptierte CIELAB-Daten

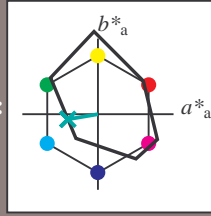
	u^*_e	$L^*=L^*_a$	a^*_a	b^*_a	$C^*_{ab,a}$	$h^*_{ab,a}$	u^*_d
r00j	38.47	63.32	30.17	70.15	25	m81o	
r25j	42.12	54.56	49.45	73.64	42	o10y	
r50j	53.64	39.15	64.89	75.79	59	o40y	
r75j	67.01	21.26	82.83	85.52	76	o69y	
j00g	86.18	-4.38	108.53	108.62	92	o98y	
j25g	69.73	-29.89	83.06	88.28	110	y34l	
j50g	57.03	-48.31	63.49	79.78	127	y69l	
j75g	47.73	-60.33	42.64	73.88	145	l03c	
g00b	50.59	-49.08	15.74	51.54	162	l23c	
g25b	52.97	-39.7	-6.72	40.27	190	l55c	
g50b	54.85	-32.33	-24.35	40.48	217	l87c	
g75b	49.92	-17.29	-36.02	39.96	244	c20c	
b00r	40.91	1.28	-42.35	42.37	272	c53v	
b25r	26.81	30.38	-52.26	60.45	300	c87v	
b50r	32.52	69.06	-42.14	80.9	329	v68m	
b75r	39.48	71.47	-3.69	71.57	357	m34o	

Dreiecks-Helligkeit t^*
 %Umfang $u^*_{rel} = 109$
 %Regularität $g^*_{H,rel} = 31$
 $g^*_{C,rel} = 40$



BAM-Registrierung: 20081001-Fg64/10L/L64g00NP.PDF/.PS BAM-Material: Code=rh4ta
 Anwendung für Beurteilung und Messung von Drucker- oder Monitorssystemen

Ein und Ausgabe: Farbmetrisches Drucker-Reflektiv-System FRS12_95a, L*=12_95 für relative CIELAB-Buntton $h^* = lab^*h^* = h_{ab}/360 = 0.527$ $u^*_e = g25b$
 Daten für jede Farbe: lab^*tch^* und lab^*icu^*
 Bunttontexte: $u^*_e = g25b$ $u^*_d = l55c$
 Kontrastreduzierungsfaktor: $c_R = 1.0$
 Dreiecks-Helligkeit i^*



FRS12_95a; adaptierte CIELAB-Daten

	u^*_e	$L^*=L^*_a$	a^*_a	b^*_a	$C^*_{ab,a}$	$h^*_{ab,a}$
O _{Ma}	38.06	60.0	44.0	74.4	36	
Y _{Ma}	86.77	-5.17	109.32	109.44	93	
L _{Ma}	47.13	-62.67	48.24	79.09	142	
C _{Ma}	55.66	-29.14	-31.99	43.27	228	
V _{Ma}	17.15	50.3	-59.04	77.57	310	
M _{Ma}	40.37	78.64	-33.5	85.48	337	
N _{Ma}	11.58	0.0	0.0	0.0	0	
W _{Ma}	95.02	0.0	0.0	0.0	0	
R _{Ma}	39.92	58.74	27.99	65.07	25	
J _{Ma}	81.26	-2.89	71.56	71.62	92	
G _{Ma}	52.23	-42.42	13.6	44.55	162	
B _{Ma}	30.57	1.41	-46.47	46.49	272	

Daten für Maximalfarbe (Ma):

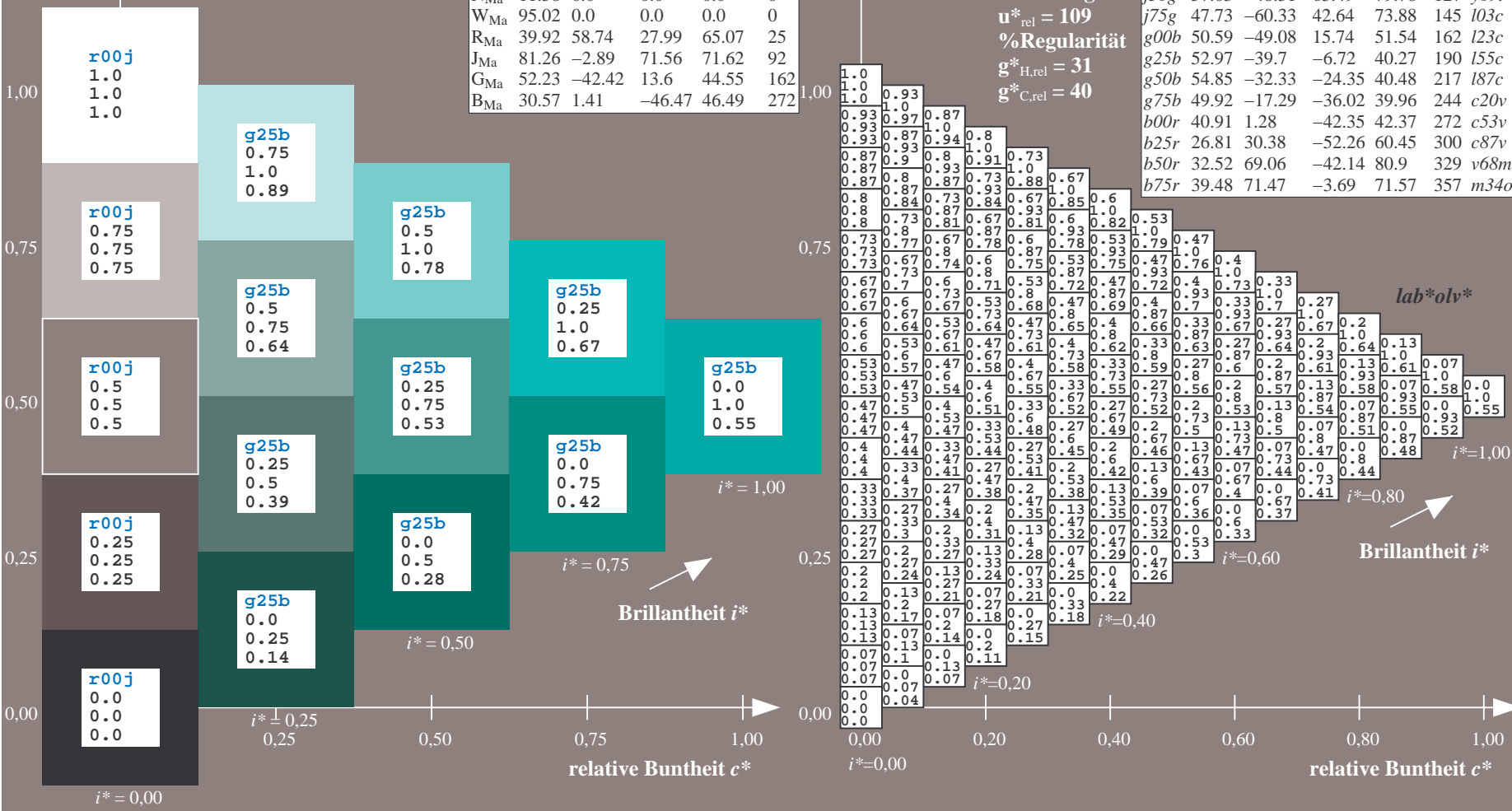
$LAB^*LAB^*_{Ma}$: 53 -40 -7
 $LAB^*LCH^*_{Ma}$: 53 40 189
 $lab^*rgb^*_{Ma}$: 0.0 1.0 0.5
 $lab^*olv^*_{Ma}$: 0.0 1.0 0.55

FRS12_95a; adaptierte CIELAB-Daten

	u^*_e	$L^*=L^*_a$	a^*_a	b^*_a	$C^*_{ab,a}$	$h^*_{ab,a}$	u^*_d
r00j	38.47	63.32	30.17	70.15	25	m81o	
r25j	42.12	54.56	49.45	73.64	42	o10y	
r50j	53.64	39.15	64.89	75.79	59	o40y	
r75j	67.01	21.26	82.83	85.52	76	o69y	
j00g	86.18	-4.38	108.53	108.62	92	o98y	
j25g	69.73	-29.89	83.06	88.28	110	y34l	
j50g	57.03	-48.31	63.49	79.78	127	y69l	
j75g	47.73	-60.33	42.64	73.88	145	l03c	
g00b	50.59	-49.08	15.74	51.54	162	l23c	
g25b	52.97	-39.7	-6.72	40.27	190	l55c	
g50b	54.85	-32.33	-24.35	40.48	217	l87c	
g75b	49.92	-17.29	-36.02	39.96	244	c20v	
b00r	40.91	1.28	-42.35	42.37	272	c53v	
b25r	26.81	30.38	-52.26	60.45	300	c87v	
b50r	32.52	69.06	-42.14	80.9	329	v68m	
b75r	39.48	71.47	-3.69	71.57	357	m34o	

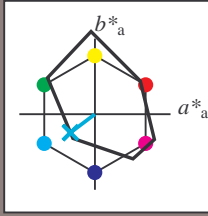
Dreiecks-Helligkeit i^*

%Umfang
 $u^*_{rel} = 109$
 %Regularität
 $g^*_{H,rel} = 31$
 $g^*_{C,rel} = 40$



BAM-Registrierung: 20081001-Fg64/10L/L64g00NP.PDF/.PS BAM-Material: Code=rh4ta
 Anwendung für Beurteilung und Messung von Drucker- oder Monitorssystemen

Ein und Ausgabe: Farbmetrisches Drucker-Reflektiv-System FRS12_95a, L*=12_95 für relative CIELAB-Bunton $h^* = lab^*h^* = h_{ab}^*/360 = 0.603$ $u^*_e = g50b$
 Daten für jede Farbe: lab^*tch^* und lab^*icu^*
 $u^*_e = g50b$ $u^*_d = l87c$
 Kontrastreduzierungsfaktor: $c_R = 1.0$
 Dreiecks-Helligkeit i^*



FRS12_95a; adaptierte CIELAB-Daten

	u^*_e	$L^*=L^*_a$	a^*_a	b^*_a	$C^*_{ab,a}$	$h^*_{ab,a}$
O _{Ma}	38.06	60.0	44.0	74.4	36	
Y _{Ma}	86.77	-5.17	109.32	109.44	93	
L _{Ma}	47.13	-62.67	48.24	79.09	142	
C _{Ma}	55.66	-29.14	-31.99	43.27	228	
V _{Ma}	17.15	50.3	-59.04	77.57	310	
M _{Ma}	40.37	78.64	-33.5	85.48	337	
N _{Ma}	11.58	0.0	0.0	0.0	0	
W _{Ma}	95.02	0.0	0.0	0.0	0	
R _{Ma}	39.92	58.74	27.99	65.07	25	
J _{Ma}	81.26	-2.89	71.56	71.62	92	
G _{Ma}	52.23	-42.42	13.6	44.55	162	
B _{Ma}	30.57	1.41	-46.47	46.49	272	

Daten für Maximalfarbe (Ma):

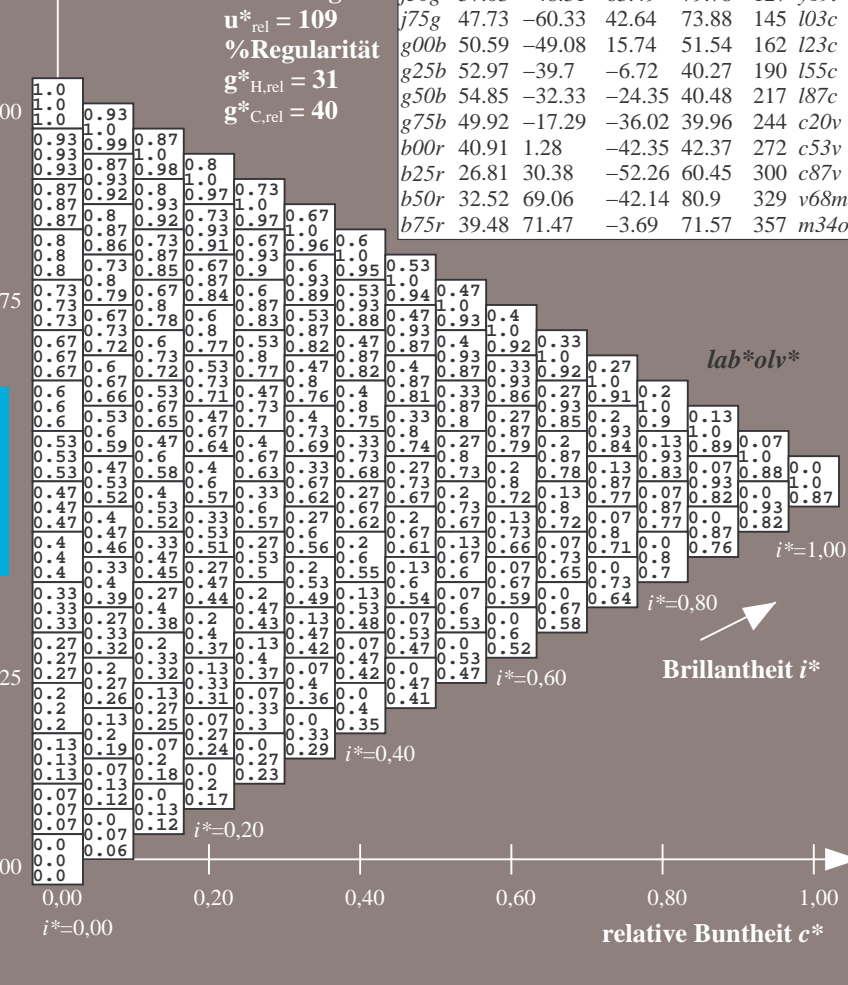
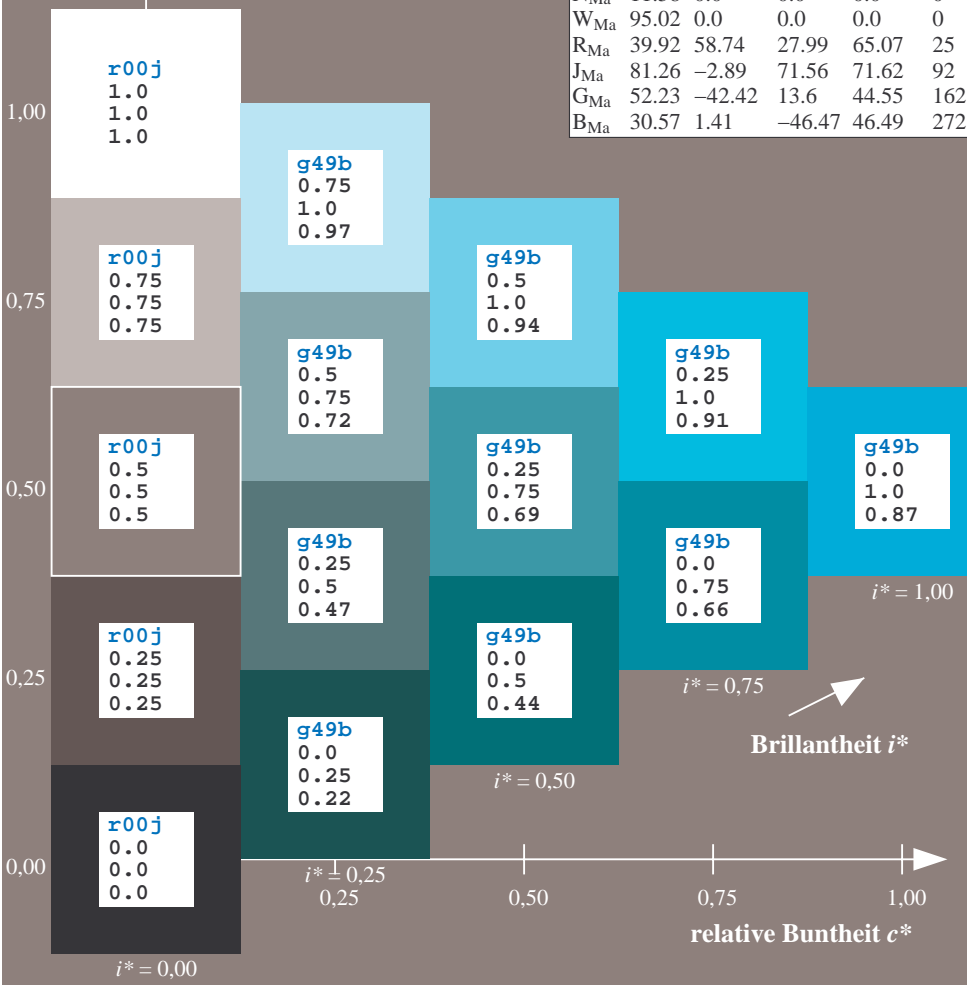
$LAB^*LAB^*_{Ma}: 55 -32 -24$
 $LAB^*LCH^*_{Ma}: 55 40 216$
 $lab^*rgb^*_{Ma}: 0.0 1.0 1.0$
 $lab^*olv^*_{Ma}: 0.0 1.0 0.87$

FRS12_95a; adaptierte CIELAB-Daten

	u^*_e	$L^*=L^*_a$	a^*_a	b^*_a	$C^*_{ab,a}$	$h^*_{ab,a}$	u^*_d
r00j	38.47	63.32	30.17	70.15	25	m81o	
r25j	42.12	54.56	49.45	73.64	42	o10y	
r50j	53.64	39.15	64.89	75.79	59	o40y	
r75j	67.01	21.26	82.83	85.52	76	o69y	
j00g	86.18	-4.38	108.53	108.62	92	o98y	
j25g	69.73	-29.89	83.06	88.28	110	y34l	
j50g	57.03	-48.31	63.49	79.78	127	y69l	
j75g	47.73	-60.33	42.64	73.88	145	l03c	
g00b	50.59	-49.08	15.74	51.54	162	l23c	
g25b	52.97	-39.7	-6.72	40.27	190	l55c	
g50b	54.85	-32.33	-24.35	40.48	217	l87c	
g75b	49.92	-17.29	-36.02	39.96	244	c20v	
b00r	40.91	1.28	-42.35	42.37	272	c53v	
b25r	26.81	30.38	-52.26	60.45	300	c87v	
b50r	32.52	69.06	-42.14	80.9	329	v68m	
b75r	39.48	71.47	-3.69	71.57	357	m34o	

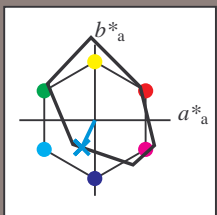
Dreiecks-Helligkeit i^*

%Umfang
 $u^*_{rel} = 109$
 %Regularität
 $g^*_{H,rel} = 31$
 $g^*_{C,rel} = 40$



BAM-Registrierung: 20081001-Fg64/10L/L64g00NP.PDF/.PS BAM-Material: Code=rh4ta
 Anwendung für Beurteilung und Messung von Drucker- oder Monitorssystemen

Ein und Ausgabe: Farbmetrisches Drucker-Reflektiv-System FRS12_95a, L*=12_95 für relative CIELAB-Buntton $h^* = lab^*h^* = h_{ab}/360 = 0.679$ $u^*_e = g75b$
 lab^*tch^* und lab^*icu^*
 Daten für jede Farbe:
 $u^*_e = g75b$ $u^*_d = c20v$
 Kontrastreduzierungsfaktor:
 $c_R = 1.0$
 Dreiecks-Helligkeit i^*



FRS12_95a; adaptierte CIELAB-Daten

	u^*_e	$L^*=L^*_a$	a^*_a	b^*_a	$C^*_{ab,a}$	$h^*_{ab,a}$
O _{Ma}	38.06	60.0	44.0	74.4	36	
Y _{Ma}	86.77	-5.17	109.32	109.44	93	
L _{Ma}	47.13	-62.67	48.24	79.09	142	
C _{Ma}	55.66	-29.14	-31.99	43.27	228	
V _{Ma}	17.15	50.3	-59.04	77.57	310	
M _{Ma}	40.37	78.64	-33.5	85.48	337	
N _{Ma}	11.58	0.0	0.0	0.0	0	
W _{Ma}	95.02	0.0	0.0	0.0	0	
R _{Ma}	39.92	58.74	27.99	65.07	25	
J _{Ma}	81.26	-2.89	71.56	71.62	92	
G _{Ma}	52.23	-42.42	13.6	44.55	162	
B _{Ma}	30.57	1.41	-46.47	46.49	272	

Daten für Maximalfarbe (Ma):

$LAB^*LAB^*_{Ma}$: 50 -17 -36

$LAB^*LCH^*_{Ma}$: 50 40 244

$lab^*rgb^*_{Ma}$: 0.0 0.5 1.0

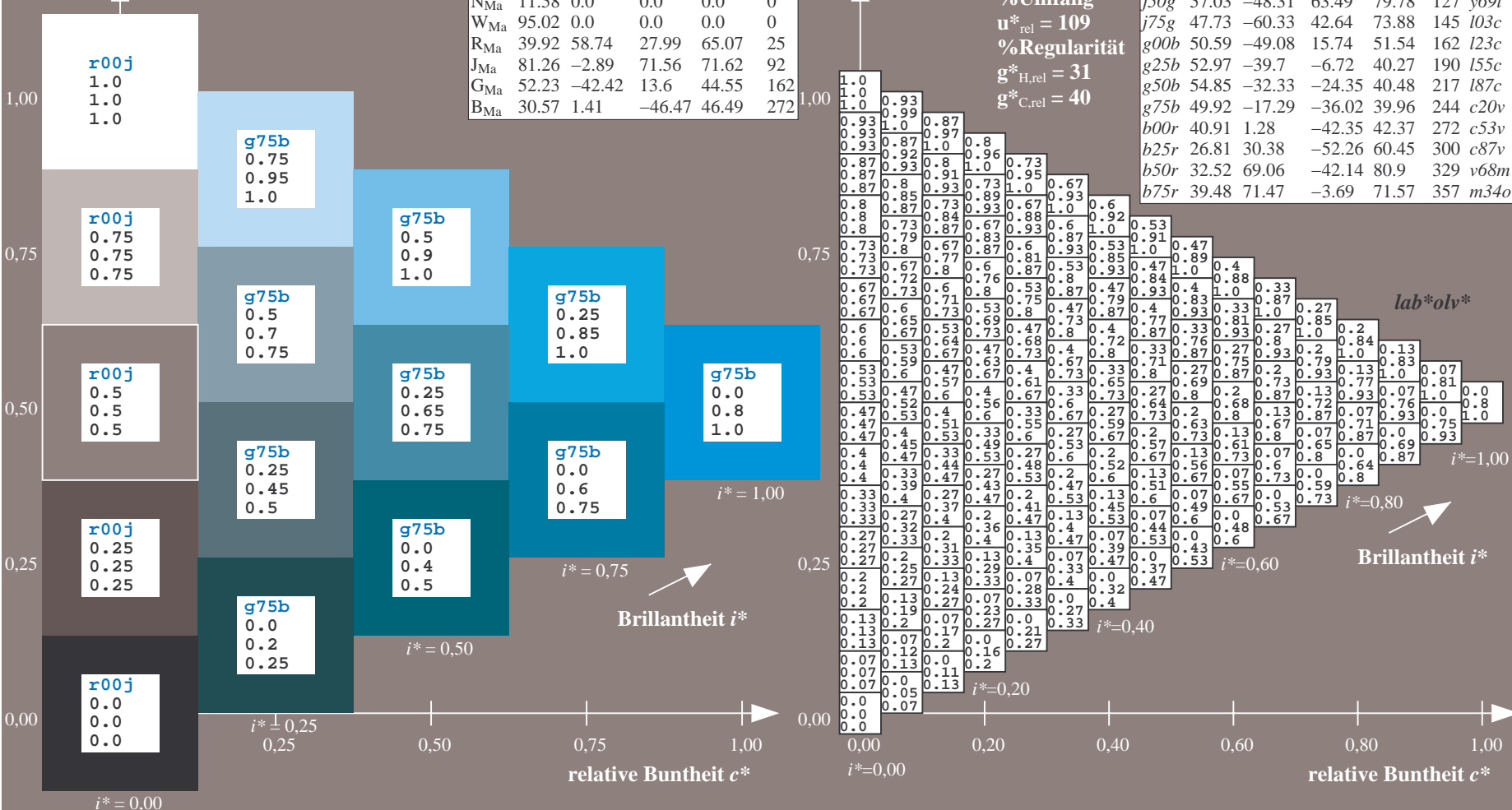
$lab^*olv^*_{Ma}$: 0.0 0.8 1.0

Dreiecks-Helligkeit i^*

%Umfang
 $u^*_{rel} = 109$
 %Regularität
 $g^*_{H,rel} = 31$
 $g^*_{C,rel} = 40$

FRS12_95a; adaptierte CIELAB-Daten

	u^*_e	$L^*=L^*_a$	a^*_a	b^*_a	$C^*_{ab,a}$	$h^*_{ab,a}$	u^*_d
r00j	38.47	63.32	30.17	70.15	25	m81o	
r25j	42.12	54.56	49.45	73.64	42	o10y	
r50j	53.64	39.15	64.89	75.79	59	o40y	
r75j	67.01	21.26	82.83	85.52	76	o69y	
j00g	86.18	-4.38	108.53	108.62	92	o98y	
j25g	69.73	-29.89	83.06	88.28	110	y34l	
j50g	57.03	-48.31	63.49	79.78	127	y69l	
j75g	47.73	-60.33	42.64	73.88	145	l03c	
g00b	50.59	-49.08	15.74	51.54	162	l23c	
g25b	52.97	-39.7	-6.72	40.27	190	l55c	
g50b	54.85	-32.33	-24.35	40.48	217	l87c	
g75b	49.92	-17.29	-36.02	39.96	244	c20v	
b00r	40.91	1.28	-42.35	42.37	272	c53v	
b25r	26.81	30.38	-52.26	60.45	300	c87v	
b50r	32.52	69.06	-42.14	80.9	329	v68m	
b75r	39.48	71.47	-3.69	71.57	357	m34o	



BAM-Registrierung: 20081001-Fg64/10L/L64g00NP.PDF/.PS BAM-Material: Code=rh4ta
 Anwendung für Beurteilung und Messung von Drucker- oder Monitorssystemen

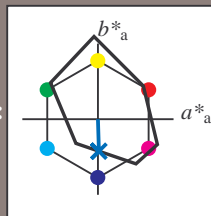
Ein und Ausgabe: Farbmetrisches Drucker-Reflektiv-System FRS12_95a, L*=12_95 für relativen CIELAB-Buntton $h^* = lab^*h^* = h_{ab}/360 = 0.755$ $u^*_e = b00r$
 lab^*olv^*

Daten für jede Farbe:
 lab^*tch^* und lab^*icu^*

Bunttontexte:
 $u^*_e = b00r$ $u^*_d = c53v$

Kontrastreduzierungsfaktor:
 $c_R = 1.0$

Dreiecks-Helligkeit i^*



FRS12_95a; adaptierte CIELAB-Daten

	u^*_e	$L^*=L^*_a$	a^*_a	b^*_a	$C^*_{ab,a}$	$h^*_{ab,a}$
O _{Ma}	38.06	60.0	44.0	74.4	36	
Y _{Ma}	86.77	-5.17	109.32	109.44	93	
L _{Ma}	47.13	-62.67	48.24	79.09	142	
C _{Ma}	55.66	-29.14	-31.99	43.27	228	
V _{Ma}	17.15	50.3	-59.04	77.57	310	
M _{Ma}	40.37	78.64	-33.5	85.48	337	
N _{Ma}	11.58	0.0	0.0	0.0	0	
W _{Ma}	95.02	0.0	0.0	0.0	0	
R _{Ma}	39.92	58.74	27.99	65.07	25	
J _{Ma}	81.26	-2.89	71.56	71.62	92	
G _{Ma}	52.23	-42.42	13.6	44.55	162	
B _{Ma}	30.57	1.41	-46.47	46.49	272	

Daten für Maximalfarbe (Ma):

$LAB^*LAB^*_{Ma}$: 41 1 -42

$LAB^*LCH^*_{Ma}$: 41 42 271

$lab^*rgb^*_{Ma}$: 0.0 0.0 1.0

$lab^*olv^*_{Ma}$: 0.0 0.47 1.0

Dreiecks-Helligkeit i^*

%Umfang

$u^*_{rel} = 109$

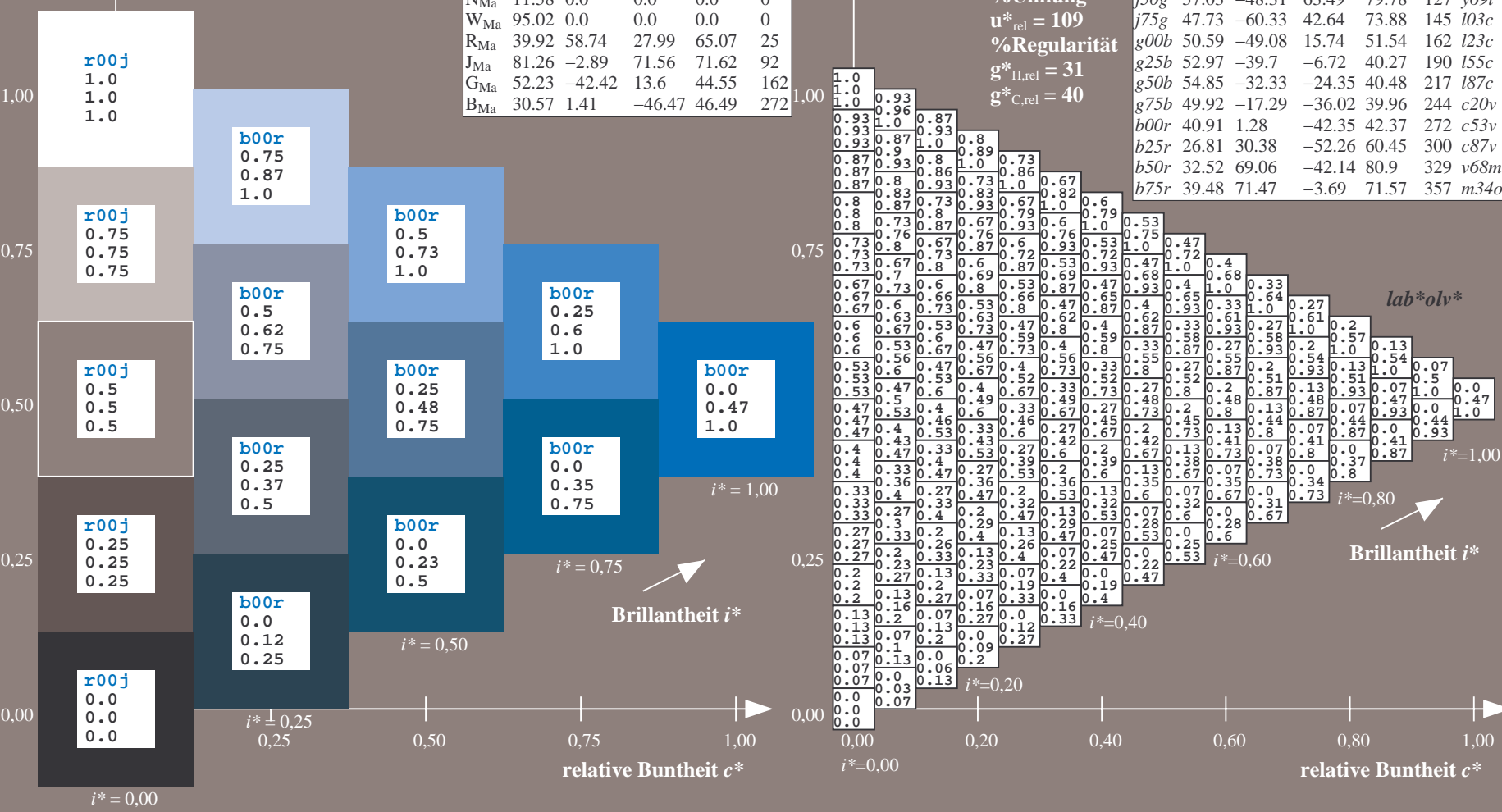
%Regularität

$g^*_{H,rel} = 31$

$g^*_{C,rel} = 40$

FRS12_95a; adaptierte CIELAB-Daten

	u^*_e	$L^*=L^*_a$	a^*_a	b^*_a	$C^*_{ab,a}$	$h^*_{ab,a}$	u^*_d
r00j	38.47	63.32	30.17	70.15	25	m81o	
r25j	42.12	54.56	49.45	73.64	42	o10y	
r50j	53.64	39.15	64.89	75.79	59	o40y	
r75j	67.01	21.26	82.83	85.52	76	o69y	
j00g	86.18	-4.38	108.53	108.62	92	o98y	
j25g	69.73	-29.89	83.06	88.28	110	y34l	
j50g	57.03	-48.31	63.49	79.78	127	y69l	
j75g	47.73	-60.33	42.64	73.88	145	l03c	
g00b	50.59	-49.08	15.74	51.54	162	l23c	
g25b	52.97	-39.7	-6.72	40.27	190	l55c	
g50b	54.85	-32.33	-24.35	40.48	217	l87c	
g75b	49.92	-17.29	-36.02	39.96	244	c20v	
b00r	40.91	1.28	-42.35	42.37	272	c53v	
b25r	26.81	30.38	-52.26	60.45	300	c87v	
b50r	32.52	69.06	-42.14	80.9	329	v68m	
b75r	39.48	71.47	-3.69	71.57	357	m34o	



BAM-Registrierung: 20081001-Fg64/10L/L64g00NP.PDF/.PS BAM-Material: Code=rh4ta
 Anwendung für Beurteilung und Messung von Drucker- oder Monitorssystemen

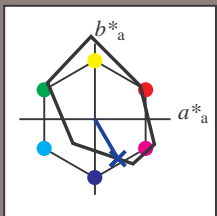
Ein und Ausgabe: Farbmetrisches Drucker-Reflektiv-System FRS12_95a, L*=12_95 für relative CIELAB-Buntton $h^* = lab^*h^* = h_{ab}/360 = 0.834$ $u^*_e = b25r$
 lab^*olv^*

Daten für jede Farbe:
 lab^*tch^* und lab^*icu^*

Bunttontexte:
 $u^*_e = b25r$ $u^*_d = c87v$

Kontrastreduzierungsfaktor:
 $c_R = 1.0$

Dreiecks-Helligkeit i^*



FRS12_95a; adaptierte CIELAB-Daten

	u^*_e	$L^*=L^*_a$	a^*_a	b^*_a	$C^*_{ab,a}$	$h^*_{ab,a}$
O _{Ma}	38.06	60.0	44.0	74.4	36	
Y _{Ma}	86.77	-5.17	109.32	109.44	93	
L _{Ma}	47.13	-62.67	48.24	79.09	142	
C _{Ma}	55.66	-29.14	-31.99	43.27	228	
V _{Ma}	17.15	50.3	-59.04	77.57	310	
M _{Ma}	40.37	78.64	-33.5	85.48	337	
N _{Ma}	11.58	0.0	0.0	0.0	0	
W _{Ma}	95.02	0.0	0.0	0.0	0	
R _{Ma}	39.92	58.74	27.99	65.07	25	
J _{Ma}	81.26	-2.89	71.56	71.62	92	
G _{Ma}	52.23	-42.42	13.6	44.55	162	
B _{Ma}	30.57	1.41	-46.47	46.49	272	

Daten für Maximalfarbe (Ma):

$LAB^*LAB^*_{Ma}$: 27 30 -52

$LAB^*LCH^*_{Ma}$: 27 60 300

$lab^*rgb^*_{Ma}$: 0.5 0.0 1.0

$lab^*olv^*_{Ma}$: 0.0 0.12 1.0

Dreiecks-Helligkeit i^*

%Umfang

$u^*_{rel} = 109$

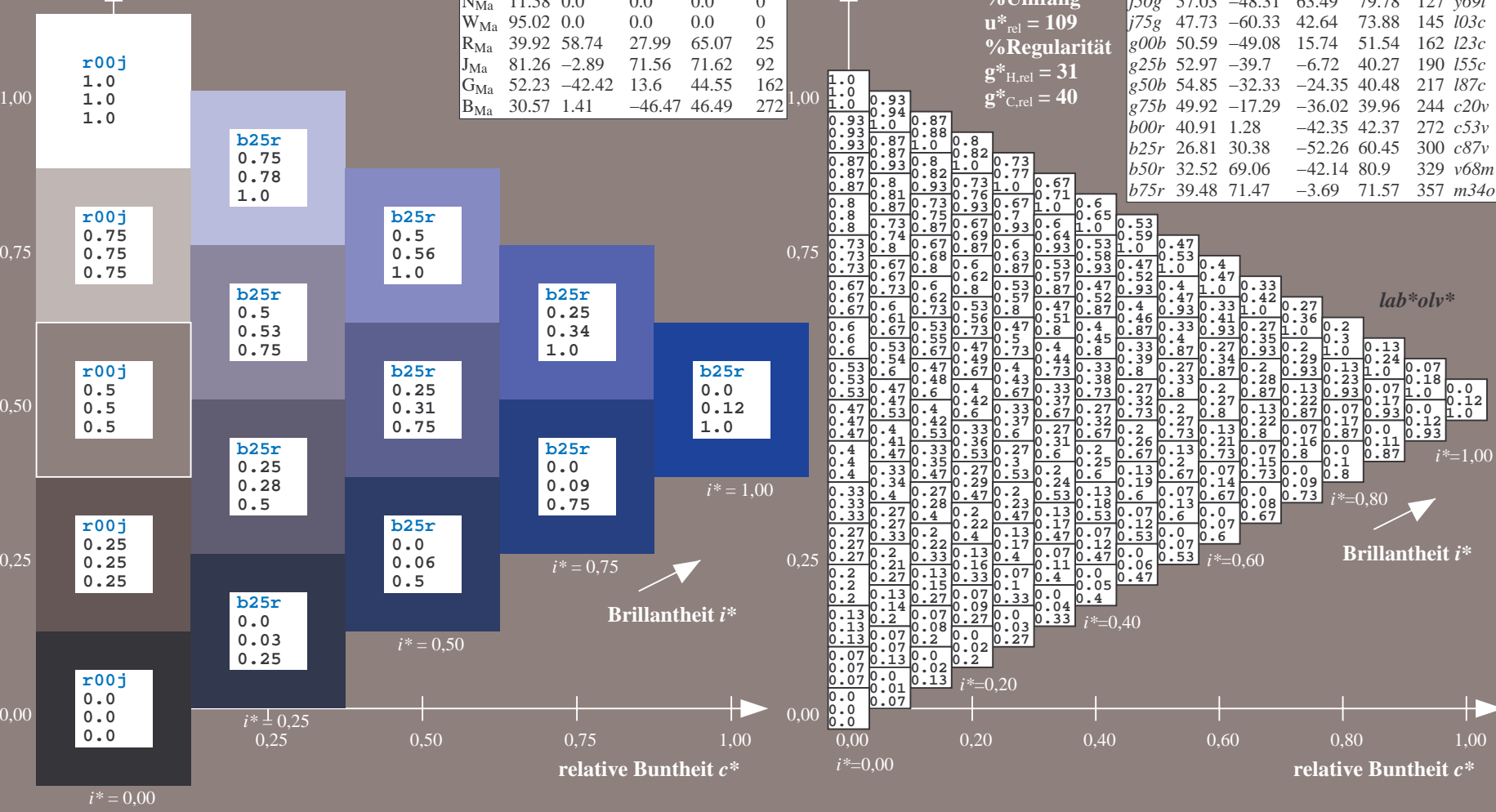
%Regularität

$g^*_{H,rel} = 31$

$g^*_{C,rel} = 40$

FRS12_95a; adaptierte CIELAB-Daten

	u^*_e	$L^*=L^*_a$	a^*_a	b^*_a	$C^*_{ab,a}$	$h^*_{ab,a}$	u^*_d
r00j	38.47	63.32	30.17	70.15	25	m81o	
r25j	42.12	54.56	49.45	73.64	42	o10y	
r50j	53.64	39.15	64.89	75.79	59	o40y	
r75j	67.01	21.26	82.83	85.52	76	o69y	
j00g	86.18	-4.38	108.53	108.62	92	o98y	
j25g	69.73	-29.89	83.06	88.28	110	y34l	
j50g	57.03	-48.31	63.49	79.78	127	y69l	
j75g	47.73	-60.33	42.64	73.88	145	l03c	
g00b	50.59	-49.08	15.74	51.54	162	l23c	
g25b	52.97	-39.7	-6.72	40.27	190	l55c	
g50b	54.85	-32.33	-24.35	40.48	217	l87c	
g75b	49.92	-17.29	-36.02	39.96	244	c20v	
b00r	40.91	1.28	-42.35	42.37	272	c53v	
b25r	26.81	30.38	-52.26	60.45	300	c87v	
b50r	32.52	69.06	-42.14	80.9	329	v68m	
b75r	39.48	71.47	-3.69	71.57	357	m34o	



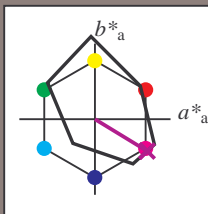
Ein und Ausgabe: Farbmetrisches Drucker-Reflektiv-System FRS12_95a, L*=12_95 für relative CIELAB-Bunton $h^* = lab^*h^* = h_{ab}/360 = 0.913$ $u^*_e = b50r$
 lab^*olv^*

Daten für jede Farbe:
 lab^*tch^* und lab^*icu^*

Buntontexte:
 $u^*_e = b50r$ $u^*_d = v68m$

Kontrastreduzierungsfaktor:
 $c_R = 1.0$

Dreiecks-Helligkeit i^*



FRS12_95a; adaptierte CIELAB-Daten

	u^*_e	$L^*=L^*_a$	a^*_a	b^*_a	$C^*_{ab,a}$	$h^*_{ab,a}$
O _{Ma}	38.06	60.0	44.0	74.4	36	
Y _{Ma}	86.77	-5.17	109.32	109.44	93	
L _{Ma}	47.13	-62.67	48.24	79.09	142	
C _{Ma}	55.66	-29.14	-31.99	43.27	228	
V _{Ma}	17.15	50.3	-59.04	77.57	310	
M _{Ma}	40.37	78.64	-33.5	85.48	337	
N _{Ma}	11.58	0.0	0.0	0.0	0	
W _{Ma}	95.02	0.0	0.0	0.0	0	
R _{Ma}	39.92	58.74	27.99	65.07	25	
J _{Ma}	81.26	-2.89	71.56	71.62	92	
G _{Ma}	52.23	-42.42	13.6	44.55	162	
B _{Ma}	30.57	1.41	-46.47	46.49	272	

Daten für Maximalfarbe (Ma):

$LAB^*LAB^*_{Ma}$: 33 69 -42

$LAB^*LCH^*_{Ma}$: 33 81 328

$lab^*rgb^*_{Ma}$: 1.0 0.0 1.0

$lab^*olv^*_{Ma}$: 0.69 0.0 1.0

Dreiecks-Helligkeit i^*

%Umfang

$u^*_{rel} = 109$

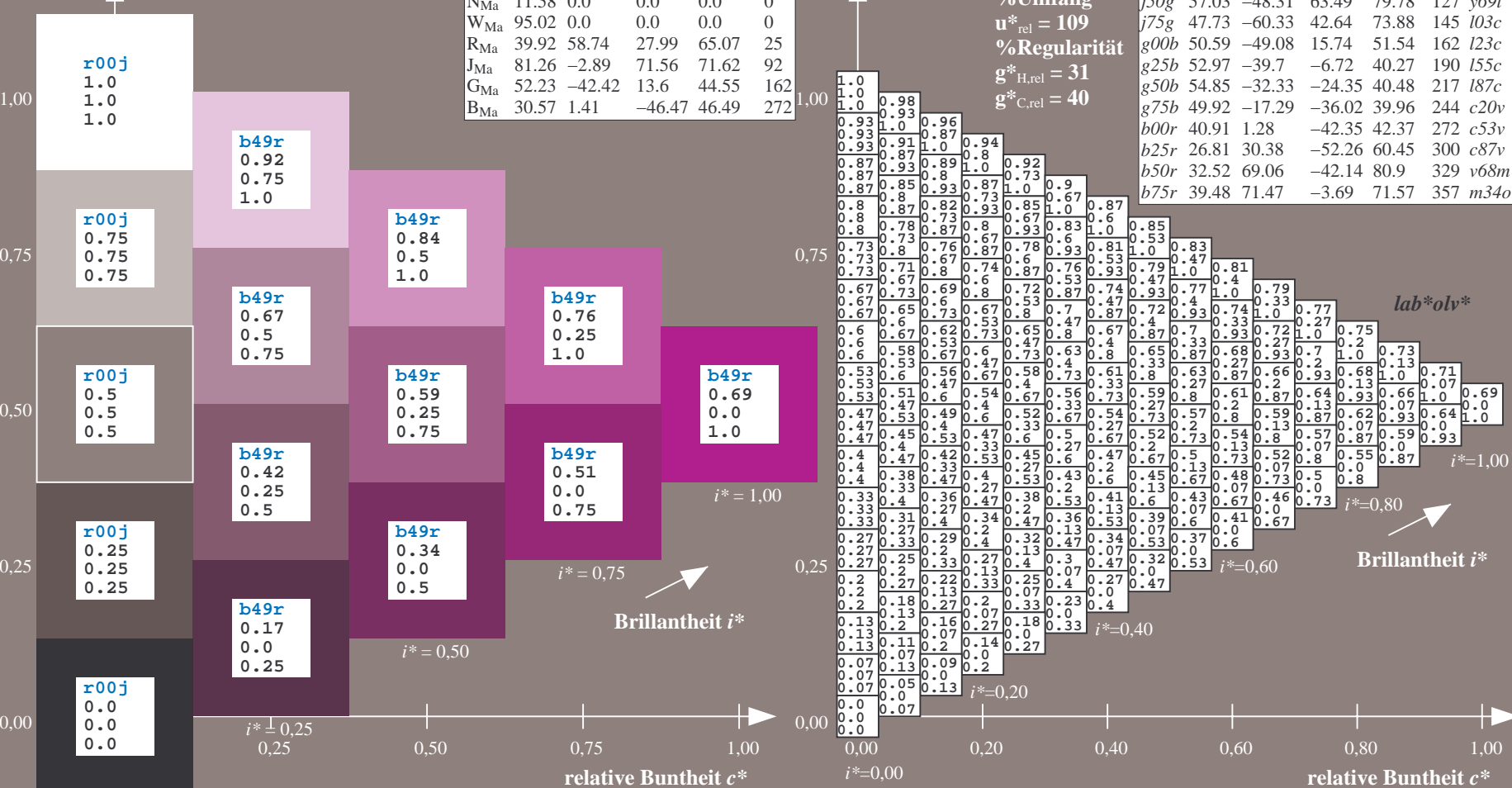
%Regularität

$g^*_{H,rel} = 31$

$g^*_{C,rel} = 40$

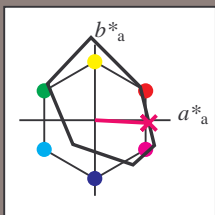
FRS12_95a; adaptierte CIELAB-Daten

	u^*_e	$L^*=L^*_a$	a^*_a	b^*_a	$C^*_{ab,a}$	$h^*_{ab,a}$	u^*_d
r00j	38.47	63.32	30.17	70.15	25	m81o	
r25j	42.12	54.56	49.45	73.64	42	o10y	
r50j	53.64	39.15	64.89	75.79	59	o40y	
r75j	67.01	21.26	82.83	85.52	76	o69y	
j00g	86.18	-4.38	108.53	108.62	92	o98y	
j25g	69.73	-29.89	83.06	88.28	110	y34l	
j50g	57.03	-48.31	63.49	79.78	127	y69l	
j75g	47.73	-60.33	42.64	73.88	145	l03c	
g00b	50.59	-49.08	15.74	51.54	162	l23c	
g25b	52.97	-39.7	-6.72	40.27	190	l55c	
g50b	54.85	-32.33	-24.35	40.48	217	l87c	
g75b	49.92	-17.29	-36.02	39.96	244	c20v	
b00r	40.91	1.28	-42.35	42.37	272	c53v	
b25r	26.81	30.38	-52.26	60.45	300	c87v	
b50r	32.52	69.06	-42.14	80.9	329	v68m	
b75r	39.48	71.47	-3.69	71.57	357	m34o	



Ein und Ausgabe: Farbmetrisches Drucker-Reflektiv-System FRS12_95a, L*=12_95 für relative CIELAB-Buntton $h^* = lab^*h^* = h_{ab}/360 = 0.992$ $u^*_e = b75r$
 lab^*olv^*

Daten für jede Farbe:
 lab^*tch^* und lab^*icu^*
 Bunttontexte:
 $u^*_e = b75r$ $u^*_d = m34o$
 Kontrastreduzierungsfaktor:
 $c_R = 1.0$
 Dreiecks-Helligkeit t^*

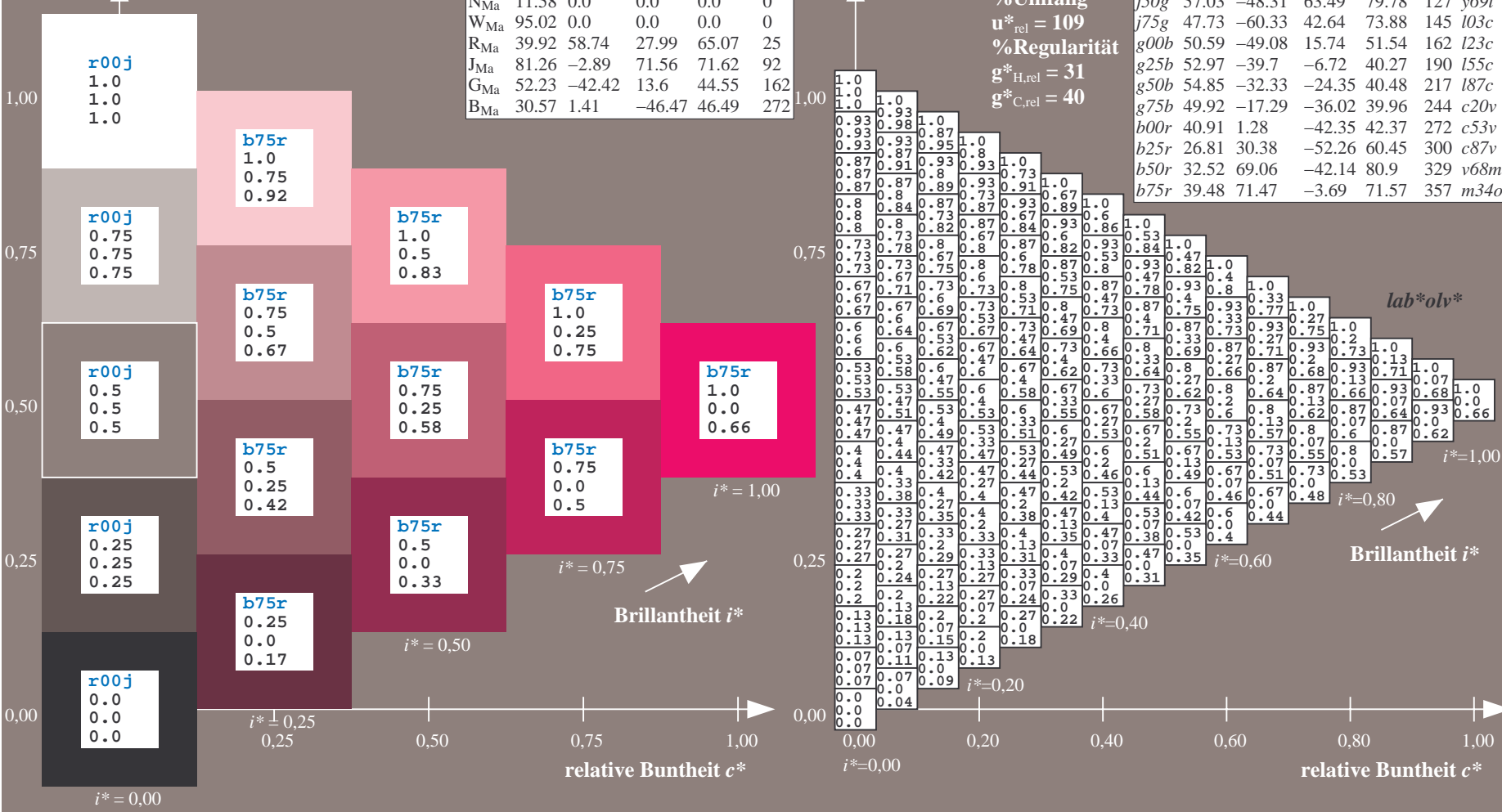


FRS12_95a; adaptierte CIELAB-Daten						
	u^*_e	$L^*=L^*_a$	a^*_a	b^*_a	$C^*_{ab,a}$	$h^*_{ab,a}$
O _{Ma}	38.06	60.0	44.0	74.4	36	
Y _{Ma}	86.77	-5.17	109.32	109.44	93	
L _{Ma}	47.13	-62.67	48.24	79.09	142	
C _{Ma}	55.66	-29.14	-31.99	43.27	228	
V _{Ma}	17.15	50.3	-59.04	77.57	310	
M _{Ma}	40.37	78.64	-33.5	85.48	337	
N _{Ma}	11.58	0.0	0.0	0.0	0	
W _{Ma}	95.02	0.0	0.0	0.0	0	
R _{Ma}	39.92	58.74	27.99	65.07	25	
J _{Ma}	81.26	-2.89	71.56	71.62	92	
G _{Ma}	52.23	-42.42	13.6	44.55	162	
B _{Ma}	30.57	1.41	-46.47	46.49	272	

Daten für Maximalfarbe (Ma):
 $LAB^*LAB^*_{Ma}: 39\ 71\ -4$
 $LAB^*LCH^*_{Ma}: 39\ 72\ 357$
 $lab^*rgb^*_{Ma}: 1.0\ 0.0\ 0.5$
 $lab^*olv^*_{Ma}: 1.0\ 0.0\ 0.66$

FRS12_95a; adaptierte CIELAB-Daten							
	u^*_e	$L^*=L^*_a$	a^*_a	b^*_a	$C^*_{ab,a}$	$h^*_{ab,a}$	u^*_d
r00j	38.47	63.32	30.17	70.15	25	m81o	
r25j	42.12	54.56	49.45	73.64	42	o10y	
r50j	53.64	39.15	64.89	75.79	59	o40y	
r75j	67.01	21.26	82.83	85.52	76	o69y	
j00g	86.18	-4.38	108.53	108.62	92	o98y	
j25g	69.73	-29.89	83.06	88.28	110	y34l	
j50g	57.03	-48.31	63.49	79.78	127	y69l	
j75g	47.73	-60.33	42.64	73.88	145	l03c	
g00b	50.59	-49.08	15.74	51.54	162	l23c	
g25b	52.97	-39.7	-6.72	40.27	190	l55c	
g50b	54.85	-32.33	-24.35	40.48	217	l87c	
g75b	49.92	-17.29	-36.02	39.96	244	c20v	
b00r	40.91	1.28	-42.35	42.37	272	c53v	
b25r	26.81	30.38	-52.26	60.45	300	c87v	
b50r	32.52	69.06	-42.14	80.9	329	v68m	
b75r	39.48	71.47	-3.69	71.57	357	m34o	

Dreiecks-Helligkeit t^*
 %Umfang
 $u^*_{rel} = 109$
 %Regularität
 $g^*_{H,rel} = 31$
 $g^*_{C,rel} = 40$



BAM-Registrierung: 20081001-Fg64/10L/L64g00NP.PDF/.PS BAM-Material: Code=rh4ta
 Anwendung für Beurteilung und Messung von Drucker- oder Monitorssystemen

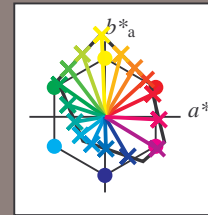
Siehe ähnliche Dateien: <http://www.ps.bam.de/Fg64/>; [www.ps.bam.de/Version 2.1, io=1.1, Colspx=0](http://www.ps.bam.de/Version2.1,io=1.1,Colspx=0)
Technische Information: <http://www.ps.bam.de>

BAM-Registrierung: 20081001-Fg64/10L/L64g00NP.PDF/.PS BAM-Material: Code=thata4ta
Anwendung für Beurteilung und Messung von Drucker- oder Monitorsystemen

Table with 28 columns (A-lab*oly*) and 28 rows (01-27). Each cell contains a numerical value representing colorimetric data for a specific color and device combination.

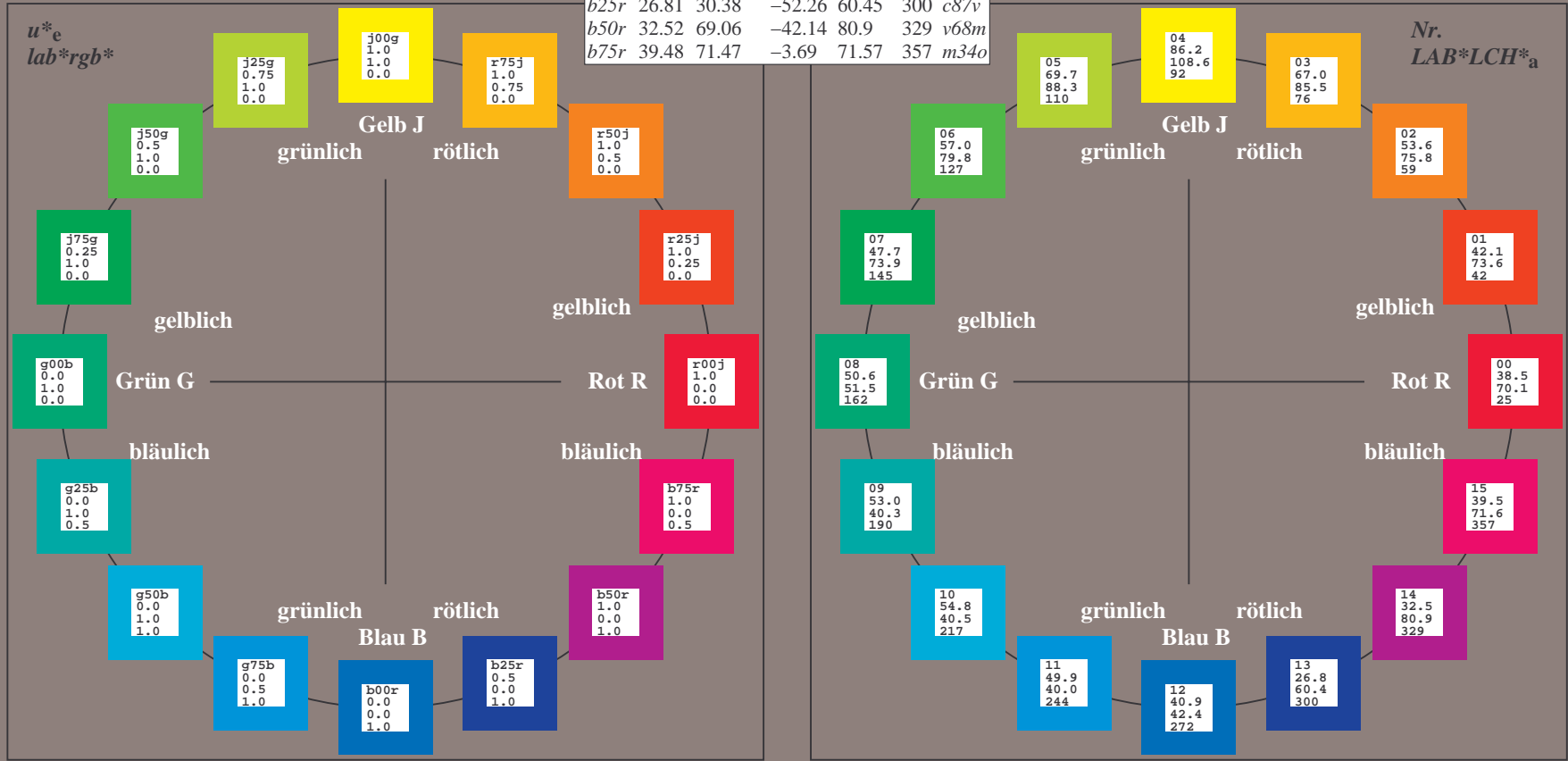
Ein und Ausgabe:
 Farbmetrisches Drucker-Reflektiv-System FRS12_95a
 Daten für jede Farbe:
 u^*_e und Nummer *Nr.* = 00 .. 15
 Elementar-Bunttext:
 $u^*_e = 16$ Bunttoene *r00j, r25j, ..., b75r*
 Kontrastreduzierungsfaktor:
 $c_R = 1.0$

FRS12_95a; adaptierte CIELAB-Daten						
u^*_e	$L^*=L^*_a$	a^*_a	b^*_a	$C^*_{ab,a}$	$h^*_{ab,a}$	u^*_d
r00j	38.47	63.32	30.17	70.15	25	m81o
r25j	42.12	54.56	49.45	73.64	42	o10y
r50j	53.64	39.15	64.89	75.79	59	o40y
r75j	67.01	21.26	82.83	85.52	76	o69y
j00g	86.18	-4.38	108.53	108.62	92	o98y
j25g	69.73	-29.89	83.06	88.28	110	y34l
j50g	57.03	-48.31	63.49	79.78	127	y69l
j75g	47.73	-60.33	42.64	73.88	145	l03c
g00b	50.59	-49.08	15.74	51.54	162	l23c
g25b	52.97	-39.7	-6.72	40.27	190	l55c
g50b	54.85	-32.33	-24.35	40.48	217	l87c
g75b	49.92	-17.29	-36.02	39.96	244	c20v
b00r	40.91	1.28	-42.35	42.37	272	c53v
b25r	26.81	30.38	-52.26	60.45	300	c87v
b50r	32.52	69.06	-42.14	80.9	329	v68m
b75r	39.48	71.47	-3.69	71.57	357	m34o

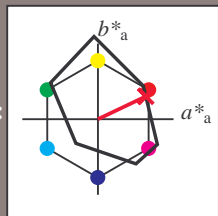


%Umfang
 $u^*_{rel} = 109$
 %Regularität
 $g^*_{H,rel} = 31$
 $g^*_{C,rel} = 40$

FRS12_95a; adaptierte CIELAB-Daten					
Name	$L^*=L^*_a$	a^*_a	b^*_a	$C^*_{ab,a}$	$h^*_{ab,a}$
OMa	38.06	60.0	44.0	74.4	36
YMa	86.77	-5.17	109.32	109.44	93
LMa	47.13	-62.67	48.24	79.09	142
CMa	55.66	-29.14	-31.99	43.27	228
VMa	17.15	50.3	-59.04	77.57	310
MMa	40.37	78.64	-33.5	85.48	337
NMa	11.58	0.0	0.0	0.0	0
WMa	95.02	0.0	0.0	0.0	0
JCIE	39.92	58.74	27.99	65.07	25
RCIE	81.26	-2.89	71.56	71.62	92
GCIE	52.23	-42.42	13.6	44.55	162
BCIE	30.57	1.41	-46.47	46.49	272



Ein und Ausgabe: Farbmetrisches Drucker-Reflektiv-System FRS12_95a, L*=12_95 für relative CIELAB-Buntton $h^* = lab^*h^* = h^*_{ab}/360 = 0.071$ $u^*_e = r00j$
 Daten für jede Farbe: lab^*tch^* und lab^*icu^*
 $u^*_e = r00j$ $u^*_d = m81o$
 Kontrastreduzierungsfaktor: $c_R = 1.0$
 Dreiecks-Helligkeit i^*



FRS12_95a; adaptierte CIELAB-Daten

	u^*_e	$L^*=L^*_a$	a^*_a	b^*_a	$C^*_{ab,a}$	$h^*_{ab,a}$
O _{Ma}	38.06	60.0	44.0	74.4	36	
Y _{Ma}	86.77	-5.17	109.32	109.44	93	
L _{Ma}	47.13	-62.67	48.24	79.09	142	
C _{Ma}	55.66	-29.14	-31.99	43.27	228	
V _{Ma}	17.15	50.3	-59.04	77.57	310	
M _{Ma}	40.37	78.64	-33.5	85.48	337	
N _{Ma}	11.58	0.0	0.0	0.0	0	
W _{Ma}	95.02	0.0	0.0	0.0	0	
R _{Ma}	39.92	58.74	27.99	65.07	25	
J _{Ma}	81.26	-2.89	71.56	71.62	92	
G _{Ma}	52.23	-42.42	13.6	44.55	162	
B _{Ma}	30.57	1.41	-46.47	46.49	272	

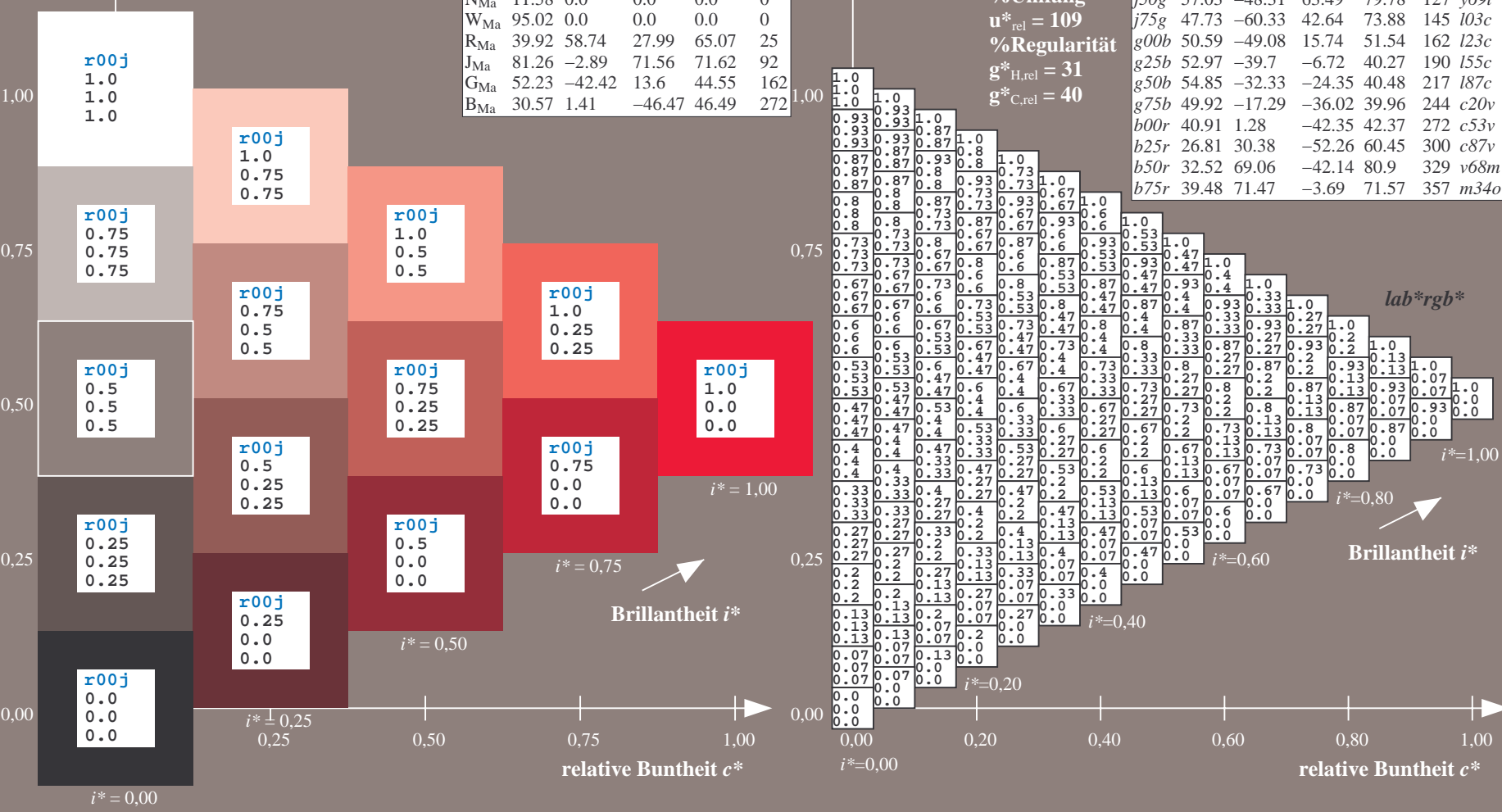
Daten für Maximalfarbe (Ma):

$LAB^*LAB^*_{Ma}$: 38 63 30
 $LAB^*LCH^*_{Ma}$: 38 70 25
 $lab^*rgb^*_{Ma}$: 1.0 0.0 0.0
 $lab^*olv^*_{Ma}$: 1.0 0.0 0.18

FRS12_95a; adaptierte CIELAB-Daten

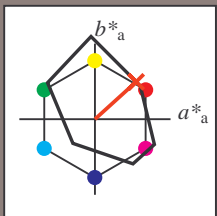
	u^*_e	$L^*=L^*_a$	a^*_a	b^*_a	$C^*_{ab,a}$	$h^*_{ab,a}$	u^*_d
r00j	38.47	63.32	30.17	70.15	25	m81o	
r25j	42.12	54.56	49.45	73.64	42	o10y	
r50j	53.64	39.15	64.89	75.79	59	o40y	
r75j	67.01	21.26	82.83	85.52	76	o69y	
j00g	86.18	-4.38	108.53	108.62	92	o98y	
j25g	69.73	-29.89	83.06	88.28	110	y34l	
j50g	57.03	-48.31	63.49	79.78	127	y69l	
j75g	47.73	-60.33	42.64	73.88	145	l03c	
g00b	50.59	-49.08	15.74	51.54	162	l23c	
g25b	52.97	-39.7	-6.72	40.27	190	l55c	
g50b	54.85	-32.33	-24.35	40.48	217	l87c	
g75b	49.92	-17.29	-36.02	39.96	244	c20v	
b00r	40.91	1.28	-42.35	42.37	272	c53v	
b25r	26.81	30.38	-52.26	60.45	300	c87v	
b50r	32.52	69.06	-42.14	80.9	329	v68m	
b75r	39.48	71.47	-3.69	71.57	357	m34o	

Dreiecks-Helligkeit i^*
 %Umfang $u^*_{rel} = 109$
 %Regularität $g^*_{H,rel} = 31$
 $g^*_{C,rel} = 40$



BAM-Registrierung: 20081001-Fg64/10L/L64g00NP.PDF/.PS BAM-Material: Code=rh4ta
 Anwendung für Beurteilung und Messung von Drucker- oder Monitorssystemen

Ein und Ausgabe: Farbmetrisches Drucker-Reflektiv-System FRS12_95a, L*=12_95 für relative CIELAB-Buntton $h^* = lab^*h^* = h_{ab}^*/360 = 0.117$ $u^*_e = r25j$
 Daten für jede Farbe: lab^*tch^* und lab^*icu^*
 $u^*_e = r25j$ $u^*_d = o10y$
 Kontrastreduzierungsfaktor: $c_R = 1.0$
 Dreiecks-Helligkeit i^*



FRS12_95a; adaptierte CIELAB-Daten

	u^*_e	$L^*=L^*_a$	a^*_a	b^*_a	$C^*_{ab,a}$	$h^*_{ab,a}$
O _{Ma}	38.06	60.0	44.0	74.4	36	
Y _{Ma}	86.77	-5.17	109.32	109.44	93	
L _{Ma}	47.13	-62.67	48.24	79.09	142	
C _{Ma}	55.66	-29.14	-31.99	43.27	228	
V _{Ma}	17.15	50.3	-59.04	77.57	310	
M _{Ma}	40.37	78.64	-33.5	85.48	337	
N _{Ma}	11.58	0.0	0.0	0.0	0	
W _{Ma}	95.02	0.0	0.0	0.0	0	
R _{Ma}	39.92	58.74	27.99	65.07	25	
J _{Ma}	81.26	-2.89	71.56	71.62	92	
G _{Ma}	52.23	-42.42	13.6	44.55	162	
B _{Ma}	30.57	1.41	-46.47	46.49	272	

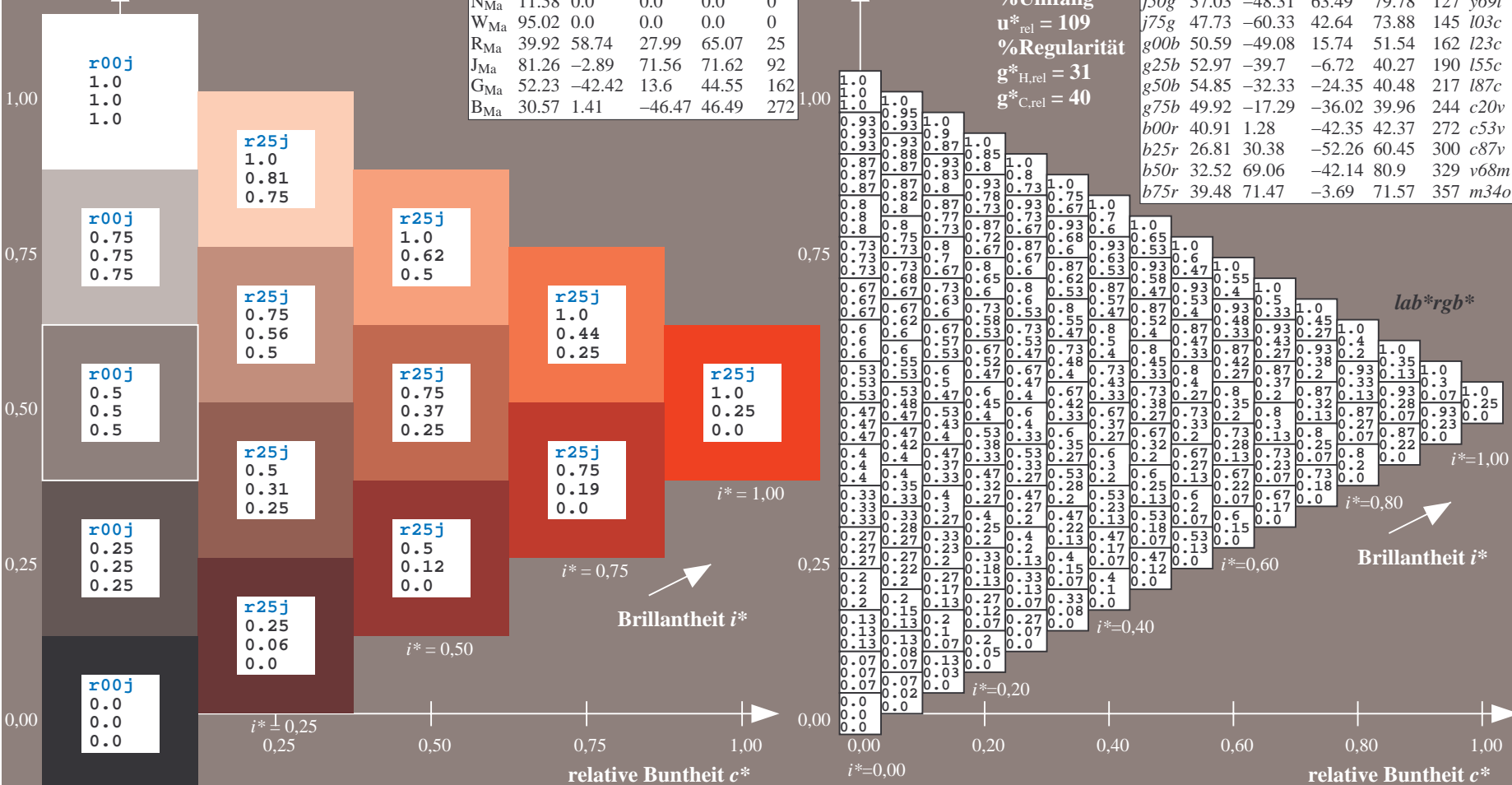
Daten für Maximalfarbe (Ma):

$LAB^*LAB^*_{Ma}$: 42 55 49
 $LAB^*LCH^*_{Ma}$: 42 74 42
 $lab^*rgb^*_{Ma}$: 1.0 0.25 0.0
 $lab^*olv^*_{Ma}$: 1.0 0.11 0.0

FRS12_95a; adaptierte CIELAB-Daten

	u^*_e	$L^*=L^*_a$	a^*_a	b^*_a	$C^*_{ab,a}$	$h^*_{ab,a}$	u^*_d
r00j	38.47	63.32	30.17	70.15	25	m81o	
r25j	42.12	54.56	49.45	73.64	42	o10y	
r50j	53.64	39.15	64.89	75.79	59	o40y	
r75j	67.01	21.26	82.83	85.52	76	o69y	
j00g	86.18	-4.38	108.53	108.62	92	o98y	
j25g	69.73	-29.89	83.06	88.28	110	y34l	
j50g	57.03	-48.31	63.49	79.78	127	y69l	
j75g	47.73	-60.33	42.64	73.88	145	l03c	
g00b	50.59	-49.08	15.74	51.54	162	l23c	
g25b	52.97	-39.7	-6.72	40.27	190	l55c	
g50b	54.85	-32.33	-24.35	40.48	217	l87c	
g75b	49.92	-17.29	-36.02	39.96	244	c20v	
b00r	40.91	1.28	-42.35	42.37	272	c53v	
b25r	26.81	30.38	-52.26	60.45	300	c87v	
b50r	32.52	69.06	-42.14	80.9	329	v68m	
b75r	39.48	71.47	-3.69	71.57	357	m34o	

Dreiecks-Helligkeit i^*
 %Umfang $u^*_{rel} = 109$
 %Regularität $g^*_{H,rel} = 31$
 $g^*_{C,rel} = 40$



BAM-Registrierung: 20081001-Fg64/10L/L64g00NP.PDF/.PS BAM-Material: Code=rh4ta
 Anwendung für Beurteilung und Messung von Drucker- oder Monitorssystemen

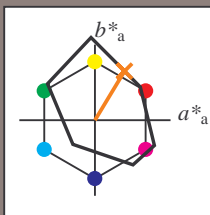
Ein und Ausgabe: Farbmetrisches Drucker-Reflektiv-System FRS12_95a, L*=12_95 für relativen CIELAB-Buntton $h^* = lab^*h^* = h^*_{ab}/360 = 0.164$ $u^*_e = r50j$
 lab^*rgb^*

Daten für jede Farbe:
 lab^*tch^* und lab^*icu^*

Bunttontexte:
 $u^*_e = r50j$ $u^*_d = o40y$

Kontrastreduzierungsfaktor:
 $c_R = 1.0$

Dreiecks-Helligkeit i^*



FRS12_95a; adaptierte CIELAB-Daten						
	u^*_e	$L^*=L^*_a$	a^*_a	b^*_a	$C^*_{ab,a}$	$h^*_{ab,a}$
O _{Ma}	38.06	60.0	44.0	74.4	36	
Y _{Ma}	86.77	-5.17	109.32	109.44	93	
L _{Ma}	47.13	-62.67	48.24	79.09	142	
C _{Ma}	55.66	-29.14	-31.99	43.27	228	
V _{Ma}	17.15	50.3	-59.04	77.57	310	
M _{Ma}	40.37	78.64	-33.5	85.48	337	
N _{Ma}	11.58	0.0	0.0	0.0	0	
W _{Ma}	95.02	0.0	0.0	0.0	0	
R _{Ma}	39.92	58.74	27.99	65.07	25	
J _{Ma}	81.26	-2.89	71.56	71.62	92	
G _{Ma}	52.23	-42.42	13.6	44.55	162	
B _{Ma}	30.57	1.41	-46.47	46.49	272	

Daten für Maximalfarbe (Ma):

$LAB^*LAB^*_{Ma}$: 54 39 65

$LAB^*LCH^*_{Ma}$: 54 76 58

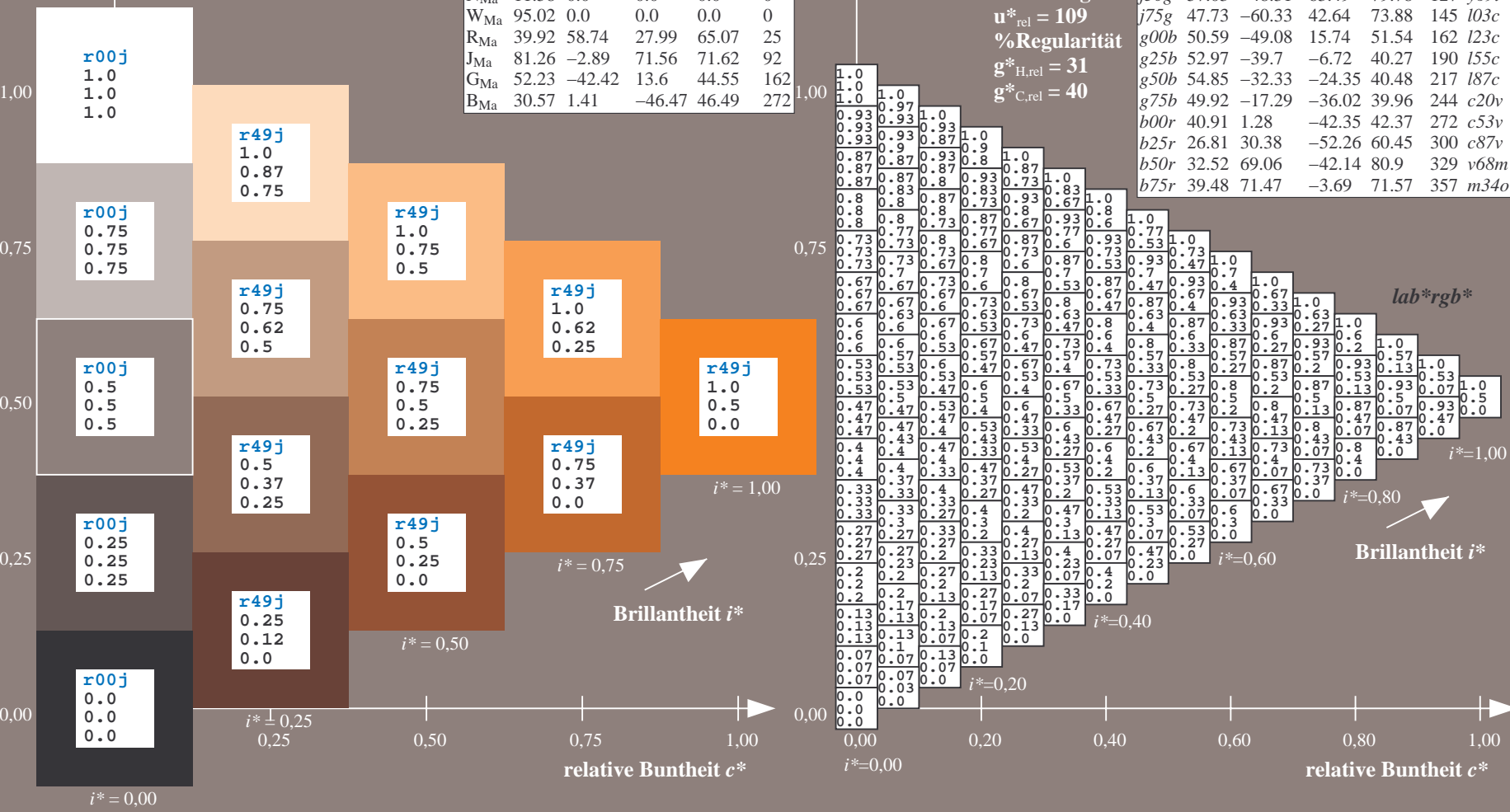
$lab^*rgb^*_{Ma}$: 1.0 0.5 0.0

$lab^*olv^*_{Ma}$: 1.0 0.4 0.0

Dreiecks-Helligkeit i^*

%Umfang
 $u^*_{rel} = 109$
 %Regularität
 $g^*_{H,rel} = 31$
 $g^*_{C,rel} = 40$

FRS12_95a; adaptierte CIELAB-Daten							
	u^*_e	$L^*=L^*_a$	a^*_a	b^*_a	$C^*_{ab,a}$	$h^*_{ab,a}$	u^*_d
r00j	38.47	63.32	30.17	70.15	25	m81o	
r25j	42.12	54.56	49.45	73.64	42	o10y	
r50j	53.64	39.15	64.89	75.79	59	o40y	
r75j	67.01	21.26	82.83	85.52	76	o69y	
j00g	86.18	-4.38	108.53	108.62	92	o98y	
j25g	69.73	-29.89	83.06	88.28	110	y34l	
j50g	57.03	-48.31	63.49	79.78	127	y69l	
j75g	47.73	-60.33	42.64	73.88	145	l03c	
g00b	50.59	-49.08	15.74	51.54	162	l23c	
g25b	52.97	-39.7	-6.72	40.27	190	l55c	
g50b	54.85	-32.33	-24.35	40.48	217	l87c	
g75b	49.92	-17.29	-36.02	39.96	244	c20v	
b00r	40.91	1.28	-42.35	42.37	272	c53v	
b25r	26.81	30.38	-52.26	60.45	300	c87v	
b50r	32.52	69.06	-42.14	80.9	329	v68m	
b75r	39.48	71.47	-3.69	71.57	357	m34o	



BAM-Registrierung: 20081001-Fg64/10L/L64g00NP.PDF/.PS BAM-Material: Code=rh4ta
 Anwendung für Beurteilung und Messung von Drucker- oder Monitorssystemen

Ein und Ausgabe: Farbmetrisches Drucker-Reflektiv-System FRS12_95a, L*=12_95 für relative CIELAB-Bunton $h^* = lab^*h^* = h_{ab}/360 = 0.21$ $u^*_e = r75j$
 lab^*rgb^*

Daten für jede Farbe:

lab^*tch^* und lab^*icu^*

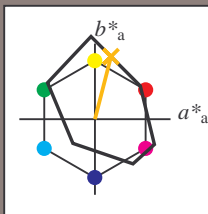
Buntonkontexte:

$u^*_e = r75j$ $u^*_d = o69y$

Kontrastreduzierungsfaktor:

$c_R = 1.0$

Dreiecks-Helligkeit i^*



FRS12_95a; adaptierte CIELAB-Daten

	u^*_e	$L^*=L^*_a$	a^*_a	b^*_a	$C^*_{ab,a}$	$h^*_{ab,a}$
O _{Ma}	38.06	60.0	44.0	74.4	36	
Y _{Ma}	86.77	-5.17	109.32	109.44	93	
L _{Ma}	47.13	-62.67	48.24	79.09	142	
C _{Ma}	55.66	-29.14	-31.99	43.27	228	
V _{Ma}	17.15	50.3	-59.04	77.57	310	
M _{Ma}	40.37	78.64	-33.5	85.48	337	
N _{Ma}	11.58	0.0	0.0	0.0	0	
W _{Ma}	95.02	0.0	0.0	0.0	0	
R _{Ma}	39.92	58.74	27.99	65.07	25	
J _{Ma}	81.26	-2.89	71.56	71.62	92	
G _{Ma}	52.23	-42.42	13.6	44.55	162	
B _{Ma}	30.57	1.41	-46.47	46.49	272	

Daten für Maximalfarbe (Ma):

$LAB^*LAB^*_{Ma}$: 67 21 83

$LAB^*LCH^*_{Ma}$: 67 86 75

$lab^*rgb^*_{Ma}$: 1.0 0.75 0.0

$lab^*olv^*_{Ma}$: 1.0 0.7 0.0

Dreiecks-Helligkeit i^*

%Umfang

$u^*_{rel} = 109$

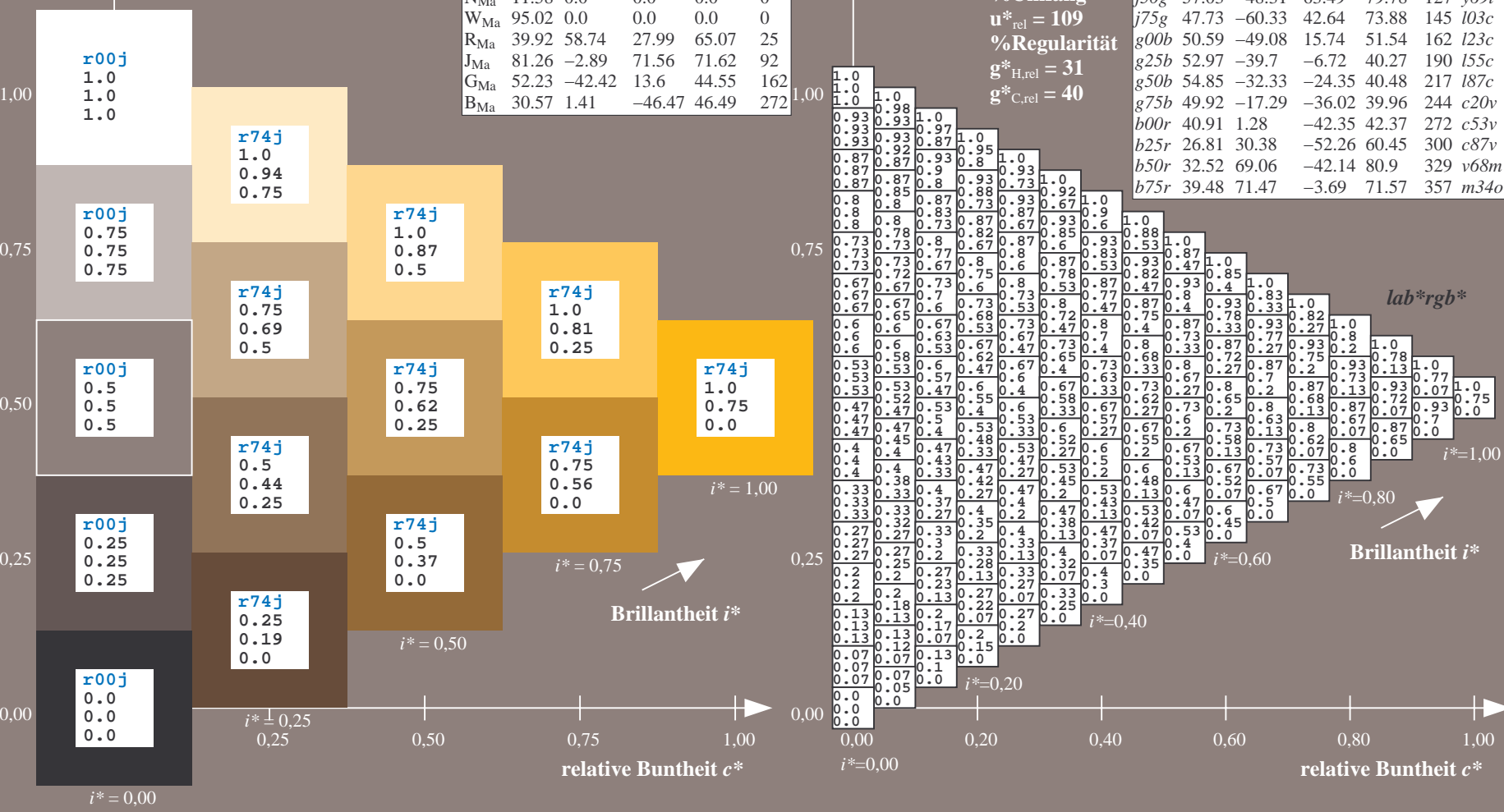
%Regularität

$g^*_{H,rel} = 31$

$g^*_{C,rel} = 40$

FRS12_95a; adaptierte CIELAB-Daten

	u^*_e	$L^*=L^*_a$	a^*_a	b^*_a	$C^*_{ab,a}$	$h^*_{ab,a}$	u^*_d
r00j	38.47	63.32	30.17	70.15	25	m81o	
r20j	42.12	54.56	49.45	73.64	42	o10y	
r50j	53.64	39.15	64.89	75.79	59	o40y	
r75j	67.01	21.26	82.83	85.52	76	o69y	
j00g	86.18	-4.38	108.53	108.62	92	o98y	
j25g	69.73	-29.89	83.06	88.28	110	y34l	
j50g	57.03	-48.31	63.49	79.78	127	y69l	
j75g	47.73	-60.33	42.64	73.88	145	l03c	
g00b	50.59	-49.08	15.74	51.54	162	l23c	
g25b	52.97	-39.7	-6.72	40.27	190	l55c	
g50b	54.85	-32.33	-24.35	40.48	217	l87c	
g75b	49.92	-17.29	-36.02	39.96	244	c20v	
b00r	40.91	1.28	-42.35	42.37	272	c53v	
b25r	26.81	30.38	-52.26	60.45	300	c87v	
b50r	32.52	69.06	-42.14	80.9	329	v68m	
b75r	39.48	71.47	-3.69	71.57	357	m34o	



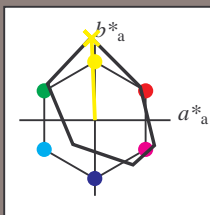
Ein und Ausgabe: Farbmetrisches Drucker-Reflektiv-System FRS12_95a, L*=12_95 für relativen CIELAB-Buntton $h^* = lab^*h^* = h_{ab}^*/360 = 0.256$ $u^*_e = j00g$
 lab^*rgb^*

Daten für jede Farbe:
 lab^*tch^* und lab^*icu^*

Bunttontexte:
 $u^*_e = j00g$ $u^*_d = o98y$

Kontrastreduzierungsfaktor:
 $c_R = 1.0$

Dreiecks-Helligkeit i^*



FRS12_95a; adaptierte CIELAB-Daten						
	u^*_e	$L^*=L^*_a$	a^*_a	b^*_a	$C^*_{ab,a}$	$h^*_{ab,a}$
O _{Ma}	38.06	60.0	44.0	74.4	36	
Y _{Ma}	86.77	-5.17	109.32	109.44	93	
L _{Ma}	47.13	-62.67	48.24	79.09	142	
C _{Ma}	55.66	-29.14	-31.99	43.27	228	
V _{Ma}	17.15	50.3	-59.04	77.57	310	
M _{Ma}	40.37	78.64	-33.5	85.48	337	
N _{Ma}	11.58	0.0	0.0	0.0	0	
W _{Ma}	95.02	0.0	0.0	0.0	0	
R _{Ma}	39.92	58.74	27.99	65.07	25	
J _{Ma}	81.26	-2.89	71.56	71.62	92	
G _{Ma}	52.23	-42.42	13.6	44.55	162	
B _{Ma}	30.57	1.41	-46.47	46.49	272	

Daten für Maximalfarbe (Ma):

$LAB^*LAB^*_{Ma}$: 86 -4 109

$LAB^*LCH^*_{Ma}$: 86 109 92

$lab^*rgb^*_{Ma}$: 1.0 1.0 0.0

$lab^*olv^*_{Ma}$: 1.0 0.99 0.0

Dreiecks-Helligkeit i^*

%Umfang

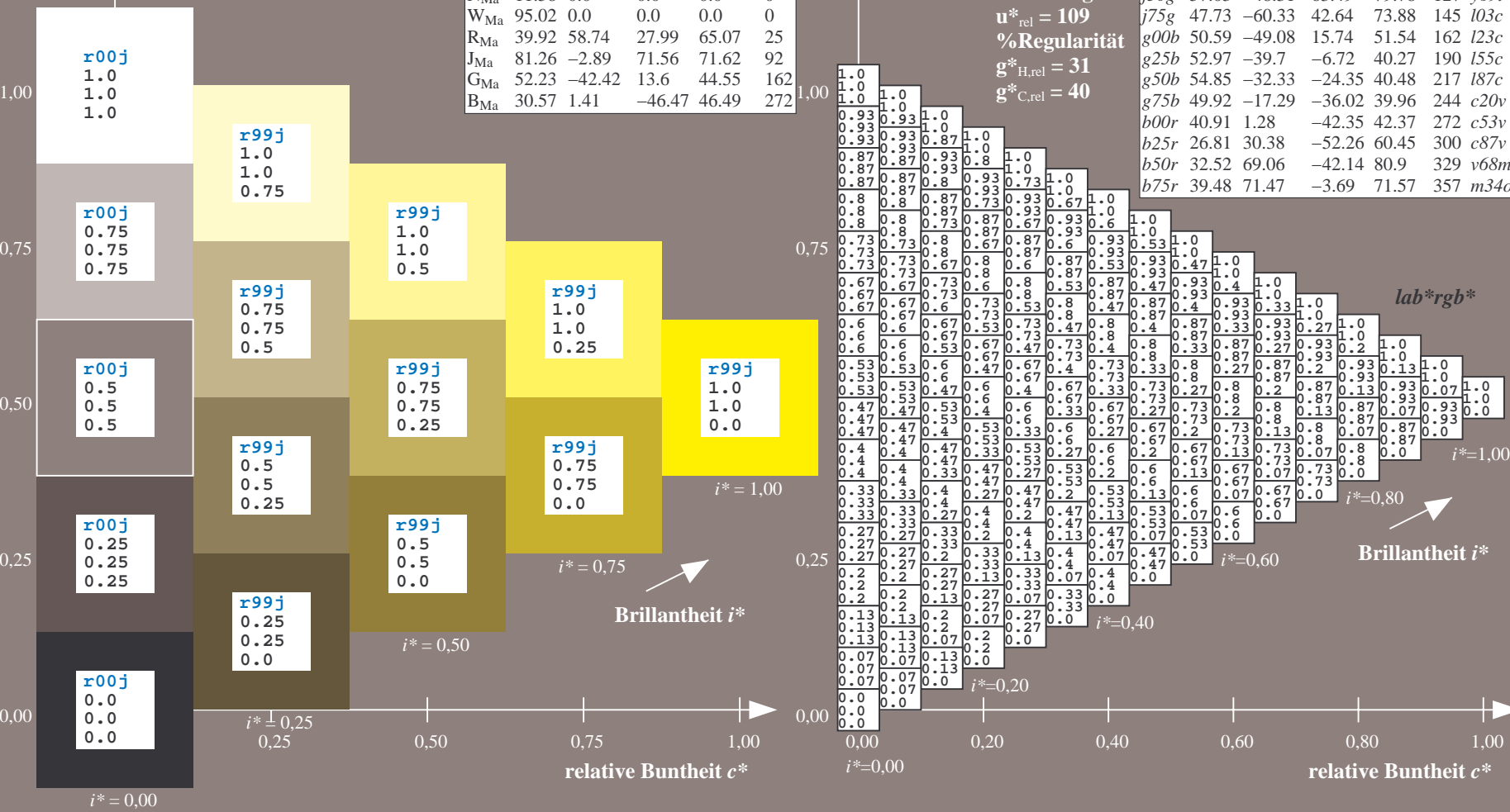
$u^*_{rel} = 109$

%Regularität

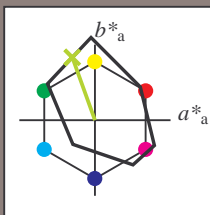
$g^*_{H,rel} = 31$

$g^*_{C,rel} = 40$

FRS12_95a; adaptierte CIELAB-Daten								
	u^*_e	$L^*=L^*_a$	a^*_a	b^*_a	$C^*_{ab,a}$	$h^*_{ab,a}$	u^*_d	
r00j	38.47	63.32	30.17	70.15	25	m81o		
r25j	42.12	54.56	49.45	73.64	42	o10y		
r50j	53.64	39.15	64.89	75.79	59	o40y		
r75j	67.01	21.26	82.83	85.52	76	o69y		
j00g	86.18	-4.38	108.53	108.62	92	o98y		
j25g	69.73	-29.89	83.06	88.28	110	y34l		
j50g	57.03	-48.31	63.49	79.78	127	y69l		
j75g	47.73	-60.33	42.64	73.88	145	l03c		
g00b	50.59	-49.08	15.74	51.54	162	l23c		
g25b	52.97	-39.7	-6.72	40.27	190	l55c		
g50b	54.85	-32.33	-24.35	40.48	217	l87c		
g75b	49.92	-17.29	-36.02	39.96	244	c20v		
b00r	40.91	1.28	-42.35	42.37	272	c53v		
b25r	26.81	30.38	-52.26	60.45	300	c87v		
b50r	32.52	69.06	-42.14	80.9	329	v68m		
b75r	39.48	71.47	-3.69	71.57	357	m34o		



Ein und Ausgabe: Farbmetrisches Drucker-Reflektiv-System FRS12_95a, L*=12_95 für relative CIELAB-Bunton $h^* = lab^*h^* = h_{ab}^*/360 = 0.305$ $u^*_e = j25g$
 Daten für jede Farbe: lab^*tch^* und lab^*icu^*
Buntonkontexte: $u^*_e = j25g$ $u^*_d = y34l$
Kontrastreduzierungsfaktor: $c_R = 1.0$
Dreiecks-Helligkeit t^*



FRS12_95a; adaptierte CIELAB-Daten

	u^*_e	$L^*=L^*_a$	a^*_a	b^*_a	$C^*_{ab,a}$	$h^*_{ab,a}$
O _{Ma}	38.06	60.0	44.0	74.4	36	
Y _{Ma}	86.77	-5.17	109.32	109.44	93	
L _{Ma}	47.13	-62.67	48.24	79.09	142	
C _{Ma}	55.66	-29.14	-31.99	43.27	228	
V _{Ma}	17.15	50.3	-59.04	77.57	310	
M _{Ma}	40.37	78.64	-33.5	85.48	337	
N _{Ma}	11.58	0.0	0.0	0.0	0	
W _{Ma}	95.02	0.0	0.0	0.0	0	
R _{Ma}	39.92	58.74	27.99	65.07	25	
J _{Ma}	81.26	-2.89	71.56	71.62	92	
G _{Ma}	52.23	-42.42	13.6	44.55	162	
B _{Ma}	30.57	1.41	-46.47	46.49	272	

Daten für Maximalfarbe (Ma):

$LAB^*LAB^*_{Ma}$: 70 -30 83

$LAB^*LCH^*_{Ma}$: 70 88 109

$lab^*rgb^*_{Ma}$: 0.75 1.0 0.0

$lab^*olv^*_{Ma}$: 0.66 1.0 0.0

Dreiecks-Helligkeit t^*

%Umfang

$u^*_{rel} = 109$

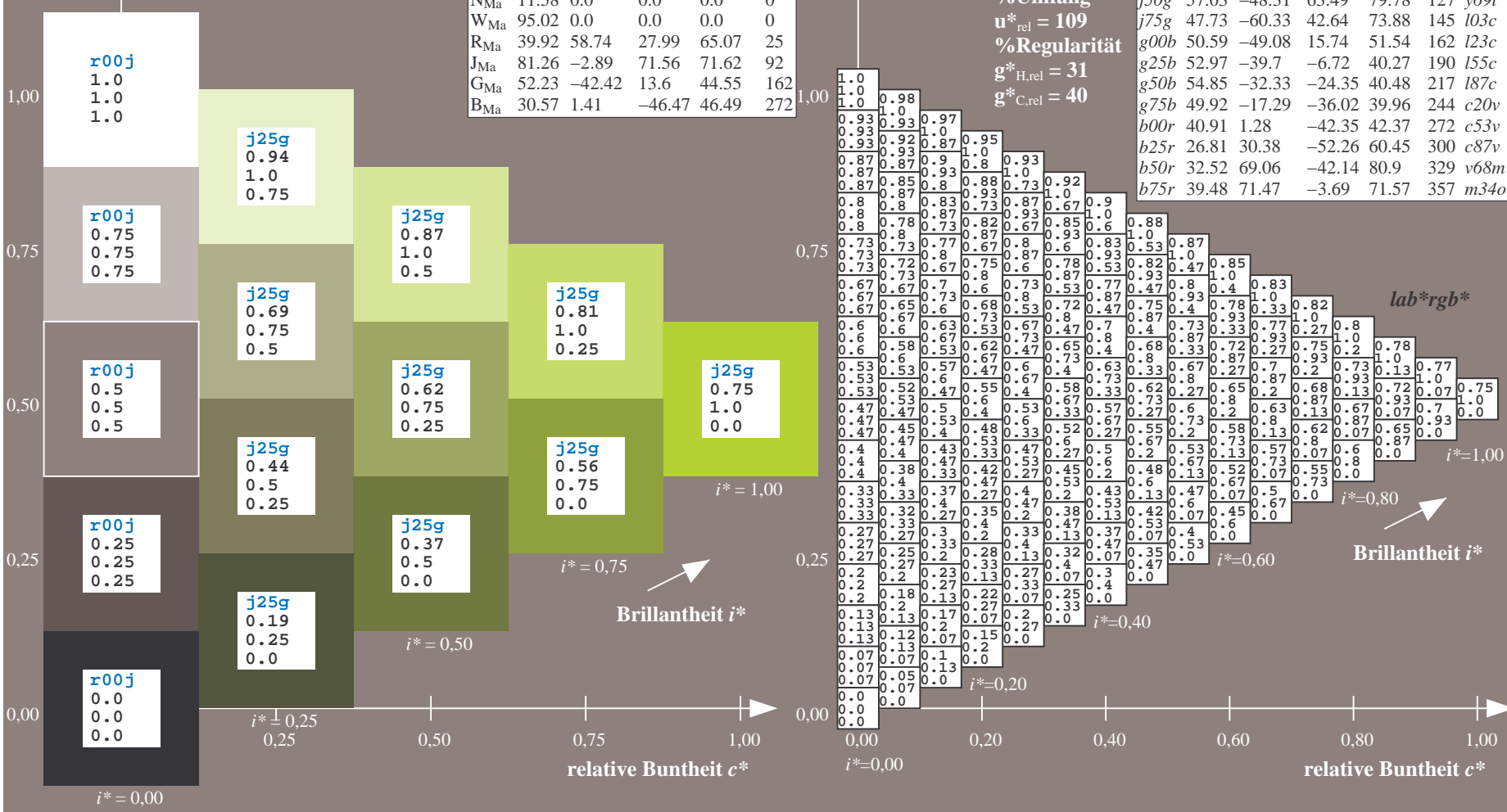
%Regularität

$g^*_{H,rel} = 31$

$g^*_{C,rel} = 40$

FRS12_95a; adaptierte CIELAB-Daten

	u^*_e	$L^*=L^*_a$	a^*_a	b^*_a	$C^*_{ab,a}$	$h^*_{ab,a}$	u^*_d
r00j	38.47	63.32	30.17	70.15	25	m81o	
r25j	42.12	54.56	49.45	73.64	42	o10y	
r50j	53.64	39.15	64.89	75.79	59	o40y	
r75j	67.01	21.26	82.83	85.52	76	o69y	
j00g	86.18	-4.38	108.53	108.62	92	o98y	
j25g	69.73	-29.89	83.06	88.28	110	y34l	
j50g	57.03	-48.31	63.49	79.78	127	y69l	
j75g	47.73	-60.33	42.64	73.88	145	l03c	
g00b	50.59	-49.08	15.74	51.54	162	l23c	
g25b	52.97	-39.7	-6.72	40.27	190	l55c	
g50b	54.85	-32.33	-24.35	40.48	217	l87c	
g75b	49.92	-17.29	-36.02	39.96	244	c20v	
b00r	40.91	1.28	-42.35	42.37	272	c53v	
b25r	26.81	30.38	-52.26	60.45	300	c87v	
b50r	32.52	69.06	-42.14	80.9	329	v68m	
b75r	39.48	71.47	-3.69	71.57	357	m34o	



Siehe ähnliche Dateien: <http://www.ps.bam.de/Fg64/>; www.ps.bam.de/Fg64/Version 2.1, io=1,1, ColSpX=0
 Technische Information: <http://www.ps.bam.de>

BAM-Registrierung: 20081001-Fg64/10L/L64g00NP.PDF/.PS BAM-Material: Code=rhatha
 Anwendung für Beurteilung und Messung von Drucker- oder Monitorssystemen

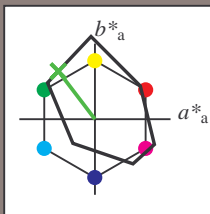
Ein und Ausgabe: Farbmetrisches Drucker-Reflektiv-System FRS12_95a, L*=12_95 für relative CIELAB-Bunton $h^* = lab^*h^* = h_{ab}/360 = 0.354$ $u^*_e = j50g$
 lab^*rgb^*

Daten für jede Farbe:
 lab^*tch^* und lab^*icu^*

Buntontexte:
 $u^*_e = j50g$ $u^*_d = y69l$

Kontrastreduzierungsfaktor:
 $c_R = 1.0$

Dreiecks-Helligkeit i^*



FRS12_95a; adaptierte CIELAB-Daten

	u^*_e	$L^*=L^*_a$	a^*_a	b^*_a	$C^*_{ab,a}$	$h^*_{ab,a}$
O _{Ma}	38.06	60.0	44.0	74.4	36	
Y _{Ma}	86.77	-5.17	109.32	109.44	93	
L _{Ma}	47.13	-62.67	48.24	79.09	142	
C _{Ma}	55.66	-29.14	-31.99	43.27	228	
V _{Ma}	17.15	50.3	-59.04	77.57	310	
M _{Ma}	40.37	78.64	-33.5	85.48	337	
N _{Ma}	11.58	0.0	0.0	0.0	0	
W _{Ma}	95.02	0.0	0.0	0.0	0	
R _{Ma}	39.92	58.74	27.99	65.07	25	
J _{Ma}	81.26	-2.89	71.56	71.62	92	
G _{Ma}	52.23	-42.42	13.6	44.55	162	
B _{Ma}	30.57	1.41	-46.47	46.49	272	

Daten für Maximalfarbe (Ma):

$LAB^*LAB^*_{Ma}$: 57 -48 63

$LAB^*LCH^*_{Ma}$: 57 80 127

$lab^*rgb^*_{Ma}$: 0.5 1.0 0.0

$lab^*olv^*_{Ma}$: 0.3 1.0 0.0

Dreiecks-Helligkeit i^*

%Umfang

$u^*_{rel} = 109$

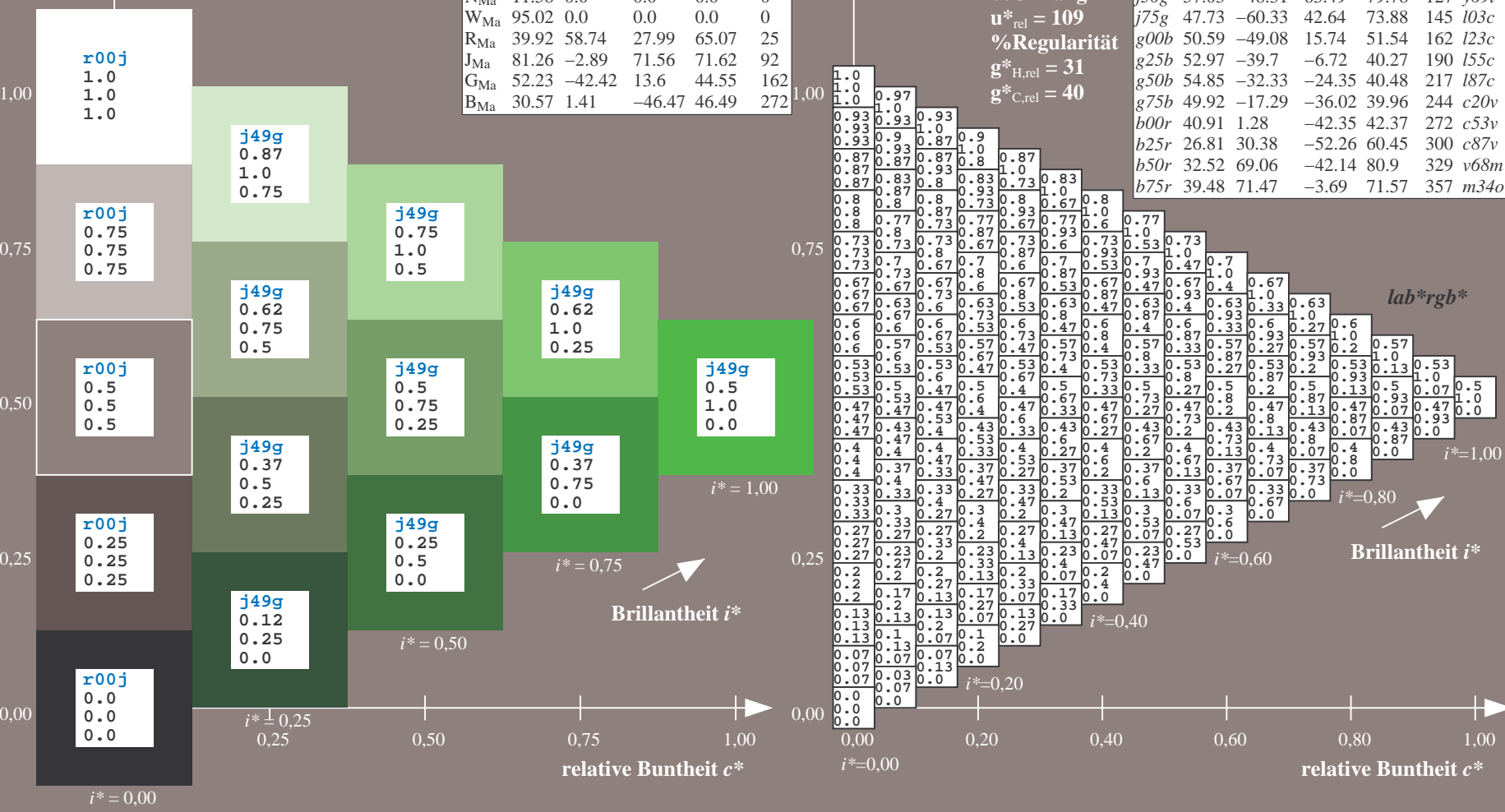
%Regularität

$g^*_{H,rel} = 31$

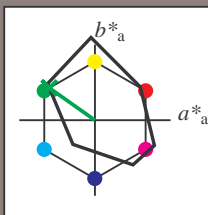
$g^*_{C,rel} = 40$

FRS12_95a; adaptierte CIELAB-Daten

	u^*_e	$L^*=L^*_a$	a^*_a	b^*_a	$C^*_{ab,a}$	$h^*_{ab,a}$	u^*_d
r00j	38.47	63.32	30.17	70.15	25	m81o	
r25j	42.12	54.56	49.45	73.64	42	o10y	
r50j	53.64	39.15	64.89	75.79	59	o40y	
r75j	67.01	21.26	82.83	85.52	76	o69y	
j00g	86.18	-4.38	108.53	108.62	92	o98y	
j25g	69.73	-29.89	83.06	88.28	110	y34l	
j50g	57.03	-48.31	63.49	79.78	127	y69l	
j75g	47.73	-60.33	42.64	73.88	145	l03c	
g00b	50.59	-49.08	15.74	51.54	162	l23c	
g25b	52.97	-39.7	-6.72	40.27	190	l55c	
g50b	54.85	-32.33	-24.35	40.48	217	l87c	
g75b	49.92	-17.29	-36.02	39.96	244	c20c	
b00r	40.91	1.28	-42.35	42.37	272	c53v	
b25r	26.81	30.38	-52.26	60.45	300	c87v	
b50r	32.52	69.06	-42.14	80.9	329	v68m	
b75r	39.48	71.47	-3.69	71.57	357	m34o	



Ein und Ausgabe: Farbmetrisches Drucker-Reflektiv-System FRS12_95a, L*=12_95 für relative CIELAB-Buntton $h^* = lab^*h^* = h_{ab}/360 = 0.402$ $u^*_e = j75g$
 Daten für jede Farbe: lab^*tch^* und lab^*icu^*
 Bunttontexte: $u^*_e = j75g$ $u^*_d = i03c$
 Kontrastreduzierungsfaktor: $c_R = 1.0$
 Dreiecks-Helligkeit t^*



FRS12_95a; adaptierte CIELAB-Daten

	u^*_e	$L^*=L^*_a$	a^*_a	b^*_a	$C^*_{ab,a}$	$h^*_{ab,a}$
O _{Ma}	38.06	60.0	44.0	74.4	36	
Y _{Ma}	86.77	-5.17	109.32	109.44	93	
L _{Ma}	47.13	-62.67	48.24	79.09	142	
C _{Ma}	55.66	-29.14	-31.99	43.27	228	
V _{Ma}	17.15	50.3	-59.04	77.57	310	
M _{Ma}	40.37	78.64	-33.5	85.48	337	
N _{Ma}	11.58	0.0	0.0	0.0	0	
W _{Ma}	95.02	0.0	0.0	0.0	0	
R _{Ma}	39.92	58.74	27.99	65.07	25	
J _{Ma}	81.26	-2.89	71.56	71.62	92	
G _{Ma}	52.23	-42.42	13.6	44.55	162	
B _{Ma}	30.57	1.41	-46.47	46.49	272	

Daten für Maximalfarbe (Ma):

$LAB^*LAB^*_{Ma}$: 48 -60 43

$LAB^*LCH^*_{Ma}$: 48 74 144

$lab^*rgb^*_{Ma}$: 0.25 1.0 0.0

$lab^*olv^*_{Ma}$: 0.0 1.0 0.03

Dreiecks-Helligkeit t^*

%Umfang

$u^*_{rel} = 109$

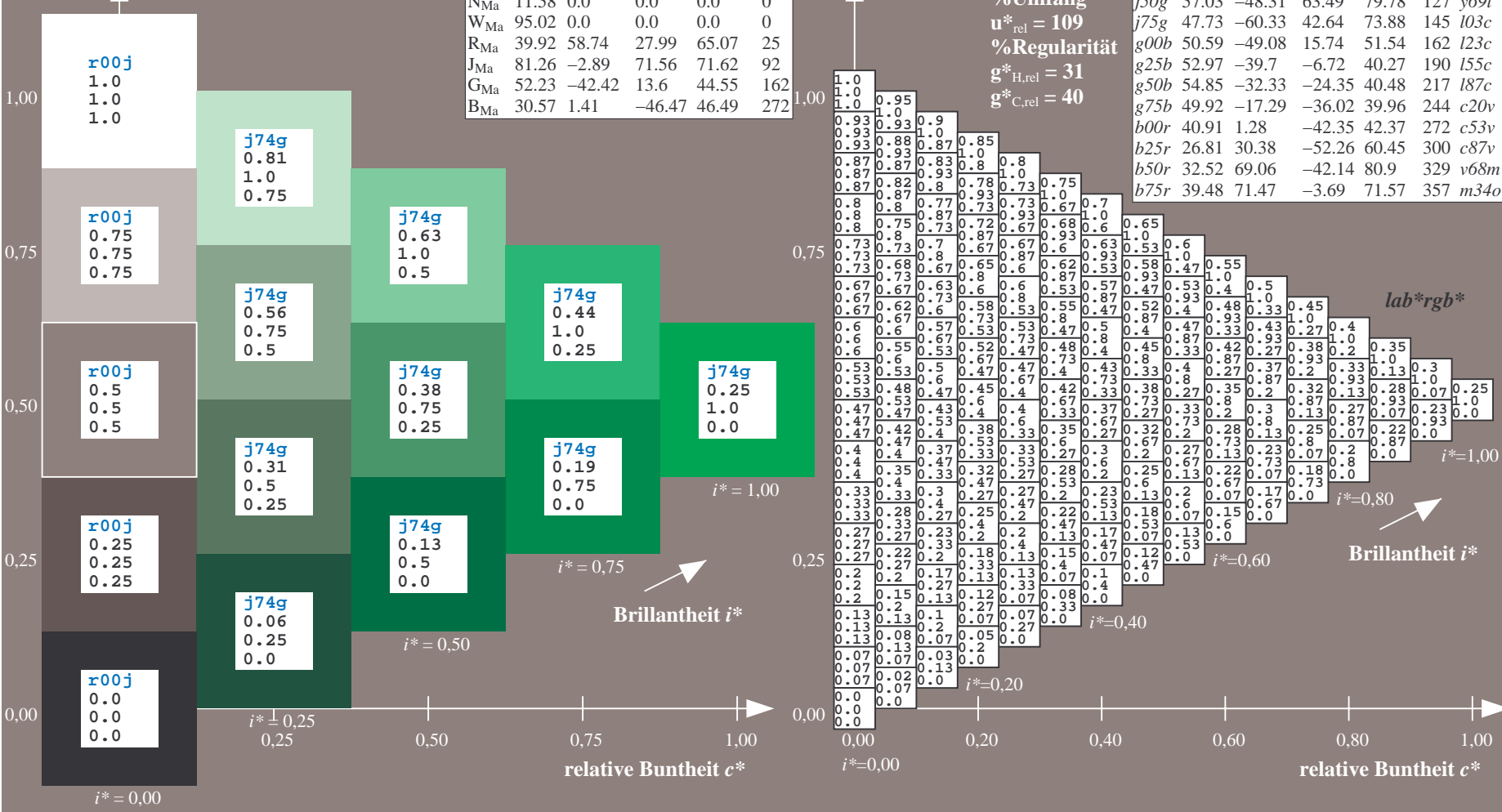
%Regularität

$g^*_{H,rel} = 31$

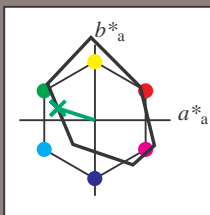
$g^*_{C,rel} = 40$

FRS12_95a; adaptierte CIELAB-Daten

	u^*_e	$L^*=L^*_a$	a^*_a	b^*_a	$C^*_{ab,a}$	$h^*_{ab,a}$	u^*_d
r00j	38.47	63.32	30.17	70.15	25	m81o	
r00j	42.12	54.56	49.45	73.64	42	o10y	
r25j	53.64	39.15	64.89	75.79	59	o40y	
r75j	67.01	21.26	82.83	85.52	76	o69y	
j00g	86.18	-4.38	108.53	108.62	92	o98y	
j25g	69.73	-29.89	83.06	88.28	110	y34l	
j50g	57.03	-48.31	63.49	79.78	127	y69l	
j75g	47.73	-60.33	42.64	73.88	145	i03c	
g00b	50.59	-49.08	15.74	51.54	162	i23c	
g25b	52.97	-39.7	-6.72	40.27	190	i55c	
g50b	54.85	-32.33	-24.35	40.48	217	i87c	
g75b	49.92	-17.29	-36.02	39.96	244	c20v	
b00r	40.91	1.28	-42.35	42.37	272	c53v	
b25r	26.81	30.38	-52.26	60.45	300	c87v	
b50r	32.52	69.06	-42.14	80.9	329	v68m	
b75r	39.48	71.47	-3.69	71.57	357	m34o	



Ein und Ausgabe: Farbmetrisches Drucker-Reflektiv-System FRS12_95a, L*=12_95 für relativen CIELAB-Buntton $h^* = lab^*h^* = h_{ab}/360 = 0.451$ $u^*_e = g00b$
 Daten für jede Farbe: lab^*tch^* und lab^*icu^*
 Bunttontexte: $u^*_e = g00b$ $u^*_d = l23c$
 Kontrastreduzierungsfaktor: $c_R = 1.0$
 Dreiecks-Helligkeit t^*



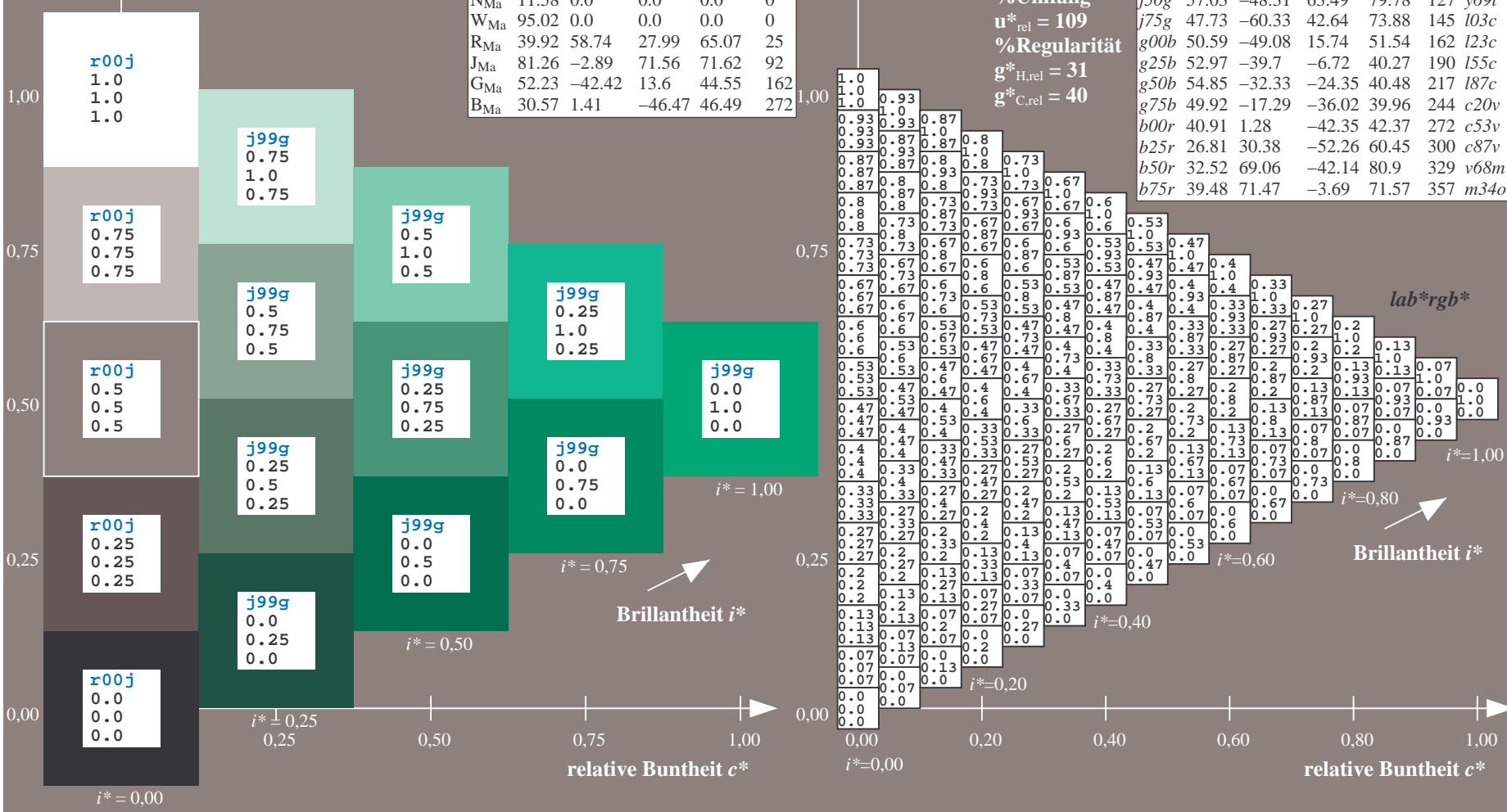
FRS12_95a; adaptierte CIELAB-Daten						
	u^*_e	$L^*=L^*_a$	a^*_a	b^*_a	$C^*_{ab,a}$	$h^*_{ab,a}$
O _{Ma}	38.06	60.0	44.0	74.4	36	
Y _{Ma}	86.77	-5.17	109.32	109.44	93	
L _{Ma}	47.13	-62.67	48.24	79.09	142	
C _{Ma}	55.66	-29.14	-31.99	43.27	228	
V _{Ma}	17.15	50.3	-59.04	77.57	310	
M _{Ma}	40.37	78.64	-33.5	85.48	337	
N _{Ma}	11.58	0.0	0.0	0.0	0	
W _{Ma}	95.02	0.0	0.0	0.0	0	
R _{Ma}	39.92	58.74	27.99	65.07	25	
J _{Ma}	81.26	-2.89	71.56	71.62	92	
G _{Ma}	52.23	-42.42	13.6	44.55	162	
B _{Ma}	30.57	1.41	-46.47	46.49	272	

Daten für Maximalfarbe (Ma):

$LAB^*LAB^*_{Ma}$: 51 -49 16
 $LAB^*LCH^*_{Ma}$: 51 52 162
 $lab^*rgb^*_{Ma}$: 0.0 1.0 0.0
 $lab^*olv^*_{Ma}$: 0.0 1.0 0.23

FRS12_95a; adaptierte CIELAB-Daten									
	u^*_e	$L^*=L^*_a$	a^*_a	b^*_a	$C^*_{ab,a}$	$h^*_{ab,a}$	u^*_d		
r00j	38.47	63.32	30.17	70.15	25	m81o			
r25j	42.12	54.56	49.45	73.64	42	o10y			
r50j	53.64	39.15	64.89	75.79	59	o40y			
r75j	67.01	21.26	82.83	85.52	76	o69y			
j00g	86.18	-4.38	108.53	108.62	92	o98y			
j25g	69.73	-29.89	83.06	88.28	110	y34l			
j50g	57.03	-48.31	63.49	79.78	127	y69l			
j75g	47.73	-60.33	42.64	73.88	145	l03c			
g00b	50.59	-49.08	15.74	51.54	162	l23c			
g25b	52.97	-39.7	-6.72	40.27	190	l55c			
g50b	54.85	-32.33	-24.35	40.48	217	l87c			
g75b	49.92	-17.29	-36.02	39.96	244	c20c			
b00r	40.91	1.28	-42.35	42.37	272	c53v			
b25r	26.81	30.38	-52.26	60.45	300	c87v			
b50r	32.52	69.06	-42.14	80.9	329	v68m			
b75r	39.48	71.47	-3.69	71.57	357	m34o			

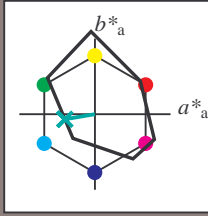
Dreiecks-Helligkeit t^*
 %Umfang $u^*_{rel} = 109$
 %Regularität $g^*_{H,rel} = 31$
 $g^*_{C,rel} = 40$



Siehe ähnliche Dateien: <http://www.ps.bam.de/Fg64/>; www.ps.bam.de/Fg.HTM
 Technische Information: <http://www.ps.bam.de/Version.2.1,io=1,1,Colspx=0>

BAM-Registrierung: 20081001-Fg64/10L/L64g00NP.PDF/.PS BAM-Material: Code=rh4ta
 Anwendung für Beurteilung und Messung von Drucker- oder Monitorssystemen

Ein und Ausgabe: Farbmetrisches Drucker-Reflektiv-System FRS12_95a, L*=12_95 für relativen CIELAB-Buntton $h^* = lab^*h^* = h_{ab}/360 = 0.527$ $u^*_e = g25b$
 Daten für jede Farbe: lab^*tch^* und lab^*icu^*
 Bunttontexte: $u^*_e = g25b$ $u^*_d = l55c$
 Kontrastreduzierungsfaktor: $c_R = 1.0$
 Dreiecks-Helligkeit t^*



FRS12_95a; adaptierte CIELAB-Daten

	u^*_e	$L^*=L^*_a$	a^*_a	b^*_a	$C^*_{ab,a}$	$h^*_{ab,a}$
O _{Ma}	38.06	60.0	44.0	74.4	36	
Y _{Ma}	86.77	-5.17	109.32	109.44	93	
L _{Ma}	47.13	-62.67	48.24	79.09	142	
C _{Ma}	55.66	-29.14	-31.99	43.27	228	
V _{Ma}	17.15	50.3	-59.04	77.57	310	
M _{Ma}	40.37	78.64	-33.5	85.48	337	
N _{Ma}	11.58	0.0	0.0	0.0	0	
W _{Ma}	95.02	0.0	0.0	0.0	0	
R _{Ma}	39.92	58.74	27.99	65.07	25	
J _{Ma}	81.26	-2.89	71.56	71.62	92	
G _{Ma}	52.23	-42.42	13.6	44.55	162	
B _{Ma}	30.57	1.41	-46.47	46.49	272	

Daten für Maximalfarbe (Ma):

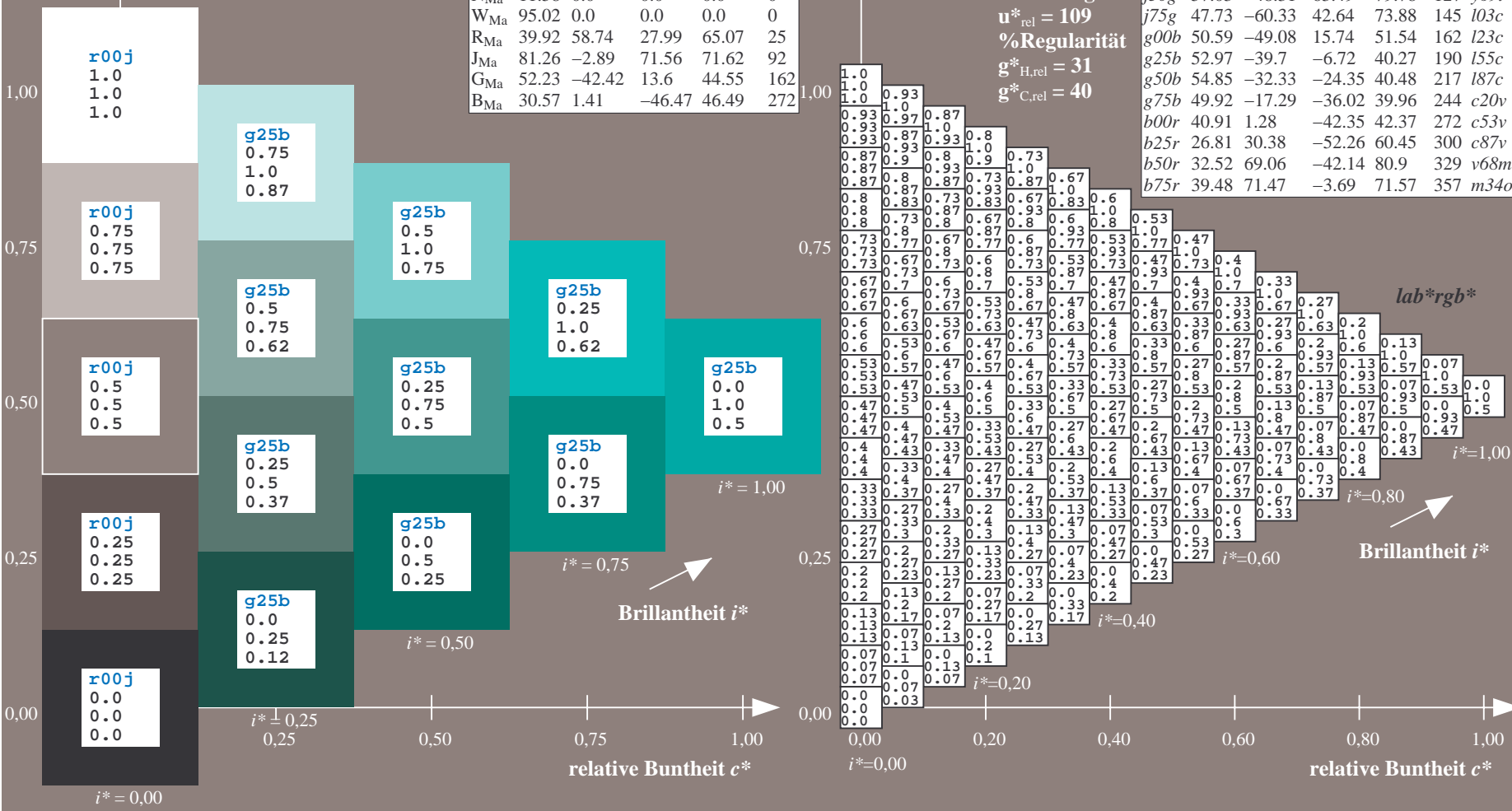
$LAB^*LAB^*_{Ma}$: 53 -40 -7
 $LAB^*LCH^*_{Ma}$: 53 40 189
 $lab^*rgb^*_{Ma}$: 0.0 1.0 0.5
 $lab^*olv^*_{Ma}$: 0.0 1.0 0.55

FRS12_95a; adaptierte CIELAB-Daten

	u^*_e	$L^*=L^*_a$	a^*_a	b^*_a	$C^*_{ab,a}$	$h^*_{ab,a}$	u^*_d
r00j	38.47	63.32	30.17	70.15	25	m81o	
r25j	42.12	54.56	49.45	73.64	42	o10y	
r50j	53.64	39.15	64.89	75.79	59	o40y	
r75j	67.01	21.26	82.83	85.52	76	o69y	
j00g	86.18	-4.38	108.53	108.62	92	o98y	
j25g	69.73	-29.89	83.06	88.28	110	y34l	
j50g	57.03	-48.31	63.49	79.78	127	y69l	
j75g	47.73	-60.33	42.64	73.88	145	l03c	
g00b	50.59	-49.08	15.74	51.54	162	l23c	
g25b	52.97	-39.7	-6.72	40.27	190	l55c	
g50b	54.85	-32.33	-24.35	40.48	217	l87c	
g75b	49.92	-17.29	-36.02	39.96	244	c20c	
b00r	40.91	1.28	-42.35	42.37	272	c53v	
b25r	26.81	30.38	-52.26	60.45	300	c87v	
b50r	32.52	69.06	-42.14	80.9	329	v68m	
b75r	39.48	71.47	-3.69	71.57	357	m34o	

Dreiecks-Helligkeit t^*

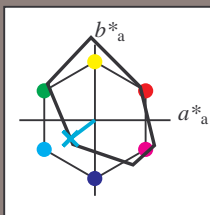
%Umfang
 $u^*_{rel} = 109$
 %Regularität
 $g^*_{H,rel} = 31$
 $g^*_{C,rel} = 40$



Siehe ähnliche Dateien: <http://www.ps.bam.de/Fg64/>; www.ps.bam.de/Version.2.1,io=1,1,Colspx=0
 Technische Information: <http://www.ps.bam.de>

BAM-Registrierung: 20081001-Fg64/10L/L64g00NP.PDF/.PS BAM-Material: Code=rh4ta
 Anwendung für Beurteilung und Messung von Drucker- oder Monitorssystemen

Ein und Ausgabe: Farbmetrisches Drucker-Reflektiv-System FRS12_95a, L*=12_95 für relative CIELAB-Buntton $h^* = lab^*h^* = h_{ab}/360 = 0.603$ $u^*_e = g50b$
 Daten für jede Farbe: lab^*tch^* und lab^*icu^*
 Bunttontexte: $u^*_e = g50b$ $u^*_d = l87c$
 Kontrastreduzierungsfaktor: $c_R = 1.0$
 Dreiecks-Helligkeit i^*



FRS12_95a; adaptierte CIELAB-Daten

	u^*_e	$L^*=L^*_a$	a^*_a	b^*_a	$C^*_{ab,a}$	$h^*_{ab,a}$
O _{Ma}	38.06	60.0	44.0	74.4	36	
Y _{Ma}	86.77	-5.17	109.32	109.44	93	
L _{Ma}	47.13	-62.67	48.24	79.09	142	
C _{Ma}	55.66	-29.14	-31.99	43.27	228	
V _{Ma}	17.15	50.3	-59.04	77.57	310	
M _{Ma}	40.37	78.64	-33.5	85.48	337	
N _{Ma}	11.58	0.0	0.0	0.0	0	
W _{Ma}	95.02	0.0	0.0	0.0	0	
R _{Ma}	39.92	58.74	27.99	65.07	25	
J _{Ma}	81.26	-2.89	71.56	71.62	92	
G _{Ma}	52.23	-42.42	13.6	44.55	162	
B _{Ma}	30.57	1.41	-46.47	46.49	272	

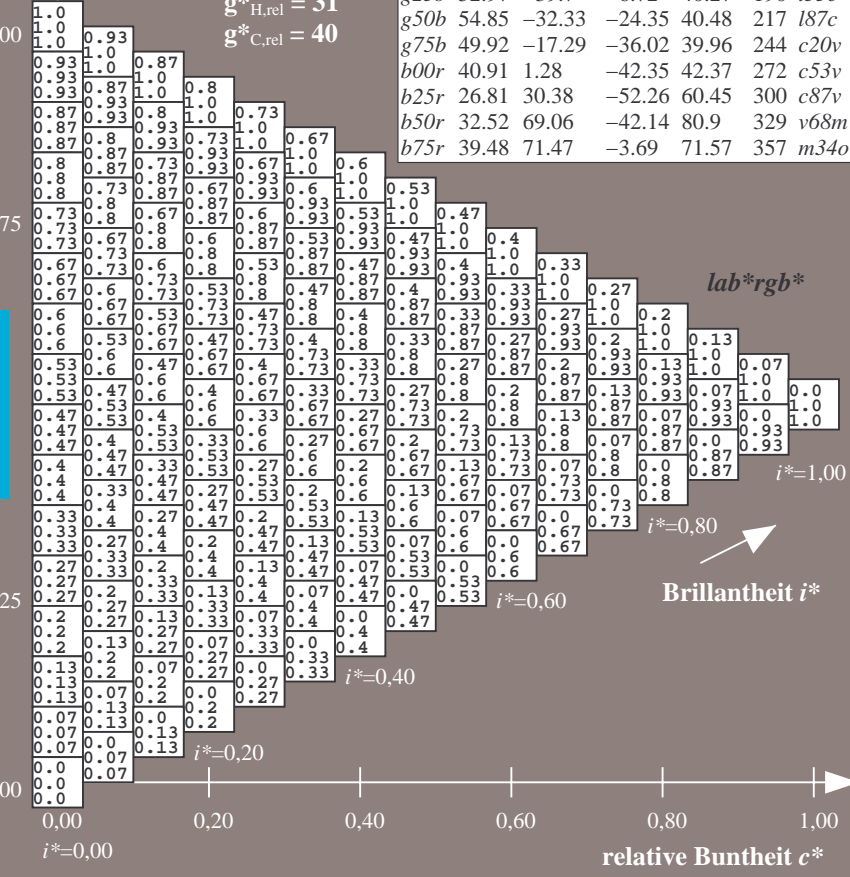
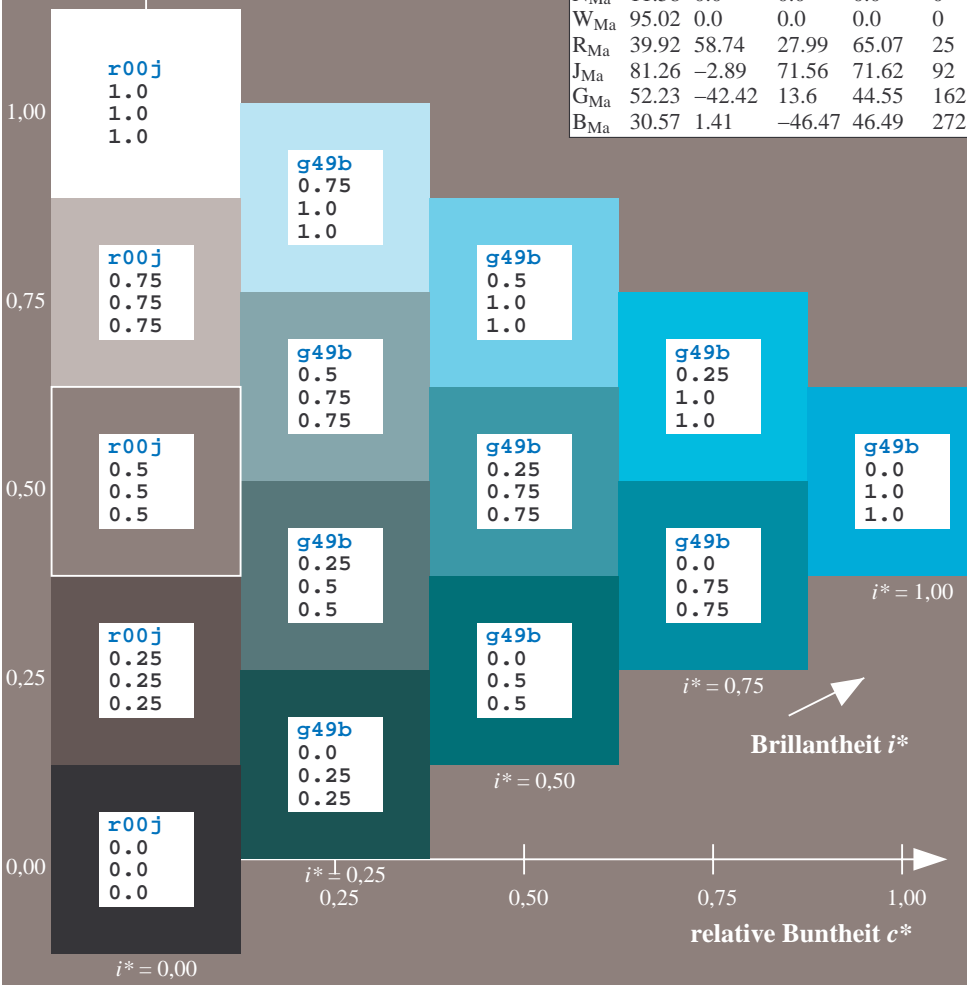
Daten für Maximalfarbe (Ma):

$LAB^*LAB^*_{Ma}: 55 -32 -24$
 $LAB^*LCH^*_{Ma}: 55 40 216$
 $lab^*rgb^*_{Ma}: 0.0 1.0 1.0$
 $lab^*olv^*_{Ma}: 0.0 1.0 0.87$

FRS12_95a; adaptierte CIELAB-Daten

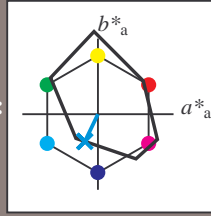
	u^*_e	$L^*=L^*_a$	a^*_a	b^*_a	$C^*_{ab,a}$	$h^*_{ab,a}$	u^*_d
r00j	38.47	63.32	30.17	70.15	25	m81o	
r25j	42.12	54.56	49.45	73.64	42	o10y	
r50j	53.64	39.15	64.89	75.79	59	o40y	
r75j	67.01	21.26	82.83	85.52	76	o69y	
j00g	86.18	-4.38	108.53	108.62	92	o98y	
j25g	69.73	-29.89	83.06	88.28	110	y34l	
j50g	57.03	-48.31	63.49	79.78	127	y69l	
j75g	47.73	-60.33	42.64	73.88	145	l03c	
g00b	50.59	-49.08	15.74	51.54	162	l23c	
g25b	52.97	-39.7	-6.72	40.27	190	l55c	
g50b	54.85	-32.33	-24.35	40.48	217	l87c	
g75b	49.92	-17.29	-36.02	39.96	244	c20v	
b00r	40.91	1.28	-42.35	42.37	272	c53v	
b25r	26.81	30.38	-52.26	60.45	300	c87v	
b50r	32.52	69.06	-42.14	80.9	329	v68m	
b75r	39.48	71.47	-3.69	71.57	357	m34o	

Dreiecks-Helligkeit i^*
 %Umfang $u^*_{rel} = 109$
 %Regularität $g^*_{H,rel} = 31$
 $g^*_{C,rel} = 40$



BAM-Registrierung: 20081001-Fg64/10L/L64g00NP.PDF/.PS BAM-Material: Code=rh4ta
 Anwendung für Beurteilung und Messung von Drucker- oder Monitorssystemen

Ein und Ausgabe: Farbmetrisches Drucker-Reflektiv-System FRS12_95a, L*=12_95 für relative CIELAB-Buntton $h^* = lab^*h^* = h_{ab}^*/360 = 0.679$ $u^*_e = g75b$
 Daten für jede Farbe: lab^*tch^* und lab^*icu^*
 Bunttontexte: $u^*_e = g75b$ $u^*_d = c20v$
 Kontrastreduzierungsfaktor: $c_R = 1.0$
 Dreiecks-Helligkeit t^*



FRS12_95a; adaptierte CIELAB-Daten

	u^*_e	$L^*=L^*_a$	a^*_a	b^*_a	$C^*_{ab,a}$	$h^*_{ab,a}$
O _{Ma}	38.06	60.0	44.0	74.4	36	
Y _{Ma}	86.77	-5.17	109.32	109.44	93	
L _{Ma}	47.13	-62.67	48.24	79.09	142	
C _{Ma}	55.66	-29.14	-31.99	43.27	228	
V _{Ma}	17.15	50.3	-59.04	77.57	310	
M _{Ma}	40.37	78.64	-33.5	85.48	337	
N _{Ma}	11.58	0.0	0.0	0.0	0	
W _{Ma}	95.02	0.0	0.0	0.0	0	
R _{Ma}	39.92	58.74	27.99	65.07	25	
J _{Ma}	81.26	-2.89	71.56	71.62	92	
G _{Ma}	52.23	-42.42	13.6	44.55	162	
B _{Ma}	30.57	1.41	-46.47	46.49	272	

Daten für Maximalfarbe (Ma):

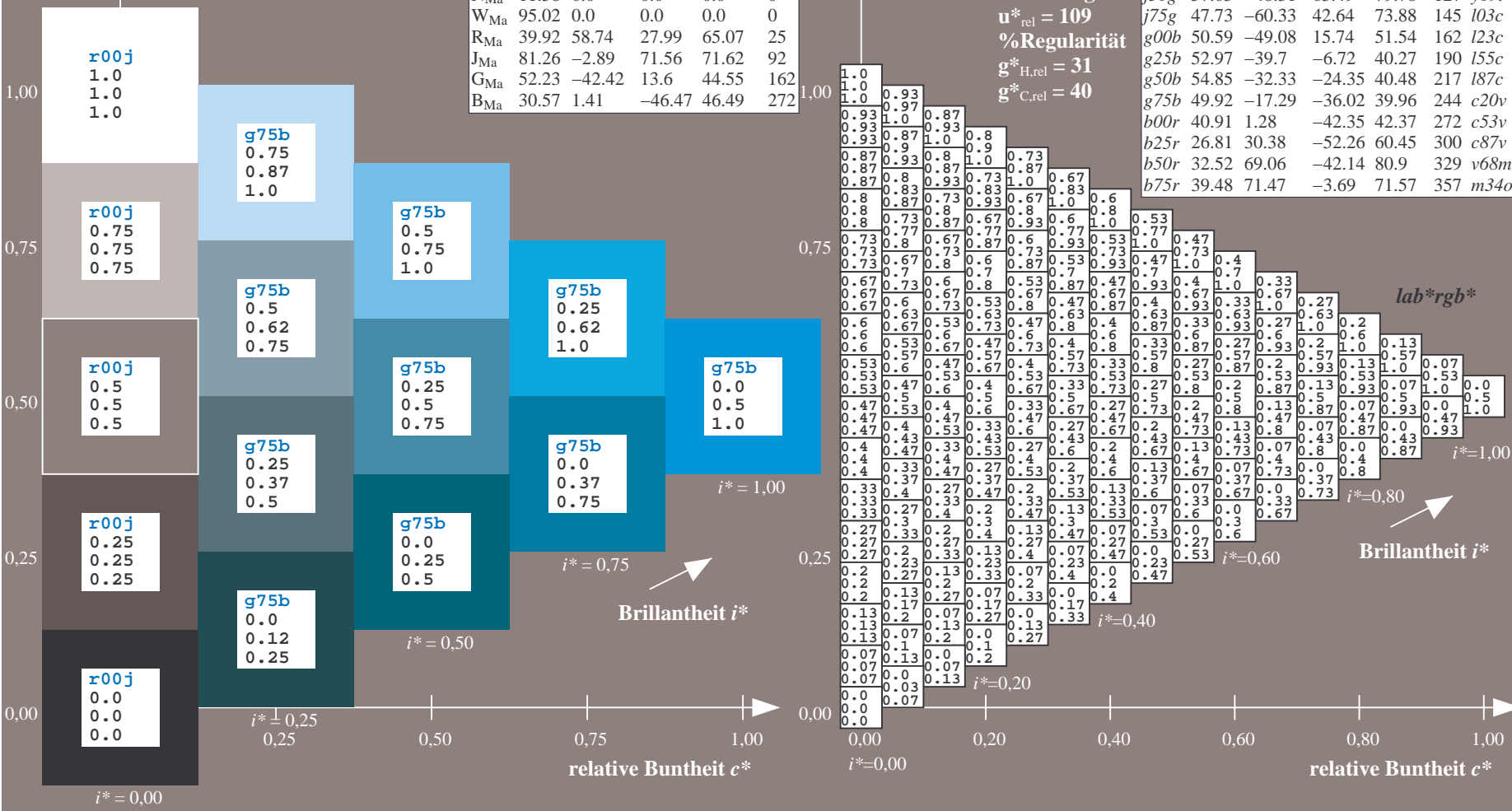
$LAB^*LAB^*_{Ma}$: 50 -17 -36
 $LAB^*LCH^*_{Ma}$: 50 40 244
 $lab^*rgb^*_{Ma}$: 0.0 0.5 1.0
 $lab^*olv^*_{Ma}$: 0.0 0.8 1.0

FRS12_95a; adaptierte CIELAB-Daten

	u^*_e	$L^*=L^*_a$	a^*_a	b^*_a	$C^*_{ab,a}$	$h^*_{ab,a}$	u^*_d
r00j	38.47	63.32	30.17	70.15	25	m81o	
r25j	42.12	54.56	49.45	73.64	42	o10y	
r50j	53.64	39.15	64.89	75.79	59	o40y	
r75j	67.01	21.26	82.83	85.52	76	o69y	
j00g	86.18	-4.38	108.53	108.62	92	o98y	
j25g	69.73	-29.89	83.06	88.28	110	y34l	
j50g	57.03	-48.31	63.49	79.78	127	y69l	
j75g	47.73	-60.33	42.64	73.88	145	l03c	
g00b	50.59	-49.08	15.74	51.54	162	l23c	
g25b	52.97	-39.7	-6.72	40.27	190	l55c	
g50b	54.85	-32.33	-24.35	40.48	217	l87c	
g75b	49.92	-17.29	-36.02	39.96	244	c20v	
b00r	40.91	1.28	-42.35	42.37	272	c53v	
b25r	26.81	30.38	-52.26	60.45	300	c87v	
b50r	32.52	69.06	-42.14	80.9	329	v68m	
b75r	39.48	71.47	-3.69	71.57	357	m34o	

Dreiecks-Helligkeit t^*

%Umfang
 $u^*_{rel} = 109$
 %Regularität
 $g^*_{H,rel} = 31$
 $g^*_{C,rel} = 40$

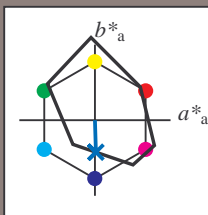


Siehe ähnliche Dateien: <http://www.ps.bam.de/Fg64/>; www.ps.bam.de/Version 2.1, io=1,1, ColSpx=0
 Technische Information: <http://www.ps.bam.de>

BAM-Registrierung: 20081001-Fg64/10L/L64g00NP.PDF/.PS BAM-Material: Code=rh4ta
 Anwendung für Beurteilung und Messung von Drucker- oder Monitorssystemen

Ein und Ausgabe: Farbmetrisches Drucker-Reflektiv-System FRS12_95a, L*=12_95 für relative CIELAB-Bunton $h^* = lab^*h^* = h_{ab}^*/360 = 0.755$ $u^*_e = b00r$
 lab^*tch^* und lab^*icu^* lab^*rgb^*

Daten für jede Farbe:
 lab^*tch^* und lab^*icu^*
 Bunttontexte:
 $u^*_e = b00r$ $u^*_d = c53v$
 Kontrastreduzierungsfaktor:
 $c_R = 1.0$
 Dreiecks-Helligkeit i^*



FRS12_95a; adaptierte CIELAB-Daten

	u^*_e	$L^*=L^*_a$	a^*_a	b^*_a	$C^*_{ab,a}$	$h^*_{ab,a}$
O _{Ma}	38.06	60.0	44.0	74.4	36	
Y _{Ma}	86.77	-5.17	109.32	109.44	93	
L _{Ma}	47.13	-62.67	48.24	79.09	142	
C _{Ma}	55.66	-29.14	-31.99	43.27	228	
V _{Ma}	17.15	50.3	-59.04	77.57	310	
M _{Ma}	40.37	78.64	-33.5	85.48	337	
N _{Ma}	11.58	0.0	0.0	0.0	0	
W _{Ma}	95.02	0.0	0.0	0.0	0	
R _{Ma}	39.92	58.74	27.99	65.07	25	
J _{Ma}	81.26	-2.89	71.56	71.62	92	
G _{Ma}	52.23	-42.42	13.6	44.55	162	
B _{Ma}	30.57	1.41	-46.47	46.49	272	

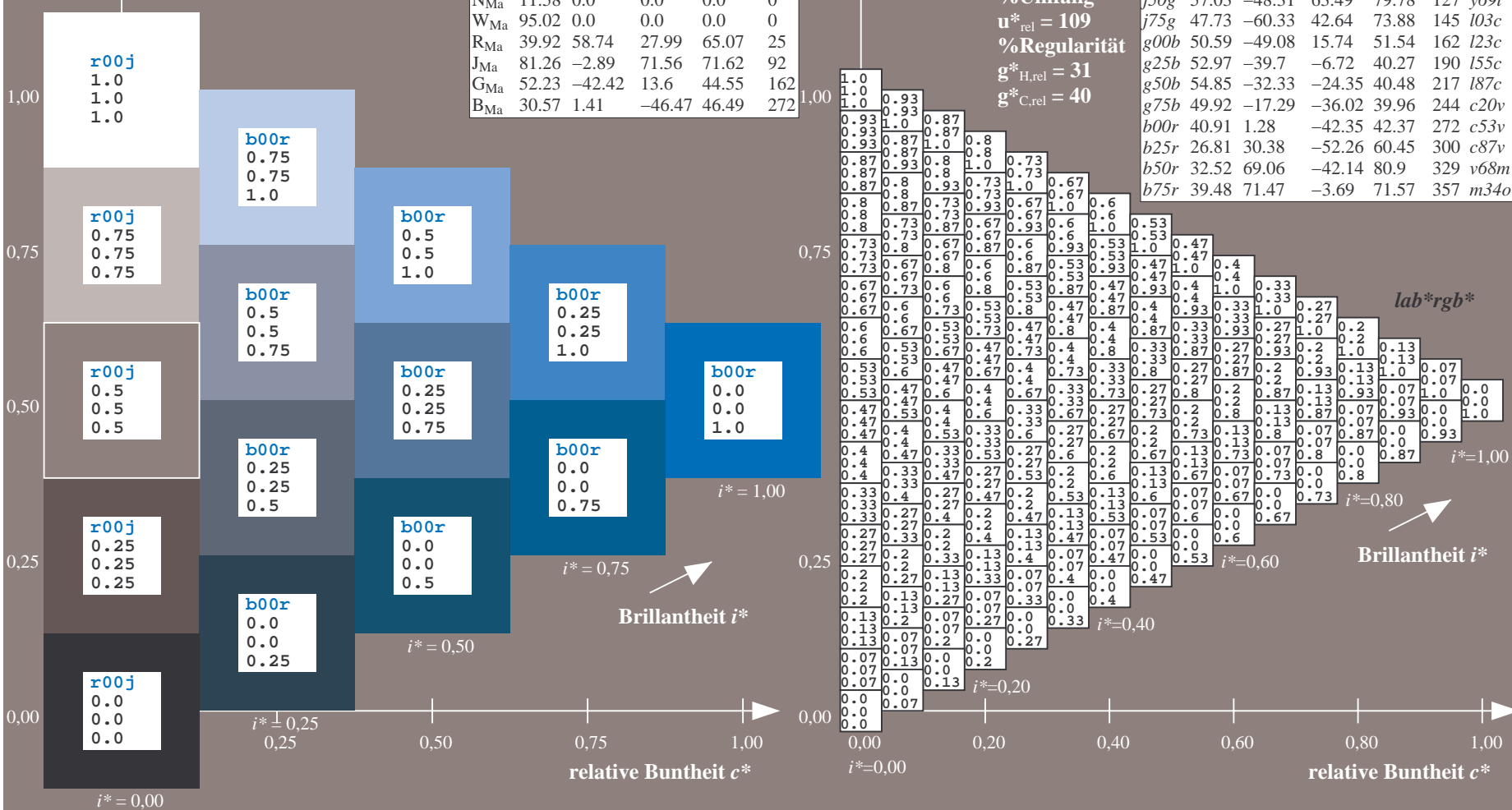
Daten für Maximalfarbe (Ma):

$LAB^*LAB^*_{Ma}$: 41 1 -42
 $LAB^*LCH^*_{Ma}$: 41 42 271
 $lab^*rgb^*_{Ma}$: 0.0 0.0 1.0
 $lab^*olv^*_{Ma}$: 0.0 0.47 1.0

FRS12_95a; adaptierte CIELAB-Daten

	u^*_e	$L^*=L^*_a$	a^*_a	b^*_a	$C^*_{ab,a}$	$h^*_{ab,a}$	u^*_d
r00j	38.47	63.32	30.17	70.15	25	m81o	
r25j	42.12	54.56	49.45	73.64	42	o10y	
r50j	53.64	39.15	64.89	75.79	59	o40y	
r75j	67.01	21.26	82.83	85.52	76	o69y	
j00g	86.18	-4.38	108.53	108.62	92	o98y	
j25g	69.73	-29.89	83.06	88.28	110	y34l	
j50g	57.03	-48.31	63.49	79.78	127	y69l	
j75g	47.73	-60.33	42.64	73.88	145	l03c	
g00b	50.59	-49.08	15.74	51.54	162	l23c	
g25b	52.97	-39.7	-6.72	40.27	190	l55c	
g50b	54.85	-32.33	-24.35	40.48	217	l87c	
g75b	49.92	-17.29	-36.02	39.96	244	c20v	
b00r	40.91	1.28	-42.35	42.37	272	c53v	
b25r	26.81	30.38	-52.26	60.45	300	c87v	
b50r	32.52	69.06	-42.14	80.9	329	v68m	
b75r	39.48	71.47	-3.69	71.57	357	m34o	

Dreiecks-Helligkeit i^*
 %Umfang
 $u^*_{rel} = 109$
 %Regularität
 $g^*_{H,rel} = 31$
 $g^*_{C,rel} = 40$

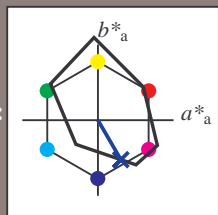


Siehe ähnliche Dateien: <http://www.ps.bam.de/Fg64/>; www.ps.bam.de/Version.2.1,io=1,1,Colspx=0
 Technische Information: <http://www.ps.bam.de>

BAM-Registrierung: 20081001-Fg64/10L/L64g00NP.PDF/.PS BAM-Material: Code=rhatha
 Anwendung für Beurteilung und Messung von Drucker- oder Monitorssystemen

Ein und Ausgabe: Farbmetrisches Drucker-Reflektiv-System FRS12_95a, L*=12_95 für relative CIELAB-Buntton $h^* = lab^*h^* = h_{ab}^*/360 = 0.834$ $u^*_e = b25r$
 lab^*rgb^*

Daten für jede Farbe:
 lab^*tch^* und lab^*icu^*
 Bunttontexte:
 $u^*_e = b25r$ $u^*_d = c87v$
 Kontrastreduzierungsfaktor:
 $c_R = 1.0$
 Dreiecks-Helligkeit i^*



FRS12_95a; adaptierte CIELAB-Daten

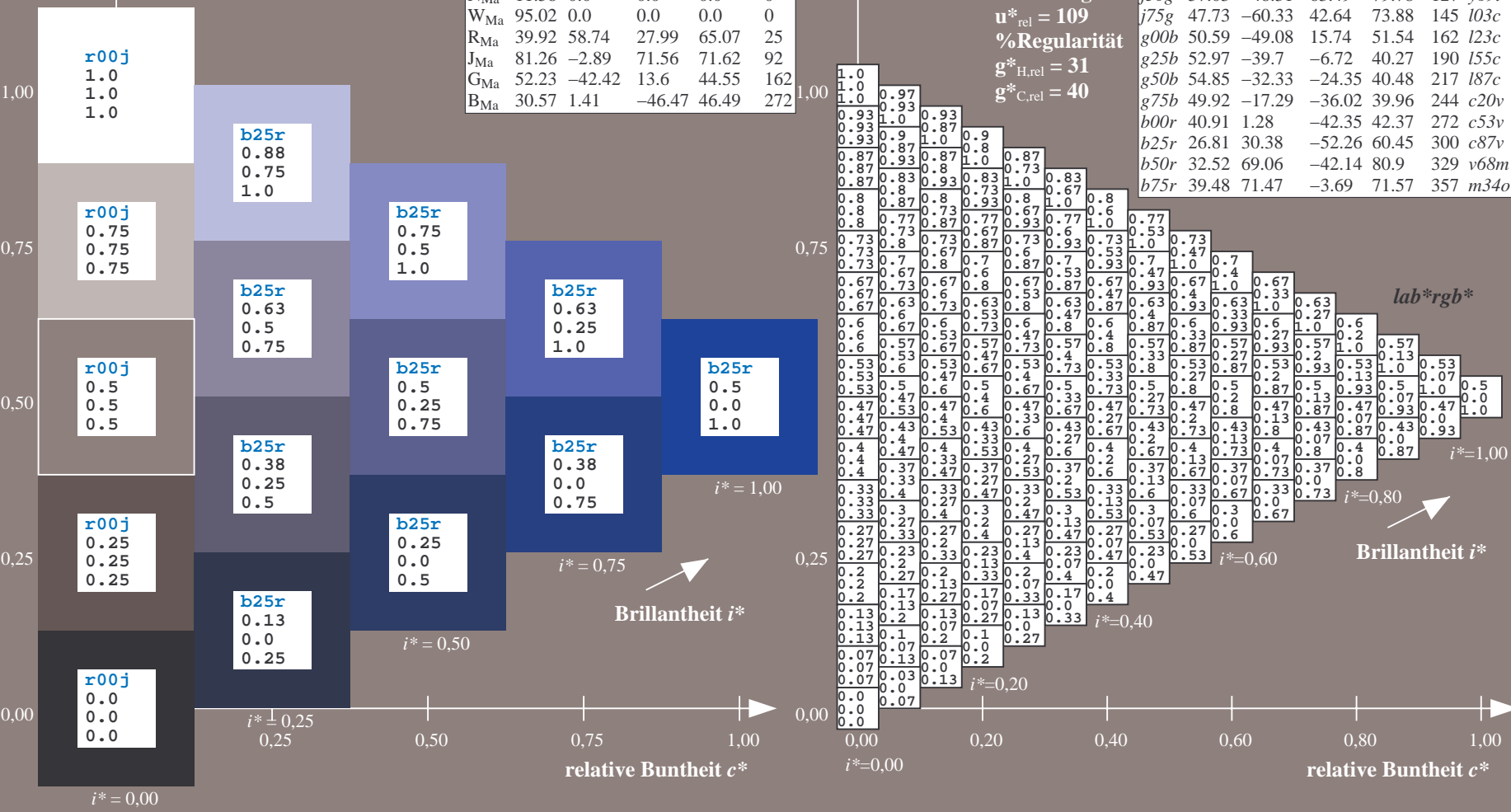
	u^*_e	$L^*=L^*_a$	a^*_a	b^*_a	$C^*_{ab,a}$	$h^*_{ab,a}$
O _{Ma}	38.06	60.0	44.0	74.4	36	
Y _{Ma}	86.77	-5.17	109.32	109.44	93	
L _{Ma}	47.13	-62.67	48.24	79.09	142	
C _{Ma}	55.66	-29.14	-31.99	43.27	228	
V _{Ma}	17.15	50.3	-59.04	77.57	310	
M _{Ma}	40.37	78.64	-33.5	85.48	337	
N _{Ma}	11.58	0.0	0.0	0.0	0	
W _{Ma}	95.02	0.0	0.0	0.0	0	
R _{Ma}	39.92	58.74	27.99	65.07	25	
J _{Ma}	81.26	-2.89	71.56	71.62	92	
G _{Ma}	52.23	-42.42	13.6	44.55	162	
B _{Ma}	30.57	1.41	-46.47	46.49	272	

Daten für Maximalfarbe (Ma):
 $LAB^*LAB^*_{Ma}$: 27 30 -52
 $LAB^*LCH^*_{Ma}$: 27 60 300
 $lab^*rgb^*_{Ma}$: 0.5 0.0 1.0
 $lab^*olv^*_{Ma}$: 0.0 0.12 1.0

FRS12_95a; adaptierte CIELAB-Daten

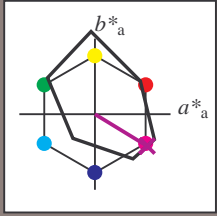
	u^*_e	$L^*=L^*_a$	a^*_a	b^*_a	$C^*_{ab,a}$	$h^*_{ab,a}$	u^*_d
r00j	38.47	63.32	30.17	70.15	25	m81o	
r25j	42.12	54.56	49.45	73.64	42	o10y	
r50j	53.64	39.15	64.89	75.79	59	o40y	
r75j	67.01	21.26	82.83	85.52	76	o69y	
j00g	86.18	-4.38	108.53	108.62	92	o98y	
j25g	69.73	-29.89	83.06	88.28	110	y34l	
j50g	57.03	-48.31	63.49	79.78	127	y69l	
j75g	47.73	-60.33	42.64	73.88	145	l03c	
g00b	50.59	-49.08	15.74	51.54	162	l23c	
g25b	52.97	-39.7	-6.72	40.27	190	l55c	
g50b	54.85	-32.33	-24.35	40.48	217	l87c	
g75b	49.92	-17.29	-36.02	39.96	244	c20c	
b00r	40.91	1.28	-42.35	42.37	272	c53v	
b25r	26.81	30.38	-52.26	60.45	300	c87v	
b50r	32.52	69.06	-42.14	80.9	329	v68m	
b75r	39.48	71.47	-3.69	71.57	357	m34o	

Dreiecks-Helligkeit i^*
 %Umfang
 $u^*_{rel} = 109$
 %Regularität
 $g^*_{H,rel} = 31$
 $g^*_{C,rel} = 40$



BAM-Registrierung: 20081001-Fg64/10L/L64g00NP.PDF/.PS BAM-Material: Code=rh4ta
 Anwendung für Beurteilung und Messung von Drucker- oder Monitorssystemen

Ein und Ausgabe: Farbmetrisches Drucker-Reflektiv-System FRS12_95a, L*=12_95 für relative CIELAB-Buntton $h^* = lab^*h^* = h_{ab}/360 = 0.913$ $u^*_e = b50r$
 Daten für jede Farbe: lab^*tch^* und lab^*icu^*
 $u^*_e = b50r$ $u^*_d = v68m$
 Kontrastreduzierungsfaktor: $c_R = 1.0$
 Dreiecks-Helligkeit i^*



FRS12_95a; adaptierte CIELAB-Daten

	u^*_e	$L^*=L^*_a$	a^*_a	b^*_a	$C^*_{ab,a}$	$h^*_{ab,a}$
O _{Ma}	38.06	60.0	44.0	74.4	36	
Y _{Ma}	86.77	-5.17	109.32	109.44	93	
L _{Ma}	47.13	-62.67	48.24	79.09	142	
C _{Ma}	55.66	-29.14	-31.99	43.27	228	
V _{Ma}	17.15	50.3	-59.04	77.57	310	
M _{Ma}	40.37	78.64	-33.5	85.48	337	
N _{Ma}	11.58	0.0	0.0	0.0	0	
W _{Ma}	95.02	0.0	0.0	0.0	0	
R _{Ma}	39.92	58.74	27.99	65.07	25	
J _{Ma}	81.26	-2.89	71.56	71.62	92	
G _{Ma}	52.23	-42.42	13.6	44.55	162	
B _{Ma}	30.57	1.41	-46.47	46.49	272	

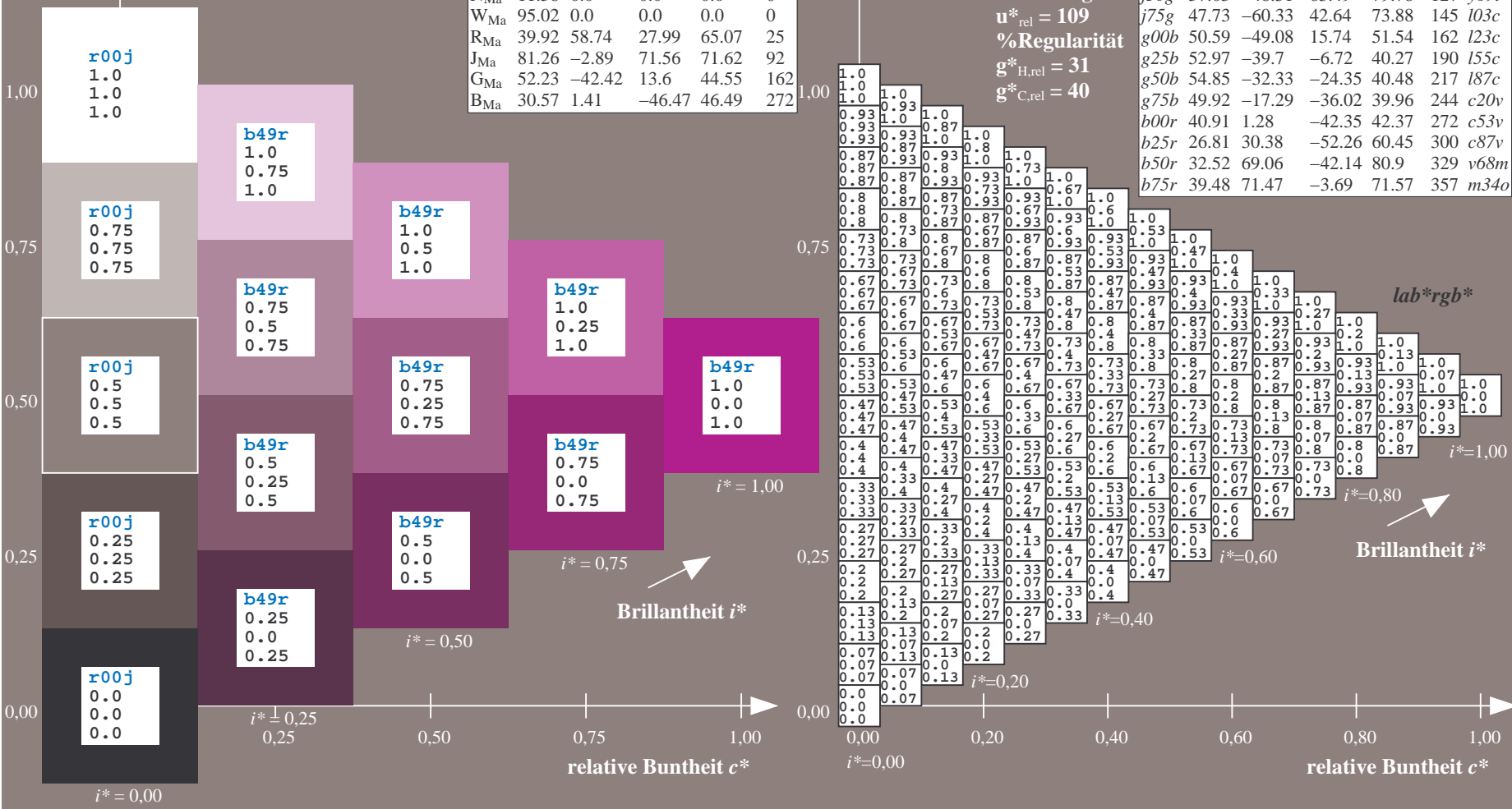
Daten für Maximalfarbe (Ma):

$LAB^*LAB^*_{Ma}: 33\ 69\ -42$
 $LAB^*LCH^*_{Ma}: 33\ 81\ 328$
 $lab^*rgb^*_{Ma}: 1.0\ 0.0\ 1.0$
 $lab^*olv^*_{Ma}: 0.69\ 0.0\ 1.0$

FRS12_95a; adaptierte CIELAB-Daten

	u^*_e	$L^*=L^*_a$	a^*_a	b^*_a	$C^*_{ab,a}$	$h^*_{ab,a}$	u^*_d
r00j	38.47	63.32	30.17	70.15	25	m81o	
r25j	42.12	54.56	49.45	73.64	42	o10y	
r50j	53.64	39.15	64.89	75.79	59	o40y	
r75j	67.01	21.26	82.83	85.52	76	o69y	
j00g	86.18	-4.38	108.53	108.62	92	o98y	
j25g	69.73	-29.89	83.06	88.28	110	y34l	
j50g	57.03	-48.31	63.49	79.78	127	y69l	
j75g	47.73	-60.33	42.64	73.88	145	l03c	
g00b	50.59	-49.08	15.74	51.54	162	l23c	
g25b	52.97	-39.7	-6.72	40.27	190	l55c	
g50b	54.85	-32.33	-24.35	40.48	217	l87c	
g75b	49.92	-17.29	-36.02	39.96	244	c20v	
b00r	40.91	1.28	-42.35	42.37	272	c53v	
b25r	26.81	30.38	-52.26	60.45	300	c87v	
b50r	32.52	69.06	-42.14	80.9	329	v68m	
b75r	39.48	71.47	-3.69	71.57	357	m34o	

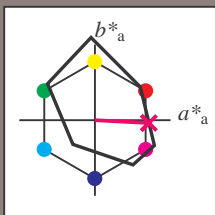
Dreiecks-Helligkeit i^*
 %Umfang $u^*_{rel} = 109$
 %Regularität $g^*_{H,rel} = 31$
 $g^*_{C,rel} = 40$



BAM-Registrierung: 20081001-Fg64/10L/L64g00NP.PDF/.PS BAM-Material: Code=rh4ta
 Anwendung für Beurteilung und Messung von Drucker- oder Monitorssystemen

Ein und Ausgabe: Farbmetrisches Drucker-Reflektiv-System FRS12_95a, L*=12_95 für relative CIELAB-Bunton $h^* = lab^*h^* = h_{ab}^*/360 = 0.992$ $u^*_e = b75r$
 lab^*rgb^*

Daten für jede Farbe:
 lab^*tch^* und lab^*icu^*
 Bunttontexte:
 $u^*_e = b75r$ $u^*_d = m34o$
 Kontrastreduzierungsfaktor:
 $c_R = 1.0$
 Dreiecks-Helligkeit i^*



FRS12_95a; adaptierte CIELAB-Daten

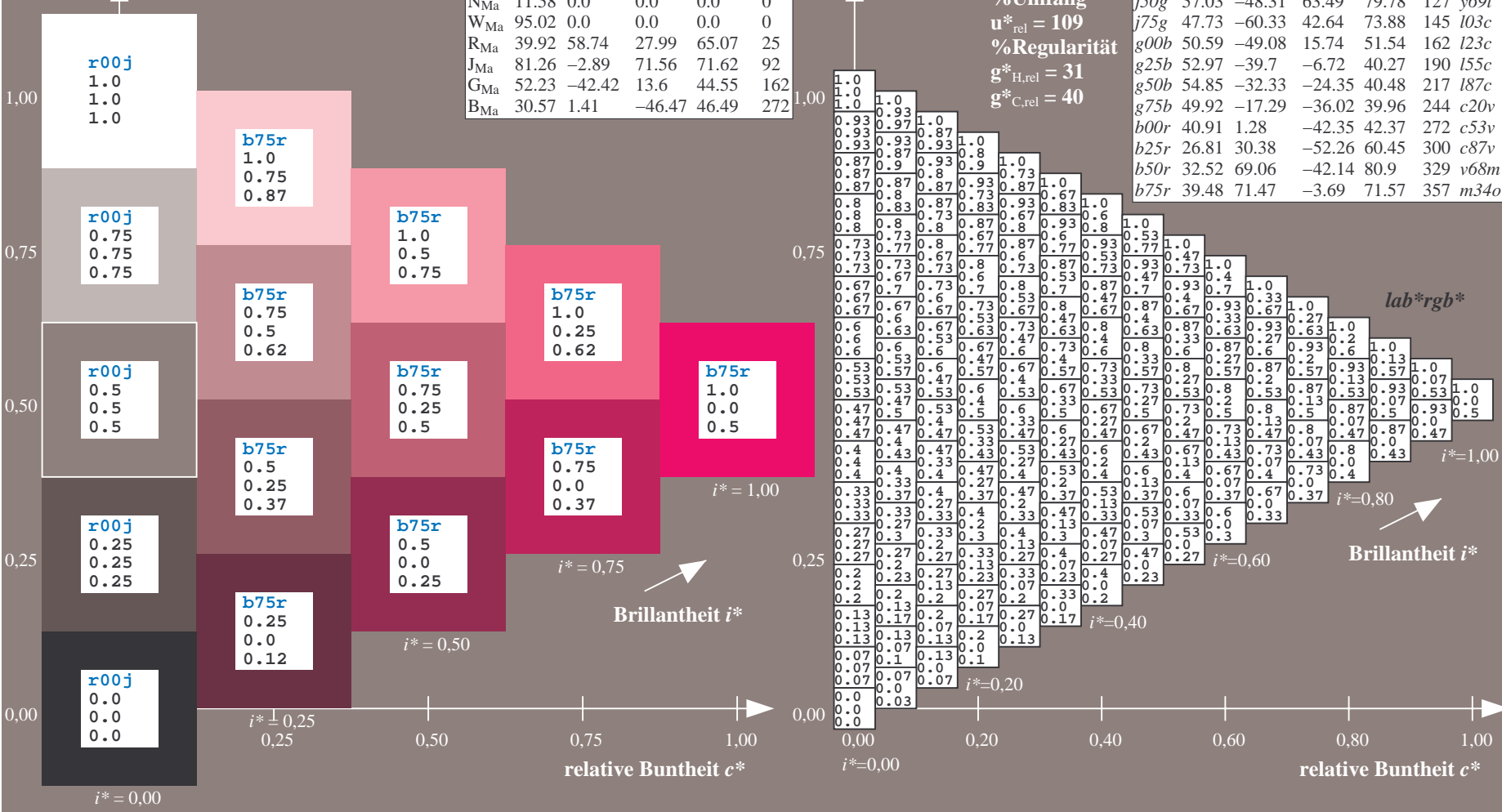
	u^*_e	$L^*=L^*_a$	a^*_a	b^*_a	$C^*_{ab,a}$	$h^*_{ab,a}$
O _{Ma}	38.06	60.0	44.0	74.4	36	
Y _{Ma}	86.77	-5.17	109.32	109.44	93	
L _{Ma}	47.13	-62.67	48.24	79.09	142	
C _{Ma}	55.66	-29.14	-31.99	43.27	228	
V _{Ma}	17.15	50.3	-59.04	77.57	310	
M _{Ma}	40.37	78.64	-33.5	85.48	337	
N _{Ma}	11.58	0.0	0.0	0.0	0	
W _{Ma}	95.02	0.0	0.0	0.0	0	
R _{Ma}	39.92	58.74	27.99	65.07	25	
J _{Ma}	81.26	-2.89	71.56	71.62	92	
G _{Ma}	52.23	-42.42	13.6	44.55	162	
B _{Ma}	30.57	1.41	-46.47	46.49	272	

Daten für Maximalfarbe (Ma):
 $LAB^*LAB^*_{Ma}: 39\ 71\ -4$
 $LAB^*LCH^*_{Ma}: 39\ 72\ 357$
 $lab^*rgb^*_{Ma}: 1.0\ 0.0\ 0.5$
 $lab^*olv^*_{Ma}: 1.0\ 0.0\ 0.66$

FRS12_95a; adaptierte CIELAB-Daten

	u^*_e	$L^*=L^*_a$	a^*_a	b^*_a	$C^*_{ab,a}$	$h^*_{ab,a}$	u^*_d
r00j	38.47	63.32	30.17	70.15	25	m81o	
r25j	42.12	54.56	49.45	73.64	42	o10y	
r50j	53.64	39.15	64.89	75.79	59	o40y	
r75j	67.01	21.26	82.83	85.52	76	o69y	
j00g	86.18	-4.38	108.53	108.62	92	o98y	
j25g	69.73	-29.89	83.06	88.28	110	y34l	
j50g	57.03	-48.31	63.49	79.78	127	y69l	
j75g	47.73	-60.33	42.64	73.88	145	l03c	
g00b	50.59	-49.08	15.74	51.54	162	l23c	
g25b	52.97	-39.7	-6.72	40.27	190	l55c	
g50b	54.85	-32.33	-24.35	40.48	217	l87c	
g75b	49.92	-17.29	-36.02	39.96	244	c20v	
b00r	40.91	1.28	-42.35	42.37	272	c53v	
b25r	26.81	30.38	-52.26	60.45	300	c87v	
b50r	32.52	69.06	-42.14	80.9	329	v68m	
b75r	39.48	71.47	-3.69	71.57	357	m34o	

Dreiecks-Helligkeit i^*
 %Umfang
 $u^*_{rel} = 109$
 %Regularität
 $g^*_{H,rel} = 31$
 $g^*_{C,rel} = 40$



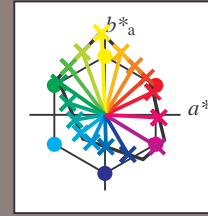
Siehe ähnliche Dateien: <http://www.ps.bam.de/Fg64/>; [www.ps.bam.de/Version 2.1, io=1,1, Colspx=0](http://www.ps.bam.de/Version2.1,io=1,1,Colspx=0)
Technische Information: <http://www.ps.bam.de>

BAM-Registrierung: 20081001-Fg64/10L/L64g00NP.PDF/.PS BAM-Material: Code=thata
Anwendung für Beurteilung und Messung von Drucker- oder Monitorsystemen

Table with 27 rows (01-27) and 36 columns (A-lab*rgb*). Each cell contains numerical data representing color calibration values.

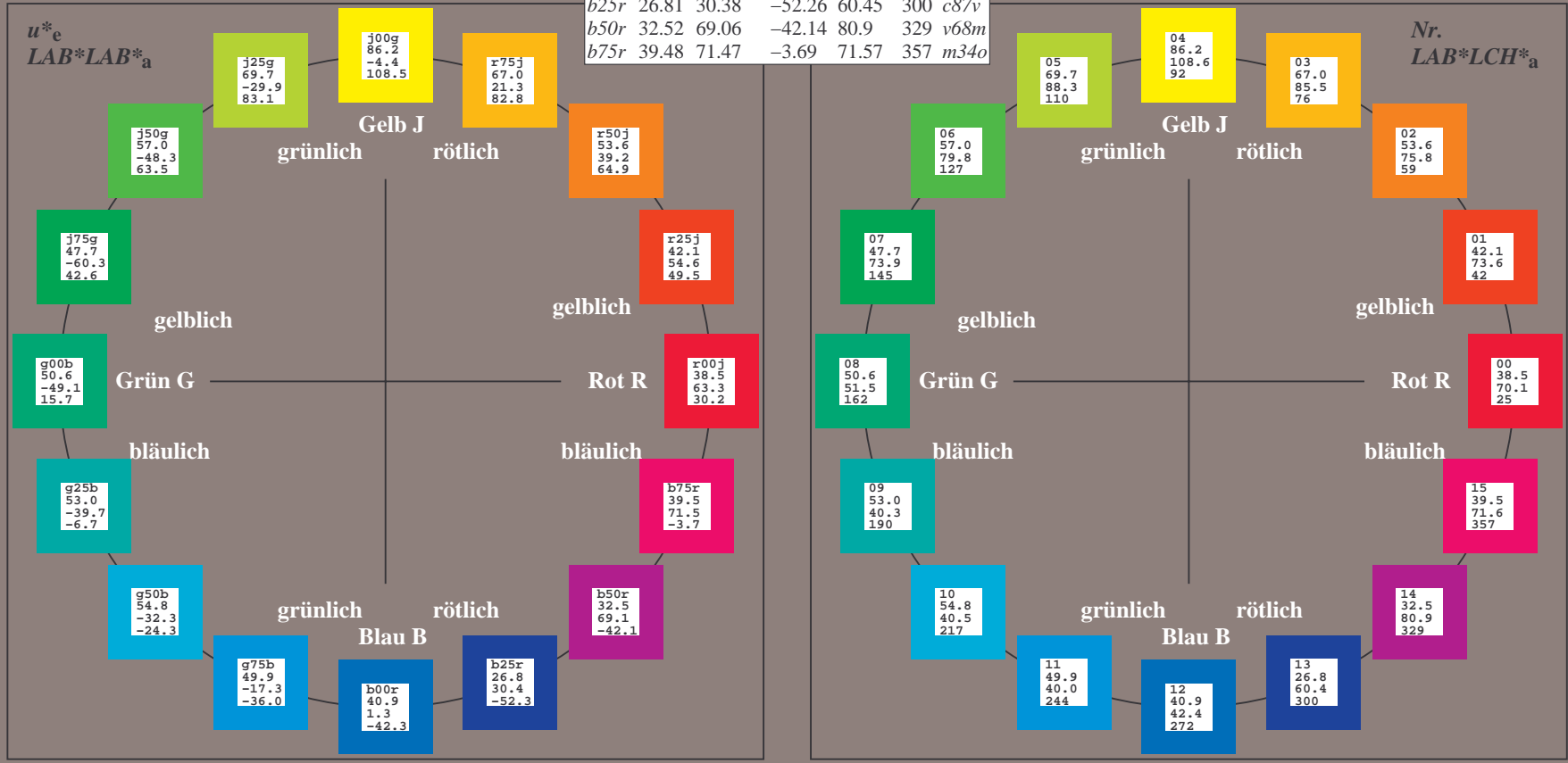
Ein und Ausgabe:
 Farbmetrisches Drucker-Reflektiv-System FRS12_95a
 Daten für jede Farbe:
 u^*_e und Nummer *Nr.* = 00 .. 15
 Elementar-Bunttextext:
 $u^*_e = 16$ Bunttoene *r00j, r25j, ..., b75r*
 Kontrastreduzierungsfaktor:
 $c_R = 1.0$

FRS12_95a; adaptierte CIELAB-Daten						
u^*_e	$L^*_{ab,a}$	a^*_a	b^*_a	$C^*_{ab,a}$	$h^*_{ab,a}$	u^*_d
r00j	38.47	63.32	30.17	70.15	25	m81o
r25j	42.12	54.56	49.45	73.64	42	o10y
r50j	53.64	39.15	64.89	75.79	59	o40y
r75j	67.01	21.26	82.83	85.52	76	o69y
j00g	86.18	-4.38	108.53	108.62	92	o98y
j25g	69.73	-29.89	83.06	88.28	110	y34l
j50g	57.03	-48.31	63.49	79.78	127	y69l
j75g	47.73	-60.33	42.64	73.88	145	l03c
g00b	50.59	-49.08	15.74	51.54	162	l23c
g25b	52.97	-39.7	-6.72	40.27	190	l55c
g50b	54.85	-32.33	-24.35	40.48	217	l87c
g75b	49.92	-17.29	-36.02	39.96	244	c20v
b00r	40.91	1.28	-42.35	42.37	272	c53v
b25r	26.81	30.38	-52.26	60.45	300	c87v
b50r	32.52	69.06	-42.14	80.9	329	v68m
b75r	39.48	71.47	-3.69	71.57	357	m34o



%Umfang
 $u^*_{rel} = 109$
 %Regularität
 $g^*_{H,rel} = 31$
 $g^*_{C,rel} = 40$

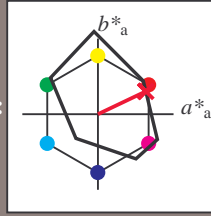
FRS12_95a; adaptierte CIELAB-Daten					
Name	$L^*_{ab,a}$	a^*_a	b^*_a	$C^*_{ab,a}$	$h^*_{ab,a}$
OMa	38.06	60.0	44.0	74.4	36
YMa	86.77	-5.17	109.32	109.44	93
LMa	47.13	-62.67	48.24	79.09	142
CMa	55.66	-29.14	-31.99	43.27	228
VMa	17.15	50.3	-33.5	77.57	310
MMa	40.37	78.64	-59.04	85.48	337
NMa	11.58	0.0	0.0	0.0	0
WMa	95.02	0.0	0.0	0.0	0
JCIE	39.92	58.74	27.99	65.07	25
RCIE	81.26	-2.89	71.56	71.62	92
GCIE	52.23	-42.42	13.6	44.55	162
BCIE	30.57	1.41	-46.47	46.49	272



Siehe ähnliche Dateien: <http://www.ps.bam.de/Fg64/>; [www.ps.bam.de/Fg64/Version 2.1, io=1,1, ColSpX=0](http://www.ps.bam.de/Fg64/Version2.1,io=1,1,ColSpX=0)
 Technische Information: <http://www.ps.bam.de>

BAM-Registrierung: 20081001-Fg64/10L/L64g00NP.PDF/ .PS BAM-Material: Code=rhata
 Anwendung für Beurteilung und Messung von Drucker- oder Monitorssystemen

Ein und Ausgabe: Farbmetrisches Drucker-Reflektiv-System FRS12_95a, L*=12_95 für relativen CIELAB-Buntton $h^* = lab^*h^* = h_{ab}/360 = 0.071$ $u^*_e = r00j$
 Daten für jede Farbe:
 lab^*tch^* und lab^*icu^*
 Bunttontexte:
 $u^*_e = r00j$ $u^*_d = m81o$
 Kontrastreduzierungsfaktor:
 $c_R = 1.0$
 Dreiecks-Helligkeit i^*



FRS12_95a; adaptierte CIELAB-Daten

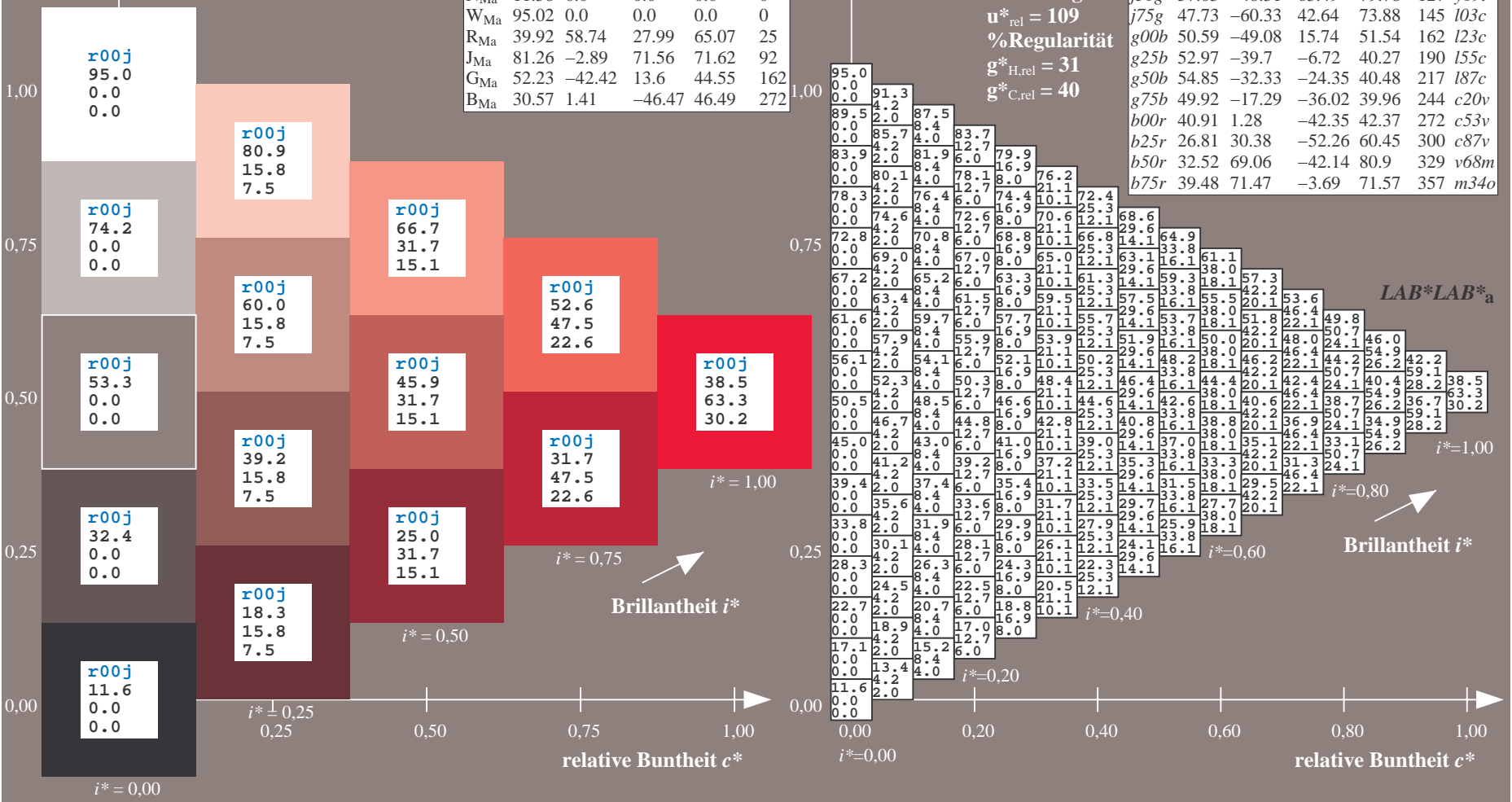
	u^*_e	$L^*=L^*_a$	a^*_a	b^*_a	$C^*_{ab,a}$	$h^*_{ab,a}$
O _{Ma}	38.06	60.0	44.0	74.4	36	
Y _{Ma}	86.77	-5.17	109.32	109.44	93	
L _{Ma}	47.13	-62.67	48.24	79.09	142	
C _{Ma}	55.66	-29.14	-31.99	43.27	228	
V _{Ma}	17.15	50.3	-59.04	77.57	310	
M _{Ma}	40.37	78.64	-33.5	85.48	337	
N _{Ma}	11.58	0.0	0.0	0.0	0	
W _{Ma}	95.02	0.0	0.0	0.0	0	
R _{Ma}	39.92	58.74	27.99	65.07	25	
J _{Ma}	81.26	-2.89	71.56	71.62	92	
G _{Ma}	52.23	-42.42	13.6	44.55	162	
B _{Ma}	30.57	1.41	-46.47	46.49	272	

Daten für Maximalfarbe (Ma):
 $LAB^*LAB^*_Ma: 38\ 63\ 30$
 $LAB^*LCH^*_Ma: 38\ 70\ 25$
 $lab^*rgb^*_Ma: 1.0\ 0.0\ 0.0$
 $lab^*olv^*_Ma: 1.0\ 0.0\ 0.18$

FRS12_95a; adaptierte CIELAB-Daten

	u^*_e	$L^*=L^*_a$	a^*_a	b^*_a	$C^*_{ab,a}$	$h^*_{ab,a}$	u^*_d
r00j	38.47	63.32	30.17	70.15	25	m81o	
r25j	42.12	54.56	49.45	73.64	42	o10y	
r50j	53.64	39.15	64.89	75.79	59	o40y	
r75j	67.01	21.26	82.83	85.52	76	o69y	
j00g	86.18	-4.38	108.53	108.62	92	o98y	
j25g	69.73	-29.89	83.06	88.28	110	y34l	
j50g	57.03	-48.31	63.49	79.78	127	y69l	
j75g	47.73	-60.33	42.64	73.88	145	l03c	
g00b	50.59	-49.08	15.74	51.54	162	l23c	
g25b	52.97	-39.7	-6.72	40.27	190	l55c	
g50b	54.85	-32.33	-24.35	40.48	217	l87c	
g75b	49.92	-17.29	-36.02	39.96	244	c20v	
b00r	40.91	1.28	-42.35	42.37	272	c53v	
b25r	26.81	30.38	-52.26	60.45	300	c87v	
b50r	32.52	69.06	-42.14	80.9	329	v68m	
b75r	39.48	71.47	-3.69	71.57	357	m34o	

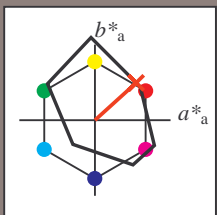
Dreiecks-Helligkeit i^*
 %Umfang
 $u^*_{rel} = 109$
 %Regularität
 $g^*_{H,rel} = 31$
 $g^*_{C,rel} = 40$



Siehe ähnliche Dateien: <http://www.ps.bam.de/Fg64/>; [www.ps.bam.de/Version 2.1, io=1,1, Colspx=0](http://www.ps.bam.de/Fg64/Version%201.1,%20io=1,1,Colspx=0)
 Technische Information: <http://www.ps.bam.de>

BAM-Registrierung: 20081001-Fg64/10L/L64g00NP.PDF/.PS BAM-Material: Code=rhatha
 Anwendung für Beurteilung und Messung von Drucker- oder Monitorssystemen

Ein und Ausgabe: Farbmetrisches Drucker-Reflektiv-System FRS12_95a, L*=12_95 für relative CIELAB-Buntton $h^* = lab^*h^* = h_{ab}/360 = 0.117$ $u^*_e = r25j$
 Daten für jede Farbe: lab^*tch^* und lab^*icu^*
 $u^*_e = r25j$ $u^*_d = o10y$
 Kontrastreduzierungsfaktor: $c_R = 1.0$
 Dreiecks-Helligkeit t^*



FRS12_95a; adaptierte CIELAB-Daten

	u^*_e	$L^*=L^*_a$	a^*_a	b^*_a	$C^*_{ab,a}$	$h^*_{ab,a}$
O _{Ma}	38.06	60.0	44.0	74.4	36	
Y _{Ma}	86.77	-5.17	109.32	109.44	93	
L _{Ma}	47.13	-62.67	48.24	79.09	142	
C _{Ma}	55.66	-29.14	-31.99	43.27	228	
V _{Ma}	17.15	50.3	-59.04	77.57	310	
M _{Ma}	40.37	78.64	-33.5	85.48	337	
N _{Ma}	11.58	0.0	0.0	0.0	0	
W _{Ma}	95.02	0.0	0.0	0.0	0	
R _{Ma}	39.92	58.74	27.99	65.07	25	
J _{Ma}	81.26	-2.89	71.56	71.62	92	
G _{Ma}	52.23	-42.42	13.6	44.55	162	
B _{Ma}	30.57	1.41	-46.47	46.49	272	

Daten für Maximalfarbe (Ma):

$LAB^*LAB^*_Ma$: 42 55 49

$LAB^*LCH^*_Ma$: 42 74 42

$lab^*rgb^*_Ma$: 1.0 0.25 0.0

$lab^*olv^*_Ma$: 1.0 0.11 0.0

Dreiecks-Helligkeit t^*

%Umfang

$u^*_{rel} = 109$

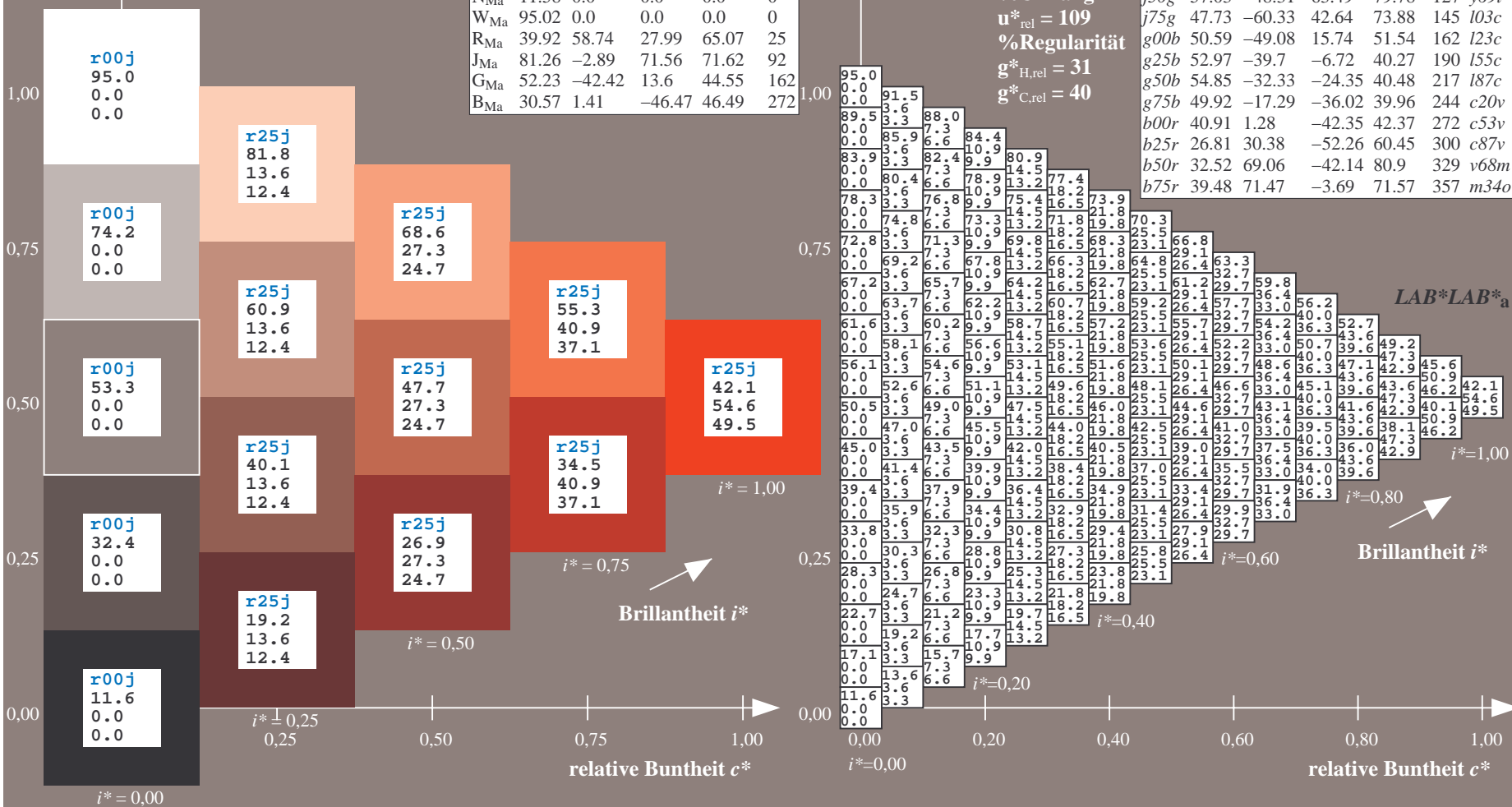
%Regularität

$g^*_{H,rel} = 31$

$g^*_{C,rel} = 40$

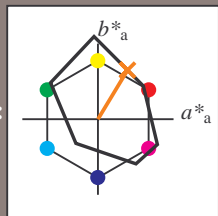
FRS12_95a; adaptierte CIELAB-Daten

	u^*_e	$L^*=L^*_a$	a^*_a	b^*_a	$C^*_{ab,a}$	$h^*_{ab,a}$	u^*_d
r00j	38.47	63.32	30.17	70.15	25	m81o	
r25j	42.12	54.56	49.45	73.64	42	o10y	
r50j	53.64	39.15	64.89	75.79	59	o40y	
r75j	67.01	21.26	82.83	85.52	76	o69y	
j00g	86.18	-4.38	108.53	108.62	92	o98y	
j25g	69.73	-29.89	83.06	88.28	110	y34l	
j50g	57.03	-48.31	63.49	79.78	127	y39l	
j75g	47.73	-60.33	42.64	73.88	145	l03c	
g00b	50.59	-49.08	15.74	51.54	162	l23c	
g25b	52.97	-39.7	-6.72	40.27	190	l55c	
g50b	54.85	-32.33	-24.35	40.48	217	l87c	
g75b	49.92	-17.29	-36.02	39.96	244	c20v	
b00r	40.91	1.28	-42.35	42.37	272	c53v	
b25r	26.81	30.38	-52.26	60.45	300	c87v	
b50r	32.52	69.06	-42.14	80.9	329	v68m	
b75r	39.48	71.47	-3.69	71.57	357	m34o	



Ein und Ausgabe: Farbmetrisches Drucker-Reflektiv-System FRS12_95a, L*=12_95 für relative CIELAB-Buntton $h^* = lab^*h^* = h_{ab}/360 = 0.164$ $u^*_e = r50j$
 Daten für jede Farbe: $LAB^*LAB^*_a$

lab^*tch^* und lab^*icu^*
 Bunttontexte:
 $u^*_e = r50j$ $u^*_d = o40y$
 Kontrastreduzierungsfaktor:
 $c_R = 1.0$
 Dreiecks-Helligkeit i^*



FRS12_95a; adaptierte CIELAB-Daten

	u^*_e	$L^*=L^*_a$	a^*_a	b^*_a	$C^*_{ab,a}$	$h^*_{ab,a}$
O _{Ma}	38.06	60.0	44.0	74.4	36	
Y _{Ma}	86.77	-5.17	109.32	109.44	93	
L _{Ma}	47.13	-62.67	48.24	79.09	142	
C _{Ma}	55.66	-29.14	-31.99	43.27	228	
V _{Ma}	17.15	50.3	-59.04	77.57	310	
M _{Ma}	40.37	78.64	-33.5	85.48	337	
N _{Ma}	11.58	0.0	0.0	0.0	0	
W _{Ma}	95.02	0.0	0.0	0.0	0	
R _{Ma}	39.92	58.74	27.99	65.07	25	
J _{Ma}	81.26	-2.89	71.56	71.62	92	
G _{Ma}	52.23	-42.42	13.6	44.55	162	
B _{Ma}	30.57	1.41	-46.47	46.49	272	

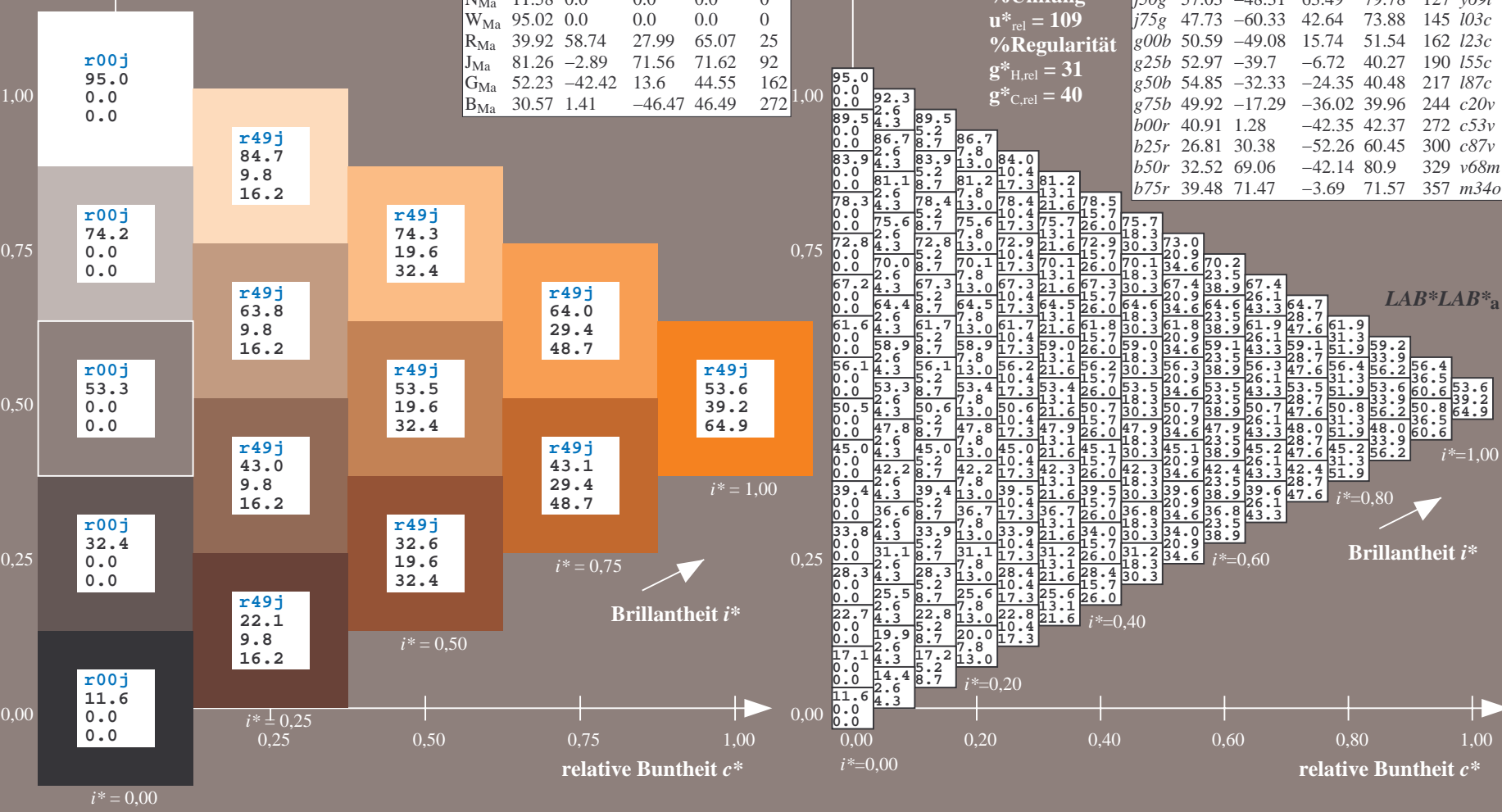
Daten für Maximalfarbe (Ma):

$LAB^*LAB^*_Ma: 54\ 39\ 65$
 $LAB^*LCH^*_Ma: 54\ 76\ 58$
 $lab^*rgb^*_Ma: 1.0\ 0.5\ 0.0$
 $lab^*olv^*_Ma: 1.0\ 0.4\ 0.0$

FRS12_95a; adaptierte CIELAB-Daten

	u^*_e	$L^*=L^*_a$	a^*_a	b^*_a	$C^*_{ab,a}$	$h^*_{ab,a}$	u^*_d
r00j	38.47	63.32	30.17	70.15	25	m81o	
r25j	42.12	54.56	49.45	73.64	42	o10y	
r50j	53.64	39.15	64.89	75.79	59	o40y	
r75j	67.01	21.26	82.83	85.52	76	o69y	
j00g	86.18	-4.38	108.53	108.62	92	o98y	
j25g	69.73	-29.89	83.06	88.28	110	y34l	
j50g	57.03	-48.31	63.49	79.78	127	y69l	
j75g	47.73	-60.33	42.64	73.88	145	l03c	
g00b	50.59	-49.08	15.74	51.54	162	l23c	
g25b	52.97	-39.7	-6.72	40.27	190	l55c	
g50b	54.85	-32.33	-24.35	40.48	217	l87c	
g75b	49.92	-17.29	-36.02	39.96	244	c20v	
b00r	40.91	1.28	-42.35	42.37	272	c53v	
b25r	26.81	30.38	-52.26	60.45	300	c87v	
b50r	32.52	69.06	-42.14	80.9	329	v68m	
b75r	39.48	71.47	-3.69	71.57	357	m34o	

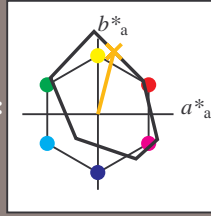
Dreiecks-Helligkeit i^*
 %Umfang
 $u^*_{rel} = 109$
 %Regularität
 $g^*_{H,rel} = 31$
 $g^*_{C,rel} = 40$



BAM-Registrierung: 20081001-Fg64/10L/L64g00NP.PDF/.PS BAM-Material: Code=rh4ta
 Anwendung für Beurteilung und Messung von Drucker- oder Monitorssystemen

Ein und Ausgabe: Farbmetrisches Drucker-Reflektiv-System FRS12_95a, L*=12_95 für relative CIELAB-Buntton $h^* = lab^*h^* = h_{ab}/360 = 0.21$ $u^*_e = r75j$
 Daten für jede Farbe: $LAB^*LAB^*_a$

lab^*ch^* und lab^*icu^*
 Bunttontexte:
 $u^*_e = r75j$ $u^*_d = o69y$
 Kontrastreduzierungsfaktor:
 $c_R = 1.0$
 Dreiecks-Helligkeit i^*



FRS12_95a; adaptierte CIELAB-Daten

	u^*_e	$L^*=L^*_a$	a^*_a	b^*_a	$C^*_{ab,a}$	$h^*_{ab,a}$
O _{Ma}	38.06	60.0	44.0	74.4	36	
Y _{Ma}	86.77	-5.17	109.32	109.44	93	
L _{Ma}	47.13	-62.67	48.24	79.09	142	
C _{Ma}	55.66	-29.14	-31.99	43.27	228	
V _{Ma}	17.15	50.3	-59.04	77.57	310	
M _{Ma}	40.37	78.64	-33.5	85.48	337	
N _{Ma}	15.02	0.0	0.0	0.0	0	
W _{Ma}	95.02	0.0	0.0	0.0	0	
R _{Ma}	39.92	58.74	27.99	65.07	25	
J _{Ma}	81.26	-2.89	71.56	71.62	92	
G _{Ma}	52.23	-42.42	13.6	44.55	162	
B _{Ma}	30.57	1.41	-46.47	46.49	272	

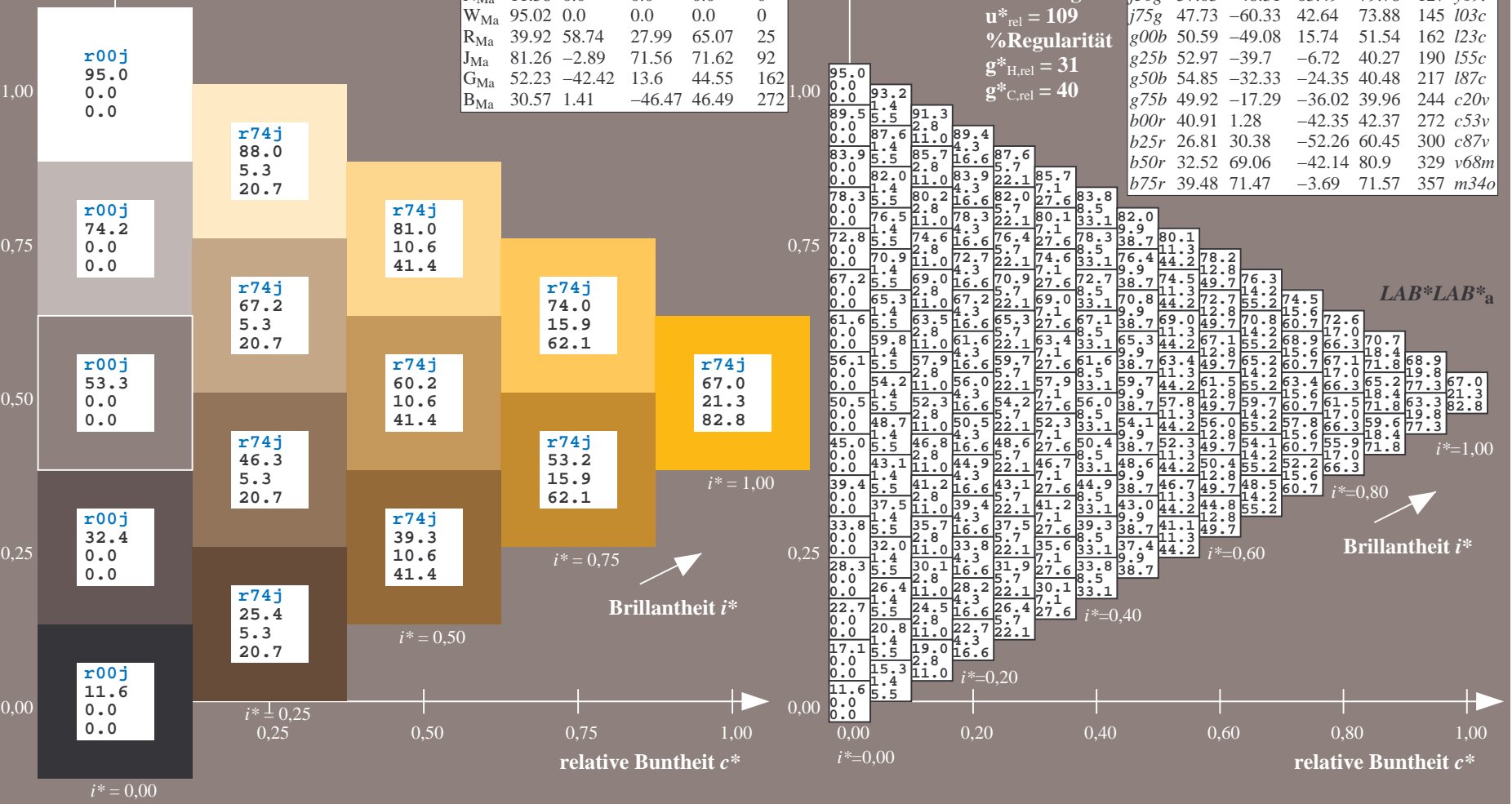
Daten für Maximalfarbe (Ma):

$LAB^*LAB^*_Ma$: 67 21 83
 $LAB^*LCH^*_Ma$: 67 86 75
 $lab^*rgb^*_Ma$: 1.0 0.75 0.0
 $lab^*olv^*_Ma$: 1.0 0.7 0.0

FRS12_95a; adaptierte CIELAB-Daten

	u^*_e	$L^*=L^*_a$	a^*_a	b^*_a	$C^*_{ab,a}$	$h^*_{ab,a}$	u^*_d
r00j	38.47	63.32	30.17	70.15	25	m81o	
r25j	42.12	54.56	49.45	73.64	42	o10y	
r50j	53.64	39.15	64.89	75.79	59	o40y	
r75j	67.01	21.26	82.83	85.52	76	o69y	
j00g	86.18	-4.38	108.53	108.62	92	o98y	
j25g	69.73	-29.89	83.06	88.28	110	y34l	
j50g	57.03	-48.31	63.49	79.78	127	y61l	
j75g	47.73	-60.33	42.64	73.88	145	l03c	
g00b	50.59	-49.08	15.74	51.54	162	l23c	
g25b	52.97	-39.7	-6.72	40.27	190	l55c	
g50b	54.85	-32.33	-24.35	40.48	217	l87c	
g75b	49.92	-17.29	-36.02	39.96	244	c20v	
b00r	40.91	1.28	-42.35	42.37	272	c53v	
b25r	26.81	30.38	-52.26	60.45	300	c87v	
b50r	32.52	69.06	-42.14	80.9	329	v68m	
b75r	39.48	71.47	-3.69	71.57	357	m34o	

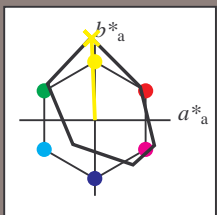
Dreiecks-Helligkeit i^*
 %Umfang
 $u^*_{rel} = 109$
 %Regularität
 $g^*_{H,rel} = 31$
 $g^*_{C,rel} = 40$



BAM-Registrierung: 20081001-Fg64/10L/L64g00NP.PDF/.PS BAM-Material: Code=rh4ta
 Anwendung für Beurteilung und Messung von Drucker- oder Monitorssystemen

Ein und Ausgabe: Farbmetrisches Drucker-Reflektiv-System FRS12_95a, L*=12_95 für relative CIELAB-Buntton $h^* = lab^*h^* = h_{ab}/360 = 0.256$ $u^*_e = j00g$
 Daten für jede Farbe: $LAB^*LAB^*_a$

lab**ch** und lab**icu**
 Bunttontexte:
 $u^*_e = j00g$ $u^*_d = o98y$
 Kontrastreduzierungsfaktor:
 $c_R = 1.0$
 Dreiecks-Helligkeit i^*



FRS12_95a; adaptierte CIELAB-Daten

	u^*_e	$L^*=L^*_a$	a^*_a	b^*_a	$C^*_{ab,a}$	$h^*_{ab,a}$
O _{Ma}	38.06	60.0	44.0	74.4	36	
Y _{Ma}	86.77	-5.17	109.32	109.44	93	
L _{Ma}	47.13	-62.67	48.24	79.09	142	
C _{Ma}	55.66	-29.14	-31.99	43.27	228	
V _{Ma}	17.15	50.3	-59.04	77.57	310	
M _{Ma}	40.37	78.64	-33.5	85.48	337	
N _{Ma}	11.58	0.0	0.0	0.0	0	
W _{Ma}	95.02	0.0	0.0	0.0	0	
R _{Ma}	39.92	58.74	27.99	65.07	25	
J _{Ma}	81.26	-2.89	71.56	71.62	92	
G _{Ma}	52.23	-42.42	13.6	44.55	162	
B _{Ma}	30.57	1.41	-46.47	46.49	272	

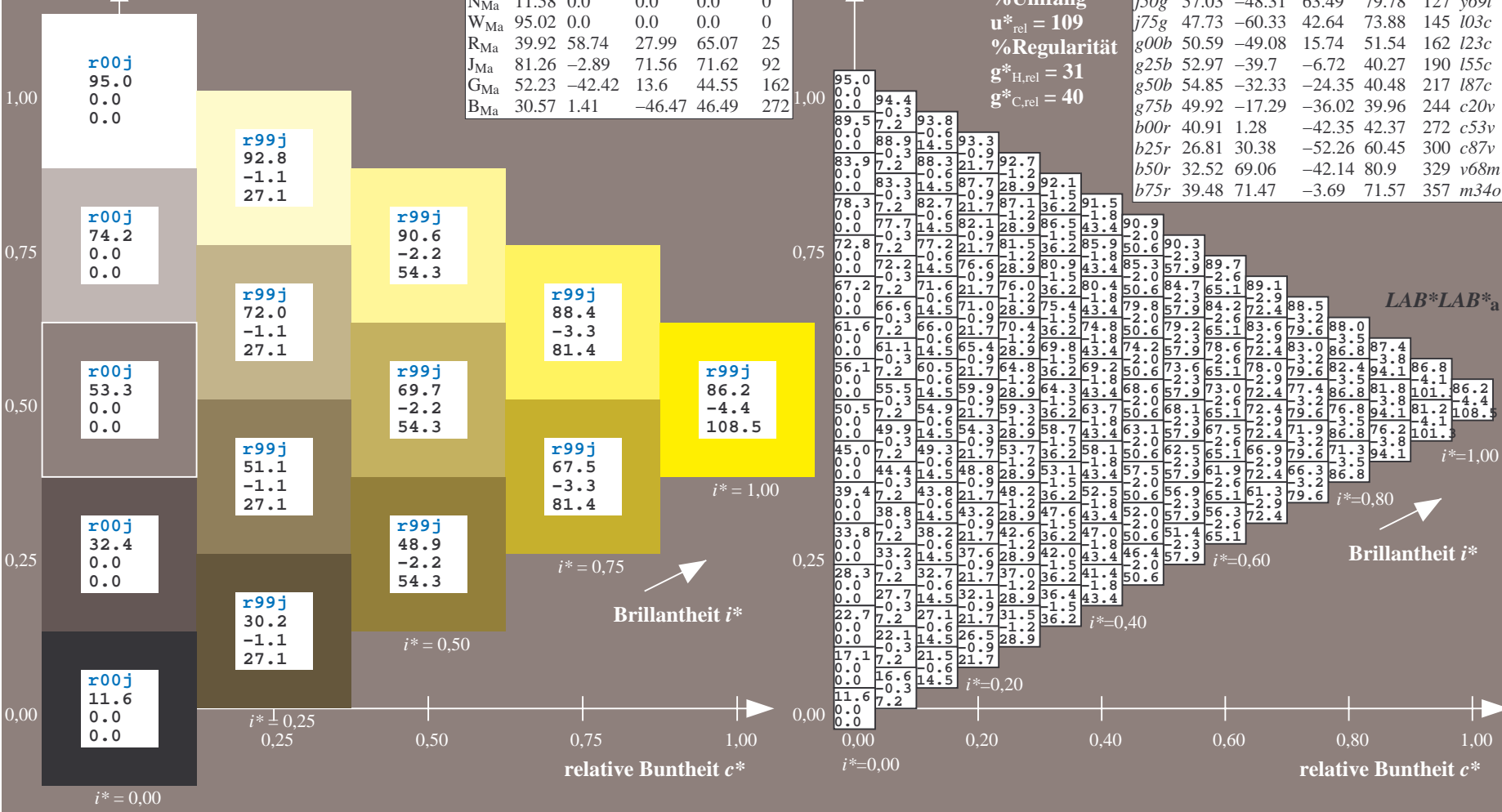
Daten für Maximalfarbe (Ma):

$LAB^*LAB^*_Ma: 86 -4 109$
 $LAB^*LCH^*_Ma: 86 109 92$
 $lab^*rgb^*_Ma: 1.0 1.0 0.0$
 $lab^*olv^*_Ma: 1.0 0.99 0.0$

FRS12_95a; adaptierte CIELAB-Daten

	u^*_e	$L^*=L^*_a$	a^*_a	b^*_a	$C^*_{ab,a}$	$h^*_{ab,a}$	u^*_d
r00j	38.47	63.32	30.17	70.15	25	m81o	
r25j	42.12	54.56	49.45	73.64	42	o10y	
r50j	53.64	39.15	64.89	75.79	59	o40y	
r75j	67.01	21.26	82.83	85.52	76	o69y	
j00g	86.18	-4.38	108.53	108.62	92	o98y	
j25g	69.73	-29.89	83.06	88.28	110	y34l	
j50g	57.03	-48.31	63.49	79.78	127	y39l	
j75g	47.73	-60.33	42.64	73.88	145	l03c	
g00b	50.59	-49.08	15.74	51.54	162	l23c	
g25b	52.97	-39.7	-6.72	40.27	190	l55c	
g50b	54.85	-32.33	-24.35	40.48	217	l87c	
g75b	49.92	-17.29	-36.02	39.96	244	c20v	
b00r	40.91	1.28	-42.35	42.37	272	c53v	
b25r	26.81	30.38	-52.26	60.45	300	c87v	
b50r	32.52	69.06	-42.14	80.9	329	v68m	
b75r	39.48	71.47	-3.69	71.57	357	m34o	

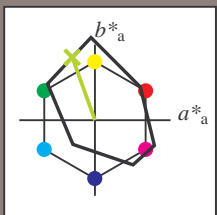
Dreiecks-Helligkeit i^*
 %Umfang
 $u^*_{rel} = 109$
 %Regularität
 $g^*_{H,rel} = 31$
 $g^*_{C,rel} = 40$



Siehe ähnliche Dateien: <http://www.ps.bam.de/Fg64/>; www.ps.bam.de/Fg64/Version 2.1, io=1,1, ColSpx=0
 Technische Information: <http://www.ps.bam.de>

BAM-Registrierung: 20081001-Fg64/10L/L64g00NP.PDF/.PS BAM-Material: Code=rh4ta
 Anwendung für Beurteilung und Messung von Drucker- oder Monitorssystemen

Ein und Ausgabe: Farbmetrisches Drucker-Reflektiv-System FRS12_95a, L*=12_95 für relativen CIELAB-Buntton $h^* = lab^*h^* = h_{ab}/360 = 0.305$ $u^*_e = j25g$
 Daten für jede Farbe: lab^*tch^* und lab^*icu^*
Bunttontexte: $u^*_e = j25g$ $u^*_d = y34l$
Kontrastreduzierungsfaktor: $c_R = 1.0$
Dreiecks-Helligkeit i^*



FRS12_95a; adaptierte CIELAB-Daten

	u^*_e	$L^*=L^*_a$	a^*_a	b^*_a	$C^*_{ab,a}$	$h^*_{ab,a}$
O _{Ma}	38.06	60.0	44.0	74.4	36	
Y _{Ma}	86.77	-5.17	109.32	109.44	93	
L _{Ma}	47.13	-62.67	48.24	79.09	142	
C _{Ma}	55.66	-29.14	-31.99	43.27	228	
V _{Ma}	17.15	50.3	-59.04	77.57	310	
M _{Ma}	40.37	78.64	-33.5	85.48	337	
N _{Ma}	11.58	0.0	0.0	0.0	0	
W _{Ma}	95.02	0.0	0.0	0.0	0	
R _{Ma}	39.92	58.74	27.99	65.07	25	
J _{Ma}	81.26	-2.89	71.56	71.62	92	
G _{Ma}	52.23	-42.42	13.6	44.55	162	
B _{Ma}	30.57	1.41	-46.47	46.49	272	

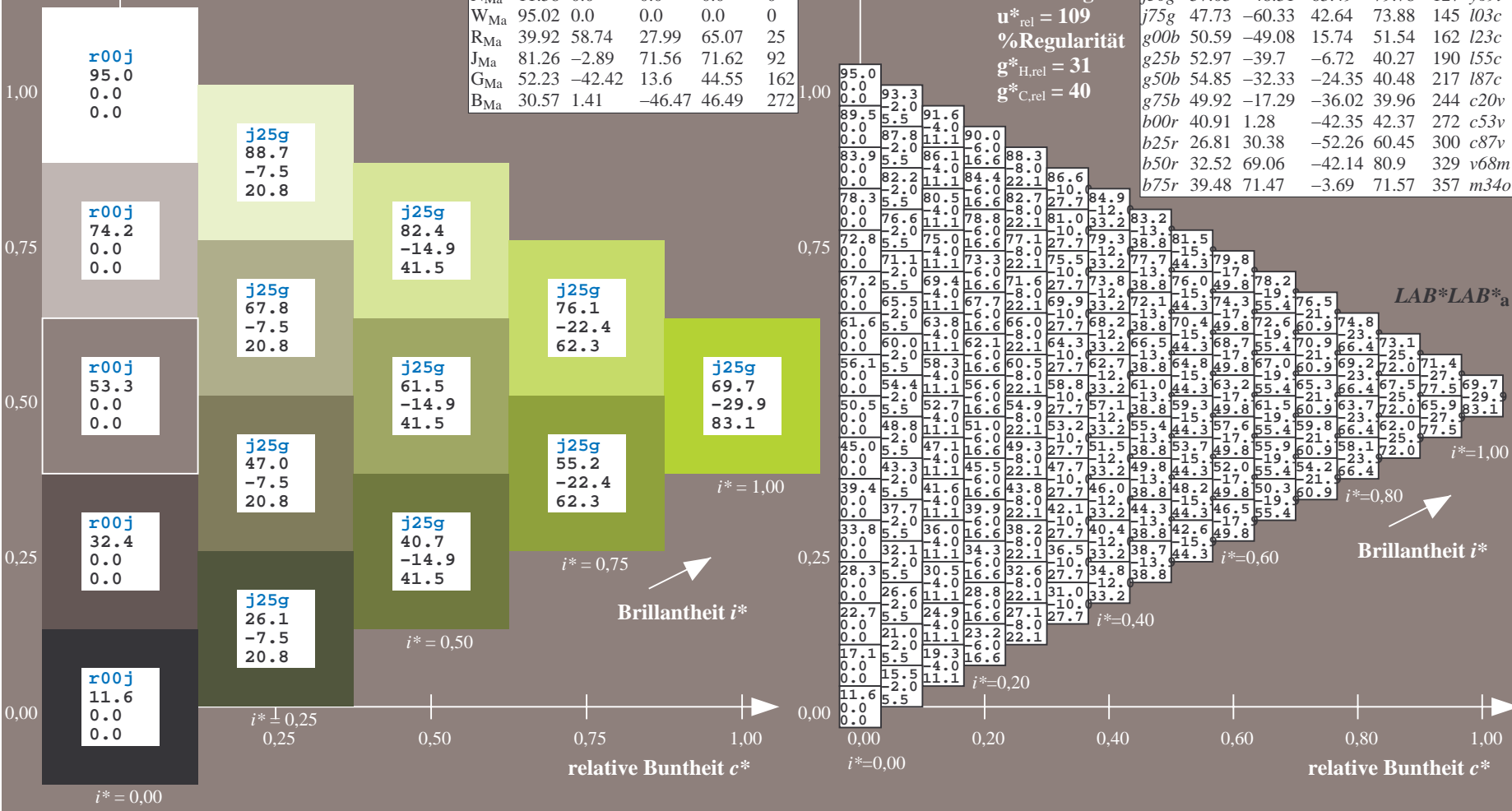
Daten für Maximalfarbe (Ma):

$LAB^*LAB^*_Ma: 70 -30 83$
 $LAB^*LCH^*_Ma: 70 88 109$
 $lab^*rgb^*_Ma: 0.75 1.0 0.0$
 $lab^*olv^*_Ma: 0.66 1.0 0.0$

FRS12_95a; adaptierte CIELAB-Daten

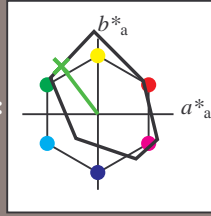
	u^*_e	$L^*=L^*_a$	a^*_a	b^*_a	$C^*_{ab,a}$	$h^*_{ab,a}$	u^*_d
r00j	38.47	63.32	30.17	70.15	25	m81o	
r25j	42.12	54.56	49.45	73.64	42	o10y	
r50j	53.64	39.15	64.89	75.79	59	o40y	
r75j	67.01	21.26	82.83	85.52	76	o69y	
j00g	86.18	-4.38	108.53	108.62	92	o98y	
j25g	69.73	-29.89	83.06	88.28	110	y34l	
j50g	57.03	-48.31	63.49	79.78	127	y69l	
j75g	47.73	-60.33	42.64	73.88	145	l03c	
g00b	50.59	-49.08	15.74	51.54	162	l23c	
g25b	52.97	-39.7	-6.72	40.27	190	l55c	
g50b	54.85	-32.33	-24.35	40.48	217	l87c	
g75b	49.92	-17.29	-36.02	39.96	244	c20c	
b00r	40.91	1.28	-42.35	42.37	272	c53v	
b25r	26.81	30.38	-52.26	60.45	300	c87v	
b50r	32.52	69.06	-42.14	80.9	329	v68m	
b75r	39.48	71.47	-3.69	71.57	357	m34o	

Dreiecks-Helligkeit i^*
 %Umfang $u^*_{rel} = 109$
 %Regularität $g^*_{H,rel} = 31$
 $g^*_{C,rel} = 40$



Ein und Ausgabe: Farbmetrisches Drucker-Reflektiv-System FRS12_95a, L*=12_95 für relativen CIELAB-Buntton $h^* = lab^*h^* = h_{ab}/360 = 0.354$ $u^*_e = j50g$
 Daten für jede Farbe: lab^*tch^* und lab^*icu^* $LAB^*LAB^*_a$

Bunttontexte:
 $u^*_e = j50g$ $u^*_d = y69l$
 Kontrastreduzierungsfaktor:
 $c_R = 1.0$
 Dreiecks-Helligkeit t^*



FRS12_95a; adaptierte CIELAB-Daten

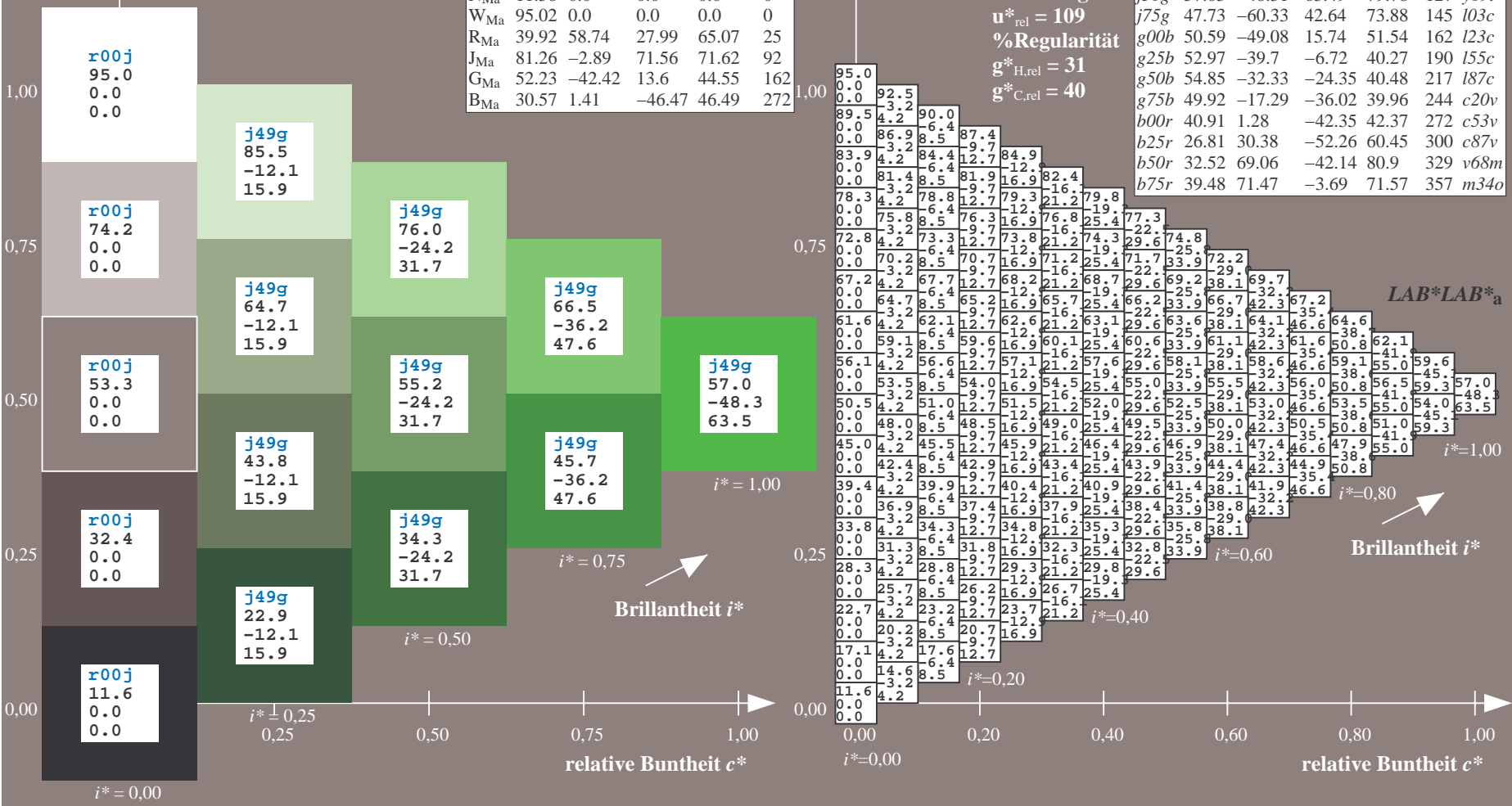
	u^*_e	$L^*=L^*_a$	a^*_a	b^*_a	$C^*_{ab,a}$	$h^*_{ab,a}$
O _{Ma}	38.06	60.0	44.0	74.4	36	
Y _{Ma}	86.77	-5.17	109.32	109.44	93	
L _{Ma}	47.13	-62.67	48.24	79.09	142	
C _{Ma}	55.66	-29.14	-31.99	43.27	228	
V _{Ma}	17.15	50.3	-59.04	77.57	310	
M _{Ma}	40.37	78.64	-33.5	85.48	337	
N _{Ma}	11.58	0.0	0.0	0.0	0	
W _{Ma}	95.02	0.0	0.0	0.0	0	
R _{Ma}	39.92	58.74	27.99	65.07	25	
J _{Ma}	81.26	-2.89	71.56	71.62	92	
G _{Ma}	52.23	-42.42	13.6	44.55	162	
B _{Ma}	30.57	1.41	-46.47	46.49	272	

Daten für Maximalfarbe (Ma):
 $LAB^*LAB^*_Ma: 57 -48 63$
 $LAB^*LCH^*_Ma: 57 80 127$
 $lab^*rgb^*_Ma: 0.5 1.0 0.0$
 $lab^*olv^*_Ma: 0.3 1.0 0.0$

FRS12_95a; adaptierte CIELAB-Daten

	u^*_e	$L^*=L^*_a$	a^*_a	b^*_a	$C^*_{ab,a}$	$h^*_{ab,a}$	u^*_d
r00j	38.47	63.32	30.17	70.15	25	m81o	
r25j	42.12	54.56	49.45	73.64	42	o10y	
r50j	53.64	39.15	64.89	75.79	59	o40y	
r75j	67.01	21.26	82.83	85.52	76	o69y	
j00g	86.18	-4.38	108.53	108.62	92	o98y	
j25g	69.73	-29.89	83.06	88.28	110	y34l	
j50g	57.03	-48.31	63.49	79.78	127	y69l	
j75g	47.73	-60.33	42.64	73.88	145	l03c	
g00b	50.59	-49.08	15.74	51.54	162	l23c	
g25b	52.97	-39.7	-6.72	40.27	190	l55c	
g50b	54.85	-32.33	-24.35	40.48	217	l87c	
g75b	49.92	-17.29	-36.02	39.96	244	c20c	
b00r	40.91	1.28	-42.35	42.37	272	c53v	
b25r	26.81	30.38	-52.26	60.45	300	c87v	
b50r	32.52	69.06	-42.14	80.9	329	v68m	
b75r	39.48	71.47	-3.69	71.57	357	m34o	

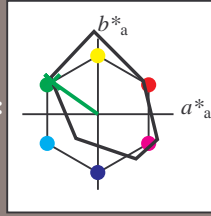
Dreiecks-Helligkeit t^*
 %Umfang
 $u^*_{rel} = 109$
 %Regularität
 $g^*_{H,rel} = 31$
 $g^*_{C,rel} = 40$



Siehe ähnliche Dateien: <http://www.ps.bam.de/Fg64/>; www.ps.bam.de/Version 2.1, io=1,1, ColSpx=0
 Technische Information: <http://www.ps.bam.de>

BAM-Registrierung: 20081001-Fg64/10L/L64g00NP.PDF/.PS BAM-Material: Code=rh4ta
 Anwendung für Beurteilung und Messung von Drucker- oder Monitorssystemen

Ein und Ausgabe: Farbmetrisches Drucker-Reflektiv-System FRS12_95a, L*=12_95 für relative CIELAB-Buntton $h^* = lab^*h^* = h_{ab}/360 = 0.402$ $u^*_e = j75g$
 Daten für jede Farbe:
 lab^*ch^* und lab^*icu^*
 Bunttontexte:
 $u^*_e = j75g$ $u^*_d = i03c$
 Kontrastreduzierungsfaktor:
 $c_R = 1.0$
 Dreiecks-Helligkeit i^*



FRS12_95a; adaptierte CIELAB-Daten

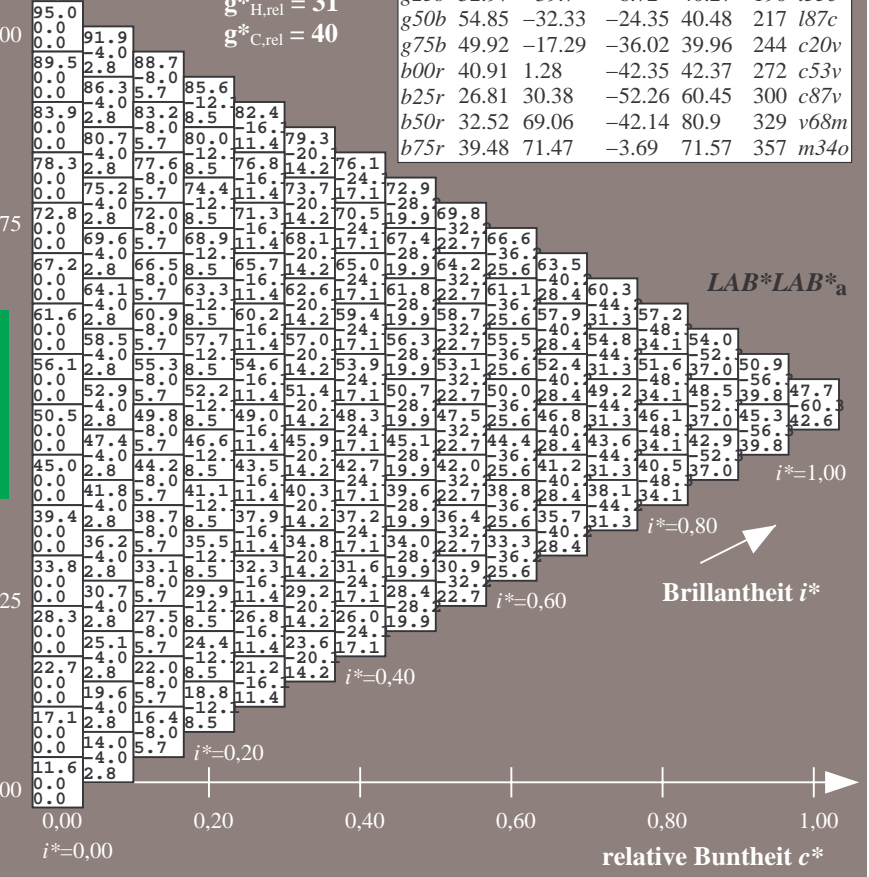
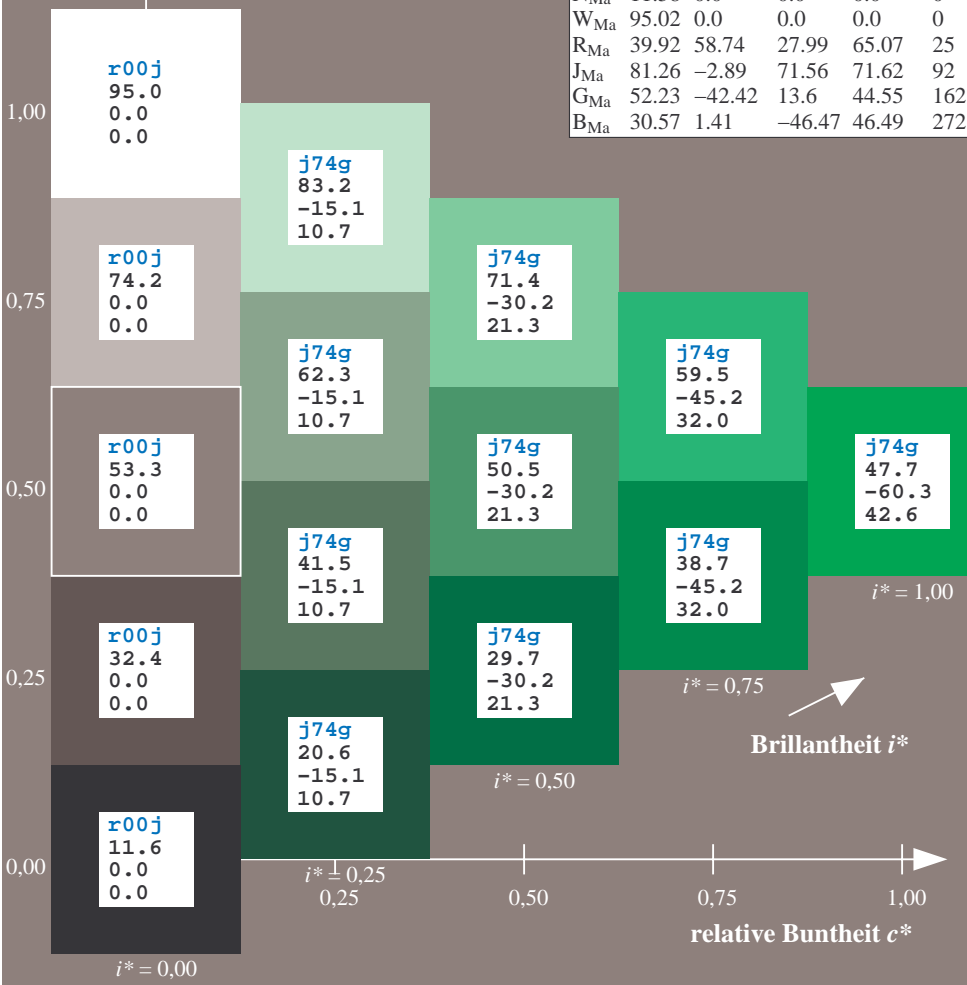
	u^*_e	$L^*=L^*_a$	a^*_a	b^*_a	$C^*_{ab,a}$	$h^*_{ab,a}$
O _{Ma}	38.06	60.0	44.0	74.4	36	
Y _{Ma}	86.77	-5.17	109.32	109.44	93	
L _{Ma}	47.13	-62.67	48.24	79.09	142	
C _{Ma}	55.66	-29.14	-31.99	43.27	228	
V _{Ma}	17.15	50.3	-59.04	77.57	310	
M _{Ma}	40.37	78.64	-33.5	85.48	337	
N _{Ma}	11.58	0.0	0.0	0.0	0	
W _{Ma}	95.02	0.0	0.0	0.0	0	
R _{Ma}	39.92	58.74	27.99	65.07	25	
J _{Ma}	81.26	-2.89	71.56	71.62	92	
G _{Ma}	52.23	-42.42	13.6	44.55	162	
B _{Ma}	30.57	1.41	-46.47	46.49	272	

Daten für Maximalfarbe (Ma):
 $LAB^*LAB^*_Ma: 48 -60 43$
 $LAB^*LCH^*_Ma: 48 74 144$
 $lab^*rgb^*_Ma: 0.25 1.0 0.0$
 $lab^*olv^*_Ma: 0.0 1.0 0.03$
 Dreiecks-Helligkeit i^*

FRS12_95a; adaptierte CIELAB-Daten

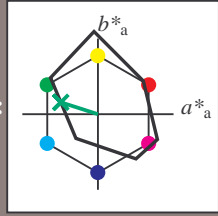
	u^*_e	$L^*=L^*_a$	a^*_a	b^*_a	$C^*_{ab,a}$	$h^*_{ab,a}$	u^*_d
r00j	38.47	63.32	30.17	70.15	25	m81o	
r25j	42.12	54.56	49.45	73.64	42	o10y	
r50j	53.64	39.15	64.89	75.79	59	o40y	
r75j	67.01	21.26	82.83	85.52	76	o69y	
j00g	86.18	-4.38	108.53	108.62	92	o98y	
j25g	69.73	-29.89	83.06	88.28	110	y34l	
j50g	57.03	-48.31	63.49	79.78	127	y69l	
j75g	47.73	-60.33	42.64	73.88	145	i03c	
g00b	50.59	-49.08	15.74	51.54	162	i23c	
g25b	52.97	-39.7	-6.72	40.27	190	i55c	
g50b	54.85	-32.33	-24.35	40.48	217	i87c	
g75b	49.92	-17.29	-36.02	39.96	244	c20c	
b00r	40.91	1.28	-42.35	42.37	272	c53v	
b25r	26.81	30.38	-52.26	60.45	300	c87v	
b50r	32.52	69.06	-42.14	80.9	329	v68m	
b75r	39.48	71.47	-3.69	71.57	357	m34o	

%Umfang
 $u^*_{rel} = 109$
 %Regularität
 $g^*_{H,rel} = 31$
 $g^*_{C,rel} = 40$



BAM-Registrierung: 20081001-Fg64/10L/L64g00NP.PDF/.PS BAM-Material: Code=rh4ta
 Anwendung für Beurteilung und Messung von Drucker- oder Monitorssystemen

Ein und Ausgabe: Farbmetrisches Drucker-Reflektiv-System FRS12_95a, L*=12_95 für relativen CIELAB-Buntton $h^* = lab^*h^* = h_{ab}/360 = 0.451$ $u^*_e = g00b$
 Daten für jede Farbe: lab^*tch^* und lab^*icu^*
Bunttontexte: $u^*_e = g00b$ $u^*_d = l23c$
Kontrastreduzierungsfaktor: $c_R = 1.0$
Dreiecks-Helligkeit i^*



FRS12_95a; adaptierte CIELAB-Daten

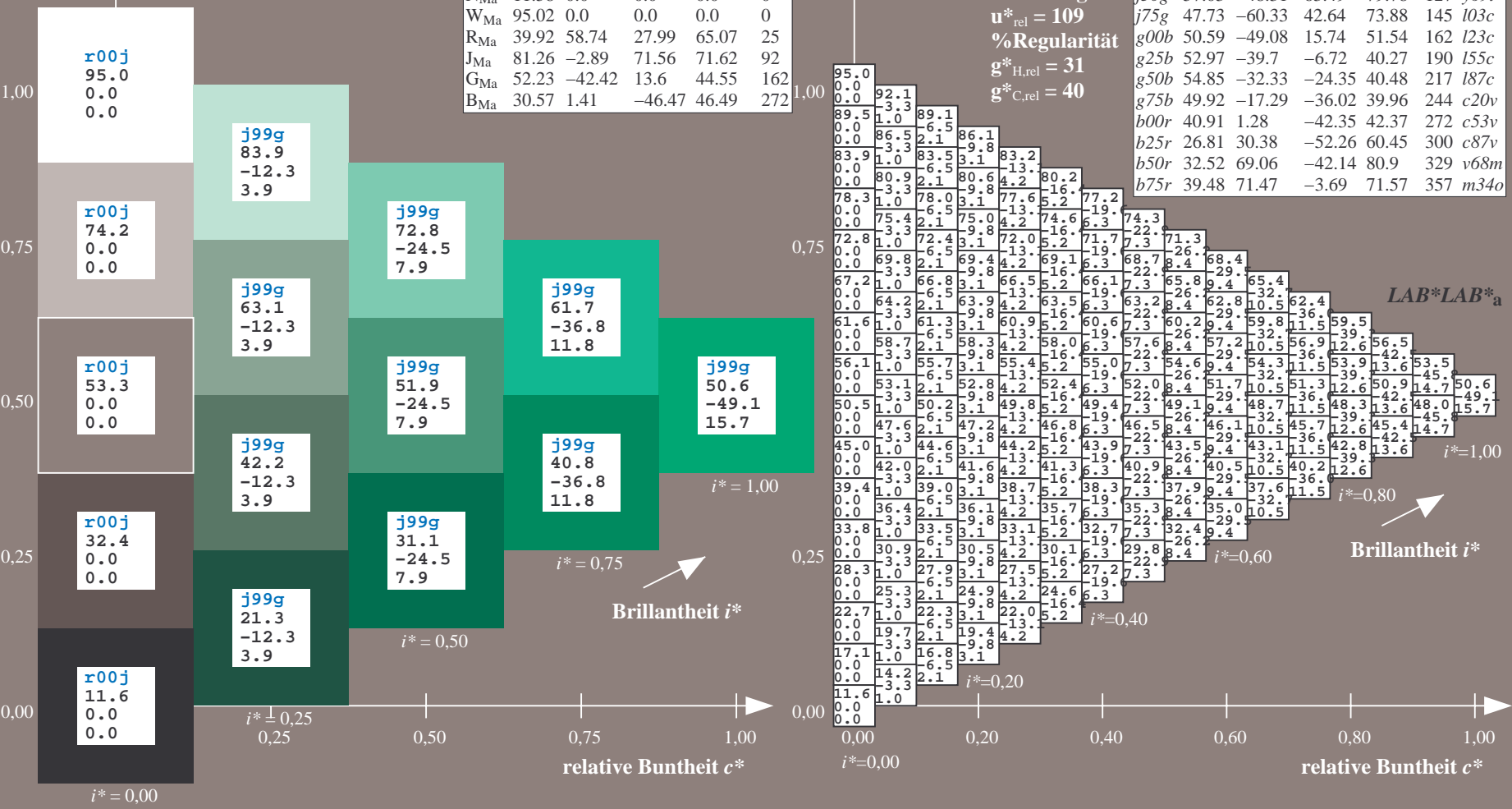
	u^*_e	$L^*=L^*_a$	a^*_a	b^*_a	$C^*_{ab,a}$	$h^*_{ab,a}$
O _{Ma}	38.06	60.0	44.0	74.4	36	
Y _{Ma}	86.77	-5.17	109.32	109.44	93	
L _{Ma}	47.13	-62.67	48.24	79.09	142	
C _{Ma}	55.66	-29.14	-31.99	43.27	228	
V _{Ma}	17.15	50.3	-59.04	77.57	310	
M _{Ma}	40.37	78.64	-33.5	85.48	337	
N _{Ma}	11.58	0.0	0.0	0.0	0	
W _{Ma}	95.02	0.0	0.0	0.0	0	
R _{Ma}	39.92	58.74	27.99	65.07	25	
J _{Ma}	81.26	-2.89	71.56	71.62	92	
G _{Ma}	52.23	-42.42	13.6	44.55	162	
B _{Ma}	30.57	1.41	-46.47	46.49	272	

Daten für Maximalfarbe (Ma):
 $LAB^*LAB^*_Ma: 51 -49 16$
 $LAB^*LCH^*_Ma: 51 52 162$
 $lab^*rgb^*_Ma: 0.0 1.0 0.0$
 $lab^*olv^*_Ma: 0.0 1.0 0.23$

FRS12_95a; adaptierte CIELAB-Daten

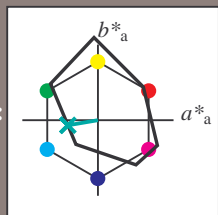
	u^*_e	$L^*=L^*_a$	a^*_a	b^*_a	$C^*_{ab,a}$	$h^*_{ab,a}$	u^*_d
r00j	38.47	63.32	30.17	70.15	25	m81o	
r25j	42.12	54.56	49.45	73.64	42	o10y	
r50j	53.64	39.15	64.89	75.79	59	o40y	
r75j	67.01	21.26	82.83	85.52	76	o69y	
j00g	86.18	-4.38	108.53	108.62	92	o98y	
j25g	69.73	-29.89	83.06	88.28	110	y34l	
j50g	57.03	-48.31	63.49	79.78	127	y69l	
j75g	47.73	-60.33	42.64	73.88	145	l03c	
g00b	50.59	-49.08	15.74	51.54	162	l23c	
g25b	52.97	-39.7	-6.72	40.27	190	l55c	
g50b	54.85	-32.33	-24.35	40.48	217	l87c	
g75b	49.92	-17.29	-36.02	39.96	244	c20c	
b00r	40.91	1.28	-42.35	42.37	272	c53v	
b25r	26.81	30.38	-52.26	60.45	300	c87v	
b50r	32.52	69.06	-42.14	80.9	329	v68m	
b75r	39.48	71.47	-3.69	71.57	357	m34o	

Dreiecks-Helligkeit i^*
 %Umfang $u^*_{rel} = 109$
 %Regularität $g^*_{H,rel} = 31$
 $g^*_{C,rel} = 40$



BAM-Registrierung: 20081001-Fg64/10L/L64g00NP.PDF/.PS BAM-Material: Code=rhatha
 Anwendung für Beurteilung und Messung von Drucker- oder Monitorssystemen

Ein und Ausgabe: Farbmetrisches Drucker-Reflektiv-System FRS12_95a, L*=12_95 für relativen CIELAB-Buntton $h^* = lab^*h^* = h_{ab}/360 = 0.527$ $u^*_e = g25b$
 Daten für jede Farbe:
 lab^*tch^* und lab^*icu^*
 $u^*_e = g25b$ $u^*_d = l55c$
 Kontrastreduzierungsfaktor:
 $c_R = 1.0$
 Dreiecks-Helligkeit i^*



FRS12_95a; adaptierte CIELAB-Daten

	u^*_e	$L^*=L^*_a$	a^*_a	b^*_a	$C^*_{ab,a}$	$h^*_{ab,a}$
O _{Ma}	38.06	60.0	44.0	74.4	36	
Y _{Ma}	86.77	-5.17	109.32	109.44	93	
L _{Ma}	47.13	-62.67	48.24	79.09	142	
C _{Ma}	55.66	-29.14	-31.99	43.27	228	
V _{Ma}	17.15	50.3	-59.04	77.57	310	
M _{Ma}	40.37	78.64	-33.5	85.48	337	
N _{Ma}	11.58	0.0	0.0	0.0	0	
W _{Ma}	95.02	0.0	0.0	0.0	0	
R _{Ma}	39.92	58.74	27.99	65.07	25	
J _{Ma}	81.26	-2.89	71.56	71.62	92	
G _{Ma}	52.23	-42.42	13.6	44.55	162	
B _{Ma}	30.57	1.41	-46.47	46.49	272	

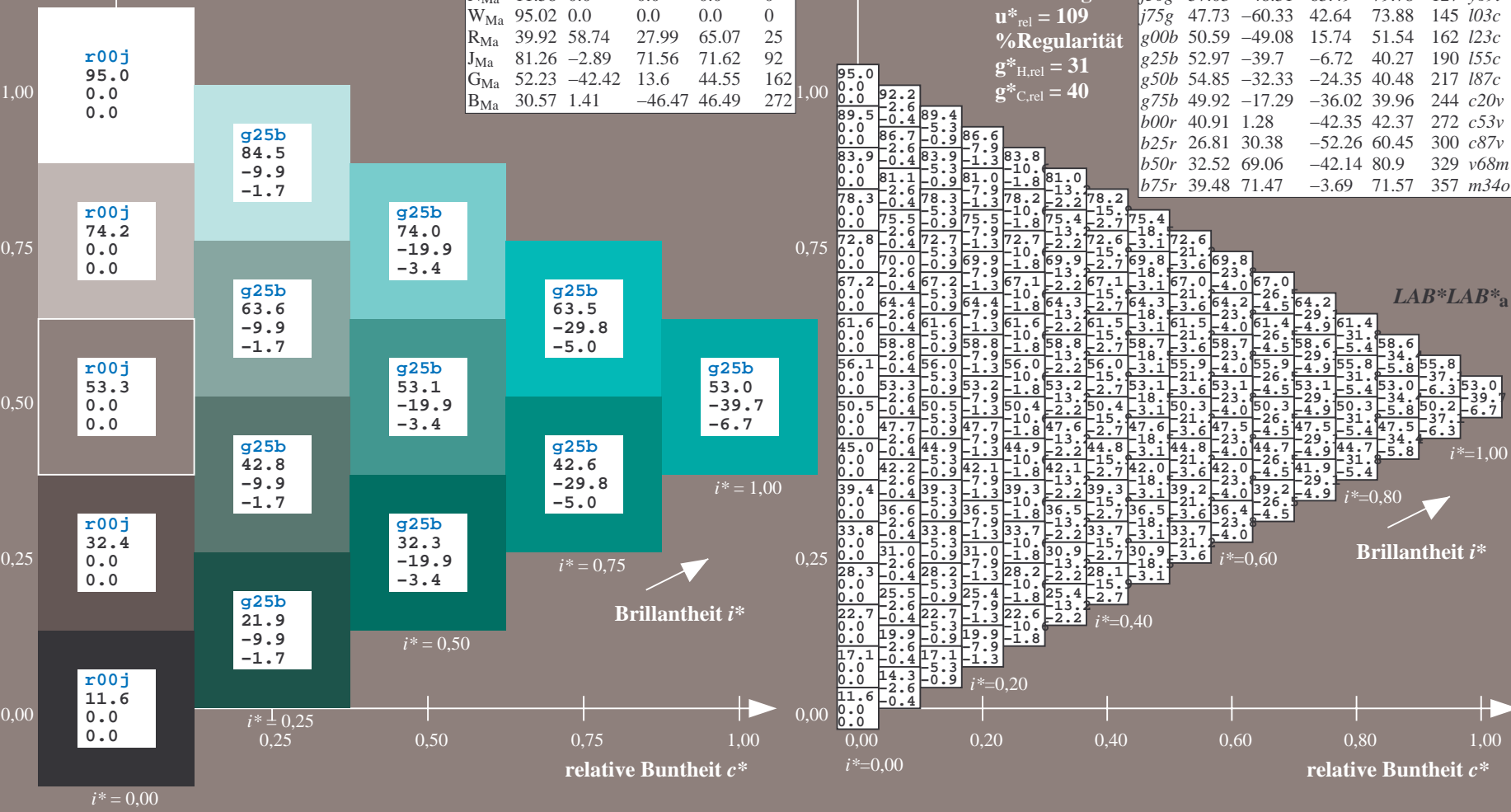
Daten für Maximalfarbe (Ma):

$LAB^*LAB^*_Ma$: 53 -40 -7
 $LAB^*LCH^*_Ma$: 53 40 189
 $lab^*rgb^*_Ma$: 0.0 1.0 0.5
 $lab^*olv^*_Ma$: 0.0 1.0 0.55

FRS12_95a; adaptierte CIELAB-Daten

	u^*_e	$L^*=L^*_a$	a^*_a	b^*_a	$C^*_{ab,a}$	$h^*_{ab,a}$	u^*_d
r00j	38.47	63.32	30.17	70.15	25	m81o	
r25j	42.12	54.56	49.45	73.64	42	o10y	
r50j	53.64	39.15	64.89	75.79	59	o40y	
r75j	67.01	21.26	82.83	85.52	76	o69y	
j00g	86.18	-4.38	108.53	108.62	92	o98y	
j25g	69.73	-29.89	83.06	88.28	110	y34l	
j50g	57.03	-48.31	63.49	79.78	127	y69l	
j75g	47.73	-60.33	42.64	73.88	145	l03c	
g00b	50.59	-49.08	15.74	51.54	162	l23c	
g25b	52.97	-39.7	-6.72	40.27	190	l55c	
g50b	54.85	-32.33	-24.35	40.48	217	l87c	
g75b	49.92	-17.29	-36.02	39.96	244	c20c	
b00r	40.91	1.28	-42.35	42.37	272	c53v	
b25r	26.81	30.38	-52.26	60.45	300	c87v	
b50r	32.52	69.06	-42.14	80.9	329	v68m	
b75r	39.48	71.47	-3.69	71.57	357	m34o	

Dreiecks-Helligkeit i^*
 %Umfang
 $u^*_{rel} = 109$
 %Regularität
 $g^*_{H,rel} = 31$
 $g^*_{C,rel} = 40$

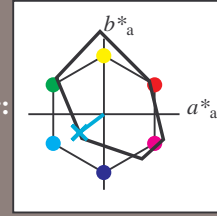


Siehe ähnliche Dateien: <http://www.ps.bam.de/Fg64/>; www.ps.bam.de/Version 2.1, io=1,1, ColSp=0
 Technische Information: <http://www.ps.bam.de>

BAM-Registrierung: 20081001-Fg64/10L/L64g00NP.PDF/.PS BAM-Material: Code=rhatha
 Anwendung für Beurteilung und Messung von Drucker- oder Monitorssystemen

Ein und Ausgabe: Farbmetrisches Drucker-Reflektiv-System FRS12_95a, L*=12_95 für relativen CIELAB-Buntton $h^* = lab^*h^* = h_{ab}^*/360 = 0.603$ $u^*_e = g50b$
 Daten für jede Farbe: lab^*tch^* und lab^*icu^* **LAB*LAB*_a**

Bunttontexte:
 $u^*_e = g50b$ $u^*_d = 187c$
 Kontrastreduzierungsfaktor:
 $c_R = 1.0$
 Dreiecks-Helligkeit i^*



FRS12_95a; adaptierte CIELAB-Daten

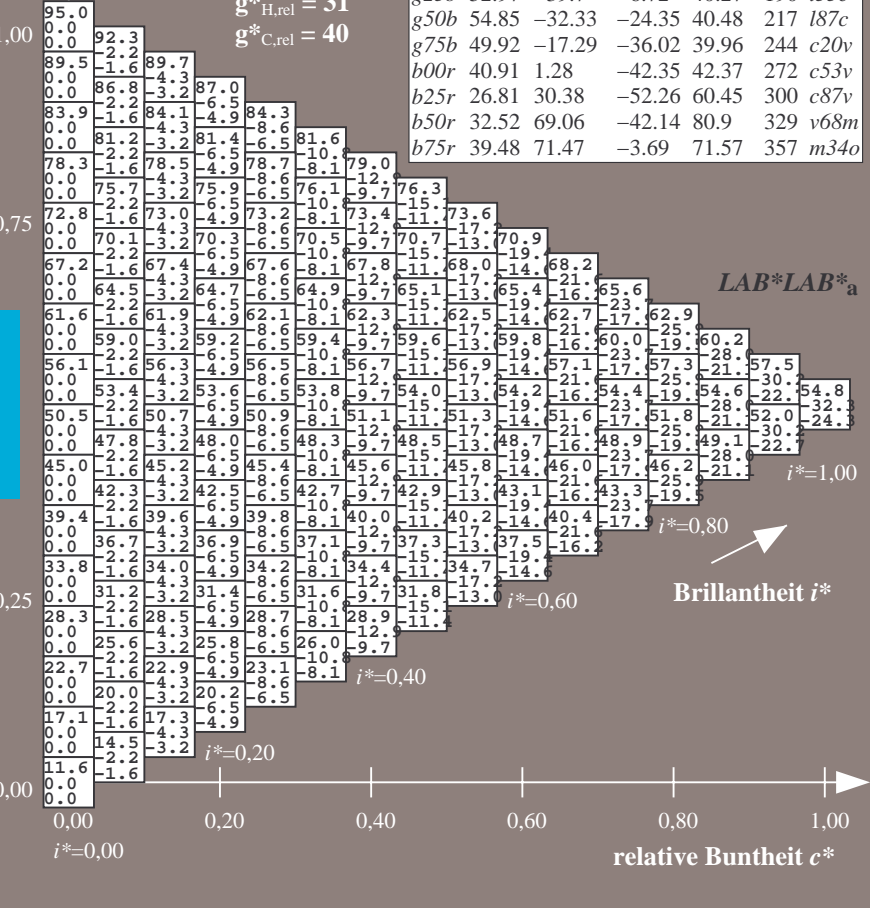
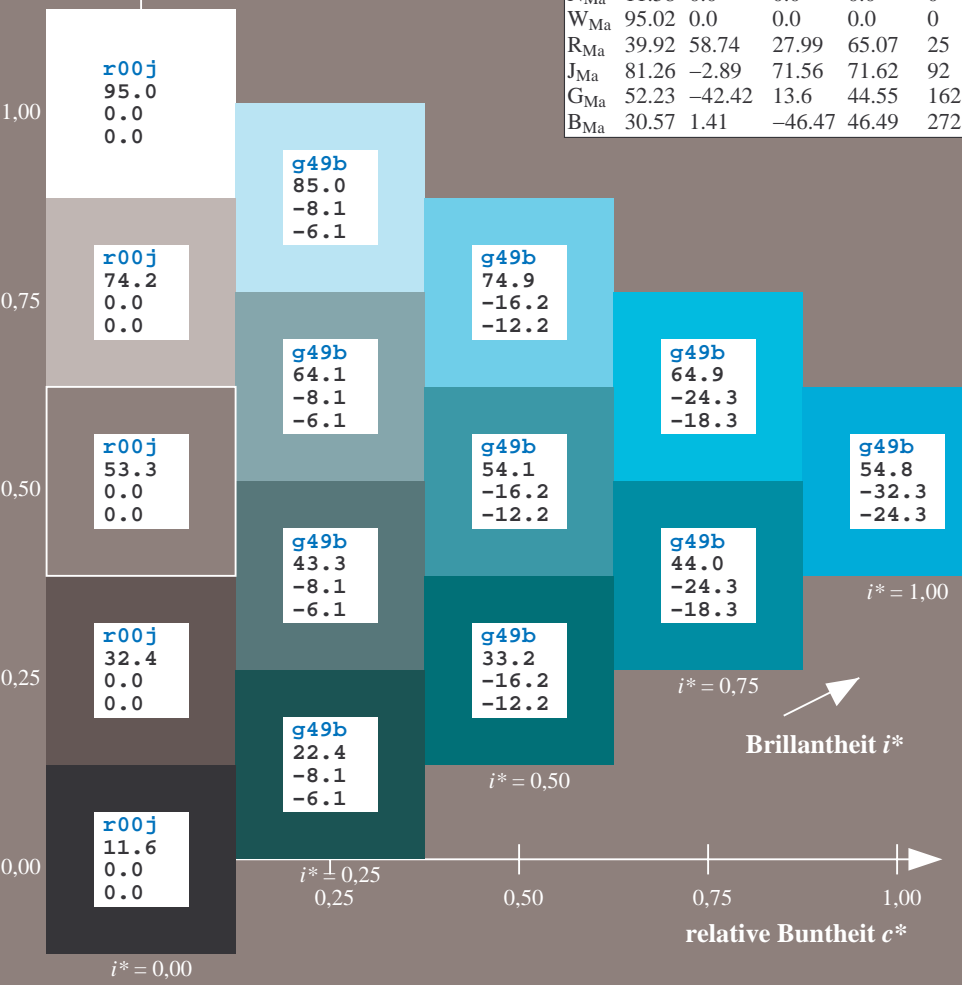
	u^*_e	$L^*=L^*_a$	a^*_a	b^*_a	$C^*_{ab,a}$	$h^*_{ab,a}$
O _{Ma}	38.06	60.0	44.0	74.4	36	
Y _{Ma}	86.77	-5.17	109.32	109.44	93	
L _{Ma}	47.13	-62.67	48.24	79.09	142	
C _{Ma}	55.66	-29.14	-31.99	43.27	228	
V _{Ma}	17.15	50.3	-59.04	77.57	310	
M _{Ma}	40.37	78.64	-33.5	85.48	337	
N _{Ma}	11.58	0.0	0.0	0.0	0	
W _{Ma}	95.02	0.0	0.0	0.0	0	
R _{Ma}	39.92	58.74	27.99	65.07	25	
J _{Ma}	81.26	-2.89	71.56	71.62	92	
G _{Ma}	52.23	-42.42	13.6	44.55	162	
B _{Ma}	30.57	1.41	-46.47	46.49	272	

Daten für Maximalfarbe (Ma):
 $LAB^*LAB^*_Ma: 55 -32 -24$
 $LAB^*LCH^*_Ma: 55 40 216$
 $lab^*rgb^*_Ma: 0.0 1.0 1.0$
 $lab^*olv^*_Ma: 0.0 1.0 0.87$

FRS12_95a; adaptierte CIELAB-Daten

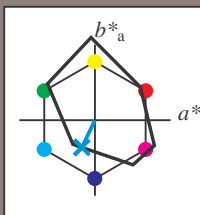
	u^*_e	$L^*=L^*_a$	a^*_a	b^*_a	$C^*_{ab,a}$	$h^*_{ab,a}$	u^*_d
r00j	38.47	63.32	30.17	70.15	25	m81o	
r25j	42.12	54.56	49.45	73.64	42	o10y	
r50j	53.64	39.15	64.89	75.79	59	o40y	
r75j	67.01	21.26	82.83	85.52	76	o69y	
j00g	86.18	-4.38	108.53	108.62	92	o98y	
j25g	69.73	-29.89	83.06	88.28	110	y34l	
j50g	57.03	-48.31	63.49	79.78	127	y69l	
j75g	47.73	-60.33	42.64	73.88	145	l03c	
g00b	50.59	-49.08	15.74	51.54	162	l23c	
g25b	52.97	-39.7	-6.72	40.27	190	l55c	
g50b	54.85	-32.33	-24.35	40.48	217	l87c	
g75b	49.92	-17.29	-36.02	39.96	244	c20v	
b00r	40.91	1.28	-42.35	42.37	272	c53v	
b25r	26.81	30.38	-52.26	60.45	300	c87v	
b50r	32.52	69.06	-42.14	80.9	329	v68m	
b75r	39.48	71.47	-3.69	71.57	357	m34o	

Dreiecks-Helligkeit i^*
 %Umfang
 $u^*_{rel} = 109$
 %Regularität
 $g^*_{H,rel} = 31$
 $g^*_{C,rel} = 40$



BAM-Registrierung: 20081001-Fg64/10L/L64g00NP.PDF/.PS BAM-Material: Code=rhatha
 Anwendung für Beurteilung und Messung von Drucker- oder Monitorssystemen

Ein und Ausgabe: Farbmetrisches Drucker-Reflektiv-System FRS12_95a, L*=12_95 für relative CIELAB-Buntton $h^* = lab^*h^* = h_{ab}/360 = 0.679$ $u^*_e = g75b$
 Daten für jede Farbe: lab^*ch^* und lab^*icu^*
Bunttontexte:
 $u^*_e = g75b$ $u^*_d = c20v$
Kontrastreduzierungsfaktor:
 $c_R = 1.0$
Dreiecks-Helligkeit i^*



FRS12_95a; adaptierte CIELAB-Daten

	u^*_e	$L^*=L^*_a$	a^*_a	b^*_a	$C^*_{ab,a}$	$h^*_{ab,a}$
O _{Ma}	38.06	60.0	44.0	74.4	36	
Y _{Ma}	86.77	-5.17	109.32	109.44	93	
L _{Ma}	47.13	-62.67	48.24	79.09	142	
C _{Ma}	55.66	-29.14	-31.99	43.27	228	
V _{Ma}	17.15	50.3	-59.04	77.57	310	
M _{Ma}	40.37	78.64	-33.5	85.48	337	
N _{Ma}	11.58	0.0	0.0	0.0	0	
W _{Ma}	95.02	0.0	0.0	0.0	0	
R _{Ma}	39.92	58.74	27.99	65.07	25	
J _{Ma}	81.26	-2.89	71.56	71.62	92	
G _{Ma}	52.23	-42.42	13.6	44.55	162	
B _{Ma}	30.57	1.41	-46.47	46.49	272	

Daten für Maximalfarbe (Ma):

$LAB^*LAB^*_Ma: 50 -17 -36$

$LAB^*LCH^*_Ma: 50 40 244$

$lab^*rgb^*_Ma: 0.0 0.5 1.0$

$lab^*olv^*_Ma: 0.0 0.8 1.0$

Dreiecks-Helligkeit i^*

%Umfang

$u^*_{rel} = 109$

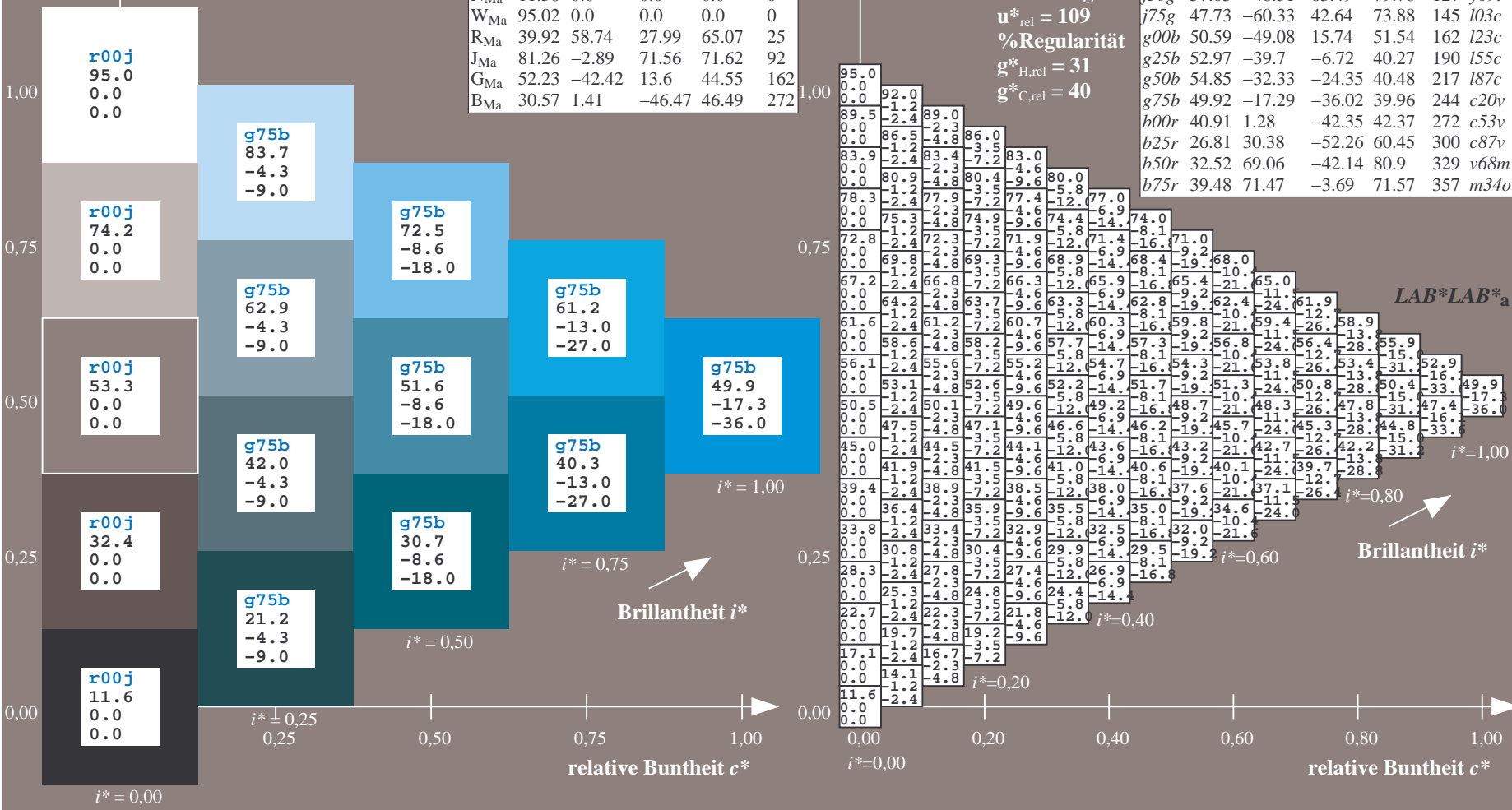
%Regularität

$g^*_{H,rel} = 31$

$g^*_{C,rel} = 40$

FRS12_95a; adaptierte CIELAB-Daten

	u^*_e	$L^*=L^*_a$	a^*_a	b^*_a	$C^*_{ab,a}$	$h^*_{ab,a}$	u^*_d
r00j	38.47	63.32	30.17	70.15	25	m81o	
r25j	42.12	54.56	49.45	73.64	42	o10y	
r50j	53.64	39.15	64.89	75.79	59	o40y	
r75j	67.01	21.26	82.83	85.52	76	o69y	
j00g	86.18	-4.38	108.53	108.62	92	o98y	
j25g	69.73	-29.89	83.06	88.28	110	y34l	
j50g	57.03	-48.31	63.49	79.78	127	y69l	
j75g	47.73	-60.33	42.64	73.88	145	l03c	
g00b	50.59	-49.08	15.74	51.54	162	l23c	
g25b	52.97	-39.7	-6.72	40.27	190	l55c	
g50b	54.85	-32.33	-24.35	40.48	217	l87c	
g75b	49.92	-1.29	-36.02	39.96	244	c20v	
b00r	40.91	1.78	-42.35	42.37	272	c53v	
b25r	26.81	30.38	-52.26	60.45	300	c87v	
b50r	32.52	69.06	-42.14	80.9	329	v68m	
b75r	39.48	71.47	-3.69	71.57	357	m34o	



Ein und Ausgabe: Farbmetrisches Drucker-Reflektiv-System FRS12_95a, L*=12_95 für relativen CIELAB-Buntton $h^* = lab^*h^* = h_{ab}/360 = 0.755$ $u^*_e = b00r$

Daten für jede Farbe:

lab^*ch^* und lab^*icu^*

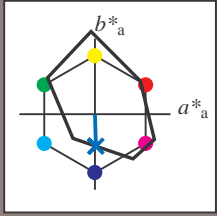
Bunttontexte:

$u^*_e = b00r$ $u^*_d = c53v$

Kontrastreduzierungsfaktor:

$c_R = 1.0$

Dreiecks-Helligkeit i^*



FRS12_95a; adaptierte CIELAB-Daten

	u^*_e	$L^*=L^*_a$	a^*_a	b^*_a	$C^*_{ab,a}$	$h^*_{ab,a}$
O _{Ma}	38.06	60.0	44.0	74.4	36	
Y _{Ma}	86.77	-5.17	109.32	109.44	93	
L _{Ma}	47.13	-62.67	48.24	79.09	142	
C _{Ma}	55.66	-29.14	-31.99	43.27	228	
V _{Ma}	17.15	50.3	-59.04	77.57	310	
M _{Ma}	40.37	78.64	-33.5	85.48	337	
N _{Ma}	11.58	0.0	0.0	0.0	0	
W _{Ma}	95.02	0.0	0.0	0.0	0	
R _{Ma}	39.92	58.74	27.99	65.07	25	
J _{Ma}	81.26	-2.89	71.56	71.62	92	
G _{Ma}	52.23	-42.42	13.6	44.55	162	
B _{Ma}	30.57	1.41	-46.47	46.49	272	

Daten für Maximalfarbe (Ma):

$LAB^*LAB^*_Ma$: 41 1 -42

$LAB^*LCH^*_Ma$: 41 42 271

$lab^*rgb^*_Ma$: 0.0 0.0 1.0

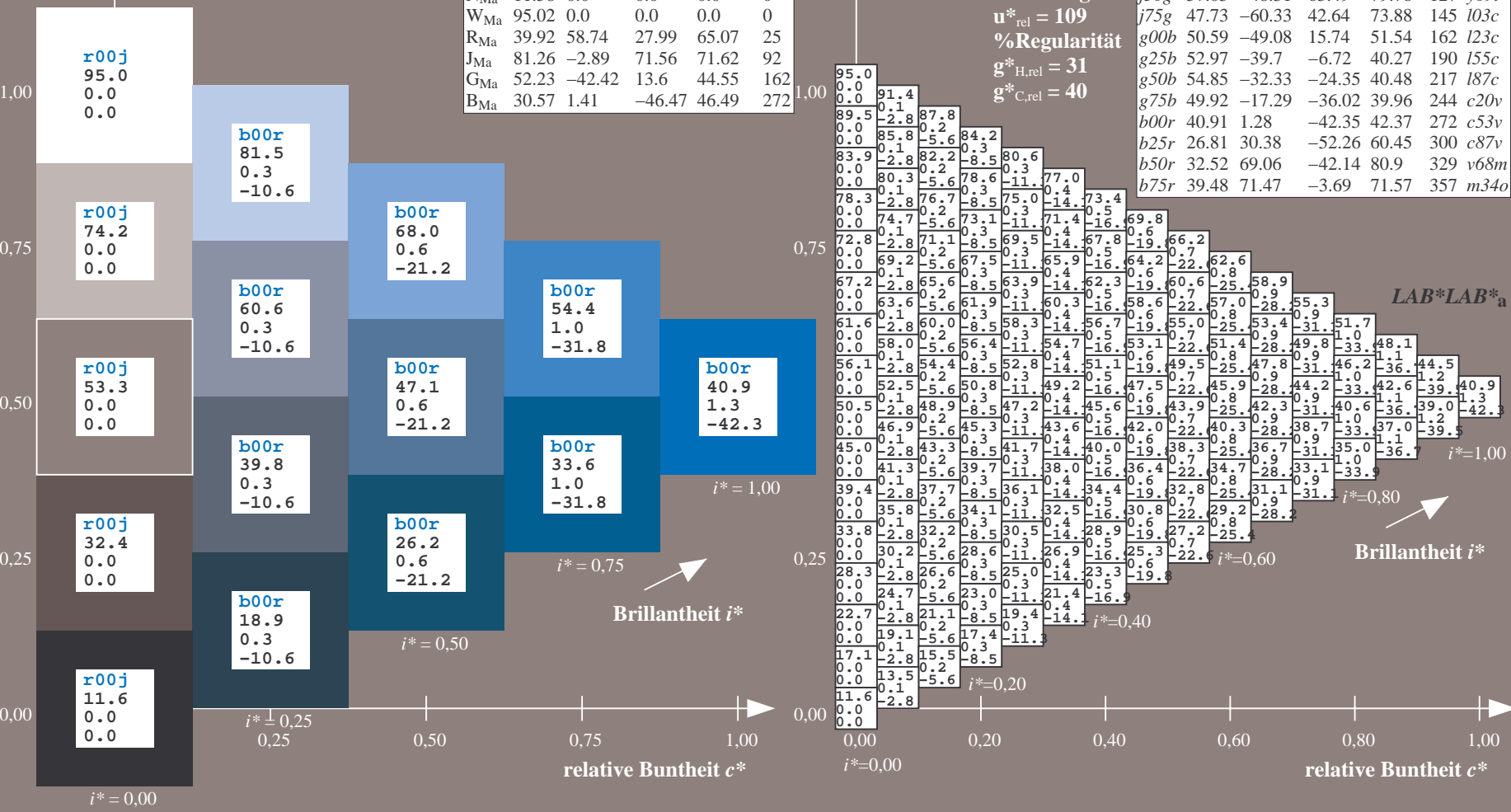
$lab^*olv^*_Ma$: 0.0 0.47 1.0

Dreiecks-Helligkeit i^*

%Umfang
 $u^*_{rel} = 109$
 %Regularität
 $g^*_{H,rel} = 31$
 $g^*_{C,rel} = 40$

FRS12_95a; adaptierte CIELAB-Daten

	u^*_e	$L^*=L^*_a$	a^*_a	b^*_a	$C^*_{ab,a}$	$h^*_{ab,a}$	u^*_d
r00j	38.47	63.32	30.17	70.15	25	m81o	
r25j	42.12	54.56	49.45	73.64	42	o10y	
r50j	53.64	39.15	64.89	75.79	59	o40y	
r75j	67.01	21.26	82.83	85.52	76	o69y	
j00g	86.18	-4.38	108.53	108.62	92	o98y	
j25g	69.73	-29.89	83.06	88.28	110	y34l	
j50g	57.03	-48.31	63.49	79.78	127	y69l	
j75g	47.73	-60.33	42.64	73.88	145	l03c	
g00b	50.59	-49.08	15.74	51.54	162	l23c	
g25b	52.97	-39.7	-6.72	40.27	190	l55c	
g50b	54.85	-32.33	-24.35	40.48	217	l87c	
g75b	49.92	-17.29	-36.02	39.96	244	c20c	
b00r	40.91	1.28	-42.35	42.37	272	c53v	
b25r	26.81	30.38	-52.26	60.45	300	c87v	
b50r	32.52	69.06	-42.14	80.9	329	v68m	
b75r	39.48	71.47	-3.69	71.57	357	m34o	



BAM-Registrierung: 20081001-Fg64/10L/L64g00NP.PDF/.PS BAM-Material: Code=rhatha
 Anwendung für Beurteilung und Messung von Drucker- oder Monitorssystemen

Ein und Ausgabe: Farbmetrisches Drucker-Reflektiv-System FRS12_95a, L*=12_95 für relative CIELAB-Buntton $h^* = lab^*h^* = h_{ab}/360 = 0.834$ $u^*_e = b25r$

Daten für jede Farbe:

lab^*ch^* und lab^*icu^*

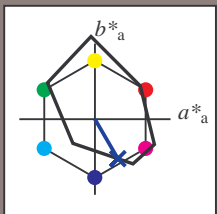
Bunttontexte:

$u^*_e = b25r$ $u^*_d = c87v$

Kontrastreduzierungsfaktor:

$c_R = 1.0$

Dreiecks-Helligkeit i^*



FRS12_95a; adaptierte CIELAB-Daten

	u^*_e	$L^*=L^*_a$	a^*_a	b^*_a	$C^*_{ab,a}$	$h^*_{ab,a}$
O _{Ma}	38.06	60.0	44.0	74.4	36	
Y _{Ma}	86.77	-5.17	109.32	109.44	93	
L _{Ma}	47.13	-62.67	48.24	79.09	142	
C _{Ma}	55.66	-29.14	-31.99	43.27	228	
V _{Ma}	17.15	50.3	-59.04	77.57	310	
M _{Ma}	40.37	78.64	-33.5	85.48	337	
N _{Ma}	11.58	0.0	0.0	0.0	0	
W _{Ma}	95.02	0.0	0.0	0.0	0	
R _{Ma}	39.92	58.74	27.99	65.07	25	
J _{Ma}	81.26	-2.89	71.56	71.62	92	
G _{Ma}	52.23	-42.42	13.6	44.55	162	
B _{Ma}	30.57	1.41	-46.47	46.49	272	

Daten für Maximalfarbe (Ma):

$LAB^*LAB^*_Ma: 27\ 30\ -52$

$LAB^*LCH^*_Ma: 27\ 60\ 300$

$lab^*rgb^*_Ma: 0.5\ 0.0\ 1.0$

$lab^*olv^*_Ma: 0.0\ 0.12\ 1.0$

Dreiecks-Helligkeit i^*

%Umfang

$u^*_{rel} = 109$

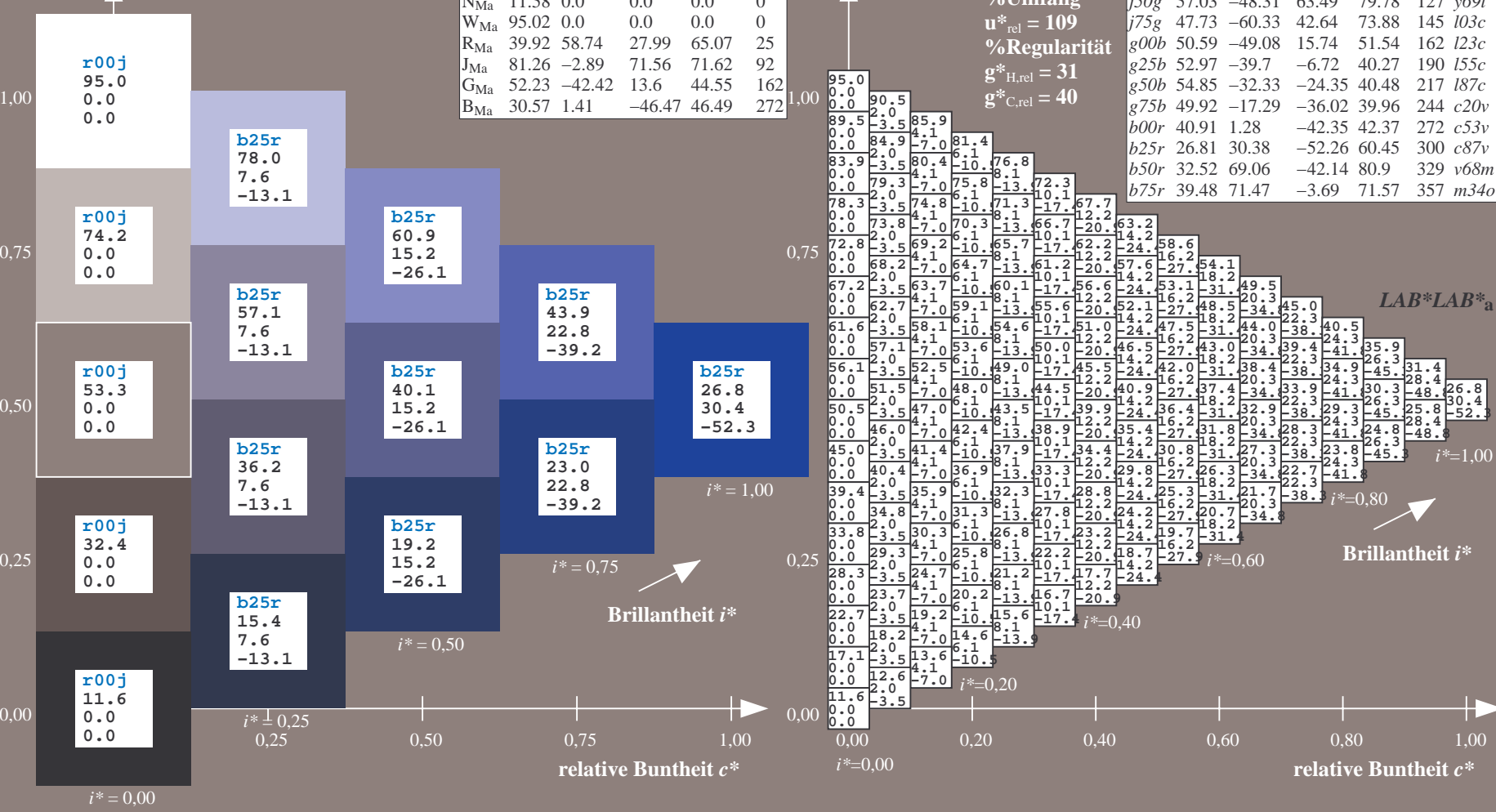
%Regularität

$g^*_{H,rel} = 31$

$g^*_{C,rel} = 40$

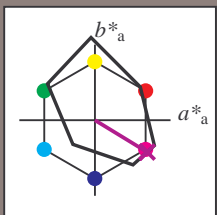
FRS12_95a; adaptierte CIELAB-Daten

	u^*_e	$L^*=L^*_a$	a^*_a	b^*_a	$C^*_{ab,a}$	$h^*_{ab,a}$	u^*_d
r00j	38.47	63.32	30.17	70.15	25	m81o	
r25j	42.12	54.56	49.45	73.64	42	o10y	
r50j	53.64	39.15	64.89	75.79	59	o40y	
r75j	67.01	21.26	82.83	85.52	76	o69y	
j00g	86.18	-4.38	108.53	108.62	92	o98y	
j25g	69.73	-29.89	83.06	88.28	110	y34l	
j50g	57.03	-48.31	63.49	79.78	127	y69l	
j75g	47.73	-60.33	42.64	73.88	145	l03c	
g00b	50.59	-49.08	15.74	51.54	162	l23c	
g25b	52.97	-39.7	-6.72	40.27	190	l55c	
g50b	54.85	-32.33	-24.35	40.48	217	l87c	
g75b	49.92	-17.29	-36.02	39.96	244	c20v	
b00r	40.91	1.28	-42.35	42.37	272	c53v	
b25r	26.81	30.38	-52.26	60.45	300	c87v	
b50r	32.52	69.06	-42.14	80.9	329	v68m	
b75r	39.48	71.47	-3.69	71.57	357	m34o	



Ein und Ausgabe: Farbmetrisches Drucker-Reflektiv-System FRS12_95a, L*=12_95 für relativen CIELAB-Buntton $h^* = lab^*h^* = h_{ab}/360 = 0.913$ $u^*_e = b50r$
 Daten für jede Farbe: lab^*tch^* und lab^*icu^* LAB*LAB*_a

Bunttontexte:
 $u^*_e = b50r$ $u^*_d = v68m$
 Kontrastreduzierungsfaktor:
 $c_R = 1.0$
 Dreiecks-Helligkeit i^*



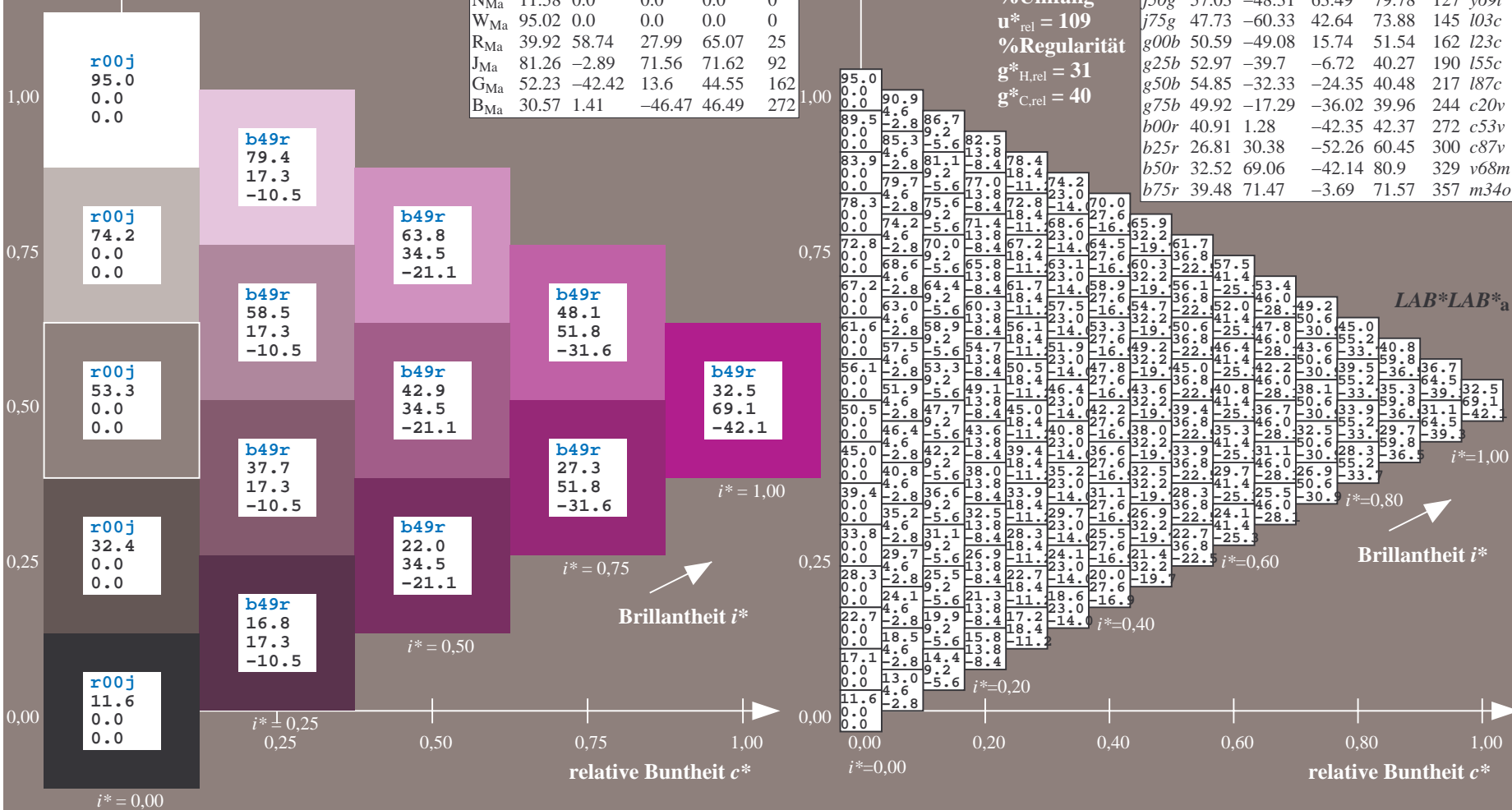
FRS12_95a; adaptierte CIELAB-Daten						
	u^*_e	$L^*=L^*_a$	a^*_a	b^*_a	$C^*_{ab,a}$	$h^*_{ab,a}$
O _{Ma}	38.06	60.0	44.0	74.4	36	
Y _{Ma}	86.77	-5.17	109.32	109.44	93	
L _{Ma}	47.13	-62.67	48.24	79.09	142	
C _{Ma}	55.66	-29.14	-31.99	43.27	228	
V _{Ma}	17.15	50.3	-59.04	77.57	310	
M _{Ma}	40.37	78.64	-33.5	85.48	337	
N _{Ma}	11.58	0.0	0.0	0.0	0	
W _{Ma}	95.02	0.0	0.0	0.0	0	
R _{Ma}	39.92	58.74	27.99	65.07	25	
J _{Ma}	81.26	-2.89	71.56	71.62	92	
G _{Ma}	52.23	-42.42	13.6	44.55	162	
B _{Ma}	30.57	1.41	-46.47	46.49	272	

Daten für Maximalfarbe (Ma):

LAB*LAB*_Ma: 33 69 -42
 LAB*LCH*_Ma: 33 81 328
 lab*rgb*_Ma: 1.0 0.0 1.0
 lab*olv*_Ma: 0.69 0.0 1.0

FRS12_95a; adaptierte CIELAB-Daten							
	u^*_e	$L^*=L^*_a$	a^*_a	b^*_a	$C^*_{ab,a}$	$h^*_{ab,a}$	u^*_d
r00j	38.47	63.32	30.17	70.15	25	m81o	
r25j	42.12	54.56	49.45	73.64	42	o10y	
r50j	53.64	39.15	64.89	75.79	59	o40y	
r75j	67.01	21.26	82.83	85.52	76	o69y	
j00g	86.18	-4.38	108.53	108.62	92	o98y	
j25g	69.73	-29.89	83.06	88.28	110	y34l	
j50g	57.03	-48.31	63.49	79.78	127	y69l	
j75g	47.73	-60.33	42.64	73.88	145	l03c	
g00b	50.59	-49.08	15.74	51.54	162	l23c	
g25b	52.97	-39.7	-6.72	40.27	190	l55c	
g50b	54.85	-32.33	-24.35	40.48	217	l87c	
g75b	49.92	-17.29	-36.02	39.96	244	c20v	
b00r	40.91	1.28	-42.35	42.37	272	c53v	
b25r	26.81	30.38	-52.26	60.45	300	c87v	
b50r	32.52	69.06	-42.14	80.9	329	v68m	
b75r	39.48	71.47	-3.69	71.57	357	m34o	

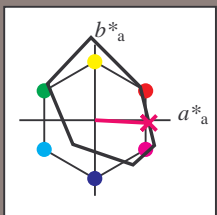
Dreiecks-Helligkeit i^*
 %Umfang
 $u^*_{rel} = 109$
 %Regularität
 $g^*_{H,rel} = 31$
 $g^*_{C,rel} = 40$



BAM-Registrierung: 20081001-Fg64/10L/L64g00NP.PDF/.PS BAM-Material: Code=rhata
 Anwendung für Beurteilung und Messung von Drucker- oder Monitorssystemen

Ein und Ausgabe: Farbmetrisches Drucker-Reflektiv-System FRS12_95a, L*=12_95 für relative CIELAB-Buntton $h^* = lab^*h^* = h_{ab}/360 = 0.992$ $u^*_e = b75r$
 $LAB^*LAB^*_a$

Daten für jede Farbe:
 lab^*ch^* und lab^*icu^*
 Bunttontexte:
 $u^*_e = b75r$ $u^*_d = m34o$
 Kontrastreduzierungsfaktor:
 $c_R = 1.0$
 Dreiecks-Helligkeit i^*



FRS12_95a; adaptierte CIELAB-Daten

	u^*_e	$L^*=L^*_a$	a^*_a	b^*_a	$C^*_{ab,a}$	$h^*_{ab,a}$
O _{Ma}	38.06	60.0	44.0	74.4	36	
Y _{Ma}	86.77	-5.17	109.32	109.44	93	
L _{Ma}	47.13	-62.67	48.24	79.09	142	
C _{Ma}	55.66	-29.14	-31.99	43.27	228	
V _{Ma}	17.15	50.3	-59.04	77.57	310	
M _{Ma}	40.37	78.64	-33.5	85.48	337	
N _{Ma}	11.58	0.0	0.0	0.0	0	
W _{Ma}	95.02	0.0	0.0	0.0	0	
R _{Ma}	39.92	58.74	27.99	65.07	25	
J _{Ma}	81.26	-2.89	71.56	71.62	92	
G _{Ma}	52.23	-42.42	13.6	44.55	162	
B _{Ma}	30.57	1.41	-46.47	46.49	272	

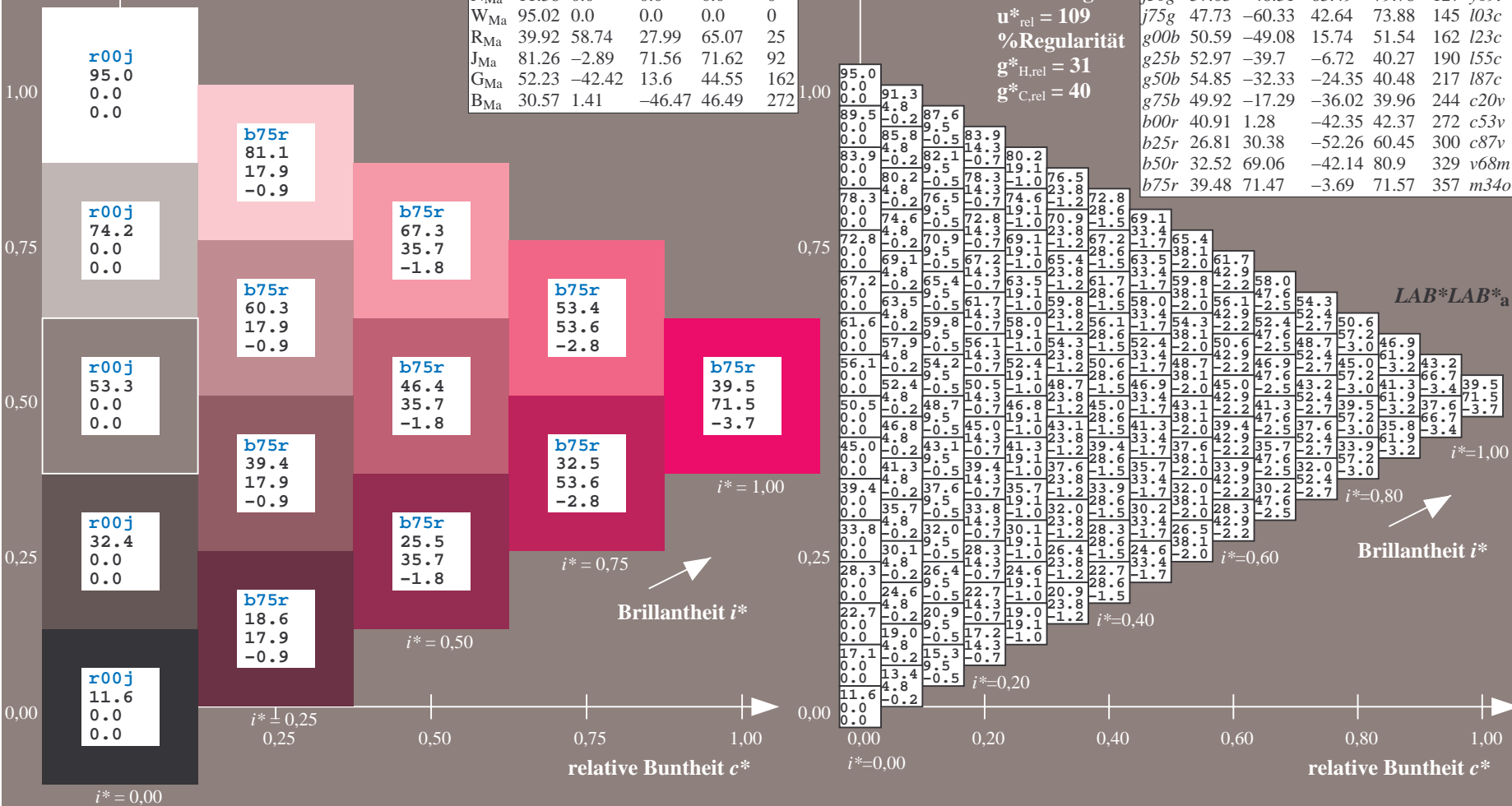
Daten für Maximalfarbe (Ma):

$LAB^*LAB^*_Ma: 39\ 71\ -4$
 $LAB^*LCH^*_Ma: 39\ 72\ 357$
 $lab^*rgb^*_Ma: 1.0\ 0.0\ 0.5$
 $lab^*olv^*_Ma: 1.0\ 0.0\ 0.66$

FRS12_95a; adaptierte CIELAB-Daten

	u^*_e	$L^*=L^*_a$	a^*_a	b^*_a	$C^*_{ab,a}$	$h^*_{ab,a}$	u^*_d
r00j	38.47	63.32	30.17	70.15	25	m81o	
r25j	42.12	54.56	49.45	73.64	42	o10y	
r50j	53.64	39.15	64.89	75.79	59	o40y	
r75j	67.01	21.26	82.83	85.52	76	o69y	
j00g	86.18	-4.38	108.53	108.62	92	o98y	
j25g	69.73	-29.89	83.06	88.28	110	y34l	
j50g	57.03	-48.31	63.49	79.78	127	y69l	
j75g	47.73	-60.33	42.64	73.88	145	l03c	
g00b	50.59	-49.08	15.74	51.54	162	l23c	
g25b	52.97	-39.7	-6.72	40.27	190	l55c	
g50b	54.85	-32.33	-24.35	40.48	217	l87c	
g75b	49.92	-17.29	-36.02	39.96	244	c20v	
b00r	40.91	1.28	-42.35	42.37	272	c53v	
b25r	26.81	30.38	-52.26	60.45	300	c87v	
b50r	32.52	69.06	-42.14	80.9	329	v68m	
b75r	39.48	71.47	-3.69	71.57	357	m34o	

Dreiecks-Helligkeit i^*
 %Umfang
 $u^*_{rel} = 109$
 %Regularität
 $g^*_{H,rel} = 31$
 $g^*_{C,rel} = 40$



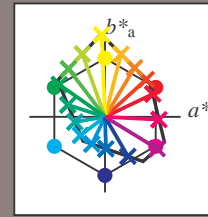
Siehe ähnliche Dateien: <http://www.ps.bam.de/Fg64/>; www.ps.bam.de/Fg64/; www.ps.bam.de/Fg64/
Technische Information: [http://www.ps.bam.de/Version 2.1, io=1,1, Colspx=0](http://www.ps.bam.de/Version%202.1,%20io=1,1,Colspx=0)

Table with 27 columns (A-T, LAB*LAB*a) and 27 rows (01-27). Each cell contains numerical data representing color calibration values.

BAM-Registrierung: 20081001-Fg64/10L/L64g00NP.PDF/.PS BAM-Material: Code=thata
Anwendung für Beurteilung und Messung von Drucker- oder Monitorsystemen

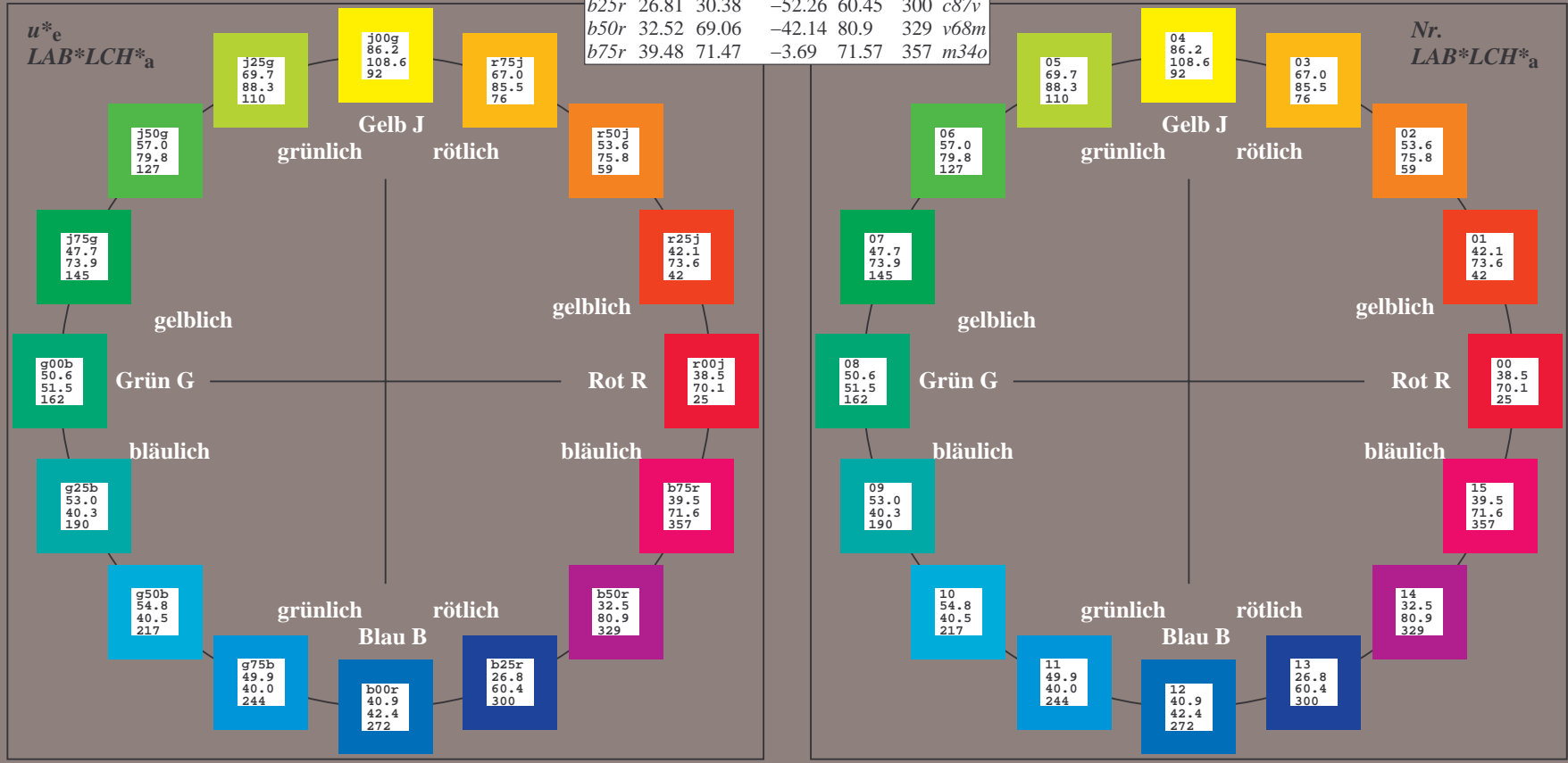
Ein und Ausgabe:
 Farbmetrisches Drucker-Reflektiv-System FRS12_95a
 Daten für jede Farbe:
 u^*_e und Nummer *Nr.* = 00 .. 15
 Elementar-Bunttext:
 $u^*_e = 16$ Bunttoene *r00j, r25j, ..., b75r*
 Kontrastreduzierungsfaktor:
 $c_R = 1.0$

FRS12_95a; adaptierte CIELAB-Daten						
u^*_e	L^*_{ab}	a^*_a	b^*_a	$C^*_{ab,a}$	$h^*_{ab,a}$	u^*_d
r00j	38.47	63.32	30.17	70.15	25	m81o
r25j	42.12	54.56	49.45	73.64	42	o10y
r50j	53.64	39.15	64.89	75.79	59	o40y
r75j	67.01	21.26	82.83	85.52	76	o69y
j00g	86.18	-4.38	108.03	108.62	92	o98y
j25g	69.73	-29.89	83.56	88.28	110	y34l
j50g	57.03	-48.31	63.49	79.78	127	y69l
j75g	47.73	-60.33	42.64	73.88	145	l03c
g00b	50.59	-49.08	15.74	51.54	162	l23c
g25b	52.97	-39.7	-6.72	40.27	190	l55c
g50b	54.85	-32.33	-24.35	40.48	217	l87c
g75b	49.92	-17.29	-36.02	39.96	244	c20v
b00r	40.91	1.28	-42.35	42.37	272	c53v
b25r	26.81	30.38	-52.26	60.45	300	c87v
b50r	32.52	69.06	-42.14	80.9	329	v68m
b75r	39.48	71.47	-3.69	71.57	357	m34o



%Umfang
 $u^*_{rel} = 109$
 %Regularität
 $g^*_{H,rel} = 31$
 $g^*_{C,rel} = 40$

FRS12_95a; adaptierte CIELAB-Daten					
Name	L^*_{ab}	a^*_a	b^*_a	$C^*_{ab,a}$	$h^*_{ab,a}$
OMa	38.06	60.0	44.0	74.4	36
YMa	86.77	-5.17	109.32	109.44	93
LMa	47.13	-62.67	48.24	79.09	142
CMa	55.66	-29.14	-31.99	43.27	228
VMa	17.15	50.3	-59.04	77.57	310
MMa	40.37	78.64	-33.5	85.48	337
NMa	11.58	0.0	0.0	0.0	0
WMa	95.02	0.0	0.0	0.0	0
RCIE	39.92	58.74	27.99	65.07	25
JCIE	81.26	-2.89	71.56	71.62	92
GCIE	52.23	-42.42	13.6	44.55	162
BCIE	30.57	1.41	-46.47	46.49	272

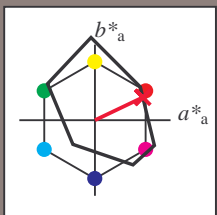


Siehe ähnliche Dateien: <http://www.ps.bam.de/Fg64/>; www.ps.bam.de/Fg64/HTM
 Technische Information: <http://www.ps.bam.de> Version 2.1, io=1,1, ColSpX=0

BAM-Registrierung: 20081001-Fg64/10L/L64g00NP.PDF/ .PS BAM-Material: Code=rhata
 Anwendung für Beurteilung und Messung von Drucker- oder Monitorsystemen

Ein und Ausgabe: Farbmetrisches Drucker-Reflektiv-System FRS12_95a, L*=12_95 für relativen CIELAB-Buntton $h^* = lab^*h^* = h_{ab}/360 = 0.071$ $u^*_e = r00j$
 $LAB^*LCH^*_a$

Daten für jede Farbe:
 lab^*ch^* und lab^*icu^*
 Bunttontexte:
 $u^*_e = r00j$ $u^*_d = m81o$
 Kontrastreduzierungsfaktor:
 $c_R = 1.0$
 Dreiecks-Helligkeit i^*



FRS12_95a; adaptierte CIELAB-Daten

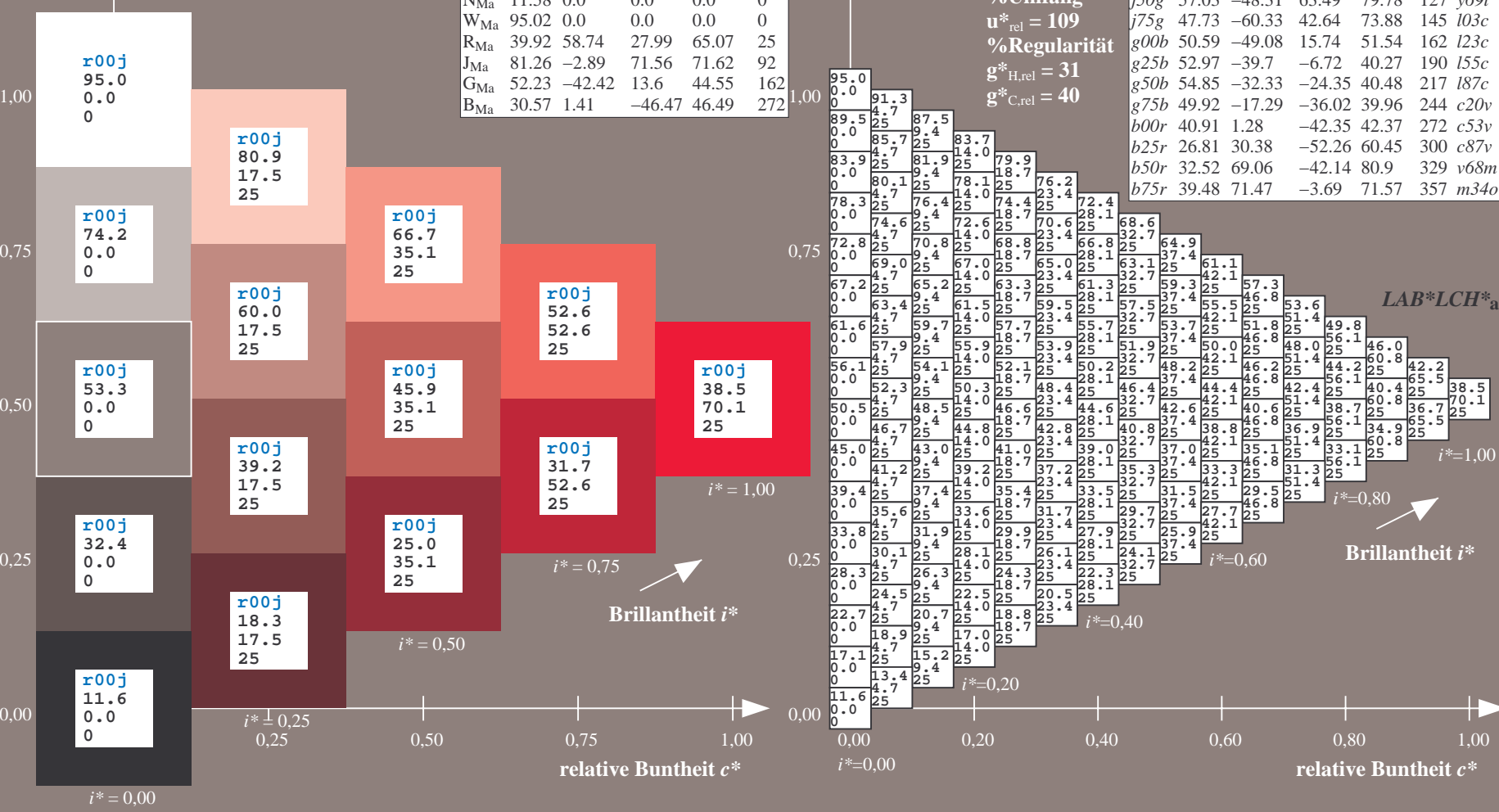
	u^*_e	$L^*=L^*_a$	a^*_a	b^*_a	$C^*_{ab,a}$	$h^*_{ab,a}$
O _{Ma}	38.06	60.0	44.0	74.4	36	
Y _{Ma}	86.77	-5.17	109.32	109.44	93	
L _{Ma}	47.13	-62.67	48.24	79.09	142	
C _{Ma}	55.66	-29.14	-31.99	43.27	228	
V _{Ma}	17.15	50.3	-59.04	77.57	310	
M _{Ma}	40.37	78.64	-33.5	85.48	337	
N _{Ma}	11.58	0.0	0.0	0.0	0	
W _{Ma}	95.02	0.0	0.0	0.0	0	
R _{Ma}	39.92	58.74	27.99	65.07	25	
J _{Ma}	81.26	-2.89	71.56	71.62	92	
G _{Ma}	52.23	-42.42	13.6	44.55	162	
B _{Ma}	30.57	1.41	-46.47	46.49	272	

Daten für Maximalfarbe (Ma):
 $LAB^*LAB^*_Ma: 38\ 63\ 30$
 $LAB^*LCH^*_Ma: 38\ 70\ 25$
 $lab^*rgb^*_Ma: 1.0\ 0.0\ 0.0$
 $lab^*olv^*_Ma: 1.0\ 0.0\ 0.18$

FRS12_95a; adaptierte CIELAB-Daten

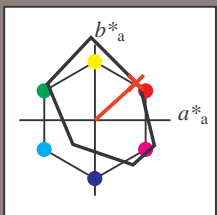
	u^*_e	$L^*=L^*_a$	a^*_a	b^*_a	$C^*_{ab,a}$	$h^*_{ab,a}$	u^*_d
r00j	38.47	63.32	30.17	70.15	25	m81o	
r25j	42.12	54.56	49.45	73.64	42	o10y	
r50j	53.64	39.15	64.89	75.79	59	o40y	
r75j	67.01	21.26	82.83	85.52	76	o69y	
j00g	86.18	-4.38	108.53	108.62	92	o98y	
j25g	69.73	-29.89	83.06	88.28	110	y34l	
j50g	57.03	-48.31	63.49	79.78	127	y69l	
j75g	47.73	-60.33	42.64	73.88	145	l03c	
g00b	50.59	-49.08	15.74	51.54	162	l23c	
g25b	52.97	-39.7	-6.72	40.27	190	l55c	
g50b	54.85	-32.33	-24.35	40.48	217	l87c	
g75b	49.92	-17.29	-36.02	39.96	244	c20v	
b00r	40.91	1.28	-42.35	42.37	272	c53v	
b25r	26.81	30.38	-52.26	60.45	300	c87v	
b50r	32.52	69.06	-42.14	80.9	329	v68m	
b75r	39.48	71.47	-3.69	71.57	357	m34o	

Dreiecks-Helligkeit i^*
 %Umfang
 $u^*_{rel} = 109$
 %Regularität
 $g^*_{H,rel} = 31$
 $g^*_{C,rel} = 40$



Ein und Ausgabe: Farbmetrisches Drucker-Reflektiv-System FRS12_95a, L*=12_95 für relative CIELAB-Bunton $h^* = lab^*h^* = h_{ab}^*/360 = 0.117$ $u^*_e = r25j$
 Daten für jede Farbe: lab^*tch^* und lab^*icu^* $LAB^*LCH^*_a$

Buntontexte:
 $u^*_e = r25j$ $u^*_d = o10y$
 Kontrastreduzierungsfaktor:
 $c_R = 1.0$
 Dreiecks-Helligkeit t^*



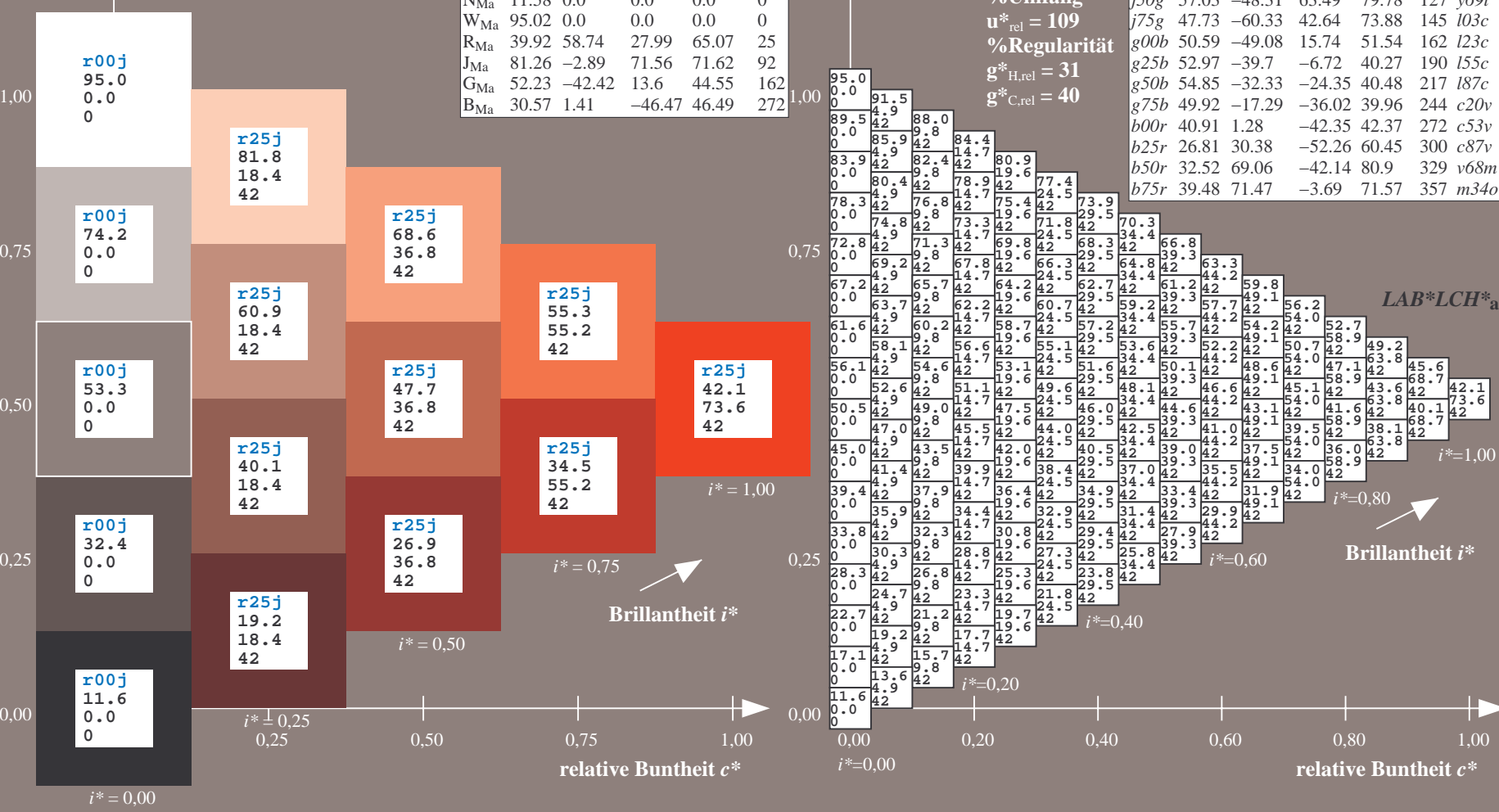
FRS12_95a; adaptierte CIELAB-Daten						
	u^*_e	$L^*=L^*_a$	a^*_a	b^*_a	$C^*_{ab,a}$	$h^*_{ab,a}$
O _{Ma}	38.06	60.0	44.0	74.4	36	
Y _{Ma}	86.77	-5.17	109.32	109.44	93	
L _{Ma}	47.13	-62.67	48.24	79.09	142	
C _{Ma}	55.66	-29.14	-31.99	43.27	228	
V _{Ma}	17.15	50.3	-59.04	77.57	310	
M _{Ma}	40.37	78.64	-33.5	85.48	337	
N _{Ma}	11.58	0.0	0.0	0.0	0	
W _{Ma}	95.02	0.0	0.0	0.0	0	
R _{Ma}	39.92	58.74	27.99	65.07	25	
J _{Ma}	81.26	-2.89	71.56	71.62	92	
G _{Ma}	52.23	-42.42	13.6	44.55	162	
B _{Ma}	30.57	1.41	-46.47	46.49	272	

Daten für Maximalfarbe (Ma):

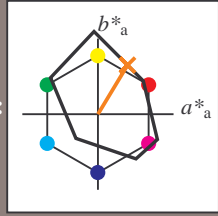
$LAB^*LAB^*_Ma$: 42 55 49
 $LAB^*LCH^*_Ma$: 42 74 42
 $lab^*rgb^*_Ma$: 1.0 0.25 0.0
 $lab^*olv^*_Ma$: 1.0 0.11 0.0

FRS12_95a; adaptierte CIELAB-Daten									
	u^*_e	$L^*=L^*_a$	a^*_a	b^*_a	$C^*_{ab,a}$	$h^*_{ab,a}$	u^*_d		
r00j	38.47	63.32	30.17	70.15	25	m81o			
r25j	42.12	54.56	49.45	73.64	42	o10y			
r50j	53.64	39.15	64.89	75.79	59	o40y			
r75j	67.01	21.26	82.83	85.52	76	o69y			
j00g	86.18	-4.38	108.53	108.62	92	o98y			
j25g	69.73	-29.89	83.06	88.28	110	y34l			
j50g	57.03	-48.31	63.49	79.78	127	y69l			
j75g	47.73	-60.33	42.64	73.88	145	l03c			
g00b	50.59	-49.08	15.74	51.54	162	l23c			
g25b	52.97	-39.7	-6.72	40.27	190	l55c			
g50b	54.85	-32.33	-24.35	40.48	217	l87c			
g75b	49.92	-1.29	-36.02	39.96	244	c20v			
b00r	40.91	1.28	-42.35	42.37	272	c53v			
b25r	26.81	30.38	-52.26	60.45	300	c87v			
b50r	32.52	69.06	-42.14	80.9	329	v68m			
b75r	39.48	71.47	-3.69	71.57	357	m34o			

Dreiecks-Helligkeit t^*
 %Umfang
 $u^*_{rel} = 109$
 %Regularität
 $g^*_{H,rel} = 31$
 $g^*_{C,rel} = 40$



Ein und Ausgabe: Farbmetrisches Drucker-Reflektiv-System FRS12_95a, L*=12_95 für relative CIELAB-Buntton $h^* = lab^*h^* = h_{ab}^*/360 = 0.164$ $u^*_e = r50j$
 Daten für jede Farbe: lab^*tch^* und lab^*icu^* **LAB*LCH*_a**
 Bunttontexte: $u^*_e = r50j$ $u^*_d = o40y$
 Kontrastreduzierungsfaktor: $c_R = 1.0$
 Dreiecks-Helligkeit t^*



FRS12_95a; adaptierte CIELAB-Daten

	u^*_e	$L^*=L^*_a$	a^*_a	b^*_a	$C^*_{ab,a}$	$h^*_{ab,a}$
O _{Ma}	38.06	60.0	44.0	74.4	36	
Y _{Ma}	86.77	-5.17	109.32	109.44	93	
L _{Ma}	47.13	-62.67	48.24	79.09	142	
C _{Ma}	55.66	-29.14	-31.99	43.27	228	
V _{Ma}	17.15	50.3	-59.04	77.57	310	
M _{Ma}	40.37	78.64	-33.5	85.48	337	
N _{Ma}	11.58	0.0	0.0	0.0	0	
W _{Ma}	95.02	0.0	0.0	0.0	0	
R _{Ma}	39.92	58.74	27.99	65.07	25	
J _{Ma}	81.26	-2.89	71.56	71.62	92	
G _{Ma}	52.23	-42.42	13.6	44.55	162	
B _{Ma}	30.57	1.41	-46.47	46.49	272	

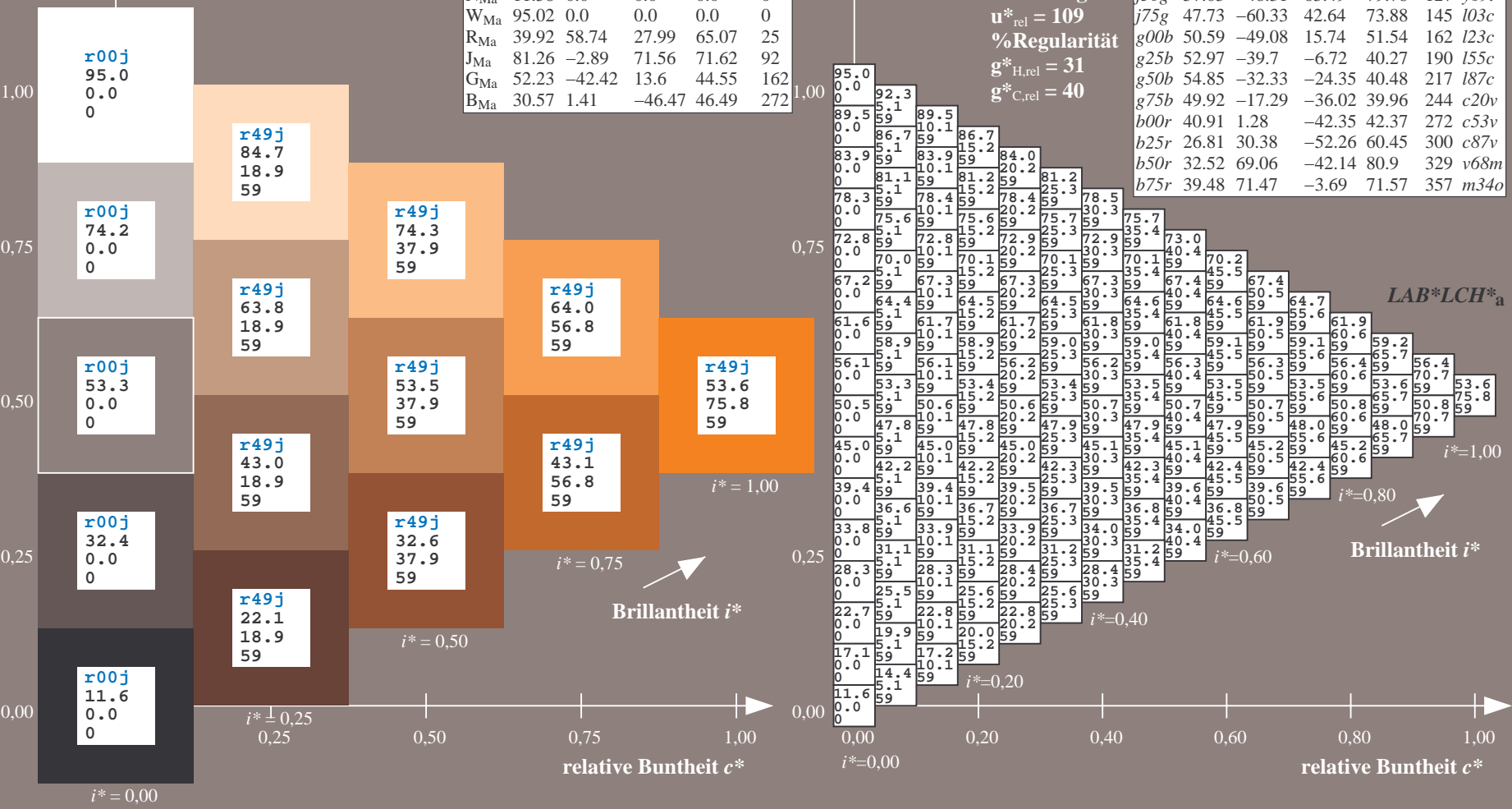
Daten für Maximalfarbe (Ma):

$LAB^*LAB^*_{Ma}: 54\ 39\ 65$
 $LAB^*LCH^*_{Ma}: 54\ 76\ 58$
 $lab^*rgb^*_{Ma}: 1.0\ 0.5\ 0.0$
 $lab^*olv^*_{Ma}: 1.0\ 0.4\ 0.0$

FRS12_95a; adaptierte CIELAB-Daten

	u^*_e	$L^*=L^*_a$	a^*_a	b^*_a	$C^*_{ab,a}$	$h^*_{ab,a}$	u^*_d
r00j	38.47	63.32	30.17	70.15	25	m81o	
r25j	42.12	54.56	49.45	73.64	42	o10y	
r50j	53.64	39.15	64.89	75.79	59	o40y	
r75j	67.01	21.26	82.83	85.52	76	o69y	
j00g	86.18	-4.38	108.53	108.62	92	o98y	
j25g	69.73	-29.89	83.06	88.28	110	y34l	
j50g	57.03	-48.31	63.49	79.78	127	y69l	
j75g	47.73	-60.33	42.64	73.88	145	l03c	
g00b	50.59	-49.08	15.74	51.54	162	l23c	
g25b	52.97	-39.7	-6.72	40.27	190	l55c	
g50b	54.85	-32.33	-24.35	40.48	217	l87c	
g75b	49.92	-17.29	-36.02	39.96	244	c20v	
b00r	40.91	1.28	-42.35	42.37	272	c53v	
b25r	26.81	30.38	-52.26	60.45	300	c87v	
b50r	32.52	69.06	-42.14	80.9	329	v68m	
b75r	39.48	71.47	-3.69	71.57	357	m34o	

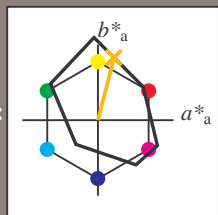
Dreiecks-Helligkeit t^*
 %Umfang $u^*_{rel} = 109$
 %Regularität $g^*_{H,rel} = 31$
 $g^*_{C,rel} = 40$



BAM-Registrierung: 20081001-Fg64/10L/L64g00NP.PDF/.PS BAM-Material: Code=rh4ta
 Anwendung für Beurteilung und Messung von Drucker- oder Monitorssystemen

Ein und Ausgabe: Farbmetrisches Drucker-Reflektiv-System FRS12_95a, L*=12_95 für relative CIELAB-Buntton $h^* = lab^*h^* = h_{ab}/360 = 0.21$ $u^*_e = r75j$
 Daten für jede Farbe: $LAB^*LCH^*_a$

lab^*ch^* und lab^*icu^*
 Bunttontexte:
 $u^*_e = r75j$ $u^*_d = o69y$
 Kontrastreduzierungsfaktor:
 $c_R = 1.0$
 Dreiecks-Helligkeit i^*



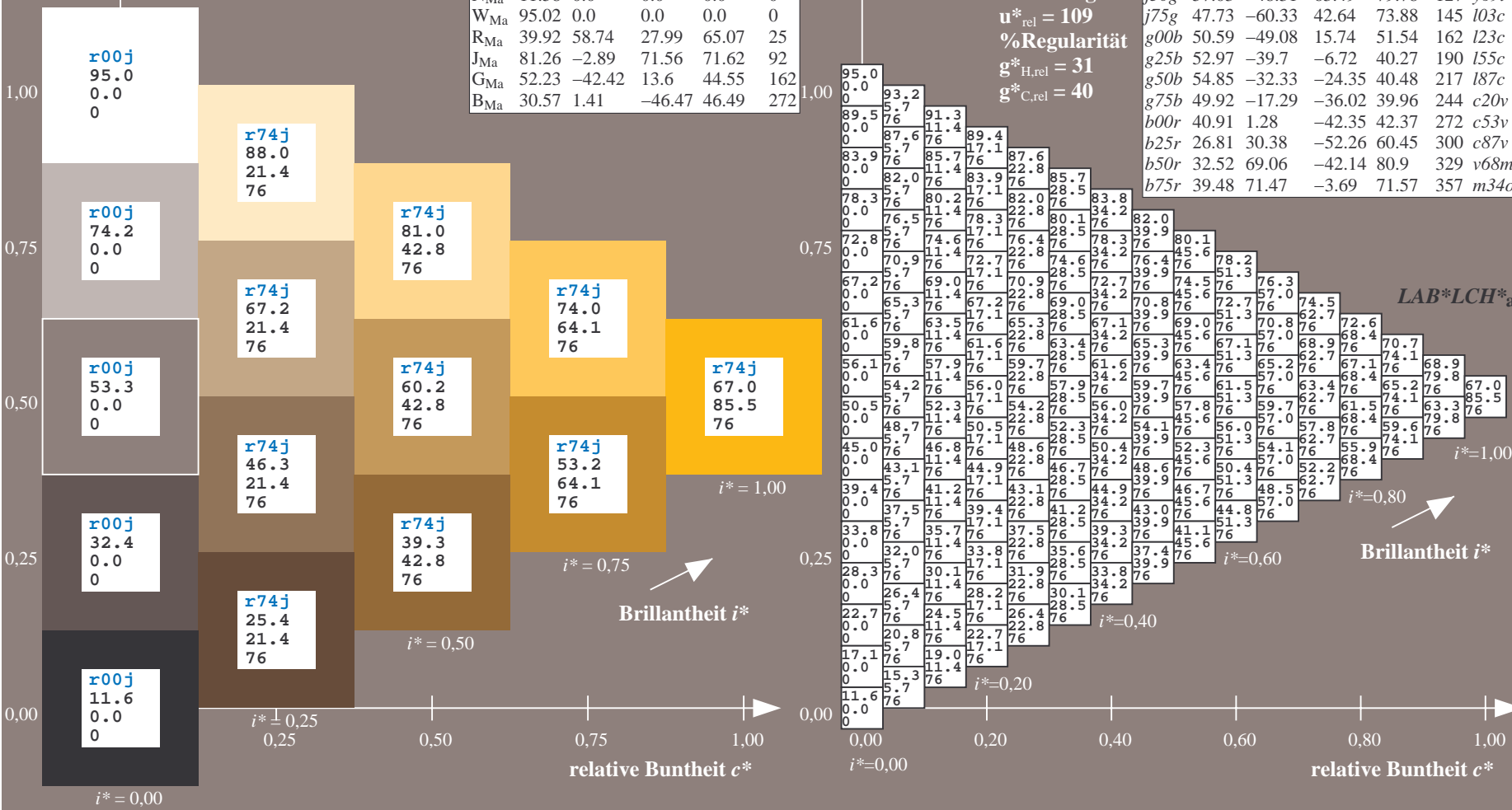
FRS12_95a; adaptierte CIELAB-Daten						
	u^*_e	$L^*=L^*_a$	a^*_a	b^*_a	$C^*_{ab,a}$	$h^*_{ab,a}$
O _{Ma}	38.06	60.0	44.0	74.4	36	
Y _{Ma}	86.77	-5.17	109.32	109.44	93	
L _{Ma}	47.13	-62.67	48.24	79.09	142	
C _{Ma}	55.66	-29.14	-31.99	43.27	228	
V _{Ma}	17.15	50.3	-59.04	77.57	310	
M _{Ma}	40.37	78.64	-33.5	85.48	337	
N _{Ma}	11.58	0.0	0.0	0.0	0	
W _{Ma}	95.02	0.0	0.0	0.0	0	
R _{Ma}	39.92	58.74	27.99	65.07	25	
J _{Ma}	81.26	-2.89	71.56	71.62	92	
G _{Ma}	52.23	-42.42	13.6	44.55	162	
B _{Ma}	30.57	1.41	-46.47	46.49	272	

Daten für Maximalfarbe (Ma):

$LAB^*LAB^*_Ma$: 67 21 83
 $LAB^*LCH^*_Ma$: 67 86 75
 $lab^*rgb^*_Ma$: 1.0 0.75 0.0
 $lab^*olv^*_Ma$: 1.0 0.7 0.0

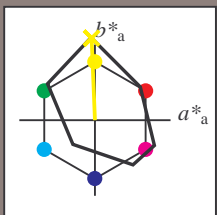
Dreiecks-Helligkeit i^*
 %Umfang
 $u^*_{rel} = 109$
 %Regularität
 $g^*_{H,rel} = 31$
 $g^*_{C,rel} = 40$

FRS12_95a; adaptierte CIELAB-Daten							
	u^*_e	$L^*=L^*_a$	a^*_a	b^*_a	$C^*_{ab,a}$	$h^*_{ab,a}$	u^*_d
r00j	38.47	63.32	30.17	70.15	25	m81o	
r25j	42.12	54.56	49.45	73.64	42	o10y	
r50j	53.64	39.15	64.89	75.79	59	o40y	
r75j	67.01	21.26	82.83	85.52	76	o69y	
j00g	86.18	-4.38	108.53	108.62	92	o98y	
j25g	69.73	-29.89	83.06	88.28	110	y34l	
j50g	57.03	-48.31	63.49	79.78	127	y69l	
j75g	47.73	-60.33	42.64	73.88	145	l03c	
g00b	50.59	-49.08	15.74	51.54	162	l23c	
g25b	52.97	-39.7	-6.72	40.27	190	l55c	
g50b	54.85	-32.33	-24.35	40.48	217	l87c	
g75b	49.92	-17.29	-36.02	39.96	244	c20v	
b00r	40.91	1.28	-42.35	42.37	272	c53v	
b25r	26.81	30.38	-52.26	60.45	300	c87v	
b50r	32.52	69.06	-42.14	80.9	329	v68m	
b75r	39.48	71.47	-3.69	71.57	357	m34o	



Ein und Ausgabe: Farbmetrisches Drucker-Reflektiv-System FRS12_95a, L*=12_95 für relative CIELAB-Buntton $h^* = lab^*h^* = h_{ab}/360 = 0.256$ $u^*_e = j00g$
 $LAB^*LCH^*_a$

Daten für jede Farbe:
 lab^*tch^* und lab^*icu^*
 Bunttontexte:
 $u^*_e = j00g$ $u^*_d = o98y$
 Kontrastreduzierungsfaktor:
 $c_R = 1.0$
 Dreiecks-Helligkeit i^*



FRS12_95a; adaptierte CIELAB-Daten

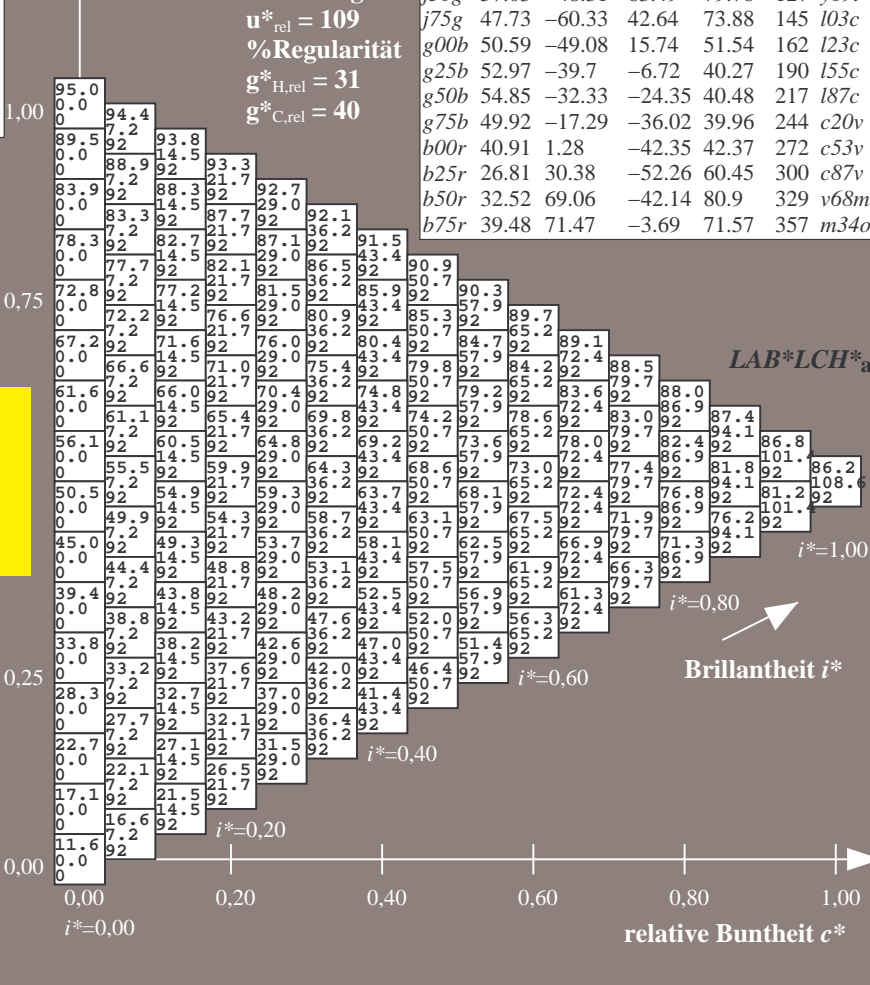
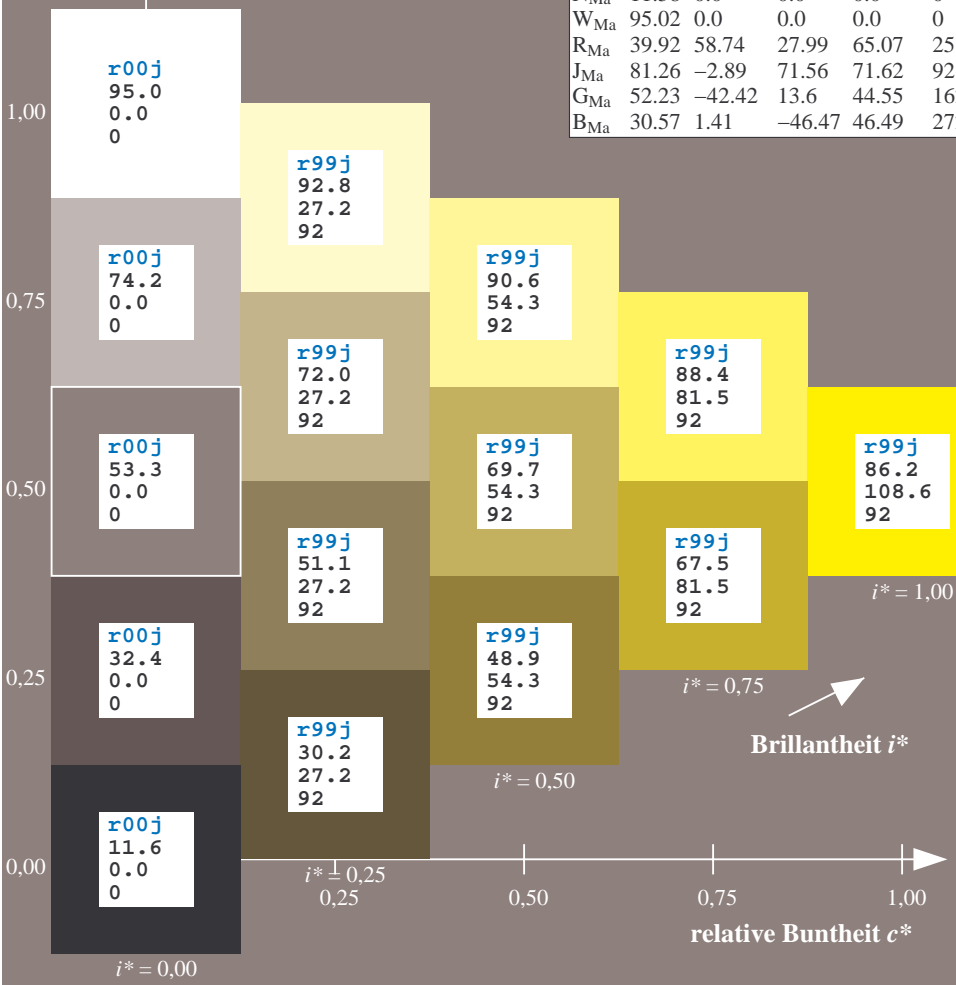
	u^*_e	$L^*=L^*_a$	a^*_a	b^*_a	$C^*_{ab,a}$	$h^*_{ab,a}$
O _{Ma}	38.06	60.0	44.0	74.4	36	
Y _{Ma}	86.77	-5.17	109.32	109.44	93	
L _{Ma}	47.13	-62.67	48.24	79.09	142	
C _{Ma}	55.66	-29.14	-31.99	43.27	228	
V _{Ma}	17.15	50.3	-59.04	77.57	310	
M _{Ma}	40.37	78.64	-33.5	85.48	337	
N _{Ma}	11.58	0.0	0.0	0.0	0	
W _{Ma}	95.02	0.0	0.0	0.0	0	
R _{Ma}	39.92	58.74	27.99	65.07	25	
J _{Ma}	81.26	-2.89	71.56	71.62	92	
G _{Ma}	52.23	-42.42	13.6	44.55	162	
B _{Ma}	30.57	1.41	-46.47	46.49	272	

Daten für Maximalfarbe (Ma):
 $LAB^*LAB^*_Ma: 86 -4 109$
 $LAB^*LCH^*_Ma: 86 109 92$
 $lab^*rgb^*_Ma: 1.0 1.0 0.0$
 $lab^*olv^*_Ma: 1.0 0.99 0.0$

FRS12_95a; adaptierte CIELAB-Daten

	u^*_e	$L^*=L^*_a$	a^*_a	b^*_a	$C^*_{ab,a}$	$h^*_{ab,a}$	u^*_d
r00j	38.47	63.32	30.17	70.15	25	m81o	
r25j	42.12	54.56	49.45	73.64	42	o10y	
r50j	53.64	39.15	64.89	75.79	59	o40y	
r75j	67.01	21.26	82.83	85.52	76	o69y	
j00g	86.18	-4.38	108.53	108.62	92	o98y	
j25g	69.73	-29.89	83.06	88.28	110	y34l	
j50g	57.03	-48.31	63.49	79.78	127	y69l	
j75g	47.73	-60.33	42.64	73.88	145	l03c	
g00b	50.59	-49.08	15.74	51.54	162	l23c	
g25b	52.97	-39.7	-6.72	40.27	190	l55c	
g50b	54.85	-32.33	-24.35	40.48	217	l87c	
g75b	49.92	-17.29	-36.02	39.96	244	c20v	
b00r	40.91	1.28	-42.35	42.37	272	c53v	
b25r	26.81	30.38	-52.26	60.45	300	c87v	
b50r	32.52	69.06	-42.14	80.9	329	v68m	
b75r	39.48	71.47	-3.69	71.57	357	m34o	

Dreiecks-Helligkeit i^*
 %Umfang
 $u^*_{rel} = 109$
 %Regularität
 $g^*_{H,rel} = 31$
 $g^*_{C,rel} = 40$

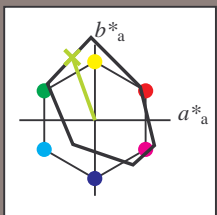


Siehe ähnliche Dateien: <http://www.ps.bam.de/Fg64/>; www.ps.bam.de/Version 2.1, io=1,1, ColSpX=0
 Technische Information: <http://www.ps.bam.de>

BAM-Registrierung: 20081001-Fg64/10L/L64g00NP.PDF/ .PS BAM-Material: Code=rh4ta
 Anwendung für Beurteilung und Messung von Drucker- oder Monitorssystemen

Ein und Ausgabe: Farbmetrisches Drucker-Reflektiv-System FRS12_95a, L*=12_95 für relative CIELAB-Buntton $h^* = lab^*h^* = h_{ab}/360 = 0.305$ $u^*_e = j25g$
 Daten für jede Farbe: lab^*ch^* und lab^*icu^* **LAB*LCH*_a**

Bunttontexte:
 $u^*_e = j25g$ $u^*_d = y34l$
 Kontrastreduzierungsfaktor:
 $c_R = 1.0$
 Dreiecks-Helligkeit i^*



FRS12_95a; adaptierte CIELAB-Daten

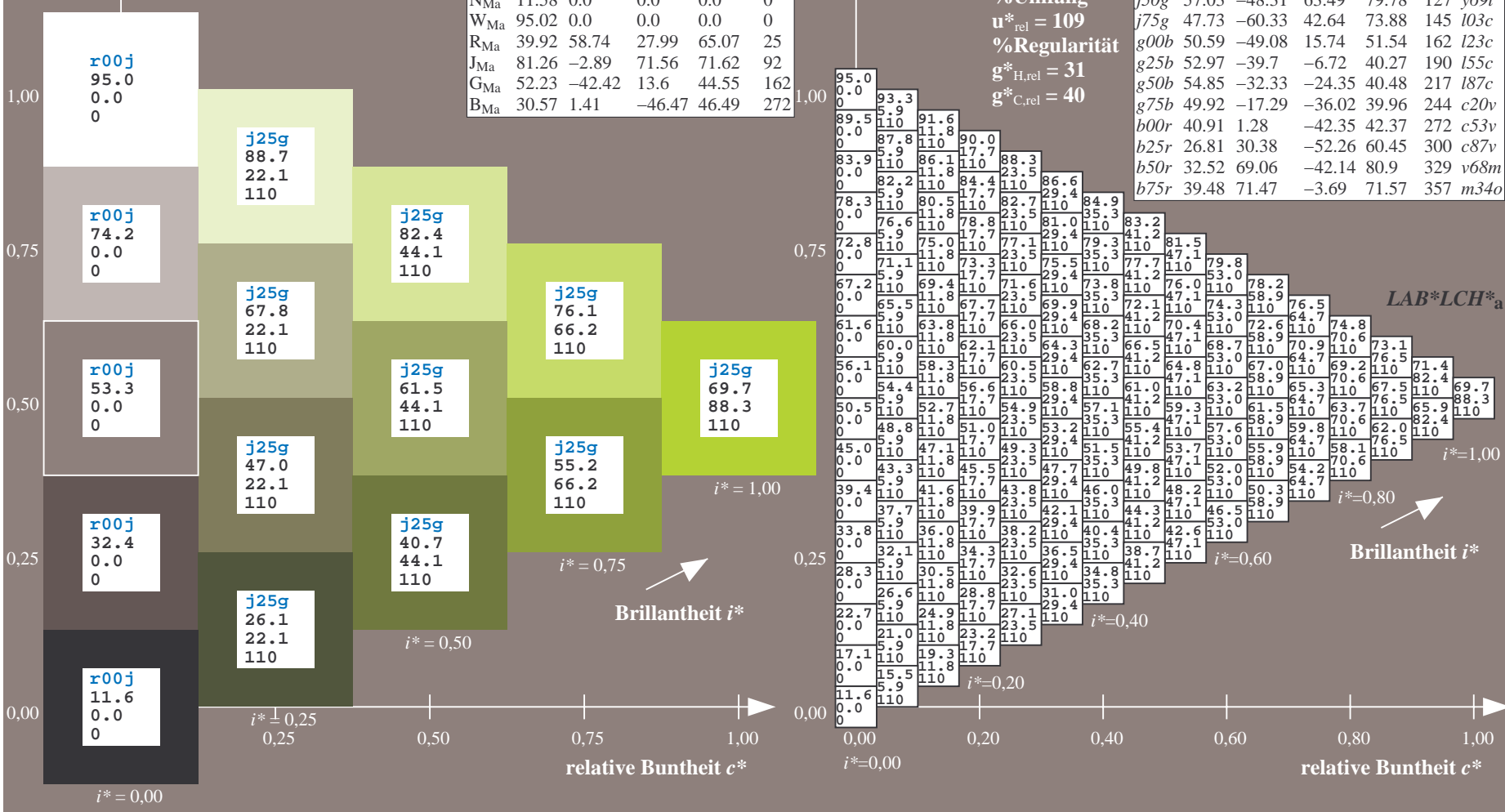
	u^*_e	$L^*=L^*_a$	a^*_a	b^*_a	$C^*_{ab,a}$	$h^*_{ab,a}$
O _{Ma}	38.06	60.0	44.0	74.4	36	
Y _{Ma}	86.77	-5.17	109.32	109.44	93	
L _{Ma}	47.13	-62.67	48.24	79.09	142	
C _{Ma}	55.66	-29.14	-31.99	43.27	228	
V _{Ma}	17.15	50.3	-59.04	77.57	310	
M _{Ma}	40.37	78.64	-33.5	85.48	337	
N _{Ma}	15.02	0.0	0.0	0.0	0	
W _{Ma}	95.02	0.0	0.0	0.0	0	
R _{Ma}	39.92	58.74	27.99	65.07	25	
J _{Ma}	81.26	-2.89	71.56	71.62	92	
G _{Ma}	52.23	-42.42	13.6	44.55	162	
B _{Ma}	30.57	1.41	-46.47	46.49	272	

Daten für Maximalfarbe (Ma):
 $LAB^*LAB^*_{Ma}: 70 -30 83$
 $LAB^*LCH^*_{Ma}: 70 88 109$
 $lab^*rgb^*_{Ma}: 0.75 1.0 0.0$
 $lab^*olv^*_{Ma}: 0.66 1.0 0.0$

FRS12_95a; adaptierte CIELAB-Daten

	u^*_e	$L^*=L^*_a$	a^*_a	b^*_a	$C^*_{ab,a}$	$h^*_{ab,a}$	u^*_d
r00j	38.47	63.32	30.17	70.15	25	m81o	
r25j	42.12	54.56	49.45	73.64	42	o10y	
r50j	53.64	39.15	64.89	75.79	59	o40y	
r75j	67.01	21.26	82.83	85.52	76	o69y	
j00g	86.18	-4.38	108.53	108.62	92	o98y	
j25g	69.73	-29.89	83.06	88.28	110	y34l	
j50g	57.03	-48.31	63.49	79.78	127	y69l	
j75g	47.73	-60.33	42.64	73.88	145	l03c	
g00b	50.59	-49.08	15.74	51.54	162	l23c	
g25b	52.97	-39.7	-6.72	40.27	190	l55c	
g50b	54.85	-32.33	-24.35	40.48	217	l87c	
g75b	49.92	-1.29	-36.02	39.96	244	c20v	
b00r	40.91	1.78	-42.35	42.37	272	c53v	
b25r	26.81	30.38	-52.26	60.45	300	c87v	
b50r	32.52	69.06	-42.14	80.9	329	v68m	
b75r	39.48	71.47	-3.69	71.57	357	m34o	

Dreiecks-Helligkeit i^*
 %Umfang
 $u^*_{rel} = 109$
 %Regularität
 $g^*_{H,rel} = 31$
 $g^*_{C,rel} = 40$



Siehe ähnliche Dateien: <http://www.ps.bam.de/Fg64/>; [www.ps.bam.de/Fg64/Version 2.1, io=1,1, Colspx=0](http://www.ps.bam.de/Fg64/Version%201.1,io=1,1,Colspx=0)
 Technische Information: <http://www.ps.bam.de>

BAM-Registrierung: 20081001-Fg64/10L/L64g00NP.PDF/.PS BAM-Material: Code=rhatha
 Anwendung für Beurteilung und Messung von Drucker- oder Monitorssystemen

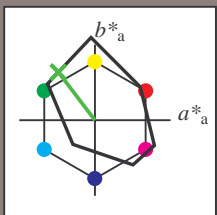
Ein und Ausgabe: Farbmetrisches Drucker-Reflektiv-System FRS12_95a, L*=12_95 für relative CIELAB-Buntton $h^* = lab^*h^* = h_{ab}/360 = 0.354$ $u^*_e = j50g$

Daten für jede Farbe:
 lab^*tch^* und lab^*icu^*

Bunttontexte:
 $u^*_e = j50g$ $u^*_d = y69l$

Kontrastreduzierungsfaktor:
 $c_R = 1.0$

Dreiecks-Helligkeit t^*



FRS12_95a; adaptierte CIELAB-Daten						
	u^*_e	$L^*=L^*_a$	a^*_a	b^*_a	$C^*_{ab,a}$	$h^*_{ab,a}$
O _{Ma}	38.06	60.0	44.0	74.4	36	
Y _{Ma}	86.77	-5.17	109.32	109.44	93	
L _{Ma}	47.13	-62.67	48.24	79.09	142	
C _{Ma}	55.66	-29.14	-31.99	43.27	228	
V _{Ma}	17.15	50.3	-59.04	77.57	310	
M _{Ma}	40.37	78.64	-33.5	85.48	337	
N _{Ma}	11.58	0.0	0.0	0.0	0	
W _{Ma}	95.02	0.0	0.0	0.0	0	
R _{Ma}	39.92	58.74	27.99	65.07	25	
J _{Ma}	81.26	-2.89	71.56	71.62	92	
G _{Ma}	52.23	-42.42	13.6	44.55	162	
B _{Ma}	30.57	1.41	-46.47	46.49	272	

Daten für Maximalfarbe (Ma):

$LAB^*LAB^*_{Ma}$: 57 -48 63

$LAB^*LCH^*_{Ma}$: 57 80 127

$lab^*rgb^*_{Ma}$: 0.5 1.0 0.0

$lab^*olv^*_{Ma}$: 0.3 1.0 0.0

Dreiecks-Helligkeit t^*

%Umfang

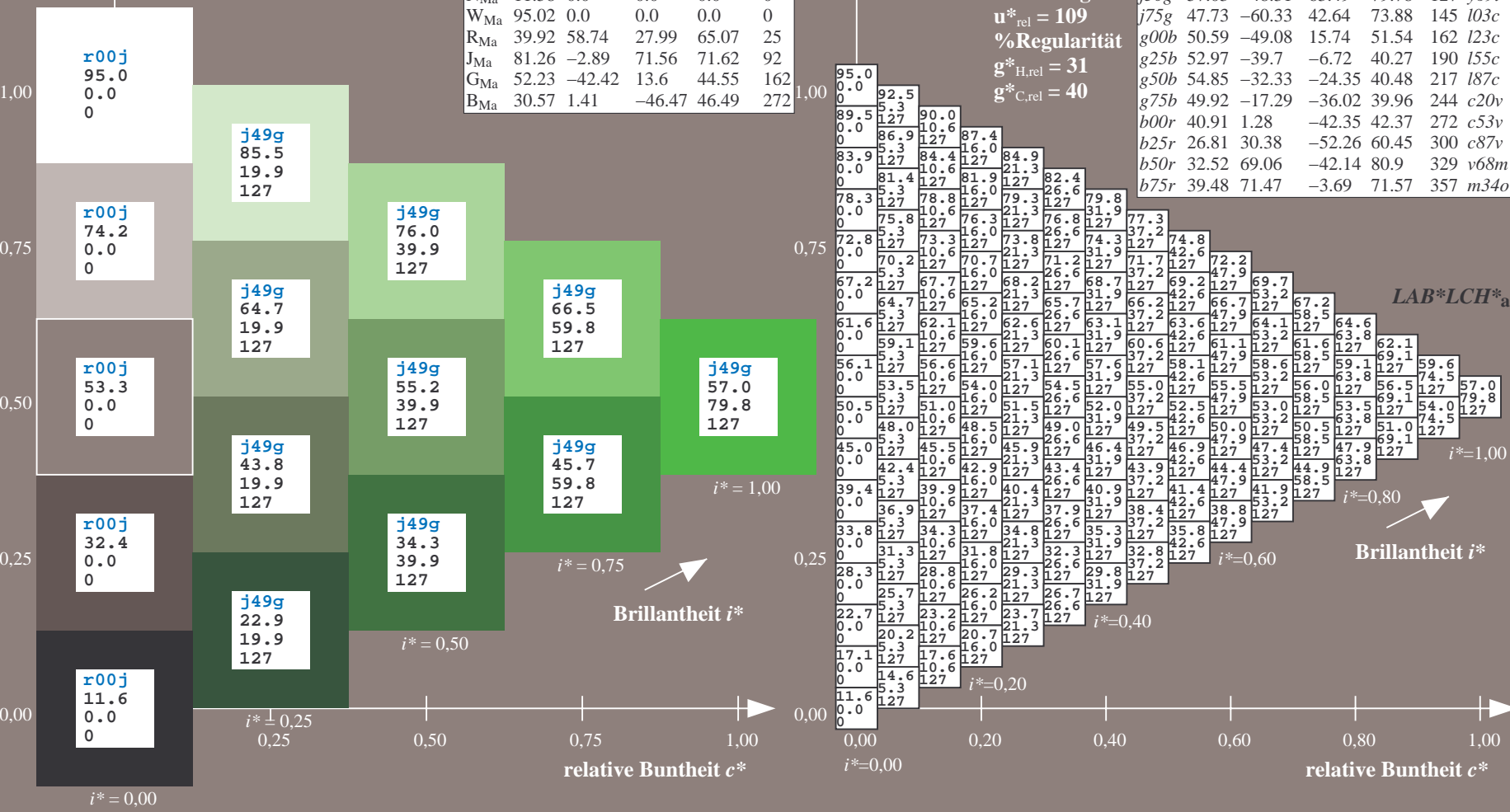
$u^*_{rel} = 109$

%Regularität

$g^*_{H,rel} = 31$

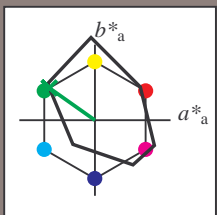
$g^*_{C,rel} = 40$

FRS12_95a; adaptierte CIELAB-Daten								
	u^*_e	$L^*=L^*_a$	a^*_a	b^*_a	$C^*_{ab,a}$	$h^*_{ab,a}$	u^*_d	
r00j	38.47	63.32	30.17	70.15	25	m81o		
r25j	42.12	54.56	49.45	73.64	42	o10y		
r50j	53.64	39.15	64.89	75.79	59	o40y		
r75j	67.01	21.26	82.83	85.52	76	o69y		
j00g	86.18	-4.38	108.53	108.62	92	o98y		
j25g	69.73	-29.89	83.06	88.28	110	y34l		
j50g	57.03	-48.31	63.49	79.78	127	y69l		
j75g	47.73	-60.33	42.64	73.88	145	l03c		
g00b	50.59	-49.08	15.74	51.54	162	l23c		
g25b	52.97	-39.7	-6.72	40.27	190	l55c		
g50b	54.85	-32.33	-24.35	40.48	217	l87c		
g75b	49.92	-17.29	-36.02	39.96	244	c20v		
b00r	40.91	1.28	-42.35	42.37	272	c53v		
b25r	26.81	30.38	-52.26	60.45	300	c87v		
b50r	32.52	69.06	-42.14	80.9	329	v68m		
b75r	39.48	71.47	-3.69	71.57	357	m34o		



Ein und Ausgabe: Farbmetrisches Drucker-Reflektiv-System FRS12_95a, L*=12_95 für relative CIELAB-Buntton $h^* = lab^*h^* = h_{ab}/360 = 0.402$ $u^*_e = j75g$
 Daten für jede Farbe: lab^*tch^* und lab^*icu^* $LAB^*LCH^*_a$

Bunttontexte:
 $u^*_e = j75g$ $u^*_d = i03c$
 Kontrastreduzierungsfaktor:
 $c_R = 1.0$
 Dreiecks-Helligkeit t^*



FRS12_95a; adaptierte CIELAB-Daten						
	u^*_e	$L^*=L^*_a$	a^*_a	b^*_a	$C^*_{ab,a}$	$h^*_{ab,a}$
O _{Ma}	38.06	60.0	44.0	74.4	36	
Y _{Ma}	86.77	-5.17	109.32	109.44	93	
L _{Ma}	47.13	-62.67	48.24	79.09	142	
C _{Ma}	55.66	-29.14	-31.99	43.27	228	
V _{Ma}	17.15	50.3	-59.04	77.57	310	
M _{Ma}	40.37	78.64	-33.5	85.48	337	
N _{Ma}	11.58	0.0	0.0	0.0	0	
W _{Ma}	95.02	0.0	0.0	0.0	0	
R _{Ma}	39.92	58.74	27.99	65.07	25	
J _{Ma}	81.26	-2.89	71.56	71.62	92	
G _{Ma}	52.23	-42.42	13.6	44.55	162	
B _{Ma}	30.57	1.41	-46.47	46.49	272	

Daten für Maximalfarbe (Ma):

$LAB^*LAB^*_{Ma}$: 48 -60 43

$LAB^*LCH^*_{Ma}$: 48 74 144

$lab^*rgb^*_{Ma}$: 0.25 1.0 0.0

$lab^*olv^*_{Ma}$: 0.0 1.0 0.03

Dreiecks-Helligkeit t^*

%Umfang

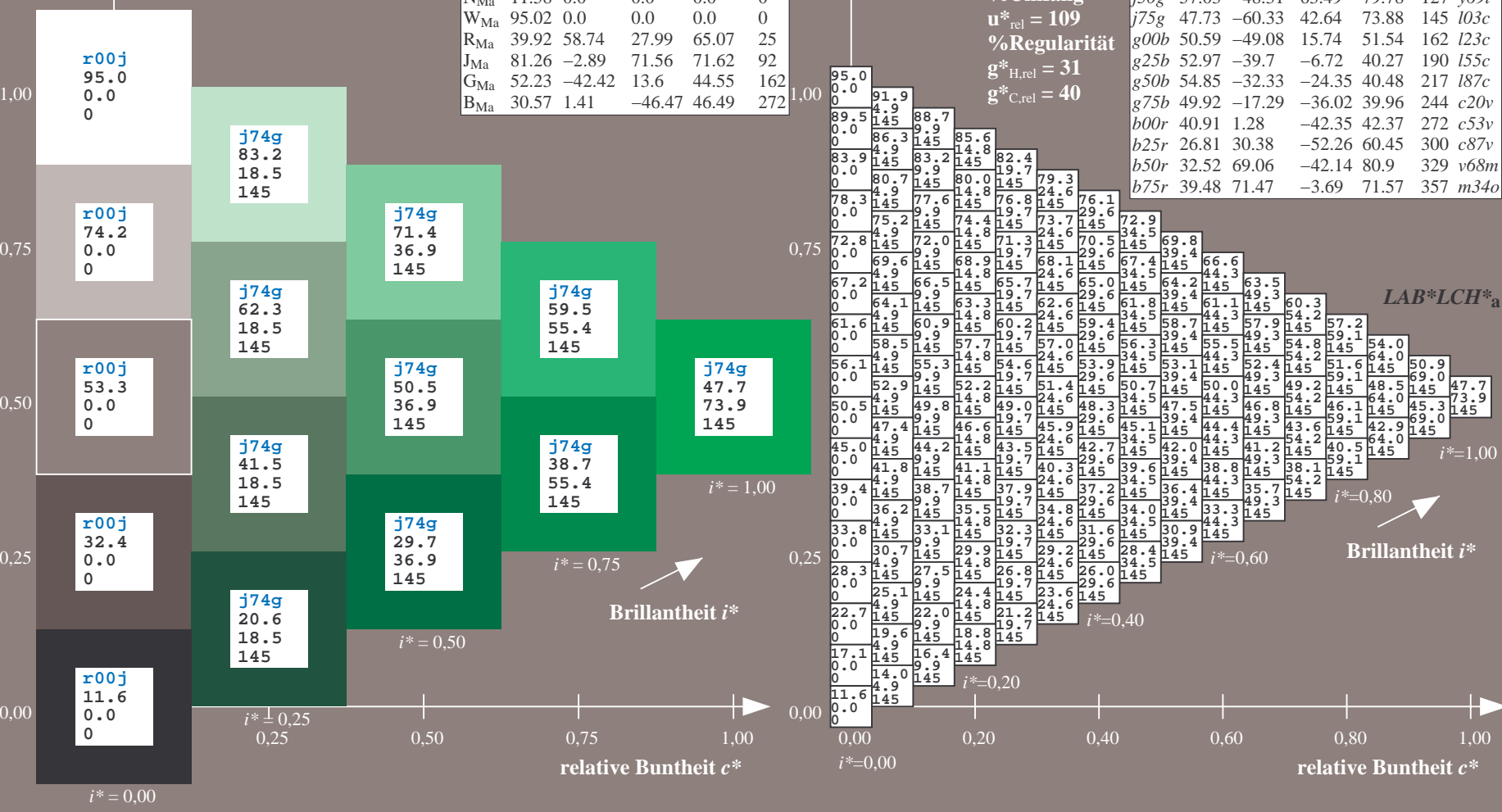
$u^*_{rel} = 109$

%Regularität

$g^*_{H,rel} = 31$

$g^*_{C,rel} = 40$

FRS12_95a; adaptierte CIELAB-Daten							
	u^*_e	$L^*=L^*_a$	a^*_a	b^*_a	$C^*_{ab,a}$	$h^*_{ab,a}$	u^*_d
r00j	38.47	63.32	30.17	70.15	25	m81o	
r25j	42.12	54.56	49.45	73.64	42	o10y	
r50j	53.64	39.15	64.89	75.79	59	o40y	
r75j	67.01	21.26	82.83	85.52	76	o69y	
j00g	86.18	-4.38	108.53	108.62	92	o98y	
j25g	69.73	-29.89	83.06	88.28	110	y34l	
j50g	57.03	-48.31	63.49	79.78	127	y69l	
j75g	47.73	-60.33	42.64	73.88	145	i03c	
g00b	50.59	-49.08	15.74	51.54	162	i23c	
g25b	52.97	-39.7	-6.72	40.27	190	i55c	
g50b	54.85	-32.33	-24.35	40.48	217	i87c	
g75b	49.92	-17.29	-36.02	39.96	244	c20c	
b00r	40.91	1.28	-42.35	42.37	272	c53v	
b25r	26.81	30.38	-52.26	60.45	300	c87v	
b50r	32.52	69.06	-42.14	80.9	329	v68m	
b75r	39.48	71.47	-3.69	71.57	357	m34o	



BAM-Registrierung: 20081001-Fg64/10L/L64g00NP.PDF/.PS BAM-Material: Code=rh4ta
 Anwendung für Beurteilung und Messung von Drucker- oder Monitorssystemen

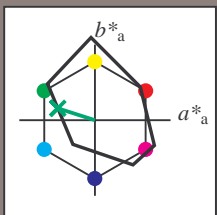
Ein und Ausgabe: Farbmetrisches Drucker-Reflektiv-System FRS12_95a, L*=12_95 für relative CIELAB-Buntton $h^* = lab^*h^* = h_{ab}^*/360 = 0.451$ $u^*_e = g00b$

Daten für jede Farbe:
 lab^*tch^* und lab^*icu^*

Bunttontexte:
 $u^*_e = g00b$ $u^*_d = l23c$

Kontrastreduzierungsfaktor:
 $c_R = 1.0$

Dreiecks-Helligkeit i^*



FRS12_95a; adaptierte CIELAB-Daten						
	u^*_e	$L^*=L^*_a$	a^*_a	b^*_a	$C^*_{ab,a}$	$h^*_{ab,a}$
O _{Ma}	38.06	60.0	44.0	74.4	36	
Y _{Ma}	86.77	-5.17	109.32	109.44	93	
L _{Ma}	47.13	-62.67	48.24	79.09	142	
C _{Ma}	55.66	-29.14	-31.99	43.27	228	
V _{Ma}	17.15	50.3	-59.04	77.57	310	
M _{Ma}	40.37	78.64	-33.5	85.48	337	
N _{Ma}	11.58	0.0	0.0	0.0	0	
W _{Ma}	95.02	0.0	0.0	0.0	0	
R _{Ma}	39.92	58.74	27.99	65.07	25	
J _{Ma}	81.26	-2.89	71.56	71.62	92	
G _{Ma}	52.23	-42.42	13.6	44.55	162	
B _{Ma}	30.57	1.41	-46.47	46.49	272	

Daten für Maximalfarbe (Ma):

$LAB^*LAB^*_Ma$: 51 -49 16

$LAB^*LCH^*_Ma$: 51 52 162

$lab^*rgb^*_Ma$: 0.0 1.0 0.0

$lab^*olv^*_Ma$: 0.0 1.0 0.23

Dreiecks-Helligkeit i^*

%Umfang

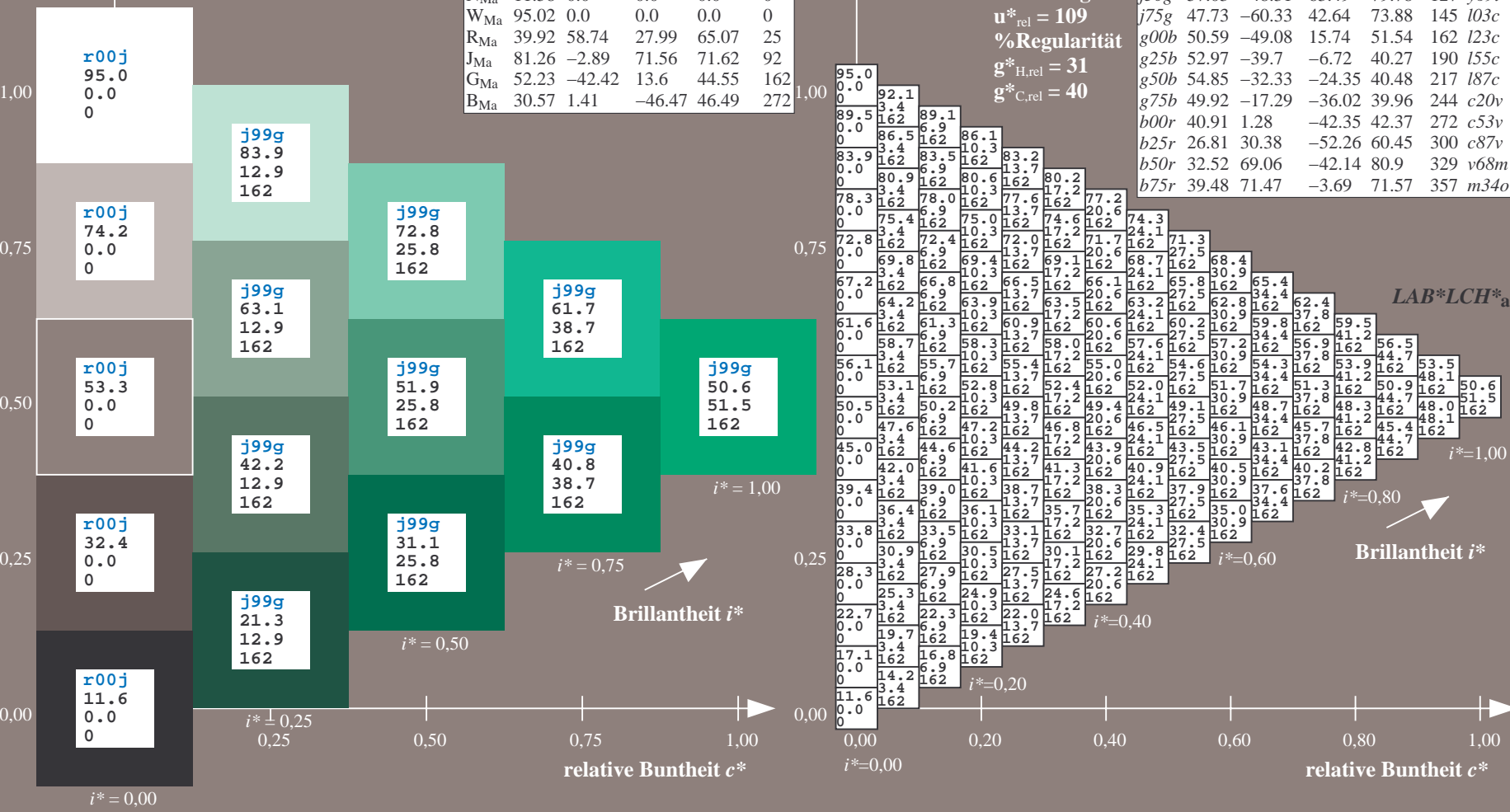
$u^*_{rel} = 109$

%Regularität

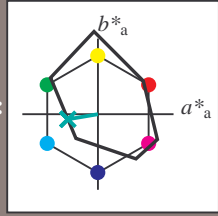
$g^*_{H,rel} = 31$

$g^*_{C,rel} = 40$

FRS12_95a; adaptierte CIELAB-Daten							
	u^*_e	$L^*=L^*_a$	a^*_a	b^*_a	$C^*_{ab,a}$	$h^*_{ab,a}$	u^*_d
r00j	38.47	63.32	30.17	70.15	25	m81o	
r25j	42.12	54.56	49.45	73.64	42	o10y	
r50j	53.64	39.15	64.89	75.79	59	o40y	
r75j	67.01	21.26	82.83	85.52	76	o69y	
j00g	86.18	-4.38	108.53	108.62	92	o98y	
j25g	69.73	-29.89	83.06	88.28	110	y34l	
j50g	57.03	-48.31	63.49	79.78	127	y69l	
j75g	47.73	-60.33	42.64	73.88	145	l03c	
g00b	50.59	-49.08	15.74	51.54	162	l23c	
g25b	52.97	-39.7	-6.72	40.27	190	l55c	
g50b	54.85	-32.33	-24.35	40.48	217	l87c	
g75b	49.92	-17.29	-36.02	39.96	244	c20v	
b00r	40.91	1.28	-42.35	42.37	272	c53v	
b25r	26.81	30.38	-52.26	60.45	300	c87v	
b50r	32.52	69.06	-42.14	80.9	329	v68m	
b75r	39.48	71.47	-3.69	71.57	357	m34o	



Ein und Ausgabe: Farbmetrisches Drucker-Reflektiv-System FRS12_95a, L*=12_95 für relative CIELAB-Buntton $h^* = lab^*h^* = h_{ab}/360 = 0.527$ $u^*_e = g25b$
 Daten für jede Farbe: lab^*tch^* und lab^*icu^*
 Bunttontexte: $u^*_e = g25b$ $u^*_d = l55c$
 Kontrastreduzierungsfaktor: $c_R = 1.0$
 Dreiecks-Helligkeit t^*



FRS12_95a; adaptierte CIELAB-Daten

	u^*_e	$L^*=L^*_a$	a^*_a	b^*_a	$C^*_{ab,a}$	$h^*_{ab,a}$
O _{Ma}	38.06	60.0	44.0	74.4	36	
Y _{Ma}	86.77	-5.17	109.32	109.44	93	
L _{Ma}	47.13	-62.67	48.24	79.09	142	
C _{Ma}	55.66	-29.14	-31.99	43.27	228	
V _{Ma}	17.15	50.3	-59.04	77.57	310	
M _{Ma}	40.37	78.64	-33.5	85.48	337	
N _{Ma}	11.58	0.0	0.0	0.0	0	
W _{Ma}	95.02	0.0	0.0	0.0	0	
R _{Ma}	39.92	58.74	27.99	65.07	25	
J _{Ma}	81.26	-2.89	71.56	71.62	92	
G _{Ma}	52.23	-42.42	13.6	44.55	162	
B _{Ma}	30.57	1.41	-46.47	46.49	272	

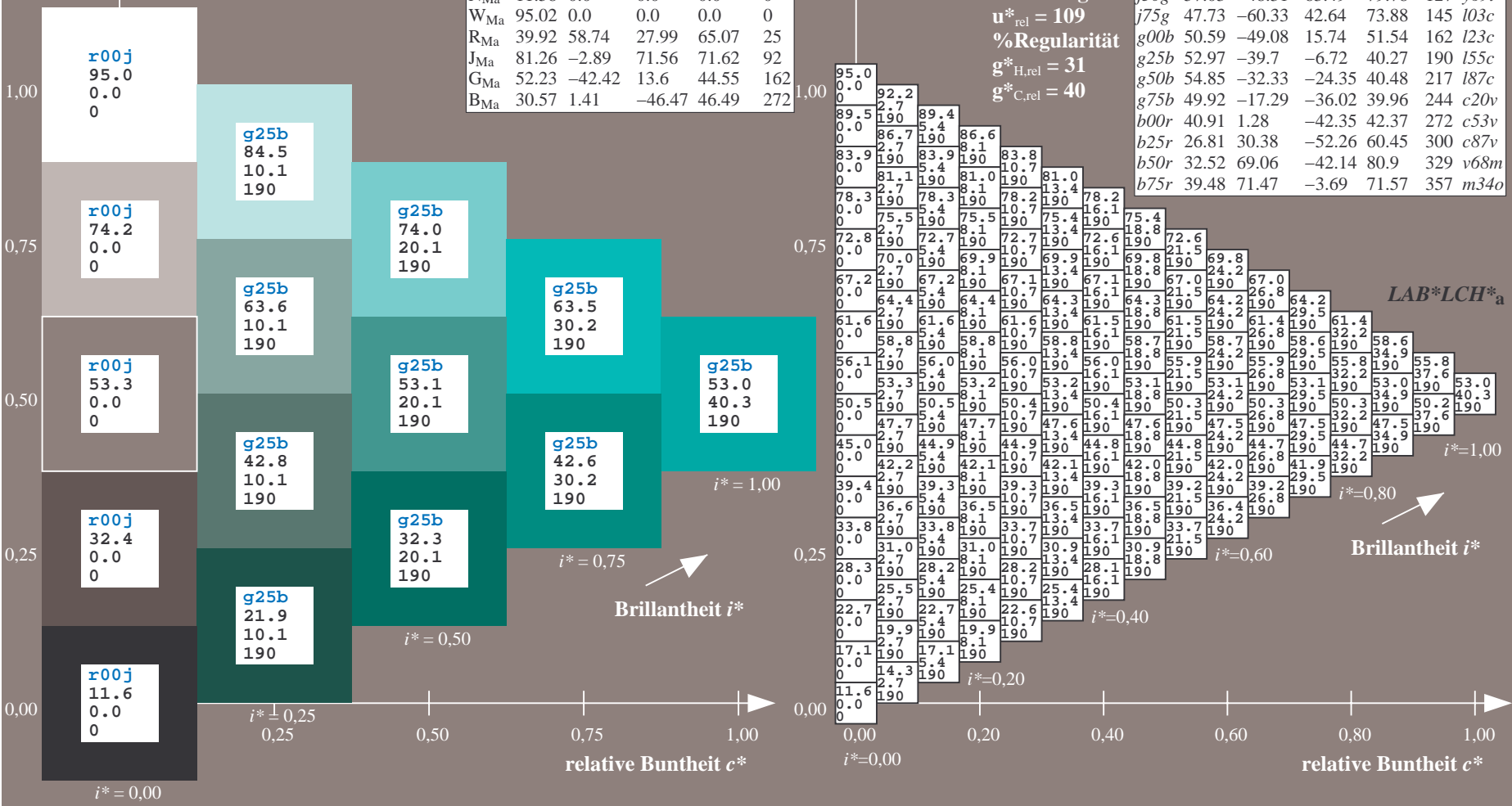
Daten für Maximalfarbe (Ma):

$LAB^*LAB^*_{Ma}$: 53 -40 -7
 $LAB^*LCH^*_{Ma}$: 53 40 189
 $lab^*rgb^*_{Ma}$: 0.0 1.0 0.5
 $lab^*olv^*_{Ma}$: 0.0 1.0 0.55

FRS12_95a; adaptierte CIELAB-Daten

	u^*_e	$L^*=L^*_a$	a^*_a	b^*_a	$C^*_{ab,a}$	$h^*_{ab,a}$	u^*_d
r00j	38.47	63.32	30.17	70.15	25	m81o	
r25j	42.12	54.56	49.45	73.64	42	o10y	
r50j	53.64	39.15	64.89	75.79	59	o40y	
r75j	67.01	21.26	82.83	85.52	76	o69y	
j00g	86.18	-4.38	108.53	108.62	92	o98y	
j25g	69.73	-29.89	83.06	88.28	110	y34l	
j50g	57.03	-48.31	63.49	79.78	127	y69l	
j75g	47.73	-60.33	42.64	73.88	145	l03c	
g00b	50.59	-49.08	15.74	51.54	162	l23c	
g25b	52.97	-39.7	-6.72	40.27	190	l55c	
g50b	54.85	-32.33	-24.35	40.48	217	l87c	
g75b	49.92	-17.29	-36.02	39.96	244	c20v	
b00r	40.91	1.28	-42.35	42.37	272	c53v	
b25r	26.81	30.38	-52.26	60.45	300	c87v	
b50r	32.52	69.06	-42.14	80.9	329	v68m	
b75r	39.48	71.47	-3.69	71.57	357	m34o	

Dreiecks-Helligkeit t^*
 %Umfang $u^*_{rel} = 109$
 %Regularität $g^*_{H,rel} = 31$
 $g^*_{C,rel} = 40$



Siehe ähnliche Dateien: <http://www.ps.bam.de/Fg64/>; www.ps.bam.de/Version.2.1,io=1,1,Colspx=0
 Technische Information: <http://www.ps.bam.de>

BAM-Registrierung: 20081001-Fg64/10L/L64g00NP.PDF/.PS BAM-Material: Code=rhatha
 Anwendung für Beurteilung und Messung von Drucker- oder Monitorssystemen

Ein und Ausgabe: Farbmetrisches Drucker-Reflektiv-System FRS12_95a, L*=12_95 für relativen CIELAB-Buntton $h^* = lab^*h^* = h_{ab}/360 = 0.603$ $u^*_e = g50b$

Daten für jede Farbe:

lab^*ch^* und lab^*icu^*

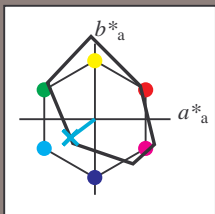
Bunttontexte:

$u^*_e = g50b$ $u^*_d = l87c$

Kontrastreduzierungsfaktor:

$c_R = 1.0$

Dreiecks-Helligkeit i^*



FRS12_95a; adaptierte CIELAB-Daten

	u^*_e	$L^*=L^*_a$	a^*_a	b^*_a	$C^*_{ab,a}$	$h^*_{ab,a}$
O _{Ma}	38.06	60.0	44.0	74.4	36	
Y _{Ma}	86.77	-5.17	109.32	109.44	93	
L _{Ma}	47.13	-62.67	48.24	79.09	142	
C _{Ma}	55.66	-29.14	-31.99	43.27	228	
V _{Ma}	17.15	50.3	-59.04	77.57	310	
M _{Ma}	40.37	78.64	-33.5	85.48	337	
N _{Ma}	11.58	0.0	0.0	0.0	0	
W _{Ma}	95.02	0.0	0.0	0.0	0	
R _{Ma}	39.92	58.74	27.99	65.07	25	
J _{Ma}	81.26	-2.89	71.56	71.62	92	
G _{Ma}	52.23	-42.42	13.6	44.55	162	
B _{Ma}	30.57	1.41	-46.47	46.49	272	

Daten für Maximalfarbe (Ma):

$LAB^*LAB^*_{Ma}$: 55 -32 -24

$LAB^*LCH^*_{Ma}$: 55 40 216

$lab^*rgb^*_{Ma}$: 0.0 1.0 1.0

$lab^*olv^*_{Ma}$: 0.0 1.0 0.87

Dreiecks-Helligkeit i^*

%Umfang

$u^*_{rel} = 109$

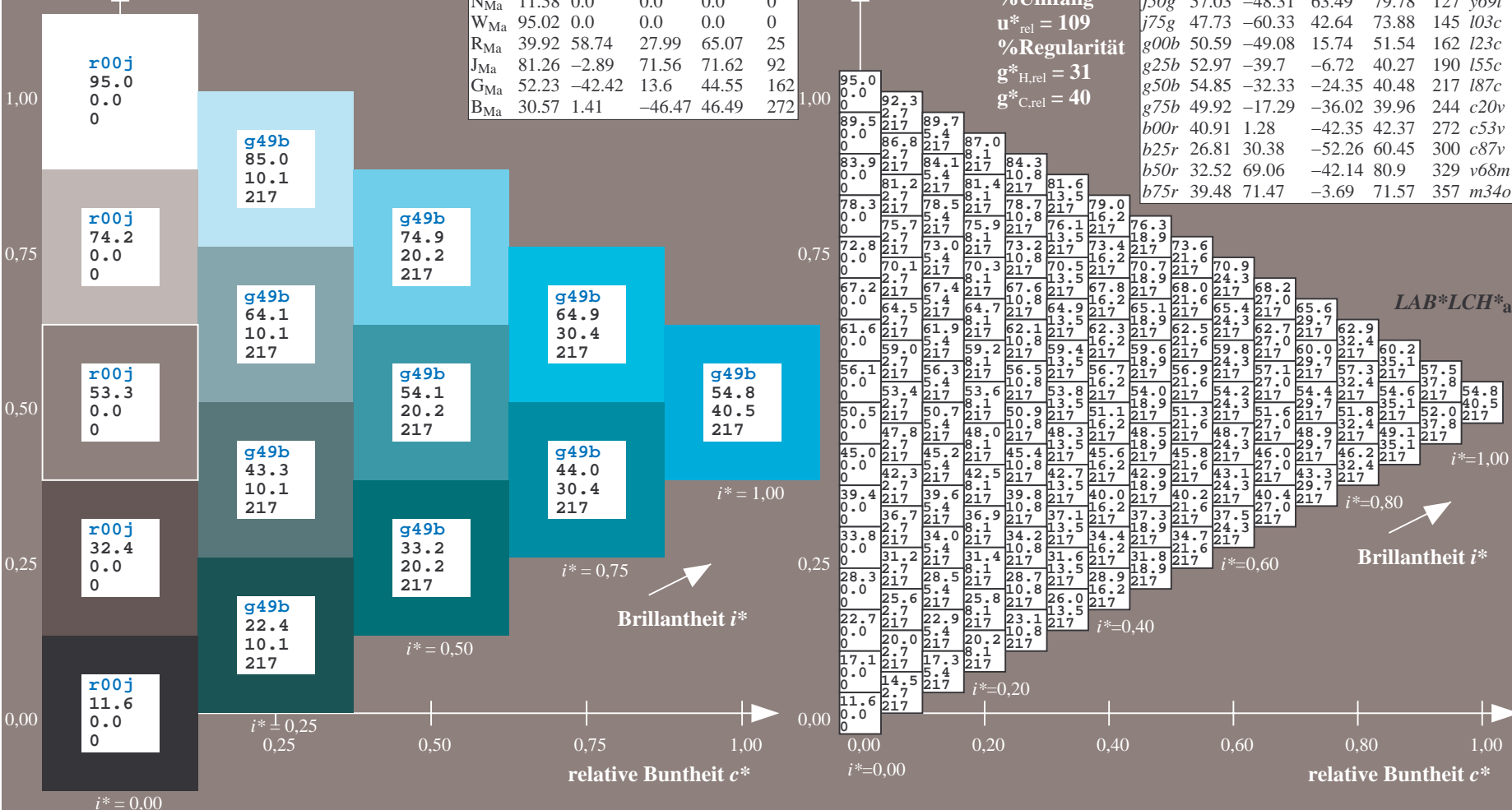
%Regularität

$g^*_{H,rel} = 31$

$g^*_{C,rel} = 40$

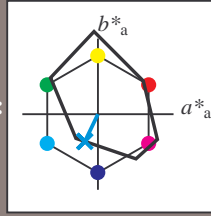
FRS12_95a; adaptierte CIELAB-Daten

	u^*_e	$L^*=L^*_a$	a^*_a	b^*_a	$C^*_{ab,a}$	$h^*_{ab,a}$	u^*_d
r00j	38.47	63.32	30.17	70.15	25	m81o	
r25j	42.12	54.56	49.45	73.64	42	o10y	
r50j	53.64	39.15	64.89	75.79	59	o40y	
r75j	67.01	21.26	82.83	85.52	76	o69y	
j00g	86.18	-4.38	108.53	108.62	92	o98y	
j25g	69.73	-29.89	83.06	88.28	110	y34l	
j50g	57.03	-48.31	63.49	79.78	127	y69l	
j75g	47.73	-60.33	42.64	73.88	145	l03c	
g00b	50.59	-49.08	15.74	51.54	162	l23c	
g25b	52.97	-39.7	-6.72	40.27	190	l55c	
g50b	54.85	-32.33	-24.35	40.48	217	l87c	
g75b	49.92	-17.29	-36.02	39.96	244	c20v	
b00r	40.91	1.28	-42.35	42.37	272	c53v	
b25r	26.81	30.38	-52.26	60.45	300	c87v	
b50r	32.52	69.06	-42.14	80.9	329	v68m	
b75r	39.48	71.47	-3.69	71.57	357	m34o	



BAM-Registrierung: 20081001-Fg64/10L/L64g00NP.PDF/.PS BAM-Material: Code=rh4ta
 Anwendung für Beurteilung und Messung von Drucker- oder Monitorssystemen

Ein und Ausgabe: Farbmetrisches Drucker-Reflektiv-System FRS12_95a, L*=12_95 für relative CIELAB-Buntton $h^* = lab^*h^* = h_{ab}/360 = 0.679$ $u^*_e = g75b$
 Daten für jede Farbe: lab^*tch^* und lab^*icu^*
 $u^*_e = g75b$ $u^*_d = c20v$
 Kontrastreduzierungsfaktor: $c_R = 1.0$
 Dreiecks-Helligkeit i^*



FRS12_95a; adaptierte CIELAB-Daten

	u^*_e	$L^*=L^*_a$	a^*_a	b^*_a	$C^*_{ab,a}$	$h^*_{ab,a}$
O _{Ma}	38.06	60.0	44.0	74.4	36	
Y _{Ma}	86.77	-5.17	109.32	109.44	93	
L _{Ma}	47.13	-62.67	48.24	79.09	142	
C _{Ma}	55.66	-29.14	-31.99	43.27	228	
V _{Ma}	17.15	50.3	-59.04	77.57	310	
M _{Ma}	40.37	78.64	-33.5	85.48	337	
N _{Ma}	11.58	0.0	0.0	0.0	0	
W _{Ma}	95.02	0.0	0.0	0.0	0	
R _{Ma}	39.92	58.74	27.99	65.07	25	
J _{Ma}	81.26	-2.89	71.56	71.62	92	
G _{Ma}	52.23	-42.42	13.6	44.55	162	
B _{Ma}	30.57	1.41	-46.47	46.49	272	

Daten für Maximalfarbe (Ma):

$LAB^*LAB^*_{Ma}: 50 -17 -36$

$LAB^*LCH^*_{Ma}: 50 40 244$

$lab^*rgb^*_{Ma}: 0.0 0.5 1.0$

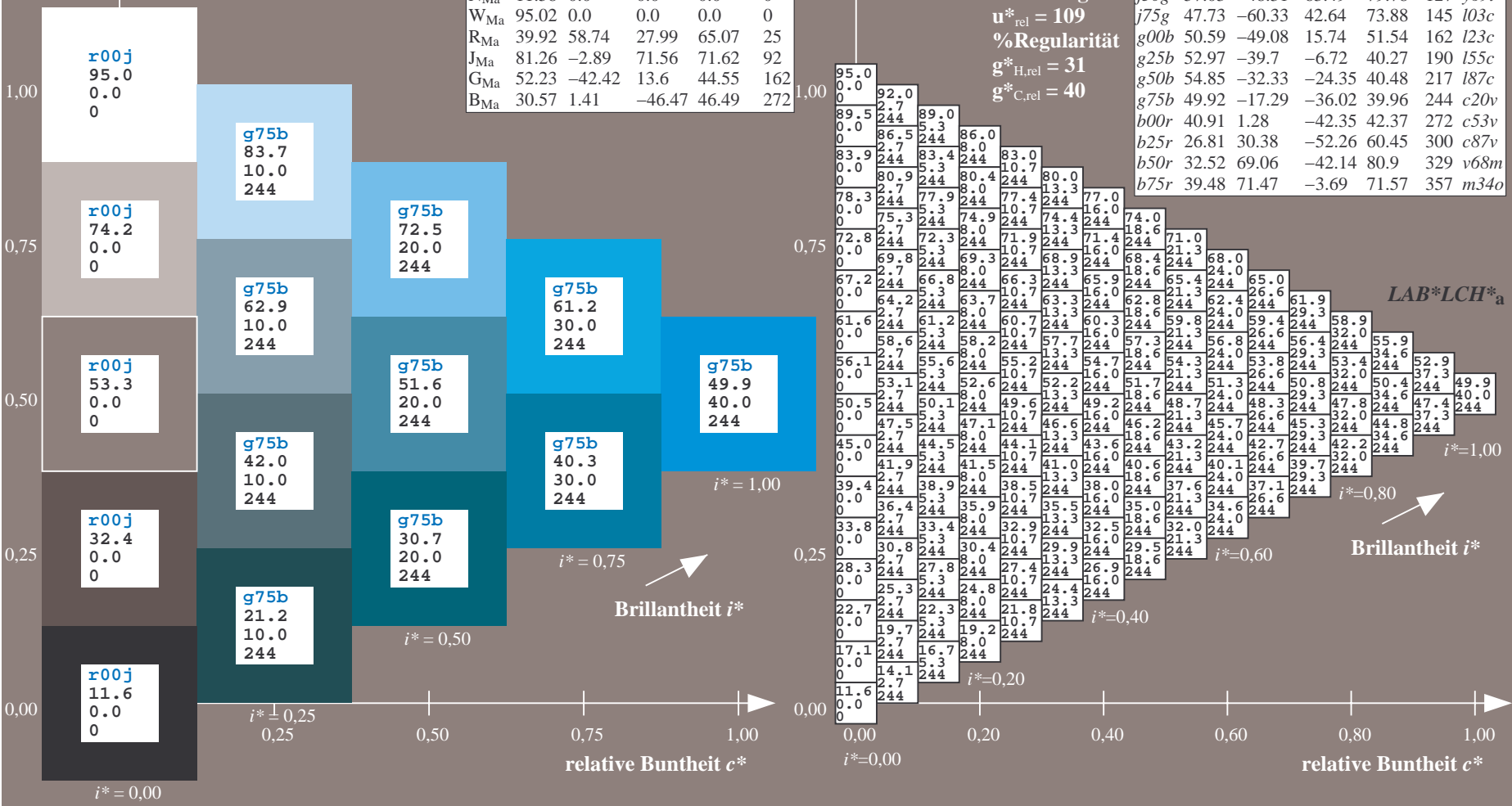
$lab^*olv^*_{Ma}: 0.0 0.8 1.0$

Dreiecks-Helligkeit i^*

%Umfang
 $u^*_{rel} = 109$
 %Regularität
 $g^*_{H,rel} = 31$
 $g^*_{C,rel} = 40$

FRS12_95a; adaptierte CIELAB-Daten

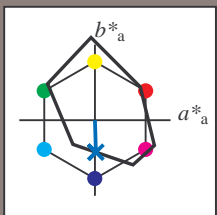
	u^*_e	$L^*=L^*_a$	a^*_a	b^*_a	$C^*_{ab,a}$	$h^*_{ab,a}$	u^*_d
r00j	38.47	63.32	30.17	70.15	25	m81o	
r25j	42.12	54.56	49.45	73.64	42	o10y	
r50j	53.64	39.15	64.89	75.79	59	o40y	
r75j	67.01	21.26	82.83	85.52	76	o69y	
j00g	86.18	-4.38	108.53	108.62	92	o98y	
j25g	69.73	-29.89	83.06	88.28	110	y34l	
j50g	57.03	-48.31	63.49	79.78	127	y69l	
j75g	47.73	-60.33	42.64	73.88	145	l03c	
g00b	50.59	-49.08	15.74	51.54	162	l23c	
g25b	52.97	-39.7	-6.72	40.27	190	l55c	
g50b	54.85	-32.33	-24.35	40.48	217	l87c	
g75b	49.92	-17.29	-36.02	39.96	244	c20v	
b00r	40.91	1.28	-42.35	42.37	272	c53v	
b25r	26.81	30.38	-52.26	60.45	300	c87v	
b50r	32.52	69.06	-42.14	80.9	329	v68m	
b75r	39.48	71.47	-3.69	71.57	357	m34o	



BAM-Registrierung: 20081001-Fg64/10L/L64g00NP.PDF/.PS BAM-Material: Code=rh4ta
 Anwendung für Beurteilung und Messung von Drucker- oder Monitorssystemen

Ein und Ausgabe: Farbmetrisches Drucker-Reflektiv-System FRS12_95a, L*=12_95 für relative CIELAB-Buntton $h^* = lab^*h^* = h_{ab}/360 = 0.755$ $u^*_e = b00r$
 $LAB^*LCH^*_a$

Daten für jede Farbe:
 lab^*ch^* und lab^*icu^*
 Bunttontexte:
 $u^*_e = b00r$ $u^*_d = c53v$
 Kontrastreduzierungsfaktor:
 $c_R = 1.0$
 Dreiecks-Helligkeit i^*



FRS12_95a; adaptierte CIELAB-Daten

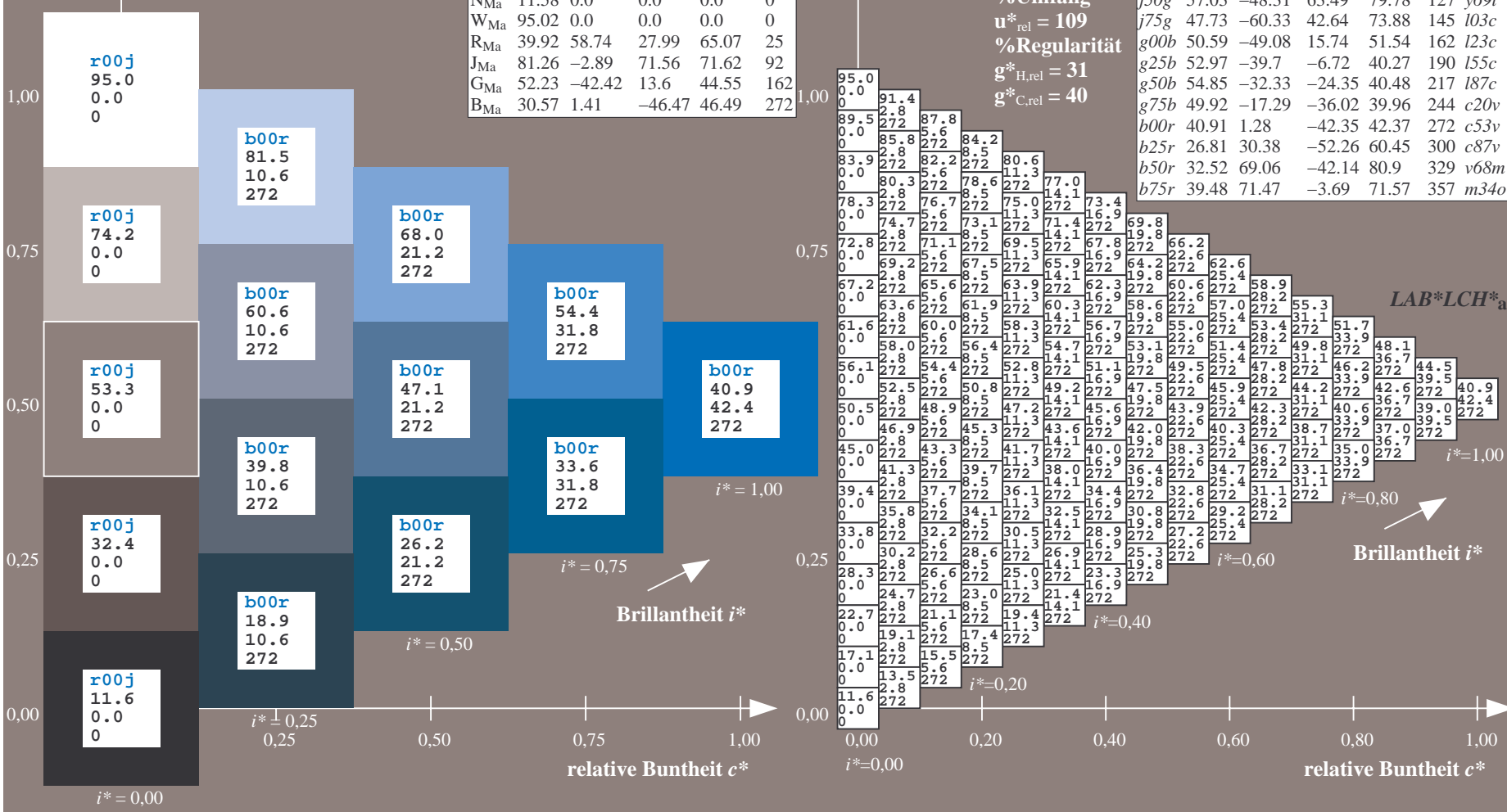
	u^*_e	$L^*=L^*_a$	a^*_a	b^*_a	$C^*_{ab,a}$	$h^*_{ab,a}$
O _{Ma}	38.06	60.0	44.0	74.4	36	
Y _{Ma}	86.77	-5.17	109.32	109.44	93	
L _{Ma}	47.13	-62.67	48.24	79.09	142	
C _{Ma}	55.66	-29.14	-31.99	43.27	228	
V _{Ma}	17.15	50.3	-59.04	77.57	310	
M _{Ma}	40.37	78.64	-33.5	85.48	337	
N _{Ma}	11.58	0.0	0.0	0.0	0	
W _{Ma}	95.02	0.0	0.0	0.0	0	
R _{Ma}	39.92	58.74	27.99	65.07	25	
J _{Ma}	81.26	-2.89	71.56	71.62	92	
G _{Ma}	52.23	-42.42	13.6	44.55	162	
B _{Ma}	30.57	1.41	-46.47	46.49	272	

Daten für Maximalfarbe (Ma):
 $LAB^*LAB^*_Ma$: 41 1 -42
 $LAB^*LCH^*_Ma$: 41 42 271
 $lab^*rgb^*_Ma$: 0.0 0.0 1.0
 $lab^*olv^*_Ma$: 0.0 0.47 1.0

FRS12_95a; adaptierte CIELAB-Daten

	u^*_e	$L^*=L^*_a$	a^*_a	b^*_a	$C^*_{ab,a}$	$h^*_{ab,a}$	u^*_d
r00j	38.47	63.32	30.17	70.15	25	m81o	
r25j	42.12	54.56	49.45	73.64	42	o10y	
r50j	53.64	39.15	64.89	75.79	59	o40y	
r75j	67.01	21.26	82.83	85.52	76	o69y	
j00g	86.18	-4.38	108.53	108.62	92	o98y	
j25g	69.73	-29.89	83.06	88.28	110	y34l	
j50g	57.03	-48.31	63.49	79.78	127	y69l	
j75g	47.73	-60.33	42.64	73.88	145	l03c	
g00b	50.59	-49.08	15.74	51.54	162	l23c	
g25b	52.97	-39.7	-6.72	40.27	190	l55c	
g50b	54.85	-32.33	-24.35	40.48	217	l87c	
g75b	49.92	-17.29	-36.02	39.96	244	c20v	
b00r	40.91	1.28	-42.35	42.37	272	c53v	
b25r	26.81	30.38	-52.26	60.45	300	c87v	
b50r	32.52	69.06	-42.14	80.9	329	v68m	
b75r	39.48	71.47	-3.69	71.57	357	m34o	

Dreiecks-Helligkeit i^*
 %Umfang
 $u^*_{rel} = 109$
 %Regularität
 $g^*_{H,rel} = 31$
 $g^*_{C,rel} = 40$

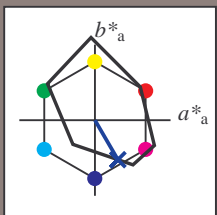


Siehe ähnliche Dateien: <http://www.ps.bam.de/Fg64/>; www.ps.bam.de/Version.2.1,io=1,1,Colspx=0
 Technische Information: <http://www.ps.bam.de>

BAM-Registrierung: 20081001-Fg64/10L/L64g00NP.PDF/.PS BAM-Material: Code=rh4ta
 Anwendung für Beurteilung und Messung von Drucker- oder Monitorssystemen

Ein und Ausgabe: Farbmetrisches Drucker-Reflektiv-System FRS12_95a, L*=12_95 für relativen CIELAB-Buntton $h^* = lab^*h^* = h_{ab}/360 = 0.834$ $u^*_e = b25r$
 $LAB^*LCH^*_a$

Daten für jede Farbe:
 lab^*ch^* und lab^*icu^*
 Bunttontexte:
 $u^*_e = b25r$ $u^*_d = c87v$
 Kontrastreduzierungsfaktor:
 $c_R = 1.0$
 Dreiecks-Helligkeit i^*



FRS12_95a; adaptierte CIELAB-Daten

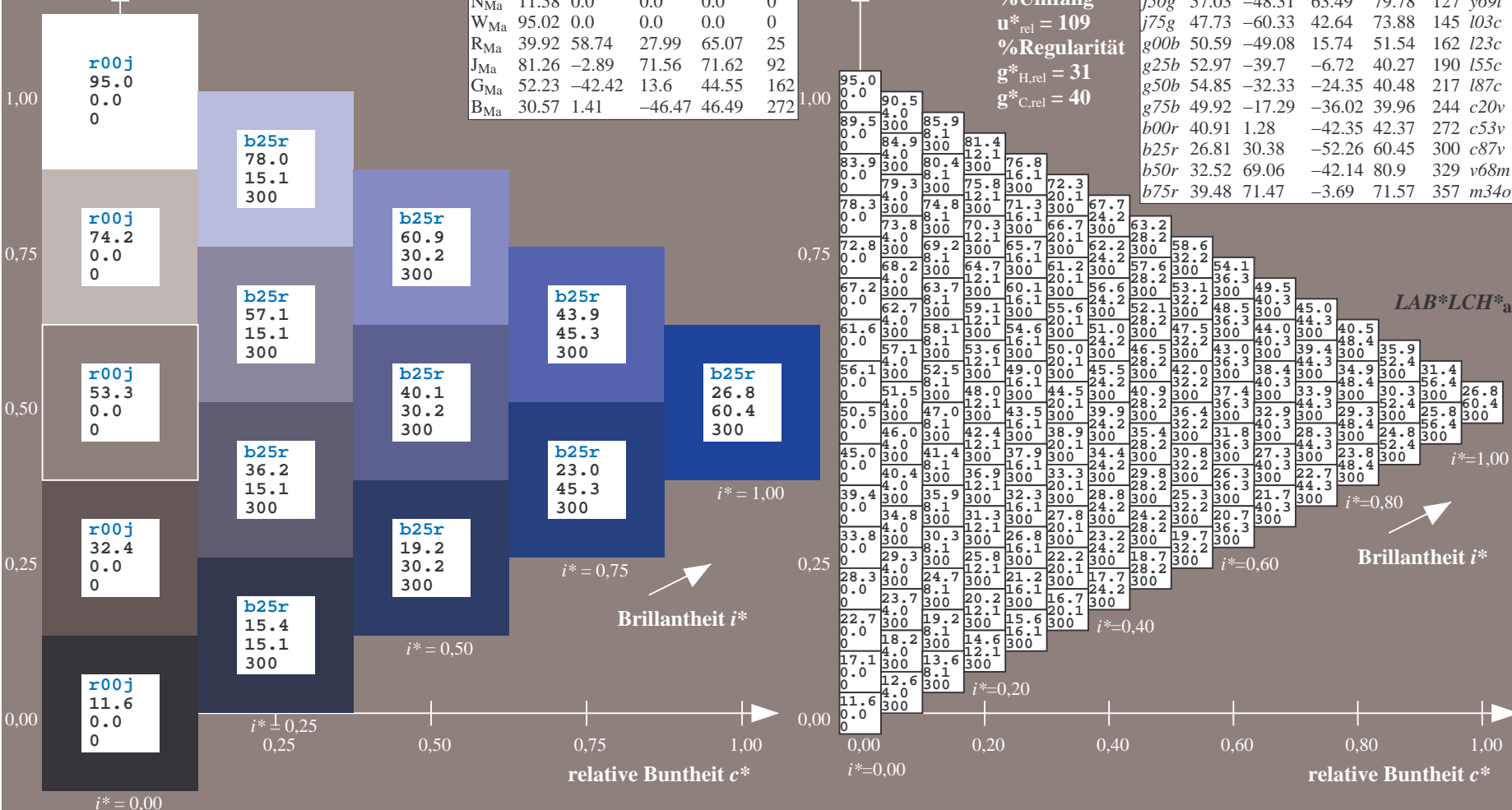
	u^*_e	$L^*=L^*_a$	a^*_a	b^*_a	$C^*_{ab,a}$	$h^*_{ab,a}$
O _{Ma}	38.06	60.0	44.0	74.4	36	
Y _{Ma}	86.77	-5.17	109.32	109.44	93	
L _{Ma}	47.13	-62.67	48.24	79.09	142	
C _{Ma}	55.66	-29.14	-31.99	43.27	228	
V _{Ma}	17.15	50.3	-59.04	77.57	310	
M _{Ma}	40.37	78.64	-33.5	85.48	337	
N _{Ma}	11.58	0.0	0.0	0.0	0	
W _{Ma}	95.02	0.0	0.0	0.0	0	
R _{Ma}	39.92	58.74	27.99	65.07	25	
J _{Ma}	81.26	-2.89	71.56	71.62	92	
G _{Ma}	52.23	-42.42	13.6	44.55	162	
B _{Ma}	30.57	1.41	-46.47	46.49	272	

Daten für Maximalfarbe (Ma):
 $LAB^*LAB^*_Ma: 27\ 30\ -52$
 $LAB^*LCH^*_Ma: 27\ 60\ 300$
 $lab^*rgb^*_Ma: 0.5\ 0.0\ 1.0$
 $lab^*olv^*_Ma: 0.0\ 0.12\ 1.0$

FRS12_95a; adaptierte CIELAB-Daten

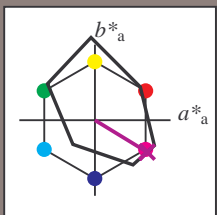
	u^*_e	$L^*=L^*_a$	a^*_a	b^*_a	$C^*_{ab,a}$	$h^*_{ab,a}$	u^*_d
r00j	38.47	63.32	30.17	70.15	25	m81o	
r25j	42.12	54.56	49.45	73.64	42	o10y	
r50j	53.64	39.15	64.89	75.79	59	o40y	
r75j	67.01	21.26	82.83	85.52	76	o69y	
j00g	86.18	-4.38	108.53	108.62	92	o98y	
j25g	69.73	-29.89	83.06	88.28	110	y34l	
j50g	57.03	-48.31	63.49	79.78	127	y69l	
j75g	47.73	-60.33	42.64	73.88	145	l03c	
g00b	50.59	-49.08	15.74	51.54	162	l23c	
g25b	52.97	-39.7	-6.72	40.27	190	l55c	
g50b	54.85	-32.33	-24.35	40.48	217	l87c	
g75b	49.92	-17.29	-36.02	39.96	244	c20v	
b00r	40.91	1.28	-42.35	42.37	272	c53v	
b25r	26.81	30.38	-52.26	60.45	300	c87v	
b50r	32.52	69.06	-42.14	80.9	329	v68m	
b75r	39.48	71.47	-3.69	71.57	357	m34o	

Dreiecks-Helligkeit i^*
 %Umfang
 $u^*_{rel} = 109$
 %Regularität
 $g^*_{H,rel} = 31$
 $g^*_{C,rel} = 40$



Ein und Ausgabe: Farbmetrisches Drucker-Reflektiv-System FRS12_95a, L*=12_95 für relativen CIELAB-Buntton $h^* = lab^*h^* = h_{ab}/360 = 0.913$ $u^*_e = b50r$
 $LAB^*LCH^*_a$

Daten für jede Farbe:
 lab^*ch^* und lab^*icu^*
 Bunttontexte:
 $u^*_e = b50r$ $u^*_d = v68m$
 Kontrastreduzierungsfaktor:
 $c_R = 1.0$
 Dreiecks-Helligkeit i^*



FRS12_95a; adaptierte CIELAB-Daten

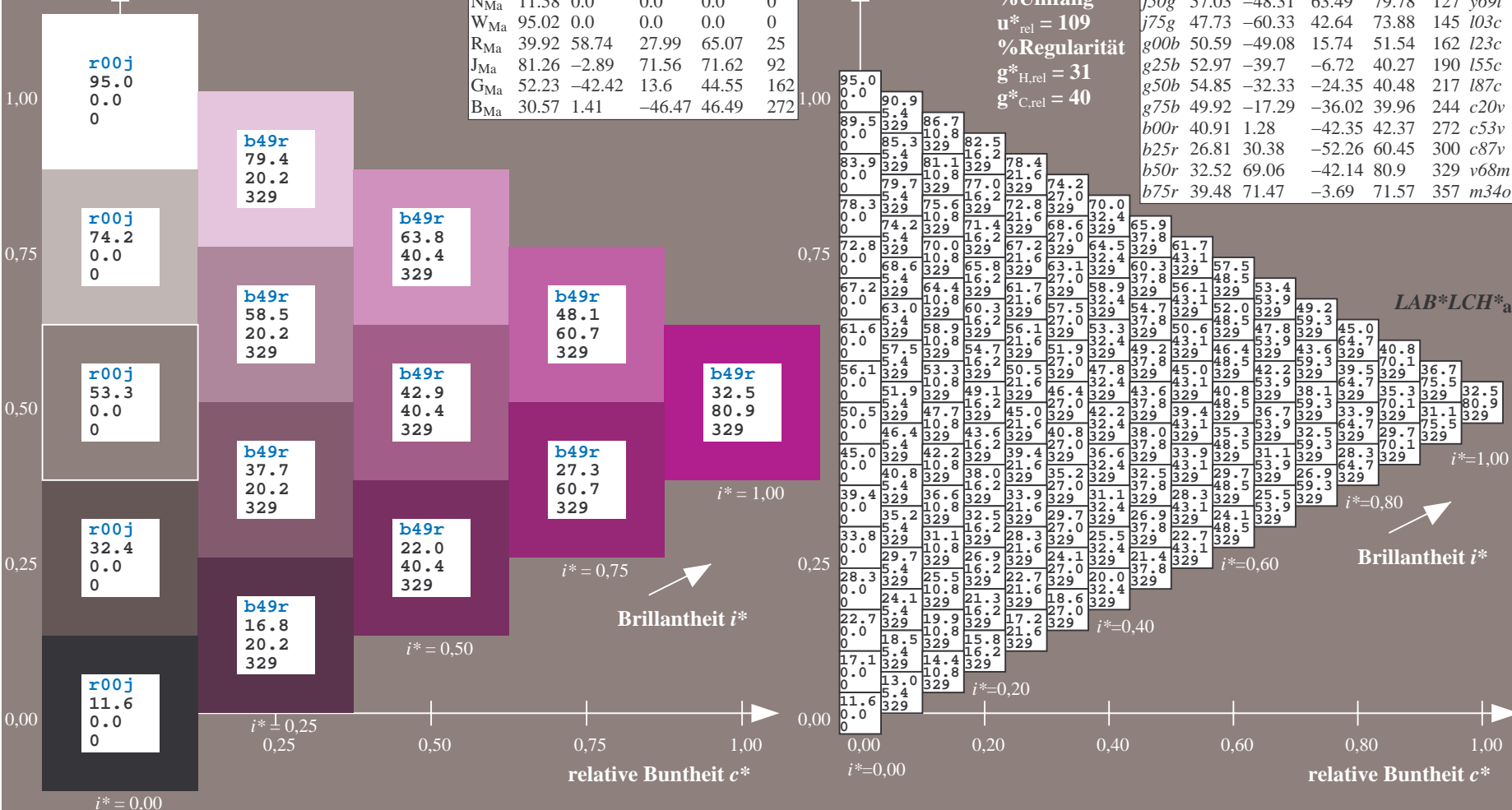
	u^*_e	$L^*=L^*_a$	a^*_a	b^*_a	$C^*_{ab,a}$	$h^*_{ab,a}$
O _{Ma}	38.06	60.0	44.0	74.4	36	
Y _{Ma}	86.77	-5.17	109.32	109.44	93	
L _{Ma}	47.13	-62.67	48.24	79.09	142	
C _{Ma}	55.66	-29.14	-31.99	43.27	228	
V _{Ma}	17.15	50.3	-59.04	77.57	310	
M _{Ma}	40.37	78.64	-33.5	85.48	337	
N _{Ma}	11.58	0.0	0.0	0.0	0	
W _{Ma}	95.02	0.0	0.0	0.0	0	
R _{Ma}	39.92	58.74	27.99	65.07	25	
J _{Ma}	81.26	-2.89	71.56	71.62	92	
G _{Ma}	52.23	-42.42	13.6	44.55	162	
B _{Ma}	30.57	1.41	-46.47	46.49	272	

Daten für Maximalfarbe (Ma):
 $LAB^*LAB^*_Ma: 33\ 69\ -42$
 $LAB^*LCH^*_Ma: 33\ 81\ 328$
 $lab^*rgb^*_Ma: 1.0\ 0.0\ 1.0$
 $lab^*olv^*_Ma: 0.69\ 0.0\ 1.0$

FRS12_95a; adaptierte CIELAB-Daten

	u^*_e	$L^*=L^*_a$	a^*_a	b^*_a	$C^*_{ab,a}$	$h^*_{ab,a}$	u^*_d
r00j	38.47	63.32	30.17	70.15	25	m81o	
r25j	42.12	54.56	49.45	73.64	42	o10y	
r50j	53.64	39.15	64.89	75.79	59	o40y	
r75j	67.01	21.26	82.83	85.52	76	o69y	
j00g	86.18	-4.38	108.53	108.62	92	o98y	
j25g	69.73	-29.89	83.06	88.28	110	y34l	
j50g	57.03	-48.31	63.49	79.78	127	y69l	
j75g	47.73	-60.33	42.64	73.88	145	l03c	
g00b	50.59	-49.08	15.74	51.54	162	l23c	
g25b	52.97	-39.7	-6.72	40.27	190	l55c	
g50b	54.85	-32.33	-24.35	40.48	217	l87c	
g75b	49.92	-17.29	-36.02	39.96	244	c20v	
b00r	40.91	1.28	-42.35	42.37	272	c53v	
b25r	26.81	30.38	-52.26	60.45	300	c87v	
b50r	32.52	69.06	-42.14	80.9	329	v68m	
b75r	39.48	71.47	-3.69	71.57	357	m34o	

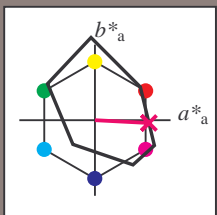
Dreiecks-Helligkeit i^*
 %Umfang
 $u^*_{rel} = 109$
 %Regularität
 $g^*_{H,rel} = 31$
 $g^*_{C,rel} = 40$



BAM-Registrierung: 20081001-Fg64/10L/L64g00NP.PDF/.PS BAM-Material: Code=rh4ta
 Anwendung für Beurteilung und Messung von Drucker- oder Monitorssystemen

Ein und Ausgabe: Farbmetrisches Drucker-Reflektiv-System FRS12_95a, L*=12_95 für relative CIELAB-Buntton $h^* = lab^*h^* = h_{ab}/360 = 0.992$ $u^*_e = b75r$
 $LAB^*LCH^*_a$

Daten für jede Farbe:
 lab^*ch^* und lab^*icu^*
 Bunttontexte:
 $u^*_e = b75r$ $u^*_d = m34o$
 Kontrastreduzierungsfaktor:
 $c_R = 1.0$
 Dreiecks-Helligkeit i^*

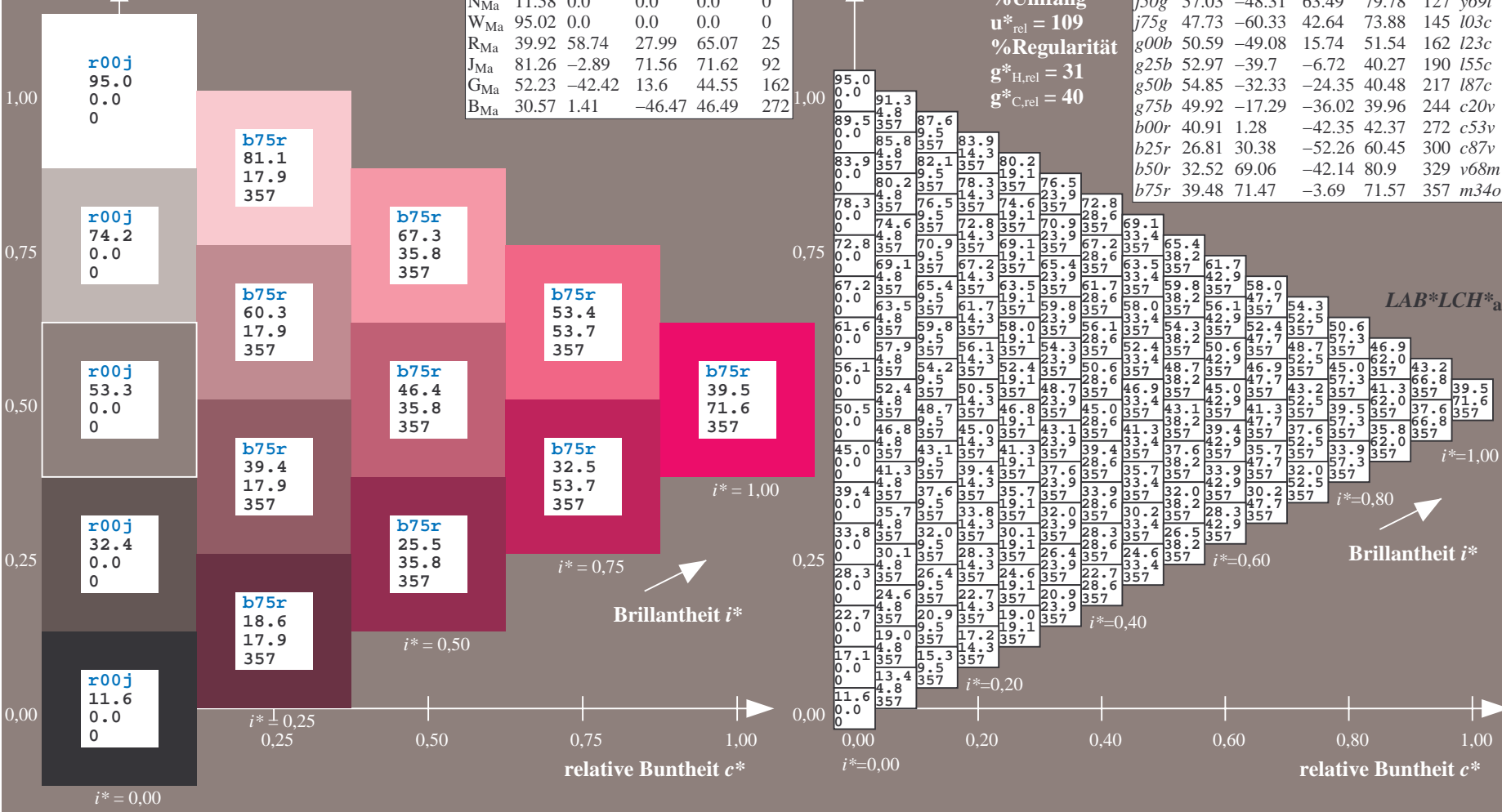


FRS12_95a; adaptierte CIELAB-Daten						
	u^*_e	$L^*=L^*_a$	a^*_a	b^*_a	$C^*_{ab,a}$	$h^*_{ab,a}$
O _{Ma}	38.06	60.0	44.0	74.4	36	
Y _{Ma}	86.77	-5.17	109.32	109.44	93	
L _{Ma}	47.13	-62.67	48.24	79.09	142	
C _{Ma}	55.66	-29.14	-31.99	43.27	228	
V _{Ma}	17.15	50.3	-59.04	77.57	310	
M _{Ma}	40.37	78.64	-33.5	85.48	337	
N _{Ma}	11.58	0.0	0.0	0.0	0	
W _{Ma}	95.02	0.0	0.0	0.0	0	
R _{Ma}	39.92	58.74	27.99	65.07	25	
J _{Ma}	81.26	-2.89	71.56	71.62	92	
G _{Ma}	52.23	-42.42	13.6	44.55	162	
B _{Ma}	30.57	1.41	-46.47	46.49	272	

Daten für Maximalfarbe (Ma):
 $LAB^*LAB^*_Ma: 39\ 71\ -4$
 $LAB^*LCH^*_Ma: 39\ 72\ 357$
 $lab^*rgb^*_Ma: 1.0\ 0.0\ 0.5$
 $lab^*olv^*_Ma: 1.0\ 0.0\ 0.66$

FRS12_95a; adaptierte CIELAB-Daten							
	u^*_e	$L^*=L^*_a$	a^*_a	b^*_a	$C^*_{ab,a}$	$h^*_{ab,a}$	u^*_d
r00j	38.47	63.32	30.17	70.15	25	m81o	
r25j	42.12	54.56	49.45	73.64	42	o10y	
r50j	53.64	39.15	64.89	75.79	59	o40y	
r75j	67.01	21.26	82.83	85.52	76	o69y	
j00g	86.18	-4.38	108.53	108.62	92	o98y	
j25g	69.73	-29.89	83.06	88.28	110	y34l	
j50g	57.03	-48.31	63.49	79.78	127	y69l	
j75g	47.73	-60.33	42.64	73.88	145	l03c	
g00b	50.59	-49.08	15.74	51.54	162	l23c	
g25b	52.97	-39.7	-6.72	40.27	190	l55c	
g50b	54.85	-32.33	-24.35	40.48	217	l87c	
g75b	49.92	-17.29	-36.02	39.96	244	c20v	
b00r	40.91	1.28	-42.35	42.37	272	c53v	
b25r	26.81	30.38	-52.26	60.45	300	c87v	
b50r	32.52	69.06	-42.14	80.9	329	v68m	
b75r	39.48	71.47	-3.69	71.57	357	m34o	

Dreiecks-Helligkeit i^*
 %Umfang
 $u^*_{rel} = 109$
 %Regularität
 $g^*_{H,rel} = 31$
 $g^*_{C,rel} = 40$



BAM-Registrierung: 20081001-Fg64/10L/L64g00NP.PDF/.PS BAM-Material: Code=rh4ta
 Anwendung für Beurteilung und Messung von Drucker- oder Monitorssystemen

N: Keine Ausgabe-Linearisierung (OL) in Datei (F), Startup (S), Gerät (D)

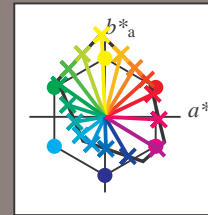
Stiehe ähnliche Dateien: <http://www.ps.bam.de/Fg64/>; www.ps.bam.de/Fg64/; www.ps.bam.de/Fg64/
Technische Information: <http://www.ps.bam.de> Version 2.1, io=1, ColSpX=0

Table with columns A through LAB*LCH*a and rows 01 through 27. Each cell contains numerical data representing colorimetric values.

BAM-Registrierung: 20081001-Fg64/10L/L64g00NP.PDF/.PS BAM-Material: Code=thata
Anwendung für Beurteilung und Messung von Drucker- oder Monitorsystemen

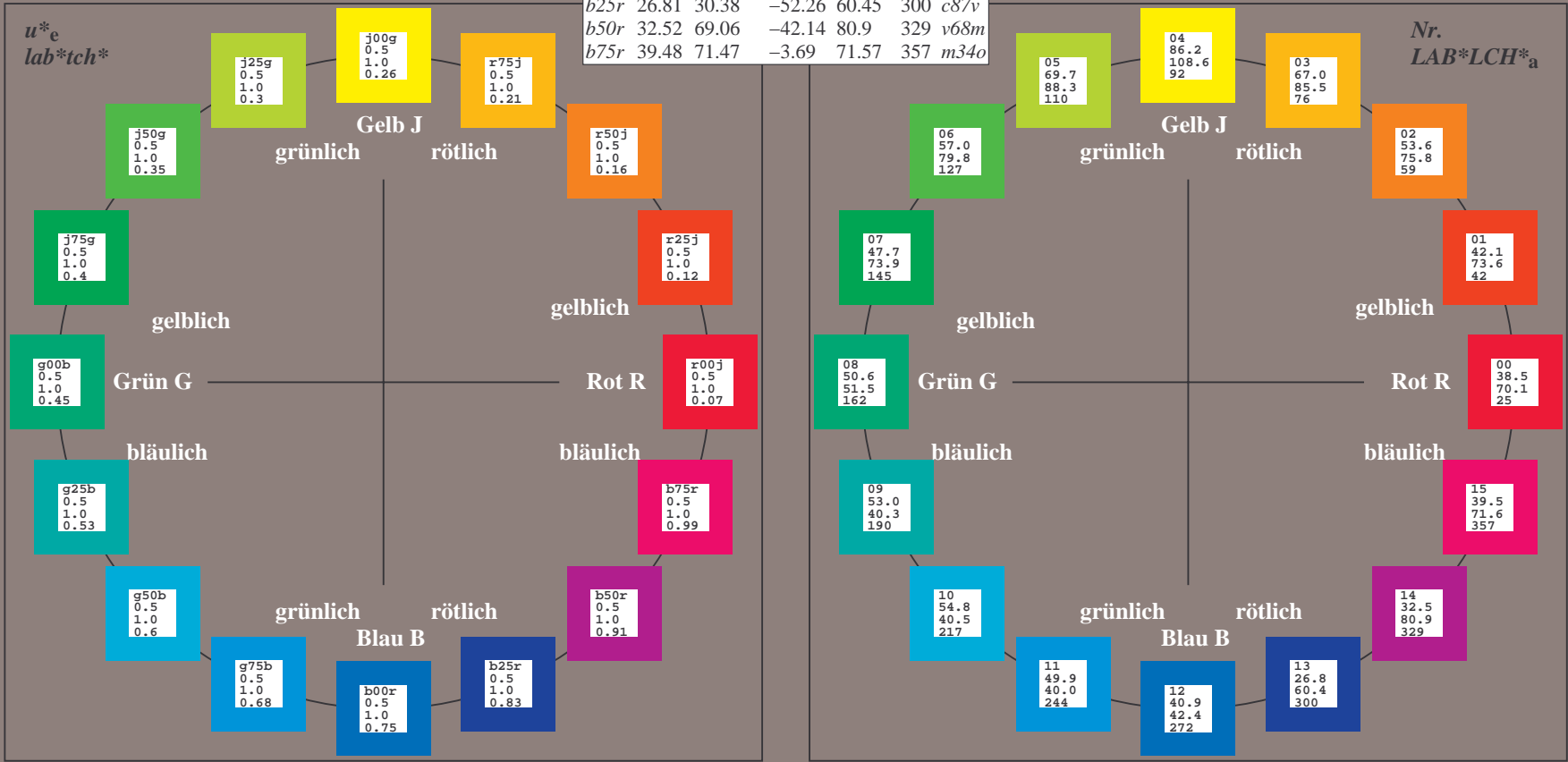
Ein und Ausgabe:
 Farbmetrisches Drucker-Reflektiv-System FRS12_95a
 Daten für jede Farbe:
 u^*_e und Nummer *Nr.* = 00 .. 15
 Elementar-Bunttext:
 $u^*_e = 16$ Bunttoene *r00j, r25j, ..., b75r*
 Kontrastreduzierungsfaktor:
 $c_R = 1.0$

FRS12_95a; adaptierte CIELAB-Daten						
u^*_e	$L^*=L^*_a$	a^*_a	b^*_a	$C^*_{ab,a}$	$h^*_{ab,a}$	u^*_d
r00j	38.47	63.32	30.17	70.15	25	m81o
r25j	42.12	54.56	49.45	73.64	42	o10y
r50j	53.64	39.15	64.89	75.79	59	o40y
r75j	67.01	21.26	82.83	85.52	76	o69y
j00g	86.18	-4.38	108.53	108.62	92	o98y
j25g	69.73	-29.89	83.06	88.28	110	y34l
j50g	57.03	-48.31	63.49	79.78	127	y69l
j75g	47.73	-60.33	42.64	73.88	145	l03c
g00b	50.59	-49.08	15.74	51.54	162	l23c
g25b	52.97	-39.7	-6.72	40.27	190	l55c
g50b	54.85	-32.33	-24.35	40.48	217	l87c
g75b	49.92	-17.29	-36.02	39.96	244	c20v
b00r	40.91	1.28	-42.35	42.37	272	c53v
b25r	26.81	30.38	-52.26	60.45	300	c87v
b50r	32.52	69.06	-42.14	80.9	329	v68m
b75r	39.48	71.47	-3.69	71.57	357	m34o



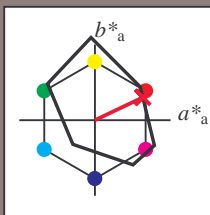
%Umfang
 $u^*_{rel} = 109$
 %Regularität
 $g^*_{H,rel} = 31$
 $g^*_{C,rel} = 40$

FRS12_95a; adaptierte CIELAB-Daten					
Name	$L^*=L^*_a$	a^*_a	b^*_a	$C^*_{ab,a}$	$h^*_{ab,a}$
OMa	38.06	60.0	44.0	74.4	36
YMa	86.77	-5.17	109.32	109.44	93
LMa	47.13	-62.67	48.24	79.09	142
CMa	55.66	-29.14	-31.99	43.27	228
VMa	17.15	50.3	-59.04	77.57	310
MMa	40.37	78.64	-33.5	85.48	337
NMa	11.58	0.0	0.0	0.0	0
WMa	95.02	0.0	0.0	0.0	0
JCIE	39.92	58.74	27.99	65.07	25
RCIE	81.26	-2.89	71.56	71.62	92
GCIE	52.23	-42.42	13.6	44.55	162
BCIE	30.57	1.41	-46.47	46.49	272



Ein und Ausgabe: Farbmetrisches Drucker-Reflektiv-System FRS12_95a, L*=12_95 für relative CIELAB-Buntton $h^* = lab^*h^* = h_{ab}/360 = 0.071$ $u^*_e = r00j$
 lab^*tch^* und lab^*icu^*

Daten für jede Farbe:
 lab^*tch^* und lab^*icu^*
 Bunttontexte:
 $u^*_e = r00j$ $u^*_d = m81o$
 Kontrastreduzierungsfaktor:
 $c_R = 1.0$
 Dreiecks-Helligkeit i^*



FRS12_95a; adaptierte CIELAB-Daten

	u^*_e	$L^*=L^*_a$	a^*_a	b^*_a	$C^*_{ab,a}$	$h^*_{ab,a}$
O _{Ma}	38.06	60.0	44.0	74.4	36	
Y _{Ma}	86.77	-5.17	109.32	109.44	93	
L _{Ma}	47.13	-62.67	48.24	79.09	142	
C _{Ma}	55.66	-29.14	-31.99	43.27	228	
V _{Ma}	17.15	50.3	-59.04	77.57	310	
M _{Ma}	40.37	78.64	-33.5	85.48	337	
N _{Ma}	11.58	0.0	0.0	0.0	0	
W _{Ma}	95.02	0.0	0.0	0.0	0	
R _{Ma}	39.92	58.74	27.99	65.07	25	
J _{Ma}	81.26	-2.89	71.56	71.62	92	
G _{Ma}	52.23	-42.42	13.6	44.55	162	
B _{Ma}	30.57	1.41	-46.47	46.49	272	

Daten für Maximalfarbe (Ma):

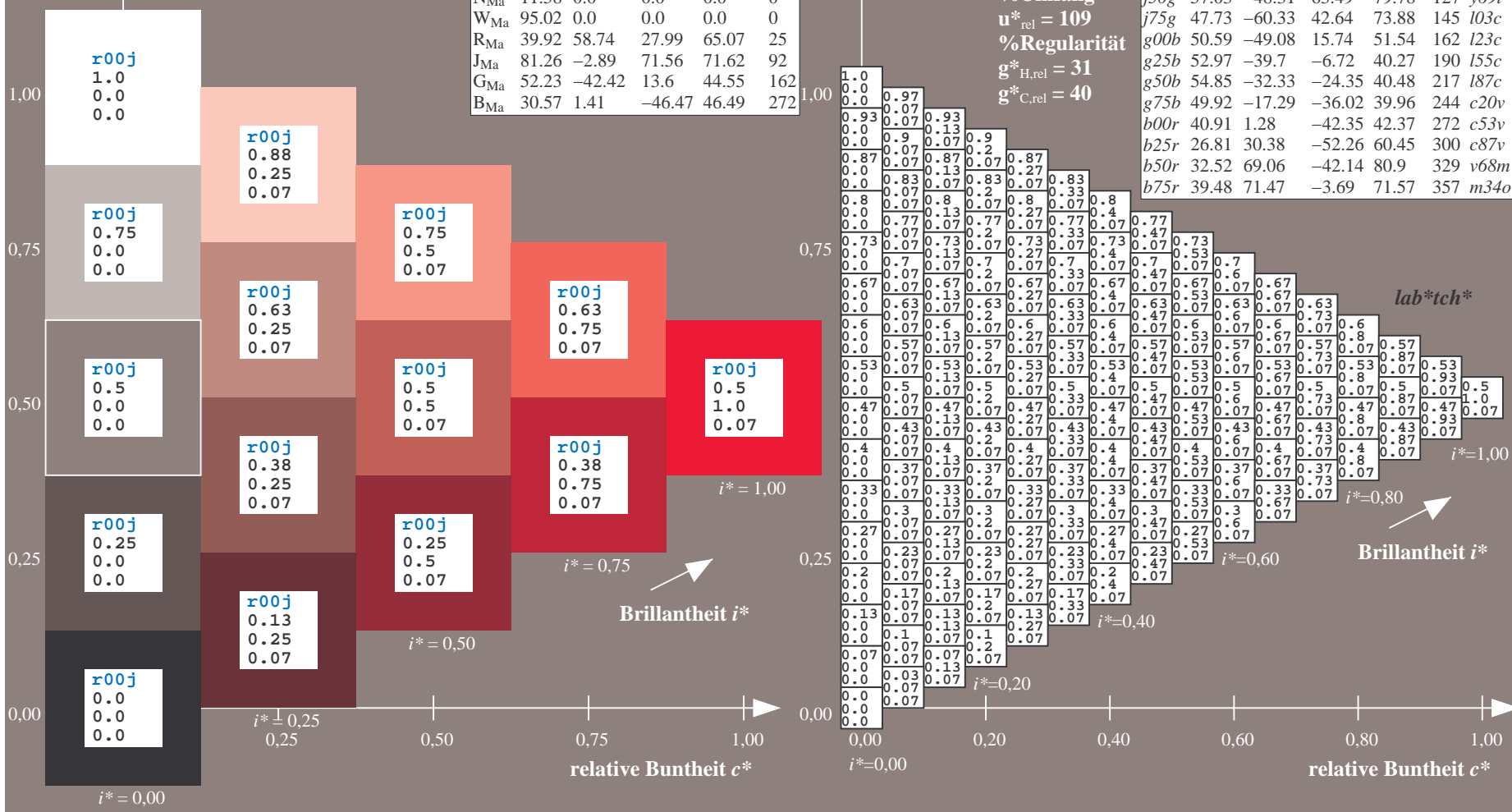
$LAB^*LAB^*_{Ma}$: 38 63 30
 $LAB^*LCH^*_{Ma}$: 38 70 25
 $lab^*rgb^*_{Ma}$: 1.0 0.0 0.0
 $lab^*olv^*_{Ma}$: 1.0 0.0 0.18

FRS12_95a; adaptierte CIELAB-Daten

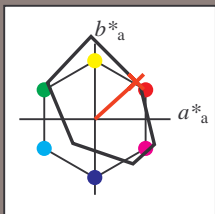
	u^*_e	$L^*=L^*_a$	a^*_a	b^*_a	$C^*_{ab,a}$	$h^*_{ab,a}$	u^*_d
r00j	38.47	63.32	30.17	70.15	25	m81o	
r25j	42.12	54.56	49.45	73.64	42	o10y	
r50j	53.64	39.15	64.89	75.79	59	o40y	
r75j	67.01	21.26	82.83	85.52	76	o69y	
j00g	86.18	-4.38	108.53	108.62	92	o98y	
j25g	69.73	-29.89	83.06	88.28	110	y34l	
j50g	57.03	-48.31	63.49	79.78	127	y69l	
j75g	47.73	-60.33	42.64	73.88	145	l03c	
g00b	50.59	-49.08	15.74	51.54	162	l23c	
g25b	52.97	-39.7	-6.72	40.27	190	l55c	
g50b	54.85	-32.33	-24.35	40.48	217	l87c	
g75b	49.92	-17.29	-36.02	39.96	244	c20v	
b00r	40.91	1.28	-42.35	42.37	272	c53v	
b25r	26.81	30.38	-52.26	60.45	300	c87v	
b50r	32.52	69.06	-42.14	80.9	329	v68m	
b75r	39.48	71.47	-3.69	71.57	357	m34o	

Dreiecks-Helligkeit i^*

%Umfang
 $u^*_{rel} = 109$
 %Regularität
 $g^*_{H,rel} = 31$
 $g^*_{C,rel} = 40$



Ein und Ausgabe: Farbmetrisches Drucker-Reflektiv-System FRS12_95a, L*=12_95 für relative CIELAB-Buntton $h^* = lab^*h^* = h_{ab}/360 = 0.117$ $u^*_e = r25j$
 Daten für jede Farbe: lab^*tch^* und lab^*icu^*
 Bunttontexte: $u^*_e = r25j$ $u^*_d = o10y$
 Kontrastreduzierungsfaktor: $c_R = 1.0$
 Dreiecks-Helligkeit i^*



FRS12_95a; adaptierte CIELAB-Daten

	u^*_e	$L^*=L^*_a$	a^*_a	b^*_a	$C^*_{ab,a}$	$h^*_{ab,a}$
O _{Ma}	38.06	60.0	44.0	74.4	36	
Y _{Ma}	86.77	-5.17	109.32	109.44	93	
L _{Ma}	47.13	-62.67	48.24	79.09	142	
C _{Ma}	55.66	-29.14	-31.99	43.27	228	
V _{Ma}	17.15	50.3	-59.04	77.57	310	
M _{Ma}	40.37	78.64	-33.5	85.48	337	
N _{Ma}	11.58	0.0	0.0	0.0	0	
W _{Ma}	95.02	0.0	0.0	0.0	0	
R _{Ma}	39.92	58.74	27.99	65.07	25	
J _{Ma}	81.26	-2.89	71.56	71.62	92	
G _{Ma}	52.23	-42.42	13.6	44.55	162	
B _{Ma}	30.57	1.41	-46.47	46.49	272	

Daten für Maximalfarbe (Ma):

$LAB^*LAB^*_{Ma}$: 42 55 49

$LAB^*LCH^*_{Ma}$: 42 74 42

$lab^*rgb^*_{Ma}$: 1.0 0.25 0.0

$lab^*olv^*_{Ma}$: 1.0 0.11 0.0

Dreiecks-Helligkeit i^*

%Umfang

$u^*_{rel} = 109$

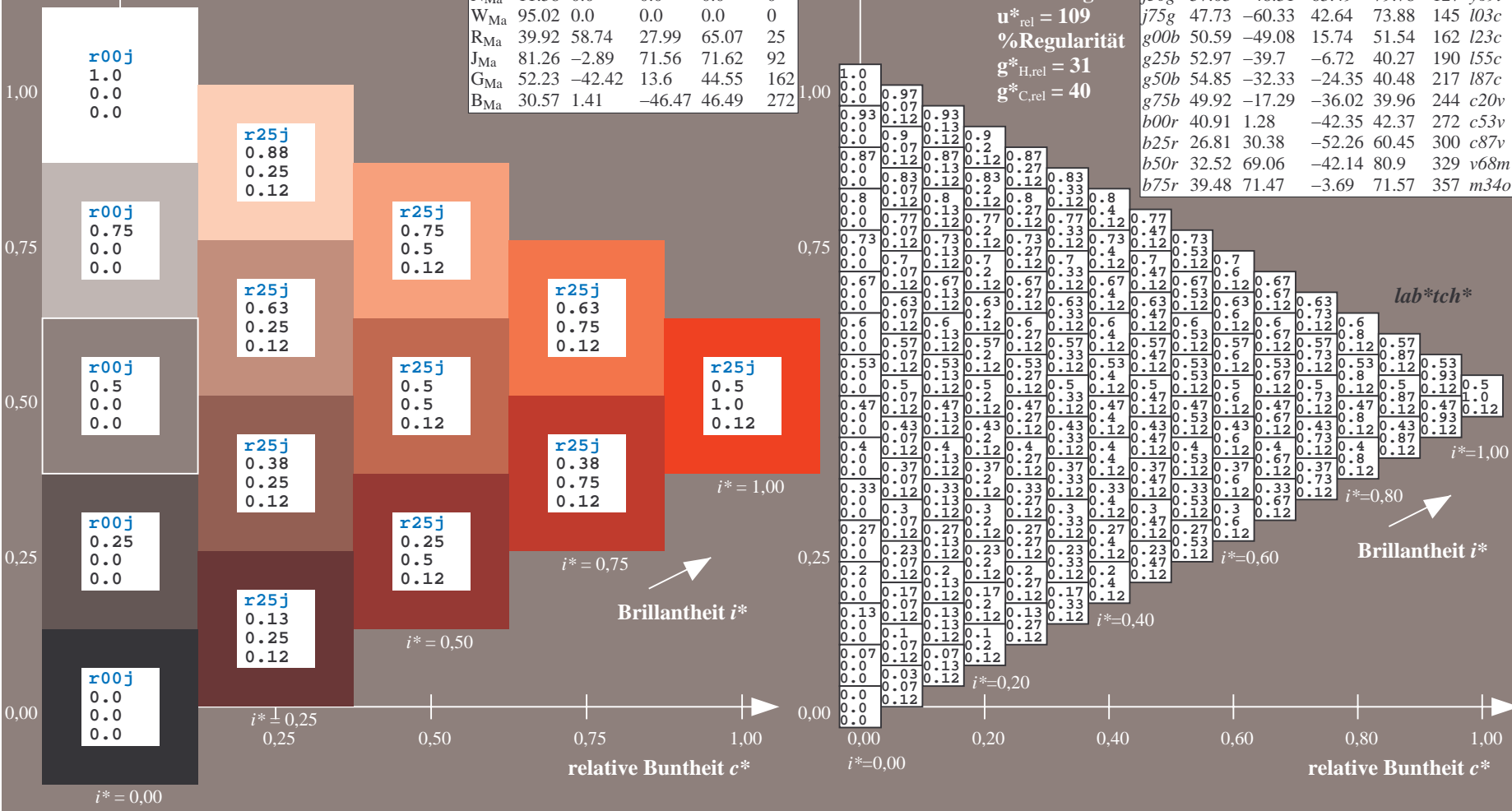
%Regularität

$g^*_{H,rel} = 31$

$g^*_{C,rel} = 40$

FRS12_95a; adaptierte CIELAB-Daten

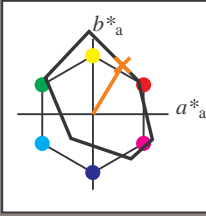
	u^*_e	$L^*=L^*_a$	a^*_a	b^*_a	$C^*_{ab,a}$	$h^*_{ab,a}$	u^*_d
r00j	38.47	63.32	30.17	70.15	25	m81o	
r25j	42.12	54.56	49.45	73.64	42	o10y	
r50j	53.64	39.15	64.89	75.79	59	o40y	
r75j	67.01	21.26	82.83	85.52	76	o69y	
j00g	86.18	-4.38	108.53	108.62	92	o98y	
j25g	69.73	-29.89	83.06	88.28	110	y34l	
j50g	57.03	-48.31	63.49	79.78	127	y39l	
j75g	47.73	-60.33	42.64	73.88	145	l03c	
g00b	50.59	-49.08	15.74	51.54	162	l23c	
g25b	52.97	-39.7	-6.72	40.27	190	l55c	
g50b	54.85	-32.33	-24.35	40.48	217	l87c	
g75b	49.92	-17.29	-36.02	39.96	244	c20v	
b00r	40.91	1.28	-42.35	42.37	272	c53v	
b25r	26.81	30.38	-52.26	60.45	300	c87v	
b50r	32.52	69.06	-42.14	80.9	329	v68m	
b75r	39.48	71.47	-3.69	71.57	357	m34o	



Siehe ähnliche Dateien: <http://www.ps.bam.de/Fg64/>; www.ps.bam.de/Fg64/Version 2.1, io=1,1, ColSpX=0
 Technische Information: <http://www.ps.bam.de>

BAM-Registrierung: 20081001-Fg64/10L/L64g00NP.PDF/.PS BAM-Material: Code=rh4ta
 Anwendung für Beurteilung und Messung von Drucker- oder Monitorssystemen

Ein und Ausgabe: Farbmetrisches Drucker-Reflektiv-System FRS12_95a, L*=12_95 für relative CIELAB-Buntton $h^* = lab^*h^* = h_{ab}/360 = 0.164$ $u^*_e = r50j$
 Daten für jede Farbe: lab^*tch^* und lab^*icu^*
 Bunttontexte: $u^*_e = r50j$ $u^*_d = o40y$
 Kontrastreduzierungsfaktor: $c_R = 1.0$
 Dreiecks-Helligkeit i^*



FRS12_95a; adaptierte CIELAB-Daten

	u^*_e	$L^*=L^*_a$	a^*_a	b^*_a	$C^*_{ab,a}$	$h^*_{ab,a}$
O _{Ma}	38.06	60.0	44.0	74.4	36	
Y _{Ma}	86.77	-5.17	109.32	109.44	93	
L _{Ma}	47.13	-62.67	48.24	79.09	142	
C _{Ma}	55.66	-29.14	-31.99	43.27	228	
V _{Ma}	17.15	50.3	-59.04	77.57	310	
M _{Ma}	40.37	78.64	-33.5	85.48	337	
N _{Ma}	11.58	0.0	0.0	0.0	0	
W _{Ma}	95.02	0.0	0.0	0.0	0	
R _{Ma}	39.92	58.74	27.99	65.07	25	
J _{Ma}	81.26	-2.89	71.56	71.62	92	
G _{Ma}	52.23	-42.42	13.6	44.55	162	
B _{Ma}	30.57	1.41	-46.47	46.49	272	

Daten für Maximalfarbe (Ma):

$LAB^*LAB^*_{Ma}$: 54 39 65

$LAB^*LCH^*_{Ma}$: 54 76 58

$lab^*rgb^*_{Ma}$: 1.0 0.5 0.0

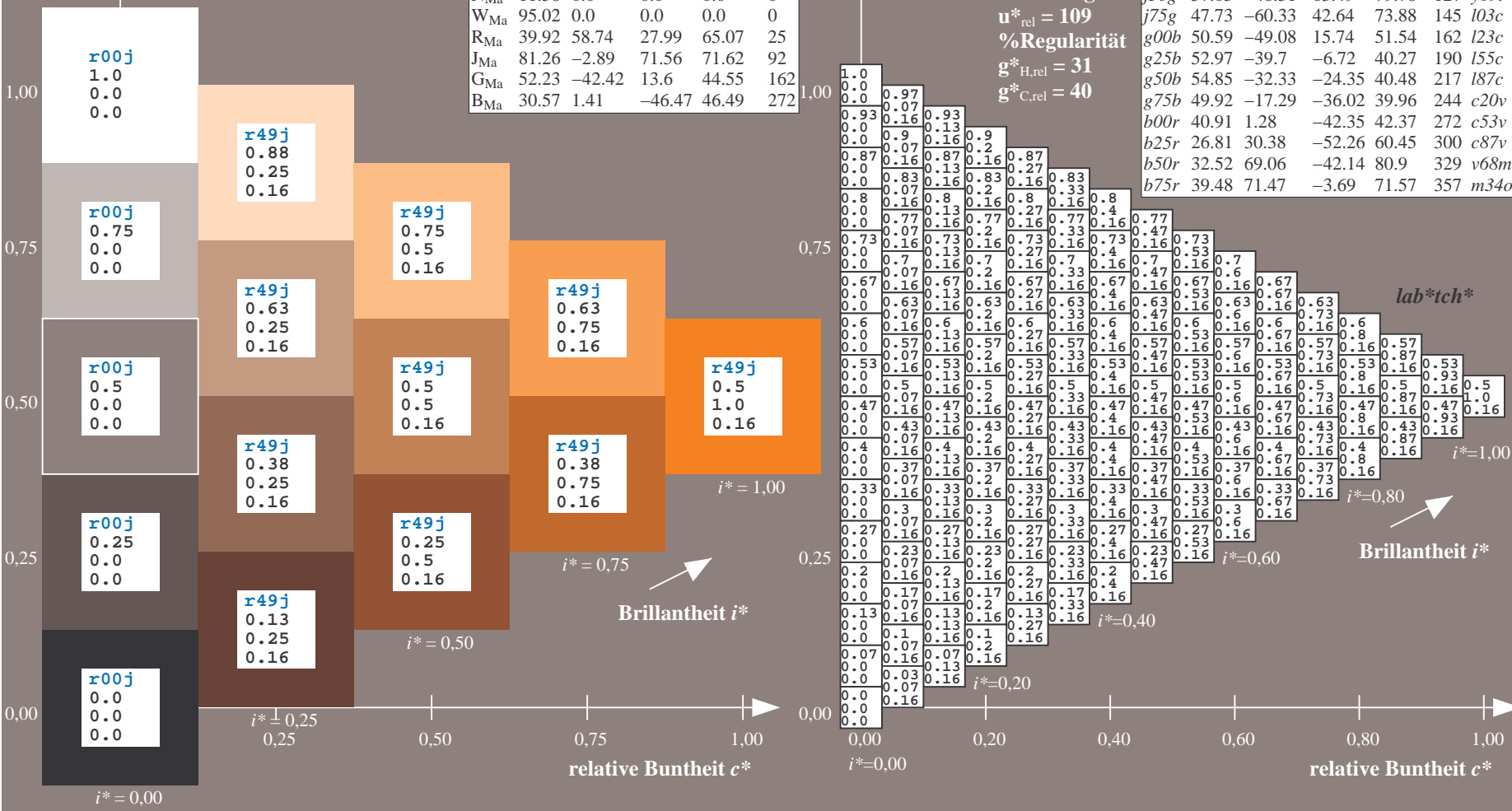
$lab^*olv^*_{Ma}$: 1.0 0.4 0.0

Dreiecks-Helligkeit i^*

%Umfang
 $u^*_{rel} = 109$
 %Regularität
 $g^*_{H,rel} = 31$
 $g^*_{C,rel} = 40$

FRS12_95a; adaptierte CIELAB-Daten

	u^*_e	$L^*=L^*_a$	a^*_a	b^*_a	$C^*_{ab,a}$	$h^*_{ab,a}$	u^*_d
r00j	38.47	63.32	30.17	70.15	25	m81o	
r25j	42.12	54.56	49.45	73.64	42	o10y	
r50j	53.64	39.15	64.89	75.79	59	o40y	
r75j	67.01	21.26	82.83	85.52	76	o69y	
j00g	86.18	-4.38	108.53	108.62	92	o98y	
j25g	69.73	-29.89	83.06	88.28	110	y34l	
j50g	57.03	-48.31	63.49	79.78	127	y69l	
j75g	47.73	-60.33	42.64	73.88	145	l03c	
g00b	50.59	-49.08	15.74	51.54	162	l23c	
g25b	52.97	-39.7	-6.72	40.27	190	l55c	
g50b	54.85	-32.33	-24.35	40.48	217	l87c	
g75b	49.92	-17.29	-36.02	39.96	244	c20v	
b00r	40.91	1.28	-42.35	42.37	272	c53v	
b25r	26.81	30.38	-52.26	60.45	300	c87v	
b50r	32.52	69.06	-42.14	80.9	329	v68m	
b75r	39.48	71.47	-3.69	71.57	357	m34o	



Siehe ähnliche Dateien: <http://www.ps.bam.de/Fg64/>; www.ps.bam.de/Fg.HTM
 Technische Information: <http://www.ps.bam.de> Version 2.1, io=1,1, ColSpx=0

BAM-Registrierung: 20081001-Fg64/10L/L64g00NP.PDF/.PS BAM-Material: Code=rh4ta
 Anwendung für Beurteilung und Messung von Drucker- oder Monitorssystemen

Ein und Ausgabe: Farbmetrisches Drucker-Reflektiv-System FRS12_95a, L*=12_95 für relative CIELAB-Bunton $h^* = lab^*h^* = h_{ab}/360 = 0.21$ $u^*_e = r75j$

Daten für jede Farbe:

lab^*tch^* und lab^*icu^*

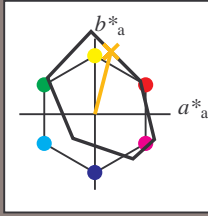
Buntonkontexte:

$u^*_e = r75j$ $u^*_d = o69y$

Kontrastreduzierungsfaktor:

$c_R = 1.0$

Dreiecks-Helligkeit i^*



FRS12_95a; adaptierte CIELAB-Daten

	u^*_e	$L^*=L^*_a$	a^*_a	b^*_a	$C^*_{ab,a}$	$h^*_{ab,a}$
O _{Ma}	38.06	60.0	44.0	74.4	36	
Y _{Ma}	86.77	-5.17	109.32	109.44	93	
L _{Ma}	47.13	-62.67	48.24	79.09	142	
C _{Ma}	55.66	-29.14	-31.99	43.27	228	
V _{Ma}	17.15	50.3	-59.04	77.57	310	
M _{Ma}	40.37	78.64	-33.5	85.48	337	
N _{Ma}	11.58	0.0	0.0	0.0	0	
W _{Ma}	95.02	0.0	0.0	0.0	0	
R _{Ma}	39.92	58.74	27.99	65.07	25	
J _{Ma}	81.26	-2.89	71.56	71.62	92	
G _{Ma}	52.23	-42.42	13.6	44.55	162	
B _{Ma}	30.57	1.41	-46.47	46.49	272	

Daten für Maximalfarbe (Ma):

$LAB^*LAB^*_{Ma}$: 67 21 83

$LAB^*LCH^*_{Ma}$: 67 86 75

$lab^*rgb^*_{Ma}$: 1.0 0.75 0.0

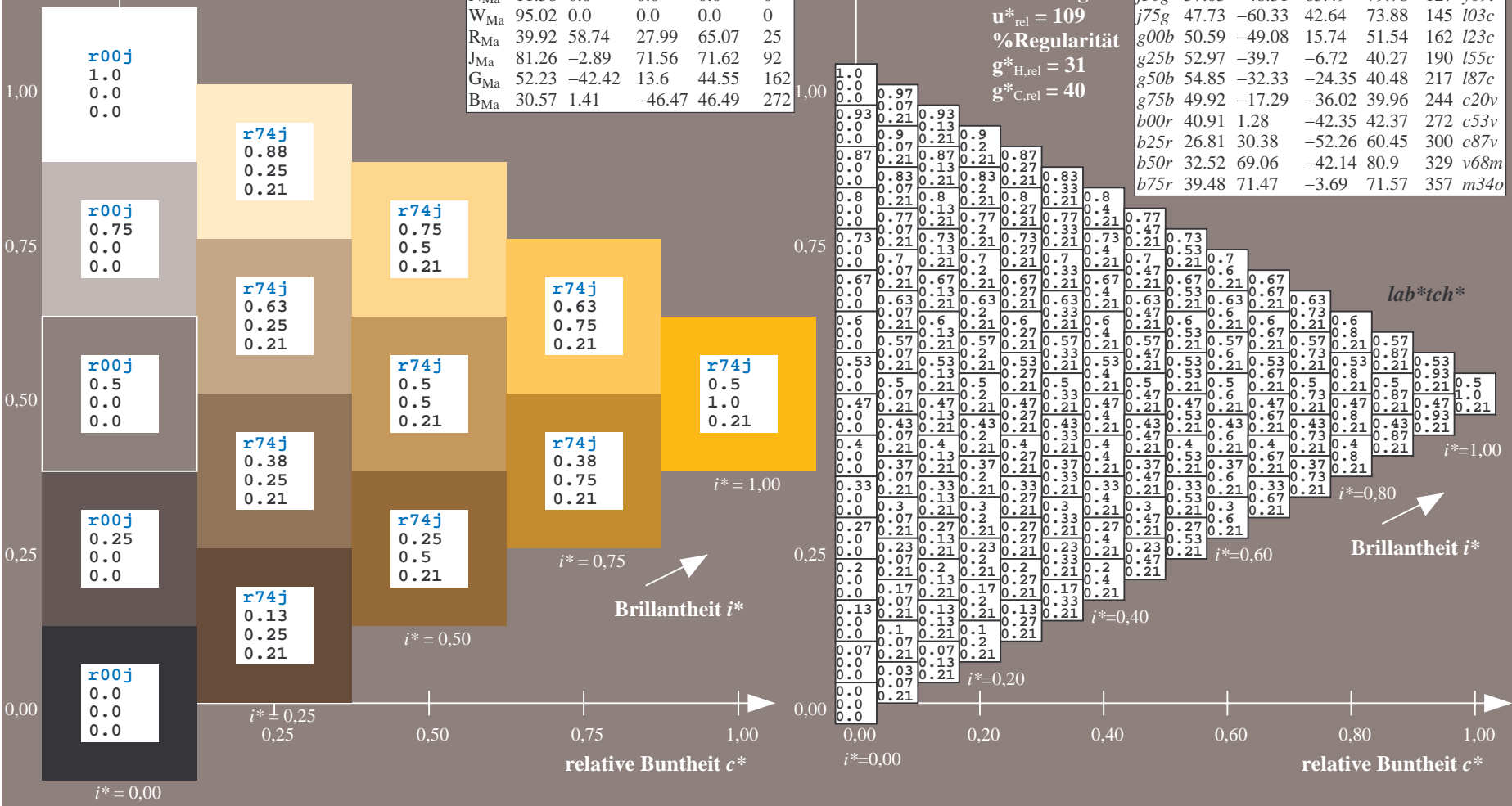
$lab^*olv^*_{Ma}$: 1.0 0.7 0.0

Dreiecks-Helligkeit i^*

%Umfang
 $u^*_{rel} = 109$
 %Regularität
 $g^*_{H,rel} = 31$
 $g^*_{C,rel} = 40$

FRS12_95a; adaptierte CIELAB-Daten

	u^*_e	$L^*=L^*_a$	a^*_a	b^*_a	$C^*_{ab,a}$	$h^*_{ab,a}$	u^*_d
r00j	38.47	63.32	30.17	70.15	25	m81o	
r25j	42.12	54.56	49.45	73.64	42	o10y	
r50j	53.64	39.15	64.89	75.79	59	o40y	
r75j	67.01	21.26	82.83	85.52	76	o69y	
j00g	86.18	-4.38	108.53	108.62	92	o98y	
j25g	69.73	-29.89	83.06	88.28	110	y34l	
j50g	57.03	-48.31	63.49	79.78	127	y69l	
j75g	47.73	-60.33	42.64	73.88	145	l03c	
g00b	50.59	-49.08	15.74	51.54	162	l23c	
g25b	52.97	-39.7	-6.72	40.27	190	l55c	
g50b	54.85	-32.33	-24.35	40.48	217	l87c	
g75b	49.92	-17.29	-36.02	39.96	244	c20v	
b00r	40.91	1.28	-42.35	42.37	272	c53v	
b25r	26.81	30.38	-52.26	60.45	300	c87v	
b50r	32.52	69.06	-42.14	80.9	329	v68m	
b75r	39.48	71.47	-3.69	71.57	357	m34o	



Siehe ähnliche Dateien: <http://www.ps.bam.de/Fg64/>; www.ps.bam.de/Version 2.1, io=1,1, ColSpX=0
 Technische Information: <http://www.ps.bam.de>

BAM-Registrierung: 20081001-Fg64/10L/L64g00NP.PDF/.PS BAM-Material: Code=rh4ta
 Anwendung für Beurteilung und Messung von Drucker- oder Monitorssystemen

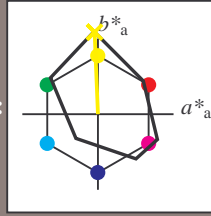
Ein und Ausgabe: Farbmetrisches Drucker-Reflektiv-System FRS12_95a, L*=12_95 für relative CIELAB-Buntton $h^* = lab^*h^* = h_{ab}/360 = 0.256$ $u^*_e = j00g$

Daten für jede Farbe: lab^*tch^* und lab^*icu^*

Bunttontexte: $u^*_e = j00g$ $u^*_d = o98y$

Kontrastreduzierungsfaktor: $c_R = 1.0$

Dreiecks-Helligkeit i^*



FRS12_95a; adaptierte CIELAB-Daten

Table with 7 columns: u*_e, L*=L*_a, a*_a, b*_a, C*_ab,a, h*_ab,a. Rows include OMa, YMa, LMa, CMa, VMa, MMa, NMa, WMa, RMa, JMa, GMa, BMa.

Daten für Maximalfarbe (Ma):

$LAB^*LAB^*Ma: 86 -4 109$

$LAB^*LCH^*Ma: 86 109 92$

$lab^*rgb^*Ma: 1.0 1.0 0.0$

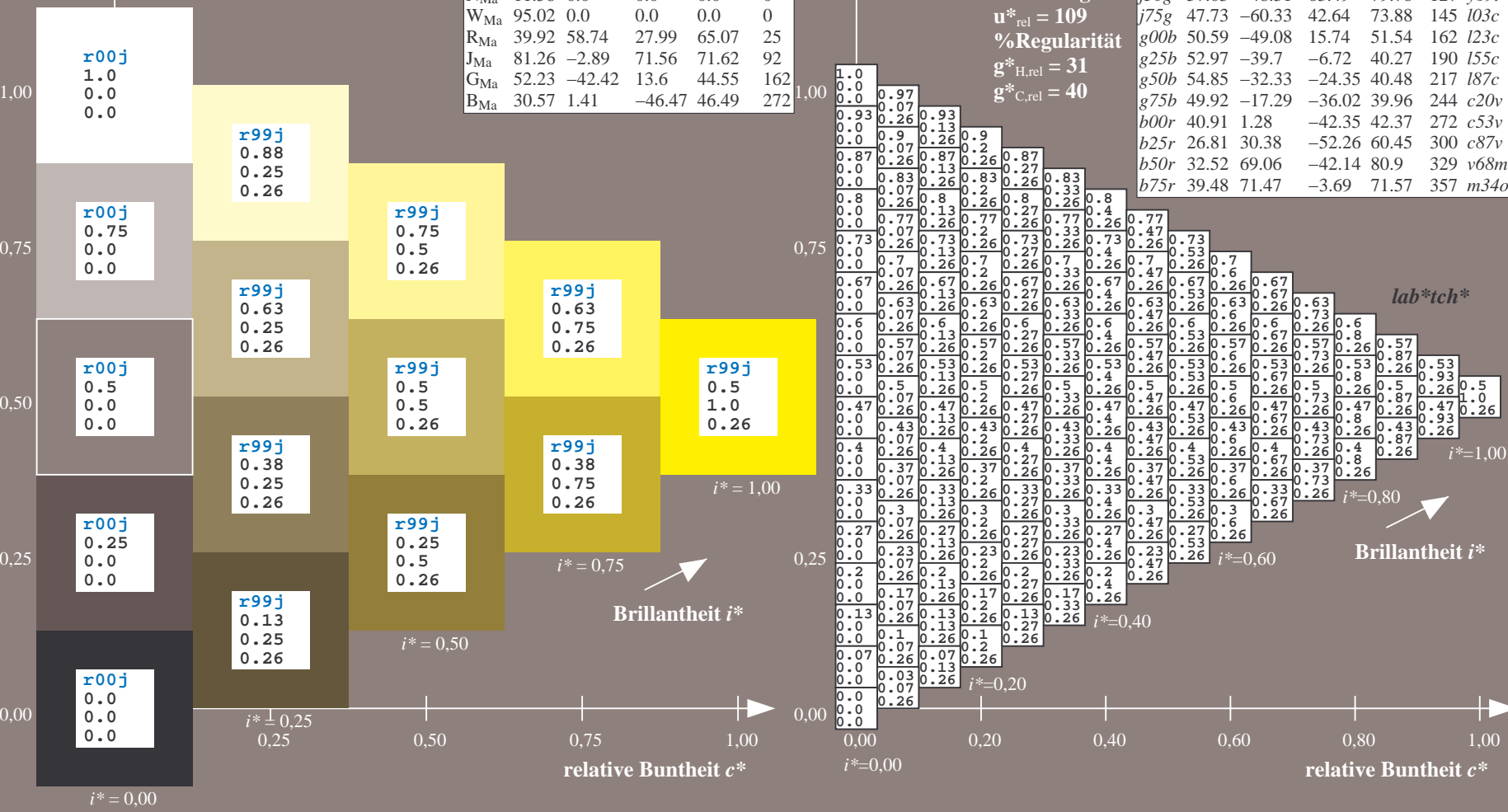
$lab^*olv^*Ma: 1.0 0.99 0.0$

Dreiecks-Helligkeit i^*

%Umfang
 $u^*_{rel} = 109$
%Regularität
 $g^*_{H,rel} = 31$
 $g^*_{C,rel} = 40$

FRS12_95a; adaptierte CIELAB-Daten

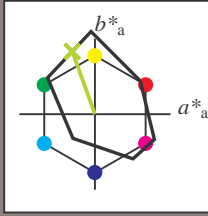
Table with 10 columns: u*_e, L*=L*_a, a*_a, b*_a, C*_ab,a, h*_ab,a, u*_d. Rows include r00j, r25j, r50j, r75j, j00g, j25g, j50g, j75g, g00b, g25b, g50b, g75b, b00r, b25r, b50r, b75r.



Siehe ähnliche Dateien: <http://www.ps.bam.de/Fg64/>; [www.ps.bam.de/Version 2.1, io=1,1, Colspx=0](http://www.ps.bam.de/Version%201.1,io=1,1,Colspx=0)
Technische Information: <http://www.ps.bam.de>

BAM-Registrierung: 20081001-Fg64/10L/L64g00NP.PDF/.PS BAM-Material: Code=rh4ta
Anwendung für Beurteilung und Messung von Drucker- oder Monitorssystemen

Ein und Ausgabe: Farbmetrisches Drucker-Reflektiv-System FRS12_95a, L*=12_95 für relative CIELAB-Buntton $h^* = lab^*h^* = h_{ab}/360 = 0.305$ $u^*_e = j25g$
 Daten für jede Farbe: lab^*tch^* und lab^*icu^*
 Bunttontexte: $u^*_e = j25g$ $u^*_d = y34l$
 Kontrastreduzierungsfaktor: $c_R = 1.0$
 Dreiecks-Helligkeit i^*



FRS12_95a; adaptierte CIELAB-Daten

	u^*_e	$L^*=L^*_a$	a^*_a	b^*_a	$C^*_{ab,a}$	$h^*_{ab,a}$
O _{Ma}	38.06	60.0	44.0	74.4	36	
Y _{Ma}	86.77	-5.17	109.32	109.44	93	
L _{Ma}	47.13	-62.67	48.24	79.09	142	
C _{Ma}	55.66	-29.14	-31.99	43.27	228	
V _{Ma}	17.15	50.3	-59.04	77.57	310	
M _{Ma}	40.37	78.64	-33.5	85.48	337	
N _{Ma}	11.58	0.0	0.0	0.0	0	
W _{Ma}	95.02	0.0	0.0	0.0	0	
R _{Ma}	39.92	58.74	27.99	65.07	25	
J _{Ma}	81.26	-2.89	71.56	71.62	92	
G _{Ma}	52.23	-42.42	13.6	44.55	162	
B _{Ma}	30.57	1.41	-46.47	46.49	272	

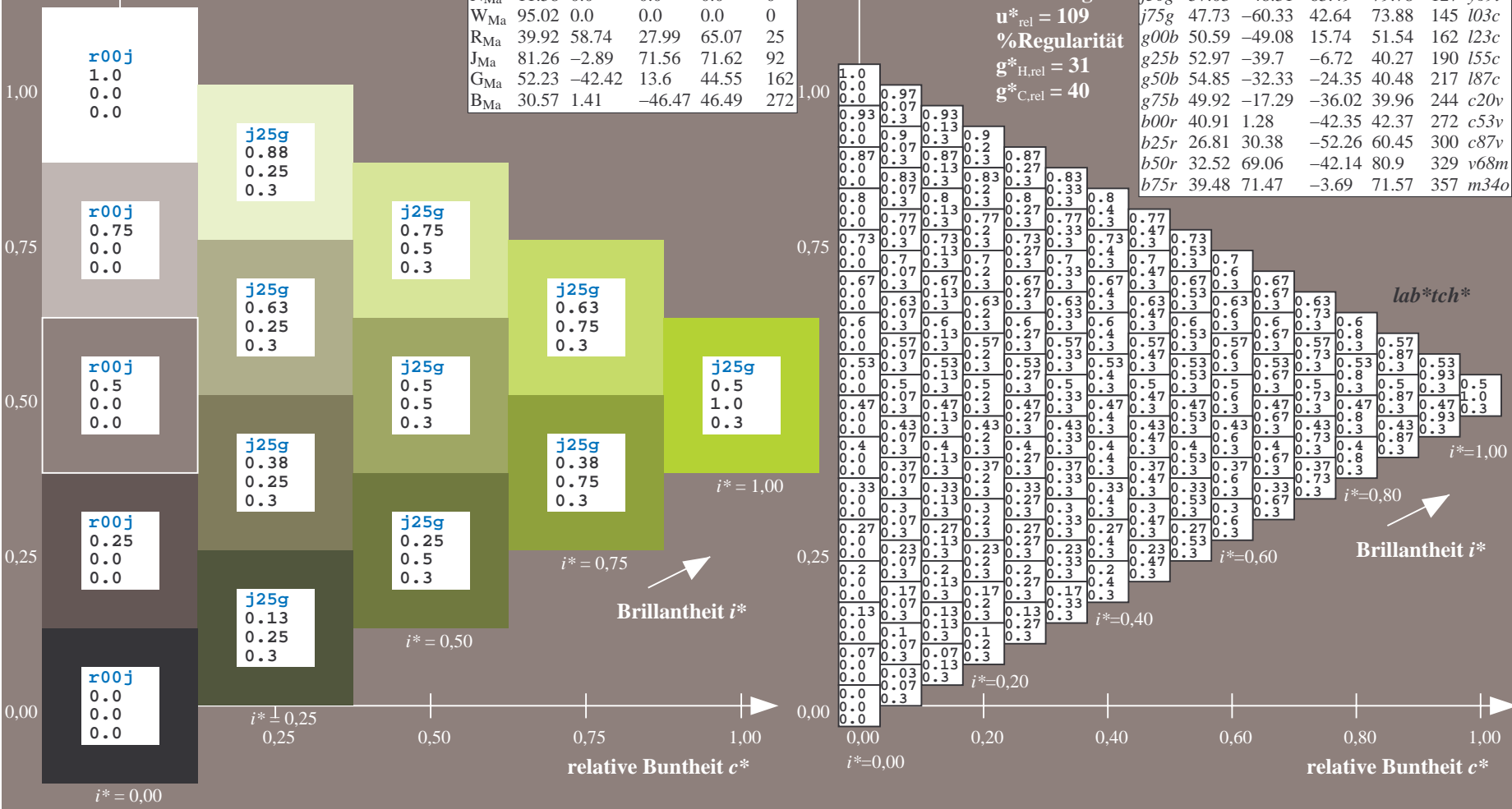
Daten für Maximalfarbe (Ma):

$LAB^*LAB^*_{Ma}: 70 -30 83$
 $LAB^*LCH^*_{Ma}: 70 88 109$
 $lab^*rgb^*_{Ma}: 0.75 1.0 0.0$
 $lab^*olv^*_{Ma}: 0.66 1.0 0.0$

FRS12_95a; adaptierte CIELAB-Daten

	u^*_e	$L^*=L^*_a$	a^*_a	b^*_a	$C^*_{ab,a}$	$h^*_{ab,a}$	u^*_d
r00j	38.47	63.32	30.17	70.15	25	m81o	
r25j	42.12	54.56	49.45	73.64	42	o10y	
r50j	53.64	39.15	64.89	75.79	59	o40y	
r75j	67.01	21.26	82.83	85.52	76	o69y	
j00g	86.18	-4.38	108.53	108.62	92	o98y	
j25g	69.73	-29.89	83.06	88.28	110	y34l	
j50g	57.03	-48.31	63.49	79.78	127	y69l	
j75g	47.73	-60.33	42.64	73.88	145	l03c	
g00b	50.59	-49.08	15.74	51.54	162	l23c	
g25b	52.97	-39.7	-6.72	40.27	190	l55c	
g50b	54.85	-32.33	-24.35	40.48	217	l87c	
g75b	49.92	-17.29	-36.02	39.96	244	c20v	
b00r	40.91	1.28	-42.35	42.37	272	c53v	
b25r	26.81	30.38	-52.26	60.45	300	c87v	
b50r	32.52	69.06	-42.14	80.9	329	v68m	
b75r	39.48	71.47	-3.69	71.57	357	m34o	

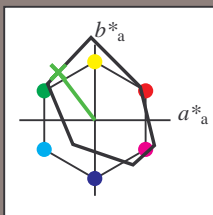
Dreiecks-Helligkeit i^*
 %Umfang $u^*_{rel} = 109$
 %Regularität $g^*_{H,rel} = 31$
 $g^*_{C,rel} = 40$



BAM-Registrierung: 20081001-Fg64/10L/L64g00NP.PDF/.PS BAM-Material: Code=rh4ta
 Anwendung für Beurteilung und Messung von Drucker- oder Monitorssystemen

Ein und Ausgabe: Farbmetrisches Drucker-Reflektiv-System FRS12_95a, L*=12_95 für relativen CIELAB-Buntton $h^* = lab^*h^* = h_{ab}^*/360 = 0.354$ $u^*_e = j50g$
 lab^*tch^* und lab^*icu^*

Daten für jede Farbe:
 lab^*tch^* und lab^*icu^*
 Bunttontexte:
 $u^*_e = j50g$ $u^*_d = y69l$
 Kontrastreduzierungsfaktor:
 $c_R = 1.0$
 Dreiecks-Helligkeit i^*



FRS12_95a; adaptierte CIELAB-Daten

	u^*_e	$L^*=L^*_a$	a^*_a	b^*_a	$C^*_{ab,a}$	$h^*_{ab,a}$
O _{Ma}	38.06	60.0	44.0	74.4	36	
Y _{Ma}	86.77	-5.17	109.32	109.44	93	
L _{Ma}	47.13	-62.67	48.24	79.09	142	
C _{Ma}	55.66	-29.14	-31.99	43.27	228	
V _{Ma}	17.15	50.3	-59.04	77.57	310	
M _{Ma}	40.37	78.64	-33.5	85.48	337	
N _{Ma}	11.58	0.0	0.0	0.0	0	
W _{Ma}	95.02	0.0	0.0	0.0	0	
R _{Ma}	39.92	58.74	27.99	65.07	25	
J _{Ma}	81.26	-2.89	71.56	71.62	92	
G _{Ma}	52.23	-42.42	13.6	44.55	162	
B _{Ma}	30.57	1.41	-46.47	46.49	272	

Daten für Maximalfarbe (Ma):

$LAB^*LAB^*_{Ma}: 57 -48 63$

$LAB^*LCH^*_{Ma}: 57 80 127$

$lab^*rgb^*_{Ma}: 0.5 1.0 0.0$

$lab^*olv^*_{Ma}: 0.3 1.0 0.0$

Dreiecks-Helligkeit i^*

%Umfang

$u^*_{rel} = 109$

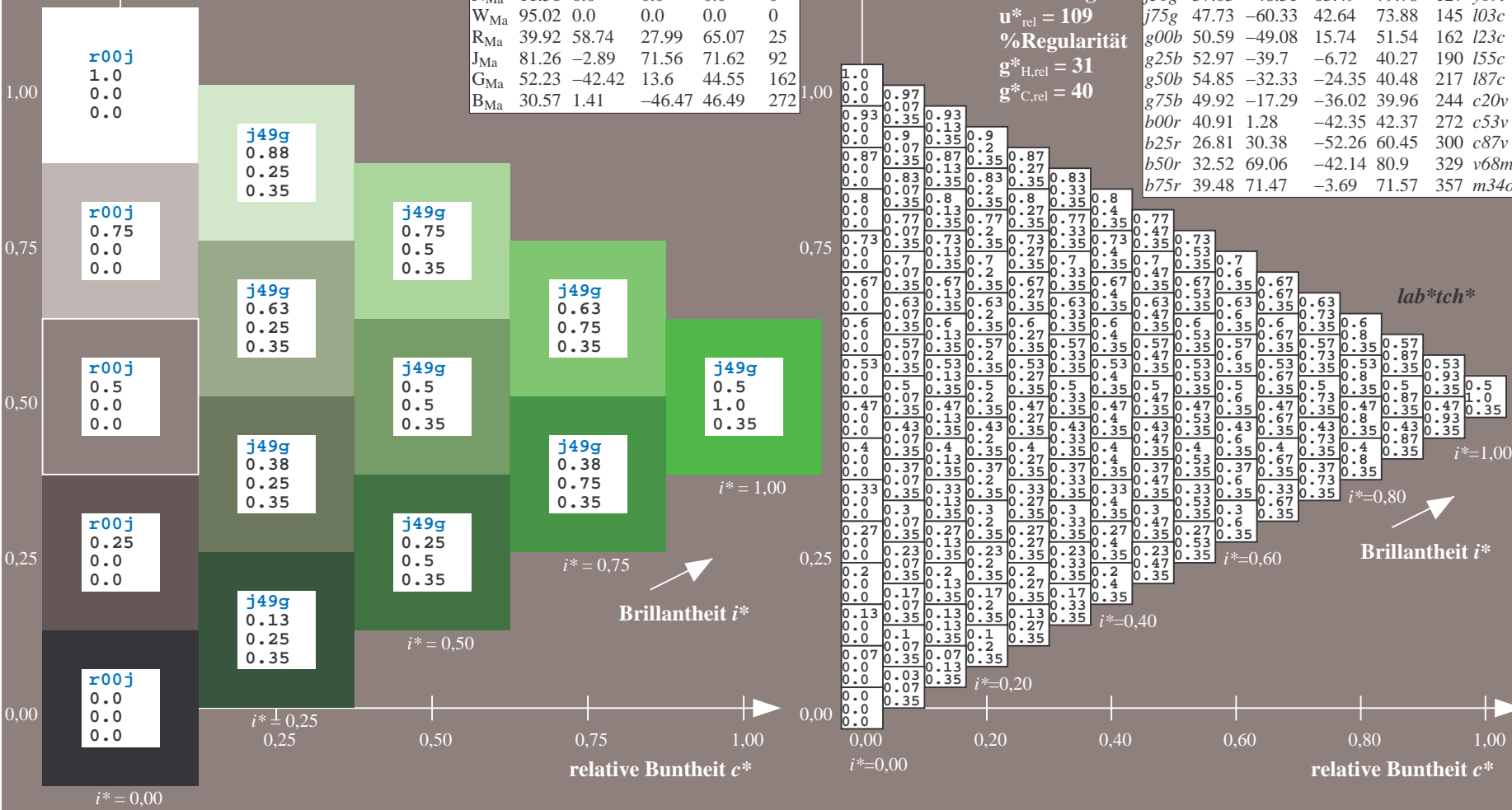
%Regularität

$g^*_{H,rel} = 31$

$g^*_{C,rel} = 40$

FRS12_95a; adaptierte CIELAB-Daten

	u^*_e	$L^*=L^*_a$	a^*_a	b^*_a	$C^*_{ab,a}$	$h^*_{ab,a}$	u^*_d
r00j	38.47	63.32	30.17	70.15	25	m81o	
r25j	42.12	54.56	49.45	73.64	42	o10y	
r50j	53.64	39.15	64.89	75.79	59	o40y	
r75j	67.01	21.26	82.83	85.52	76	o69y	
j00g	86.18	-4.38	108.53	108.62	92	o98y	
j25g	69.73	-29.89	83.06	88.28	110	y34l	
j50g	57.03	-48.31	63.49	79.78	127	y69l	
j75g	47.73	-60.33	42.64	73.88	145	l03c	
g00b	50.59	-49.08	15.74	51.54	162	l23c	
g25b	52.97	-39.7	-6.72	40.27	190	l55c	
g50b	54.85	-32.33	-24.35	40.48	217	l87c	
g75b	49.92	-17.29	-36.02	39.96	244	c20v	
b00r	40.91	1.28	-42.35	42.37	272	c53v	
b25r	26.81	30.38	-52.26	60.45	300	c87v	
b50r	32.52	69.06	-42.14	80.9	329	v68m	
b75r	39.48	71.47	-3.69	71.57	357	m34o	



Siehe ähnliche Dateien: <http://www.ps.bam.de/Fg64/>; [www.ps.bam.de/Fg64/Version 2.1, io=1,1, Colspx=0](http://www.ps.bam.de/Fg64/Version%201.1,io=1,1,Colspx=0)
 Technische Information: <http://www.ps.bam.de>

BAM-Registrierung: 20081001-Fg64/10L/L64g00NP.PDF/.PS BAM-Material: Code=rh4ta
 Anwendung für Beurteilung und Messung von Drucker- oder Monitorssystemen

Ein und Ausgabe: Farbmetrisches Drucker-Reflektiv-System FRS12_95a, L*=12_95 für relativen CIELAB-Buntton $h^* = lab^*h^* = h_{ab}/360 = 0.402$ $u^*_e = j75g$

Daten für jede Farbe:

lab^*tch^* und lab^*icu^*

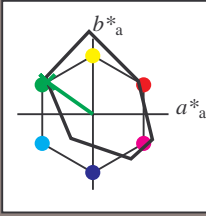
Bunttontexte:

$u^*_e = j75g$ $u^*_d = i03c$

Kontrastreduzierungsfaktor:

$c_R = 1.0$

Dreiecks-Helligkeit i^*



FRS12_95a; adaptierte CIELAB-Daten

	u^*_e	$L^*=L^*_a$	a^*_a	b^*_a	$C^*_{ab,a}$	$h^*_{ab,a}$
O _{Ma}	38.06	60.0	44.0	74.4	36	
Y _{Ma}	86.77	-5.17	109.32	109.44	93	
L _{Ma}	47.13	-62.67	48.24	79.09	142	
C _{Ma}	55.66	-29.14	-31.99	43.27	228	
V _{Ma}	17.15	50.3	-59.04	77.57	310	
M _{Ma}	40.37	78.64	-33.5	85.48	337	
N _{Ma}	11.58	0.0	0.0	0.0	0	
W _{Ma}	95.02	0.0	0.0	0.0	0	
R _{Ma}	39.92	58.74	27.99	65.07	25	
J _{Ma}	81.26	-2.89	71.56	71.62	92	
G _{Ma}	52.23	-42.42	13.6	44.55	162	
B _{Ma}	30.57	1.41	-46.47	46.49	272	

Daten für Maximalfarbe (Ma):

$LAB^*LAB^*_{Ma}$: 48 -60 43

$LAB^*LCH^*_{Ma}$: 48 74 144

$lab^*rgb^*_{Ma}$: 0.25 1.0 0.0

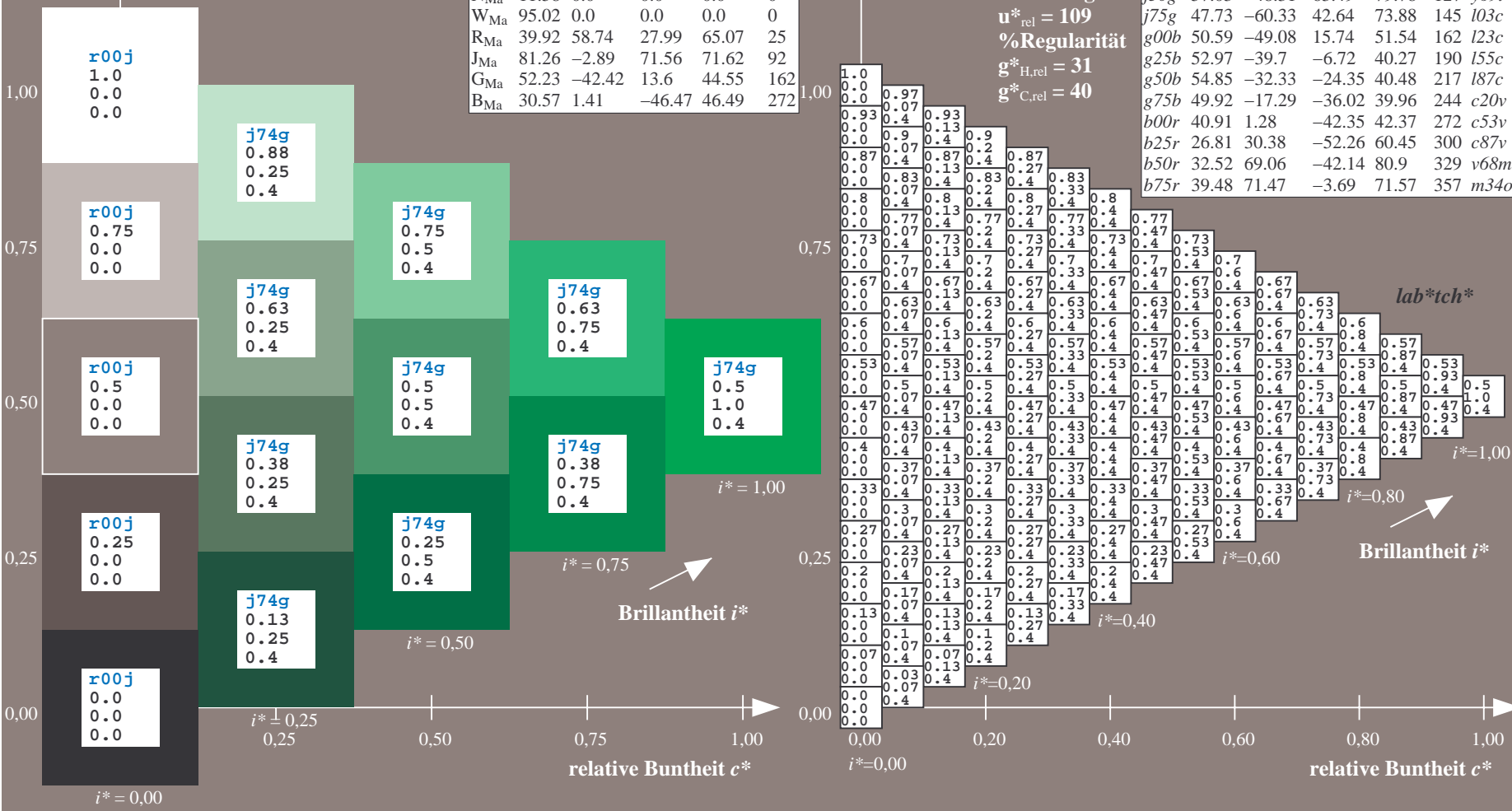
$lab^*olv^*_{Ma}$: 0.0 1.0 0.03

Dreiecks-Helligkeit i^*

%Umfang
 $u^*_{rel} = 109$
 %Regularität
 $g^*_{H,rel} = 31$
 $g^*_{C,rel} = 40$

FRS12_95a; adaptierte CIELAB-Daten

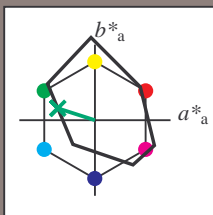
	u^*_e	$L^*=L^*_a$	a^*_a	b^*_a	$C^*_{ab,a}$	$h^*_{ab,a}$	u^*_d
r00j	38.47	63.32	30.17	70.15	25	m81o	
r25j	42.12	54.56	49.45	73.64	42	o10y	
r50j	53.64	39.15	64.89	75.79	59	o40y	
r75j	67.01	21.26	82.83	85.52	76	o69y	
j00g	86.18	-4.38	108.53	108.62	92	o98y	
j25g	69.73	-29.89	83.06	88.28	110	y34l	
j50g	57.03	-48.31	63.49	79.78	127	y69l	
j75g	47.73	-60.33	42.64	73.88	145	i03c	
g00b	50.59	-49.08	15.74	51.54	162	i23c	
g25b	52.97	-39.7	-6.72	40.27	190	i55c	
g50b	54.85	-32.33	-24.35	40.48	217	i87c	
g75b	49.92	-17.29	-36.02	39.96	244	c20v	
b00r	40.91	1.28	-42.35	42.37	272	c53v	
b25r	26.81	30.38	-52.26	60.45	300	c87v	
b50r	32.52	69.06	-42.14	80.9	329	v68m	
b75r	39.48	71.47	-3.69	71.57	357	m34o	



Siehe ähnliche Dateien: <http://www.ps.bam.de/Fg64/>; www.ps.bam.de/Version.2.1,io=1,1,Colspx=0
 Technische Information: <http://www.ps.bam.de>

BAM-Registrierung: 20081001-Fg64/10L/L64g00NP.PDF/.PS BAM-Material: Code=rh4ta
 Anwendung für Beurteilung und Messung von Drucker- oder Monitorssystemen

Ein und Ausgabe: Farbmetrisches Drucker-Reflektiv-System FRS12_95a, L*=12_95 für relative CIELAB-Buntton $h^* = lab^*h^* = h_{ab}^*/360 = 0.451$ $u^*_e = g00b$
 Daten für jede Farbe: lab^*tch^* und lab^*icu^*
 Bunttontexte: $u^*_e = g00b$ $u^*_d = l23c$
 Kontrastreduzierungsfaktor: $c_R = 1.0$
 Dreiecks-Helligkeit t^*



FRS12_95a; adaptierte CIELAB-Daten

	u^*_e	$L^*=L^*_a$	a^*_a	b^*_a	$C^*_{ab,a}$	$h^*_{ab,a}$
O _{Ma}	38.06	60.0	44.0	74.4	36	
Y _{Ma}	86.77	-5.17	109.32	109.44	93	
L _{Ma}	47.13	-62.67	48.24	79.09	142	
C _{Ma}	55.66	-29.14	-31.99	43.27	228	
V _{Ma}	17.15	50.3	-59.04	77.57	310	
M _{Ma}	40.37	78.64	-33.5	85.48	337	
N _{Ma}	11.58	0.0	0.0	0.0	0	
W _{Ma}	95.02	0.0	0.0	0.0	0	
R _{Ma}	39.92	58.74	27.99	65.07	25	
J _{Ma}	81.26	-2.89	71.56	71.62	92	
G _{Ma}	52.23	-42.42	13.6	44.55	162	
B _{Ma}	30.57	1.41	-46.47	46.49	272	

Daten für Maximalfarbe (Ma):

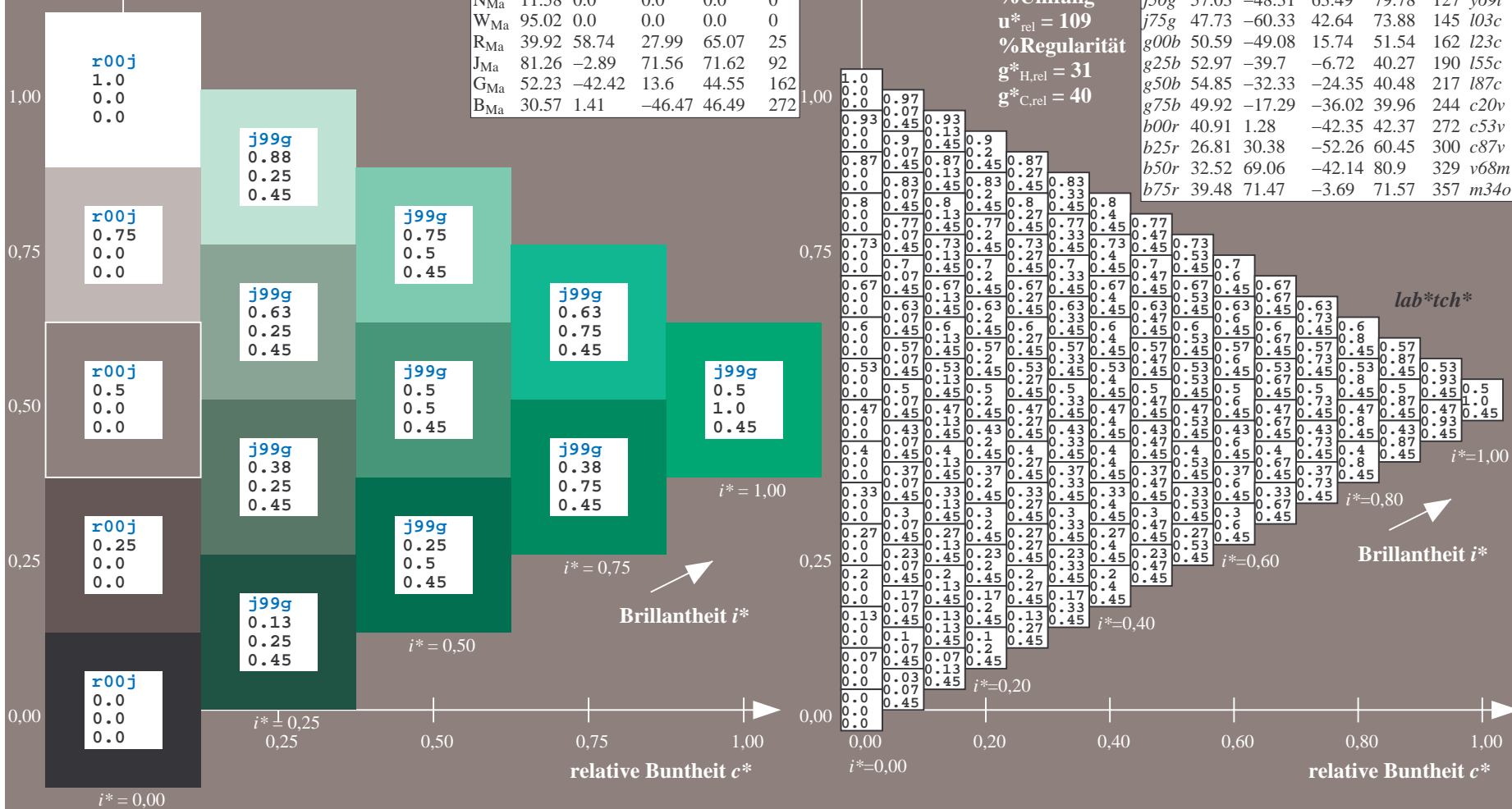
$LAB^*LAB^*_{Ma}$: 51 -49 16
 $LAB^*LCH^*_{Ma}$: 51 52 162
 $lab^*rgb^*_{Ma}$: 0.0 1.0 0.0
 $lab^*olv^*_{Ma}$: 0.0 1.0 0.23

FRS12_95a; adaptierte CIELAB-Daten

	u^*_e	$L^*=L^*_a$	a^*_a	b^*_a	$C^*_{ab,a}$	$h^*_{ab,a}$	u^*_d
r00j	38.47	63.32	30.17	70.15	25	m81o	
r25j	42.12	54.56	49.45	73.64	42	o10y	
r50j	53.64	39.15	64.89	75.79	59	o40y	
r75j	67.01	21.26	82.83	85.52	76	o69y	
j00g	86.18	-4.38	108.53	108.62	92	o98y	
j25g	69.73	-29.89	83.06	88.28	110	y34l	
j50g	57.03	-48.31	63.49	79.78	127	y69l	
j75g	47.73	-60.33	42.64	73.88	145	l03c	
g00b	50.59	-49.08	15.74	51.54	162	l23c	
g25b	52.97	-39.7	-6.72	40.27	190	l55c	
g50b	54.85	-32.33	-24.35	40.48	217	l87c	
g75b	49.92	-17.29	-36.02	39.96	244	c20c	
b00r	40.91	1.28	-42.35	42.37	272	c53v	
b25r	26.81	30.38	-52.26	60.45	300	c87v	
b50r	32.52	69.06	-42.14	80.9	329	v68m	
b75r	39.48	71.47	-3.69	71.57	357	m34o	

Dreiecks-Helligkeit t^*

%Umfang
 $u^*_{rel} = 109$
 %Regularität
 $g^*_{H,rel} = 31$
 $g^*_{C,rel} = 40$

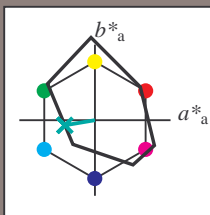


Siehe ähnliche Dateien: <http://www.ps.bam.de/Fg64/>; www.ps.bam.de/Version.2.1,io=1,1,Colspx=0
 Technische Information: <http://www.ps.bam.de>

BAM-Registrierung: 20081001-Fg64/10L/L64g00NP.PDF/.PS BAM-Material: Code=rh4ta
 Anwendung für Beurteilung und Messung von Drucker- oder Monitorssystemen

Ein und Ausgabe: Farbmetrisches Drucker-Reflektiv-System FRS12_95a, L*=12_95 für relative CIELAB-Buntton $h^* = lab^*h^* = h_{ab}^*/360 = 0.527$ $u^*_e = g25b$
 lab^*tch^* und lab^*icu^*
 Daten für jede Farbe:

Bunttontexte:
 $u^*_e = g25b$ $u^*_d = l55c$
 Kontrastreduzierungsfaktor:
 $c_R = 1.0$
 Dreiecks-Helligkeit i^*



FRS12_95a; adaptierte CIELAB-Daten						
	u^*_e	$L^*=L^*_a$	a^*_a	b^*_a	$C^*_{ab,a}$	$h^*_{ab,a}$
O _{Ma}	38.06	60.0	44.0	74.4	36	
Y _{Ma}	86.77	-5.17	109.32	109.44	93	
L _{Ma}	47.13	-62.67	48.24	79.09	142	
C _{Ma}	55.66	-29.14	-31.99	43.27	228	
V _{Ma}	17.15	50.3	-59.04	77.57	310	
M _{Ma}	40.37	78.64	-33.5	85.48	337	
N _{Ma}	11.58	0.0	0.0	0.0	0	
W _{Ma}	95.02	0.0	0.0	0.0	0	
R _{Ma}	39.92	58.74	27.99	65.07	25	
J _{Ma}	81.26	-2.89	71.56	71.62	92	
G _{Ma}	52.23	-42.42	13.6	44.55	162	
B _{Ma}	30.57	1.41	-46.47	46.49	272	

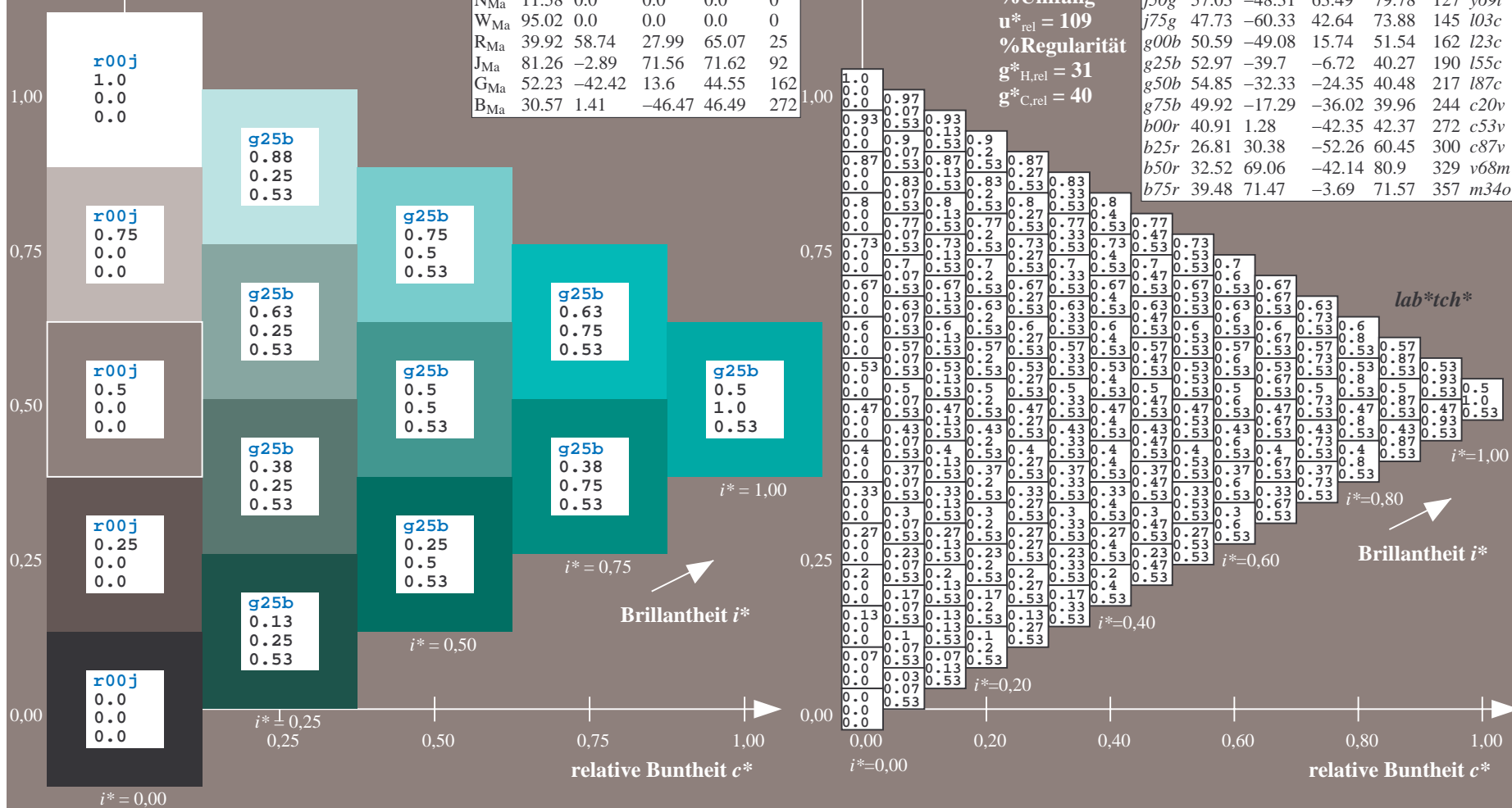
Daten für Maximalfarbe (Ma):

$LAB^*LAB^*_{Ma}$: 53 -40 -7
 $LAB^*LCH^*_{Ma}$: 53 40 189
 $lab^*rgb^*_{Ma}$: 0.0 1.0 0.5
 $lab^*olv^*_{Ma}$: 0.0 1.0 0.55

FRS12_95a; adaptierte CIELAB-Daten							
	u^*_e	$L^*=L^*_a$	a^*_a	b^*_a	$C^*_{ab,a}$	$h^*_{ab,a}$	u^*_d
r00j	38.47	63.32	30.17	70.15	25	m81o	
r25j	42.12	54.56	49.45	73.64	42	o10y	
r50j	53.64	39.15	64.89	75.79	59	o40y	
r75j	67.01	21.26	82.83	85.52	76	o69y	
j00g	86.18	-4.38	108.53	108.62	92	o98y	
j25g	69.73	-29.89	83.06	88.28	110	y34l	
j50g	57.03	-48.31	63.49	79.78	127	y69l	
j75g	47.73	-60.33	42.64	73.88	145	l03c	
g00b	50.59	-49.08	15.74	51.54	162	l23c	
g25b	52.97	-39.7	-6.72	40.27	190	l55c	
g50b	54.85	-32.33	-24.35	40.48	217	l87c	
g75b	49.92	-17.29	-36.02	39.96	244	c20v	
b00r	40.91	1.28	-42.35	42.37	272	c53v	
b25r	26.81	30.38	-52.26	60.45	300	c87v	
b50r	32.52	69.06	-42.14	80.9	329	v68m	
b75r	39.48	71.47	-3.69	71.57	357	m34o	

Dreiecks-Helligkeit i^*

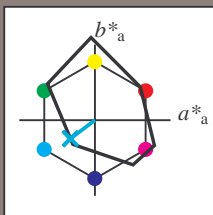
%Umfang
 $u^*_{rel} = 109$
 %Regularität
 $g^*_{H,rel} = 31$
 $g^*_{C,rel} = 40$



Siehe ähnliche Dateien: <http://www.ps.bam.de/Fg64/>; www.ps.bam.de/Version.2.1,io=1,1,Colspx=0
 Technische Information: <http://www.ps.bam.de>

BAM-Registrierung: 20081001-Fg64/10L/L64g00NP.PDF/.PS BAM-Material: Code=rhatha
 Anwendung für Beurteilung und Messung von Drucker- oder Monitorssystemen

Ein und Ausgabe: Farbmetrisches Drucker-Reflektiv-System FRS12_95a, L*=12_95 für relative CIELAB-Buntton $h^* = lab^*h^* = h_{ab}/360 = 0.603$ $u^*_e = g50b$
 Daten für jede Farbe: lab^*tch^* und lab^*icu^*
 Bunttontexte: $u^*_e = g50b$ $u^*_d = l87c$
 Kontrastreduzierungsfaktor: $c_R = 1.0$
 Dreiecks-Helligkeit i^*



FRS12_95a; adaptierte CIELAB-Daten

	u^*_e	$L^*=L^*_a$	a^*_a	b^*_a	$C^*_{ab,a}$	$h^*_{ab,a}$
O _{Ma}	38.06	60.0	44.0	74.4	36	
Y _{Ma}	86.77	-5.17	109.32	109.44	93	
L _{Ma}	47.13	-62.67	48.24	79.09	142	
C _{Ma}	55.66	-29.14	-31.99	43.27	228	
V _{Ma}	17.15	50.3	-59.04	77.57	310	
M _{Ma}	40.37	78.64	-33.5	85.48	337	
N _{Ma}	11.58	0.0	0.0	0.0	0	
W _{Ma}	95.02	0.0	0.0	0.0	0	
R _{Ma}	39.92	58.74	27.99	65.07	25	
J _{Ma}	81.26	-2.89	71.56	71.62	92	
G _{Ma}	52.23	-42.42	13.6	44.55	162	
B _{Ma}	30.57	1.41	-46.47	46.49	272	

Daten für Maximalfarbe (Ma):

$LAB^*LAB^*_{Ma}: 55 -32 -24$

$LAB^*LCH^*_{Ma}: 55 40 216$

$lab^*rgb^*_{Ma}: 0.0 1.0 1.0$

$lab^*olv^*_{Ma}: 0.0 1.0 0.87$

Dreiecks-Helligkeit i^*

%Umfang

$u^*_{rel} = 109$

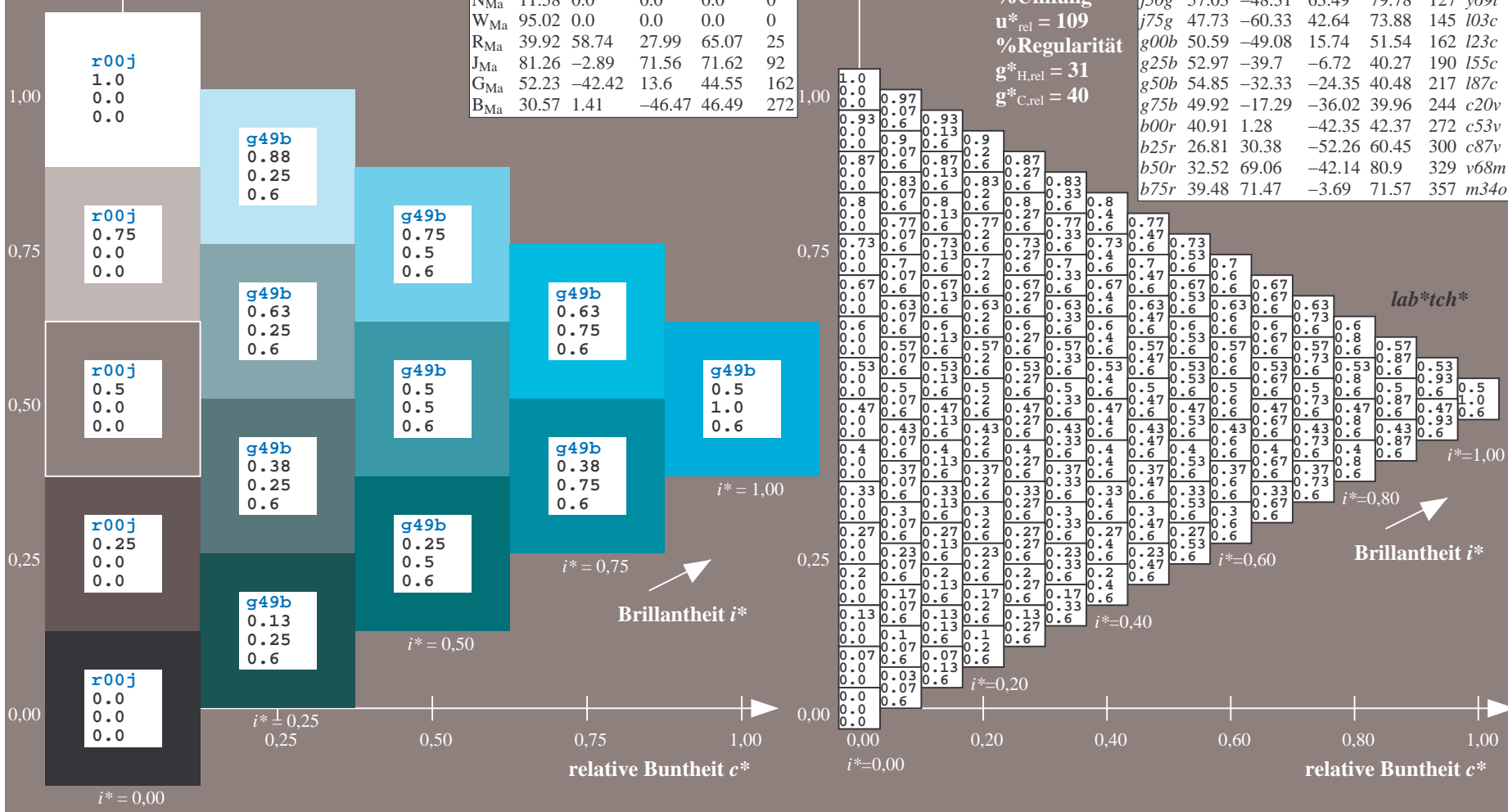
%Regularität

$g^*_{H,rel} = 31$

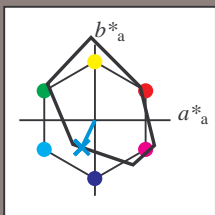
$g^*_{C,rel} = 40$

FRS12_95a; adaptierte CIELAB-Daten

	u^*_e	$L^*=L^*_a$	a^*_a	b^*_a	$C^*_{ab,a}$	$h^*_{ab,a}$	u^*_d
r00j	38.47	63.32	30.17	70.15	25	m81o	
r25j	42.12	54.56	49.45	73.64	42	o10y	
r50j	53.64	39.15	64.89	75.79	59	o40y	
r75j	67.01	21.26	82.83	85.52	76	o69y	
j00g	86.18	-4.38	108.53	108.62	92	o98y	
j25g	69.73	-29.89	83.06	88.28	110	y34l	
j50g	57.03	-48.31	63.49	79.78	127	y69l	
j75g	47.73	-60.33	42.64	73.88	145	l03c	
g00b	50.59	-49.08	15.74	51.54	162	l23c	
g25b	52.97	-39.7	-6.72	40.27	190	l55c	
g50b	54.85	-32.33	-24.35	40.48	217	l87c	
g75b	49.92	-17.29	-36.02	39.96	244	c20v	
b00r	40.91	1.28	-42.35	42.37	272	c53v	
b25r	26.81	30.38	-52.26	60.45	300	c87v	
b50r	32.52	69.06	-42.14	80.9	329	v68m	
b75r	39.48	71.47	-3.69	71.57	357	m34o	



Ein und Ausgabe: Farbmetrisches Drucker-Reflektiv-System FRS12_95a, L*=12_95 für relative CIELAB-Buntton $h^* = lab^*h^* = h_{ab}/360 = 0.679$ $u^*_e = g75b$
 Daten für jede Farbe: lab^*tch^* und lab^*icu^*
 Bunttontexte: $u^*_e = g75b$ $u^*_d = c20v$
 Kontrastreduzierungsfaktor: $c_R = 1.0$
 Dreiecks-Helligkeit i^*



FRS12_95a; adaptierte CIELAB-Daten

	u^*_e	$L^*=L^*_a$	a^*_a	b^*_a	$C^*_{ab,a}$	$h^*_{ab,a}$
O _{Ma}	38.06	60.0	44.0	74.4	36	
Y _{Ma}	86.77	-5.17	109.32	109.44	93	
L _{Ma}	47.13	-62.67	48.24	79.09	142	
C _{Ma}	55.66	-29.14	-31.99	43.27	228	
V _{Ma}	17.15	50.3	-59.04	77.57	310	
M _{Ma}	40.37	78.64	-33.5	85.48	337	
N _{Ma}	11.58	0.0	0.0	0.0	0	
W _{Ma}	95.02	0.0	0.0	0.0	0	
R _{Ma}	39.92	58.74	27.99	65.07	25	
J _{Ma}	81.26	-2.89	71.56	71.62	92	
G _{Ma}	52.23	-42.42	13.6	44.55	162	
B _{Ma}	30.57	1.41	-46.47	46.49	272	

Daten für Maximalfarbe (Ma):

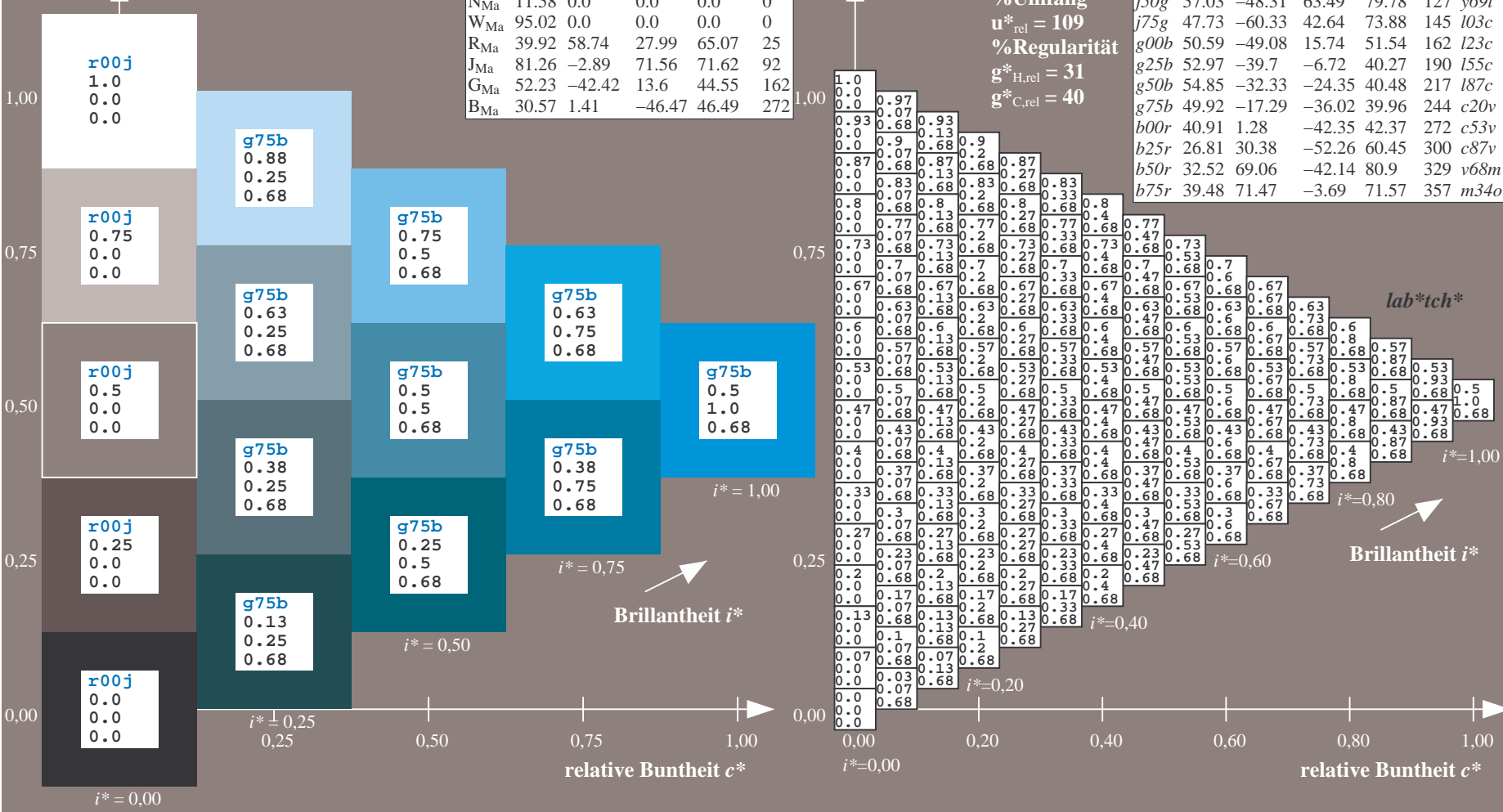
$LAB^*LAB^*_{Ma}$: 50 -17 -36
 $LAB^*LCH^*_{Ma}$: 50 40 244
 $lab^*rgb^*_{Ma}$: 0.0 0.5 1.0
 $lab^*olv^*_{Ma}$: 0.0 0.8 1.0

FRS12_95a; adaptierte CIELAB-Daten

	u^*_e	$L^*=L^*_a$	a^*_a	b^*_a	$C^*_{ab,a}$	$h^*_{ab,a}$	u^*_d
r00j	38.47	63.32	30.17	70.15	25	m81o	
r25j	42.12	54.56	49.45	73.64	42	o10y	
r50j	53.64	39.15	64.89	75.79	59	o40y	
r75j	67.01	21.26	82.83	85.52	76	o69y	
j00g	86.18	-4.38	108.53	108.62	92	o98y	
j25g	69.73	-29.89	83.06	88.28	110	y34l	
j50g	57.03	-48.31	63.49	79.78	127	y69l	
j75g	47.73	-60.33	42.64	73.88	145	l03c	
g00b	50.59	-49.08	15.74	51.54	162	l23c	
g25b	52.97	-39.7	-6.72	40.27	190	l55c	
g50b	54.85	-32.33	-24.35	40.48	217	l87c	
g75b	49.92	-17.29	-36.02	39.96	244	c20v	
b00r	40.91	1.28	-42.35	42.37	272	c53v	
b25r	26.81	30.38	-52.26	60.45	300	c87v	
b50r	32.52	69.06	-42.14	80.9	329	v68m	
b75r	39.48	71.47	-3.69	71.57	357	m34o	

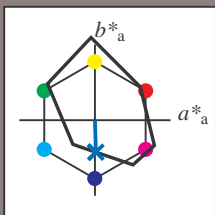
Dreiecks-Helligkeit i^*

%Umfang
 $u^*_{rel} = 109$
 %Regularität
 $g^*_{H,rel} = 31$
 $g^*_{C,rel} = 40$



BAM-Registrierung: 20081001-Fg64/10L/L64g00NP.PDF/.PS BAM-Material: Code=rh4ta
 Anwendung für Beurteilung und Messung von Drucker- oder Monitorssystemen

Ein und Ausgabe: Farbmetrisches Drucker-Reflektiv-System FRS12_95a, L*=12_95 für relative CIELAB-Bunton $h^* = lab^*h^* = h_{ab}/360 = 0.755$ $u^*_e = b00r$
 lab^*tch^* und lab^*icu^*
 Daten für jede Farbe:
 $u^*_e = b00r$ $u^*_d = c53v$
 Kontrastreduzierungsfaktor:
 $c_R = 1.0$
 Dreiecks-Helligkeit i^*



FRS12_95a; adaptierte CIELAB-Daten

	u^*_e	$L^*=L^*_a$	a^*_a	b^*_a	$C^*_{ab,a}$	$h^*_{ab,a}$
O _{Ma}	38.06	60.0	44.0	74.4	36	
Y _{Ma}	86.77	-5.17	109.32	109.44	93	
L _{Ma}	47.13	-62.67	48.24	79.09	142	
C _{Ma}	55.66	-29.14	-31.99	43.27	228	
V _{Ma}	17.15	50.3	-59.04	77.57	310	
M _{Ma}	40.37	78.64	-33.5	85.48	337	
N _{Ma}	11.58	0.0	0.0	0.0	0	
W _{Ma}	95.02	0.0	0.0	0.0	0	
R _{Ma}	39.92	58.74	27.99	65.07	25	
J _{Ma}	81.26	-2.89	71.56	71.62	92	
G _{Ma}	52.23	-42.42	13.6	44.55	162	
B _{Ma}	30.57	1.41	-46.47	46.49	272	

Daten für Maximalfarbe (Ma):

$LAB^*LAB^*_{Ma}$: 41 1 -42
 $LAB^*LCH^*_{Ma}$: 41 42 271
 $lab^*rgb^*_{Ma}$: 0.0 0.0 1.0
 $lab^*olv^*_{Ma}$: 0.0 0.47 1.0

FRS12_95a; adaptierte CIELAB-Daten

	u^*_e	$L^*=L^*_a$	a^*_a	b^*_a	$C^*_{ab,a}$	$h^*_{ab,a}$	u^*_d
r00j	38.47	63.32	30.17	70.15	25	m81o	
r25j	42.12	54.56	49.45	73.64	42	o10y	
r50j	53.64	39.15	64.89	75.79	59	o40y	
r75j	67.01	21.26	82.83	85.52	76	o69y	
j00g	86.18	-4.38	108.53	108.62	92	o98y	
j25g	69.73	-29.89	83.06	88.28	110	y34l	
j50g	57.03	-48.31	63.49	79.78	127	y69l	
j75g	47.73	-60.33	42.64	73.88	145	l03c	
g00b	50.59	-49.08	15.74	51.54	162	l23c	
g25b	52.97	-39.7	-6.72	40.27	190	l55c	
g50b	54.85	-32.33	-24.35	40.48	217	l87c	
g75b	49.92	-17.29	-36.02	39.96	244	c20v	
b00r	40.91	1.28	-42.35	42.37	272	c53v	
b25r	26.81	30.38	-52.26	60.45	300	c87v	
b50r	32.52	69.06	-42.14	80.9	329	v68m	
b75r	39.48	71.47	-3.69	71.57	357	m34o	

Dreiecks-Helligkeit i^*

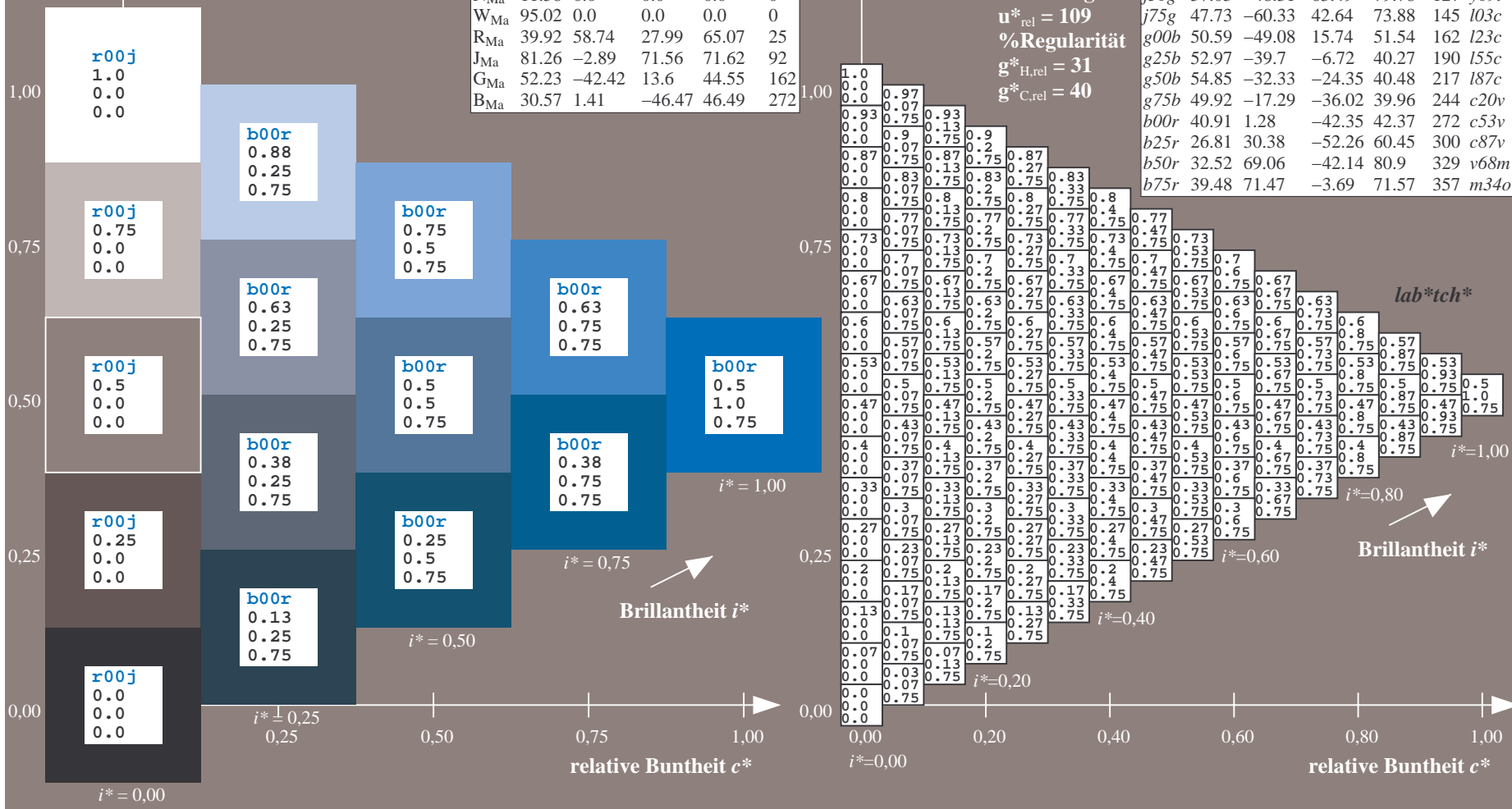
%Umfang

$u^*_{rel} = 109$

%Regularität

$g^*_{H,rel} = 31$

$g^*_{C,rel} = 40$

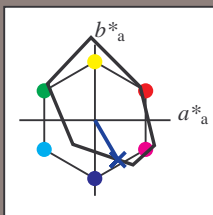


Siehe ähnliche Dateien: <http://www.ps.bam.de/Fg64/>; www.ps.bam.de/Fg64/Version 2.1, io=1,1, ColSpX=0
 Technische Information: <http://www.ps.bam.de>

BAM-Registrierung: 20081001-Fg64/10L/L64g00NP.PDF/.PS BAM-Material: Code=rh4ta
 Anwendung für Beurteilung und Messung von Drucker- oder Monitorssystemen

Ein und Ausgabe: Farbmetrisches Drucker-Reflektiv-System FRS12_95a, L*=12_95 für relative CIELAB-Bunton $h^* = lab^*h^* = h_{ab}/360 = 0.834$ $u^*_e = b25r$
 lab^*tch^* und lab^*icu^*

Daten für jede Farbe:
 lab^*tch^* und lab^*icu^*
 Bunttontexte:
 $u^*_e = b25r$ $u^*_d = c87v$
 Kontrastreduzierungsfaktor:
 $c_R = 1.0$
 Dreiecks-Helligkeit i^*



FRS12_95a; adaptierte CIELAB-Daten

	u^*_e	$L^*=L^*_a$	a^*_a	b^*_a	$C^*_{ab,a}$	$h^*_{ab,a}$
O _{Ma}	38.06	60.0	44.0	74.4	36	
Y _{Ma}	86.77	-5.17	109.32	109.44	93	
L _{Ma}	47.13	-62.67	48.24	79.09	142	
C _{Ma}	55.66	-29.14	-31.99	43.27	228	
V _{Ma}	17.15	50.3	-59.04	77.57	310	
M _{Ma}	40.37	78.64	-33.5	85.48	337	
N _{Ma}	11.58	0.0	0.0	0.0	0	
W _{Ma}	95.02	0.0	0.0	0.0	0	
R _{Ma}	39.92	58.74	27.99	65.07	25	
J _{Ma}	81.26	-2.89	71.56	71.62	92	
G _{Ma}	52.23	-42.42	13.6	44.55	162	
B _{Ma}	30.57	1.41	-46.47	46.49	272	

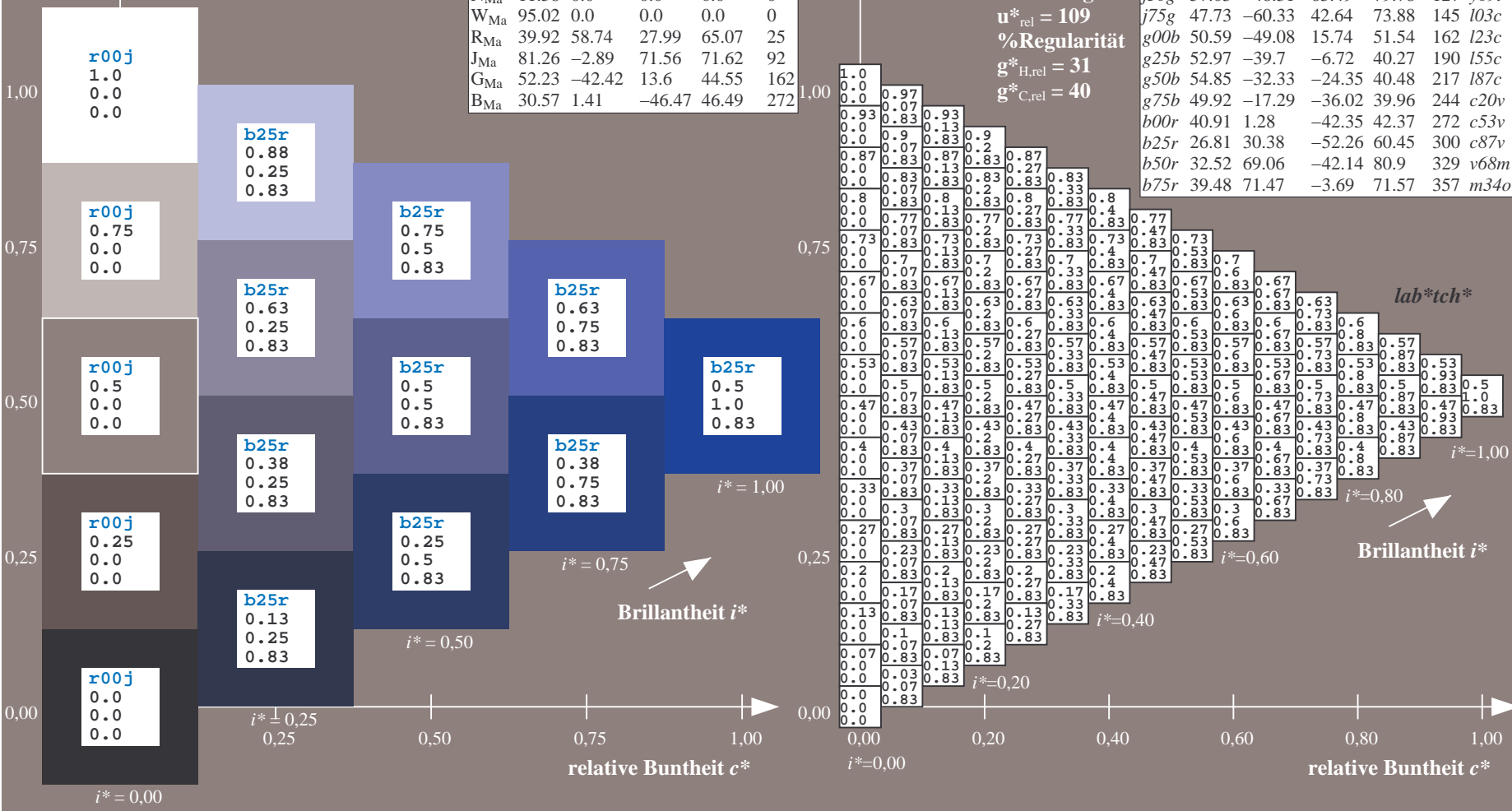
Daten für Maximalfarbe (Ma):

$LAB^*LAB^*_{Ma}$: 27 30 -52
 $LAB^*LCH^*_{Ma}$: 27 60 300
 $lab^*rgb^*_{Ma}$: 0.5 0.0 1.0
 $lab^*olv^*_{Ma}$: 0.0 0.12 1.0

FRS12_95a; adaptierte CIELAB-Daten

	u^*_e	$L^*=L^*_a$	a^*_a	b^*_a	$C^*_{ab,a}$	$h^*_{ab,a}$	u^*_d
r00j	38.47	63.32	30.17	70.15	25	m81o	
r25j	42.12	54.56	49.45	73.64	42	o10y	
r50j	53.64	39.15	64.89	75.79	59	o40y	
r75j	67.01	21.26	82.83	85.52	76	o69y	
j00g	86.18	-4.38	108.53	108.62	92	o98y	
j25g	69.73	-29.89	83.06	88.28	110	y34l	
j50g	57.03	-48.31	63.49	79.78	127	y69l	
j75g	47.73	-60.33	42.64	73.88	145	l03c	
g00b	50.59	-49.08	15.74	51.54	162	l23c	
g25b	52.97	-39.7	-6.72	40.27	190	l55c	
g50b	54.85	-32.33	-24.35	40.48	217	l87c	
g75b	49.92	-17.29	-36.02	39.96	244	c20v	
b00r	40.91	1.28	-42.35	42.37	272	c53v	
b25r	26.81	30.38	-52.26	60.45	300	c87v	
b50r	32.52	69.06	-42.14	80.9	329	v68m	
b75r	39.48	71.47	-3.69	71.57	357	m34o	

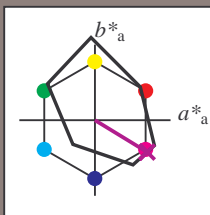
Dreiecks-Helligkeit i^*
 %Umfang
 $u^*_{rel} = 109$
 %Regularität
 $g^*_{H,rel} = 31$
 $g^*_{C,rel} = 40$



BAM-Registrierung: 20081001-Fg64/10L/L64g00NP.PDF/.PS BAM-Material: Code=rh4ta
 Anwendung für Beurteilung und Messung von Drucker- oder Monitorssystemen

Ein und Ausgabe: Farbmetrisches Drucker-Reflektiv-System FRS12_95a, L*=12_95 für relative CIELAB-Buntton $h^* = lab^*h^* = h_{ab}^*/360 = 0.913$ $u^*_e = b50r$
 lab^*tch^* und lab^*icu^*

Daten für jede Farbe:
 lab^*tch^* und lab^*icu^*
 Bunttontexte:
 $u^*_e = b50r$ $u^*_d = v68m$
 Kontrastreduzierungsfaktor:
 $c_R = 1.0$
 Dreiecks-Helligkeit i^*



FRS12_95a; adaptierte CIELAB-Daten

	u^*_e	$L^*=L^*_a$	a^*_a	b^*_a	$C^*_{ab,a}$	$h^*_{ab,a}$
O _{Ma}	38.06	60.0	44.0	74.4	36	
Y _{Ma}	86.77	-5.17	109.32	109.44	93	
L _{Ma}	47.13	-62.67	48.24	79.09	142	
C _{Ma}	55.66	-29.14	-31.99	43.27	228	
V _{Ma}	17.15	50.3	-59.04	77.57	310	
M _{Ma}	40.37	78.64	-33.5	85.48	337	
N _{Ma}	11.58	0.0	0.0	0.0	0	
W _{Ma}	95.02	0.0	0.0	0.0	0	
R _{Ma}	39.92	58.74	27.99	65.07	25	
J _{Ma}	81.26	-2.89	71.56	71.62	92	
G _{Ma}	52.23	-42.42	13.6	44.55	162	
B _{Ma}	30.57	1.41	-46.47	46.49	272	

Daten für Maximalfarbe (Ma):

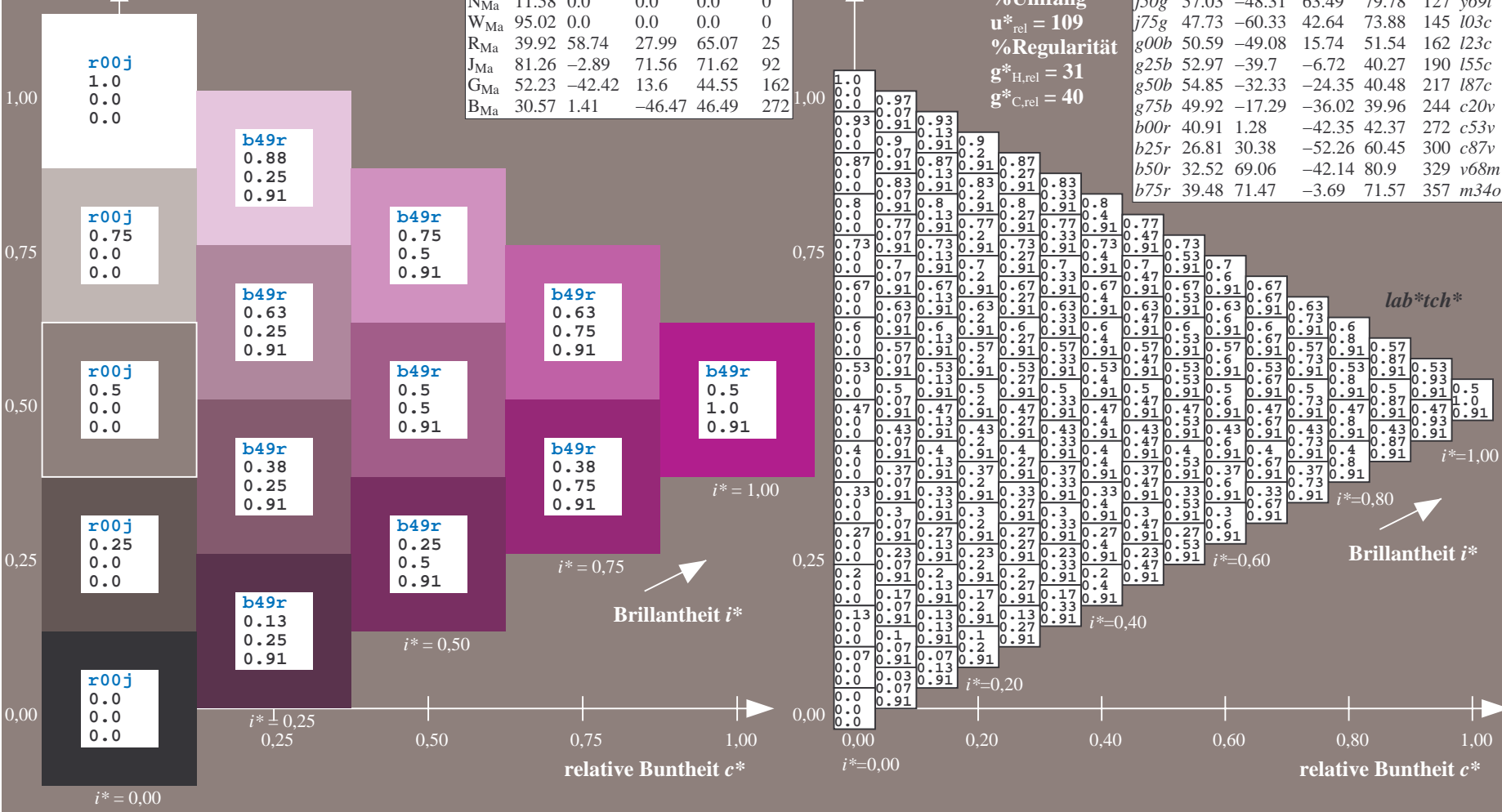
$LAB^*LAB^*_{Ma}$: 33 69 -42
 $LAB^*LCH^*_{Ma}$: 33 81 328
 $lab^*rgb^*_{Ma}$: 1.0 0.0 1.0
 $lab^*olv^*_{Ma}$: 0.69 0.0 1.0

FRS12_95a; adaptierte CIELAB-Daten

	u^*_e	$L^*=L^*_a$	a^*_a	b^*_a	$C^*_{ab,a}$	$h^*_{ab,a}$	u^*_d
r00j	38.47	63.32	30.17	70.15	25	m81o	
r25j	42.12	54.56	49.45	73.64	42	o10y	
r50j	53.64	39.15	64.89	75.79	59	o40y	
r75j	67.01	21.26	82.83	85.52	76	o69y	
j00g	86.18	-4.38	108.53	108.62	92	o98y	
j25g	69.73	-29.89	83.06	88.28	110	y34l	
j50g	57.03	-48.31	63.49	79.78	127	y69l	
j75g	47.73	-60.33	42.64	73.88	145	l03c	
g00b	50.59	-49.08	15.74	51.54	162	l23c	
g25b	52.97	-39.7	-6.72	40.27	190	l55c	
g50b	54.85	-32.33	-24.35	40.48	217	l87c	
g75b	49.92	-17.29	-36.02	39.96	244	c20v	
b00r	40.91	1.28	-42.35	42.37	272	c53v	
b25r	26.81	30.38	-52.26	60.45	300	c87v	
b50r	32.52	69.06	-42.14	80.9	329	v68m	
b75r	39.48	71.47	-3.69	71.57	357	m34o	

Dreiecks-Helligkeit i^*

%Umfang
 $u^*_{rel} = 109$
 %Regularität
 $g^*_{H,rel} = 31$
 $g^*_{C,rel} = 40$

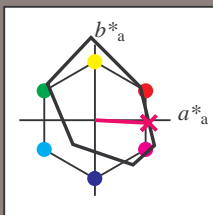


Siehe ähnliche Dateien: <http://www.ps.bam.de/Fg64/>; www.ps.bam.de/Version 2.1, io=1,1, ColSpX=0
 Technische Information: <http://www.ps.bam.de>

BAM-Registrierung: 20081001-Fg64/10L/L64g00NP.PDF/.PS BAM-Material: Code=rhatha
 Anwendung für Beurteilung und Messung von Drucker- oder Monitorssystemen

Ein und Ausgabe: Farbmetrisches Drucker-Reflektiv-System FRS12_95a, L*=12_95 für relative CIELAB-Buntton $h^* = lab^*h^* = h_{ab}/360 = 0.992$ $u^*_e = b75r$
 lab^*tch^* und lab^*icu^*

Daten für jede Farbe:
 lab^*tch^* und lab^*icu^*
 Bunttontexte:
 $u^*_e = b75r$ $u^*_d = m34o$
 Kontrastreduzierungsfaktor:
 $c_R = 1.0$
 Dreiecks-Helligkeit i^*



FRS12_95a; adaptierte CIELAB-Daten						
	u^*_e	$L^*=L^*_a$	a^*_a	b^*_a	$C^*_{ab,a}$	$h^*_{ab,a}$
O _{Ma}	38.06	60.0	44.0	74.4	36	
Y _{Ma}	86.77	-5.17	109.32	109.44	93	
L _{Ma}	47.13	-62.67	48.24	79.09	142	
C _{Ma}	55.66	-29.14	-31.99	43.27	228	
V _{Ma}	17.15	50.3	-59.04	77.57	310	
M _{Ma}	40.37	78.64	-33.5	85.48	337	
N _{Ma}	11.58	0.0	0.0	0.0	0	
W _{Ma}	95.02	0.0	0.0	0.0	0	
R _{Ma}	39.92	58.74	27.99	65.07	25	
J _{Ma}	81.26	-2.89	71.56	71.62	92	
G _{Ma}	52.23	-42.42	13.6	44.55	162	
B _{Ma}	30.57	1.41	-46.47	46.49	272	

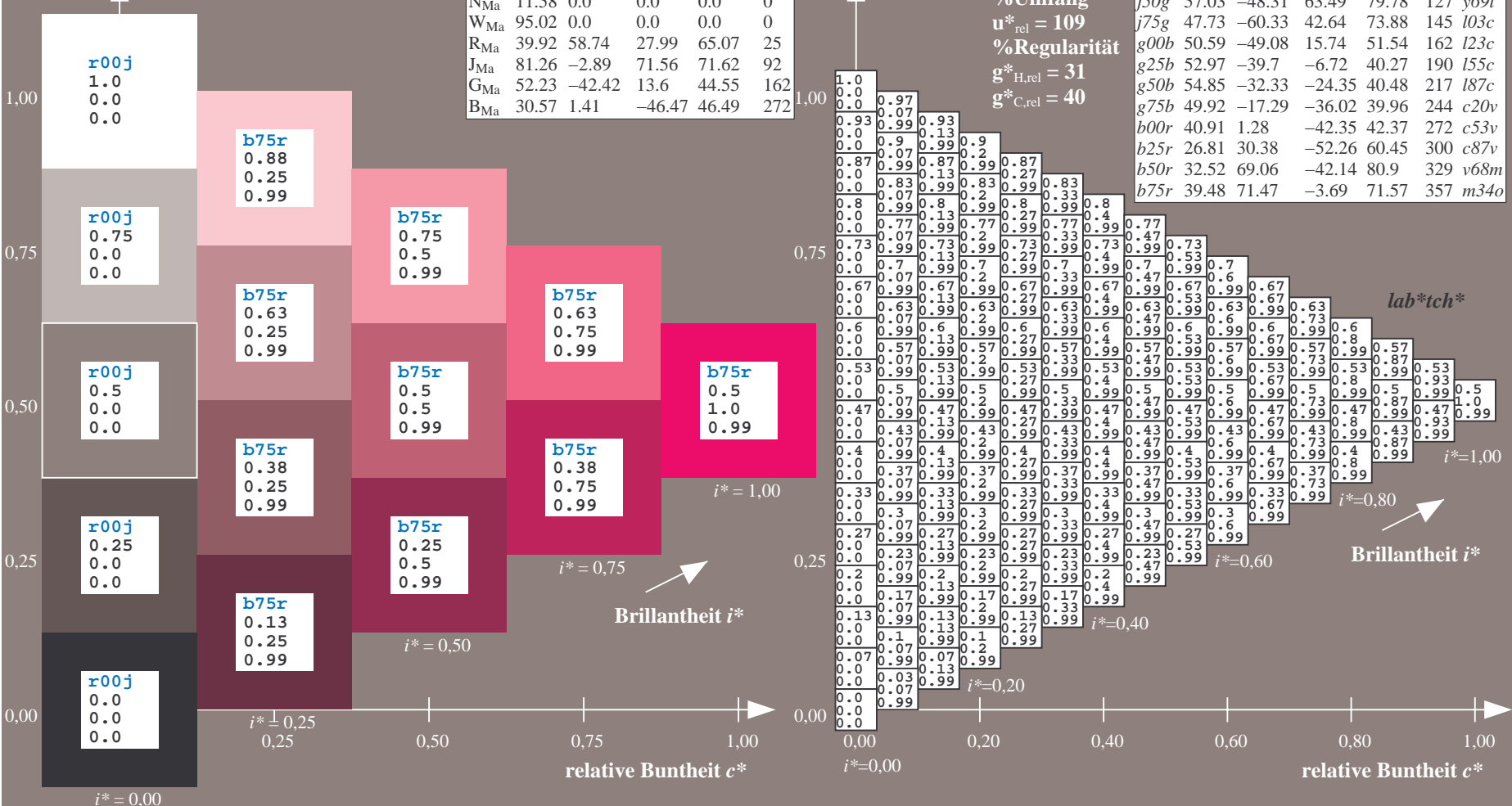
Daten für Maximalfarbe (Ma):

$LAB^*LAB^*_{Ma}$: 39 71 -4
 $LAB^*LCH^*_{Ma}$: 39 72 357
 $lab^*rgb^*_{Ma}$: 1.0 0.0 0.5
 $lab^*olv^*_{Ma}$: 1.0 0.0 0.66

FRS12_95a; adaptierte CIELAB-Daten							
	u^*_e	$L^*=L^*_a$	a^*_a	b^*_a	$C^*_{ab,a}$	$h^*_{ab,a}$	u^*_d
r00j	38.47	63.32	30.17	70.15	25	m81o	
r25j	42.12	54.56	49.45	73.64	42	o10y	
r50j	53.64	39.15	64.89	75.79	59	o40y	
r75j	67.01	21.26	82.83	85.52	76	o69y	
j00g	86.18	-4.38	108.53	108.62	92	o98y	
j25g	69.73	-29.89	83.06	88.28	110	y34l	
j50g	57.03	-48.31	63.49	79.78	127	y69l	
j75g	47.73	-60.33	42.64	73.88	145	l03c	
g00b	50.59	-49.08	15.74	51.54	162	l23c	
g25b	52.97	-39.7	-6.72	40.27	190	l55c	
g50b	54.85	-32.33	-24.35	40.48	217	l87c	
g75b	49.92	-17.29	-36.02	39.96	244	c20v	
b00r	40.91	1.28	-42.35	42.37	272	c53v	
b25r	26.81	30.38	-52.26	60.45	300	c87v	
b50r	32.52	69.06	-42.14	80.9	329	v68m	
b75r	39.48	71.47	-3.69	71.57	357	m34o	

Dreiecks-Helligkeit i^*

%Umfang
 $u^*_{rel} = 109$
 %Regularität
 $g^*_{H,rel} = 31$
 $g^*_{C,rel} = 40$



Siehe ähnliche Dateien: <http://www.ps.bam.de/Fg64/>; www.ps.bam.de/Version.2.1,io=1,1,Colspx=0
 Technische Information: <http://www.ps.bam.de>

BAM-Registrierung: 20081001-Fg64/10L/L64g00NP.PDF/.PS BAM-Material: Code=rhatha
 Anwendung für Beurteilung und Messung von Drucker- oder Monitorssystemen

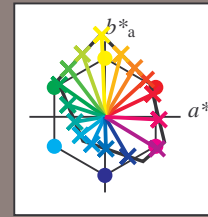
Siehe ähnliche Dateien: <http://www.ps.bam.de/Fg64/>; [www.ps.bam.de/Version 2.1, io=1.1, Colspx=0](http://www.ps.bam.de/Version2.1,io=1.1,Colspx=0)
Technische Information: <http://www.ps.bam.de>

Table with 28 columns (A-Z, a-z) and 28 rows (01-27). Each cell contains a numerical value representing color calibration data. The table is bordered by a grid of red and black lines.

BAM-Registrierung: 20081001-Fg64/10L/L64g00NP.PDF/.PS BAM-Material: Code=thata4
Anwendung für Beurteilung und Messung von Drucker- oder Monitorsystemen

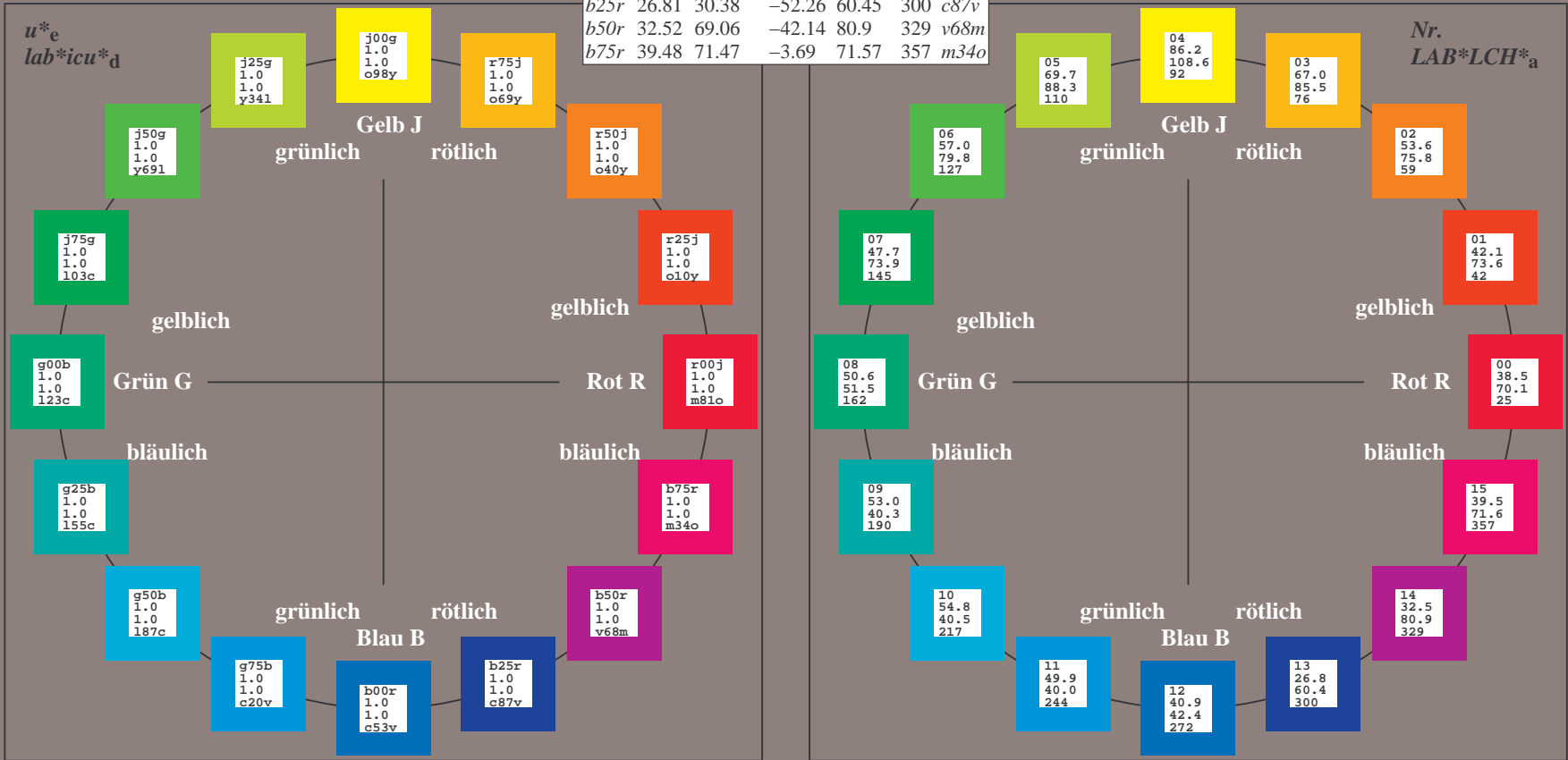
Ein und Ausgabe:
 Farbmetrisches Drucker-Reflektiv-System FRS12_95a
 Daten für jede Farbe:
 u^*_e und Nummer *Nr.* = 00 .. 15
 Elementar-Bunttontext:
 $u^*_e = 16$ Bunttoene *r00j, r25j, ..., b75r*
 Kontrastreduzierungsfaktor:
 $c_R = 1.0$

FRS12_95a; adaptierte CIELAB-Daten						
u^*_e	$L^*=L^*_a$	a^*_a	b^*_a	$C^*_{ab,a}$	$h^*_{ab,a}$	u^*_d
r00j	38.47	63.32	30.17	70.15	25	m81o
r25j	42.12	54.56	49.45	73.64	42	o10y
r50j	53.64	39.15	64.89	75.79	59	o40y
r75j	67.01	21.26	82.83	85.52	76	o69y
j00g	86.18	-4.38	108.53	108.62	92	o98y
j25g	69.73	-29.89	83.06	88.28	110	y34l
j50g	57.03	-48.31	63.49	79.78	127	y69l
j75g	47.73	-60.33	42.64	73.88	145	l03c
g00b	50.59	-49.08	15.74	51.54	162	l23c
g25b	52.97	-39.7	-6.72	40.27	190	l55c
g50b	54.85	-32.33	-24.35	40.48	217	l87c
g75b	49.92	-17.29	-36.02	39.96	244	c20v
b00r	40.91	1.28	-42.35	42.37	272	c53v
b25r	26.81	30.38	-52.26	60.45	300	c87v
b50r	32.52	69.06	-42.14	80.9	329	v68m
b75r	39.48	71.47	-3.69	71.57	357	m34o



%Umfang
 $u^*_{rel} = 109$
 %Regularität
 $g^*_{H,rel} = 31$
 $g^*_{C,rel} = 40$

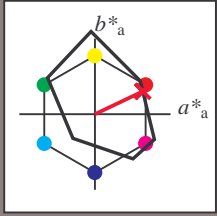
FRS12_95a; adaptierte CIELAB-Daten					
Name	$L^*=L^*_a$	a^*_a	b^*_a	$C^*_{ab,a}$	$h^*_{ab,a}$
OMa	38.06	60.0	44.0	74.4	36
YMa	86.77	-5.17	109.32	109.44	93
LMa	47.13	-62.67	48.24	79.09	142
CMa	55.66	-29.14	-31.99	43.27	228
VMa	17.15	50.3	-59.04	77.57	310
MMa	40.37	78.64	-33.5	85.48	337
NMa	11.58	0.0	0.0	0.0	0
WMa	95.02	0.0	0.0	0.0	0
RCIE	39.92	58.74	27.99	65.07	25
JCIE	81.26	-2.89	71.56	71.62	92
GCIE	52.23	-42.42	13.6	44.55	162
BCIE	30.57	1.41	-46.47	46.49	272



BAM-Registrierung: 20081001-Fg64/10L/L64g00NP.PDF/.PS BAM-Material: Code=rh4ta
 Anwendung für Beurteilung und Messung von Drucker- oder Monitorssystemen

Siehe ähnliche Dateien: <http://www.ps.bam.de/Fg64/>; [www.ps.bam.de/Fg64/Version 2.1, io=1,1, ColSpx=0](http://www.ps.bam.de/Fg64/Version%202.1,%20io=1,1,ColSpx=0)
 Technische Information: <http://www.ps.bam.de>

Ein und Ausgabe: Farbmetrisches Drucker-Reflektiv-System FRS12_95a, L*=12_95 für relative CIELAB-Buntton $h^* = lab^*h^* = h_{ab}/360 = 0.071$ $u^*_e = r00j$
 Daten für jede Farbe: lab^*tch^* und lab^*icu^*
 $u^*_e = r00j$ $u^*_d = m81o$
 Kontrastreduzierungsfaktor: $c_R = 1.0$
 Dreiecks-Helligkeit i^*



FRS12_95a; adaptierte CIELAB-Daten

	u^*_e	$L^*=L^*_a$	a^*_a	b^*_a	$C^*_{ab,a}$	$h^*_{ab,a}$
O _{Ma}	38.06	60.0	44.0	74.4	36	
Y _{Ma}	86.77	-5.17	109.32	109.44	93	
L _{Ma}	47.13	-62.67	48.24	79.09	142	
C _{Ma}	55.66	-29.14	-31.99	43.27	228	
V _{Ma}	17.15	50.3	-59.04	77.57	310	
M _{Ma}	40.37	78.64	-33.5	85.48	337	
N _{Ma}	11.58	0.0	0.0	0.0	0	
W _{Ma}	95.02	0.0	0.0	0.0	0	
R _{Ma}	39.92	58.74	27.99	65.07	25	
J _{Ma}	81.26	-2.89	71.56	71.62	92	
G _{Ma}	52.23	-42.42	13.6	44.55	162	
B _{Ma}	30.57	1.41	-46.47	46.49	272	

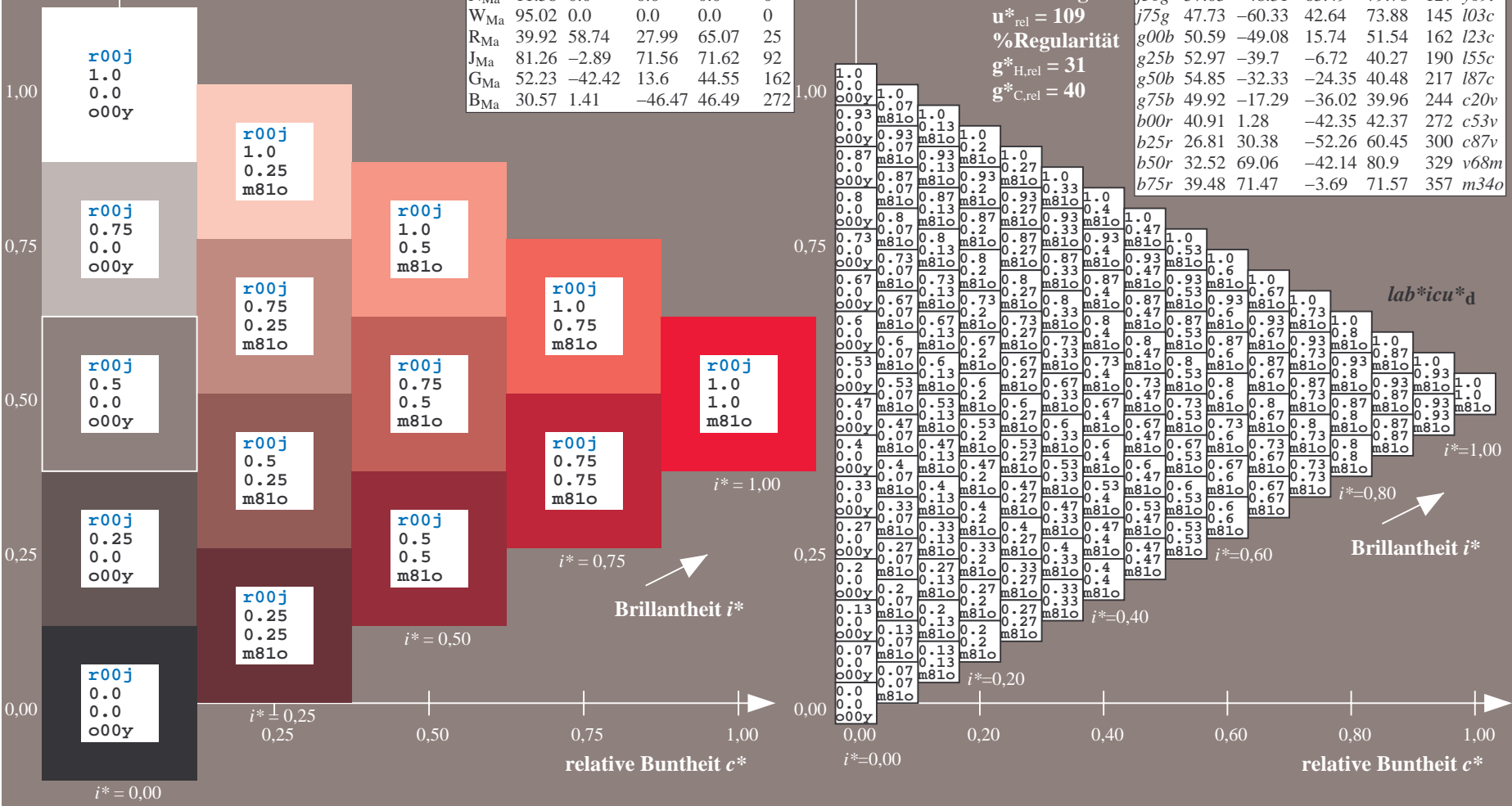
Daten für Maximalfarbe (Ma):

$LAB^*LAB^*_{Ma}$: 38 63 30
 $LAB^*LCH^*_{Ma}$: 38 70 25
 $lab^*rgb^*_{Ma}$: 1.0 0.0 0.0
 $lab^*olv^*_{Ma}$: 1.0 0.0 0.18

FRS12_95a; adaptierte CIELAB-Daten

	u^*_e	$L^*=L^*_a$	a^*_a	b^*_a	$C^*_{ab,a}$	$h^*_{ab,a}$	u^*_d
r00j	38.47	63.32	30.17	70.15	25	m81o	
r25j	42.12	54.56	49.45	73.64	42	o10y	
r50j	53.64	39.15	64.89	75.79	59	o40y	
r75j	67.01	21.26	82.83	85.52	76	o69y	
j00g	86.18	-4.38	108.53	108.62	92	o98y	
j25g	69.73	-29.89	83.06	88.28	110	y34l	
j50g	57.03	-48.31	63.49	79.78	127	y69l	
j75g	47.73	-60.33	42.64	73.88	145	l03c	
g00b	50.59	-49.08	15.74	51.54	162	l23c	
g25b	52.97	-39.7	-6.72	40.27	190	l55c	
g50b	54.85	-32.33	-24.35	40.48	217	l87c	
g75b	49.92	-17.29	-36.02	39.96	244	c20v	
b00r	40.91	1.28	-42.35	42.37	272	c53v	
b25r	26.81	30.38	-52.26	60.45	300	c87v	
b50r	32.52	69.06	-42.14	80.9	329	v68m	
b75r	39.48	71.47	-3.69	71.57	357	m34o	

Dreiecks-Helligkeit i^*
 %Umfang $u^*_{rel} = 109$
 %Regularität $g^*_{H,rel} = 31$
 $g^*_{C,rel} = 40$



Siehe ähnliche Dateien: <http://www.ps.bam.de/Fg64/>; www.ps.bam.de/Fg.HTM
 Technische Information: <http://www.ps.bam.de> Version 2.1, io=1,1, ColSpx=0

BAM-Registrierung: 20081001-Fg64/10L/L64g00NP.PDF/.PS BAM-Material: Code=rhatha
 Anwendung für Beurteilung und Messung von Drucker- oder Monitorssystemen

Ein und Ausgabe: Farbmetrisches Drucker-Reflektiv-System FRS12_95a, L*=12_95 für relative CIELAB-Buntton $h^* = lab^*h^* = h_{ab}/360 = 0.117$ $u^*_e = r25j$ $lab^*icu^*_d$

Daten für jede Farbe: lab^*ch^* und lab^*icu^*

Bunttontexte: $u^*_e = r25j$ $u^*_d = o10y$

Kontrastreduzierungsfaktor: $c_R = 1.0$

Dreiecks-Helligkeit i^*

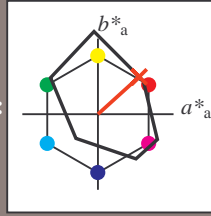


Table with 7 columns: Color Name, O_{Ma}, Y_{Ma}, L_{Ma}, C_{Ma}, V_{Ma}, M_{Ma}, N_{Ma}, W_{Ma}, R_{Ma}, J_{Ma}, G_{Ma}, B_{Ma}. Rows include O_{Ma}, Y_{Ma}, L_{Ma}, C_{Ma}, V_{Ma}, M_{Ma}, N_{Ma}, W_{Ma}, R_{Ma}, J_{Ma}, G_{Ma}, B_{Ma}.

Daten für Maximalfarbe (Ma):

$LAB^*LAB^*_{Ma}: 42\ 55\ 49$

$LAB^*LCH^*_{Ma}: 42\ 74\ 42$

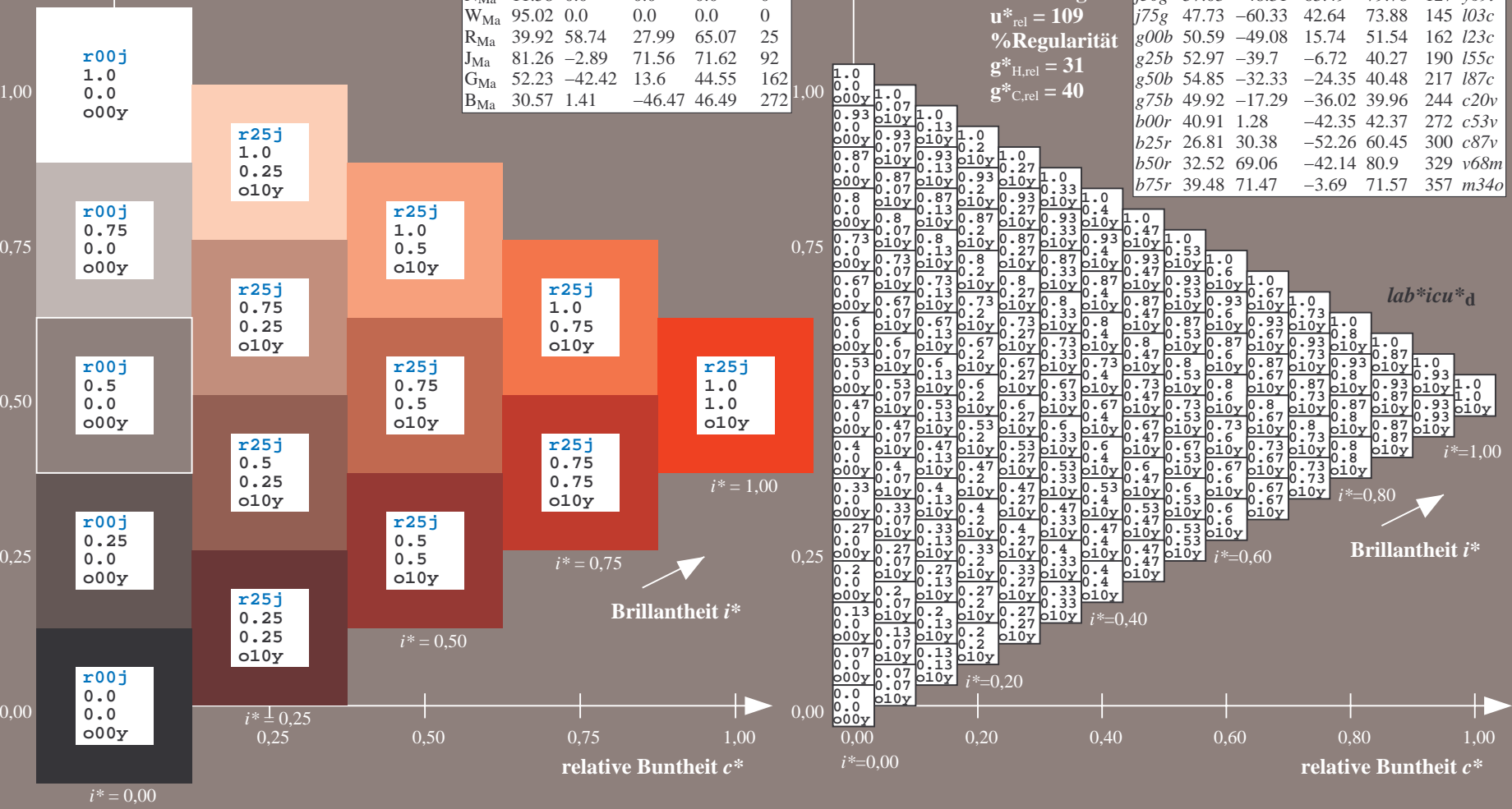
$lab^*rgb^*_{Ma}: 1.0\ 0.25\ 0.0$

$lab^*olv^*_{Ma}: 1.0\ 0.11\ 0.0$

Dreiecks-Helligkeit i^*

%Umfang
 $u^*_{rel} = 109$
%Regularität
 $g^*_{H,rel} = 31$
 $g^*_{C,rel} = 40$

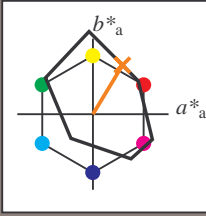
Table with 10 columns: Color Name, u*_e, L*_a, a*_a, b*_a, C*_ab,a, h*_ab,a, u*_d. Rows include r00j, r25j, r50j, r75j, j00g, j25g, j50g, j75g, g00b, g25b, g50b, g75b, b00r, b25r, b50r, b75r.



BAM-Registrierung: 20081001-Fg64/10L/L64g00NP.PDF/.PS BAM-Material: Code=rh4ta
Anwendung für Beurteilung und Messung von Drucker- oder Monitorssystemen

Ein und Ausgabe: Farbmetrisches Drucker-Reflektiv-System FRS12_95a, L*=12_95 für relative CIELAB-Buntton $h^* = lab^*h^* = h_{ab}/360 = 0.164$ $u^*_e = r50j$
 lab^*tch^* und lab^*icu^* $lab^*icu^*_d$

Daten für jede Farbe:
 lab^*tch^* und lab^*icu^*
 Bunttontexte:
 $u^*_e = r50j$ $u^*_d = o40y$
 Kontrastreduzierungsfaktor:
 $c_R = 1.0$
 Dreiecks-Helligkeit t^*



FRS12_95a; adaptierte CIELAB-Daten

	u^*_e	$L^*=L^*_a$	a^*_a	b^*_a	$C^*_{ab,a}$	$h^*_{ab,a}$
O _{Ma}	38.06	60.0	44.0	74.4	36	
Y _{Ma}	86.77	-5.17	109.32	109.44	93	
L _{Ma}	47.13	-62.67	48.24	79.09	142	
C _{Ma}	55.66	-29.14	-31.99	43.27	228	
V _{Ma}	17.15	50.3	-59.04	77.57	310	
M _{Ma}	40.37	78.64	-33.5	85.48	337	
N _{Ma}	11.58	0.0	0.0	0.0	0	
W _{Ma}	95.02	0.0	0.0	0.0	0	
R _{Ma}	39.92	58.74	27.99	65.07	25	
J _{Ma}	81.26	-2.89	71.56	71.62	92	
G _{Ma}	52.23	-42.42	13.6	44.55	162	
B _{Ma}	30.57	1.41	-46.47	46.49	272	

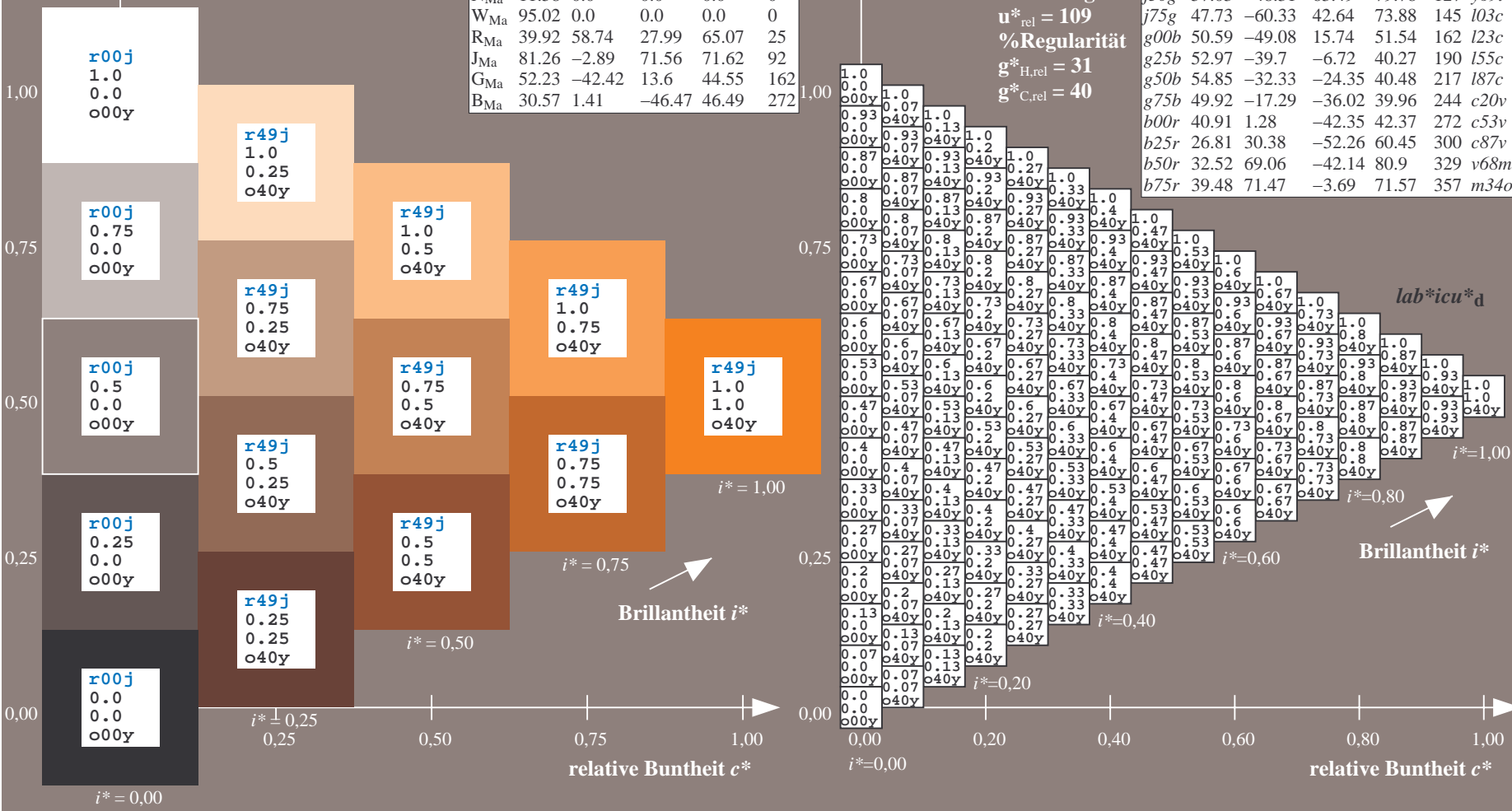
Daten für Maximalfarbe (Ma):

$LAB^*LAB^*_{Ma}$: 54 39 65
 $LAB^*LCH^*_{Ma}$: 54 76 58
 $lab^*rgb^*_{Ma}$: 1.0 0.5 0.0
 $lab^*olv^*_{Ma}$: 1.0 0.4 0.0

FRS12_95a; adaptierte CIELAB-Daten

	u^*_e	$L^*=L^*_a$	a^*_a	b^*_a	$C^*_{ab,a}$	$h^*_{ab,a}$	u^*_d
r00j	38.47	63.32	30.17	70.15	25	m81o	
r25j	42.12	54.56	49.45	73.64	42	o10y	
r50j	53.64	39.15	64.89	75.79	59	o40y	
r75j	67.01	21.26	82.83	85.52	76	o69y	
j00g	86.18	-4.38	108.53	108.62	92	o98y	
j25g	69.73	-29.89	83.06	88.28	110	y34l	
j50g	57.03	-48.31	63.49	79.78	127	y69l	
j75g	47.73	-60.33	42.64	73.88	145	l03c	
g00b	50.59	-49.08	15.74	51.54	162	l23c	
g25b	52.97	-39.7	-6.72	40.27	190	l55c	
g50b	54.85	-32.33	-24.35	40.48	217	l87c	
g75b	49.92	-17.29	-36.02	39.96	244	c20v	
b00r	40.91	1.28	-42.35	42.37	272	c53v	
b25r	26.81	30.38	-52.26	60.45	300	c87v	
b50r	32.52	69.06	-42.14	80.9	329	v68m	
b75r	39.48	71.47	-3.69	71.57	357	m34o	

Dreiecks-Helligkeit t^*
 %Umfang
 $u^*_{rel} = 109$
 %Regularität
 $g^*_{H,rel} = 31$
 $g^*_{C,rel} = 40$



BAM-Registrierung: 20081001-Fg64/10L/L64g00NP.PDF/.PS BAM-Material: Code=rh4ta
 Anwendung für Beurteilung und Messung von Drucker- oder Monitorssystemen

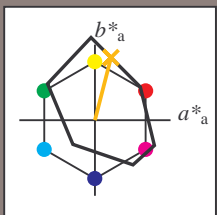
Ein und Ausgabe: Farbmetrisches Drucker-Reflektiv-System FRS12_95a, L*=12_95 für relative CIELAB-Buntton $h^* = lab^*h^* = h_{ab}/360 = 0.21$ $u^*_e = r75j$

Daten für jede Farbe: lab^*ch^* und lab^*icu^*

Bunttontexte: $u^*_e = r75j$ $u^*_d = o69y$

Kontrastreduzierungsfaktor: $c_R = 1.0$

Dreiecks-Helligkeit i^*



FRS12_95a; adaptierte CIELAB-Daten						
	u^*_e	$L^*=L^*_a$	a^*_a	b^*_a	$C^*_{ab,a}$	$h^*_{ab,a}$
O _{Ma}	38.06	60.0	44.0	74.4	36	
Y _{Ma}	86.77	-5.17	109.32	109.44	93	
L _{Ma}	47.13	-62.67	48.24	79.09	142	
C _{Ma}	55.66	-29.14	-31.99	43.27	228	
V _{Ma}	17.15	50.3	-59.04	77.57	310	
M _{Ma}	40.37	78.64	-33.5	85.48	337	
N _{Ma}	11.58	0.0	0.0	0.0	0	
W _{Ma}	95.02	0.0	0.0	0.0	0	
R _{Ma}	39.92	58.74	27.99	65.07	25	
J _{Ma}	81.26	-2.89	71.56	71.62	92	
G _{Ma}	52.23	-42.42	13.6	44.55	162	
B _{Ma}	30.57	1.41	-46.47	46.49	272	

Daten für Maximalfarbe (Ma):

$LAB^*LAB^*_{Ma}$: 67 21 83

$LAB^*LCH^*_{Ma}$: 67 86 75

$lab^*rgb^*_{Ma}$: 1.0 0.75 0.0

$lab^*olv^*_{Ma}$: 1.0 0.7 0.0

Dreiecks-Helligkeit i^*

%Umfang

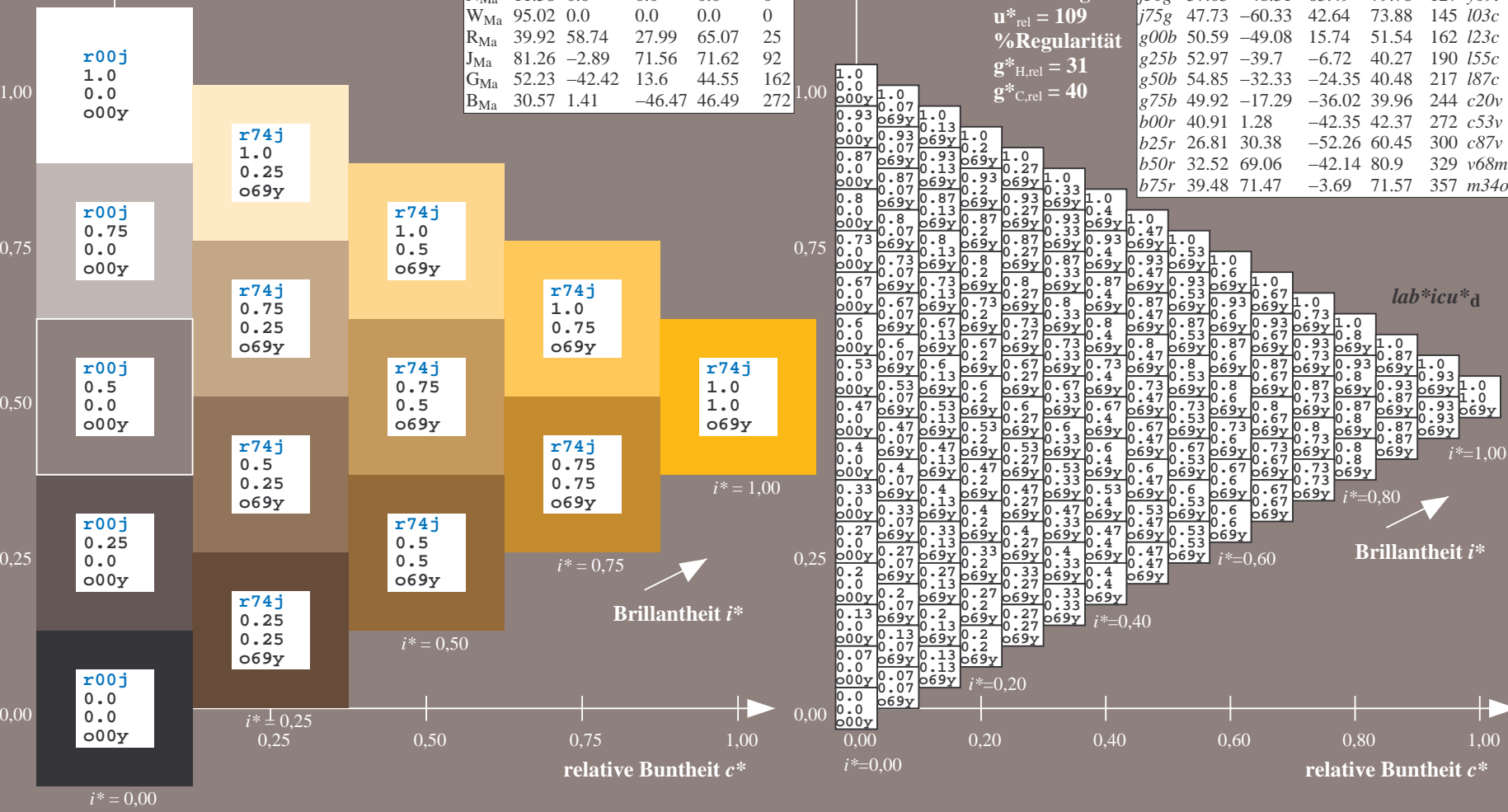
$u^*_{rel} = 109$

%Regularität

$g^*_{H,rel} = 31$

$g^*_{C,rel} = 40$

FRS12_95a; adaptierte CIELAB-Daten								
	u^*_e	$L^*=L^*_a$	a^*_a	b^*_a	$C^*_{ab,a}$	$h^*_{ab,a}$	u^*_d	
r00j	38.47	63.32	30.17	70.15	25	m81o		
r25j	42.12	54.56	49.45	73.64	42	o10y		
r50j	53.64	39.15	64.89	75.79	59	o40y		
r75j	67.01	21.26	82.83	85.52	76	o69y		
j00g	86.18	-4.38	108.53	108.62	92	o98y		
j25g	69.73	-29.89	83.06	88.28	110	y34l		
j50g	57.03	-48.31	63.49	79.78	127	y69l		
j75g	47.73	-60.33	42.64	73.88	145	l03c		
g00b	50.59	-49.08	15.74	51.54	162	l23c		
g25b	52.97	-39.7	-6.72	40.27	190	l55c		
g50b	54.85	-32.33	-24.35	40.48	217	l87c		
g75b	49.92	-17.29	-36.02	39.96	244	c20v		
b00r	40.91	1.28	-42.35	42.37	272	c53v		
b25r	26.81	30.38	-52.26	60.45	300	c87v		
b50r	32.52	69.06	-42.14	80.9	329	v68m		
b75r	39.48	71.47	-3.69	71.57	357	m34o		



BAM-Registrierung: 20081001-Fg64/10L/L64g00NP.PDF/.PS BAM-Material: Code=rh4ta
 Anwendung für Beurteilung und Messung von Drucker- oder Monitorssystemen

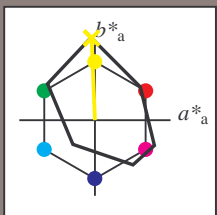
Ein und Ausgabe: Farbmetrisches Drucker-Reflektiv-System FRS12_95a, L*=12_95 für relative CIELAB-Buntton $h^* = lab^*h^* = h_{ab}/360 = 0.256$ $u^*_e = j00g$
 $lab^*icu^*_d$

Daten für jede Farbe:
 lab^*ch^* und lab^*icu^*

Bunttontexte:
 $u^*_e = j00g$ $u^*_d = o98y$

Kontrastreduzierungsfaktor:
 $c_R = 1.0$

Dreiecks-Helligkeit i^*



FRS12_95a; adaptierte CIELAB-Daten						
	u^*_e	$L^*=L^*_a$	a^*_a	b^*_a	$C^*_{ab,a}$	$h^*_{ab,a}$
O _{Ma}	38.06	60.0	44.0	74.4	36	
Y _{Ma}	86.77	-5.17	109.32	109.44	93	
L _{Ma}	47.13	-62.67	48.24	79.09	142	
C _{Ma}	55.66	-29.14	-31.99	43.27	228	
V _{Ma}	17.15	50.3	-59.04	77.57	310	
M _{Ma}	40.37	78.64	-33.5	85.48	337	
N _{Ma}	11.58	0.0	0.0	0.0	0	
W _{Ma}	95.02	0.0	0.0	0.0	0	
R _{Ma}	39.92	58.74	27.99	65.07	25	
J _{Ma}	81.26	-2.89	71.56	71.62	92	
G _{Ma}	52.23	-42.42	13.6	44.55	162	
B _{Ma}	30.57	1.41	-46.47	46.49	272	

Daten für Maximalfarbe (Ma):

$LAB^*LAB^*_{Ma}$: 86 -4 109

$LAB^*LCH^*_{Ma}$: 86 109 92

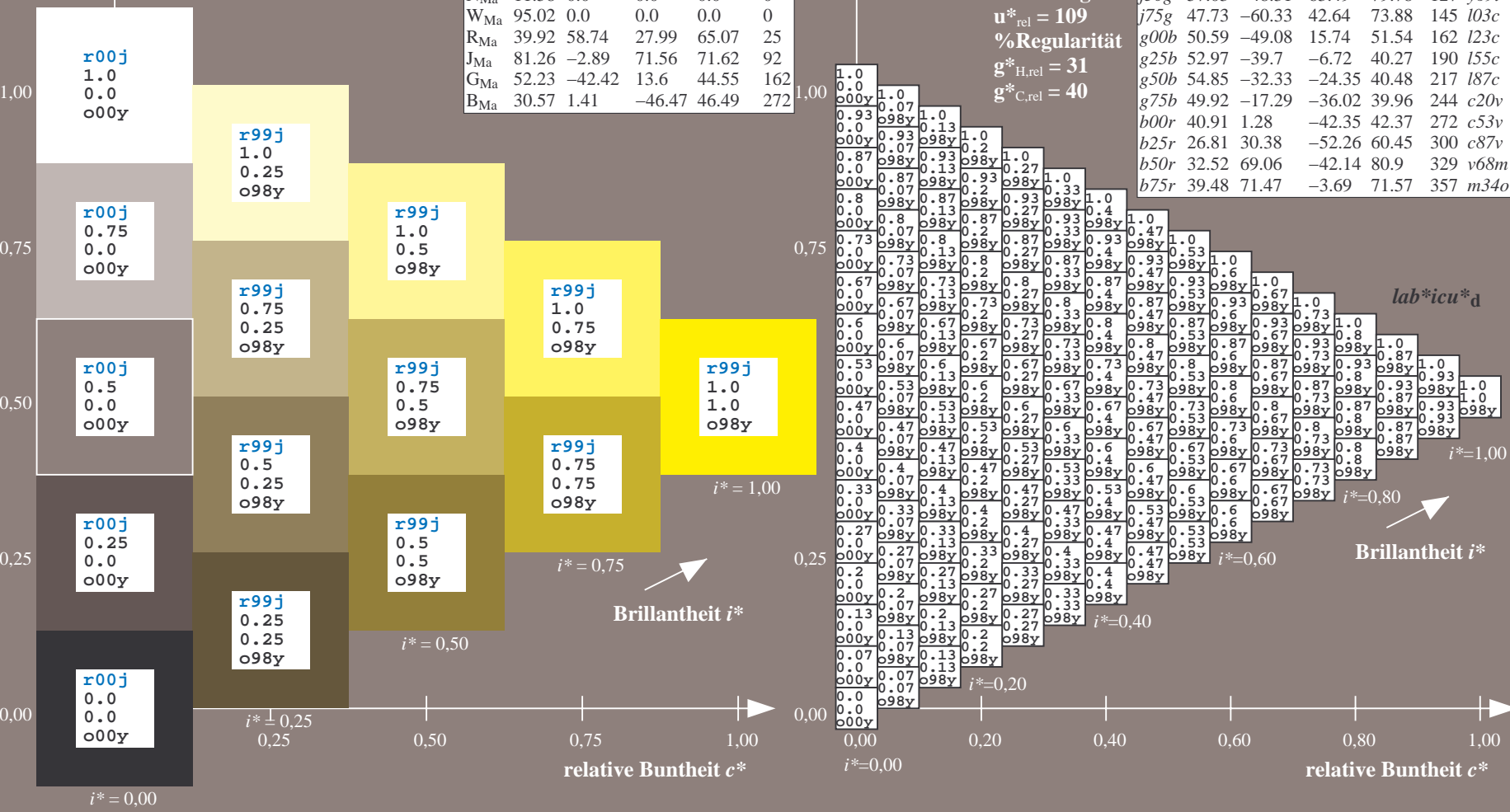
$lab^*rgb^*_{Ma}$: 1.0 1.0 0.0

$lab^*olv^*_{Ma}$: 1.0 0.99 0.0

Dreiecks-Helligkeit i^*

%Umfang
 $u^*_{rel} = 109$
 %Regularität
 $g^*_{H,rel} = 31$
 $g^*_{C,rel} = 40$

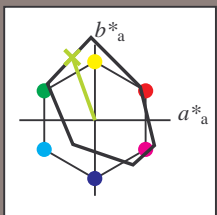
FRS12_95a; adaptierte CIELAB-Daten							
	u^*_e	$L^*=L^*_a$	a^*_a	b^*_a	$C^*_{ab,a}$	$h^*_{ab,a}$	u^*_d
r00j	38.47	63.32	30.17	70.15	25	m81o	
r25j	42.12	54.56	49.45	73.64	42	o10y	
r50j	53.64	39.15	64.89	75.79	59	o40y	
r75j	67.01	21.26	82.83	85.52	76	o69y	
j00g	86.18	-4.38	108.53	108.62	92	o98y	
j25g	69.73	-29.89	83.06	88.28	110	y34l	
j50g	57.03	-48.31	63.49	79.78	127	y69l	
j75g	47.73	-60.33	42.64	73.88	145	l03c	
g00b	50.59	-49.08	15.74	51.54	162	l23c	
g25b	52.97	-39.7	-6.72	40.27	190	l55c	
g50b	54.85	-32.33	-24.35	40.48	217	l87c	
g75b	49.92	-17.29	-36.02	39.96	244	c20v	
b00r	40.91	1.28	-42.35	42.37	272	c53v	
b25r	26.81	30.38	-52.26	60.45	300	c87v	
b50r	32.52	69.06	-42.14	80.9	329	v68m	
b75r	39.48	71.47	-3.69	71.57	357	m34o	



BAM-Registrierung: 20081001-Fg64/10L/L64g00NP.PDF/.PS BAM-Material: Code=rh4ta
 Anwendung für Beurteilung und Messung von Drucker- oder Monitorssystemen

Ein und Ausgabe: Farbmetrisches Drucker-Reflektiv-System FRS12_95a, L*=12_95 für relative CIELAB-Buntton $h^* = lab^*h^* = h_{ab}/360 = 0.305$ $u^*_e = j25g$
 $lab^*icu^*_d$

Daten für jede Farbe:
 lab^*tch^* und $lab^*icu^*_d$
 Bunttontexte:
 $u^*_e = j25g$ $u^*_d = y34l$
 Kontrastreduzierungsfaktor:
 $c_R = 1.0$
 Dreiecks-Helligkeit i^*



FRS12_95a; adaptierte CIELAB-Daten

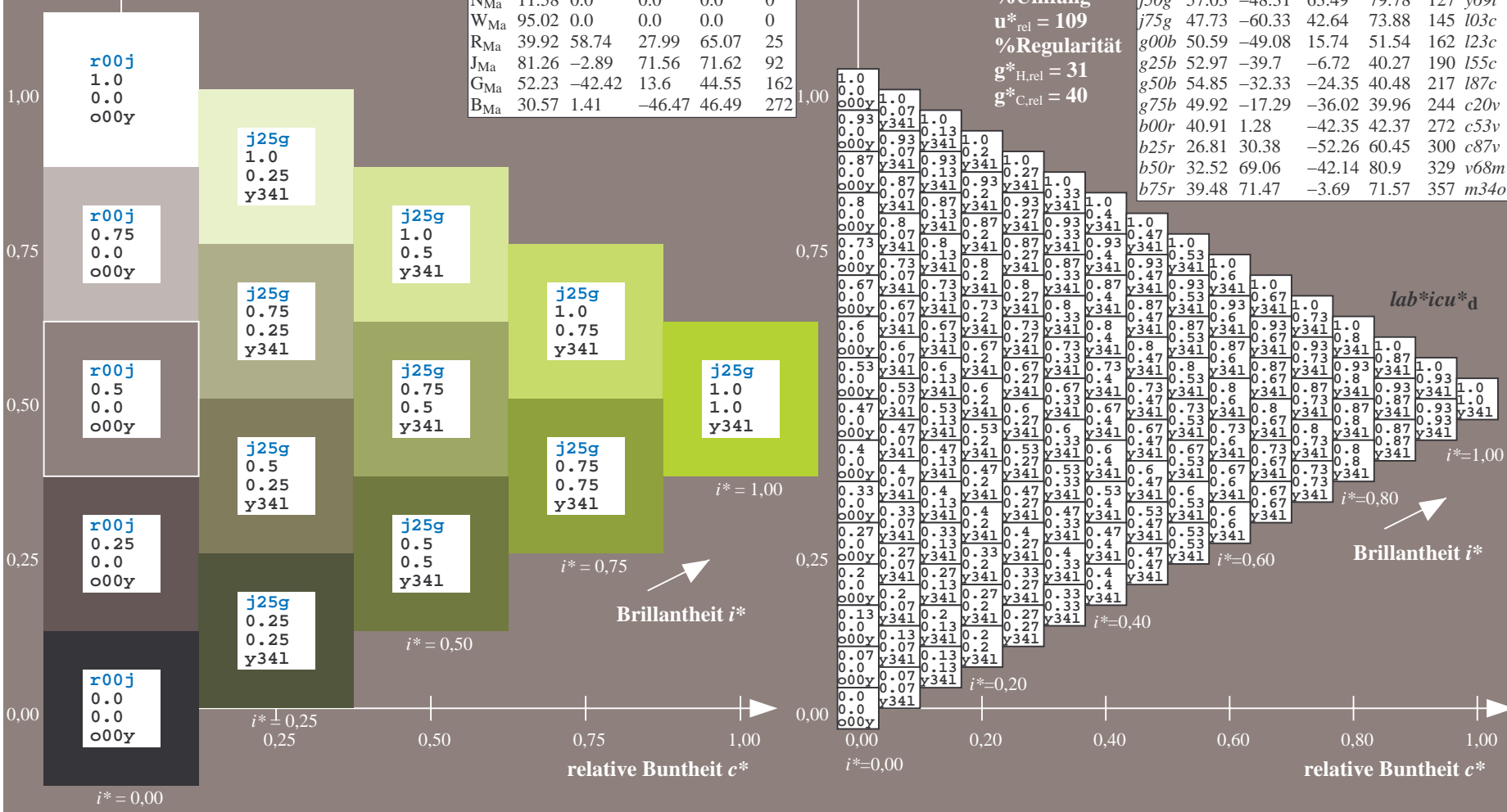
	u^*_e	$L^*=L^*_a$	a^*_a	b^*_a	$C^*_{ab,a}$	$h^*_{ab,a}$
O _{Ma}	38.06	60.0	44.0	74.4	36	
Y _{Ma}	86.77	-5.17	109.32	109.44	93	
L _{Ma}	47.13	-62.67	48.24	79.09	142	
C _{Ma}	55.66	-29.14	-31.99	43.27	228	
V _{Ma}	17.15	50.3	-59.04	77.57	310	
M _{Ma}	40.37	78.64	-33.5	85.48	337	
N _{Ma}	11.58	0.0	0.0	0.0	0	
W _{Ma}	95.02	0.0	0.0	0.0	0	
R _{Ma}	39.92	58.74	27.99	65.07	25	
J _{Ma}	81.26	-2.89	71.56	71.62	92	
G _{Ma}	52.23	-42.42	13.6	44.55	162	
B _{Ma}	30.57	1.41	-46.47	46.49	272	

Daten für Maximalfarbe (Ma):
 $LAB^*LAB^*_{Ma}: 70 -30 83$
 $LAB^*LCH^*_{Ma}: 70 88 109$
 $lab^*rgb^*_{Ma}: 0.75 1.0 0.0$
 $lab^*olv^*_{Ma}: 0.66 1.0 0.0$

FRS12_95a; adaptierte CIELAB-Daten

	u^*_e	$L^*=L^*_a$	a^*_a	b^*_a	$C^*_{ab,a}$	$h^*_{ab,a}$	u^*_d
r00j	38.47	63.32	30.17	70.15	25	m81o	
r25j	42.12	54.56	49.45	73.64	42	o10y	
r50j	53.64	39.15	64.89	75.79	59	o40y	
r75j	67.01	21.26	82.83	85.52	76	o69y	
j00g	86.18	-4.38	108.53	108.62	92	o98y	
j25g	69.73	-29.89	83.06	88.28	110	y34l	
j50g	57.03	-48.31	63.49	79.78	127	y34l	
j75g	47.73	-60.33	42.64	73.88	145	l03c	
g00b	50.59	-49.08	15.74	51.54	162	l23c	
g25b	52.97	-39.7	-6.72	40.27	190	l55c	
g50b	54.85	-32.33	-24.35	40.48	217	l87c	
g75b	49.92	-17.29	-36.02	39.96	244	c20v	
b00r	40.91	1.28	-42.35	42.37	272	c53v	
b25r	26.81	30.38	-52.26	60.45	300	c87v	
b50r	32.52	69.06	-42.14	80.9	329	v68m	
b75r	39.48	71.47	-3.69	71.57	357	m34o	

Dreiecks-Helligkeit i^*
 %Umfang
 $u^*_{rel} = 109$
 %Regularität
 $g^*_{H,rel} = 31$
 $g^*_{C,rel} = 40$



Siehe ähnliche Dateien: <http://www.ps.bam.de/Fg64/>; www.ps.bam.de/Version 2.1, io=1,1, ColSpx=0
 Technische Information: <http://www.ps.bam.de>

BAM-Registrierung: 20081001-Fg64/10L/L64g00NP.PDF/.PS BAM-Material: Code=rhatha
 Anwendung für Beurteilung und Messung von Drucker- oder Monitorssystemen

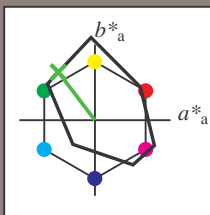
Ein und Ausgabe: Farbmetrisches Drucker-Reflektiv-System FRS12_95a, L*=12_95 für relative CIELAB-Buntton $h^* = lab^*h^* = h^*_{ab}/360 = 0.354$ $u^*_e = j50g$

Daten für jede Farbe:
 lab^*ch^* und lab^*icu^*

Bunttontexte:
 $u^*_e = j50g$ $u^*_d = y69l$

Kontrastreduzierungsfaktor:
 $c_R = 1.0$

Dreiecks-Helligkeit i^*



FRS12_95a; adaptierte CIELAB-Daten						
	u^*_e	$L^*=L^*_a$	a^*_a	b^*_a	$C^*_{ab,a}$	$h^*_{ab,a}$
O _{Ma}	38.06	60.0	44.0	74.4	36	
Y _{Ma}	86.77	-5.17	109.32	109.44	93	
L _{Ma}	47.13	-62.67	48.24	79.09	142	
C _{Ma}	55.66	-29.14	-31.99	43.27	228	
V _{Ma}	17.15	50.3	-59.04	77.57	310	
M _{Ma}	40.37	78.64	-33.5	85.48	337	
N _{Ma}	11.58	0.0	0.0	0.0	0	
W _{Ma}	95.02	0.0	0.0	0.0	0	
R _{Ma}	39.92	58.74	27.99	65.07	25	
J _{Ma}	81.26	-2.89	71.56	71.62	92	
G _{Ma}	52.23	-42.42	13.6	44.55	162	
B _{Ma}	30.57	1.41	-46.47	46.49	272	

Daten für Maximalfarbe (Ma):

$LAB^*LAB^*_{Ma}$: 57 -48 63

$LAB^*LCH^*_{Ma}$: 57 80 127

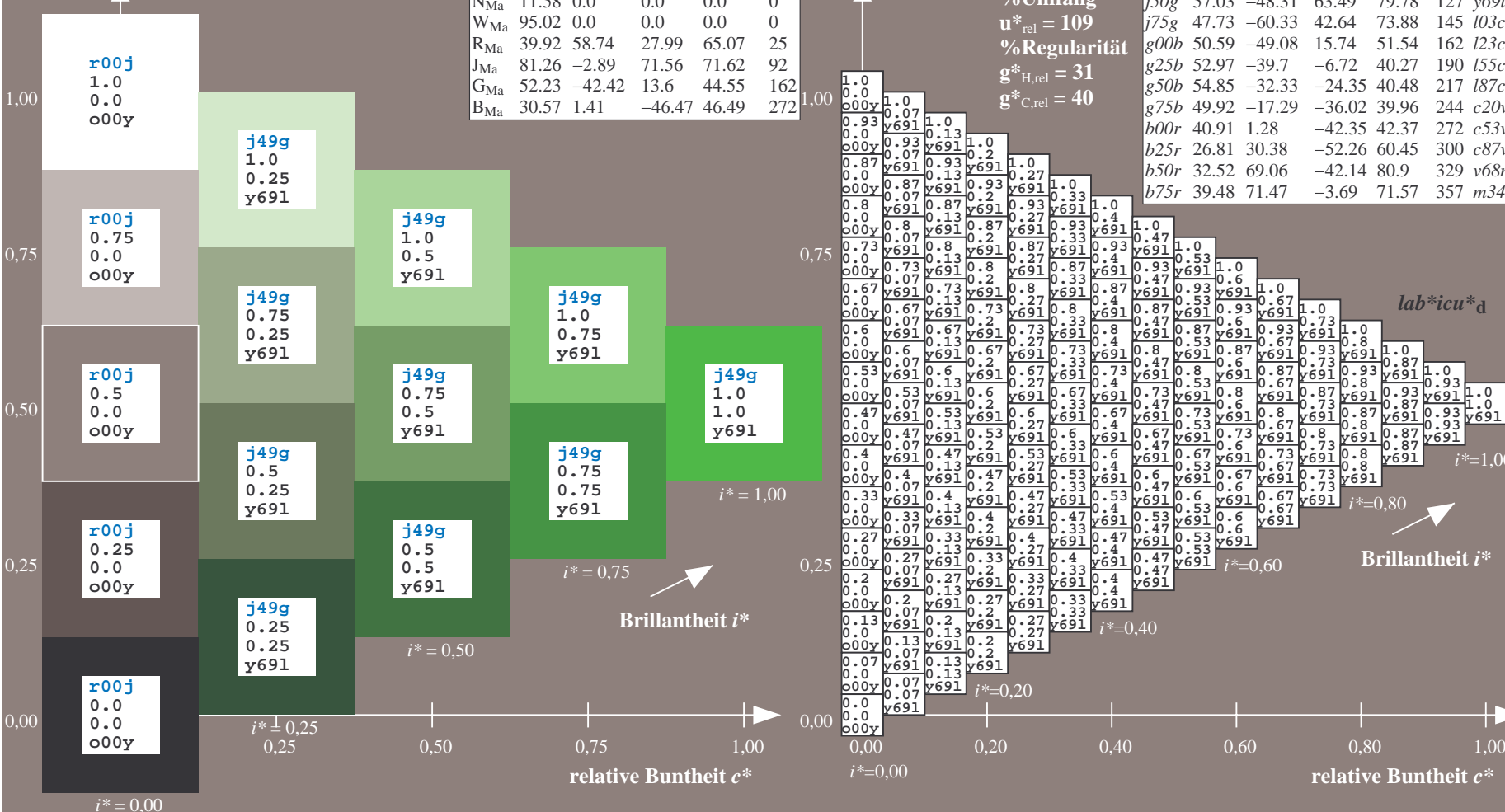
$lab^*rgb^*_{Ma}$: 0.5 1.0 0.0

$lab^*olv^*_{Ma}$: 0.3 1.0 0.0

Dreiecks-Helligkeit i^*

FRS12_95a; adaptierte CIELAB-Daten							
	u^*_e	$L^*=L^*_a$	a^*_a	b^*_a	$C^*_{ab,a}$	$h^*_{ab,a}$	u^*_d
r00j	38.47	63.32	30.17	70.15	25	m81o	
r25j	42.12	54.56	49.45	73.64	42	o10y	
r50j	53.64	39.15	64.89	75.79	59	o40y	
r75j	67.01	21.26	82.83	85.52	76	o69y	
j00g	86.18	-4.38	108.53	108.62	92	o98y	
j25g	69.73	-29.89	83.06	88.28	110	y34l	
j50g	57.03	-48.31	63.49	79.78	127	y69l	
j75g	47.73	-60.33	42.64	73.88	145	l03c	
g00b	50.59	-49.08	15.74	51.54	162	l23c	
g25b	52.97	-39.7	-6.72	40.27	190	l55c	
g50b	54.85	-32.33	-24.35	40.48	217	l87c	
g75b	49.92	-17.29	-36.02	39.96	244	c20v	
b00r	40.91	1.28	-42.35	42.37	272	c53v	
b25r	26.81	30.38	-52.26	60.45	300	c87v	
b50r	32.52	69.06	-42.14	80.9	329	v68m	
b75r	39.48	71.47	-3.69	71.57	357	m34o	

%Umfang
 $u^*_{rel} = 109$
 %Regularität
 $g^*_{H,rel} = 31$
 $g^*_{C,rel} = 40$

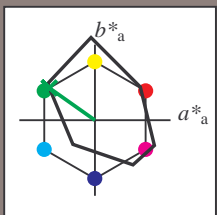


Siehe ähnliche Dateien: <http://www.ps.bam.de/Fg64/>; [www.ps.bam.de/Fg64/Version 2.1, io=1,1, Colspx=0](http://www.ps.bam.de/Fg64/Version%201.1,io=1,1,Colspx=0)
 Technische Information: <http://www.ps.bam.de>

BAM-Registrierung: 20081001-Fg64/10L/L64g00NP.PDF/.PS BAM-Material: Code=rhatha
 Anwendung für Beurteilung und Messung von Drucker- oder Monitorssystemen

Ein und Ausgabe: Farbmetrisches Drucker-Reflektiv-System FRS12_95a, L*=12_95 für relative CIELAB-Bunton $h^* = lab^*h^* = h_{ab}/360 = 0.402$ $u^*_e = j75g$
 $lab^*icu^*_d$

Daten für jede Farbe:
 lab^*tch^* und $lab^*icu^*_d$
 Bunttontexte:
 $u^*_e = j75g$ $u^*_d = i03c$
 Kontrastreduzierungsfaktor:
 $c_R = 1.0$
 Dreiecks-Helligkeit i^*

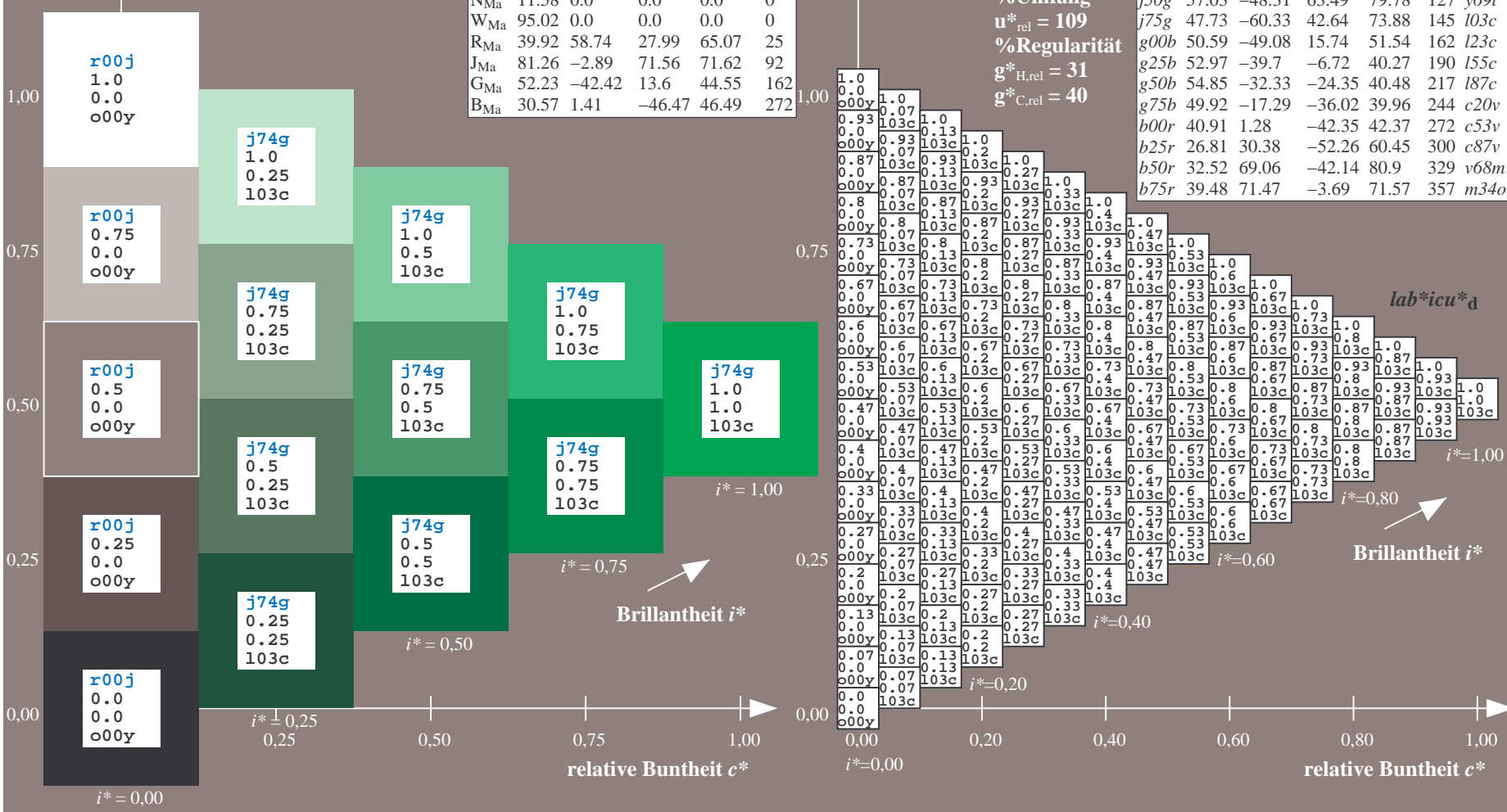


FRS12_95a; adaptierte CIELAB-Daten						
	u^*_e	$L^*=L^*_a$	a^*_a	b^*_a	$C^*_{ab,a}$	$h^*_{ab,a}$
O _{Ma}	38.06	60.0	44.0	74.4	36	
Y _{Ma}	86.77	-5.17	109.32	109.44	93	
L _{Ma}	47.13	-62.67	48.24	79.09	142	
C _{Ma}	55.66	-29.14	-31.99	43.27	228	
V _{Ma}	17.15	50.3	-59.04	77.57	310	
M _{Ma}	40.37	78.64	-33.5	85.48	337	
N _{Ma}	11.58	0.0	0.0	0.0	0	
W _{Ma}	95.02	0.0	0.0	0.0	0	
R _{Ma}	39.92	58.74	27.99	65.07	25	
J _{Ma}	81.26	-2.89	71.56	71.62	92	
G _{Ma}	52.23	-42.42	13.6	44.55	162	
B _{Ma}	30.57	1.41	-46.47	46.49	272	

Daten für Maximalfarbe (Ma):
 $LAB^*LAB^*_{Ma}$: 48 -60 43
 $LAB^*LCH^*_{Ma}$: 48 74 144
 $lab^*rgb^*_{Ma}$: 0.25 1.0 0.0
 $lab^*olv^*_{Ma}$: 0.0 1.0 0.03

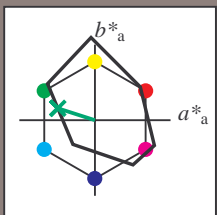
FRS12_95a; adaptierte CIELAB-Daten							
	u^*_e	$L^*=L^*_a$	a^*_a	b^*_a	$C^*_{ab,a}$	$h^*_{ab,a}$	u^*_d
r00j	38.47	63.32	30.17	70.15	25	m81o	
r25j	42.12	54.56	49.45	73.64	42	o10y	
r50j	53.64	39.15	64.89	75.79	59	o40y	
r75j	67.01	21.26	82.83	85.52	76	o69y	
j00g	86.18	-4.38	108.53	108.62	92	o98y	
j25g	69.73	-29.89	83.06	88.28	110	y34l	
j50g	57.03	-48.31	63.49	79.78	127	y69l	
j75g	47.73	-60.33	42.64	73.88	145	l03c	
g00b	50.59	-49.08	15.74	51.54	162	l23c	
g25b	52.97	-39.7	-6.72	40.27	190	l55c	
g50b	54.85	-32.33	-24.35	40.48	217	l87c	
g75b	49.92	-17.29	-36.02	39.96	244	c20v	
b00r	40.91	1.28	-42.35	42.37	272	c53v	
b25r	26.81	30.38	-52.26	60.45	300	c87v	
b50r	32.52	69.06	-42.14	80.9	329	v68m	
b75r	39.48	71.47	-3.69	71.57	357	m34o	

Dreiecks-Helligkeit i^*
 %Umfang
 $u^*_{rel} = 109$
 %Regularität
 $g^*_{H,rel} = 31$
 $g^*_{C,rel} = 40$



Ein und Ausgabe: Farbmetrisches Drucker-Reflektiv-System FRS12_95a, L*=12_95 für relative CIELAB-Buntton $h^* = lab^*h^* = h_{ab}/360 = 0.451$ $u^*_e = g00b$
 $lab^*icu^*_d$

Daten für jede Farbe:
 lab^*tch^* und lab^*icu^*
 Bunttontexte:
 $u^*_e = g00b$ $u^*_d = l23c$
 Kontrastreduzierungsfaktor:
 $c_R = 1.0$
 Dreiecks-Helligkeit i^*



FRS12_95a; adaptierte CIELAB-Daten						
	u^*_e	$L^*=L^*_a$	a^*_a	b^*_a	$C^*_{ab,a}$	$h^*_{ab,a}$
O _{Ma}	38.06	60.0	44.0	74.4	36	
Y _{Ma}	86.77	-5.17	109.32	109.44	93	
L _{Ma}	47.13	-62.67	48.24	79.09	142	
C _{Ma}	55.66	-29.14	-31.99	43.27	228	
V _{Ma}	17.15	50.3	-59.04	77.57	310	
M _{Ma}	40.37	78.64	-33.5	85.48	337	
N _{Ma}	11.58	0.0	0.0	0.0	0	
W _{Ma}	95.02	0.0	0.0	0.0	0	
R _{Ma}	39.92	58.74	27.99	65.07	25	
J _{Ma}	81.26	-2.89	71.56	71.62	92	
G _{Ma}	52.23	-42.42	13.6	44.55	162	
B _{Ma}	30.57	1.41	-46.47	46.49	272	

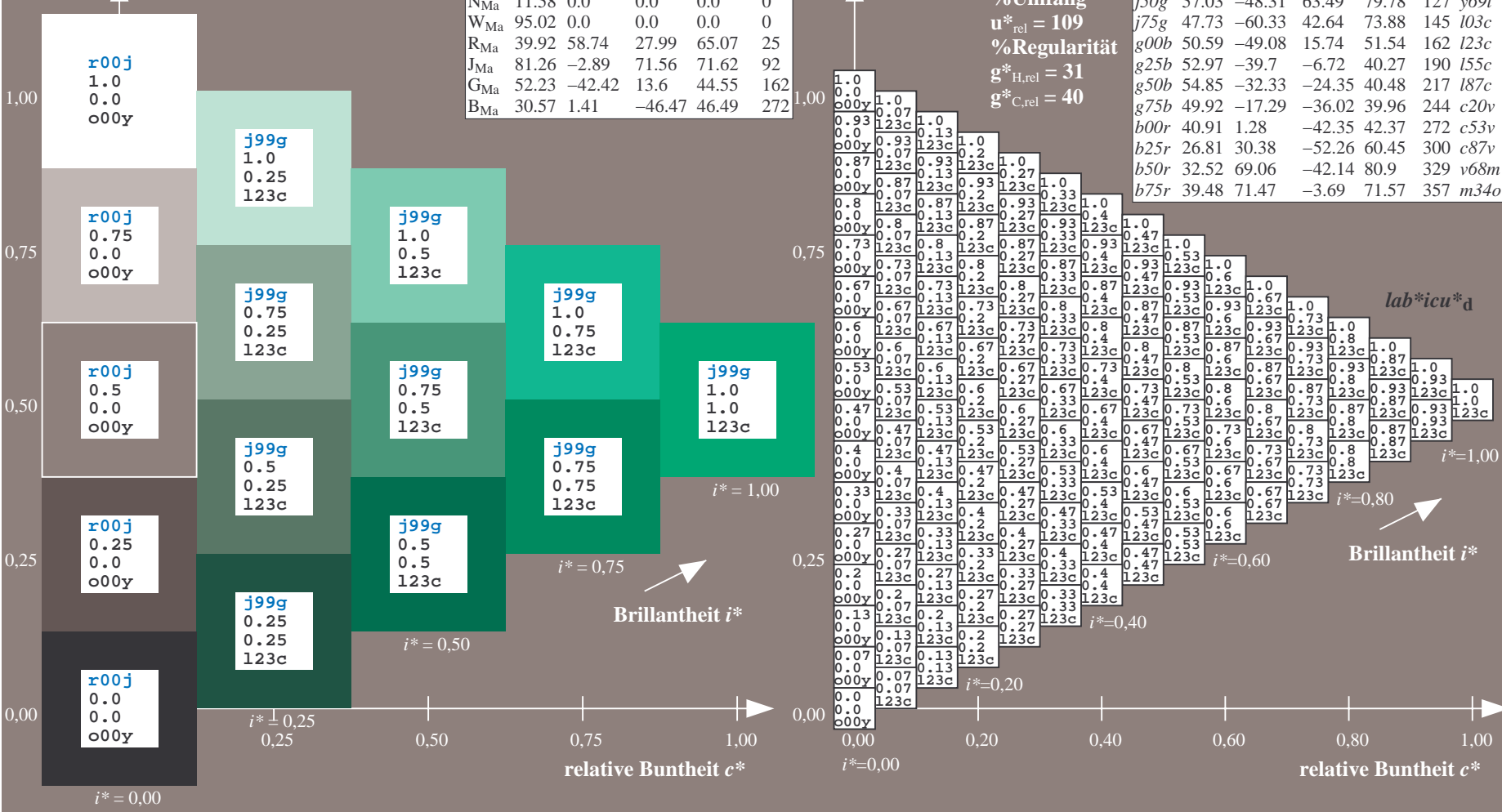
Daten für Maximalfarbe (Ma):

$LAB^*LAB^*_{Ma}$: 51 -49 16
 $LAB^*LCH^*_{Ma}$: 51 52 162
 $lab^*rgb^*_{Ma}$: 0.0 1.0 0.0
 $lab^*olv^*_{Ma}$: 0.0 1.0 0.23

FRS12_95a; adaptierte CIELAB-Daten							
	u^*_e	$L^*=L^*_a$	a^*_a	b^*_a	$C^*_{ab,a}$	$h^*_{ab,a}$	u^*_d
r00j	38.47	63.32	30.17	70.15	25	m81o	
r25j	42.12	54.56	49.45	73.64	42	o10y	
r50j	53.64	39.15	64.89	75.79	59	o40y	
r75j	67.01	21.26	82.83	85.52	76	o69y	
j00g	86.18	-4.38	108.53	108.62	92	o98y	
j25g	69.73	-29.89	83.06	88.28	110	y34l	
j50g	57.03	-48.31	63.49	79.78	127	y69l	
j75g	47.73	-60.33	42.64	73.88	145	l03c	
g00b	50.59	-49.08	15.74	51.54	162	l23c	
g25b	52.97	-39.7	-6.72	40.27	190	l55c	
g50b	54.85	-32.33	-24.35	40.48	217	l87c	
g75b	49.92	-17.29	-36.02	39.96	244	c20v	
b00r	40.91	1.28	-42.35	42.37	272	c53v	
b25r	26.81	30.38	-52.26	60.45	300	c87v	
b50r	32.52	69.06	-42.14	80.9	329	v68m	
b75r	39.48	71.47	-3.69	71.57	357	m34o	

Dreiecks-Helligkeit i^*

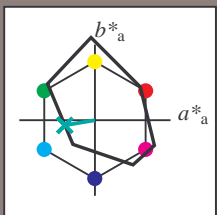
%Umfang
 $u^*_{rel} = 109$
 %Regularität
 $g^*_{H,rel} = 31$
 $g^*_{C,rel} = 40$



Siehe ähnliche Dateien: <http://www.ps.bam.de/Fg64/>; www.ps.bam.de/Version 2.1, io=1,1, ColSpx=0
 Technische Information: <http://www.ps.bam.de>

BAM-Registrierung: 20081001-Fg64/10L/L64g00NP.PDF/.PS BAM-Material: Code=rhatha
 Anwendung für Beurteilung und Messung von Drucker- oder Monitorssystemen

Ein und Ausgabe: Farbmetrisches Drucker-Reflektiv-System FRS12_95a, L*=12_95 für relative CIELAB-Buntton $h^* = lab^*h^* = h_{ab}/360 = 0.527$ $u^*_e = g25b$
 Daten für jede Farbe: lab^*tch^* und lab^*icu^*
 $u^*_e = g25b$ $u^*_d = 155c$
 Kontrastreduzierungsfaktor: $c_R = 1.0$
 Dreiecks-Helligkeit i^*



FRS12_95a; adaptierte CIELAB-Daten

	u^*_e	$L^*=L^*_a$	a^*_a	b^*_a	$C^*_{ab,a}$	$h^*_{ab,a}$
O _{Ma}	38.06	60.0	44.0	74.4	36	
Y _{Ma}	86.77	-5.17	109.32	109.44	93	
L _{Ma}	47.13	-62.67	48.24	79.09	142	
C _{Ma}	55.66	-29.14	-31.99	43.27	228	
V _{Ma}	17.15	50.3	-59.04	77.57	310	
M _{Ma}	40.37	78.64	-33.5	85.48	337	
N _{Ma}	11.58	0.0	0.0	0.0	0	
W _{Ma}	95.02	0.0	0.0	0.0	0	
R _{Ma}	39.92	58.74	27.99	65.07	25	
J _{Ma}	81.26	-2.89	71.56	71.62	92	
G _{Ma}	52.23	-42.42	13.6	44.55	162	
B _{Ma}	30.57	1.41	-46.47	46.49	272	

Daten für Maximalfarbe (Ma):

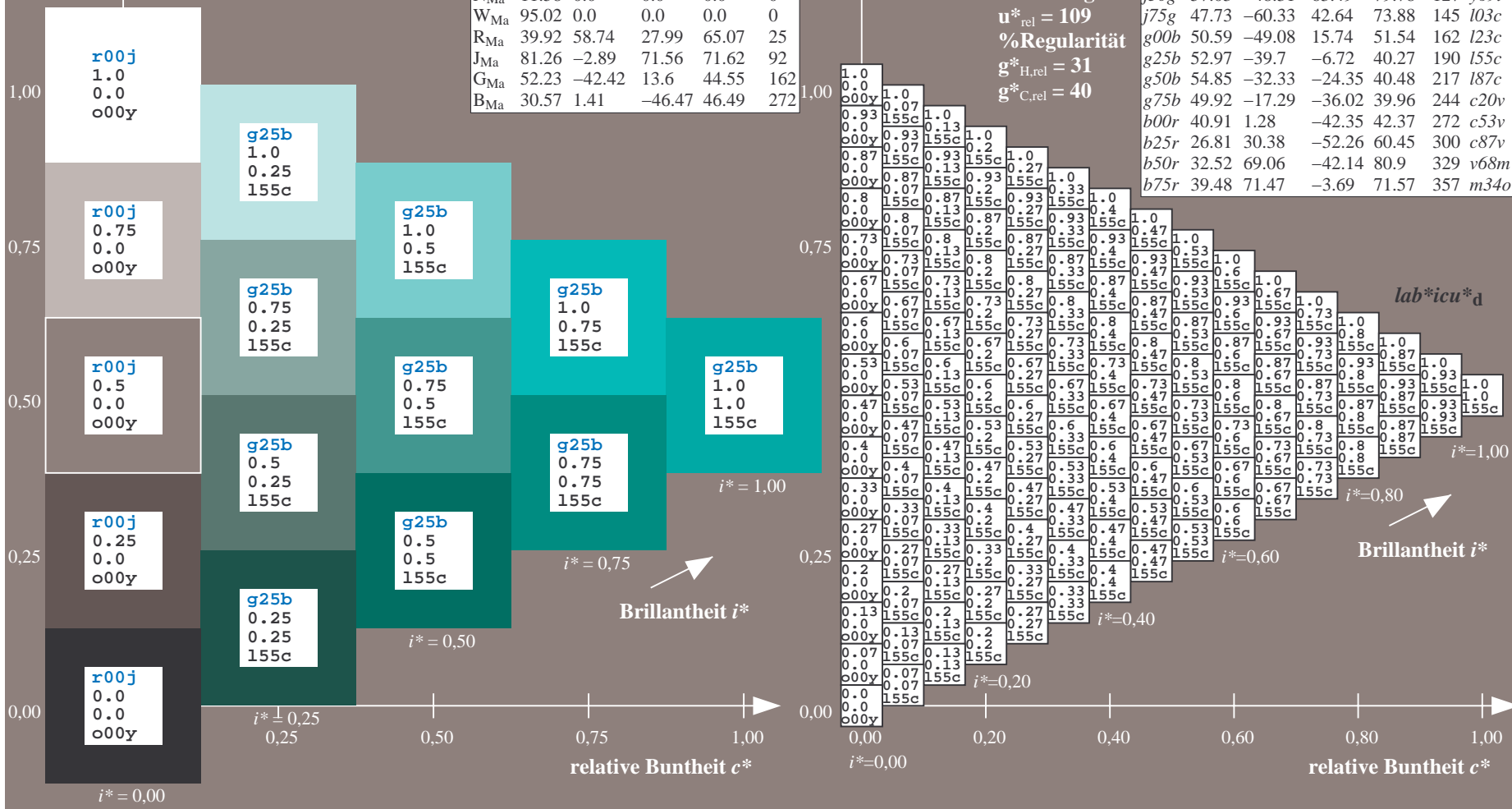
$LAB^*LAB^*_{Ma}$: 53 -40 -7
 $LAB^*LCH^*_{Ma}$: 53 40 189
 $lab^*rgb^*_{Ma}$: 0.0 1.0 0.5
 $lab^*olv^*_{Ma}$: 0.0 1.0 0.55

FRS12_95a; adaptierte CIELAB-Daten

	u^*_e	$L^*=L^*_a$	a^*_a	b^*_a	$C^*_{ab,a}$	$h^*_{ab,a}$	u^*_d
r00j	38.47	63.32	30.17	70.15	25	m81o	
r25j	42.12	54.56	49.45	73.64	42	o10y	
r50j	53.64	39.15	64.89	75.79	59	o40y	
r75j	67.01	21.26	82.83	85.52	76	o69y	
j00g	86.18	-4.38	108.53	108.62	92	o98y	
j25g	69.73	-29.89	83.06	88.28	110	y34l	
j50g	57.03	-48.31	63.49	79.78	127	y39l	
j75g	47.73	-60.33	42.64	73.88	145	l03c	
g00b	50.59	-49.08	15.74	51.54	162	l23c	
g25b	52.97	-39.7	-6.72	40.27	190	l55c	
g50b	54.85	-32.33	-24.35	40.48	217	l87c	
g75b	49.92	-17.29	-36.02	39.96	244	c20v	
b00r	40.91	1.28	-42.35	42.37	272	c53v	
b25r	26.81	30.38	-52.26	60.45	300	c87v	
b50r	32.52	69.06	-42.14	80.9	329	v68m	
b75r	39.48	71.47	-3.69	71.57	357	m34o	

Dreiecks-Helligkeit i^*

%Umfang
 $u^*_{rel} = 109$
 %Regularität
 $g^*_{H,rel} = 31$
 $g^*_{C,rel} = 40$



Siehe ähnliche Dateien: <http://www.ps.bam.de/Fg64/>; www.ps.bam.de/Version.2.1,io=1,1,Colspx=0
 Technische Information: <http://www.ps.bam.de/Version.2.1,io=1,1,Colspx=0>

BAM-Registrierung: 20081001-Fg64/10L/L64g00NP.PDF/.PS BAM-Material: Code=rhatha
 Anwendung für Beurteilung und Messung von Drucker- oder Monitorssystemen

Ein und Ausgabe: Farbmetrisches Drucker-Reflektiv-System FRS12_95a, L*=12_95 für relative CIELAB-Buntton $h^* = lab^*h^* = h_{ab}/360 = 0.603$ $u^*_e = g50b$ $lab^*icu^*_d$

Daten für jede Farbe:

lab^*tch^* und lab^*icu^*

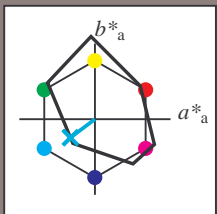
Bunttontexte:

$u^*_e = g50b$ $u^*_d = 187c$

Kontrastreduzierungsfaktor:

$c_R = 1.0$

Dreiecks-Helligkeit i^*



FRS12_95a; adaptierte CIELAB-Daten

	u^*_e	$L^*=L^*_a$	a^*_a	b^*_a	$C^*_{ab,a}$	$h^*_{ab,a}$
O _{Ma}	38.06	60.0	44.0	74.4	36	
Y _{Ma}	86.77	-5.17	109.32	109.44	93	
L _{Ma}	47.13	-62.67	48.24	79.09	142	
C _{Ma}	55.66	-29.14	-31.99	43.27	228	
V _{Ma}	17.15	50.3	-59.04	77.57	310	
M _{Ma}	40.37	78.64	-33.5	85.48	337	
N _{Ma}	15.02	0.0	0.0	0.0	0	
W _{Ma}	95.02	0.0	0.0	0.0	0	
R _{Ma}	39.92	58.74	27.99	65.07	25	
J _{Ma}	81.26	-2.89	71.56	71.62	92	
G _{Ma}	52.23	-42.42	13.6	44.55	162	
B _{Ma}	30.57	1.41	-46.47	46.49	272	

Daten für Maximalfarbe (Ma):

$LAB^*LAB^*_{Ma}$: 55 -32 -24

$LAB^*LCH^*_{Ma}$: 55 40 216

$lab^*rgb^*_{Ma}$: 0.0 1.0 1.0

$lab^*olv^*_{Ma}$: 0.0 1.0 0.87

Dreiecks-Helligkeit i^*

%Umfang

$u^*_{rel} = 109$

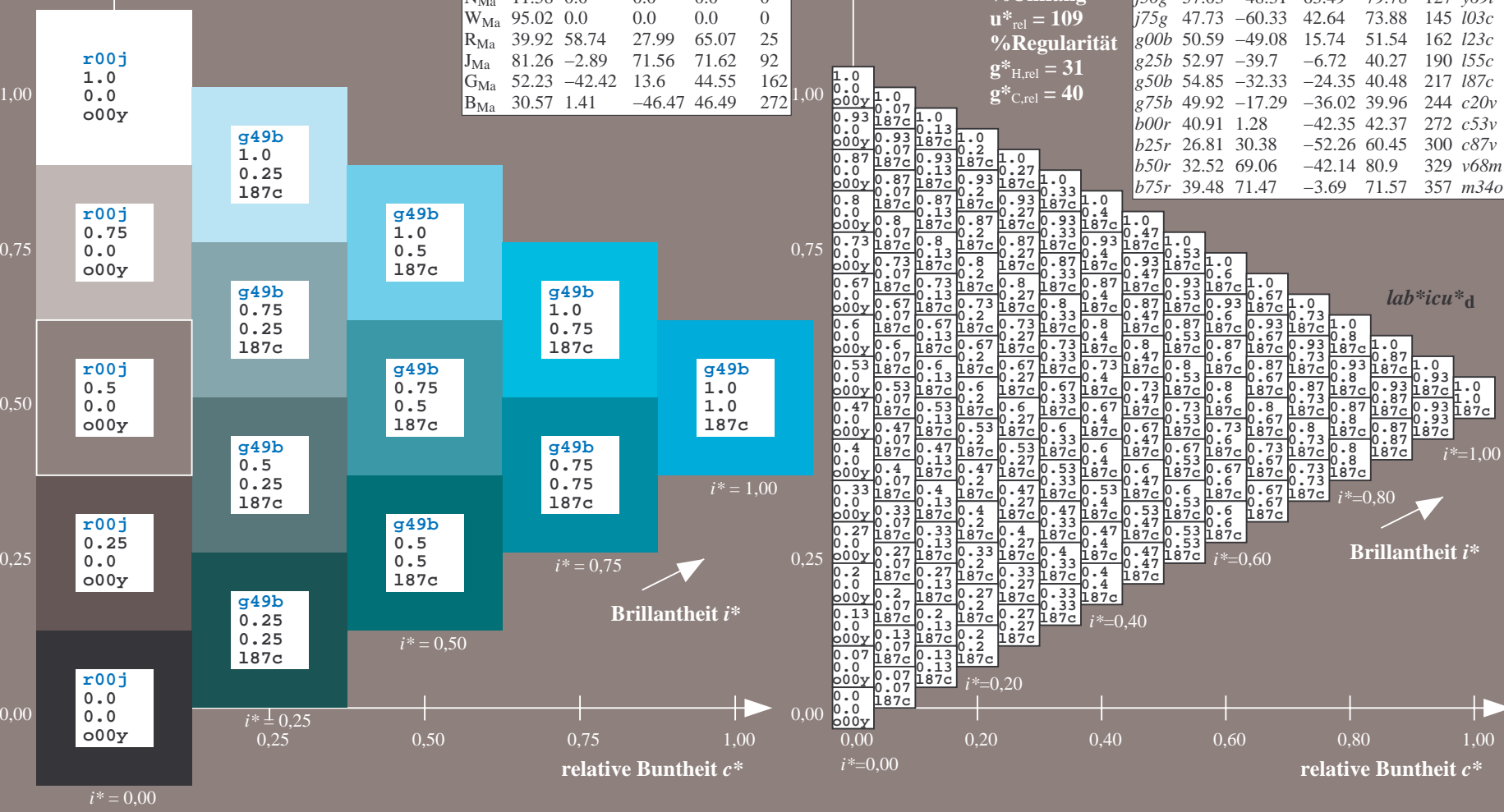
%Regularität

$g^*_{H,rel} = 31$

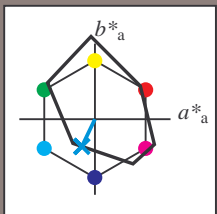
$g^*_{C,rel} = 40$

FRS12_95a; adaptierte CIELAB-Daten

	u^*_e	$L^*=L^*_a$	a^*_a	b^*_a	$C^*_{ab,a}$	$h^*_{ab,a}$	u^*_d
r00j	38.47	63.32	30.17	70.15	25	m81o	
r25j	42.12	54.56	49.45	73.64	42	o10y	
r50j	53.64	39.15	64.89	75.79	59	o40y	
r75j	67.01	21.26	82.83	85.52	76	o69y	
j00g	86.18	-4.38	108.53	108.62	92	o98y	
j25g	69.73	-29.89	83.06	88.28	110	y34l	
j50g	57.03	-48.31	63.49	79.78	127	y69l	
j75g	47.73	-60.33	42.64	73.88	145	l03c	
g00b	50.59	-49.08	15.74	51.54	162	l23c	
g25b	52.97	-39.7	-6.72	40.27	190	l55c	
g50b	54.85	-32.33	-24.35	40.48	217	l87c	
g75b	49.92	-17.29	-36.02	39.96	244	c20v	
b00r	40.91	1.28	-42.35	42.37	272	c53v	
b25r	26.81	30.38	-52.26	60.45	300	c87v	
b50r	32.52	69.06	-42.14	80.9	329	v68m	
b75r	39.48	71.47	-3.69	71.57	357	m34o	



Ein und Ausgabe: Farbmetrisches Drucker-Reflexiv-System FRS12_95a, L*=12_95 für relative CIELAB-Buntton $h^* = lab^*h^* = h_{ab}/360 = 0.679$ $u^*_e = g75b$
 Daten für jede Farbe: lab^*tch^* und lab^*icu^*
 $u^*_e = g75b$ $u^*_d = c20v$
 Kontrastreduzierungsfaktor: $c_R = 1.0$
 Dreiecks-Helligkeit i^*



FRS12_95a; adaptierte CIELAB-Daten

	u^*_e	$L^*=L^*_a$	a^*_a	b^*_a	$C^*_{ab,a}$	$h^*_{ab,a}$
O _{Ma}	38.06	60.0	44.0	74.4	36	
Y _{Ma}	86.77	-5.17	109.32	109.44	93	
L _{Ma}	47.13	-62.67	48.24	79.09	142	
C _{Ma}	55.66	-29.14	-31.99	43.27	228	
V _{Ma}	17.15	50.3	-59.04	77.57	310	
M _{Ma}	40.37	78.64	-33.5	85.48	337	
N _{Ma}	11.58	0.0	0.0	0.0	0	
W _{Ma}	95.02	0.0	0.0	0.0	0	
R _{Ma}	39.92	58.74	27.99	65.07	25	
J _{Ma}	81.26	-2.89	71.56	71.62	92	
G _{Ma}	52.23	-42.42	13.6	44.55	162	
B _{Ma}	30.57	1.41	-46.47	46.49	272	

Daten für Maximalfarbe (Ma):

$LAB^*LAB^*_{Ma}$: 50 -17 -36

$LAB^*LCH^*_{Ma}$: 50 40 244

$lab^*rgb^*_{Ma}$: 0.0 0.5 1.0

$lab^*olv^*_{Ma}$: 0.0 0.8 1.0

Dreiecks-Helligkeit i^*

%Umfang

$u^*_{rel} = 109$

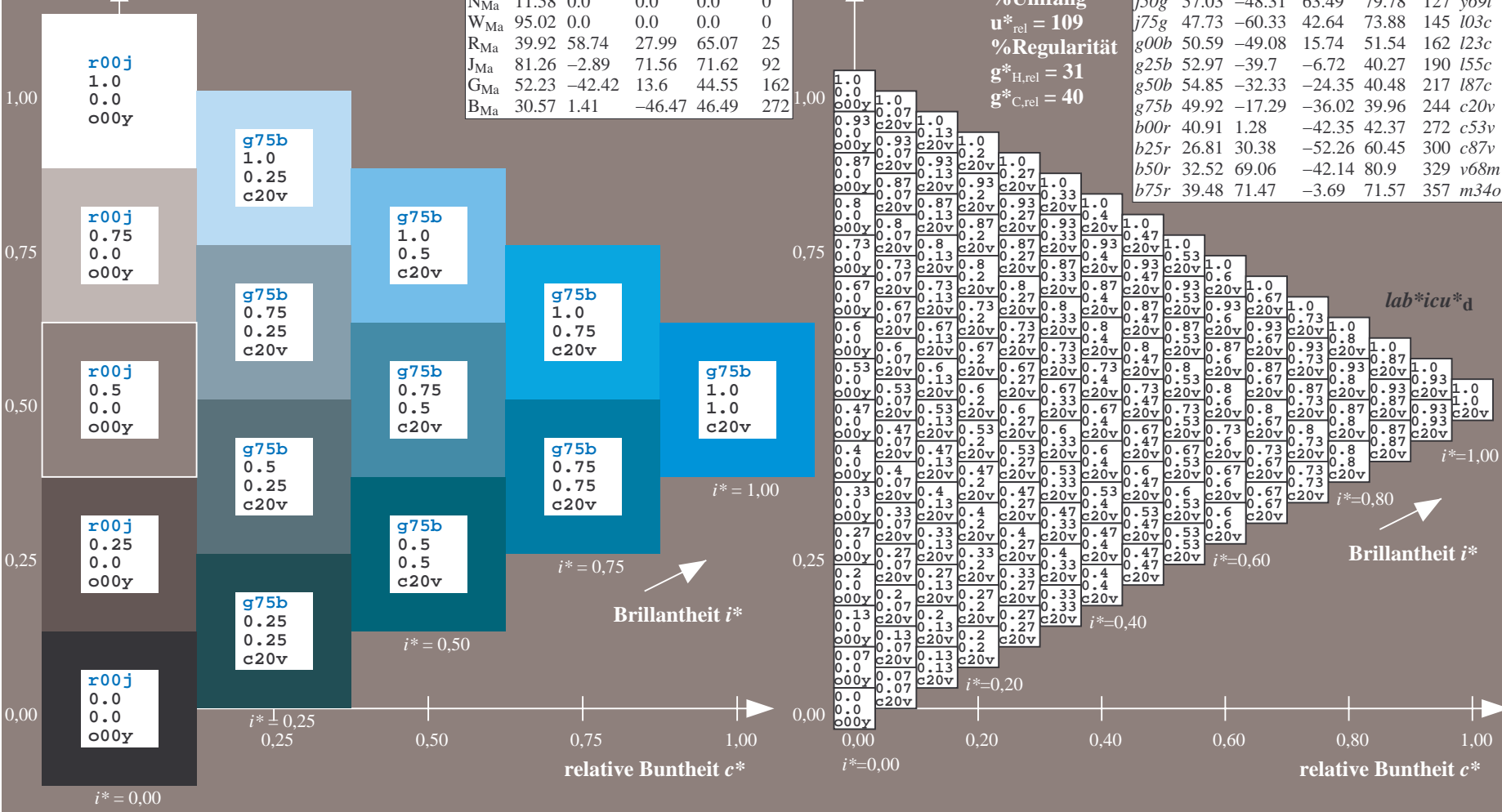
%Regularität

$g^*_{H,rel} = 31$

$g^*_{C,rel} = 40$

FRS12_95a; adaptierte CIELAB-Daten

	u^*_e	$L^*=L^*_a$	a^*_a	b^*_a	$C^*_{ab,a}$	$h^*_{ab,a}$	u^*_d
r00j	38.47	63.32	30.17	70.15	25	m81o	
r25j	42.12	54.56	49.45	73.64	42	o10y	
r50j	53.64	39.15	64.89	75.79	59	o40y	
r75j	67.01	21.26	82.83	85.52	76	o69y	
j00g	86.18	-4.38	108.53	108.62	92	o98y	
j25g	69.73	-29.89	83.06	88.28	110	y34l	
j50g	57.03	-48.31	63.49	79.78	127	y69l	
j75g	47.73	-60.33	42.64	73.88	145	l03c	
g00b	50.59	-49.08	15.74	51.54	162	l23c	
g25b	52.97	-39.7	-6.72	40.27	190	l55c	
g50b	54.85	-32.33	-24.35	40.48	217	l87c	
g75b	49.92	-17.29	-36.02	39.96	244	c20v	
b00r	40.91	1.28	-42.35	42.37	272	c53v	
b25r	26.81	30.38	-52.26	60.45	300	c87v	
b50r	32.52	69.06	-42.14	80.9	329	v68m	
b75r	39.48	71.47	-3.69	71.57	357	m34o	



Siehe ähnliche Dateien: <http://www.ps.bam.de/Fg64/>; www.ps.bam.de/Version.2.1,io=1,1,Colspx=0
 Technische Information: <http://www.ps.bam.de>

BAM-Registrierung: 20081001-Fg64/10L/L64g00NP.PDF/.PS BAM-Material: Code=rh4ta
 Anwendung für Beurteilung und Messung von Drucker- oder Monitorssystemen

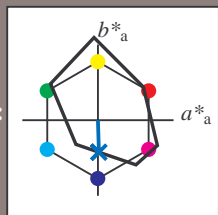
Ein und Ausgabe: Farbmetrisches Drucker-Reflektiv-System FRS12_95a, L*=12_95 für relative CIELAB-Buntton $h^* = lab^*h^* = h_{ab}/360 = 0.755$ $u^*_e = b00r$
 $lab^*icu^*_d$

Daten für jede Farbe:
 lab^*tch^* und $lab^*icu^*_d$

Bunttontexte:
 $u^*_e = b00r$ $u^*_d = c53v$

Kontrastreduzierungsfaktor:
 $c_R = 1.0$

Dreiecks-Helligkeit i^*



FRS12_95a; adaptierte CIELAB-Daten						
	u^*_e	$L^*=L^*_a$	a^*_a	b^*_a	$C^*_{ab,a}$	$h^*_{ab,a}$
O _{Ma}	38.06	60.0	44.0	74.4	36	
Y _{Ma}	86.77	-5.17	109.32	109.44	93	
L _{Ma}	47.13	-62.67	48.24	79.09	142	
C _{Ma}	55.66	-29.14	-31.99	43.27	228	
V _{Ma}	17.15	50.3	-59.04	77.57	310	
M _{Ma}	40.37	78.64	-33.5	85.48	337	
N _{Ma}	11.58	0.0	0.0	0.0	0	
W _{Ma}	95.02	0.0	0.0	0.0	0	
R _{Ma}	39.92	58.74	27.99	65.07	25	
J _{Ma}	81.26	-2.89	71.56	71.62	92	
G _{Ma}	52.23	-42.42	13.6	44.55	162	
B _{Ma}	30.57	1.41	-46.47	46.49	272	

Daten für Maximalfarbe (Ma):

$LAB^*LAB^*_{Ma}$: 41 1 -42

$LAB^*LCH^*_{Ma}$: 41 42 271

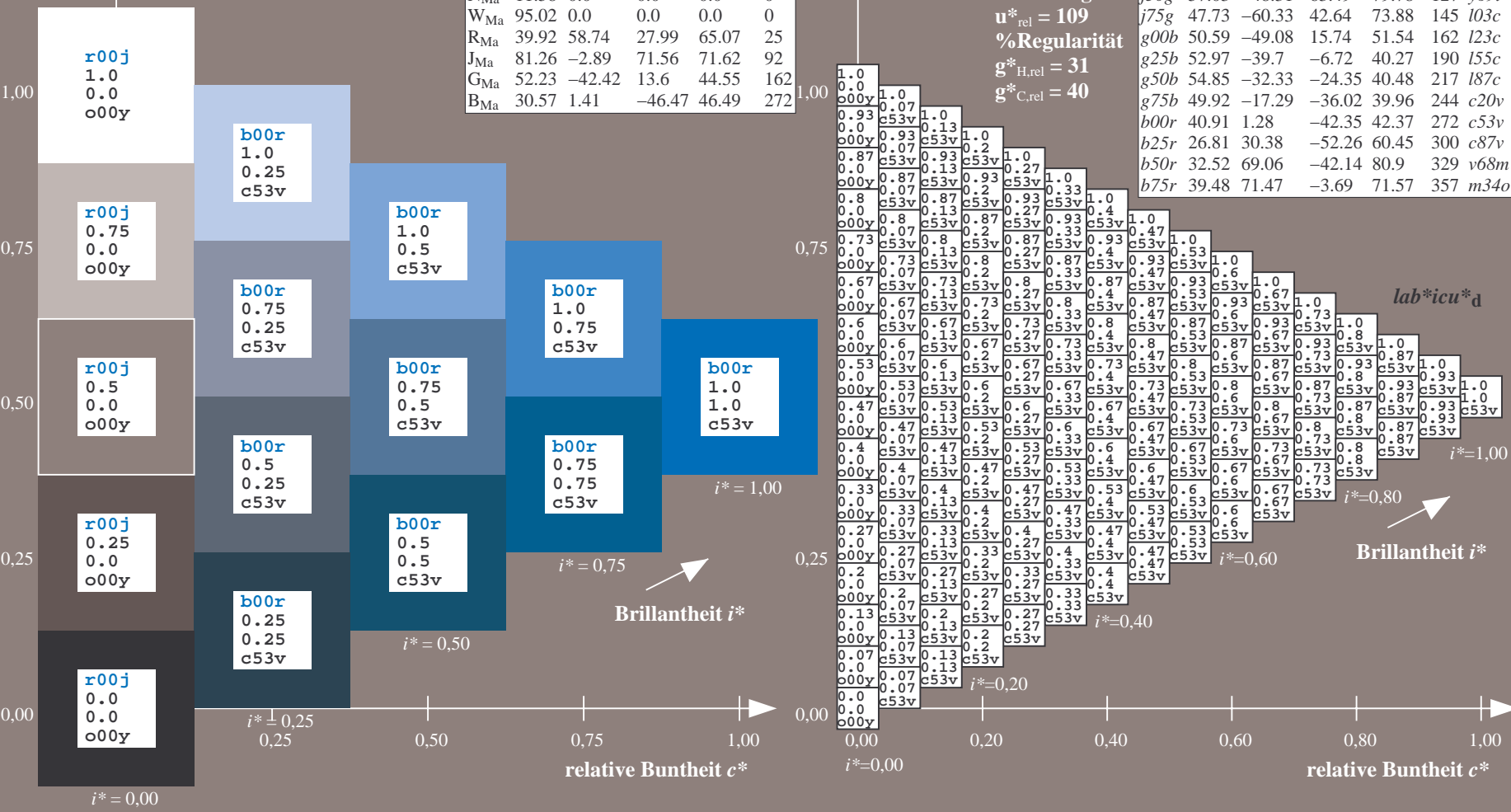
$lab^*rgb^*_{Ma}$: 0.0 0.0 1.0

$lab^*olv^*_{Ma}$: 0.0 0.47 1.0

Dreiecks-Helligkeit i^*

FRS12_95a; adaptierte CIELAB-Daten							
	u^*_e	$L^*=L^*_a$	a^*_a	b^*_a	$C^*_{ab,a}$	$h^*_{ab,a}$	u^*_d
r00j	38.47	63.32	30.17	70.15	25	m81o	
r25j	42.12	54.56	49.45	73.64	42	o10y	
r50j	53.64	39.15	64.89	75.79	59	o40y	
r75j	67.01	21.26	82.83	85.52	76	o69y	
j00g	86.18	-4.38	108.53	108.62	92	o98y	
j25g	69.73	-29.89	83.06	88.28	110	y34l	
j50g	57.03	-48.31	63.49	79.78	127	y69l	
j75g	47.73	-60.33	42.64	73.88	145	l03c	
g00b	50.59	-49.08	15.74	51.54	162	l23c	
g25b	52.97	-39.7	-6.72	40.27	190	l55c	
g50b	54.85	-32.33	-24.35	40.48	217	l87c	
g75b	49.92	-17.29	-36.02	39.96	244	c20v	
b00r	40.91	1.28	-42.35	42.37	272	c53v	
b25r	26.81	30.38	-52.26	60.45	300	c87v	
b50r	32.52	69.06	-42.14	80.9	329	v68m	
b75r	39.48	71.47	-3.69	71.57	357	m34o	

%Umfang
 $u^*_{rel} = 109$
 %Regularität
 $g^*_{H,rel} = 31$
 $g^*_{C,rel} = 40$

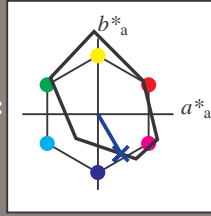


Siehe ähnliche Dateien: <http://www.ps.bam.de/Fg64/>; www.ps.bam.de/Version 2.1, io=1,1, ColSpx=0
 Technische Information: <http://www.ps.bam.de>

BAM-Registrierung: 20081001-Fg64/10L/L64g00NP.PDF/.PS BAM-Material: Code=rh4ta
 Anwendung für Beurteilung und Messung von Drucker- oder Monitorssystemen

Ein und Ausgabe: Farbmetrisches Drucker-Reflektiv-System FRS12_95a, L*=12_95 für relative CIELAB-Buntton $h^* = lab^*h^* = h_{ab}/360 = 0.834$ $u^*_e = b25r$
 $lab^*icu^*_d$

Daten für jede Farbe:
 lab^*tch^* und lab^*icu^*
 Bunttontexte:
 $u^*_e = b25r$ $u^*_d = c87v$
 Kontrastreduzierungsfaktor:
 $c_R = 1.0$
 Dreiecks-Helligkeit i^*



FRS12_95a; adaptierte CIELAB-Daten

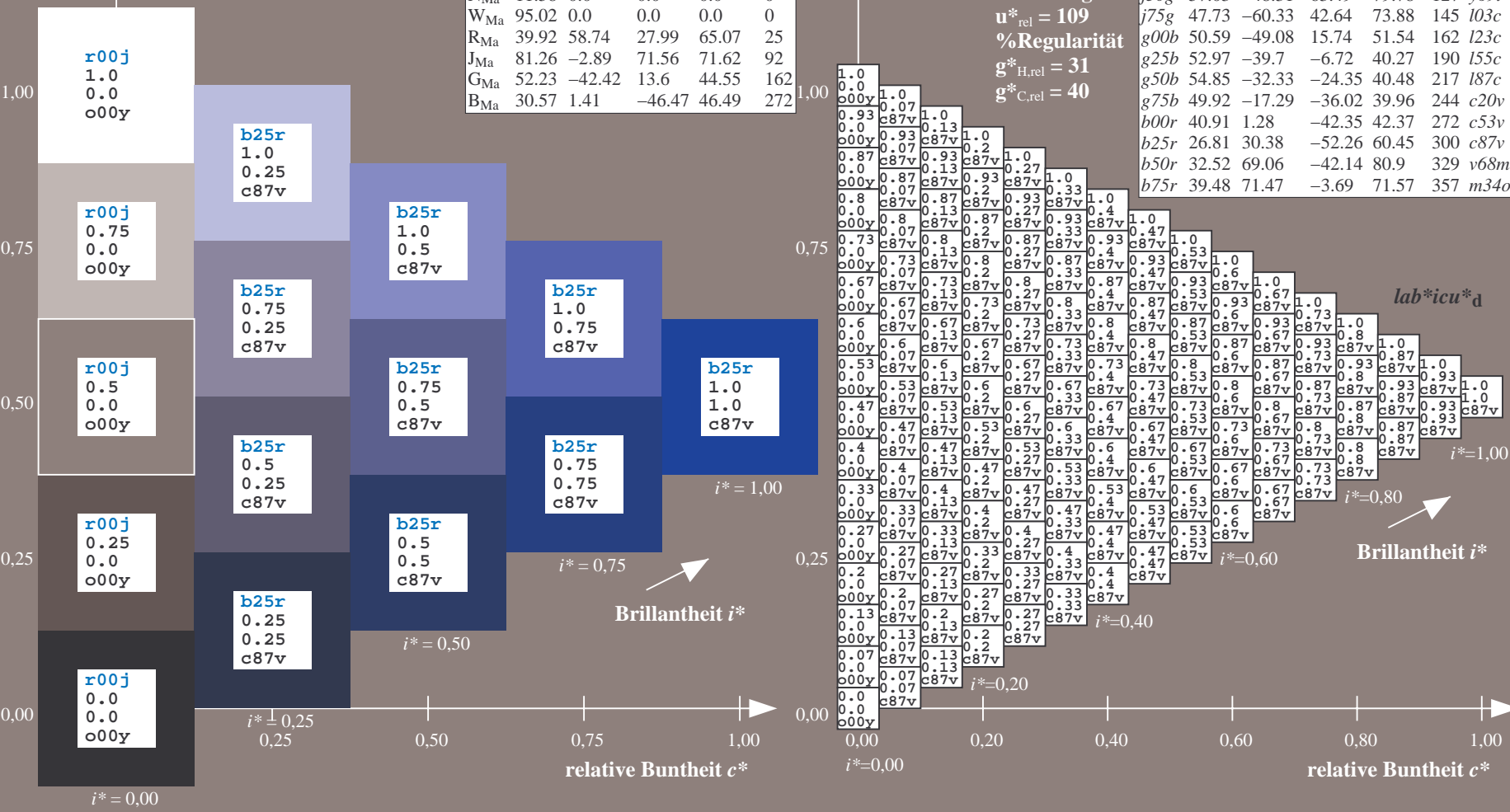
	u^*_e	$L^*=L^*_a$	a^*_a	b^*_a	$C^*_{ab,a}$	$h^*_{ab,a}$
O _{Ma}	38.06	60.0	44.0	74.4	36	
Y _{Ma}	86.77	-5.17	109.32	109.44	93	
L _{Ma}	47.13	-62.67	48.24	79.09	142	
C _{Ma}	55.66	-29.14	-31.99	43.27	228	
V _{Ma}	17.15	50.3	-59.04	77.57	310	
M _{Ma}	40.37	78.64	-33.5	85.48	337	
N _{Ma}	11.58	0.0	0.0	0.0	0	
W _{Ma}	95.02	0.0	0.0	0.0	0	
R _{Ma}	39.92	58.74	27.99	65.07	25	
J _{Ma}	81.26	-2.89	71.56	71.62	92	
G _{Ma}	52.23	-42.42	13.6	44.55	162	
B _{Ma}	30.57	1.41	-46.47	46.49	272	

Daten für Maximalfarbe (Ma):
 $LAB^*LAB^*_{Ma}$: 27 30 -52
 $LAB^*LCH^*_{Ma}$: 27 60 300
 $lab^*rgb^*_{Ma}$: 0.5 0.0 1.0
 $lab^*olv^*_{Ma}$: 0.0 0.12 1.0

FRS12_95a; adaptierte CIELAB-Daten

	u^*_e	$L^*=L^*_a$	a^*_a	b^*_a	$C^*_{ab,a}$	$h^*_{ab,a}$	u^*_d
r00j	38.47	63.32	30.17	70.15	25	m81o	
r25j	42.12	54.56	49.45	73.64	42	o10y	
r50j	53.64	39.15	64.89	75.79	59	o40y	
r75j	67.01	21.26	82.83	85.52	76	o69y	
j00g	86.18	-4.38	108.53	108.62	92	o98y	
j25g	69.73	-29.89	83.06	88.28	110	y34l	
j50g	57.03	-48.31	63.49	79.78	127	y69l	
j75g	47.73	-60.33	42.64	73.88	145	l03c	
g00b	50.59	-49.08	15.74	51.54	162	l23c	
g25b	52.97	-39.7	-6.72	40.27	190	l55c	
g50b	54.85	-32.33	-24.35	40.48	217	l87c	
g75b	49.92	-17.29	-36.02	39.96	244	c20v	
b00r	40.91	1.28	-42.35	42.37	272	c53v	
b25r	26.81	30.38	-52.26	60.45	300	c87v	
b50r	32.52	69.06	-42.14	80.9	329	v68m	
b75r	39.48	71.47	-3.69	71.57	357	m34o	

Dreiecks-Helligkeit i^*
 %Umfang
 $u^*_{rel} = 109$
 %Regularität
 $g^*_{H,rel} = 31$
 $g^*_{C,rel} = 40$

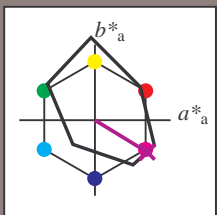


Siehe ähnliche Dateien: <http://www.ps.bam.de/Fg64/>; www.ps.bam.de/Fg.HTM
 Technische Information: <http://www.ps.bam.de> Version 2.1, io=1,1, ColSpx=0

BAM-Registrierung: 20081001-Fg64/10L/L64g00NP.PDF/.PS BAM-Material: Code=rhatha
 Anwendung für Beurteilung und Messung von Drucker- oder Monitorssystemen

Ein und Ausgabe: Farbmetrisches Drucker-Reflektiv-System FRS12_95a, L*=12_95 für relative CIELAB-Buntton $h^* = lab^*h^* = h_{ab}/360 = 0.913$ $u^*_e = b50r$
 $lab^*icu^*_d$

Daten für jede Farbe:
 lab^*ch^* und lab^*icu^*
 Bunttontexte:
 $u^*_e = b50r$ $u^*_d = v68m$
 Kontrastreduzierungsfaktor:
 $c_R = 1.0$
 Dreiecks-Helligkeit i^*

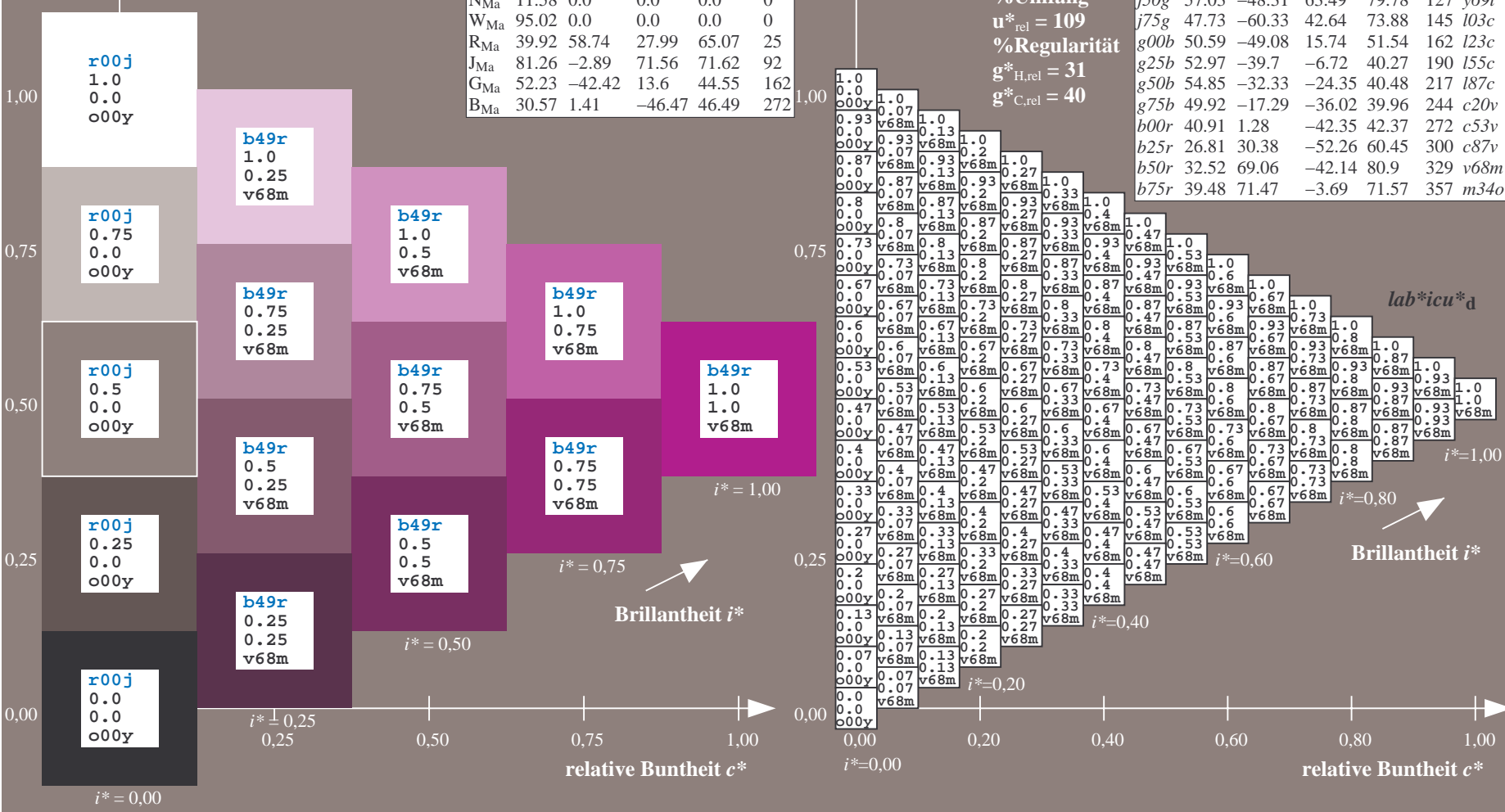


FRS12_95a; adaptierte CIELAB-Daten						
	u^*_e	$L^*=L^*_a$	a^*_a	b^*_a	$C^*_{ab,a}$	$h^*_{ab,a}$
O _{Ma}	38.06	60.0	44.0	74.4	36	
Y _{Ma}	86.77	-5.17	109.32	109.44	93	
L _{Ma}	47.13	-62.67	48.24	79.09	142	
C _{Ma}	55.66	-29.14	-31.99	43.27	228	
V _{Ma}	17.15	50.3	-59.04	77.57	310	
M _{Ma}	40.37	78.64	-33.5	85.48	337	
N _{Ma}	11.58	0.0	0.0	0.0	0	
W _{Ma}	95.02	0.0	0.0	0.0	0	
R _{Ma}	39.92	58.74	27.99	65.07	25	
J _{Ma}	81.26	-2.89	71.56	71.62	92	
G _{Ma}	52.23	-42.42	13.6	44.55	162	
B _{Ma}	30.57	1.41	-46.47	46.49	272	

Daten für Maximalfarbe (Ma):
 $LAB^*LAB^*_{Ma}: 33\ 69\ -42$
 $LAB^*LCH^*_{Ma}: 33\ 81\ 328$
 $lab^*rgb^*_{Ma}: 1.0\ 0.0\ 1.0$
 $lab^*olv^*_{Ma}: 0.69\ 0.0\ 1.0$

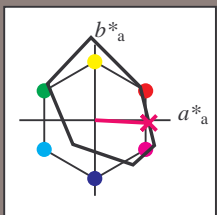
FRS12_95a; adaptierte CIELAB-Daten							
	u^*_e	$L^*=L^*_a$	a^*_a	b^*_a	$C^*_{ab,a}$	$h^*_{ab,a}$	u^*_d
r00j	38.47	63.32	30.17	70.15	25	m81o	
r25j	42.12	54.56	49.45	73.64	42	o10y	
r50j	53.64	39.15	64.89	75.79	59	o40y	
r75j	67.01	21.26	82.83	85.52	76	o69y	
j00g	86.18	-4.38	108.53	108.62	92	o98y	
j25g	69.73	-29.89	83.06	88.28	110	y34l	
j50g	57.03	-48.31	63.49	79.78	127	y69l	
j75g	47.73	-60.33	42.64	73.88	145	l03c	
g00b	50.59	-49.08	15.74	51.54	162	l23c	
g25b	52.97	-39.7	-6.72	40.27	190	l55c	
g50b	54.85	-32.33	-24.35	40.48	217	l87c	
g75b	49.92	-17.29	-36.02	39.96	244	c20v	
b00r	40.91	1.28	-42.35	42.37	272	c53v	
b25r	26.81	30.38	-52.26	60.45	300	c87v	
b50r	32.52	69.06	-42.14	80.9	329	v68m	
b75r	39.48	71.47	-3.69	71.57	357	m34o	

Dreiecks-Helligkeit i^*
 %Umfang
 $u^*_{rel} = 109$
 %Regularität
 $g^*_{H,rel} = 31$
 $g^*_{C,rel} = 40$



Ein und Ausgabe: Farbmetrisches Drucker-Reflektiv-System FRS12_95a, L*=12_95 für relative CIELAB-Buntton $h^* = lab^*h^* = h_{ab}/360 = 0.992$ $u^*_e = b75r$
 $lab^*icu^*_d$

Daten für jede Farbe:
 lab^*tch^* und lab^*icu^*
 Bunttontexte:
 $u^*_e = b75r$ $u^*_d = m34o$
 Kontrastreduzierungsfaktor:
 $c_R = 1.0$
 Dreiecks-Helligkeit i^*



FRS12_95a; adaptierte CIELAB-Daten

	u^*_e	$L^*=L^*_a$	a^*_a	b^*_a	$C^*_{ab,a}$	$h^*_{ab,a}$
O _{Ma}	38.06	60.0	44.0	74.4	36	
Y _{Ma}	86.77	-5.17	109.32	109.44	93	
L _{Ma}	47.13	-62.67	48.24	79.09	142	
C _{Ma}	55.66	-29.14	-31.99	43.27	228	
V _{Ma}	17.15	50.3	-59.04	77.57	310	
M _{Ma}	40.37	78.64	-33.5	85.48	337	
N _{Ma}	11.58	0.0	0.0	0.0	0	
W _{Ma}	95.02	0.0	0.0	0.0	0	
R _{Ma}	39.92	58.74	27.99	65.07	25	
J _{Ma}	81.26	-2.89	71.56	71.62	92	
G _{Ma}	52.23	-42.42	13.6	44.55	162	
B _{Ma}	30.57	1.41	-46.47	46.49	272	

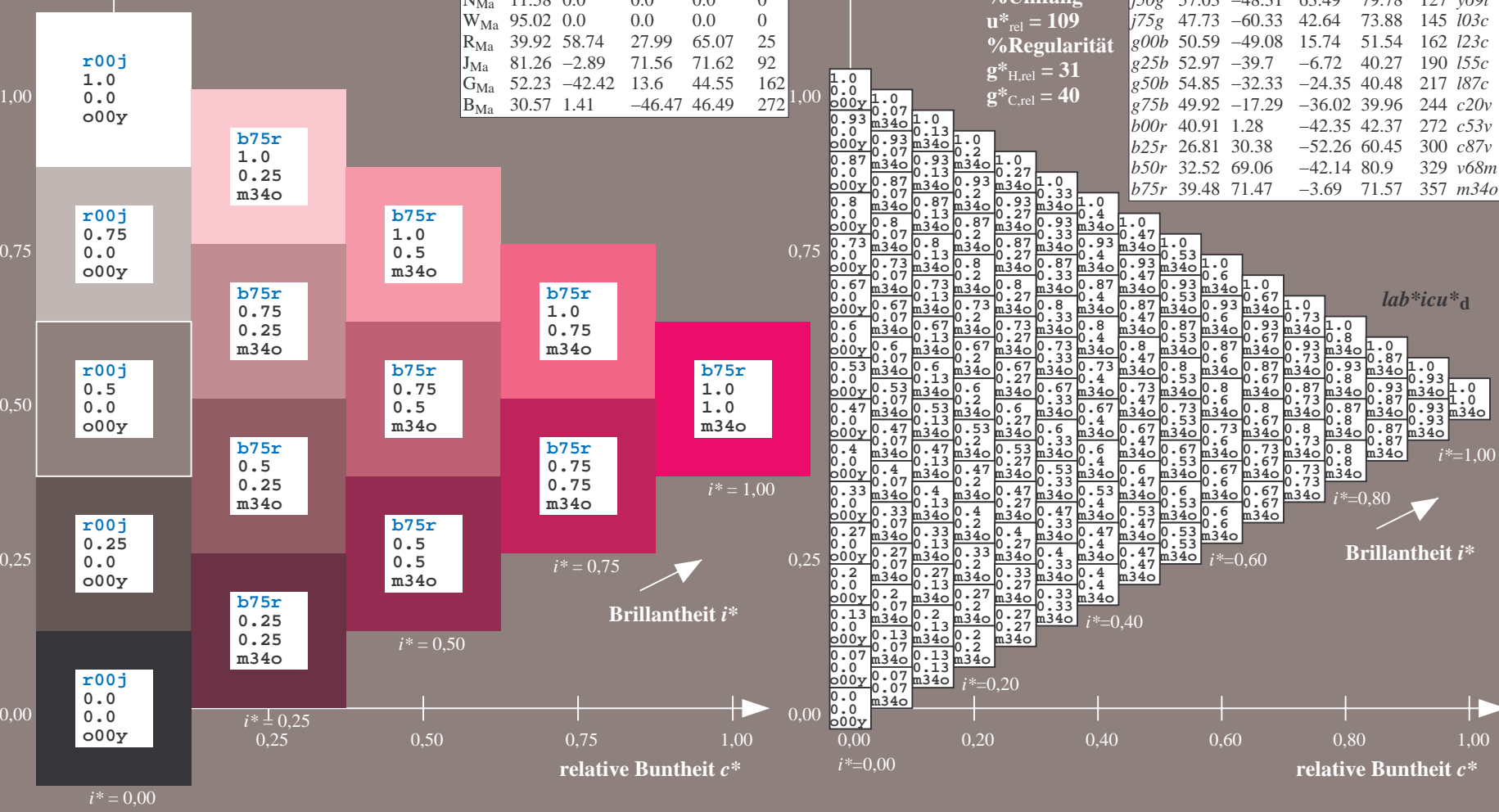
Daten für Maximalfarbe (Ma):

$LAB^*LAB^*_Ma: 39\ 71\ -4$
 $LAB^*LCH^*_Ma: 39\ 72\ 357$
 $lab^*rgb^*_Ma: 1.0\ 0.0\ 0.5$
 $lab^*olv^*_Ma: 1.0\ 0.0\ 0.66$

FRS12_95a; adaptierte CIELAB-Daten

	u^*_e	$L^*=L^*_a$	a^*_a	b^*_a	$C^*_{ab,a}$	$h^*_{ab,a}$	u^*_d
r00j	38.47	63.32	30.17	70.15	25	m81o	
r25j	42.12	54.56	49.45	73.64	42	o10y	
r50j	53.64	39.15	64.89	75.79	59	o40y	
r75j	67.01	21.26	82.83	85.52	76	o69y	
j00g	86.18	-4.38	108.53	108.62	92	o98y	
j25g	69.73	-29.89	83.06	88.28	110	y34l	
j50g	57.03	-48.31	63.49	79.78	127	y69l	
j75g	47.73	-60.33	42.64	73.88	145	l03c	
g00b	50.59	-49.08	15.74	51.54	162	l23c	
g25b	52.97	-39.7	-6.72	40.27	190	l55c	
g50b	54.85	-32.33	-24.35	40.48	217	l87c	
g75b	49.92	-17.29	-36.02	39.96	244	c20v	
b00r	40.91	1.28	-42.35	42.37	272	c53v	
b25r	26.81	30.38	-52.26	60.45	300	c87v	
b50r	32.52	69.06	-42.14	80.9	329	v68m	
b75r	39.48	71.47	-3.69	71.57	357	m34o	

Dreiecks-Helligkeit i^*
 %Umfang
 $u^*_{rel} = 109$
 %Regularität
 $g^*_{H,rel} = 31$
 $g^*_{C,rel} = 40$



BAM-Registrierung: 20081001-Fg64/10L/L64g00NP.PDF/.PS BAM-Material: Code=rhatha
 Anwendung für Beurteilung und Messung von Drucker- oder Monitorssystemen

N: Keine Ausgabe-Linearisierung (OL) in Datei (F), Startup (S), Gerät (D)

Siehe ähnliche Dateien: <http://www.ps.bam.de/Fg64/>; [www.ps.bam.de/Version 2.1, io=1.1, Colspx=0](http://www.ps.bam.de/Version2.1,io=1.1,Colspx=0)
Technische Information: <http://www.ps.bam.de>

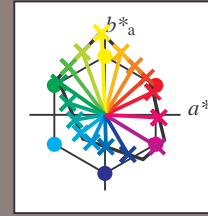
Table with 27 rows (01-27) and 48 columns (A-lab*icu*a). Each cell contains a numerical value representing colorimetric data for a specific color and device combination.

BAM-Registrierung: 20081001-Fg64/10L/L64g00NP.PDF/.PS BAM-Material: Code=thata
Anwendung für Beurteilung und Messung von Drucker- oder Monitorsystemen

Ein und Ausgabe:
 Farbmetrisches Drucker-Reflektiv-System FRS12_95a
 Daten für jede Farbe:
 u^*_e und Nummer *Nr.* = 00 .. 15
 Elementar-Bunttext:
 $u^*_e = 16$ Bunttoene *r00j, r25j, ..., b75r*
 Kontrastreduzierungsfaktor:
 $c_R = 1.0$

FRS12_95a; adaptierte CIELAB-Daten

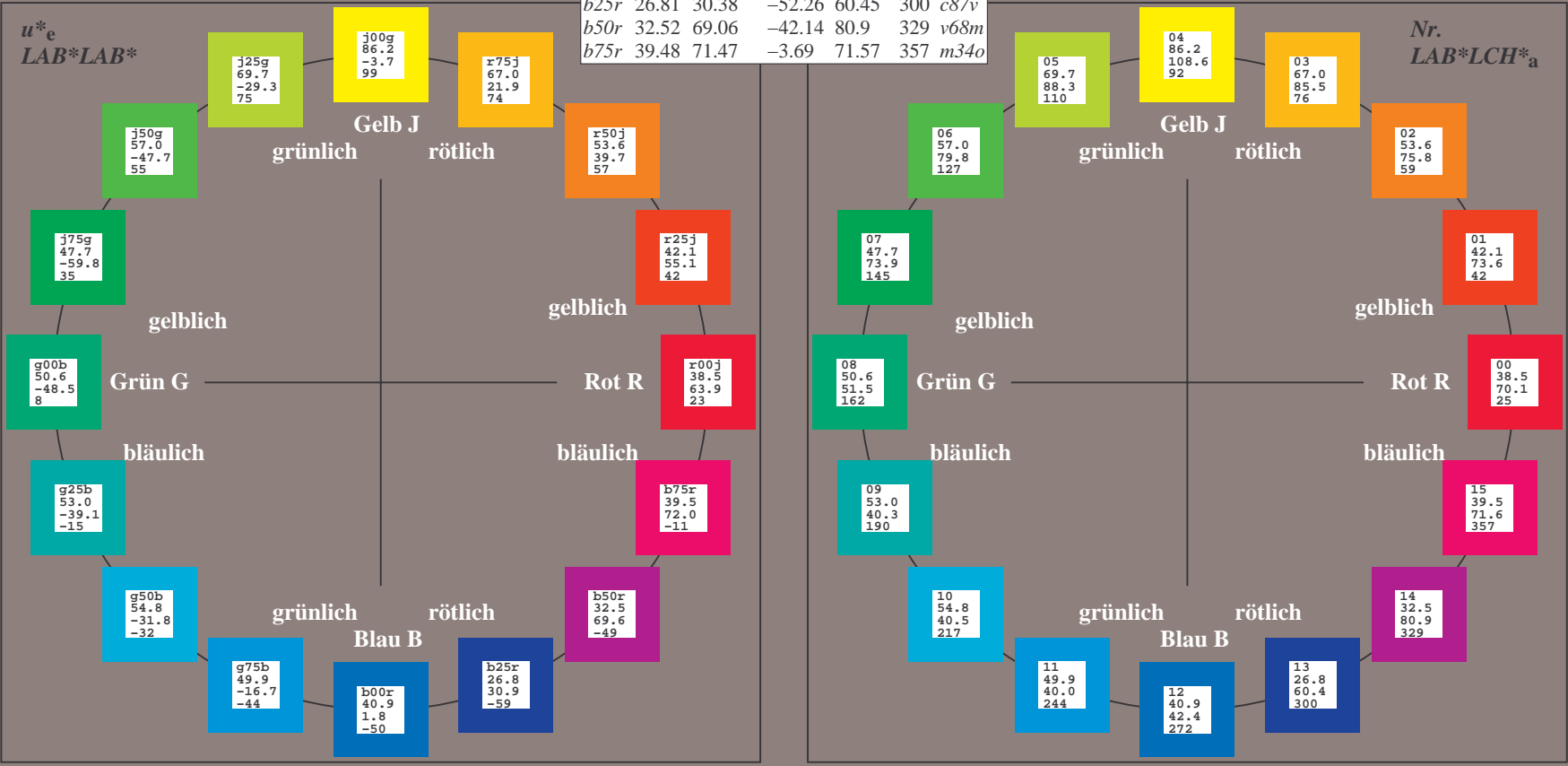
u^*_e	$L^*=L^*_a$	a^*_a	b^*_a	$C^*_{ab,a}$	$h^*_{ab,a}$	u^*_d
r00j	38.47	63.32	30.17	70.15	25	m81o
r25j	42.12	54.56	49.45	73.64	42	o10y
r50j	53.64	39.15	64.89	75.79	59	o40y
r75j	67.01	21.26	82.83	85.52	76	o69y
j00g	86.18	-4.38	108.53	108.62	92	o98y
j25g	69.73	-29.89	83.06	88.28	110	y34l
j50g	57.03	-48.31	63.49	79.78	127	y69l
j75g	47.73	-60.33	42.64	73.88	145	l03c
g00b	50.59	-49.08	15.74	51.54	162	l23c
g25b	52.97	-39.7	-6.72	40.27	190	l55c
g50b	54.85	-32.33	-24.35	40.48	217	l87c
g75b	49.92	-17.29	-36.02	39.96	244	c20v
b00r	40.91	1.28	-42.35	42.37	272	c53v
b25r	26.81	30.38	-52.26	60.45	300	c87v
b50r	32.52	69.06	-42.14	80.9	329	v68m
b75r	39.48	71.47	-3.69	71.57	357	m34o



%Umfang
 $u^*_{rel} = 109$
 %Regularität
 $g^*_{H,rel} = 31$
 $g^*_{C,rel} = 40$

FRS12_95; CIELAB-Daten

Name	$L^*=L^*$	a^*	b^*	C^*_{ab}	h^*_{ab}
O _M	38.06	60.53	36.66	70.77	31
Y _M	86.77	-4.5	100.15	100.25	93
L _M	47.13	-62.11	40.56	74.18	147
C _M	55.66	-28.56	-39.99	49.14	234
V _M	17.15	50.78	-65.6	82.96	308
M _M	40.37	79.18	-40.93	89.13	333
N _M	11.58	0.46	-6.35	6.37	274
W _M	95.02	0.69	-9.48	9.51	274
R _{CIE}	39.92	58.74	27.99	65.07	25
J _{CIE}	81.26	-2.89	71.56	71.62	92
G _{CIE}	52.23	-42.42	13.6	44.55	162
B _{CIE}	30.57	1.41	-46.47	46.49	272

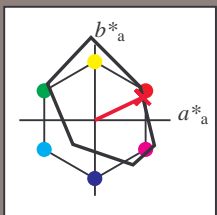


Siehe ähnliche Dateien: <http://www.ps.bam.de/Fg64/>; [www.ps.bam.de/Fg64/Version 2.1, io=1,1, ColSpX=0](http://www.ps.bam.de/Fg64/Version2.1,io=1,1,ColSpX=0)
 Technische Information: <http://www.ps.bam.de>

BAM-Registrierung: 20081001-Fg64/10L/L64g00NP.PDF/.PS BAM-Material: Code=rhata
 Anwendung für Beurteilung und Messung von Drucker- oder Monitorssystemen

Ein und Ausgabe: Farbmetrisches Drucker-Reflektiv-System FRS12_95a, L*=12_95 für relativen CIELAB-Buntton $h^* = lab^*h^* = h_{ab}/360 = 0.071$ $u^*_e = r00j$
 Daten für jede Farbe: lab^*ch^* und lab^*icu^* **LAB*LAB***

Bunttontexte:
 $u^*_e = r00j$ $u^*_d = m81o$
 Kontrastreduzierungsfaktor:
 $c_R = 1.0$
 Dreiecks-Helligkeit i^*



FRS12_95; CIELAB-Daten

	u^*_e	$L^*=L^*_a$	a^*	b^*	C^*_{ab}	h^*_{ab}
O _M	38.06	60.53	36.66	70.77	31	
Y _M	86.77	-4.5	100.15	100.25	93	
L _M	47.13	-62.11	40.56	74.18	147	
C _M	55.66	-28.56	-39.99	49.14	234	
V _M	17.15	50.78	-65.6	82.96	308	
M _M	40.37	79.18	-40.93	89.13	333	
N _M	11.58	0.46	-6.35	6.37	274	
W _M	95.02	0.69	-9.48	9.51	274	
R _M	39.92	58.74	27.99	65.07	25	
J _M	81.26	-2.89	71.56	71.62	92	
G _M	52.23	-42.42	13.6	44.55	162	
B _M	30.57	1.41	-46.47	46.49	272	

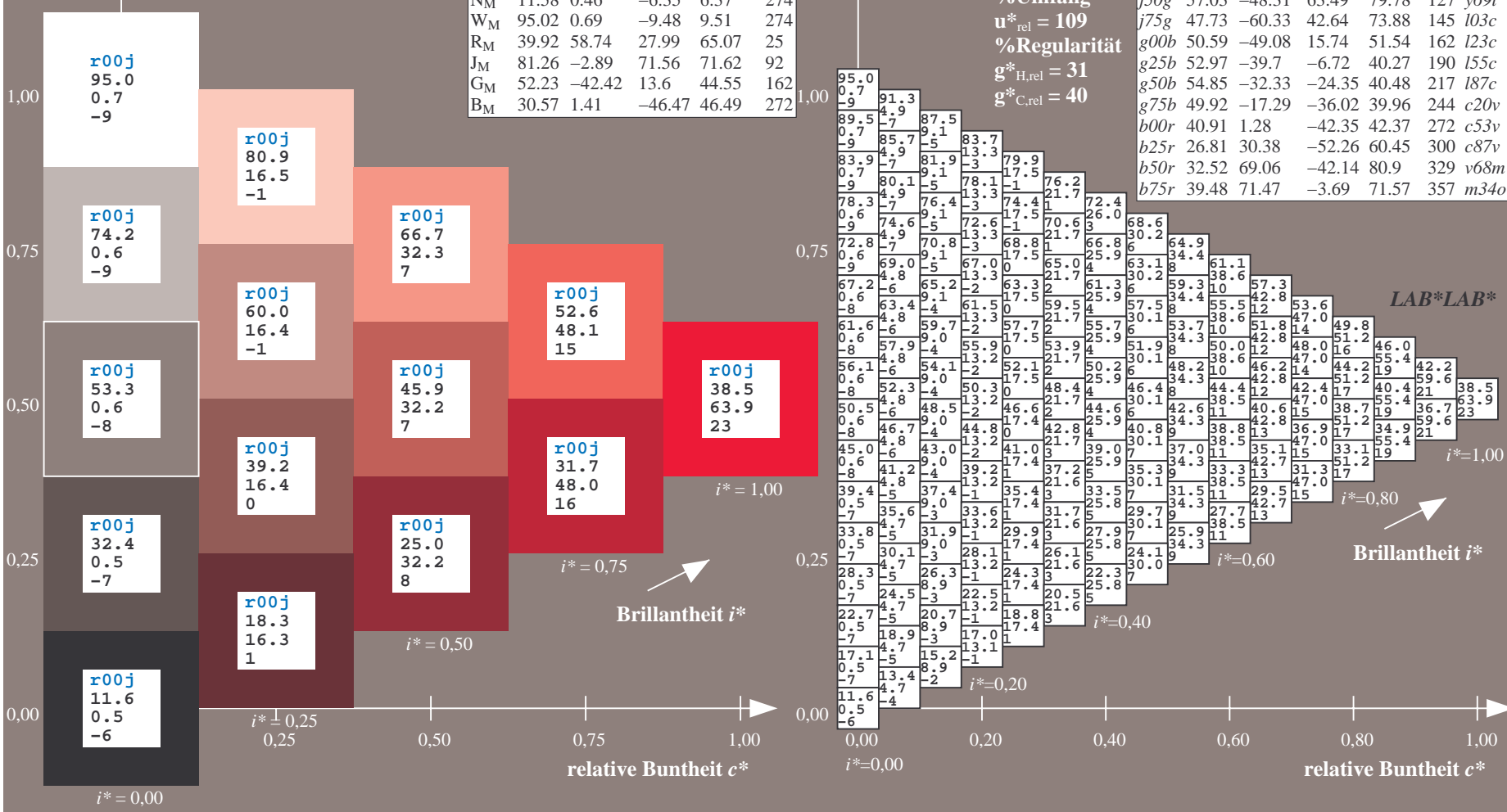
Daten für Maximalfarbe (Ma):

$LAB^*LAB^*_Ma: 38\ 63\ 30$
 $LAB^*LCH^*_Ma: 38\ 70\ 25$
 $lab^*rgb^*_Ma: 1.0\ 0.0\ 0.0$
 $lab^*olv^*_Ma: 1.0\ 0.0\ 0.18$

FRS12_95a; adaptierte CIELAB-Daten

	u^*_e	$L^*=L^*_a$	a^*_a	b^*_a	$C^*_{ab,a}$	$h^*_{ab,a}$	u^*_d
r00j	38.47	63.32	30.17	70.15	25	m81o	
r25j	42.12	54.56	49.45	73.64	42	o10y	
r50j	53.64	39.15	64.89	75.79	59	o40y	
r75j	67.01	21.26	82.83	85.52	76	o69y	
j00g	86.18	-4.38	108.53	108.62	92	o98y	
j25g	69.73	-29.89	83.06	88.28	110	y34l	
j50g	57.03	-48.31	63.49	79.78	127	y69l	
j75g	47.73	-60.33	42.64	73.88	145	l03c	
g00b	50.59	-49.08	15.74	51.54	162	l23c	
g25b	52.97	-39.7	-6.72	40.27	190	l55c	
g50b	54.85	-32.33	-24.35	40.48	217	l87c	
g75b	49.92	-17.29	-36.02	39.96	244	c20v	
b00r	40.91	1.28	-42.35	42.37	272	c53v	
b25r	26.81	30.38	-52.26	60.45	300	c87v	
b50r	32.52	69.06	-42.14	80.9	329	v68m	
b75r	39.48	71.47	-3.69	71.57	357	m34o	

Dreiecks-Helligkeit i^*
 %Umfang
 $u^*_{rel} = 109$
 %Regularität
 $g^*_{H,rel} = 31$
 $g^*_{C,rel} = 40$

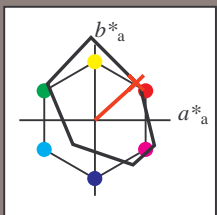


Siehe ähnliche Dateien: <http://www.ps.bam.de/Fg64/>; www.ps.bam.de/Version.2.1,io=1,1,Colspx=0
 Technische Information: <http://www.ps.bam.de>

BAM-Registrierung: 20081001-Fg64/10L/L64g00NP.PDF/.PS BAM-Material: Code=rhatha
 Anwendung für Beurteilung und Messung von Drucker- oder Monitorssystemen

Ein und Ausgabe: Farbmetrisches Drucker-Reflektiv-System FRS12_95a, L*=12_95 für relative CIELAB-Buntton $h^* = lab^*h^* = h_{ab}/360 = 0.117$ $u^*_e = r25j$
Daten für jede Farbe: lab^*ch^* und lab^*icu^* **Daten für Maximalfarbe (Ma):**
 LAB^*LAB^* $LAB^*LCH^*Ma: 42\ 55\ 49$
 $LAB^*rgb^*Ma: 1.0\ 0.25\ 0.0$
 $LAB^*olv^*Ma: 1.0\ 0.11\ 0.0$

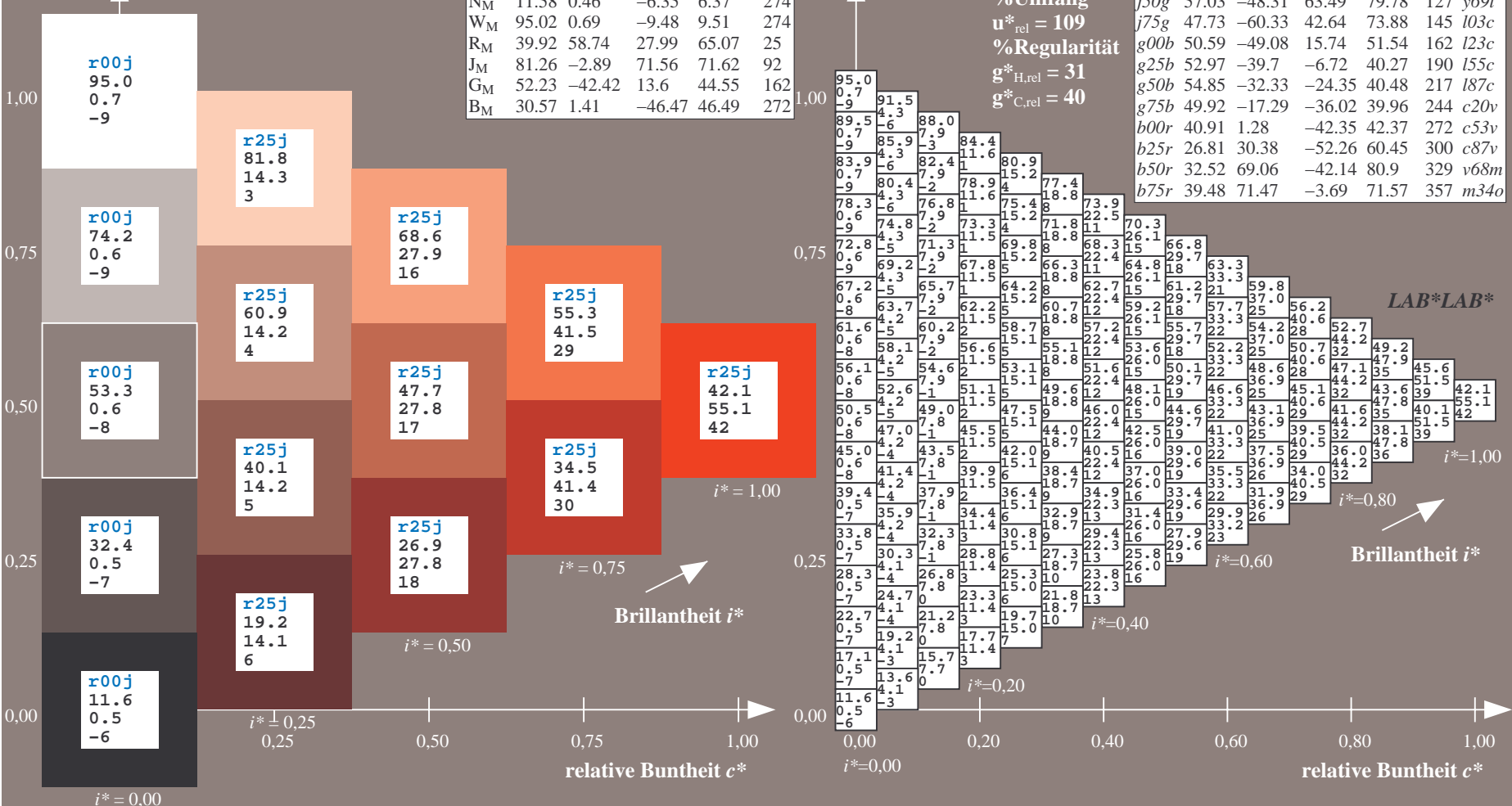
Bunttontexte:
 $u^*_e = r25j$ $u^*_d = o10y$
 Kontrastreduzierungsfaktor:
 $c_R = 1.0$
 Dreiecks-Helligkeit i^*



FRS12_95; CIELAB-Daten						
	u^*_e	$L^*=L^*$	a^*	b^*	C^*_{ab}	h^*_{ab}
O _M	38.06	60.53	36.66	70.77	31	
Y _M	86.77	-4.5	100.15	100.25	93	
L _M	47.13	-62.11	40.56	74.18	147	
C _M	55.66	-28.56	-39.99	49.14	234	
V _M	17.15	50.78	-65.6	82.96	308	
M _M	40.37	79.18	-40.93	89.13	333	
N _M	11.58	0.46	-6.35	6.37	274	
W _M	95.02	0.69	-9.48	9.51	274	
R _M	39.92	58.74	27.99	65.07	25	
J _M	81.26	-2.89	71.56	71.62	92	
G _M	52.23	-42.42	13.6	44.55	162	
B _M	30.57	1.41	-46.47	46.49	272	

FRS12_95a; adaptierte CIELAB-Daten							
	u^*_e	$L^*=L^*_a$	a^*_a	b^*_a	$C^*_{ab,a}$	$h^*_{ab,a}$	u^*_d
r00j	38.47	63.32	30.17	70.15	25	m81o	
r25j	42.12	54.56	49.45	73.64	42	o10y	
r50j	53.64	39.15	64.89	75.79	59	o40y	
r75j	67.01	21.26	82.83	85.52	76	o69y	
j00g	86.18	-4.38	108.53	108.62	92	o98y	
j25g	69.73	-29.89	83.06	88.28	110	y34l	
j50g	57.03	-48.31	63.49	79.78	127	y39l	
j75g	47.73	-60.33	42.64	73.88	145	l03c	
g00b	50.59	-49.08	15.74	51.54	162	l23c	
g25b	52.97	-39.7	-6.72	40.27	190	l55c	
g50b	54.85	-32.33	-24.35	40.48	217	l87c	
g75b	49.92	-17.29	-36.02	39.96	244	c20v	
b00r	40.91	1.28	-42.35	42.37	272	c53v	
b25r	26.81	30.38	-52.26	60.45	300	c87v	
b50r	32.52	69.06	-42.14	80.9	329	v68m	
b75r	39.48	71.47	-3.69	71.57	357	m34o	

Dreiecks-Helligkeit i^*
 %Umfang
 $u^*_{rel} = 109$
 %Regularität
 $g^*_{H,rel} = 31$
 $g^*_{C,rel} = 40$

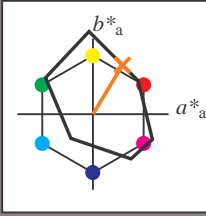


Siehe ähnliche Dateien: <http://www.ps.bam.de/Fg64/>; [www.ps.bam.de/Version 2.1, io=1,1, Colspx=0](http://www.ps.bam.de/Version%201,10i=1,1,Colspx=0)
 Technische Information: <http://www.ps.bam.de>

BAM-Registrierung: 20081001-Fg64/10L/L64g00NP.PDF/.PS BAM-Material: Code=rh4ta
 Anwendung für Beurteilung und Messung von Drucker- oder Monitorssystemen

Ein und Ausgabe: Farbmetrisches Drucker-Reflektiv-System FRS12_95a, L*=12_95 für relative CIELAB-Buntton $h^* = lab^*h^* = h_{ab}/360 = 0.164$ $u^*_e = r50j$
 Daten für jede Farbe: lab^*ch^* und lab^*icu^* **LAB*LAB***

Bunttontexte:
 $u^*_e = r50j$ $u^*_d = o40y$
 Kontrastreduzierungsfaktor:
 $c_R = 1.0$
 Dreiecks-Helligkeit t^*



FRS12_95; CIELAB-Daten

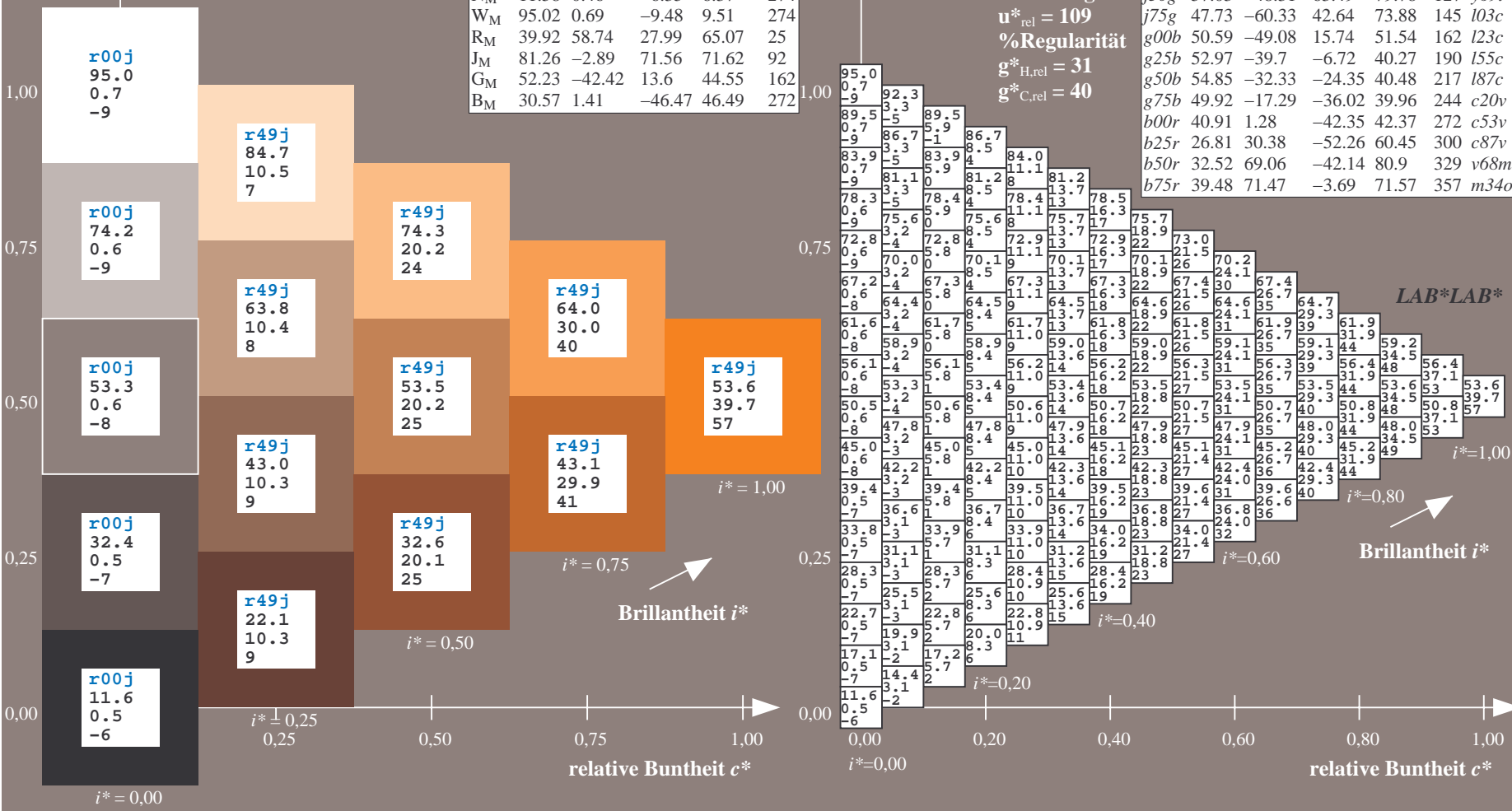
	u^*_e	$L^*=L^*$	a^*	b^*	C^*_{ab}	h^*_{ab}
O _M	38.06	60.53	36.66	70.77	31	
Y _M	86.77	-4.5	100.15	100.25	93	
L _M	47.13	-62.11	40.56	74.18	147	
C _M	55.66	-28.56	-39.99	49.14	234	
V _M	17.15	50.78	-65.6	82.96	308	
M _M	40.37	79.18	-40.93	89.13	333	
N _M	11.58	0.46	-6.35	6.37	274	
W _M	95.02	0.69	-9.48	9.51	274	
R _M	39.92	58.74	27.99	65.07	25	
J _M	81.26	-2.89	71.56	71.62	92	
G _M	52.23	-42.42	13.6	44.55	162	
B _M	30.57	1.41	-46.47	46.49	272	

Daten für Maximalfarbe (Ma):
 $LAB^*LAB^*_{Ma}: 54\ 39\ 65$
 $LAB^*LCH^*_{Ma}: 54\ 76\ 58$
 $lab^*rgb^*_{Ma}: 1.0\ 0.5\ 0.0$
 $lab^*olv^*_{Ma}: 1.0\ 0.4\ 0.0$

FRS12_95a; adaptierte CIELAB-Daten

	u^*_e	$L^*=L^*_a$	a^*_a	b^*_a	$C^*_{ab,a}$	$h^*_{ab,a}$	u^*_d
r00j	38.47	63.32	30.17	70.15	25	m81o	
r25j	42.12	54.56	49.45	73.64	42	o10y	
r50j	53.64	39.15	64.89	75.79	59	o40y	
r75j	67.01	21.26	82.83	85.52	76	o69y	
j00g	86.18	-4.38	108.53	108.62	92	o98y	
j25g	69.73	-29.89	83.06	88.28	110	y34l	
j50g	57.03	-48.31	63.49	79.78	127	y69l	
j75g	47.73	-60.33	42.64	73.88	145	l03c	
g00b	50.59	-49.08	15.74	51.54	162	l23c	
g25b	52.97	-39.7	-6.72	40.27	190	l55c	
g50b	54.85	-32.33	-24.35	40.48	217	l87c	
g75b	49.92	-17.29	-36.02	39.96	244	c20v	
b00r	40.91	1.28	-42.35	42.37	272	c53v	
b25r	26.81	30.38	-52.26	60.45	300	c87v	
b50r	32.52	69.06	-42.14	80.9	329	v68m	
b75r	39.48	71.47	-3.69	71.57	357	m34o	

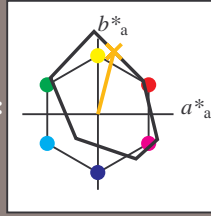
Dreiecks-Helligkeit t^*
 %Umfang
 $u^*_{rel} = 109$
 %Regularität
 $g^*_{H,rel} = 31$
 $g^*_{C,rel} = 40$



BAM-Registrierung: 20081001-Fg64/10L/L64g00NP.PDF/.PS BAM-Material: Code=rh4ta
 Anwendung für Beurteilung und Messung von Drucker- oder Monitorssystemen

Ein und Ausgabe: Farbmetrisches Drucker-Reflektiv-System FRS12_95a, L*=12_95 für relative CIELAB-Buntton $h^* = lab^*h^* = h_{ab}/360 = 0.21$ $u^*_e = r75j$
 Daten für jede Farbe: LAB^*LAB^*

lab^*ch^* und lab^*icu^*
 Bunttontexte:
 $u^*_e = r75j$ $u^*_d = o69y$
 Kontrastreduzierungsfaktor:
 $c_R = 1.0$
 Dreiecks-Helligkeit i^*



FRS12_95; CIELAB-Daten

	u^*_e	$L^*=L^*$	a^*	b^*	C^*_{ab}	h^*_{ab}
O _M	38.06	60.53	36.66	70.77	31	
Y _M	86.77	-4.5	100.15	100.25	93	
L _M	47.13	-62.11	40.56	74.18	147	
C _M	55.66	-28.56	-39.99	49.14	234	
V _M	17.15	50.78	-65.6	82.96	308	
M _M	40.37	79.18	-40.93	89.13	333	
N _M	11.58	0.46	-6.35	6.37	274	
W _M	95.02	0.69	-9.48	9.51	274	
R _M	39.92	58.74	27.99	65.07	25	
J _M	81.26	-2.89	71.56	71.62	92	
G _M	52.23	-42.42	13.6	44.55	162	
B _M	30.57	1.41	-46.47	46.49	272	

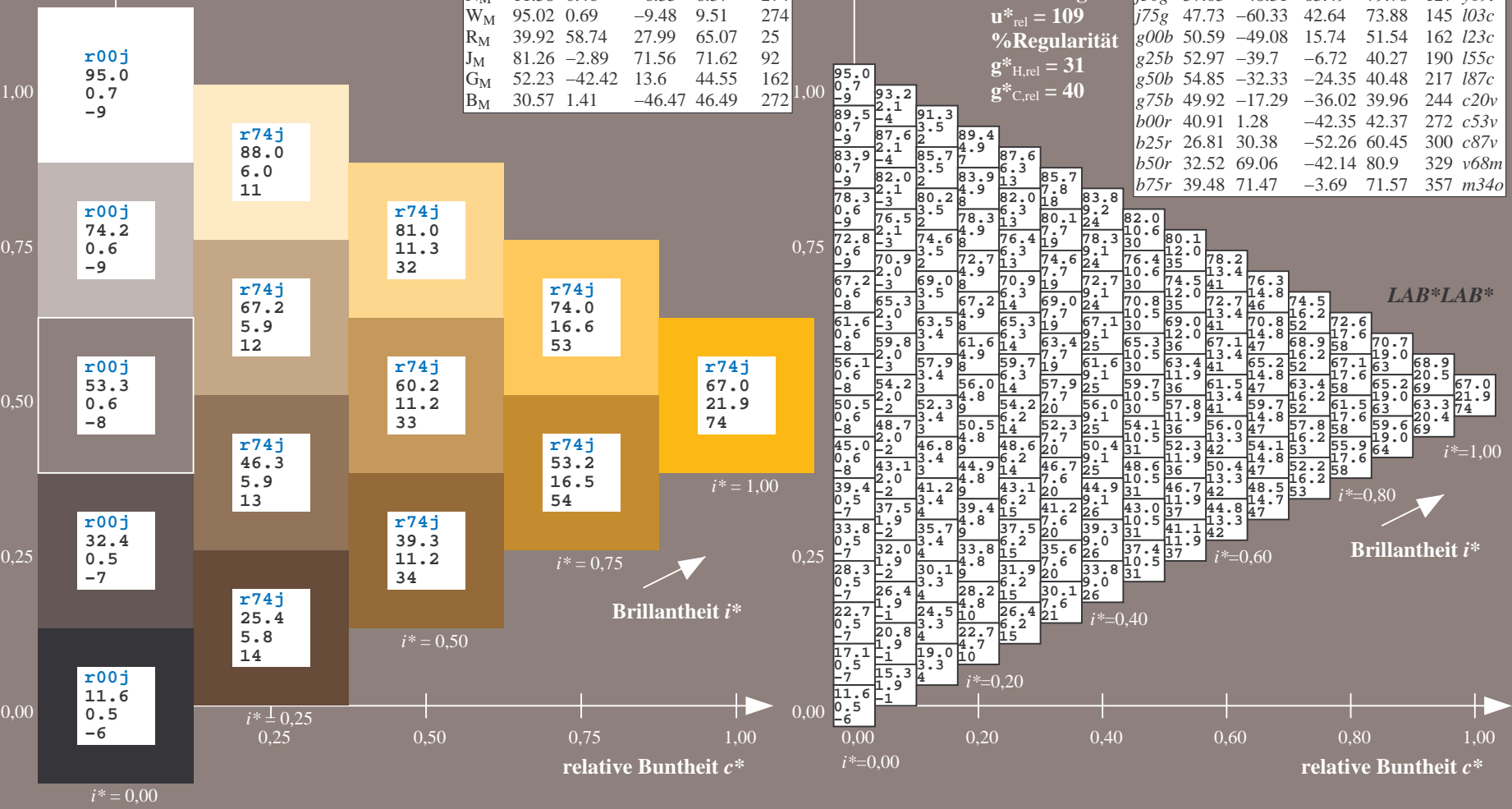
Daten für Maximalfarbe (Ma):

$LAB^*LAB^*_{Ma}$: 67 21 83
 $LAB^*LCH^*_{Ma}$: 67 86 75
 $lab^*rgb^*_{Ma}$: 1.0 0.75 0.0
 $lab^*olv^*_{Ma}$: 1.0 0.7 0.0

FRS12_95a; adaptierte CIELAB-Daten

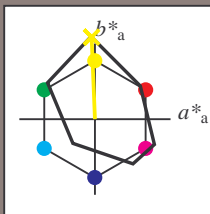
	u^*_e	$L^*=L^*_a$	a^*_a	b^*_a	$C^*_{ab,a}$	$h^*_{ab,a}$	u^*_d
r00j	38.47	63.32	30.17	70.15	25	m81o	
r25j	42.12	54.56	49.45	73.64	42	o10y	
r50j	53.64	39.15	64.89	75.79	59	o40y	
r75j	67.01	21.26	82.83	85.52	76	o69y	
j00g	86.18	-4.38	108.53	108.62	92	o98y	
j25g	69.73	-29.89	83.06	88.28	110	y34l	
j50g	57.03	-48.31	63.49	79.78	127	y69l	
j75g	47.73	-60.33	42.64	73.88	145	l03c	
g00b	50.59	-49.08	15.74	51.54	162	l23c	
g25b	52.97	-39.7	-6.72	40.27	190	l55c	
g50b	54.85	-32.33	-24.35	40.48	217	l87c	
g75b	49.92	-17.29	-36.02	39.96	244	c20v	
b00r	40.91	1.28	-42.35	42.37	272	c53v	
b25r	26.81	30.38	-52.26	60.45	300	c87v	
b50r	32.52	69.06	-42.14	80.9	329	v68m	
b75r	39.48	71.47	-3.69	71.57	357	m34o	

Dreiecks-Helligkeit i^*
 %Umfang
 $u^*_{rel} = 109$
 %Regularität
 $g^*_{H,rel} = 31$
 $g^*_{C,rel} = 40$



BAM-Registrierung: 20081001-Fg64/10L/L64g00NP.PDF/.PS BAM-Material: Code=rh4ta
 Anwendung für Beurteilung und Messung von Drucker- oder Monitorssystemen

Ein und Ausgabe: Farbmetrisches Drucker-Reflektiv-System FRS12_95a, L*=12_95 für relativen CIELAB-Buntton $h^* = lab^*h^* = h_{ab}/360 = 0.256$ $u^*_e = j00g$
 Daten für jede Farbe: lab^*ch^* und lab^*icu^*
Bunttontexte: $u^*_e = j00g$ $u^*_d = o98y$
Kontrastreduzierungsfaktor: $c_R = 1.0$
Dreiecks-Helligkeit i^*



FRS12_95; CIELAB-Daten

u^*_e	$L^*=L^*$	a^*	b^*	C^*_{ab}	h^*_{ab}
O _M	38.06	60.53	36.66	70.77	31
Y _M	86.77	-4.5	100.15	100.25	93
L _M	47.13	-62.11	40.56	74.18	147
C _M	55.66	-28.56	-39.99	49.14	234
V _M	17.15	50.78	-65.6	82.96	308
M _M	40.37	79.18	-40.93	89.13	333
N _M	11.58	0.46	-6.35	6.37	274
W _M	95.02	0.69	-9.48	9.51	274
R _M	39.92	58.74	27.99	65.07	25
J _M	81.26	-2.89	71.56	71.62	92
G _M	52.23	-42.42	13.6	44.55	162
B _M	30.57	1.41	-46.47	46.49	272

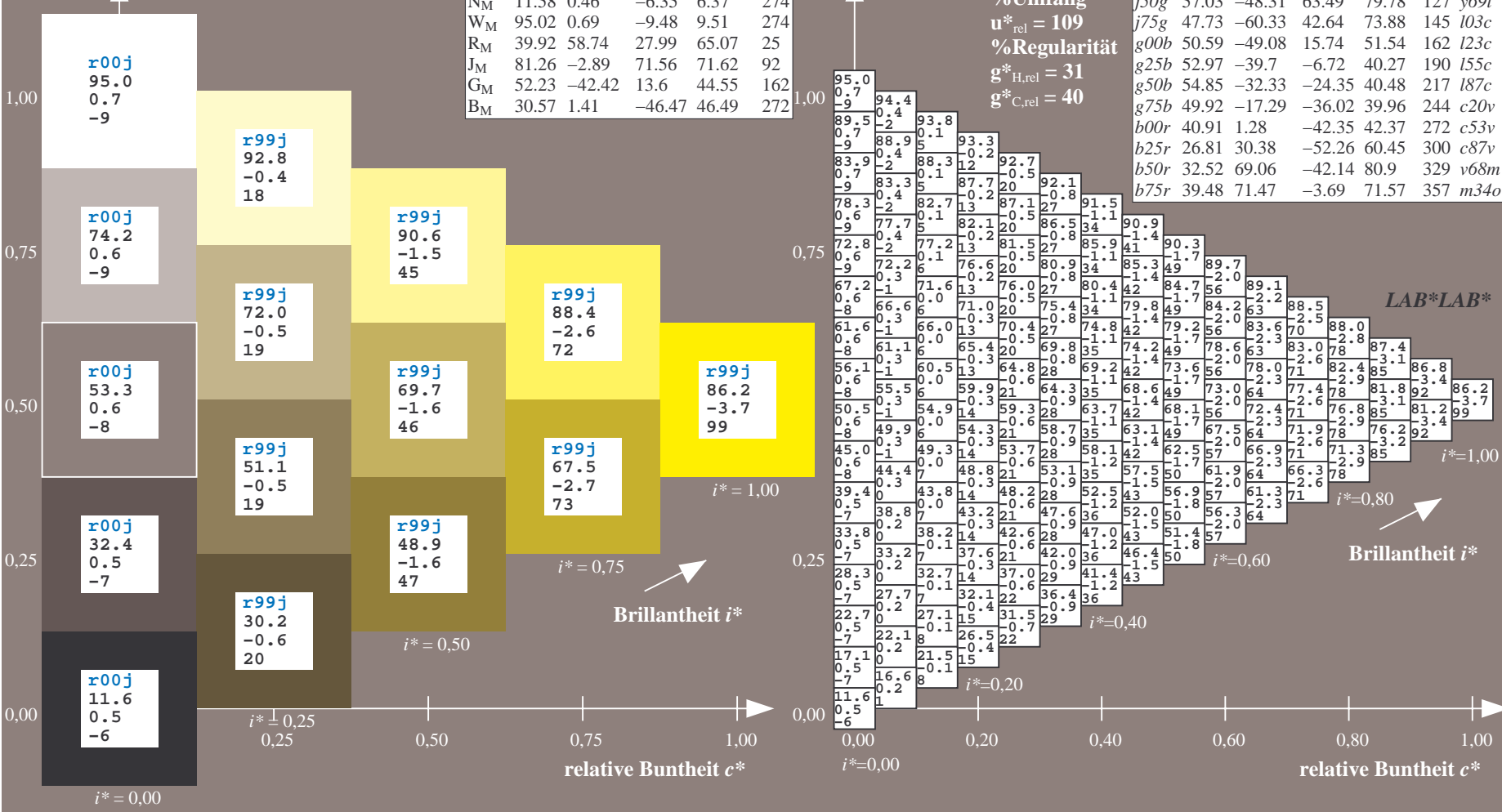
Daten für Maximalfarbe (Ma):

$LAB^*LAB^*_Ma: 86 -4 109$
 $LAB^*LCH^*_Ma: 86 109 92$
 $lab^*rgb^*_Ma: 1.0 1.0 0.0$
 $lab^*olv^*_Ma: 1.0 0.99 0.0$

FRS12_95a; adaptierte CIELAB-Daten

u^*_e	$L^*=L^*_a$	a^*_a	b^*_a	$C^*_{ab,a}$	$h^*_{ab,a}$	u^*_d
r00j	38.47	63.32	30.17	70.15	25	m81o
r25j	42.12	54.56	49.45	73.64	42	o10y
r50j	53.64	39.15	64.89	75.79	59	o40y
r75j	67.01	21.26	82.83	85.52	76	o69y
j00g	86.18	-4.38	108.53	108.62	92	o98y
j25g	69.73	-29.89	83.06	88.28	110	y34l
j50g	57.03	-48.31	63.49	79.78	127	y69l
j75g	47.73	-60.33	42.64	73.88	145	l03c
g00b	50.59	-49.08	15.74	51.54	162	l23c
g25b	52.97	-39.7	-6.72	40.27	190	l55c
g50b	54.85	-32.33	-24.35	40.48	217	l87c
g75b	49.92	-17.29	-36.02	39.96	244	c20v
b00r	40.91	1.28	-42.35	42.37	272	c53v
b25r	26.81	30.38	-52.26	60.45	300	c87v
b50r	32.52	69.06	-42.14	80.9	329	v68m
b75r	39.48	71.47	-3.69	71.57	357	m34o

Dreiecks-Helligkeit i^*
 %Umfang $u^*_{rel} = 109$
 %Regularität $g^*_{H,rel} = 31$
 $g^*_{C,rel} = 40$



BAM-Registrierung: 20081001-Fg64/10L/L64g00NP.PDF/.PS BAM-Material: Code=rh4ta
 Anwendung für Beurteilung und Messung von Drucker- oder Monitorssystemen

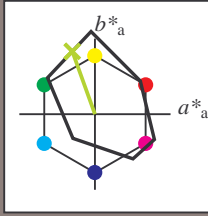
Ein und Ausgabe: Farbmetrisches Drucker-Reflektiv-System FRS12_95a, L*=12_95 für relativen CIELAB-Buntton $h^* = lab^*h^* = h_{ab}/360 = 0.305$ $u^*_e = j25g$

Daten für jede Farbe: lab^*ch^* und lab^*icu^*

Bunttontexte: $u^*_e = j25g$ $u^*_d = y34l$

Kontrastreduzierungsfaktor: $c_R = 1.0$

Dreiecks-Helligkeit i^*



FRS12_95; CIELAB-Daten

	u^*_e	$L^*=L^*_a$	a^*	b^*	C^*_{ab}	h^*_{ab}
O _M	38.06	60.53	36.66	70.77	31	
Y _M	86.77	-4.5	100.15	100.25	93	
L _M	47.13	-62.11	40.56	74.18	147	
C _M	55.66	-28.56	-39.99	49.14	234	
V _M	17.15	50.78	-65.6	82.96	308	
M _M	40.37	79.18	-40.93	89.13	333	
N _M	11.58	0.46	-6.35	6.37	274	
W _M	95.02	0.69	-9.48	9.51	274	
R _M	39.92	58.74	27.99	65.07	25	
J _M	81.26	-2.89	71.56	71.62	92	
G _M	52.23	-42.42	13.6	44.55	162	
B _M	30.57	1.41	-46.47	46.49	272	

Daten für Maximalfarbe (Ma):

$LAB^*LAB^*_Ma: 70 -30 83$

$LAB^*LCH^*_Ma: 70 88 109$

$lab^*rgb^*_Ma: 0.75 1.0 0.0$

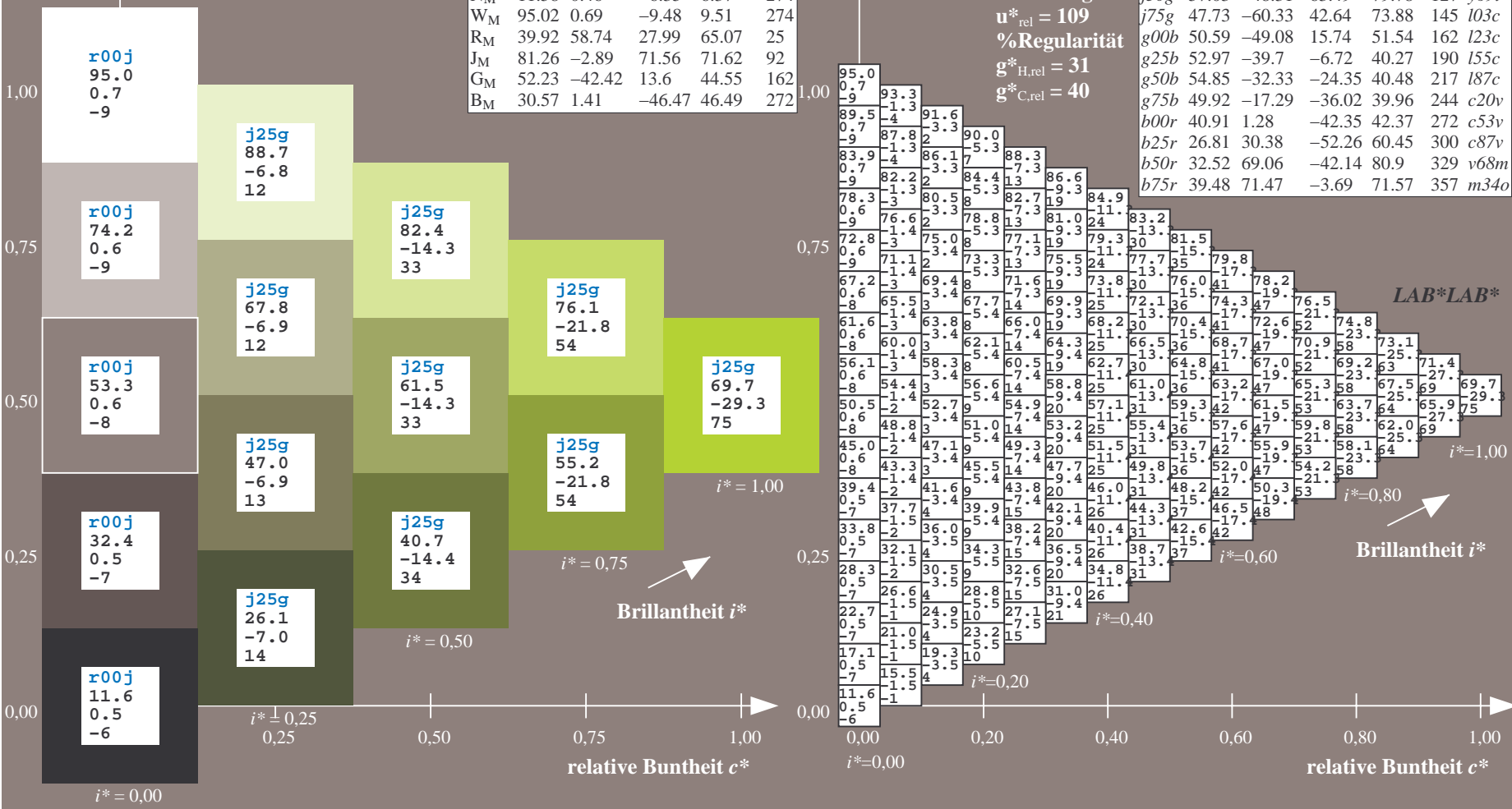
$lab^*olv^*_Ma: 0.66 1.0 0.0$

Dreiecks-Helligkeit i^*

%Umfang
 $u^*_{rel} = 109$
 %Regularität
 $g^*_{H,rel} = 31$
 $g^*_{C,rel} = 40$

FRS12_95a; adaptierte CIELAB-Daten

	u^*_e	$L^*=L^*_a$	a^*_a	b^*_a	$C^*_{ab,a}$	$h^*_{ab,a}$	u^*_d
r00j	38.47	63.32	30.17	70.15	25	m81o	
r25j	42.12	54.56	49.45	73.64	42	o10y	
r50j	53.64	39.15	64.89	75.79	59	o40y	
r75j	67.01	21.26	82.83	85.52	76	o69y	
j00g	86.18	-4.38	108.53	108.62	92	o98y	
j25g	69.73	-29.89	83.06	88.28	110	y34l	
j50g	57.03	-48.31	63.49	79.78	127	y69l	
j75g	47.73	-60.33	42.64	73.88	145	l03c	
g00b	50.59	-49.08	15.74	51.54	162	l23c	
g25b	52.97	-39.7	-6.72	40.27	190	l55c	
g50b	54.85	-32.33	-24.35	40.48	217	l87c	
g75b	49.92	-17.29	-36.02	39.96	244	c20v	
b00r	40.91	1.28	-42.35	42.37	272	c53v	
b25r	26.81	30.38	-52.26	60.45	300	c87v	
b50r	32.52	69.06	-42.14	80.9	329	v68m	
b75r	39.48	71.47	-3.69	71.57	357	m34o	

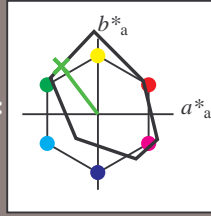


Siehe ähnliche Dateien: <http://www.ps.bam.de/Fg64/>; [www.ps.bam.de/Version 2.1, io=1,1, Colspx=0](http://www.ps.bam.de/Version2.1,io=1,1,Colspx=0)
 Technische Information: <http://www.ps.bam.de>

BAM-Registrierung: 20081001-Fg64/10L/L64g00NP.PDF/.PS BAM-Material: Code=rh4ta
 Anwendung für Beurteilung und Messung von Drucker- oder Monitorssystemen

Ein und Ausgabe: Farbmetrisches Drucker-Reflektiv-System FRS12_95a, L*=12_95 für relative CIELAB-Bunton $h^* = lab^*h^* = h_{ab}/360 = 0.354$ $u^*_e = j50g$
 Daten für jede Farbe: lab^*ch^* und lab^*icu^* LAB*LAB*

Buntonkontexte:
 $u^*_e = j50g$ $u^*_d = y69l$
 Kontrastreduzierungsfaktor:
 $c_R = 1.0$
 Dreiecks-Helligkeit i^*



FRS12_95; CIELAB-Daten						
	u^*_e	$L^*=L^*_a$	a^*	b^*	C^*_{ab}	h^*_{ab}
O _M	38.06	60.53	36.66	70.77	31	
Y _M	86.77	-4.5	100.15	100.25	93	
L _M	47.13	-62.11	40.56	74.18	147	
C _M	55.66	-28.56	-39.99	49.14	234	
V _M	17.15	50.78	-65.6	82.96	308	
M _M	40.37	79.18	-40.93	89.13	333	
N _M	11.58	0.46	-6.35	6.37	274	
W _M	95.02	0.69	-9.48	9.51	274	
R _M	39.92	58.74	27.99	65.07	25	
J _M	81.26	-2.89	71.56	71.62	92	
G _M	52.23	-42.42	13.6	44.55	162	
B _M	30.57	1.41	-46.47	46.49	272	

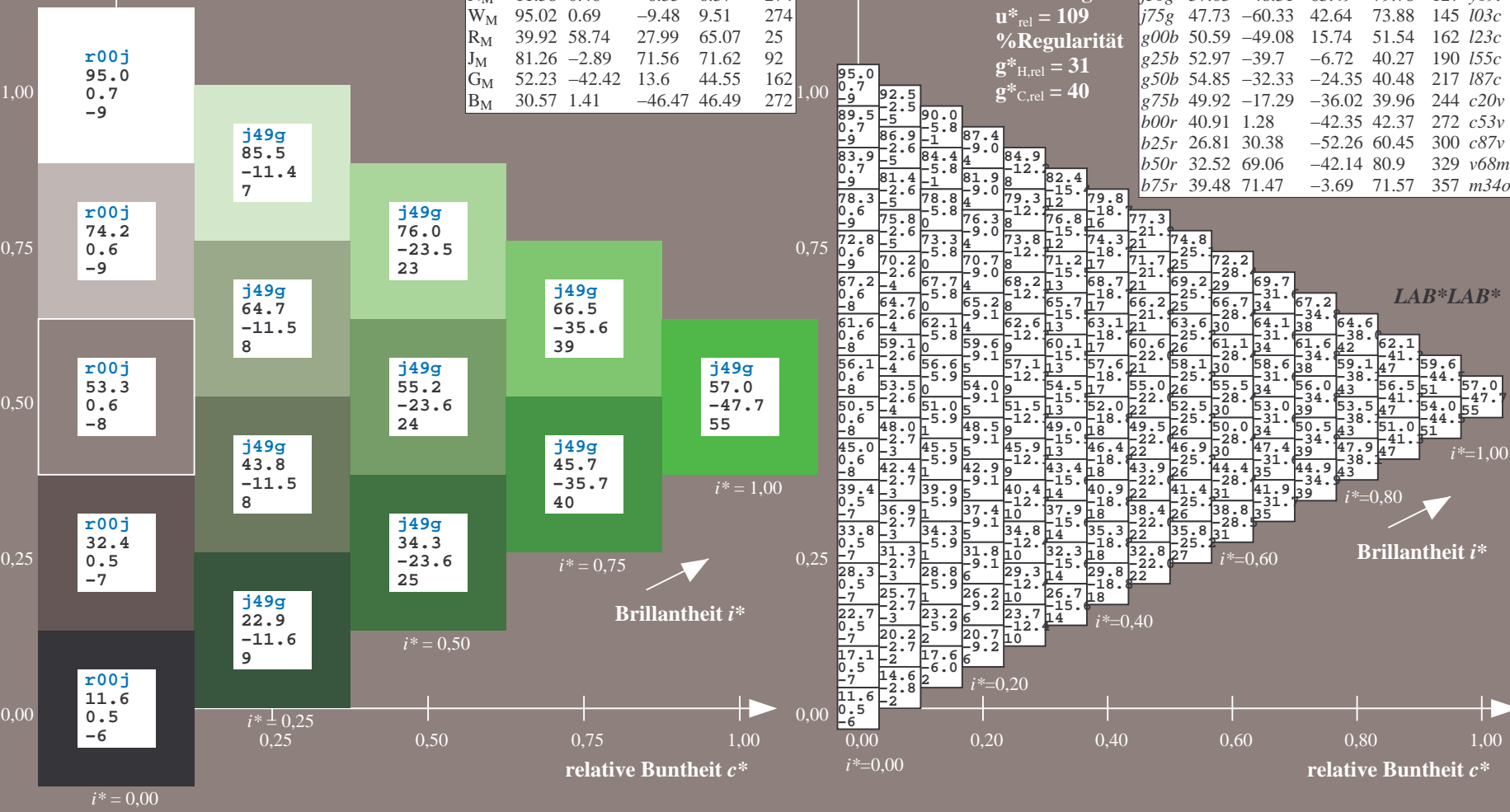
Daten für Maximalfarbe (Ma):

LAB*LAB*_{Ma}: 57 -48 63
 LAB*LCH*_{Ma}: 57 80 127
 lab*rgb*_{Ma}: 0.5 1.0 0.0
 lab*olv*_{Ma}: 0.3 1.0 0.0

FRS12_95a; adaptierte CIELAB-Daten									
	u^*_e	$L^*=L^*_a$	a^*_a	b^*_a	$C^*_{ab,a}$	$h^*_{ab,a}$	u^*_d		
r00j	38.47	63.32	30.17	70.15	25	m81o			
r25j	42.12	54.56	49.45	73.64	42	o10y			
r50j	53.64	39.15	64.89	75.79	59	o40y			
r75j	67.01	21.26	82.83	85.52	76	o69y			
j00g	86.18	-4.38	108.53	108.62	92	o98y			
j25g	69.73	-29.89	83.06	88.28	110	y34l			
j50g	57.03	-48.31	63.49	79.78	127	y69l			
j75g	47.73	-60.33	42.64	73.88	145	l03c			
g00b	50.59	-49.08	15.74	51.54	162	l23c			
g25b	52.97	-39.7	-6.72	40.27	190	l55c			
g50b	54.85	-32.33	-24.35	40.48	217	l87c			
g75b	49.92	-17.29	-36.02	39.96	244	c20v			
b00r	40.91	1.28	-42.35	42.37	272	c53v			
b25r	26.81	30.38	-52.26	60.45	300	c87v			
b50r	32.52	69.06	-42.14	80.9	329	v68m			
b75r	39.48	71.47	-3.69	71.57	357	m34o			

Dreiecks-Helligkeit i^*

%Umfang
 $u^*_{rel} = 109$
 %Regularität
 $g^*_{H,rel} = 31$
 $g^*_{C,rel} = 40$

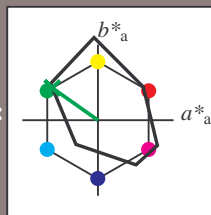


Siehe ähnliche Dateien: <http://www.ps.bam.de/Fg64/>; [www.ps.bam.de/Version 2.1, io=1,1, Colspx=0](http://www.ps.bam.de/Version2.1,io=1,1,Colspx=0)
 Technische Information: <http://www.ps.bam.de>

BAM-Registrierung: 20081001-Fg64/10L/L64g00NP.PDF/.PS BAM-Material: Code=rhatha
 Anwendung für Beurteilung und Messung von Drucker- oder Monitorssystemen

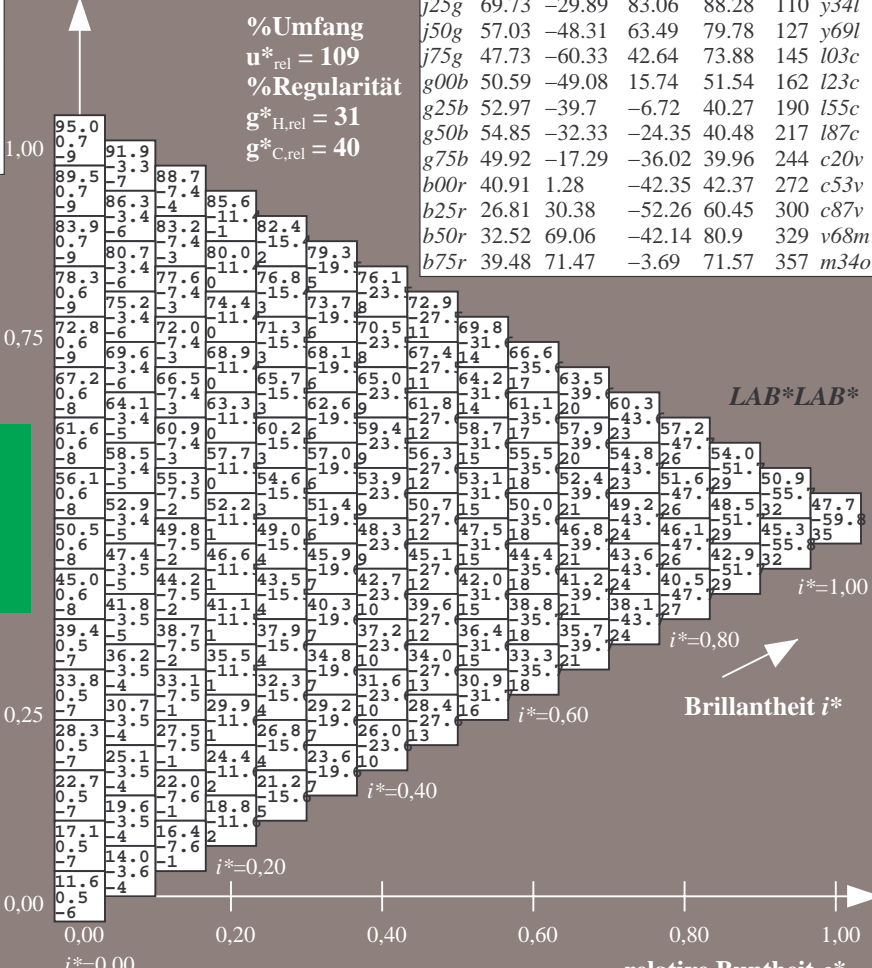
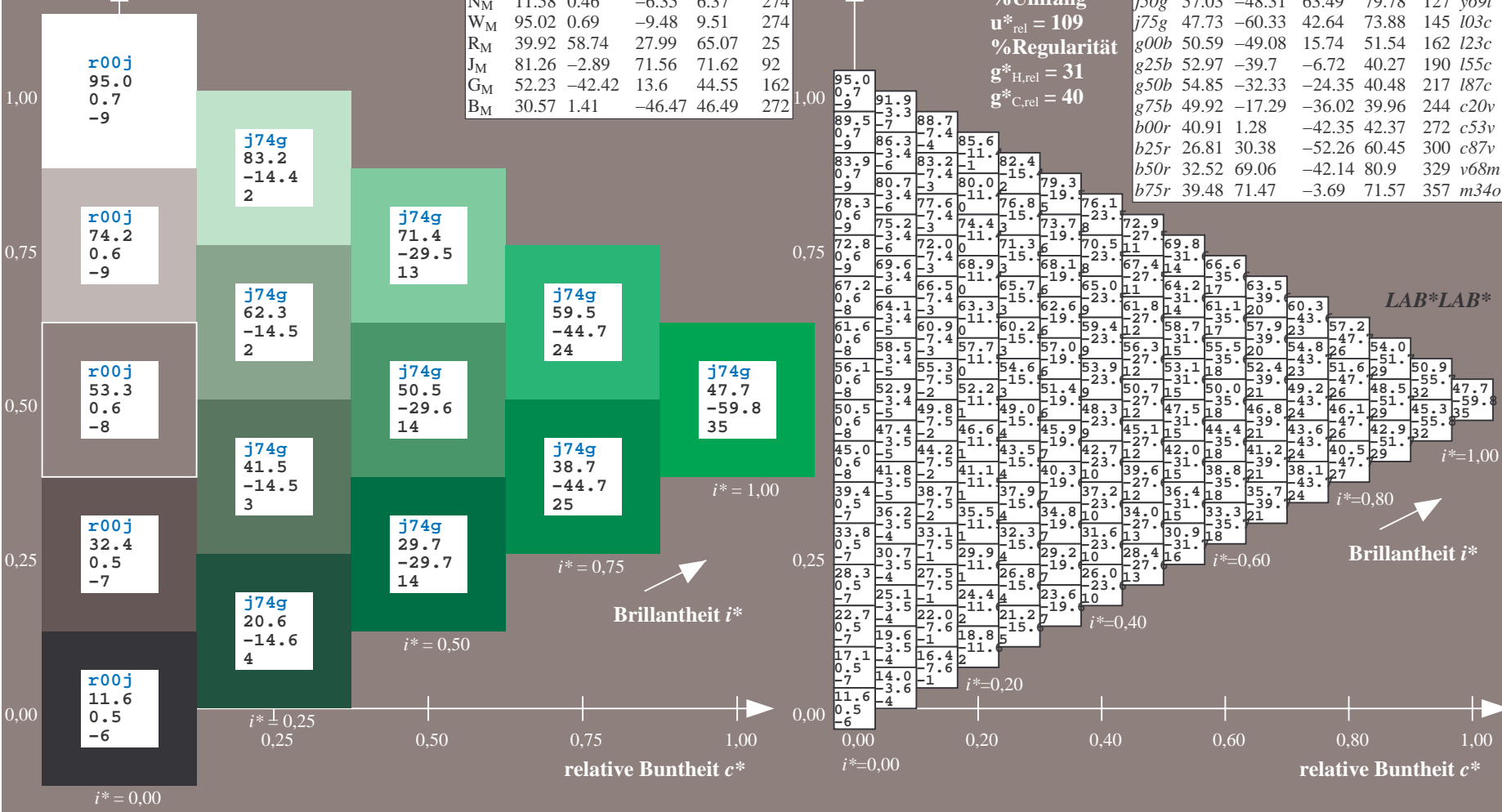
Ein und Ausgabe: Farbmetrisches Drucker-Reflektiv-System FRS12_95a, L*=12_95 für relative CIELAB-Buntton $h^* = lab^*h^* = h_{ab}/360 = 0.402$ $u^*_e = j75g$
Daten für jede Farbe: lab^*ch^* und lab^*icu^* **Daten für Maximalfarbe (Ma):**
 $LAB^*LAB^*_{Ma}: 48 -60 43$
 $LAB^*LCH^*_{Ma}: 48 74 144$
 $lab^*rgb^*_{Ma}: 0.25 1.0 0.0$
 $lab^*olv^*_{Ma}: 0.0 1.0 0.03$

Bunttontexte:
 $u^*_e = j75g$ $u^*_d = i03c$
Kontrastreduzierungsfaktor:
 $c_R = 1.0$
Dreiecks-Helligkeit i^*



FRS12_95; CIELAB-Daten						
	u^*_e	$L^*=L^*_a$	a^*	b^*	C^*_{ab}	h^*_{ab}
O _M	38.06	60.53	36.66	70.77	31	
Y _M	86.77	-4.5	100.15	100.25	93	
L _M	47.13	-62.11	40.56	74.18	147	
C _M	55.66	-28.56	-39.99	49.14	234	
V _M	17.15	50.78	-65.6	82.96	308	
M _M	40.37	79.18	-40.93	89.13	333	
N _M	11.58	0.46	-6.35	6.37	274	
W _M	95.02	0.69	-9.48	9.51	274	
R _M	39.92	58.74	27.99	65.07	25	
J _M	81.26	-2.89	71.56	71.62	92	
G _M	52.23	-42.42	13.6	44.55	162	
B _M	30.57	1.41	-46.47	46.49	272	

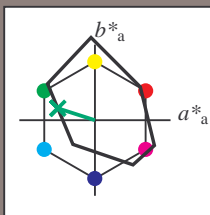
FRS12_95a; adaptierte CIELAB-Daten							
	u^*_e	$L^*=L^*_a$	a^*_a	b^*_a	$C^*_{ab,a}$	$h^*_{ab,a}$	u^*_d
r00j	38.47	63.32	30.17	70.15	25	m81o	
r25j	42.12	54.56	49.45	73.64	42	o10y	
r50j	53.64	39.15	64.89	75.79	59	o40y	
r75j	67.01	21.26	82.83	85.52	76	o69y	
j00g	86.18	-4.38	108.53	108.62	92	o98y	
j25g	69.73	-29.89	83.06	88.28	110	y34l	
j50g	57.03	-48.31	63.49	79.78	127	y69l	
j75g	47.73	-60.33	42.64	73.88	145	i03c	
g00b	50.59	-49.08	15.74	51.54	162	i23c	
g25b	52.97	-39.7	-6.72	40.27	190	i55c	
g50b	54.85	-32.33	-24.35	40.48	217	i87c	
g75b	49.92	-17.29	-36.02	39.96	244	c20v	
b00r	40.91	1.28	-42.35	42.37	272	c53v	
b25r	26.81	30.38	-52.26	60.45	300	c87v	
b50r	32.52	69.06	-42.14	80.9	329	v68m	
b75r	39.48	71.47	-3.69	71.57	357	m34o	



BAM-Registrierung: 20081001-Fg64/10L/L64g00NP.PDF/.PS BAM-Material: Code=rh4ta
 Anwendung für Beurteilung und Messung von Drucker- oder Monitorssystemen

Ein und Ausgabe: Farbmetrisches Drucker-Reflektiv-System FRS12_95a, L*=12_95 für relative CIELAB-Buntton $h^* = lab^*h^* = h_{ab}/360 = 0.451$ $u^*_e = g00b$
 Daten für jede Farbe: lab^*ch^* und lab^*icu^* **LAB*LAB***

Bunttontexte:
 $u^*_e = g00b$ $u^*_d = l23c$
 Kontrastreduzierungsfaktor:
 $c_R = 1.0$
 Dreiecks-Helligkeit i^*



FRS12_95; CIELAB-Daten

	u^*_e	$L^*=L^*$	a^*	b^*	C^*_{ab}	h^*_{ab}
O _M	38.06	60.53	36.66	70.77	31	
Y _M	86.77	-4.5	100.15	100.25	93	
L _M	47.13	-62.11	40.56	74.18	147	
C _M	55.66	-28.56	-39.99	49.14	234	
V _M	17.15	50.78	-65.6	82.96	308	
M _M	40.37	79.18	-40.93	89.13	333	
N _M	11.58	0.46	-6.35	6.37	274	
W _M	95.02	0.69	-9.48	9.51	274	
R _M	39.92	58.74	27.99	65.07	25	
J _M	81.26	-2.89	71.56	71.62	92	
G _M	52.23	-42.42	13.6	44.55	162	
B _M	30.57	1.41	-46.47	46.49	272	

Daten für Maximalfarbe (Ma):

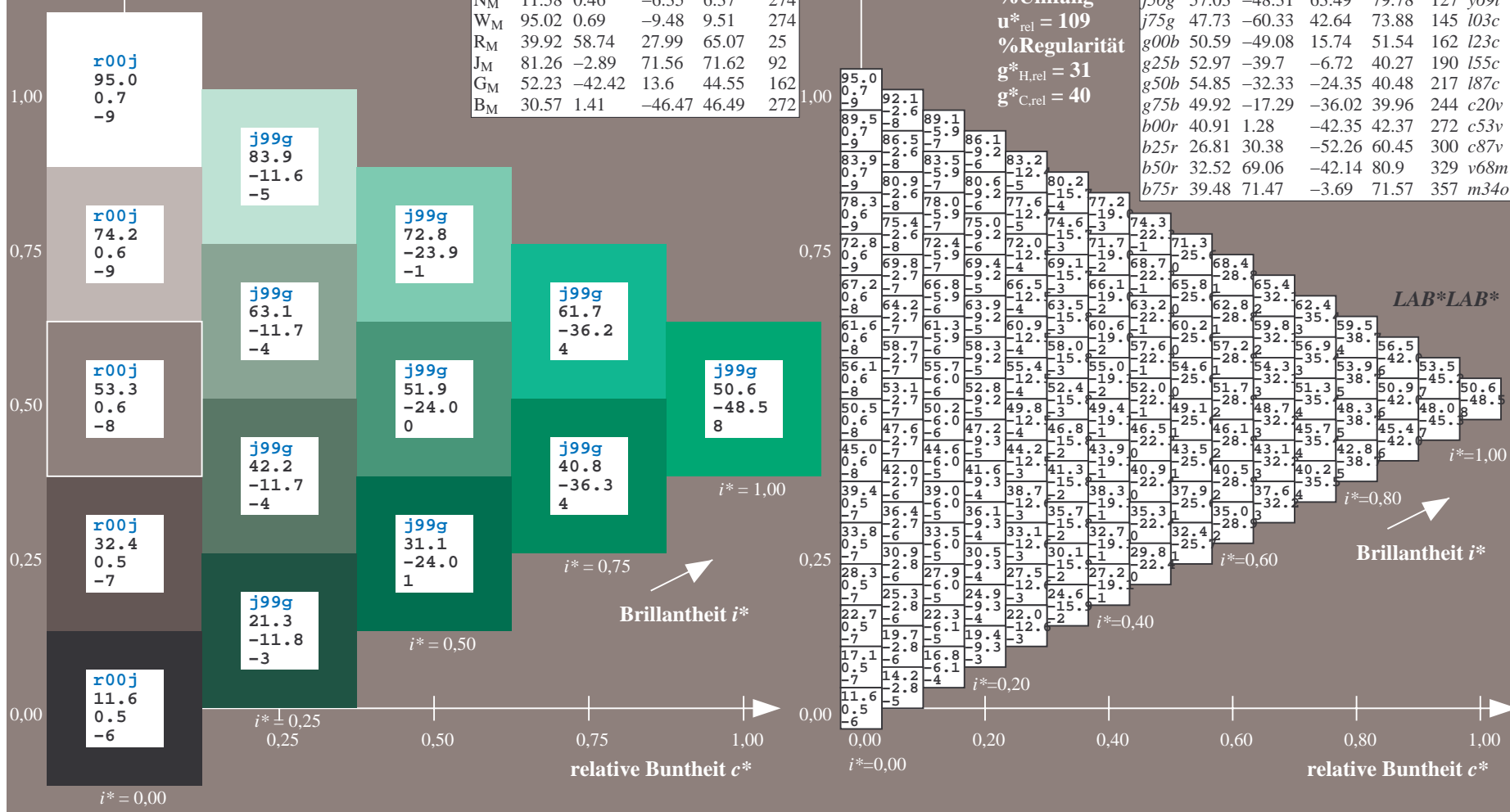
$LAB^*LAB^*_{Ma}: 51 -49 16$
 $LAB^*LCH^*_{Ma}: 51 52 162$
 $lab^*rgb^*_{Ma}: 0.0 1.0 0.0$
 $lab^*olv^*_{Ma}: 0.0 1.0 0.23$

FRS12_95a; adaptierte CIELAB-Daten

	u^*_e	$L^*=L^*_a$	a^*_a	b^*_a	$C^*_{ab,a}$	$h^*_{ab,a}$	u^*_d
r00j	38.47	63.32	30.17	70.15	25	m81o	
r25j	42.12	54.56	49.45	73.64	42	o10y	
r50j	53.64	39.15	64.89	75.79	59	o40y	
r75j	67.01	21.26	82.83	85.52	76	o69y	
j00g	86.18	-4.38	108.53	108.62	92	o98y	
j25g	69.73	-29.89	83.06	88.28	110	y34l	
j50g	57.03	-48.31	63.49	79.78	127	y69l	
j75g	47.73	-60.33	42.64	73.88	145	l03c	
g00b	50.59	-49.08	15.74	51.54	162	l23c	
g25b	52.97	-39.7	-6.72	40.27	190	l55c	
g50b	54.85	-32.33	-24.35	40.48	217	l87c	
g75b	49.92	-1.29	-36.02	39.96	244	c20v	
b00r	40.91	17.28	-42.35	42.37	272	c53v	
b25r	26.81	30.38	-52.26	60.45	300	c87v	
b50r	32.52	69.06	-42.14	80.9	329	v68m	
b75r	39.48	71.47	-3.69	71.57	357	m34o	

Dreiecks-Helligkeit i^*

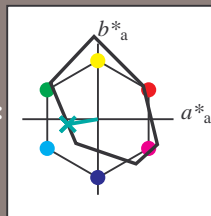
%Umfang
 $u^*_{rel} = 109$
 %Regularität
 $g^*_{H,rel} = 31$
 $g^*_{C,rel} = 40$



Siehe ähnliche Dateien: <http://www.ps.bam.de/Fg64/>; [www.ps.bam.de/Fg64/Version 2.1, io=1,1, Colspx=0](http://www.ps.bam.de/Fg64/Version%201.1,io=1,1,Colspx=0)
 Technische Information: <http://www.ps.bam.de>

BAM-Registrierung: 20081001-Fg64/10L/L64g00NP.PDF/.PS BAM-Material: Code=rhatha
 Anwendung für Beurteilung und Messung von Drucker- oder Monitorssystemen

Ein und Ausgabe: Farbmetrisches Drucker-Reflektiv-System FRS12_95a, L*=12_95 für relative CIELAB-Buntton $h^* = lab^*h^* = h_{ab}/360 = 0.527$ $u^*_e = g25b$
 Daten für jede Farbe: lab^*ch^* und lab^*icu^*
Bunttontexte: $u^*_e = g25b$ $u^*_d = l55c$
Kontrastreduzierungsfaktor: $c_R = 1.0$
Dreiecks-Helligkeit i^*



FRS12_95; CIELAB-Daten

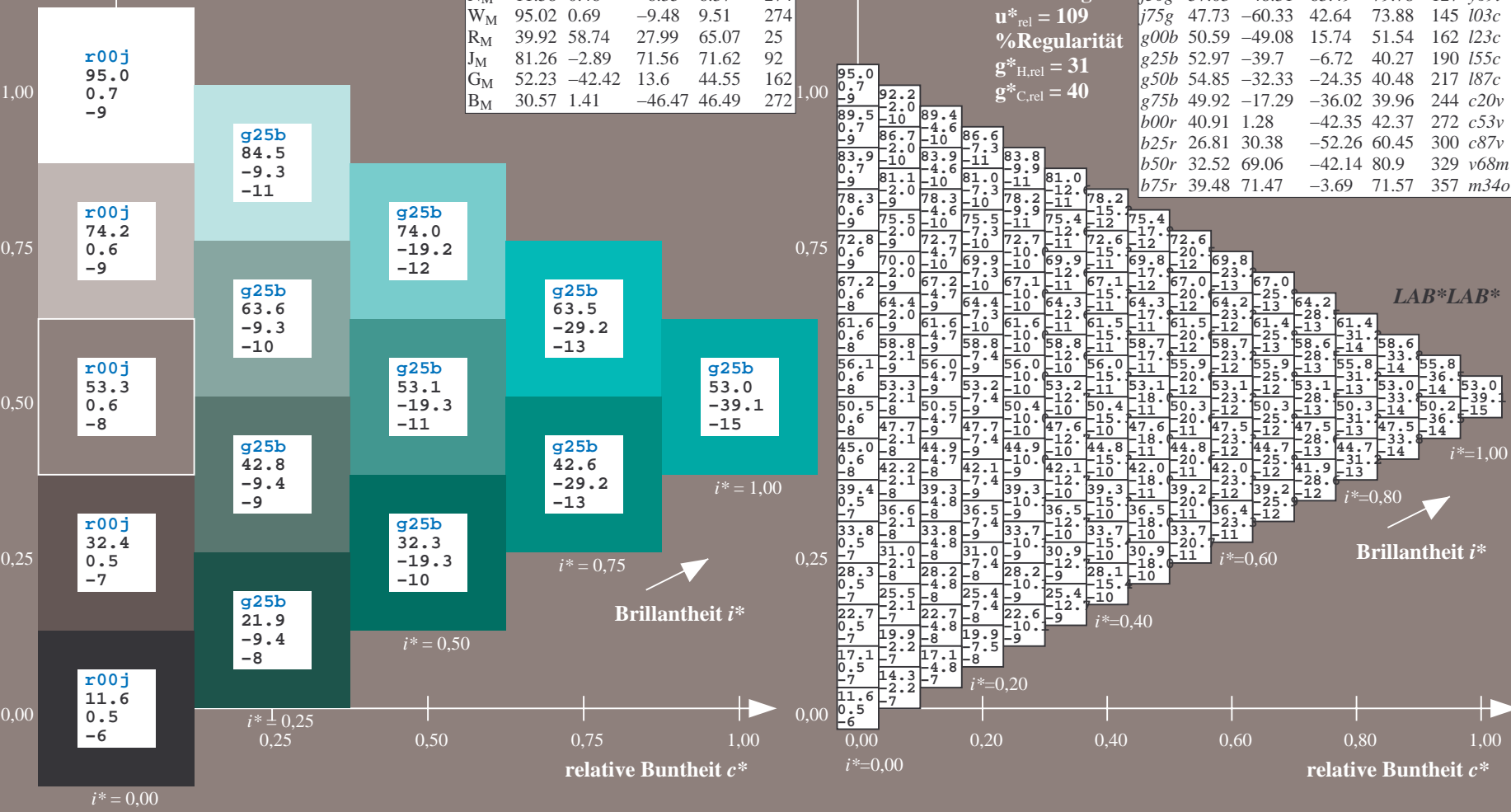
	u^*_e	$L^*=L^*$	a^*	b^*	C^*_{ab}	h^*_{ab}
O _M	38.06	60.53	36.66	70.77	31	
Y _M	86.77	-4.5	100.15	100.25	93	
L _M	47.13	-62.11	40.56	74.18	147	
C _M	55.66	-28.56	-39.99	49.14	234	
V _M	17.15	50.78	-65.6	82.96	308	
M _M	40.37	79.18	-40.93	89.13	333	
N _M	11.58	0.46	-6.35	6.37	274	
W _M	95.02	0.69	-9.48	9.51	274	
R _M	39.92	58.74	27.99	65.07	25	
J _M	81.26	-2.89	71.56	71.62	92	
G _M	52.23	-42.42	13.6	44.55	162	
B _M	30.57	1.41	-46.47	46.49	272	

Daten für Maximalfarbe (Ma):
 $LAB^*LAB^*_{Ma}: 53 -40 -7$
 $LAB^*LCH^*_{Ma}: 53 40 189$
 $lab^*rgb^*_{Ma}: 0.0 1.0 0.5$
 $lab^*olv^*_{Ma}: 0.0 1.0 0.55$

FRS12_95a; adaptierte CIELAB-Daten

	u^*_e	$L^*=L^*_a$	a^*_a	b^*_a	$C^*_{ab,a}$	$h^*_{ab,a}$	u^*_d
r00j	38.47	63.32	30.17	70.15	25	m81o	
r25j	42.12	54.56	49.45	73.64	42	o10y	
r50j	53.64	39.15	64.89	75.79	59	o40y	
r75j	67.01	21.26	82.83	85.52	76	o69y	
j00g	86.18	-4.38	108.53	108.62	92	o98y	
j25g	69.73	-29.89	83.06	88.28	110	y34l	
j50g	57.03	-48.31	63.49	79.78	127	y69l	
j75g	47.73	-60.33	42.64	73.88	145	l03c	
g00b	50.59	-49.08	15.74	51.54	162	l23c	
g25b	52.97	-39.7	-6.72	40.27	190	l55c	
g50b	54.85	-32.33	-24.35	40.48	217	l87c	
g75b	49.92	-17.29	-36.02	39.96	244	c20v	
b00r	40.91	1.28	-42.35	42.37	272	c53v	
b25r	26.81	30.38	-52.26	60.45	300	c87v	
b50r	32.52	69.06	-42.14	80.9	329	v68m	
b75r	39.48	71.47	-3.69	71.57	357	m34o	

Dreiecks-Helligkeit i^*
 %Umfang $u^*_{rel} = 109$
 %Regularität $g^*_{H,rel} = 31$
 $g^*_{C,rel} = 40$



Siehe ähnliche Dateien: <http://www.ps.bam.de/Fg64/>; www.ps.bam.de/Fg.HTM
 Technische Information: <http://www.ps.bam.de/Version.2.1,io=1,1,Colspx=0>

BAM-Registrierung: 20081001-Fg64/10L/L64g00NP.PDF/.PS BAM-Material: Code=rhatha
 Anwendung für Beurteilung und Messung von Drucker- oder Monitorssystemen

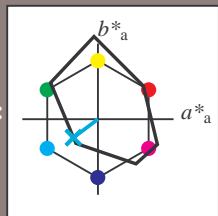
Ein und Ausgabe: Farbmetrisches Drucker-Reflektiv-System FRS12_95a, L*=12_95 für relativen CIELAB-Buntton $h^* = lab^*h^* = h_{ab}/360 = 0.603$ $u^*_e = g50b$

Daten für jede Farbe:
 lab^*ch^* und lab^*icu^*

Bunttontexte:
 $u^*_e = g50b$ $u^*_d = l87c$

Kontrastreduzierungsfaktor:
 $c_R = 1.0$

Dreiecks-Helligkeit i^*



FRS12_95; CIELAB-Daten						
	u^*_e	$L^*=L^*$	a^*	b^*	C^*_{ab}	h^*_{ab}
O _M	38.06	60.53	36.66	70.77	31	
Y _M	86.77	-4.5	100.15	100.25	93	
L _M	47.13	-62.11	40.56	74.18	147	
C _M	55.66	-28.56	-39.99	49.14	234	
V _M	17.15	50.78	-65.6	82.96	308	
M _M	40.37	79.18	-40.93	89.13	333	
N _M	11.58	0.46	-6.35	6.37	274	
W _M	95.02	0.69	-9.48	9.51	274	
R _M	39.92	58.74	27.99	65.07	25	
J _M	81.26	-2.89	71.56	71.62	92	
G _M	52.23	-42.42	13.6	44.55	162	
B _M	30.57	1.41	-46.47	46.49	272	

Daten für Maximalfarbe (Ma):

$LAB^*LAB^*_Ma: 55 -32 -24$

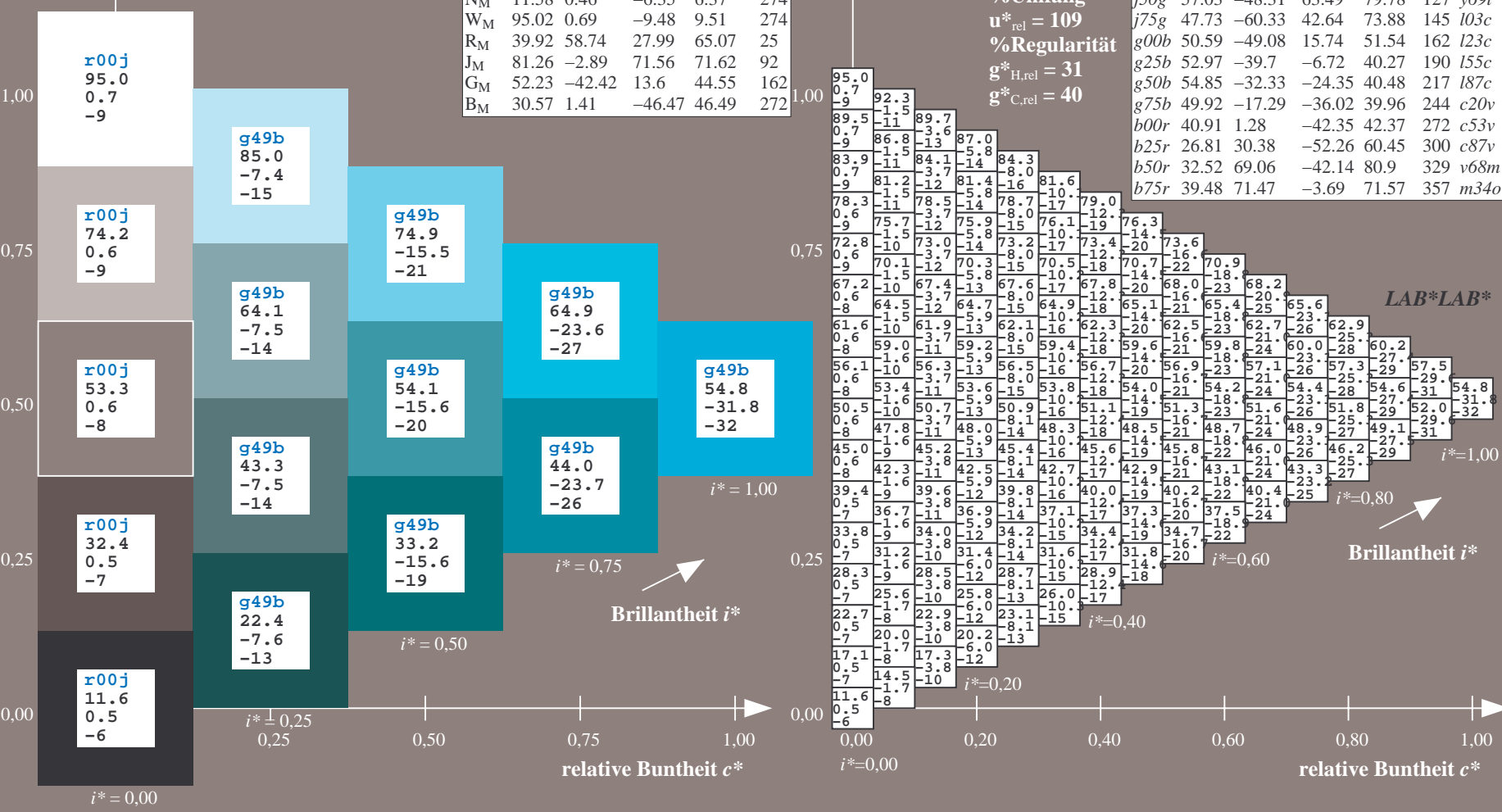
$LAB^*LCH^*_Ma: 55 40 216$

$lab^*rgb^*_Ma: 0.0 1.0 1.0$

$lab^*olv^*_Ma: 0.0 1.0 0.87$

Dreiecks-Helligkeit i^*

FRS12_95a; adaptierte CIELAB-Daten									
	u^*_e	$L^*=L^*_a$	a^*_a	b^*_a	$C^*_{ab,a}$	$h^*_{ab,a}$	u^*_d		
r00j	38.47	63.32	30.17	70.15	25	m81o			
r25j	42.12	54.56	49.45	73.64	42	o10y			
r50j	53.64	39.15	64.89	75.79	59	o40y			
r75j	67.01	21.26	82.83	85.52	76	o69y			
j00g	86.18	-4.38	108.53	108.62	92	o98y			
j25g	69.73	-29.89	83.06	88.28	110	y34l			
j50g	57.03	-48.31	63.49	79.78	127	y34l			
j75g	47.73	-60.33	42.64	73.88	145	l03c			
g00b	50.59	-49.08	15.74	51.54	162	l23c			
g25b	52.97	-39.7	-6.72	40.27	190	l55c			
g50b	54.85	-32.33	-24.35	40.48	217	l87c			
g75b	49.92	-17.29	-36.02	39.96	244	c20v			
b00r	40.91	1.28	-42.35	42.37	272	c53v			
b25r	26.81	30.38	-52.26	60.45	300	c87v			
b50r	32.52	69.06	-42.14	80.9	329	v68m			
b75r	39.48	71.47	-3.69	71.57	357	m34o			



Siehe ähnliche Dateien: <http://www.ps.bam.de/Fg64/>; [www.ps.bam.de/Version 2.1, io=1,1, ColSpx=0](http://www.ps.bam.de/Fg64/Version 2.1, io=1,1, ColSpx=0)
 Technische Information: <http://www.ps.bam.de/Version 2.1, io=1,1, ColSpx=0>

BAM-Registrierung: 20081001-Fg64/10L/L64g00NP.PDF/.PS BAM-Material: Code=rhatha
 Anwendung für Beurteilung und Messung von Drucker- oder Monitorssystemen

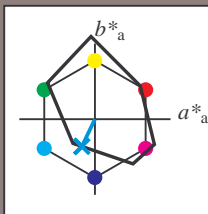
Ein und Ausgabe: Farbmetrisches Drucker-Reflektiv-System FRS12_95a, L*=12_95 für relative CIELAB-Buntton $h^* = lab^*h^* = h_{ab}/360 = 0.679$ $u^*_e = g75b$

Daten für jede Farbe: lab^*ch^* und lab^*icu^*

Bunttontexte: $u^*_e = g75b$ $u^*_d = c20v$

Kontrastreduzierungsfaktor: $c_R = 1.0$

Dreiecks-Helligkeit i^*



FRS12_95; CIELAB-Daten

	u^*_e	$L^*=L^*$	a^*	b^*	C^*_{ab}	h^*_{ab}
O _M	38.06	60.53	36.66	70.77	31	
Y _M	86.77	-4.5	100.15	100.25	93	
L _M	47.13	-62.11	40.56	74.18	147	
C _M	55.66	-28.56	-39.99	49.14	234	
V _M	17.15	50.78	-65.6	82.96	308	
M _M	40.37	79.18	-40.93	89.13	333	
N _M	11.58	0.46	-6.35	6.37	274	
W _M	95.02	0.69	-9.48	9.51	274	
R _M	39.92	58.74	27.99	65.07	25	
J _M	81.26	-2.89	71.56	71.62	92	
G _M	52.23	-42.42	13.6	44.55	162	
B _M	30.57	1.41	-46.47	46.49	272	

Daten für Maximalfarbe (Ma):

$LAB^*LAB^*_{Ma}: 50 -17 -36$

$LAB^*LCH^*_{Ma}: 50 40 244$

$lab^*rgb^*_{Ma}: 0.0 0.5 1.0$

$lab^*olv^*_{Ma}: 0.0 0.8 1.0$

Dreiecks-Helligkeit i^*

%Umfang

$u^*_{rel} = 109$

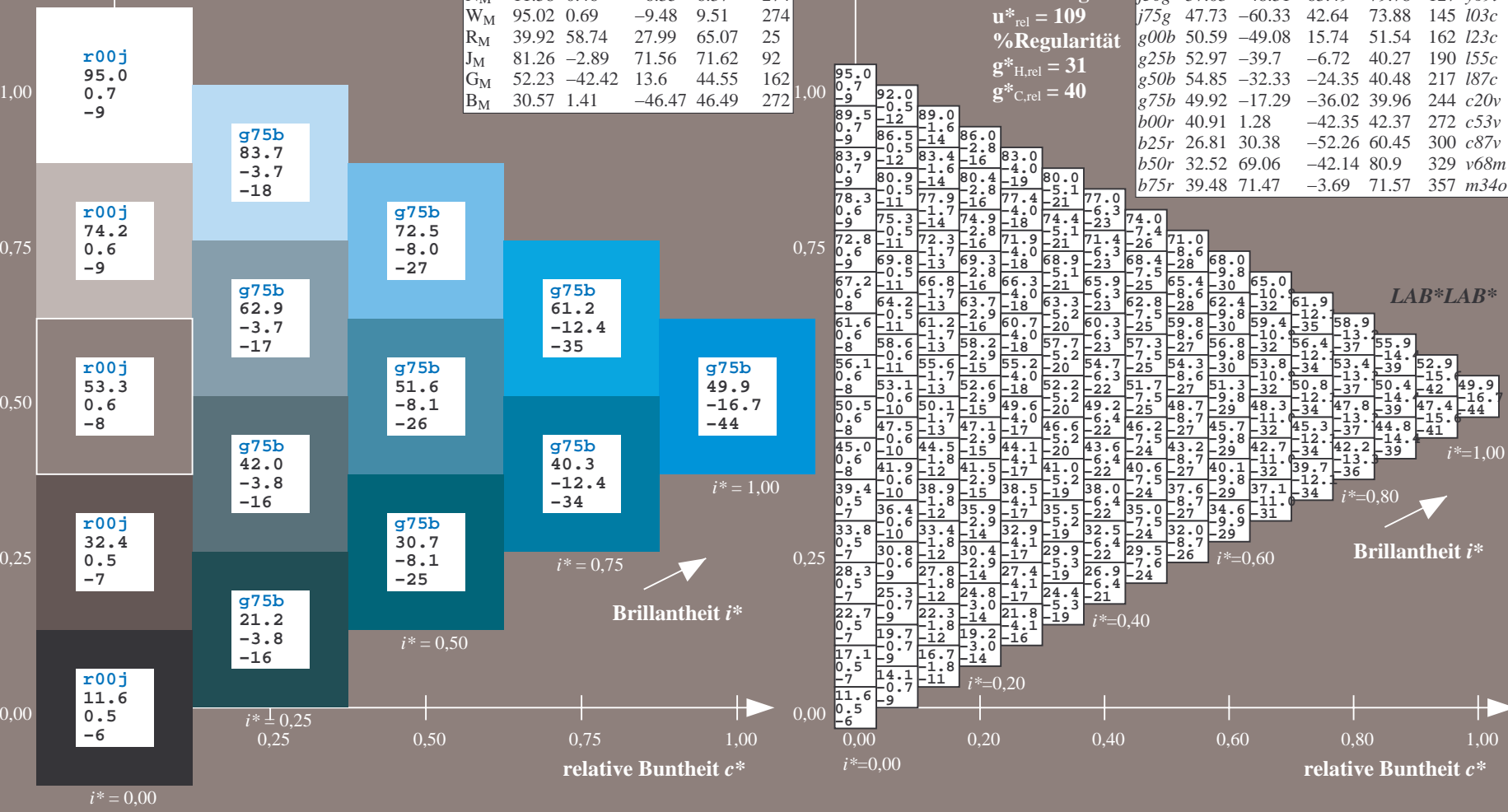
%Regularität

$g^*_{H,rel} = 31$

$g^*_{C,rel} = 40$

FRS12_95a; adaptierte CIELAB-Daten

	u^*_e	$L^*=L^*_a$	a^*_a	b^*_a	$C^*_{ab,a}$	$h^*_{ab,a}$	u^*_d
r00j	38.47	63.32	30.17	70.15	25	m81o	
r25j	42.12	54.56	49.45	73.64	42	o10y	
r50j	53.64	39.15	64.89	75.79	59	o40y	
r75j	67.01	21.26	82.83	85.52	76	o69y	
j00g	86.18	-4.38	108.53	108.62	92	o98y	
j25g	69.73	-29.89	83.06	88.28	110	y34l	
j50g	57.03	-48.31	63.49	79.78	127	y69l	
j75g	47.73	-60.33	42.64	73.88	145	l03c	
g00b	50.59	-49.08	15.74	51.54	162	l23c	
g25b	52.97	-39.7	-6.72	40.27	190	l55c	
g50b	54.85	-32.33	-24.35	40.48	217	l87c	
g75b	49.92	-17.29	-36.02	39.96	244	c20v	
b00r	40.91	1.28	-42.35	42.37	272	c53v	
b25r	26.81	30.38	-52.26	60.45	300	c87v	
b50r	32.52	69.06	-42.14	80.9	329	v68m	
b75r	39.48	71.47	-3.69	71.57	357	m34o	



Ein und Ausgabe: Farbmetrisches Drucker-Reflektiv-System FRS12_95a, L*=12_95 für relative CIELAB-Buntton $h^* = lab^*h^* = h_{ab}/360 = 0.755$ $u^*_e = b00r$

Daten für jede Farbe:

lab^*ch^* und lab^*icu^*

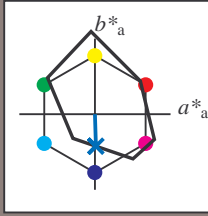
Bunttontexte:

$u^*_e = b00r$ $u^*_d = c53v$

Kontrastreduzierungsfaktor:

$c_R = 1.0$

Dreiecks-Helligkeit i^*



FRS12_95; CIELAB-Daten

	u^*_e	$L^*=L^*$	a^*	b^*	C^*_{ab}	h^*_{ab}
O _M	38.06	60.53	36.66	70.77	31	
Y _M	86.77	-4.5	100.15	100.25	93	
L _M	47.13	-62.11	40.56	74.18	147	
C _M	55.66	-28.56	-39.99	49.14	234	
V _M	17.15	50.78	-65.6	82.96	308	
M _M	40.37	79.18	-40.93	89.13	333	
N _M	11.58	0.46	-6.35	6.37	274	
W _M	95.02	0.69	-9.48	9.51	274	
R _M	39.92	58.74	27.99	65.07	25	
J _M	81.26	-2.89	71.56	71.62	92	
G _M	52.23	-42.42	13.6	44.55	162	
B _M	30.57	1.41	-46.47	46.49	272	

Daten für Maximalfarbe (Ma):

$LAB^*LAB^*_{Ma}$: 41 1 -42

$LAB^*LCH^*_{Ma}$: 41 42 271

$lab^*rgb^*_{Ma}$: 0.0 0.0 1.0

$lab^*olv^*_{Ma}$: 0.0 0.47 1.0

Dreiecks-Helligkeit i^*

%Umfang

$u^*_{rel} = 109$

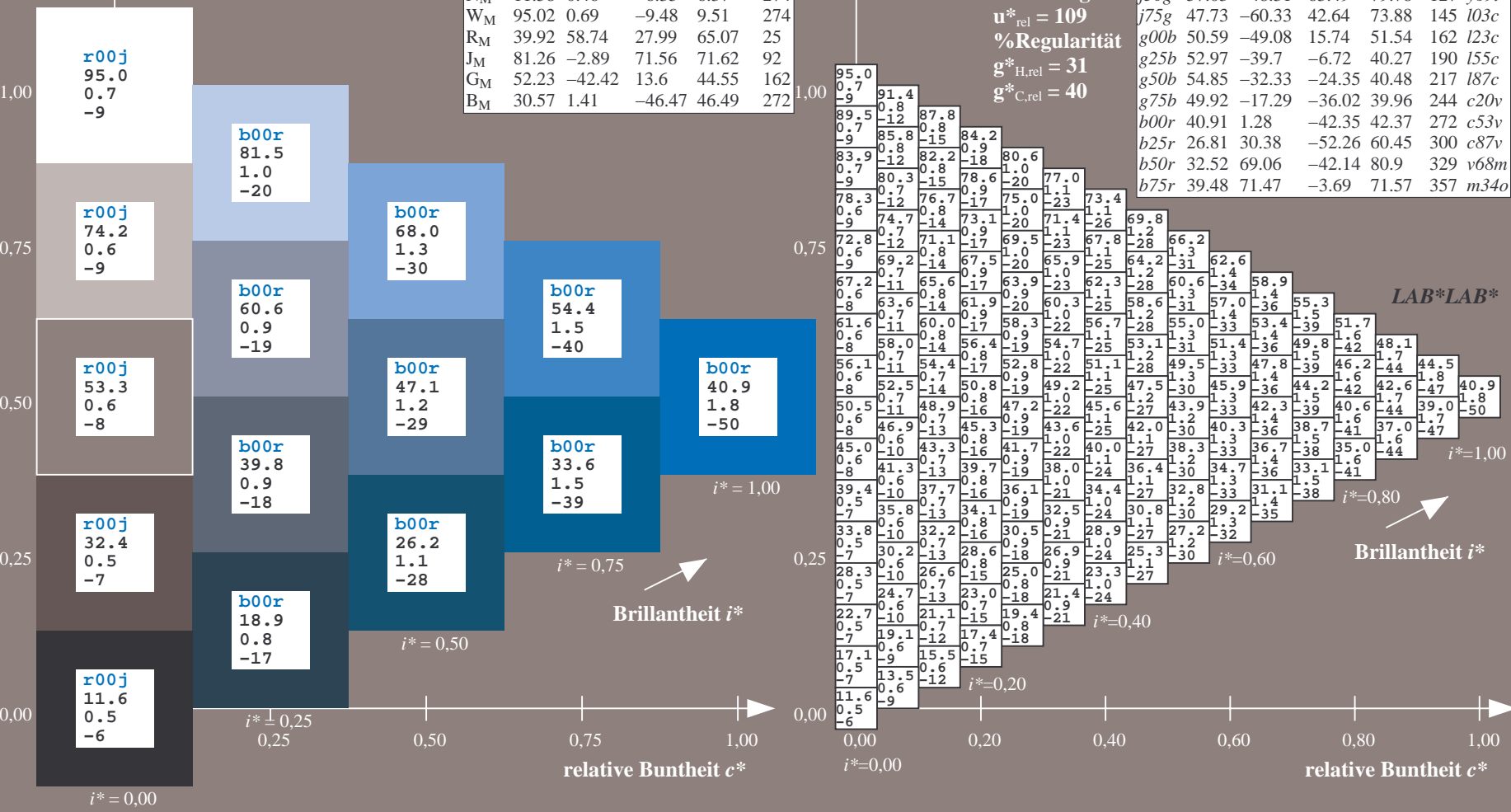
%Regularität

$g^*_{H,rel} = 31$

$g^*_{C,rel} = 40$

FRS12_95a; adaptierte CIELAB-Daten

	u^*_e	$L^*=L^*_a$	a^*_a	b^*_a	$C^*_{ab,a}$	$h^*_{ab,a}$	u^*_d
r00j	38.47	63.32	30.17	70.15	25	m81o	
r25j	42.12	54.56	49.45	73.64	42	o10y	
r50j	53.64	39.15	64.89	75.79	59	o40y	
r75j	67.01	21.26	82.83	85.52	76	o69y	
j00g	86.18	-4.38	108.53	108.62	92	o98y	
j25g	69.73	-29.89	83.06	88.28	110	y34l	
j50g	57.03	-48.31	63.49	79.78	127	y69l	
j75g	47.73	-60.33	42.64	73.88	145	l03c	
g00b	50.59	-49.08	15.74	51.54	162	l23c	
g25b	52.97	-39.7	-6.72	40.27	190	l55c	
g50b	54.85	-32.33	-24.35	40.48	217	l87c	
g75b	49.92	-17.29	-36.02	39.96	244	c20c	
b00r	40.91	1.28	-42.35	42.37	272	c53v	
b25r	26.81	30.38	-52.26	60.45	300	c87v	
b50r	32.52	69.06	-42.14	80.9	329	v68m	
b75r	39.48	71.47	-3.69	71.57	357	m34o	



Siehe ähnliche Dateien: <http://www.ps.bam.de/Fg64/>; [www.ps.bam.de/Version 2.1, io=1,1, Colspx=0](http://www.ps.bam.de/Version2.1,io=1,1,Colspx=0)
Technische Information: <http://www.ps.bam.de>

BAM-Registrierung: 20081001-Fg64/10L/L64g00NP.PDF/.PS BAM-Material: Code=rhatha
Anwendung für Beurteilung und Messung von Drucker- oder Monitorssystemen

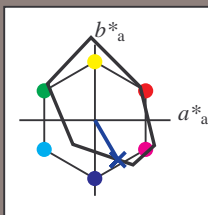
Ein und Ausgabe: Farbmetrisches Drucker-Reflektiv-System FRS12_95a, L*=12_95 für relative CIELAB-Buntton $h^* = lab^*h^* = h_{ab}/360 = 0.834$ $u^*_e = b25r$

Daten für jede Farbe:
 lab^*ch^* und lab^*icu^*

Bunttontexte:
 $u^*_e = b25r$ $u^*_d = c87v$

Kontrastreduzierungsfaktor:
 $c_R = 1.0$

Dreiecks-Helligkeit i^*



FRS12_95; CIELAB-Daten						
	u^*_e	$L^*=L^*$	a^*	b^*	C^*_{ab}	h^*_{ab}
O _M	38.06	60.53	36.66	70.77	31	
Y _M	86.77	-4.5	100.15	100.25	93	
L _M	47.13	-62.11	40.56	74.18	147	
C _M	55.66	-28.56	-39.99	49.14	234	
V _M	17.15	50.78	-65.6	82.96	308	
M _M	40.37	79.18	-40.93	89.13	333	
N _M	11.58	0.46	-6.35	6.37	274	
W _M	95.02	0.69	-9.48	9.51	274	
R _M	39.92	58.74	27.99	65.07	25	
J _M	81.26	-2.89	71.56	71.62	92	
G _M	52.23	-42.42	13.6	44.55	162	
B _M	30.57	1.41	-46.47	46.49	272	

Daten für Maximalfarbe (Ma):

$LAB^*LAB^*_{Ma}: 27\ 30\ -52$

$LAB^*LCH^*_{Ma}: 27\ 60\ 300$

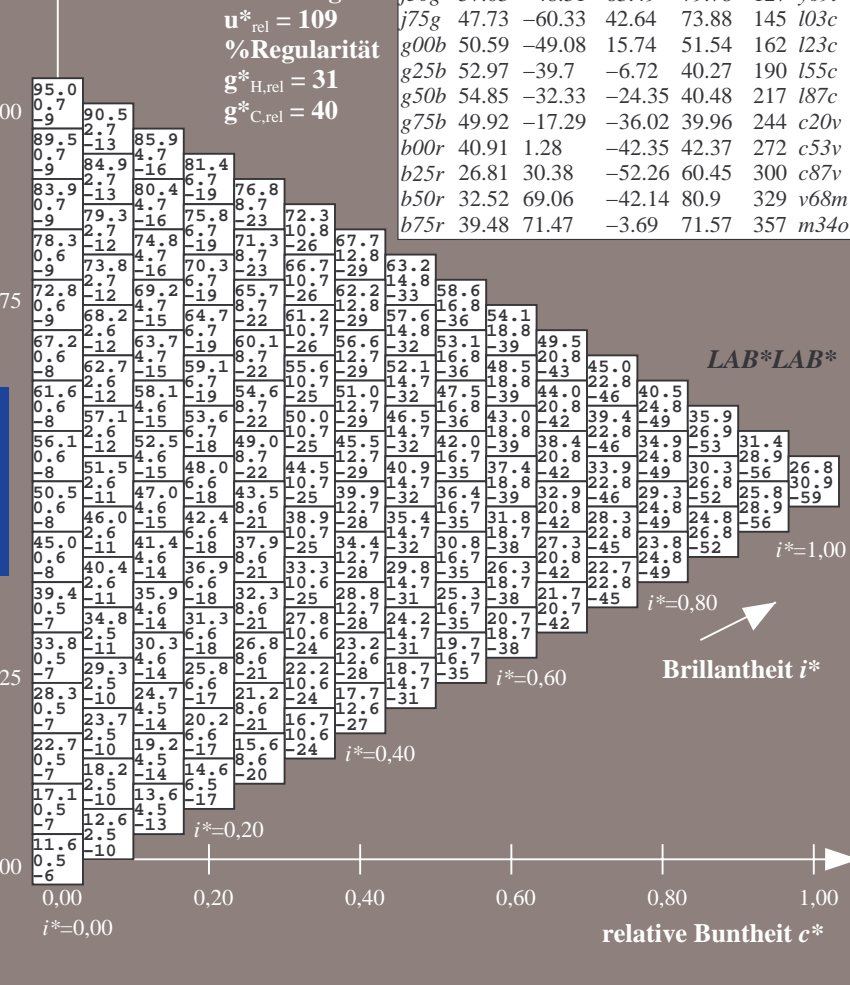
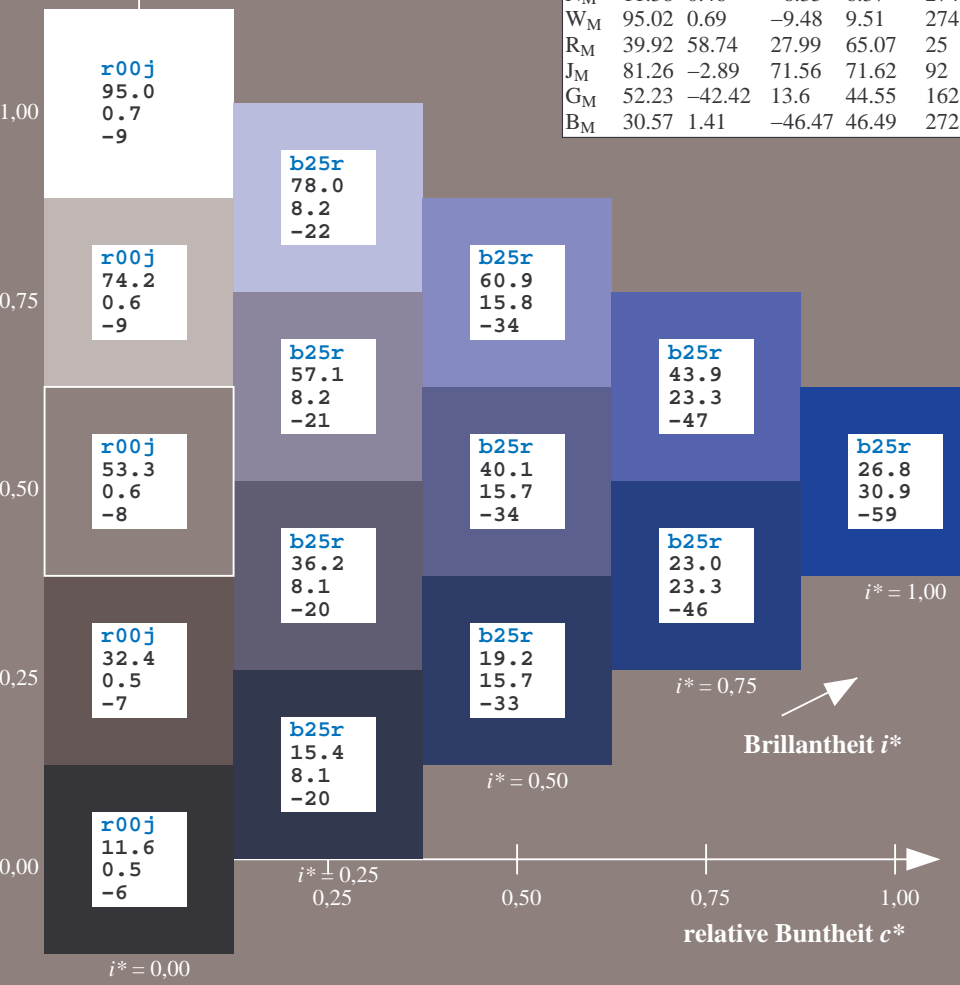
$lab^*rgb^*_{Ma}: 0.5\ 0.0\ 1.0$

$lab^*olv^*_{Ma}: 0.0\ 0.12\ 1.0$

Dreiecks-Helligkeit i^*

%Umfang
 $u^*_{rel} = 109$
 %Regularität
 $g^*_{H,rel} = 31$
 $g^*_{C,rel} = 40$

FRS12_95a; adaptierte CIELAB-Daten								
	u^*_e	$L^*=L^*_a$	a^*_a	b^*_a	$C^*_{ab,a}$	$h^*_{ab,a}$	u^*_d	
r00j	38.47	63.32	30.17	70.15	25	m81o		
r25j	42.12	54.56	49.45	73.64	42	o10y		
r50j	53.64	39.15	64.89	75.79	59	o40y		
r75j	67.01	21.26	82.83	85.52	76	o69y		
j00g	86.18	-4.38	108.53	108.62	92	o98y		
j25g	69.73	-29.89	83.06	88.28	110	y34l		
j50g	57.03	-48.31	63.49	79.78	127	y34l		
j75g	47.73	-60.33	42.64	73.88	145	l03c		
g00b	50.59	-49.08	15.74	51.54	162	l23c		
g25b	52.97	-39.7	-6.72	40.27	190	l55c		
g50b	54.85	-32.33	-24.35	40.48	217	l87c		
g75b	49.92	-17.29	-36.02	39.96	244	c20v		
b00r	40.91	1.28	-42.35	42.37	272	c53v		
b25r	26.81	30.38	-52.26	60.45	300	c87v		
b50r	32.52	69.06	-42.14	80.9	329	v68m		
b75r	39.48	71.47	-3.69	71.57	357	m34o		



BAM-Registrierung: 20081001-Fg64/10L/L64g00NP.PDF/.PS BAM-Material: Code=rhatha
 Anwendung für Beurteilung und Messung von Drucker- oder Monitorssystemen

Ein und Ausgabe: Farbmetrisches Drucker-Reflektiv-System FRS12_95a, L*=12_95 für relative CIELAB-Buntton $h^* = lab^*h^* = h_{ab}/360 = 0.913$ $u^*_e = b50r$

Daten für jede Farbe:

lab^*ch^* und lab^*icu^*

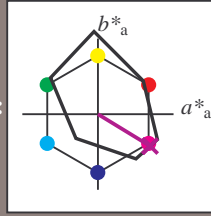
Bunttontexte:

$u^*_e = b50r$ $u^*_d = v68m$

Kontrastreduzierungsfaktor:

$c_R = 1.0$

Dreiecks-Helligkeit i^*



FRS12_95; CIELAB-Daten						
	u^*_e	$L^*=L^*_a$	a^*	b^*	C^*_{ab}	h^*_{ab}
O _M	38.06	60.53	36.66	70.77	31	
Y _M	86.77	-4.5	100.15	100.25	93	
L _M	47.13	-62.11	40.56	74.18	147	
C _M	55.66	-28.56	-39.99	49.14	234	
V _M	17.15	50.78	-65.6	82.96	308	
M _M	40.37	79.18	-40.93	89.13	333	
N _M	11.58	0.46	-6.35	6.37	274	
W _M	95.02	0.69	-9.48	9.51	274	
R _M	39.92	58.74	27.99	65.07	25	
J _M	81.26	-2.89	71.56	71.62	92	
G _M	52.23	-42.42	13.6	44.55	162	
B _M	30.57	1.41	-46.47	46.49	272	

Daten für Maximalfarbe (Ma):

$LAB^*LAB^*_Ma: 33\ 69\ -42$

$LAB^*LCH^*_Ma: 33\ 81\ 328$

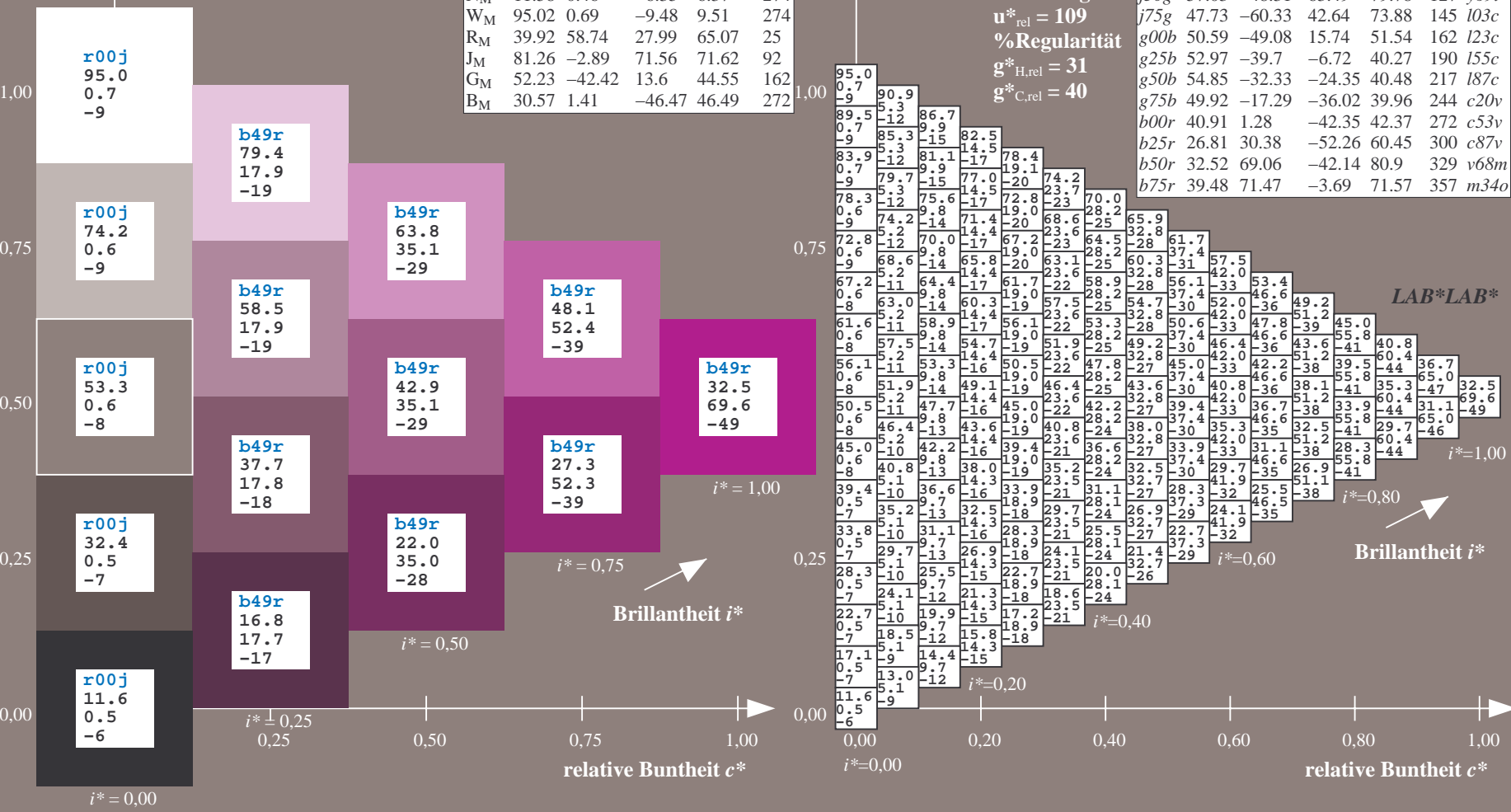
$lab^*rgb^*_Ma: 1.0\ 0.0\ 1.0$

$lab^*olv^*_Ma: 0.69\ 0.0\ 1.0$

Dreiecks-Helligkeit i^*

%Umfang
 $u^*_{rel} = 109$
 %Regularität
 $g^*_{H,rel} = 31$
 $g^*_{C,rel} = 40$

FRS12_95a; adaptierte CIELAB-Daten									
	u^*_e	$L^*=L^*_a$	a^*_a	b^*_a	$C^*_{ab,a}$	$h^*_{ab,a}$	u^*_d		
r00j	38.47	63.32	30.17	70.15	25	m81o			
r25j	42.12	54.56	49.45	73.64	42	o10y			
r50j	53.64	39.15	64.89	75.79	59	o40y			
r75j	67.01	21.26	82.83	85.52	76	o69y			
j00g	86.18	-4.38	108.53	108.62	92	o98y			
j25g	69.73	-29.89	83.06	88.28	110	y34l			
j50g	57.03	-48.31	63.49	79.78	127	y69l			
j75g	47.73	-60.33	42.64	73.88	145	l03c			
g00b	50.59	-49.08	15.74	51.54	162	l23c			
g25b	52.97	-39.7	-6.72	40.27	190	l55c			
g50b	54.85	-32.33	-24.35	40.48	217	l87c			
g75b	49.92	-17.29	-36.02	39.96	244	c20c			
b00r	40.91	1.28	-42.35	42.37	272	c53v			
b25r	26.81	30.38	-52.26	60.45	300	c87v			
b50r	32.52	69.06	-42.14	80.9	329	v68m			
b75r	39.48	71.47	-3.69	71.57	357	m34o			



BAM-Registrierung: 20081001-Fg64/10L/L64g00NP.PDF/.PS BAM-Material: Code=rhata
 Anwendung für Beurteilung und Messung von Drucker- oder Monitorssystemen

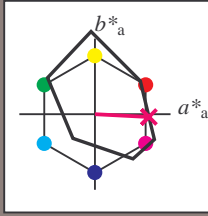
Ein und Ausgabe: Farbmetrisches Drucker-Reflektiv-System FRS12_95a, L*=12_95 für relativen CIELAB-Buntton $h^* = lab^*h^* = h_{ab}/360 = 0.992$ $u^*_e = b75r$

Daten für jede Farbe: lab^*ch^* und lab^*icu^*

Bunttontexte: $u^*_e = b75r$ $u^*_d = m34o$

Kontrastreduzierungsfaktor: $c_R = 1.0$

Dreiecks-Helligkeit i^*



FRS12_95; CIELAB-Daten						
	u^*_e	$L^*=L^*_a$	a^*	b^*	C^*_{ab}	h^*_{ab}
O _M	38.06	60.53	36.66	70.77	31	
Y _M	86.77	-4.5	100.15	100.25	93	
L _M	47.13	-62.11	40.56	74.18	147	
C _M	55.66	-28.56	-39.99	49.14	234	
V _M	17.15	50.78	-65.6	82.96	308	
M _M	40.37	79.18	-40.93	89.13	333	
N _M	11.58	0.46	-6.35	6.37	274	
W _M	95.02	0.69	-9.48	9.51	274	
R _M	39.92	58.74	27.99	65.07	25	
J _M	81.26	-2.89	71.56	71.62	92	
G _M	52.23	-42.42	13.6	44.55	162	
B _M	30.57	1.41	-46.47	46.49	272	

Daten für Maximalfarbe (Ma):

$LAB^*LAB^*_Ma: 39\ 71\ -4$

$LAB^*LCH^*_Ma: 39\ 72\ 357$

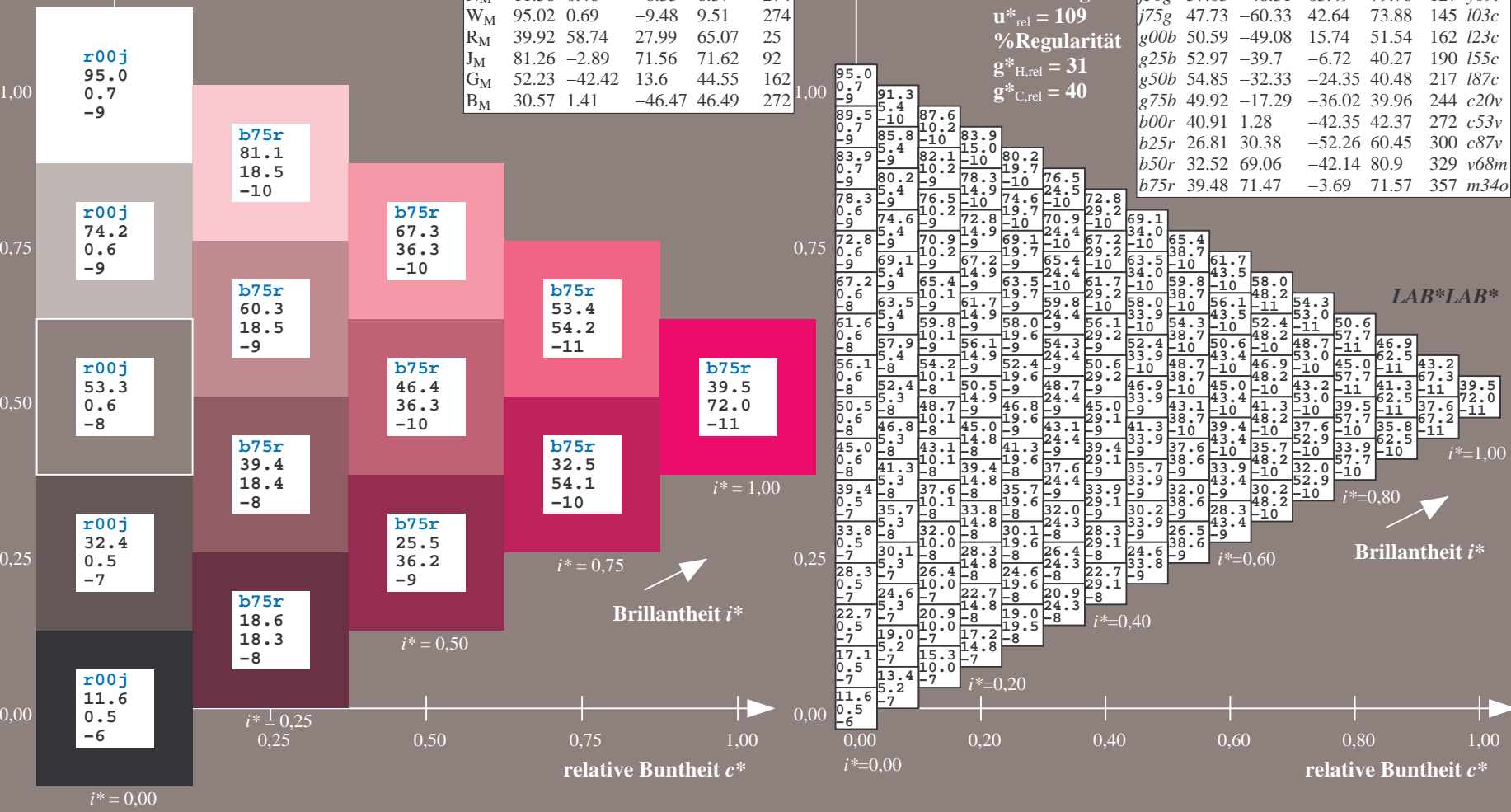
$lab^*rgb^*_Ma: 1.0\ 0.0\ 0.5$

$lab^*olv^*_Ma: 1.0\ 0.0\ 0.66$

Dreiecks-Helligkeit i^*

%Umfang
 $u^*_{rel} = 109$
 %Regularität
 $g^*_{H,rel} = 31$
 $g^*_{C,rel} = 40$

FRS12_95a; adaptierte CIELAB-Daten									
	u^*_e	$L^*=L^*_a$	a^*_a	b^*_a	$C^*_{ab,a}$	$h^*_{ab,a}$	u^*_d		
r00j	38.47	63.32	30.17	70.15	25	m81o			
r25j	42.12	54.56	49.45	73.64	42	o10y			
r50j	53.64	39.15	64.89	75.79	59	o40y			
r75j	67.01	21.26	82.83	85.52	76	o69y			
j00g	86.18	-4.38	108.53	108.62	92	o98y			
j25g	69.73	-29.89	83.06	88.28	110	y34l			
j50g	57.03	-48.31	63.49	79.78	127	y69l			
j75g	47.73	-60.33	42.64	73.88	145	l03c			
g00b	50.59	-49.08	15.74	51.54	162	l23c			
g25b	52.97	-39.7	-6.72	40.27	190	l55c			
g50b	54.85	-32.33	-24.35	40.48	217	l87c			
g75b	49.92	-17.29	-36.02	39.96	244	c20v			
b00r	40.91	1.28	-42.35	42.37	272	c53v			
b25r	26.81	30.38	-52.26	60.45	300	c87v			
b50r	32.52	69.06	-42.14	80.9	329	v68m			
b75r	39.48	71.47	-3.69	71.57	357	m34o			



BAM-Registrierung: 20081001-Fg64/10L/L64g00NP.PDF/.PS BAM-Material: Code=rh4ta
 Anwendung für Beurteilung und Messung von Drucker- oder Monitorssystemen

N: Keine Ausgabe-Linearisierung (OL) in Datei (F), Startup (S), Gerät (D)

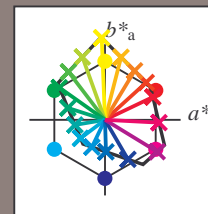
Siehe ähnliche Dateien: <http://www.ps.bam.de/Fg64/>; www.ps.bam.de/Fg64/10L/L64g00NP.PDF/; [www.ps.bam.de/Version 2.1, io=1,1, Colspx=0](http://www.ps.bam.de/Version%202.1,%20io=1,1,Colspx=0)
Technische Information: <http://www.ps.bam.de>

BAM-Registrierung: 20081001-Fg64/10L/L64g00NP.PDF/.PS BAM-Material: Code=th4ta
Anwendung für Beurteilung und Messung von Drucker- oder Monitorsystemen

Table with columns A through LAB*LAB* and rows 01 through 27. The table contains a grid of numerical data used for printer calibration.

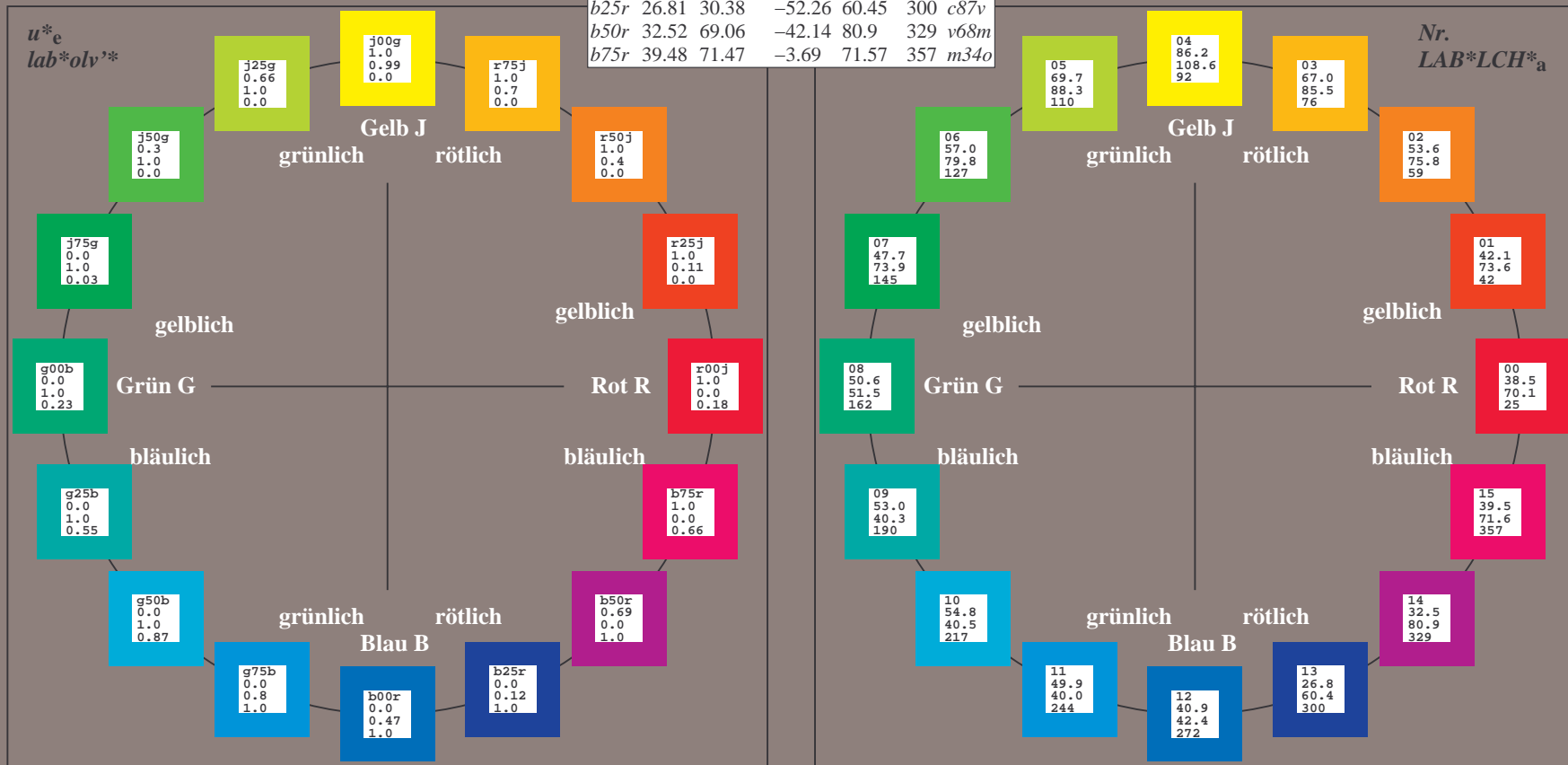
Ein und Ausgabe:
 Farbmetrisches Drucker-Reflektiv-System FRS12_95a
 Daten für jede Farbe:
 u^*_e und Nummer *Nr.* = 00 .. 15
 Elementar-Bunttext:
 $u^*_e = 16$ Bunttoene *r00j, r25j, ..., b75r*
 Kontrastreduzierungsfaktor:
 $c_R = 1.0$

FRS12_95a; adaptierte CIELAB-Daten							
u^*_e	$L^*=L^*_a$	a^*_a	b^*_a	$C^*_{ab,a}$	$h^*_{ab,a}$	u^*_d	
r00j	38.47	63.32	30.17	70.15	25	m81o	
r25j	42.12	54.56	49.45	73.64	42	o10y	
r50j	53.64	39.15	64.89	75.79	59	o40y	
r75j	67.01	21.26	82.83	85.52	76	o69y	
j00g	86.18	-4.38	108.53	108.62	92	o98y	
j25g	69.73	-29.89	83.06	88.28	110	y34l	
j50g	57.03	-48.31	63.49	79.78	127	y69l	
j75g	47.73	-60.33	42.64	73.88	145	l03c	
g00b	50.59	-49.08	15.74	51.54	162	l23c	
g25b	52.97	-39.7	-6.72	40.27	190	l55c	
g50b	54.85	-32.33	-24.35	40.48	217	l87c	
g75b	49.92	-17.29	-36.02	39.96	244	c20v	
b00r	40.91	1.28	-42.35	42.37	272	c53v	
b25r	26.81	30.38	-52.26	60.45	300	c87v	
b50r	32.52	69.06	-42.14	80.9	329	v68m	
b75r	39.48	71.47	-3.69	71.57	357	m34o	



%Umfang
 $u^*_{rel} = 109$
 %Regularität
 $g^*_{H,rel} = 31$
 $g^*_{C,rel} = 40$

FRS12_95a; CIELAB-Daten					
Name	$L^*=L^*$	a^*	b^*	C^*_{ab}	h^*_{ab}
O _M	38.06	60.53	36.66	70.77	31
Y _M	86.77	-4.5	100.15	100.25	93
L _M	47.13	-62.11	40.56	74.18	147
C _M	55.66	-28.56	-39.99	49.14	234
V _M	17.15	50.78	-65.6	82.96	308
M _M	40.37	79.18	-40.93	89.13	333
N _M	11.58	0.46	-6.35	6.37	274
W _M	95.02	0.69	-9.48	9.51	274
R _{CIE}	39.92	58.74	27.99	65.07	25
J _{CIE}	81.26	-2.89	71.56	71.62	92
G _{CIE}	52.23	-42.42	13.6	44.55	162
B _{CIE}	30.57	1.41	-46.47	46.49	272

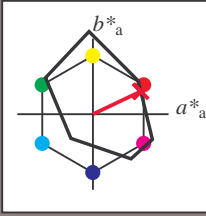


Siehe ähnliche Dateien: <http://www.ps.bam.de/Fg64/>; www.ps.bam.de/Fg64/HTM
 Technische Information: <http://www.ps.bam.de> Version 2.1, io=1,1, ColSpx=0

BAM-Registrierung: 20081001-Fg64/10L/L64g00NP.PDF/.PS BAM-Material: Code=rhatha
 Anwendung für Beurteilung und Messung von Drucker- oder Monitorssystemen

Ein und Ausgabe: Farbmetrisches Drucker-Reflektiv-System FRS12_95a, L*=12_95 für relative CIELAB-Buntton $h^* = lab^*h^* = h_{ab}^*/360 = 0.071$ $u^*_e = r00j$
 lab^*olv^*

Daten für jede Farbe:
 lab^*tch^* und lab^*icu^*
 Bunttontexte:
 $u^*_e = r00j$ $u^*_d = m81o$
 Kontrastreduzierungsfaktor:
 $c_R = 1.0$
 Dreiecks-Helligkeit t^*

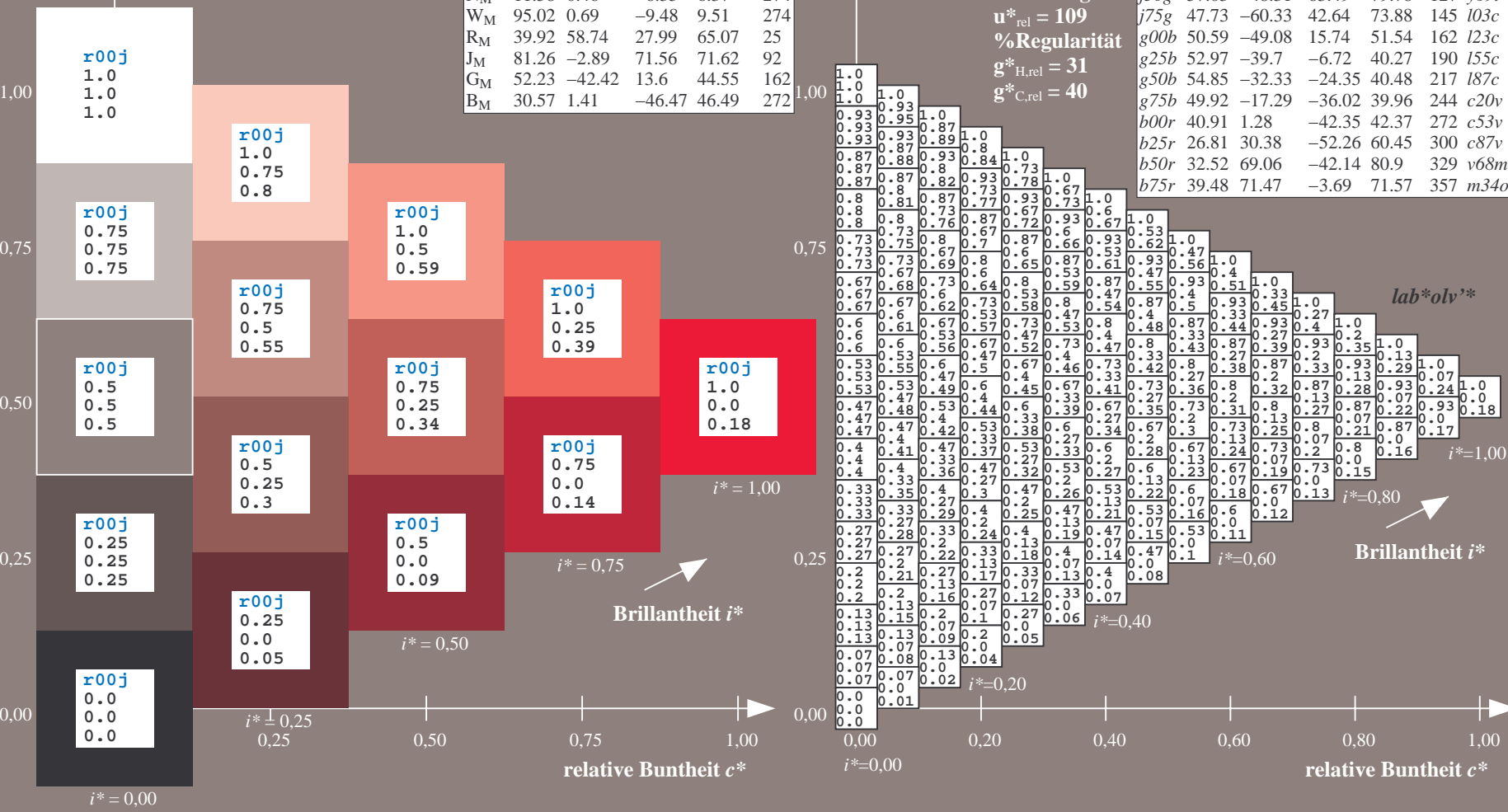


FRS12_95a; CIELAB-Daten						
	u^*_e	$L^*=L^*$	a^*	b^*	C^*_{ab}	h^*_{ab}
O _M	38.06	60.53	36.66	70.77	31	
Y _M	86.77	-4.5	100.15	100.25	93	
L _M	47.13	-62.11	40.56	74.18	147	
C _M	55.66	-28.56	-39.99	49.14	234	
V _M	17.15	50.78	-65.6	82.96	308	
M _M	40.37	79.18	-40.93	89.13	333	
N _M	11.58	0.46	-6.35	6.37	274	
W _M	95.02	0.69	-9.48	9.51	274	
R _M	39.92	58.74	27.99	65.07	25	
J _M	81.26	-2.89	71.56	71.62	92	
G _M	52.23	-42.42	13.6	44.55	162	
B _M	30.57	1.41	-46.47	46.49	272	

Daten für Maximalfarbe (Ma):
 $LAB^*LAB^*_{Ma}: 38\ 63\ 30$
 $LAB^*LCH^*_{Ma}: 38\ 70\ 25$
 $lab^*rgb^*_{Ma}: 1.0\ 0.0\ 0.0$
 $lab^*olv^*_{Ma}: 1.0\ 0.0\ 0.18$

FRS12_95a; adaptierte CIELAB-Daten							
	u^*_e	$L^*=L^*_a$	a^*_a	b^*_a	$C^*_{ab,a}$	$h^*_{ab,a}$	u^*_d
r00j	38.47	63.32	30.17	70.15	25	m81o	
r25j	42.12	54.56	49.45	73.64	42	o10y	
r50j	53.64	39.15	64.89	75.79	59	o40y	
r75j	67.01	21.26	82.83	85.52	76	o69y	
j00g	86.18	-4.38	108.53	108.62	92	o98y	
j25g	69.73	-29.89	83.06	88.28	110	y34l	
j50g	57.03	-48.31	63.49	79.78	127	y69l	
j75g	47.73	-60.33	42.64	73.88	145	l03c	
g00b	50.59	-49.08	15.74	51.54	162	l23c	
g25b	52.97	-39.7	-6.72	40.27	190	l55c	
g50b	54.85	-32.33	-24.35	40.48	217	l87c	
g75b	49.92	-17.29	-36.02	39.96	244	c20v	
b00r	40.91	1.28	-42.35	42.37	272	c53v	
b25r	26.81	30.38	-52.26	60.45	300	c87v	
b50r	32.52	69.06	-42.14	80.9	329	v68m	
b75r	39.48	71.47	-3.69	71.57	357	m34o	

Dreiecks-Helligkeit t^*
 %Umfang
 $u^*_{rel} = 109$
 %Regularität
 $g^*_{H,rel} = 31$
 $g^*_{C,rel} = 40$



BAM-Registrierung: 20081001-Fg64/10L/L64g00NP.PDF/.PS BAM-Material: Code=rh4ta
 Anwendung für Beurteilung und Messung von Drucker- oder Monitorssystemen

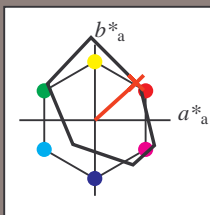
Ein und Ausgabe: Farbmetrisches Drucker-Reflektiv-System FRS12_95a, L*=12_95 für relative CIELAB-Buntton $h^* = lab^*h^* = h_{ab}/360 = 0.117$ $u^*_e = r25j$
 lab^*ol^*

Daten für jede Farbe:
 lab^*tch^* und lab^*icu^*

Bunttontexte:
 $u^*_e = r25j$ $u^*_d = o10y$

Kontrastreduzierungsfaktor:
 $c_R = 1.0$

Dreiecks-Helligkeit i^*



FRS12_95a; CIELAB-Daten						
u^*_e	$L^*=L^*$	a^*	b^*	C^*_{ab}	h^*_{ab}	
O _M	38.06	60.53	36.66	70.77	31	
Y _M	86.77	-4.5	100.15	100.25	93	
L _M	47.13	-62.11	40.56	74.18	147	
C _M	55.66	-28.56	-39.99	49.14	234	
V _M	17.15	50.78	-65.6	82.96	308	
M _M	40.37	79.18	-40.93	89.13	333	
N _M	11.58	0.46	-6.35	6.37	274	
W _M	95.02	0.69	-9.48	9.51	274	
R _M	39.92	58.74	27.99	65.07	25	
J _M	81.26	-2.89	71.56	71.62	92	
G _M	52.23	-42.42	13.6	44.55	162	
B _M	30.57	1.41	-46.47	46.49	272	

Daten für Maximalfarbe (Ma):

$LAB^*LAB^*_{Ma}$: 42 55 49

$LAB^*LCH^*_{Ma}$: 42 74 42

$lab^*rgb^*_{Ma}$: 1.0 0.25 0.0

$lab^*ol^*_{Ma}$: 1.0 0.11 0.0

Dreiecks-Helligkeit i^*

%Umfang

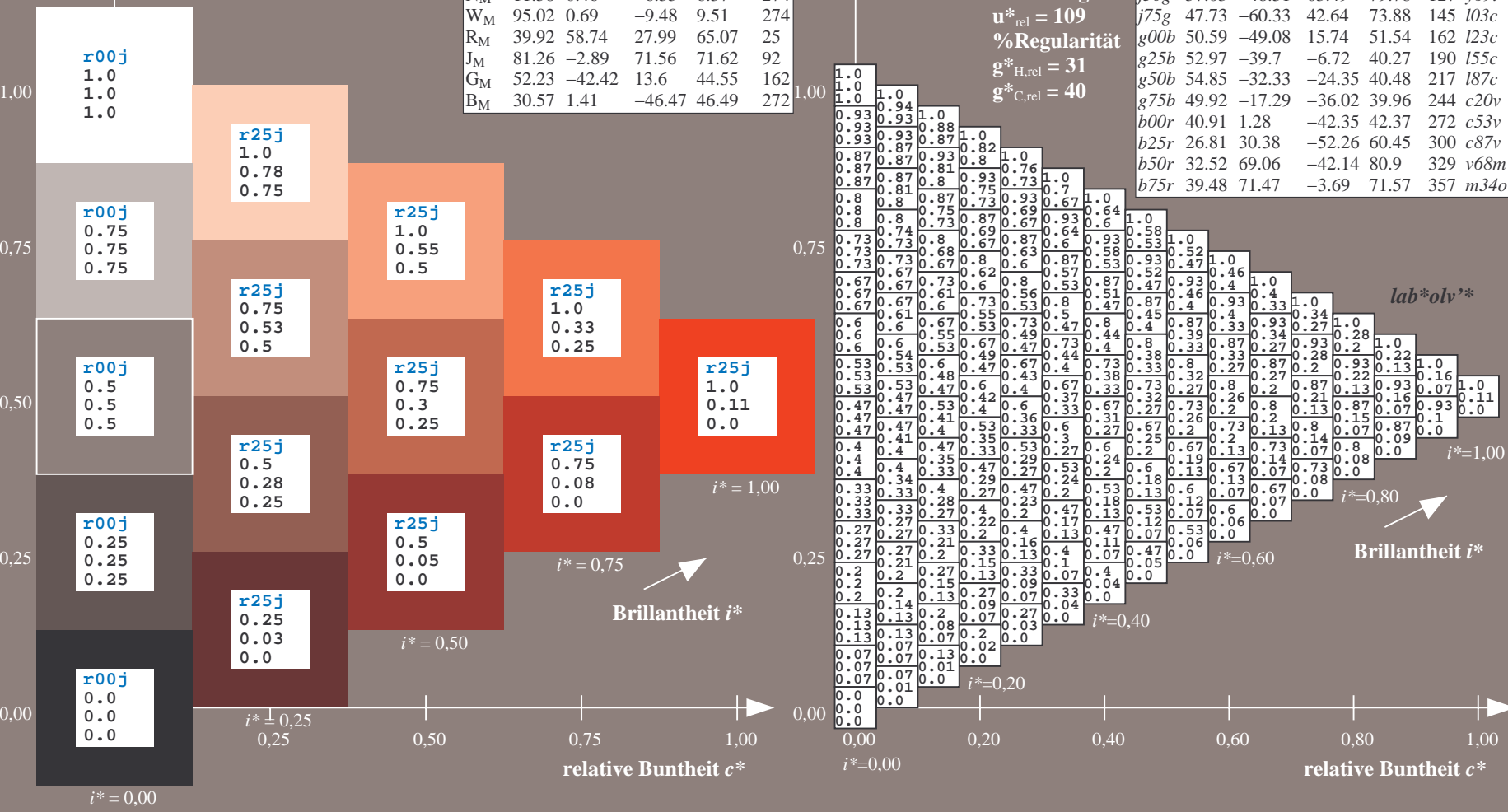
$u^*_{rel} = 109$

%Regularität

$g^*_{H,rel} = 31$

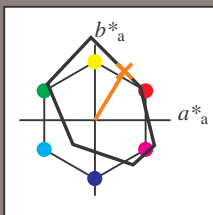
$g^*_{C,rel} = 40$

FRS12_95a; adaptierte CIELAB-Daten									
u^*_e	$L^*=L^*_a$	a^*_a	b^*_a	$C^*_{ab,a}$	$h^*_{ab,a}$	u^*_d			
r00j	38.47	63.32	30.17	70.15	25	m81o			
r25j	42.12	54.56	49.45	73.64	42	o10y			
r50j	53.64	39.15	64.89	75.79	59	o40y			
r75j	67.01	21.26	82.83	85.52	76	o69y			
j00g	86.18	-4.38	108.53	108.62	92	o98y			
j25g	69.73	-29.89	83.06	88.28	110	y34l			
j50g	57.03	-48.31	63.49	79.78	127	y69l			
j75g	47.73	-60.33	42.64	73.88	145	l03c			
g00b	50.59	-49.08	15.74	51.54	162	l23c			
g25b	52.97	-39.7	-6.72	40.27	190	l55c			
g50b	54.85	-32.33	-24.35	40.48	217	l87c			
g75b	49.92	-17.29	-36.02	39.96	244	c20v			
b00r	40.91	1.28	-42.35	42.37	272	c53v			
b25r	26.81	30.38	-52.26	60.45	300	c87v			
b50r	32.52	69.06	-42.14	80.9	329	v68m			
b75r	39.48	71.47	-3.69	71.57	357	m34o			



Ein und Ausgabe: Farbmetrisches Drucker-Reflektiv-System FRS12_95a, L*=12_95 für relativen CIELAB-Buntton $h^* = lab^*h^* = h_{ab}^*/360 = 0.164$ $u^*_e = r50j$
 $lab^*olv'^*$

Daten für jede Farbe:
 lab^*tch^* und lab^*icu^*
 Bunttontexte:
 $u^*_e = r50j$ $u^*_d = o40y$
 Kontrastreduzierungsfaktor:
 $c_R = 1.0$
 Dreiecks-Helligkeit t^*

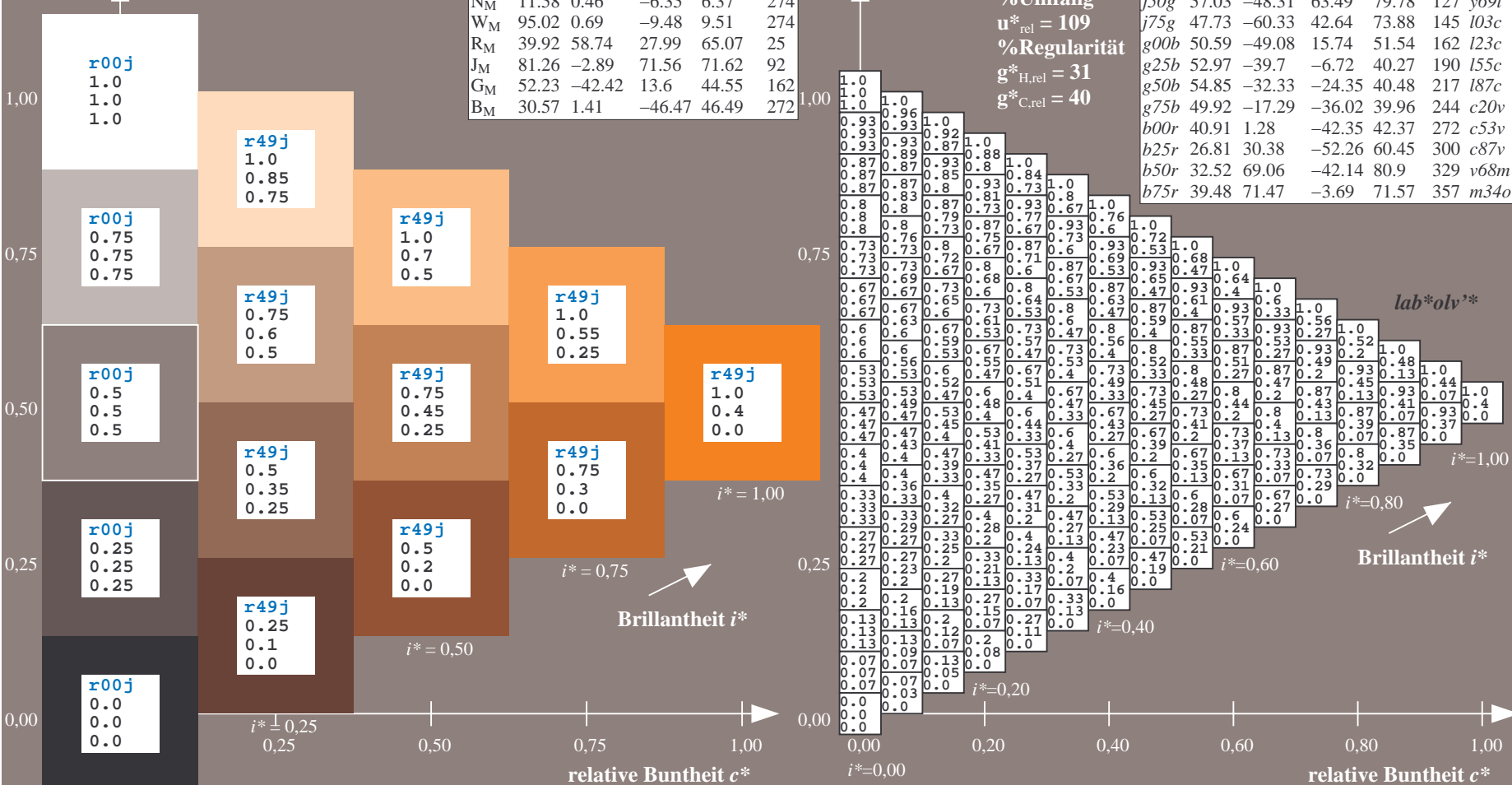


FRS12_95a; CIELAB-Daten						
	u^*_e	$L^*=L^*_a$	a^*	b^*	C^*_{ab}	h^*_{ab}
O _M	38.06	60.53	36.66	70.77	31	
Y _M	86.77	-4.5	100.15	100.25	93	
L _M	47.13	-62.11	40.56	74.18	147	
C _M	55.66	-28.56	-39.99	49.14	234	
V _M	17.15	50.78	-65.6	82.96	308	
M _M	40.37	79.18	-40.93	89.13	333	
N _M	11.58	0.46	-6.35	6.37	274	
W _M	95.02	0.69	-9.48	9.51	274	
R _M	39.92	58.74	27.99	65.07	25	
J _M	81.26	-2.89	71.56	71.62	92	
G _M	52.23	-42.42	13.6	44.55	162	
B _M	30.57	1.41	-46.47	46.49	272	

Daten für Maximalfarbe (Ma):
 $LAB^*LAB^*_Ma: 54\ 39\ 65$
 $LAB^*LCH^*_Ma: 54\ 76\ 58$
 $lab^*rgb^*_Ma: 1.0\ 0.5\ 0.0$
 $lab^*olv^*_Ma: 1.0\ 0.4\ 0.0$

FRS12_95a; adaptierte CIELAB-Daten								
	u^*_e	$L^*=L^*_a$	a^*_a	b^*_a	$C^*_{ab,a}$	$h^*_{ab,a}$	u^*_d	
r00j	38.47	63.32	30.17	70.15	25	m81o		
r25j	42.12	54.56	49.45	73.64	42	o10y		
r50j	53.64	39.15	64.89	75.79	59	o40y		
r75j	67.01	21.26	82.83	85.52	76	o69y		
j00g	86.18	-4.38	108.53	108.62	92	o98y		
j25g	69.73	-29.89	83.06	88.28	110	y34l		
j50g	57.03	-48.31	63.49	79.78	127	y69l		
j75g	47.73	-60.33	42.64	73.88	145	l03c		
g00b	50.59	-49.08	15.74	51.54	162	l23c		
g25b	52.97	-39.7	-6.72	40.27	190	l55c		
g50b	54.85	-32.33	-24.35	40.48	217	l87c		
g75b	49.92	-17.29	-36.02	39.96	244	c20v		
b00r	40.91	1.28	-42.35	42.37	272	c53v		
b25r	26.81	30.38	-52.26	60.45	300	c87v		
b50r	32.52	69.06	-42.14	80.9	329	v68m		
b75r	39.48	71.47	-3.69	71.57	357	m34o		

Dreiecks-Helligkeit t^*
 %Umfang
 $u^*_{rel} = 109$
 %Regularität
 $g^*_{H,rel} = 31$
 $g^*_{C,rel} = 40$



BAM-Registrierung: 20081001-Fg64/10L/L64g00NP.PDF/.PS BAM-Material: Code=rh4ta
 Anwendung für Beurteilung und Messung von Drucker- oder Monitorssystemen

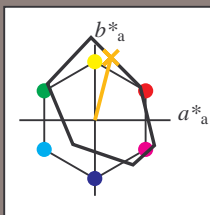
Ein und Ausgabe: Farbmetrisches Drucker-Reflektiv-System FRS12_95a, L*=12_95 für relative CIELAB-Buntton $h^* = lab^*h^* = h_{ab}/360 = 0.21$ $u^*_e = r75j$
 lab^*olv^*

Daten für jede Farbe:
 lab^*tch^* und lab^*icu^*

Bunttontexte:
 $u^*_e = r75j$ $u^*_d = o69y$

Kontrastreduzierungsfaktor:
 $c_R = 1.0$

Dreiecks-Helligkeit i^*



FRS12_95a; CIELAB-Daten						
	u^*_e	$L^*=L^*$	a^*	b^*	C^*_{ab}	h^*_{ab}
O _M	38.06	60.53	36.66	70.77	31	
Y _M	86.77	-4.5	100.15	100.25	93	
L _M	47.13	-62.11	40.56	74.18	147	
C _M	55.66	-28.56	-39.99	49.14	234	
V _M	17.15	50.78	-65.6	82.96	308	
M _M	40.37	79.18	-40.93	89.13	333	
N _M	11.58	0.46	-6.35	6.37	274	
W _M	95.02	0.69	-9.48	9.51	274	
R _M	39.92	58.74	27.99	65.07	25	
J _M	81.26	-2.89	71.56	71.62	92	
G _M	52.23	-42.42	13.6	44.55	162	
B _M	30.57	1.41	-46.47	46.49	272	

Daten für Maximalfarbe (Ma):

$LAB^*LAB^*_{Ma}$: 67 21 83

$LAB^*LCH^*_{Ma}$: 67 86 75

$lab^*rgb^*_{Ma}$: 1.0 0.75 0.0

$lab^*olv^*_{Ma}$: 1.0 0.7 0.0

Dreiecks-Helligkeit i^*

%Umfang

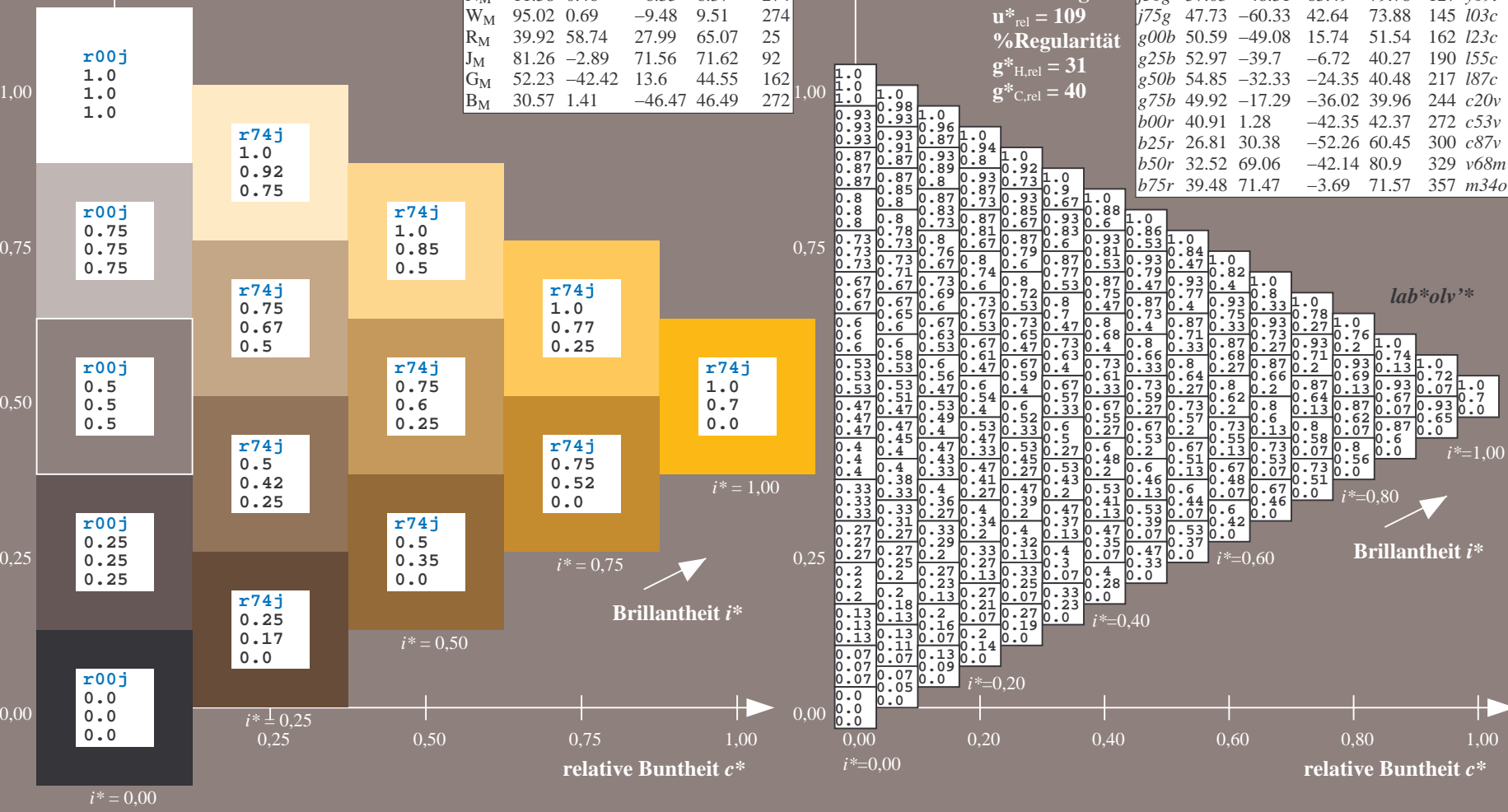
$u^*_{rel} = 109$

%Regularität

$g^*_{H,rel} = 31$

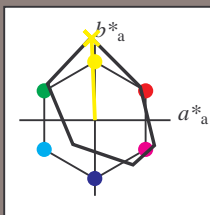
$g^*_{C,rel} = 40$

FRS12_95a; adaptierte CIELAB-Daten									
	u^*_e	$L^*=L^*_a$	a^*_a	b^*_a	$C^*_{ab,a}$	$h^*_{ab,a}$	u^*_d		
r00j	38.47	63.32	30.17	70.15	25	m81o			
r25j	42.12	54.56	49.45	73.64	42	o10y			
r50j	53.64	39.15	64.89	75.79	59	o40y			
r75j	67.01	21.26	82.83	85.52	76	o69y			
j00g	86.18	-4.38	108.53	108.62	92	o98y			
j25g	69.73	-29.89	83.06	88.28	110	y34l			
j50g	57.03	-48.31	63.49	79.78	127	y69l			
j75g	47.73	-60.33	42.64	73.88	145	l03c			
g00b	50.59	-49.08	15.74	51.54	162	l23c			
g25b	52.97	-39.7	-6.72	40.27	190	l55c			
g50b	54.85	-32.33	-24.35	40.48	217	l87c			
g75b	49.92	-17.29	-36.02	39.96	244	c20v			
b00r	40.91	1.28	-42.35	42.37	272	c53v			
b25r	26.81	30.38	-52.26	60.45	300	c87v			
b50r	32.52	69.06	-42.14	80.9	329	v68m			
b75r	39.48	71.47	-3.69	71.57	357	m34o			



Ein und Ausgabe: Farbmetrisches Drucker-Reflektiv-System FRS12_95a, L*=12_95 für relative CIELAB-Buntton $h^* = lab^*h^* = h_{ab}/360 = 0.256$ $u^*_e = j00g$
 $lab^*olv'^*$

Daten für jede Farbe:
 lab^*tch^* und lab^*icu^*
 Bunttontexte:
 $u^*_e = j00g$ $u^*_d = o98y$
 Kontrastreduzierungsfaktor:
 $c_R = 1.0$
 Dreiecks-Helligkeit t^*

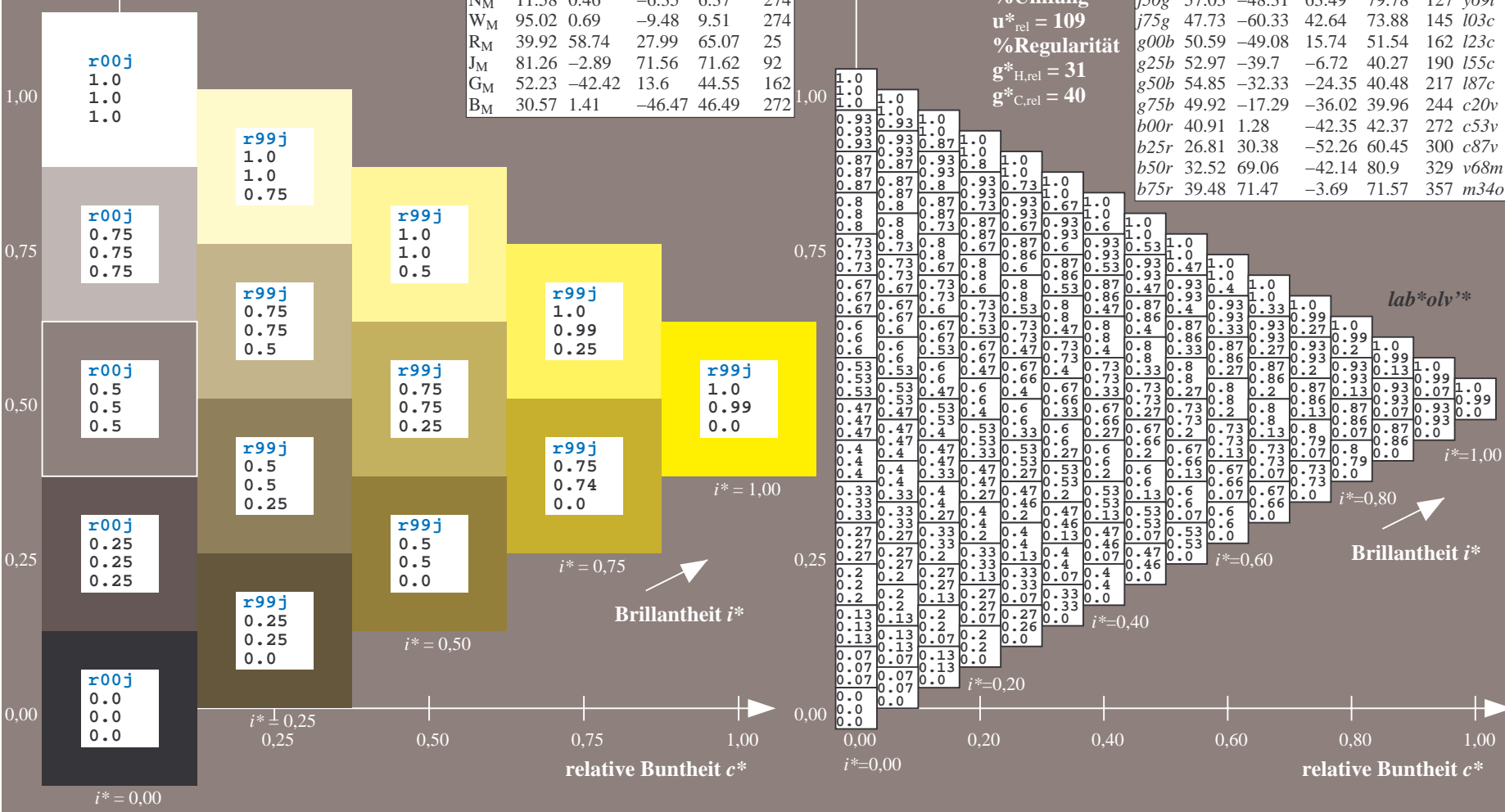


FRS12_95a; CIELAB-Daten						
	u^*_e	$L^*=L^*_a$	a^*	b^*	C^*_{ab}	h^*_{ab}
O _M	38.06	60.53	36.66	70.77	31	
Y _M	86.77	-4.5	100.15	100.25	93	
L _M	47.13	-62.11	40.56	74.18	147	
C _M	55.66	-28.56	-39.99	49.14	234	
V _M	17.15	50.78	-65.6	82.96	308	
M _M	40.37	79.18	-40.93	89.13	333	
N _M	11.58	0.46	-6.35	6.37	274	
W _M	95.02	0.69	-9.48	9.51	274	
R _M	39.92	58.74	27.99	65.07	25	
J _M	81.26	-2.89	71.56	71.62	92	
G _M	52.23	-42.42	13.6	44.55	162	
B _M	30.57	1.41	-46.47	46.49	272	

Daten für Maximalfarbe (Ma):
 $LAB^*LAB^*_Ma: 86 -4 109$
 $LAB^*LCH^*_Ma: 86 109 92$
 $lab^*rgb^*_Ma: 1.0 1.0 0.0$
 $lab^*olv^*_Ma: 1.0 0.99 0.0$

FRS12_95a; adaptierte CIELAB-Daten									
	u^*_e	$L^*=L^*_a$	a^*_a	b^*_a	$C^*_{ab,a}$	$h^*_{ab,a}$	u^*_d		
r00j	38.47	63.32	30.17	70.15	25	m81o			
r25j	42.12	54.56	49.45	73.64	42	o10y			
r50j	53.64	39.15	64.89	75.79	59	o40y			
r75j	67.01	21.26	82.83	85.52	76	o69y			
j00g	86.18	-4.38	108.53	108.62	92	o98y			
j25g	69.73	-29.89	83.06	88.28	110	y34l			
j50g	57.03	-48.31	63.49	79.78	127	y69l			
j75g	47.73	-60.33	42.64	73.88	145	l03c			
g00b	50.59	-49.08	15.74	51.54	162	l23c			
g25b	52.97	-39.7	-6.72	40.27	190	l55c			
g50b	54.85	-32.33	-24.35	40.48	217	l87c			
g75b	49.92	-17.29	-36.02	39.96	244	c20v			
b00r	40.91	1.28	-42.35	42.37	272	c53v			
b25r	26.81	30.38	-52.26	60.45	300	c87v			
b50r	32.52	69.06	-42.14	80.9	329	v68m			
b75r	39.48	71.47	-3.69	71.57	357	m34o			

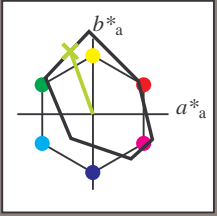
Dreiecks-Helligkeit t^*
 %Umfang
 $u^*_{rel} = 109$
 %Regularität
 $g^*_{H,rel} = 31$
 $g^*_{C,rel} = 40$



Siehe ähnliche Dateien: <http://www.ps.bam.de/Fg64/>; [www.ps.bam.de/Version 2.1, io=1,1, Colspx=0](http://www.ps.bam.de/Version%201.1,io=1,1,Colspx=0)
 Technische Information: <http://www.ps.bam.de>

BAM-Registrierung: 20081001-Fg64/10L/L64g00NP.PDF/.PS BAM-Material: Code=rhatha
 Anwendung für Beurteilung und Messung von Drucker- oder Monitorssystemen

Ein und Ausgabe: Farbmetrisches Drucker-Reflektiv-System FRS12_95a, L*=12_95 für relative CIELAB-Buntton $h^* = lab^*h^* = h_{ab}/360 = 0.305$ $u^*_e = j25g$
 Daten für jede Farbe: lab^*tch^* und lab^*icu^*
 Bunttontexte: $u^*_e = j25g$ $u^*_d = y34l$
 Kontrastreduzierungsfaktor: $c_R = 1.0$
 Dreiecks-Helligkeit i^*



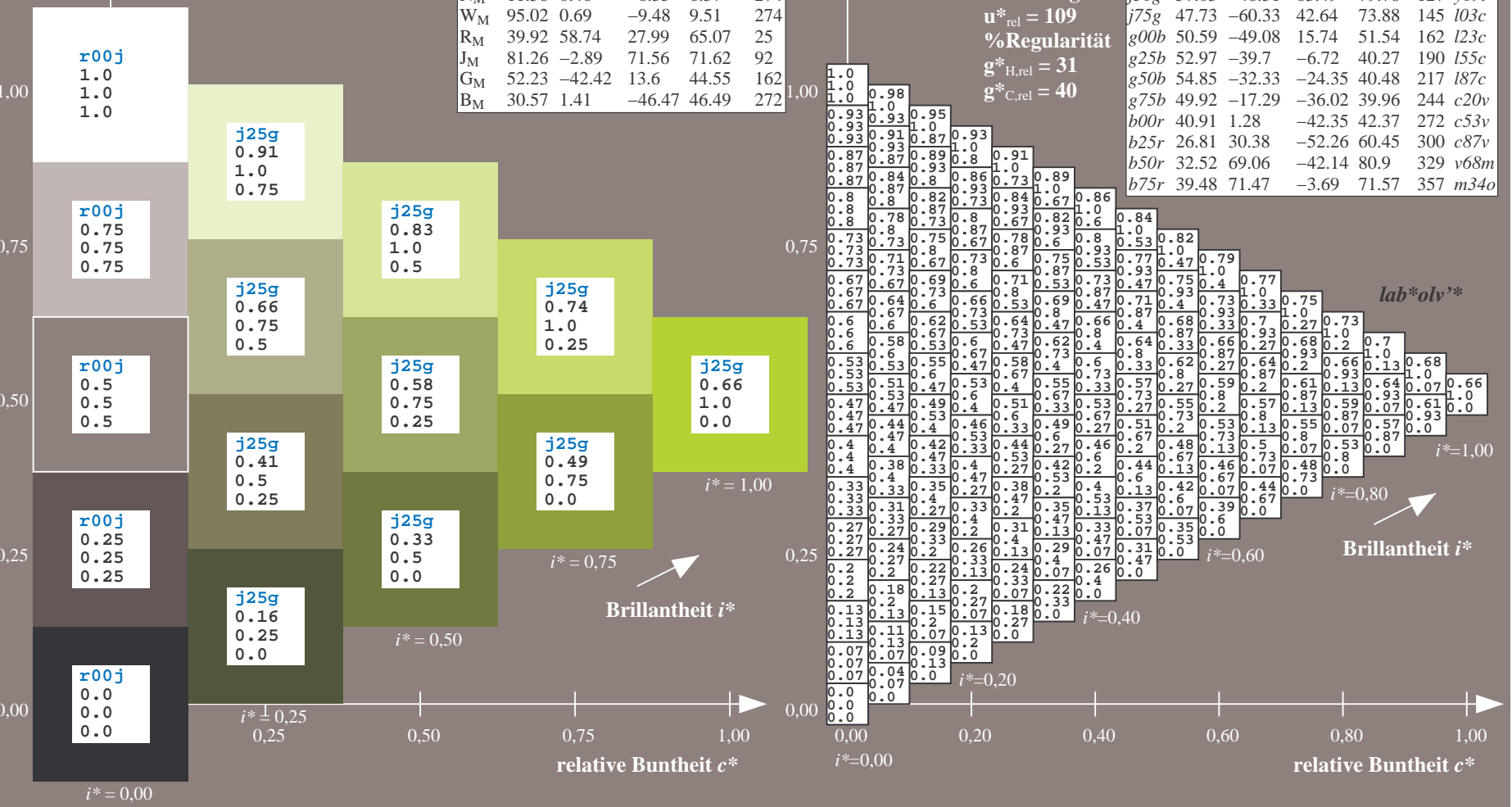
FRS12_95a; CIELAB-Daten

	u^*_e	$L^*=L^*$	a^*	b^*	C^*_{ab}	h^*_{ab}
O _M	38.06	60.53	36.66	70.77	31	
Y _M	86.77	-4.5	100.15	100.25	93	
L _M	47.13	-62.11	40.56	74.18	147	
C _M	55.66	-28.56	-39.99	49.14	234	
V _M	17.15	50.78	-65.6	82.96	308	
M _M	40.37	79.18	-40.93	89.13	333	
N _M	11.58	0.46	-6.35	6.37	274	
W _M	95.02	0.69	-9.48	9.51	274	
R _M	39.92	58.74	27.99	65.07	25	
J _M	81.26	-2.89	71.56	71.62	92	
G _M	52.23	-42.42	13.6	44.55	162	
B _M	30.57	1.41	-46.47	46.49	272	

Daten für Maximalfarbe (Ma):
 $LAB^*LAB^*_{Ma}: 70 -30 83$
 $LAB^*LCH^*_{Ma}: 70 88 109$
 $lab^*rgb^*_{Ma}: 0.75 1.0 0.0$
 $lab^*olv^*_{Ma}: 0.66 1.0 0.0$
 Dreiecks-Helligkeit i^*

FRS12_95a; adaptierte CIELAB-Daten

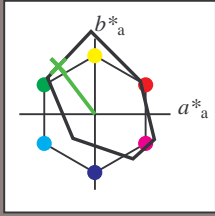
	u^*_e	$L^*=L^*_a$	a^*_a	b^*_a	$C^*_{ab,a}$	$h^*_{ab,a}$	u^*_d
r00j	38.47	63.32	30.17	70.15	25	m81o	
r25j	42.12	54.56	49.45	73.64	42	o10y	
r50j	53.64	39.15	64.89	75.79	59	o40y	
r75j	67.01	21.26	82.83	85.52	76	o69y	
j00g	86.18	-4.38	108.53	108.62	92	o98y	
j25g	69.73	-29.89	83.06	88.28	110	y34l	
j50g	57.03	-48.31	63.49	79.78	127	y69l	
j75g	47.73	-60.33	42.64	73.88	145	l03c	
g00b	50.59	-49.08	15.74	51.54	162	l23c	
g25b	52.97	-39.7	-6.72	40.27	190	l55c	
g50b	54.85	-32.33	-24.35	40.48	217	l87c	
g75b	49.92	-17.29	-36.02	39.96	244	c20v	
b00r	40.91	1.28	-42.35	42.37	272	c53v	
b25r	26.81	30.38	-52.26	60.45	300	c87v	
b50r	32.52	69.06	-42.14	80.9	329	v68m	
b75r	39.48	71.47	-3.69	71.57	357	m34o	



Siehe ähnliche Dateien: <http://www.ps.bam.de/Fg64/>; www.ps.bam.de/Fg.HTM
 Technische Information: <http://www.ps.bam.de> Version 2.1, io=1,1, ColSpx=0

BAM-Registrierung: 20081001-Fg64/10L/L64g00NP.PDF/.PS BAM-Material: Code=rh4ta
 Anwendung für Beurteilung und Messung von Drucker- oder Monitorssystemen

Ein und Ausgabe: Farbmetrisches Drucker-Reflexiv-System FRS12_95a, L*=12_95 für relative CIELAB-Bunton $h^* = lab^*h^* = h_{ab}/360 = 0.354$ $u^*_e = j50g$
 Daten für jede Farbe: lab^*tch^* und lab^*icu^*
 Bunttontexte: $u^*_e = j50g$ $u^*_d = y69l$
 Kontrastreduzierungsfaktor: $c_R = 1.0$
 Dreiecks-Helligkeit t^*



FRS12_95a; CIELAB-Daten						
	u^*_e	$L^*=L^*$	a^*	b^*	C^*_{ab}	h^*_{ab}
O _M	38.06	60.53	36.66	70.77	31	
Y _M	86.77	-4.5	100.15	100.25	93	
L _M	47.13	-62.11	40.56	74.18	147	
C _M	55.66	-28.56	-39.99	49.14	234	
V _M	17.15	50.78	-65.6	82.96	308	
M _M	40.37	79.18	-40.93	89.13	333	
N _M	11.58	0.46	-6.35	6.37	274	
W _M	95.02	0.69	-9.48	9.51	274	
R _M	39.92	58.74	27.99	65.07	25	
J _M	81.26	-2.89	71.56	71.62	92	
G _M	52.23	-42.42	13.6	44.55	162	
B _M	30.57	1.41	-46.47	46.49	272	

Daten für Maximalfarbe (Ma):

$LAB^*LAB^*_{Ma}: 57 -48 63$

$LAB^*LCH^*_{Ma}: 57 80 127$

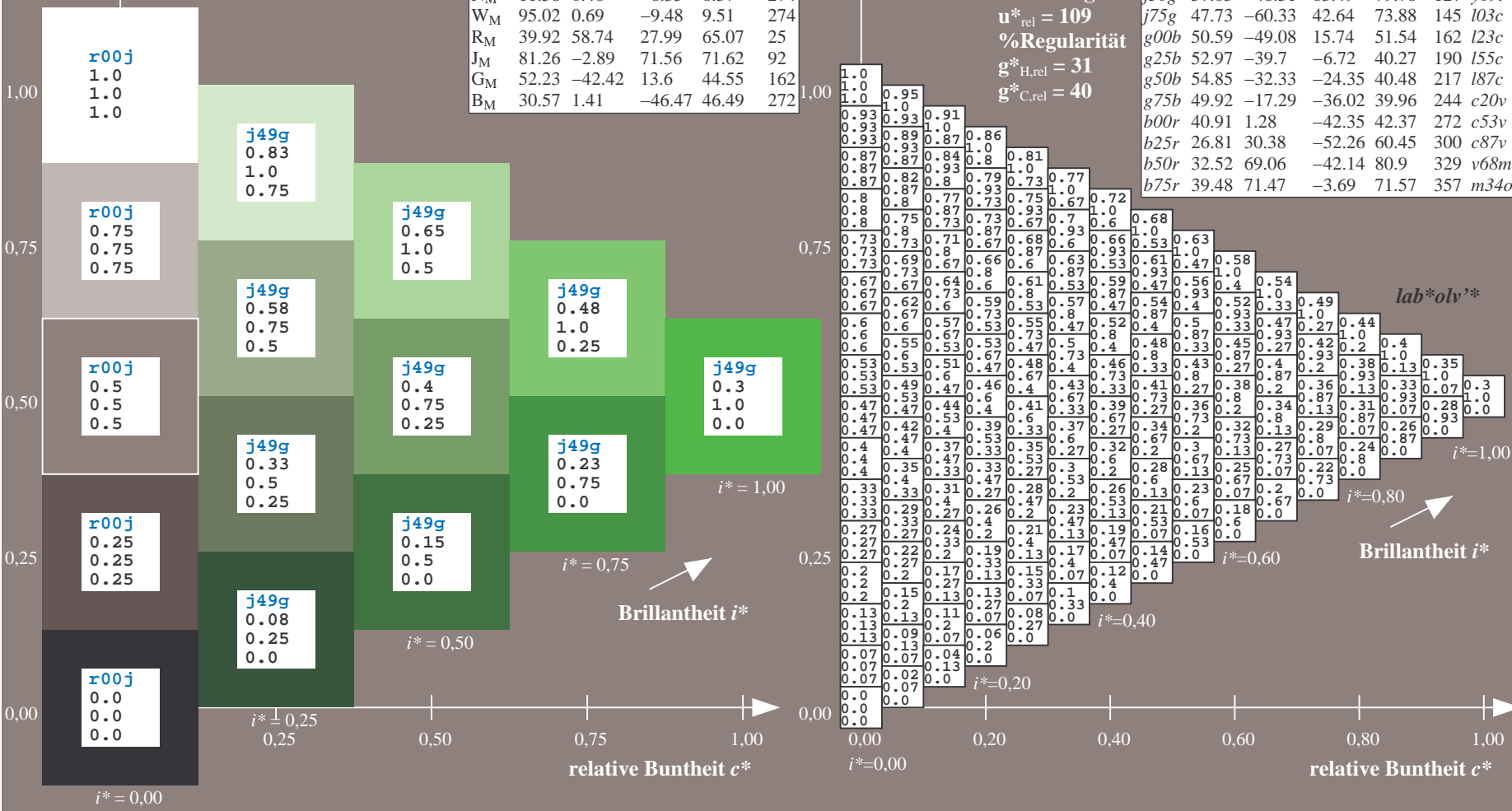
$lab^*rgb^*_{Ma}: 0.5 1.0 0.0$

$lab^*olv^*_{Ma}: 0.3 1.0 0.0$

Dreiecks-Helligkeit t^*

%Umfang
 $u^*_{rel} = 109$
 %Regularität
 $g^*_{H,rel} = 31$
 $g^*_{C,rel} = 40$

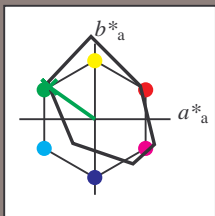
FRS12_95a; adaptierte CIELAB-Daten									
	u^*_e	$L^*=L^*_a$	a^*_a	b^*_a	$C^*_{ab,a}$	$h^*_{ab,a}$	u^*_d		
r00j	38.47	63.32	30.17	70.15	25	m81o			
r25j	42.12	54.56	49.45	73.64	42	o10y			
r50j	53.64	39.15	64.89	75.79	59	o40y			
r75j	67.01	21.26	82.83	85.52	76	o69y			
j00g	86.18	-4.38	108.53	108.62	92	o98y			
j25g	69.73	-29.89	83.06	88.28	110	y34l			
j50g	57.03	-48.31	63.49	79.78	127	y69l			
j75g	47.73	-60.33	42.64	73.88	145	l03c			
g00b	50.59	-49.08	15.74	51.54	162	l23c			
g25b	52.97	-39.7	-6.72	40.27	190	l55c			
g50b	54.85	-32.33	-24.35	40.48	217	l87c			
g75b	49.92	-17.29	-36.02	39.96	244	c20v			
b00r	40.91	1.28	-42.35	42.37	272	c53v			
b25r	26.81	30.38	-52.26	60.45	300	c87v			
b50r	32.52	69.06	-42.14	80.9	329	v68m			
b75r	39.48	71.47	-3.69	71.57	357	m34o			



Siehe ähnliche Dateien: <http://www.ps.bam.de/Fg64/>; [www.ps.bam.de/Fg64/Version 2.1, io=1,1, Colspx=0](http://www.ps.bam.de/Fg64/Version%201.1,io=1,1,Colspx=0)
 Technische Information: <http://www.ps.bam.de>

BAM-Registrierung: 20081001-Fg64/10L/L64g00NP.PDF/.PS BAM-Material: Code=rhatha
 Anwendung für Beurteilung und Messung von Drucker- oder Monitorssystemen

Ein und Ausgabe: Farbmetrisches Drucker-Reflektiv-System FRS12_95a, L*=12_95 für relative CIELAB-Bunton $h^* = lab^*h^* = h_{ab}/360 = 0.402$ $u^*_e = j75g$
 Daten für jede Farbe: lab^*tch^* und lab^*icu^*
 Buntonkontexte: $u^*_e = j75g$ $u^*_d = i03c$
 Kontrastreduzierungsfaktor: $c_R = 1.0$
 Dreiecks-Helligkeit i^*



FRS12_95a; CIELAB-Daten						
u^*_e	$L^*=L^*_a$	a^*	b^*	C^*_{ab}	h^*_{ab}	
O _M	38.06	60.53	36.66	70.77	31	
Y _M	86.77	-4.5	100.15	100.25	93	
L _M	47.13	-62.11	40.56	74.18	147	
C _M	55.66	-28.56	-39.99	49.14	234	
V _M	17.15	50.78	-65.6	82.96	308	
M _M	40.37	79.18	-40.93	89.13	333	
N _M	11.58	0.46	-6.35	6.37	274	
W _M	95.02	0.69	-9.48	9.51	274	
R _M	39.92	58.74	27.99	65.07	25	
J _M	81.26	-2.89	71.56	71.62	92	
G _M	52.23	-42.42	13.6	44.55	162	
B _M	30.57	1.41	-46.47	46.49	272	

Daten für Maximalfarbe (Ma):

$LAB^*LAB^*_{Ma}$: 48 -60 43

$LAB^*LCH^*_{Ma}$: 48 74 144

$lab^*rgb^*_{Ma}$: 0.25 1.0 0.0

$lab^*olv^*_{Ma}$: 0.0 1.0 0.03

Dreiecks-Helligkeit i^*

%Umfang

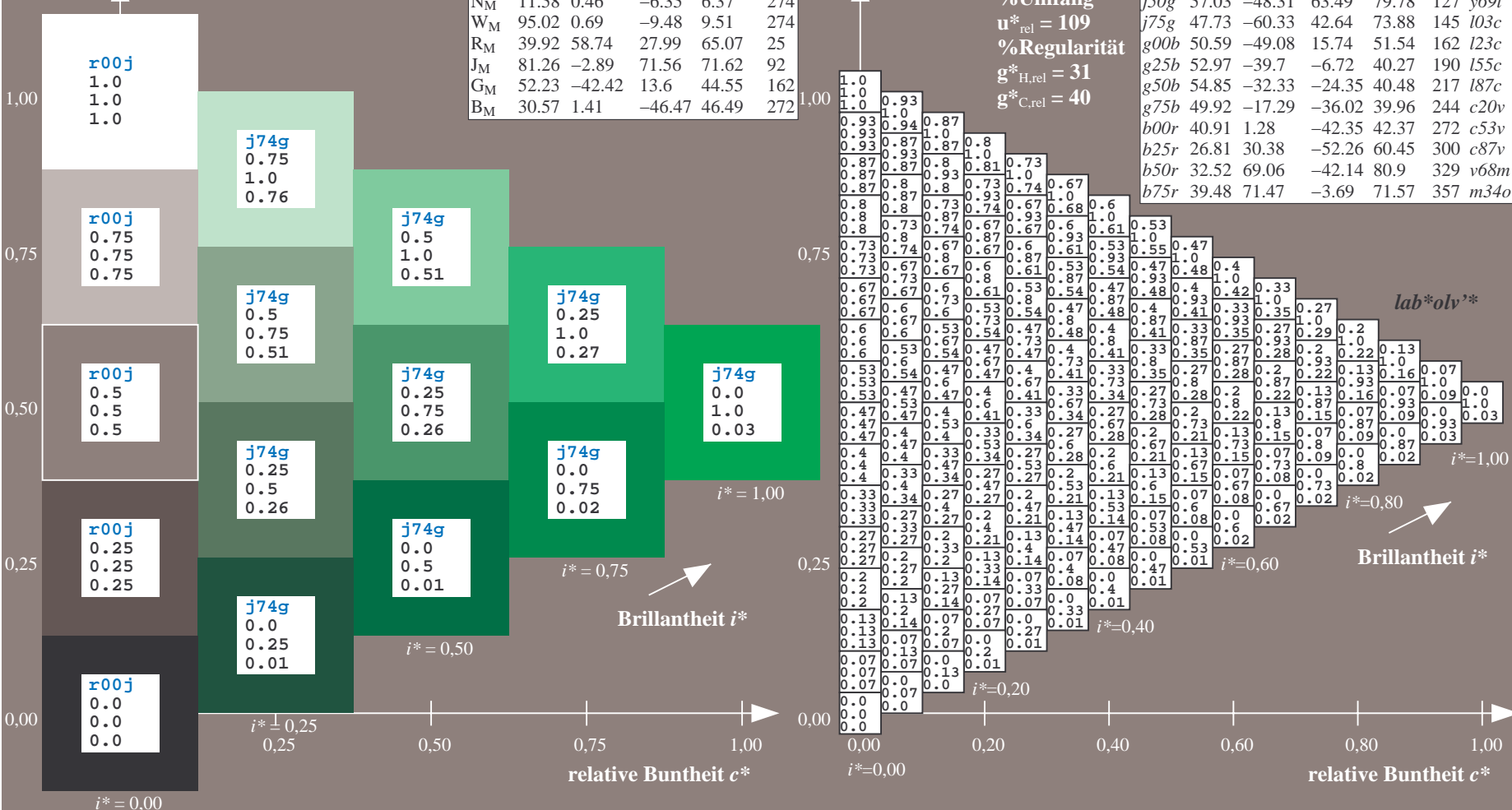
$u^*_{rel} = 109$

%Regularität

$g^*_{H,rel} = 31$

$g^*_{C,rel} = 40$

FRS12_95a; adaptierte CIELAB-Daten									
u^*_e	$L^*=L^*_a$	a^*_a	b^*_a	$C^*_{ab,a}$	$h^*_{ab,a}$	u^*_d			
r00j	38.47	63.32	30.17	70.15	25	m81o			
r25j	42.12	54.56	49.45	73.64	42	o10y			
r50j	53.64	39.15	64.89	75.79	59	o40y			
r75j	67.01	21.26	82.83	85.52	76	o69y			
j00g	86.18	-4.38	108.53	108.62	92	o98y			
j25g	69.73	-29.89	83.06	88.28	110	y34l			
j50g	57.03	-48.31	63.49	79.78	127	y69l			
j75g	47.73	-60.33	42.64	73.88	145	l03c			
g00b	50.59	-49.08	15.74	51.54	162	l23c			
g25b	52.97	-39.7	-6.72	40.27	190	l55c			
g50b	54.85	-32.33	-24.35	40.48	217	l87c			
g75b	49.92	-17.29	-36.02	39.96	244	c20c			
b00r	40.91	1.28	-42.35	42.37	272	c53v			
b25r	26.81	30.38	-52.26	60.45	300	c87v			
b50r	32.52	69.06	-42.14	80.9	329	v68m			
b75r	39.48	71.47	-3.69	71.57	357	m34o			

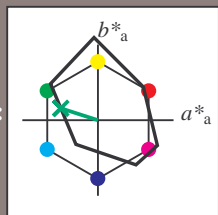


Siehe ähnliche Dateien: <http://www.ps.bam.de/Fg64/>; www.ps.bam.de/Version 2.1, io=1,1, ColSpx=0
 Technische Information: <http://www.ps.bam.de>

BAM-Registrierung: 20081001-Fg64/10L/L64g00NP.PDF/.PS BAM-Material: Code=rhatha
 Anwendung für Beurteilung und Messung von Drucker- oder Monitorssystemen

Ein und Ausgabe: Farbmetrisches Drucker-Reflexiv-System FRS12_95a, L*=12_95 für relative CIELAB-Buntton $h^* = lab^*h^* = h_{ab}/360 = 0.451$ $u^*_e = g00b$
 lab^*olv^*

Daten für jede Farbe:
 lab^*tch^* und lab^*icu^*
 Bunttontexte:
 $u^*_e = g00b$ $u^*_d = l23c$
 Kontrastreduzierungsfaktor:
 $c_R = 1.0$
 Dreiecks-Helligkeit t^*

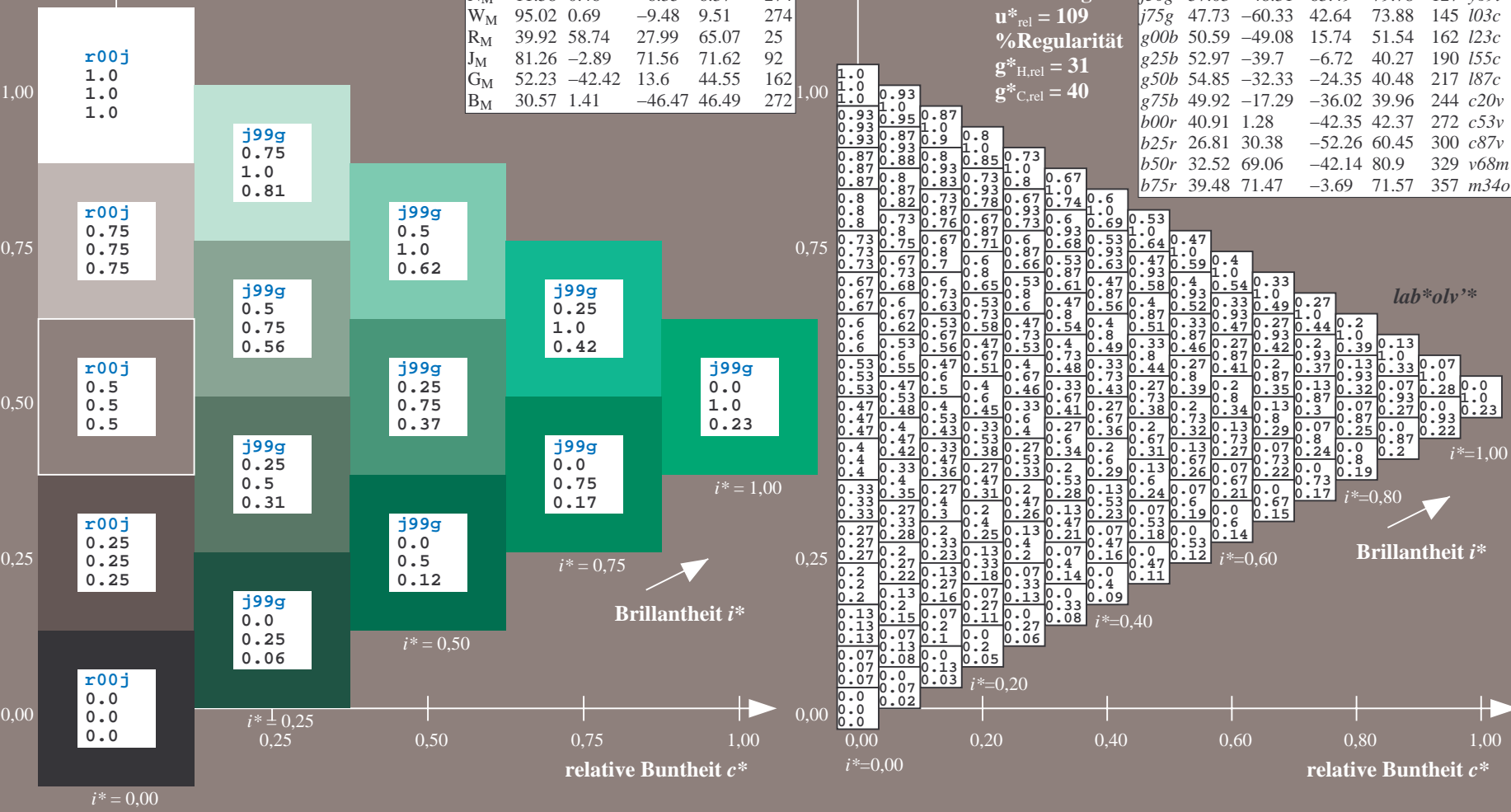


FRS12_95a; CIELAB-Daten						
u^*_e	$L^*=L^*$	a^*	b^*	C^*_{ab}	h^*_{ab}	
O _M	38.06	60.53	36.66	70.77	31	
Y _M	86.77	-4.5	100.15	100.25	93	
L _M	47.13	-62.11	40.56	74.18	147	
C _M	55.66	-28.56	-39.99	49.14	234	
V _M	17.15	50.78	-65.6	82.96	308	
M _M	40.37	79.18	-40.93	89.13	333	
N _M	11.58	0.46	-6.35	6.37	274	
W _M	95.02	0.69	-9.48	9.51	274	
R _M	39.92	58.74	27.99	65.07	25	
J _M	81.26	-2.89	71.56	71.62	92	
G _M	52.23	-42.42	13.6	44.55	162	
B _M	30.57	1.41	-46.47	46.49	272	

Daten für Maximalfarbe (Ma):
 $LAB^*LAB^*_{Ma}: 51 -49 16$
 $LAB^*LCH^*_{Ma}: 51 52 162$
 $lab^*rgb^*_{Ma}: 0.0 1.0 0.0$
 $lab^*olv^*_{Ma}: 0.0 1.0 0.23$

FRS12_95a; adaptierte CIELAB-Daten									
u^*_e	$L^*=L^*_a$	a^*_a	b^*_a	$C^*_{ab,a}$	$h^*_{ab,a}$	u^*_d			
r00j	38.47	63.32	30.17	70.15	25	m81o			
r25j	42.12	54.56	49.45	73.64	42	o10y			
r50j	53.64	39.15	64.89	75.79	59	o40y			
r75j	67.01	21.26	82.83	85.52	76	o69y			
j00g	86.18	-4.38	108.53	108.62	92	o98y			
j25g	69.73	-29.89	83.06	88.28	110	y34l			
j50g	57.03	-48.31	63.49	79.78	127	y69l			
j75g	47.73	-60.33	42.64	73.88	145	l03c			
g00b	50.59	-49.08	15.74	51.54	162	l23c			
g25b	52.97	-39.7	-6.72	40.27	190	l55c			
g50b	54.85	-32.33	-24.35	40.48	217	l87c			
g75b	49.92	-17.29	-36.02	39.96	244	c20v			
b00r	40.91	1.28	-42.35	42.37	272	c53v			
b25r	26.81	30.38	-52.26	60.45	300	c87v			
b50r	32.52	69.06	-42.14	80.9	329	v68m			
b75r	39.48	71.47	-3.69	71.57	357	m34o			

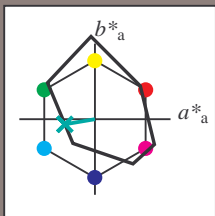
Dreiecks-Helligkeit t^*
 %Umfang
 $u^*_{rel} = 109$
 %Regularität
 $g^*_{H,rel} = 31$
 $g^*_{C,rel} = 40$



BAM-Registrierung: 20081001-Fg64/10L/L64g00NP.PDF/.PS BAM-Material: Code=rh4ta
 Anwendung für Beurteilung und Messung von Drucker- oder Monitorssystemen

Ein und Ausgabe: Farbmetrisches Drucker-Reflexiv-System FRS12_95a, L*=12_95 für relative CIELAB-Buntton $h^* = lab^*h^* = h_{ab}/360 = 0.527$ $u^*_e = g25b$
 lab^*olv^*

Daten für jede Farbe:
 lab^*tch^* und lab^*icu^*
 Bunttontexte:
 $u^*_e = g25b$ $u^*_d = l55c$
 Kontrastreduzierungsfaktor:
 $c_R = 1.0$
 Dreiecks-Helligkeit t^*

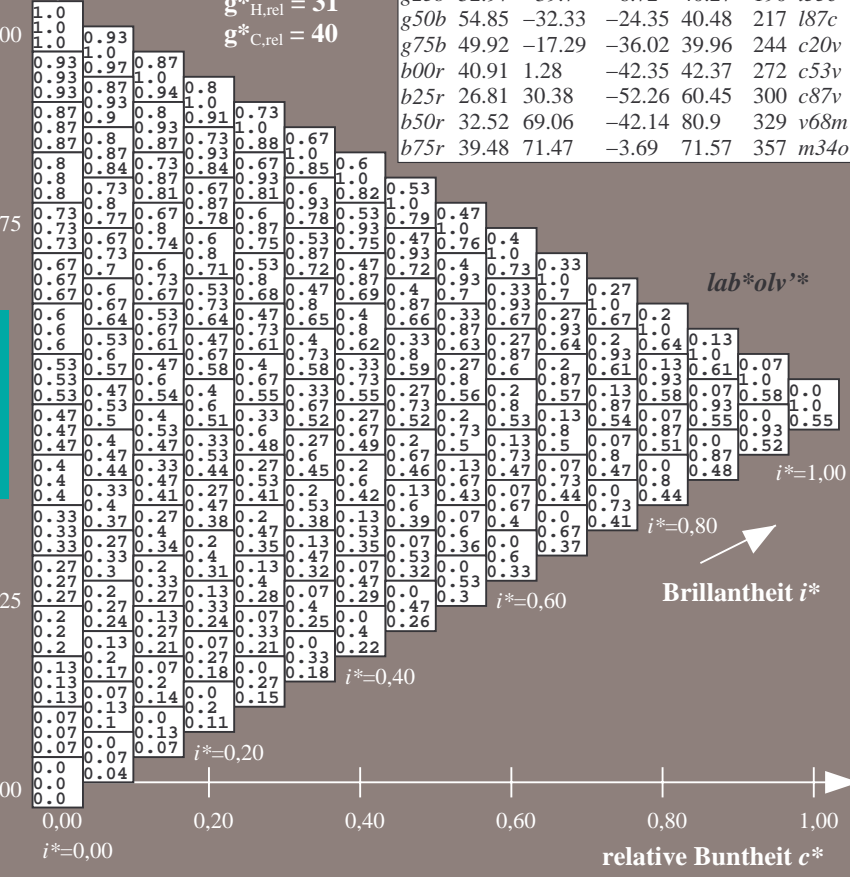
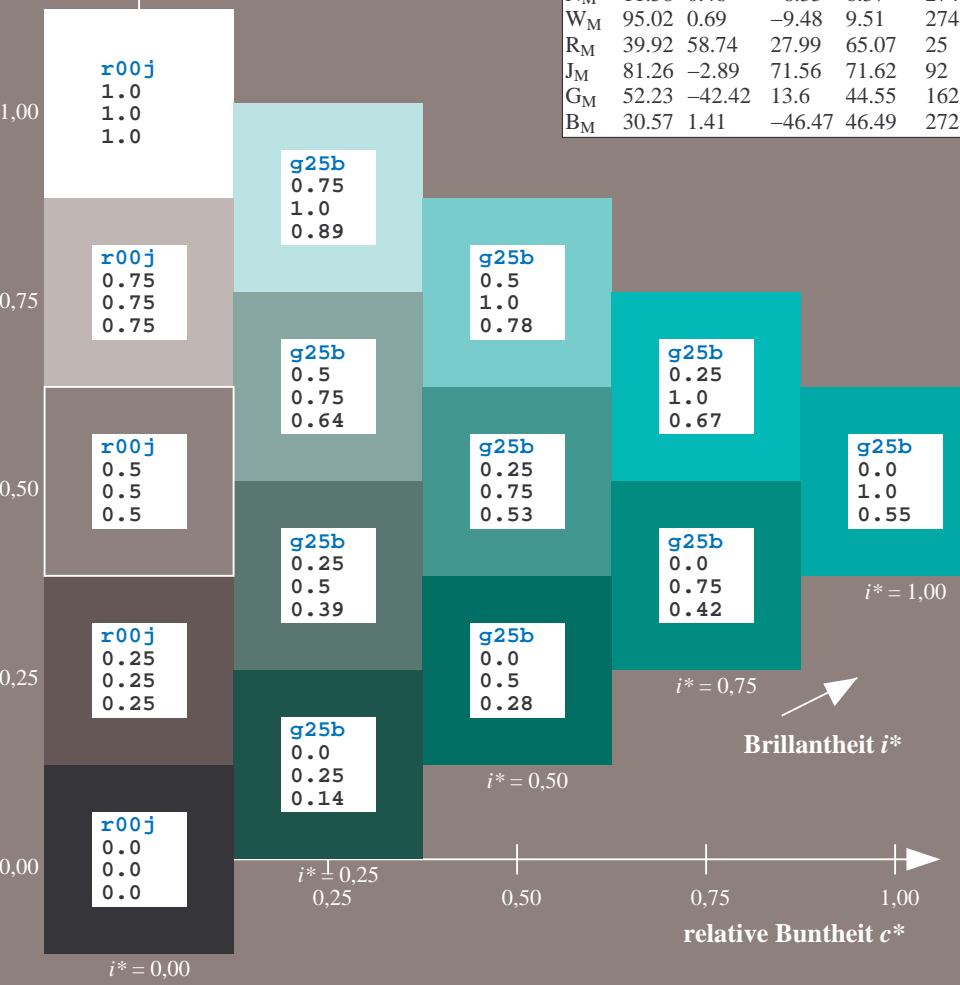


FRS12_95a; CIELAB-Daten						
u^*_e	$L^*=L^*$	a^*	b^*	C^*_{ab}	h^*_{ab}	
O _M	38.06	60.53	36.66	70.77	31	
Y _M	86.77	-4.5	100.15	100.25	93	
L _M	47.13	-62.11	40.56	74.18	147	
C _M	55.66	-28.56	-39.99	49.14	234	
V _M	17.15	50.78	-65.6	82.96	308	
M _M	40.37	79.18	-40.93	89.13	333	
N _M	11.58	0.46	-6.35	6.37	274	
W _M	95.02	0.69	-9.48	9.51	274	
R _M	39.92	58.74	27.99	65.07	25	
J _M	81.26	-2.89	71.56	71.62	92	
G _M	52.23	-42.42	13.6	44.55	162	
B _M	30.57	1.41	-46.47	46.49	272	

Daten für Maximalfarbe (Ma):
 $LAB^*LAB^*_{Ma}: 53 -40 -7$
 $LAB^*LCH^*_{Ma}: 53 40 189$
 $lab^*rgb^*_{Ma}: 0.0 1.0 0.5$
 $lab^*olv^*_{Ma}: 0.0 1.0 0.55$

FRS12_95a; adaptierte CIELAB-Daten								
u^*_e	$L^*=L^*_a$	a^*_a	b^*_a	$C^*_{ab,a}$	$h^*_{ab,a}$	u^*_d		
r00j	38.47	63.32	30.17	70.15	25	m81o		
r25j	42.12	54.56	49.45	73.64	42	o10y		
r50j	53.64	39.15	64.89	75.79	59	o40y		
r75j	67.01	21.26	82.83	85.52	76	o69y		
j00g	86.18	-4.38	108.53	108.62	92	o98y		
j25g	69.73	-29.89	83.06	88.28	110	y34l		
j50g	57.03	-48.31	63.49	79.78	127	y69l		
j75g	47.73	-60.33	42.64	73.88	145	l03c		
g00b	50.59	-49.08	15.74	51.54	162	l23c		
g25b	52.97	-39.7	-6.72	40.27	190	l55c		
g50b	54.85	-32.33	-24.35	40.48	217	l87c		
g75b	49.92	-17.29	-36.02	39.96	244	c20v		
b00r	40.91	1.28	-42.35	42.37	272	c53v		
b25r	26.81	30.38	-52.26	60.45	300	c87v		
b50r	32.52	69.06	-42.14	80.9	329	v68m		
b75r	39.48	71.47	-3.69	71.57	357	m34o		

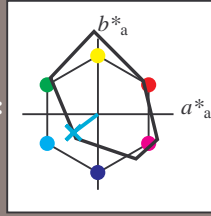
Dreiecks-Helligkeit t^*
 %Umfang
 $u^*_{rel} = 109$
 %Regularität
 $g^*_{H,rel} = 31$
 $g^*_{C,rel} = 40$



Siehe ähnliche Dateien: <http://www.ps.bam.de/Fg64/>; www.ps.bam.de/Version.2.1,io=1,1,Colspx=0
 Technische Information: <http://www.ps.bam.de>

BAM-Registrierung: 20081001-Fg64/10L/L64g00NP.PDF/.PS BAM-Material: Code=rh4ta
 Anwendung für Beurteilung und Messung von Drucker- oder Monitorssystemen

Ein und Ausgabe: Farbmetrisches Drucker-Reflektiv-System FRS12_95a, L*=12_95 für relative CIELAB-Buntton $h^* = lab^*h^* = h_{ab}/360 = 0.603$ $u^*_e = g50b$
 Daten für jede Farbe: lab^*tch^* und lab^*icu^*
 $u^*_e = g50b$ $u^*_d = l87c$
 Kontrastreduzierungsfaktor: $c_R = 1.0$
 Dreiecks-Helligkeit i^*



FRS12_95a; CIELAB-Daten

	u^*_e	$L^*=L^*$	a^*	b^*	C^*_{ab}	h^*_{ab}
O _M	38.06	60.53	36.66	70.77	31	
Y _M	86.77	-4.5	100.15	100.25	93	
L _M	47.13	-62.11	40.56	74.18	147	
C _M	55.66	-28.56	-39.99	49.14	234	
V _M	17.15	50.78	-65.6	82.96	308	
M _M	40.37	79.18	-40.93	89.13	333	
N _M	11.58	0.46	-6.35	6.37	274	
W _M	95.02	0.69	-9.48	9.51	274	
R _M	39.92	58.74	27.99	65.07	25	
J _M	81.26	-2.89	71.56	71.62	92	
G _M	52.23	-42.42	13.6	44.55	162	
B _M	30.57	1.41	-46.47	46.49	272	

Daten für Maximalfarbe (Ma):

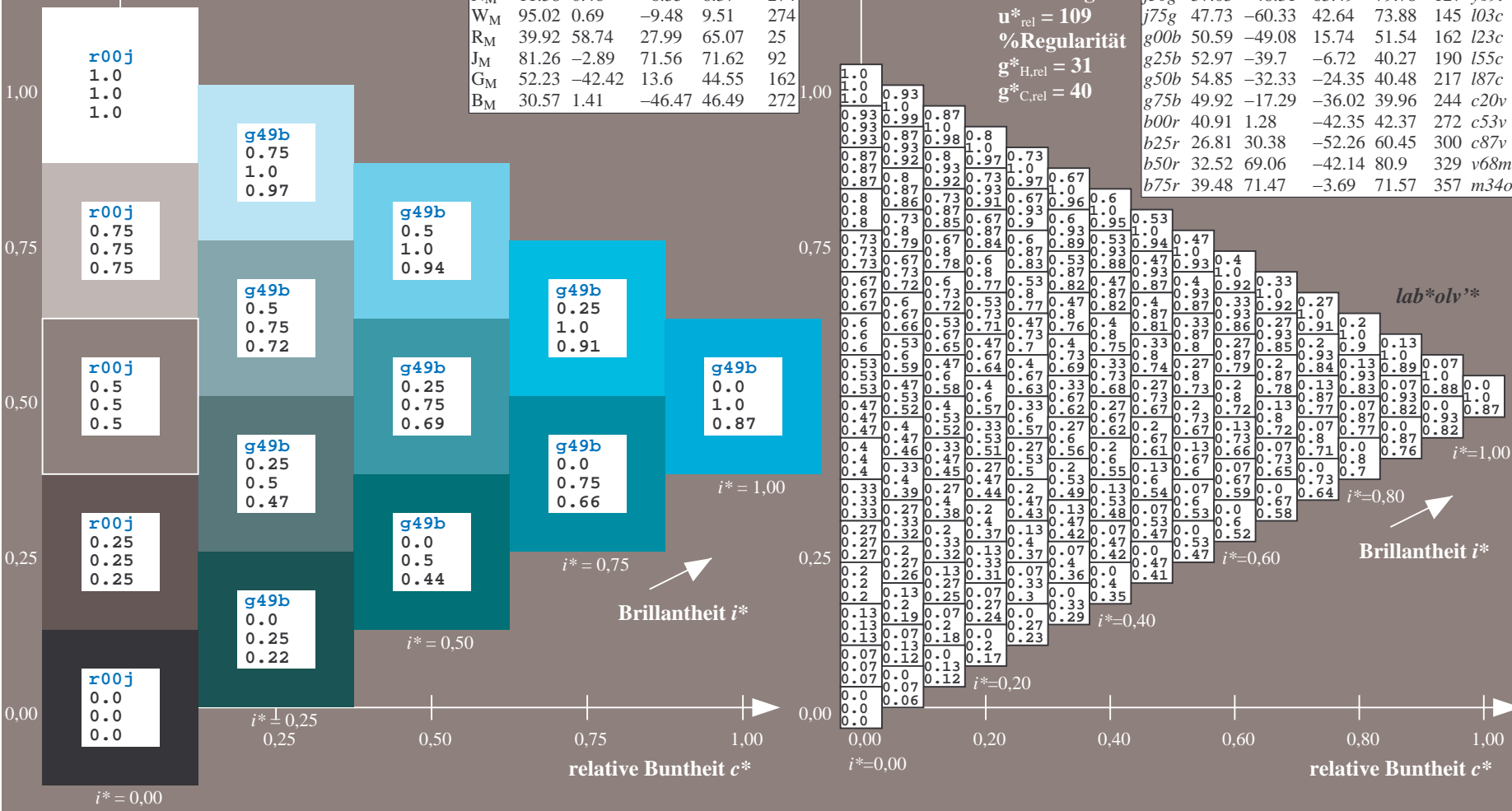
$LAB^*LAB^*_{Ma}: 55 -32 -24$
 $LAB^*LCH^*_{Ma}: 55 40 216$
 $lab^*rgb^*_{Ma}: 0.0 1.0 1.0$
 $lab^*olv^*_{Ma}: 0.0 1.0 0.87$

FRS12_95a; adaptierte CIELAB-Daten

	u^*_e	$L^*=L^*_a$	a^*_a	b^*_a	$C^*_{ab,a}$	$h^*_{ab,a}$	u^*_d
r00j	38.47	63.32	30.17	70.15	25	m81o	
r25j	42.12	54.56	49.45	73.64	42	o10y	
r50j	53.64	39.15	64.89	75.79	59	o40y	
r75j	67.01	21.26	82.83	85.52	76	o69y	
j00g	86.18	-4.38	108.53	108.62	92	o98y	
j25g	69.73	-29.89	83.06	88.28	110	y34l	
j50g	57.03	-48.31	63.49	79.78	127	y69l	
j75g	47.73	-60.33	42.64	73.88	145	l03c	
g00b	50.59	-49.08	15.74	51.54	162	l23c	
g25b	52.97	-39.7	-6.72	40.27	190	l55c	
g50b	54.85	-32.33	-24.35	40.48	217	l87c	
g75b	49.92	-17.29	-36.02	39.96	244	c20c	
b00r	40.91	1.28	-42.35	42.37	272	c53v	
b25r	26.81	30.38	-52.26	60.45	300	c87v	
b50r	32.52	69.06	-42.14	80.9	329	v68m	
b75r	39.48	71.47	-3.69	71.57	357	m34o	

Dreiecks-Helligkeit i^*

%Umfang
 $u^*_{rel} = 109$
 %Regularität
 $g^*_{H,rel} = 31$
 $g^*_{C,rel} = 40$



Siehe ähnliche Dateien: <http://www.ps.bam.de/Fg64/>; www.ps.bam.de/Version.2.1,io=1,1,Colspx=0
 Technische Information: <http://www.ps.bam.de>

BAM-Registrierung: 20081001-Fg64/10L/L64g00NP.PDF/.PS BAM-Material: Code=rhatha
 Anwendung für Beurteilung und Messung von Drucker- oder Monitorssystemen

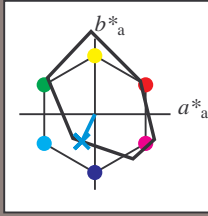
Ein und Ausgabe: Farbmetrisches Drucker-Reflektiv-System FRS12_95a, L*=12_95 für relative CIELAB-Buntton $h^* = lab^*h^* = h_{ab}/360 = 0.679$ $u^*_e = g75b$
 lab^*olv^*

Daten für jede Farbe:
 lab^*tch^* und lab^*icu^*

Bunttontexte:
 $u^*_e = g75b$ $u^*_d = c20v$

Kontrastreduzierungsfaktor:
 $c_R = 1.0$

Dreiecks-Helligkeit i^*



FRS12_95a; CIELAB-Daten

u^*_e	$L^*=L^*$	a^*	b^*	C^*_{ab}	h^*_{ab}
O _M	38.06	60.53	36.66	70.77	31
Y _M	86.77	-4.5	100.15	100.25	93
L _M	47.13	-62.11	40.56	74.18	147
C _M	55.66	-28.56	-39.99	49.14	234
V _M	17.15	50.78	-65.6	82.96	308
M _M	40.37	79.18	-40.93	89.13	333
N _M	11.58	0.46	-6.35	6.37	274
W _M	95.02	0.69	-9.48	9.51	274
R _M	39.92	58.74	27.99	65.07	25
J _M	81.26	-2.89	71.56	71.62	92
G _M	52.23	-42.42	13.6	44.55	162
B _M	30.57	1.41	-46.47	46.49	272

Daten für Maximalfarbe (Ma):

$LAB^*LAB^*_{Ma}$: 50 -17 -36

$LAB^*LCH^*_{Ma}$: 50 40 244

$lab^*rgb^*_{Ma}$: 0.0 0.5 1.0

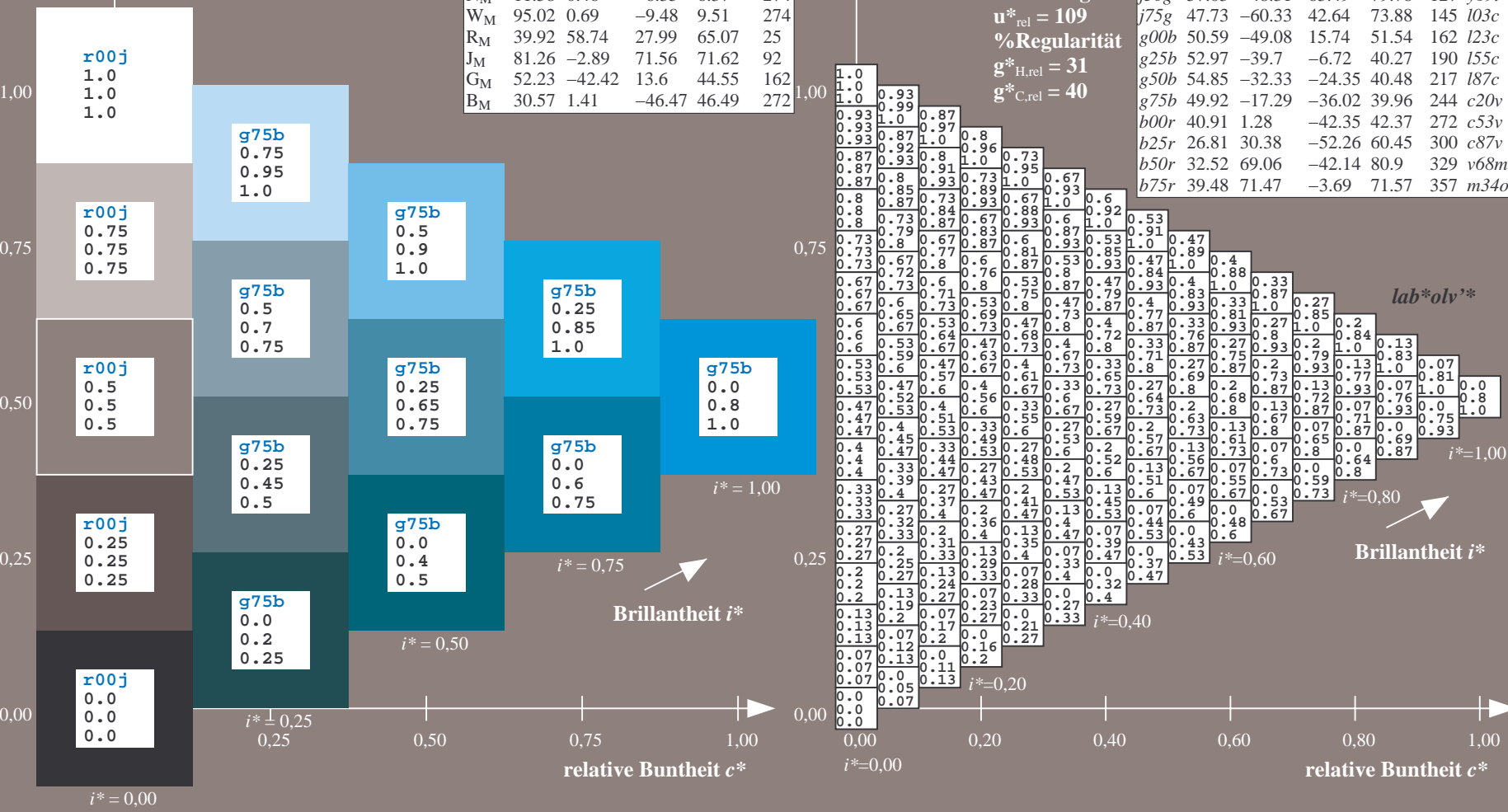
$lab^*olv^*_{Ma}$: 0.0 0.8 1.0

Dreiecks-Helligkeit i^*

%Umfang
 $u^*_{rel} = 109$
 %Regularität
 $g^*_{H,rel} = 31$
 $g^*_{C,rel} = 40$

FRS12_95a; adaptierte CIELAB-Daten

u^*_e	$L^*=L^*_a$	a^*_a	b^*_a	$C^*_{ab,a}$	$h^*_{ab,a}$	u^*_d
r00j	38.47	63.32	30.17	70.15	25	m81o
r25j	42.12	54.56	49.45	73.64	42	o10y
r50j	53.64	39.15	64.89	75.79	59	o40y
r75j	67.01	21.26	82.83	85.52	76	o69y
j00g	86.18	-4.38	108.53	108.62	92	o98y
j25g	69.73	-29.89	83.06	88.28	110	y34l
j50g	57.03	-48.31	63.49	79.78	127	y69l
j75g	47.73	-60.33	42.64	73.88	145	l03c
g00b	50.59	-49.08	15.74	51.54	162	l23c
g25b	52.97	-39.7	-6.72	40.27	190	l55c
g50b	54.85	-32.33	-24.35	40.48	217	l87c
g75b	49.92	-17.29	-36.02	39.96	244	c20v
b00r	40.91	1.28	-42.35	42.37	272	c53v
b25r	26.81	30.38	-52.26	60.45	300	c87v
b50r	32.52	69.06	-42.14	80.9	329	v68m
b75r	39.48	71.47	-3.69	71.57	357	m34o



Siehe ähnliche Dateien: <http://www.ps.bam.de/Fg64/>; [www.ps.bam.de/Fg64/Version 2.1, io=1,1, Colspx=0](http://www.ps.bam.de/Fg64/Version%201.1,io=1,1,Colspx=0)
 Technische Information: <http://www.ps.bam.de>

BAM-Registrierung: 20081001-Fg64/10L/L64g00NP.PDF/.PS BAM-Material: Code=rh4ta
 Anwendung für Beurteilung und Messung von Drucker- oder Monitorssystemen

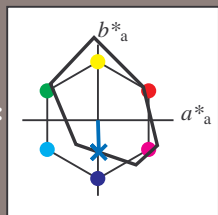
Ein und Ausgabe: Farbmetrisches Drucker-Reflexiv-System FRS12_95a, L*=12_95 für relative CIELAB-Bunton $h^* = lab^*h^* = h_{ab}/360 = 0.755$ $u^*_e = b00r$
 lab^*olv^*

Daten für jede Farbe:
 lab^*tch^* und lab^*icu^*

Buntonkontexte:
 $u^*_e = b00r$ $u^*_d = c53v$

Kontrastreduzierungsfaktor:
 $c_R = 1.0$

Dreiecks-Helligkeit i^*



FRS12_95a; CIELAB-Daten						
	u^*_e	$L^*=L^*$	a^*	b^*	C^*_{ab}	h^*_{ab}
O _M	38.06	60.53	36.66	70.77	31	
Y _M	86.77	-4.5	100.15	100.25	93	
L _M	47.13	-62.11	40.56	74.18	147	
C _M	55.66	-28.56	-39.99	49.14	234	
V _M	17.15	50.78	-65.6	82.96	308	
M _M	40.37	79.18	-40.93	89.13	333	
N _M	11.58	0.46	-6.35	6.37	274	
W _M	95.02	0.69	-9.48	9.51	274	
R _M	39.92	58.74	27.99	65.07	25	
J _M	81.26	-2.89	71.56	71.62	92	
G _M	52.23	-42.42	13.6	44.55	162	
B _M	30.57	1.41	-46.47	46.49	272	

Daten für Maximalfarbe (Ma):

$LAB^*LAB^*_{Ma}$: 41 1 -42

$LAB^*LCH^*_{Ma}$: 41 42 271

$lab^*rgb^*_{Ma}$: 0.0 0.0 1.0

$lab^*olv^*_{Ma}$: 0.0 0.47 1.0

Dreiecks-Helligkeit i^*

%Umfang

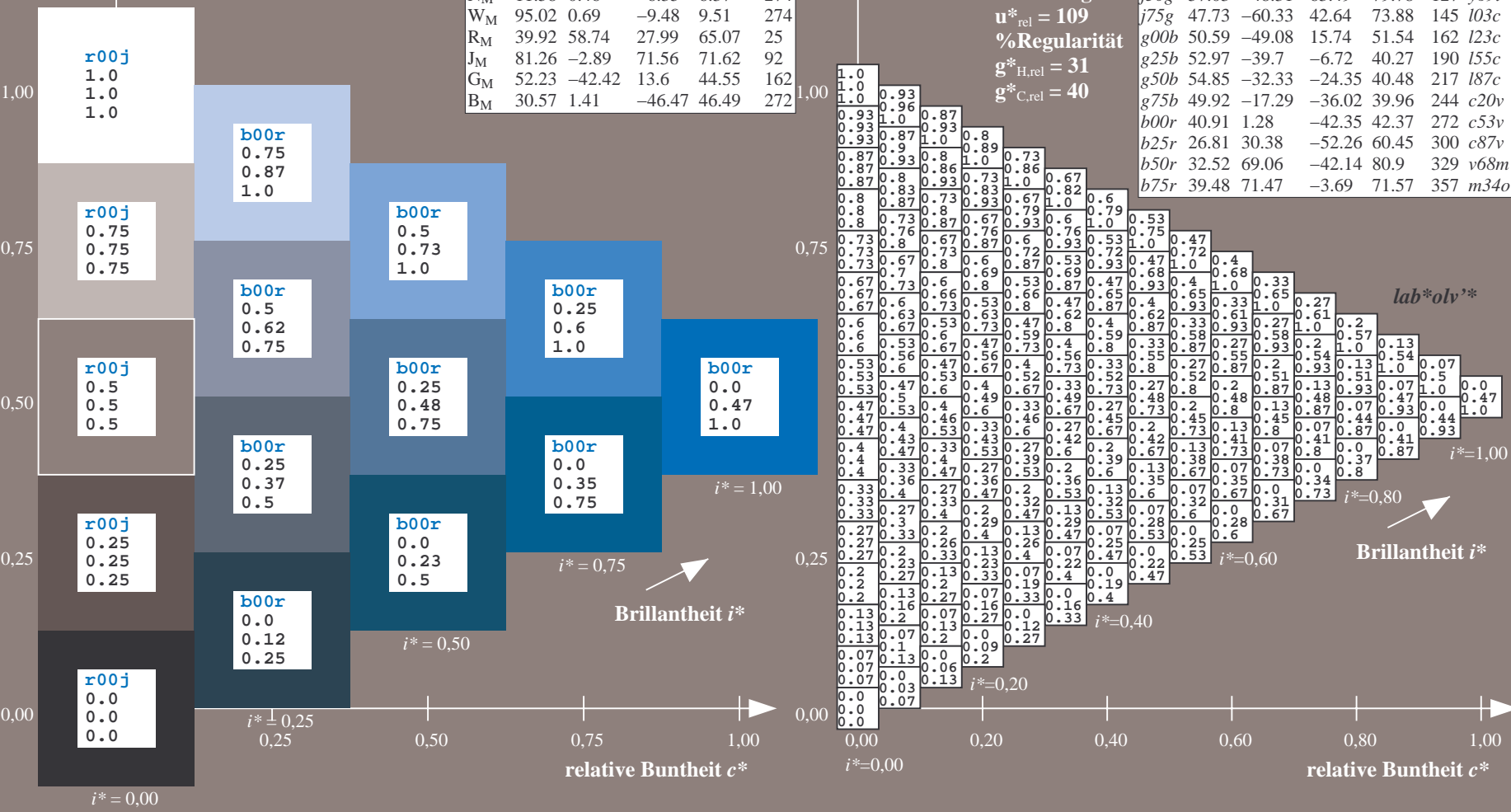
$u^*_{rel} = 109$

%Regularität

$g^*_{H,rel} = 31$

$g^*_{C,rel} = 40$

FRS12_95a; adaptierte CIELAB-Daten									
	u^*_e	$L^*=L^*_a$	a^*_a	b^*_a	$C^*_{ab,a}$	$h^*_{ab,a}$	u^*_d		
r00j	38.47	63.32	30.17	70.15	25	m81o			
r25j	42.12	54.56	49.45	73.64	42	o10y			
r50j	53.64	39.15	64.89	75.79	59	o40y			
r75j	67.01	21.26	82.83	85.52	76	o69y			
j00g	86.18	-4.38	108.53	108.62	92	o98y			
j25g	69.73	-29.89	83.06	88.28	110	y34l			
j50g	57.03	-48.31	63.49	79.78	127	y69l			
j75g	47.73	-60.33	42.64	73.88	145	l03c			
g00b	50.59	-49.08	15.74	51.54	162	l23c			
g25b	52.97	-39.7	-6.72	40.27	190	l55c			
g50b	54.85	-32.33	-24.35	40.48	217	l87c			
g75b	49.92	-17.29	-36.02	39.96	244	c20v			
b00r	40.91	1.28	-42.35	42.37	272	c53v			
b25r	26.81	30.38	-52.26	60.45	300	c87v			
b50r	32.52	69.06	-42.14	80.9	329	v68m			
b75r	39.48	71.47	-3.69	71.57	357	m34o			



BAM-Registrierung: 20081001-Fg64/10L/L64g00NP.PDF/.PS BAM-Material: Code=rh4ta
 Anwendung für Beurteilung und Messung von Drucker- oder Monitorssystemen

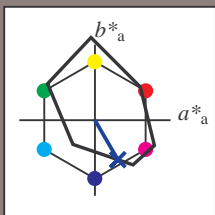
Ein und Ausgabe: Farbmetrisches Drucker-Reflektiv-System FRS12_95a, L*=12_95 für relative CIELAB-Bunton $h^* = lab^*h^* = h_{ab}/360 = 0.834$ $u^*_e = b25r$
 lab^*olv^*

Daten für jede Farbe:
 lab^*tch^* und lab^*icu^*

Buntonkontexte:
 $u^*_e = b25r$ $u^*_d = c87v$

Kontrastreduzierungsfaktor:
 $c_R = 1.0$

Dreiecks-Helligkeit i^*



FRS12_95a; CIELAB-Daten						
u^*_e	$L^*=L^*_a$	a^*	b^*	C^*_{ab}	h^*_{ab}	
O _M	38.06	60.53	36.66	70.77	31	
Y _M	86.77	-4.5	100.15	100.25	93	
L _M	47.13	-62.11	40.56	74.18	147	
C _M	55.66	-28.56	-39.99	49.14	234	
V _M	17.15	50.78	-65.6	82.96	308	
M _M	40.37	79.18	-40.93	89.13	333	
N _M	11.58	0.46	-6.35	6.37	274	
W _M	95.02	0.69	-9.48	9.51	274	
R _M	39.92	58.74	27.99	65.07	25	
J _M	81.26	-2.89	71.56	71.62	92	
G _M	52.23	-42.42	13.6	44.55	162	
B _M	30.57	1.41	-46.47	46.49	272	

Daten für Maximalfarbe (Ma):

$LAB^*LAB^*_Ma: 27\ 30\ -52$

$LAB^*LCH^*_Ma: 27\ 60\ 300$

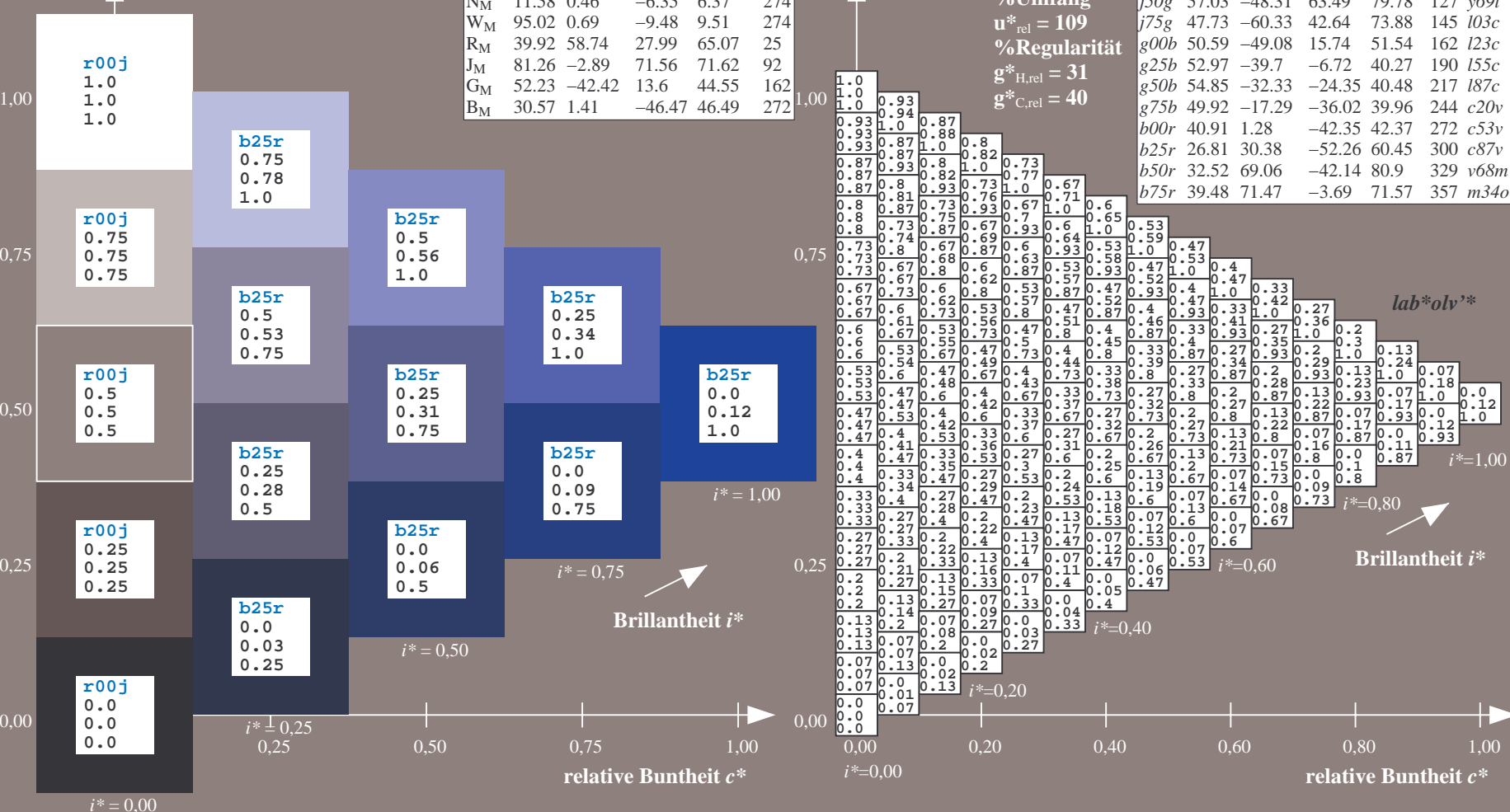
$lab^*rgb^*_Ma: 0.5\ 0.0\ 1.0$

$lab^*olv^*_Ma: 0.0\ 0.12\ 1.0$

Dreiecks-Helligkeit i^*

%Umfang
 $u^*_{rel} = 109$
 %Regularität
 $g^*_{H,rel} = 31$
 $g^*_{C,rel} = 40$

FRS12_95a; adaptierte CIELAB-Daten									
u^*_e	$L^*=L^*_a$	a^*_a	b^*_a	$C^*_{ab,a}$	$h^*_{ab,a}$	u^*_d			
r00j	38.47	63.32	30.17	70.15	25	m81o			
r25j	42.12	54.56	49.45	73.64	42	o10y			
r50j	53.64	39.15	64.89	75.79	59	o40y			
r75j	67.01	21.26	82.83	85.52	76	o69y			
j00g	86.18	-4.38	108.53	108.62	92	o98y			
j25g	69.73	-29.89	83.06	88.28	110	y34l			
j50g	57.03	-48.31	63.49	79.78	127	y69l			
j75g	47.73	-60.33	42.64	73.88	145	l03c			
g00b	50.59	-49.08	15.74	51.54	162	l23c			
g25b	52.97	-39.7	-6.72	40.27	190	l55c			
g50b	54.85	-32.33	-24.35	40.48	217	l87c			
g75b	49.92	-17.29	-36.02	39.96	244	c20v			
b00r	40.91	1.28	-42.35	42.37	272	c53v			
b25r	26.81	30.38	-52.26	60.45	300	c87v			
b50r	32.52	69.06	-42.14	80.9	329	v68m			
b75r	39.48	71.47	-3.69	71.57	357	m34o			



BAM-Registrierung: 20081001-Fg64/10L/L64g00NP.PDF/.PS BAM-Material: Code=rh4ta
 Anwendung für Beurteilung und Messung von Drucker- oder Monitorssystemen

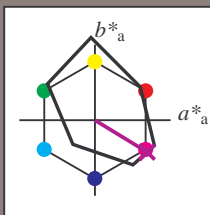
Ein und Ausgabe: Farbmetrisches Drucker-Reflektiv-System FRS12_95a, L*=12_95 für relative CIELAB-Bunton $h^* = lab^*h^* = h_{ab}/360 = 0.913$ $u^*_e = b50r$
 lab^*olv^*

Daten für jede Farbe:
 lab^*tch^* und lab^*icu^*

Buntontexte:
 $u^*_e = b50r$ $u^*_d = v68m$

Kontrastreduzierungsfaktor:
 $c_R = 1.0$

Dreiecks-Helligkeit i^*



FRS12_95a; CIELAB-Daten						
	u^*_e	$L^*=L^*$	a^*	b^*	C^*_{ab}	h^*_{ab}
O _M	38.06	60.53	36.66	70.77	31	
Y _M	86.77	-4.5	100.15	100.25	93	
L _M	47.13	-62.11	40.56	74.18	147	
C _M	55.66	-28.56	-39.99	49.14	234	
V _M	17.15	50.78	-65.6	82.96	308	
M _M	40.37	79.18	-40.93	89.13	333	
N _M	11.58	0.46	-6.35	6.37	274	
W _M	95.02	0.69	-9.48	9.51	274	
R _M	39.92	58.74	27.99	65.07	25	
J _M	81.26	-2.89	71.56	71.62	92	
G _M	52.23	-42.42	13.6	44.55	162	
B _M	30.57	1.41	-46.47	46.49	272	

Daten für Maximalfarbe (Ma):

$LAB^*LAB^*_{Ma}$: 33 69 -42

$LAB^*LCH^*_{Ma}$: 33 81 328

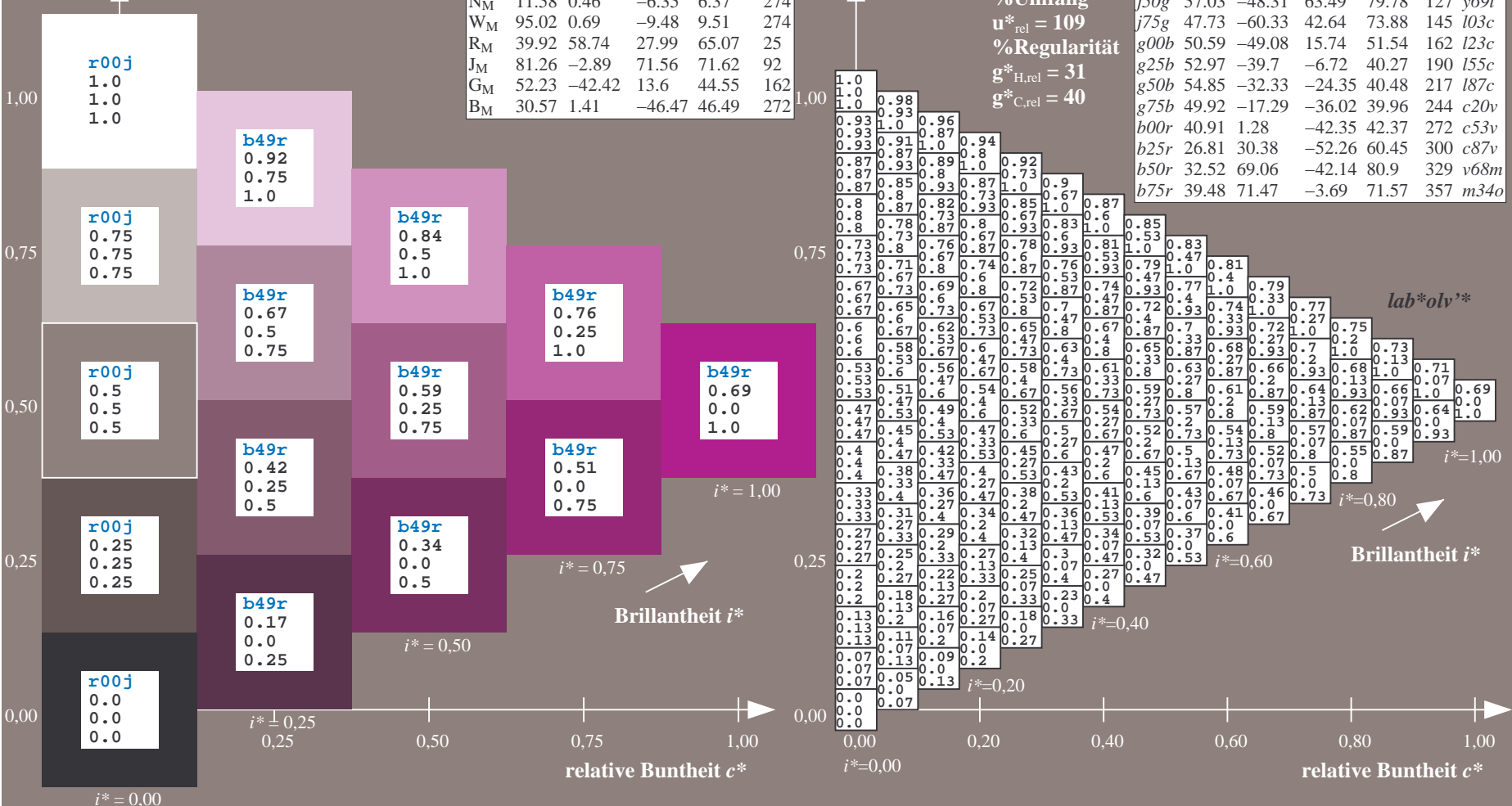
$lab^*rgb^*_{Ma}$: 1.0 0.0 1.0

$lab^*olv^*_{Ma}$: 0.69 0.0 1.0

Dreiecks-Helligkeit i^*

FRS12_95a; adaptierte CIELAB-Daten								
	u^*_e	$L^*=L^*_a$	a^*_a	b^*_a	$C^*_{ab,a}$	$h^*_{ab,a}$	u^*_d	
r00j	38.47	63.32	30.17	70.15	25	m81o		
r25j	42.12	54.56	49.45	73.64	42	o10y		
r50j	53.64	39.15	64.89	75.79	59	o40y		
r75j	67.01	21.26	82.83	85.52	76	o69y		
j00g	86.18	-4.38	108.53	108.62	92	o98y		
j25g	69.73	-29.89	83.06	88.28	110	y34l		
j50g	57.03	-48.31	63.49	79.78	127	y69l		
j75g	47.73	-60.33	42.64	73.88	145	l03c		
g00b	50.59	-49.08	15.74	51.54	162	l23c		
g25b	52.97	-39.7	-6.72	40.27	190	l55c		
g50b	54.85	-32.33	-24.35	40.48	217	l87c		
g75b	49.92	-17.29	-36.02	39.96	244	c20v		
b00r	40.91	1.28	-42.35	42.37	272	c53v		
b25r	26.81	30.38	-52.26	60.45	300	c87v		
b50r	32.52	69.06	-42.14	80.9	329	v68m		
b75r	39.48	71.47	-3.69	71.57	357	m34o		

%Umfang
 $u^*_{rel} = 109$
 %Regularität
 $g^*_{H,rel} = 31$
 $g^*_{C,rel} = 40$



Siehe ähnliche Dateien: <http://www.ps.bam.de/Fg64/>; [www.ps.bam.de/Fg64/Version 2.1, io=1,1, Colspx=0](http://www.ps.bam.de/Fg64/Version%201.1,io=1,1,Colspx=0)
 Technische Information: <http://www.ps.bam.de>

BAM-Registrierung: 20081001-Fg64/10L/L64g00NP.PDF/.PS BAM-Material: Code=rh4ta
 Anwendung für Beurteilung und Messung von Drucker- oder Monitorssystemen

Ein und Ausgabe: Farbmetrisches Drucker-Reflexiv-System FRS12_95a, L*=12_95 für relative CIELAB-Bunton $h^* = lab^*h^* = h_{ab}/360 = 0.992$ $u^*_e = b75r$

Daten für jede Farbe:

lab^*tch^* und lab^*icu^*

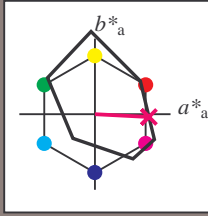
Buntontexte:

$u^*_e = b75r$ $u^*_d = m34o$

Kontrastreduzierungsfaktor:

$c_R = 1.0$

Dreiecks-Helligkeit i^*



FRS12_95a; CIELAB-Daten						
u^*_e	$L^*=L^*_a$	a^*	b^*	C^*_{ab}	h^*_{ab}	
O _M	38.06	60.53	36.66	70.77	31	
Y _M	86.77	-4.5	100.15	100.25	93	
L _M	47.13	-62.11	40.56	74.18	147	
C _M	55.66	-28.56	-39.99	49.14	234	
V _M	17.15	50.78	-65.6	82.96	308	
M _M	40.37	79.18	-40.93	89.13	333	
N _M	11.58	0.46	-6.35	6.37	274	
W _M	95.02	0.69	-9.48	9.51	274	
R _M	39.92	58.74	27.99	65.07	25	
J _M	81.26	-2.89	71.56	71.62	92	
G _M	52.23	-42.42	13.6	44.55	162	
B _M	30.57	1.41	-46.47	46.49	272	

Daten für Maximalfarbe (Ma):

$LAB^*LAB^*_Ma: 39\ 71\ -4$

$LAB^*LCH^*_Ma: 39\ 72\ 357$

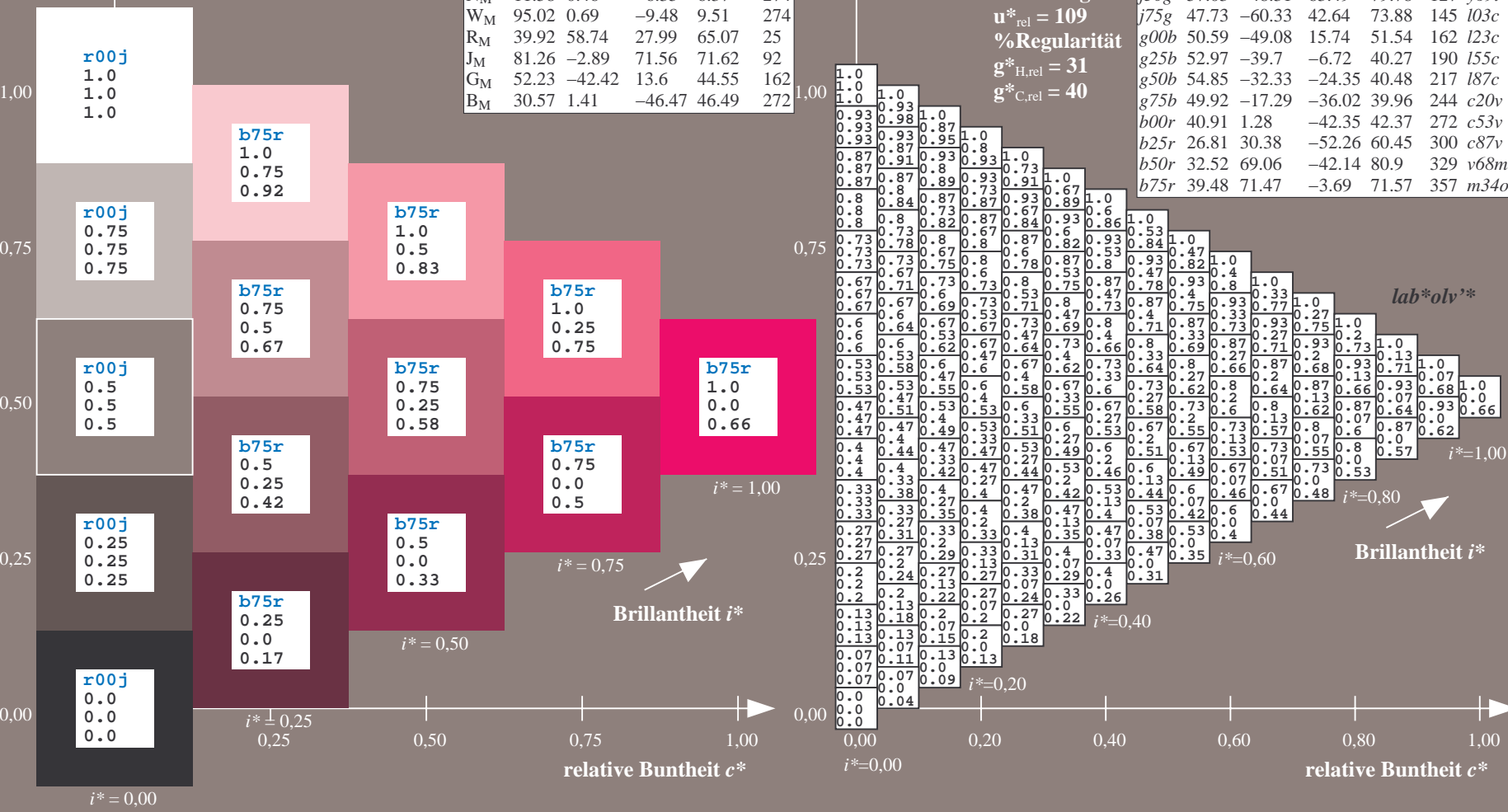
$lab^*rgb^*_Ma: 1.0\ 0.0\ 0.5$

$lab^*olv^*_Ma: 1.0\ 0.0\ 0.66$

Dreiecks-Helligkeit i^*

%Umfang
 $u^*_{rel} = 109$
 %Regularität
 $g^*_{H,rel} = 31$
 $g^*_{C,rel} = 40$

FRS12_95a; adaptierte CIELAB-Daten								
u^*_e	$L^*=L^*_a$	a^*_a	b^*_a	$C^*_{ab,a}$	$h^*_{ab,a}$	u^*_d		
r00j	38.47	63.32	30.17	70.15	25	m81o		
r25j	42.12	54.56	49.45	73.64	42	o10y		
r50j	53.64	39.15	64.89	75.79	59	o40y		
r75j	67.01	21.26	82.83	85.52	76	o69y		
j00g	86.18	-4.38	108.53	108.62	92	o98y		
j25g	69.73	-29.89	83.06	88.28	110	y34l		
j50g	57.03	-48.31	63.49	79.78	127	y69l		
j75g	47.73	-60.33	42.64	73.88	145	l03c		
g00b	50.59	-49.08	15.74	51.54	162	l23c		
g25b	52.97	-39.7	-6.72	40.27	190	l55c		
g50b	54.85	-32.33	-24.35	40.48	217	l87c		
g75b	49.92	-17.29	-36.02	39.96	244	c20v		
b00r	40.91	1.28	-42.35	42.37	272	c53v		
b25r	26.81	30.38	-52.26	60.45	300	c87v		
b50r	32.52	69.06	-42.14	80.9	329	v68m		
b75r	39.48	71.47	-3.69	71.57	357	m34o		



Siehe ähnliche Dateien: <http://www.ps.bam.de/Fg64/>; www.ps.bam.de/Fg.HTM
 Technische Information: <http://www.ps.bam.de> Version 2.1, io=1,1, ColSpx=0

BAM-Registrierung: 20081001-Fg64/10L/L64g00NP.PDF/.PS BAM-Material: Code=rh4ta
 Anwendung für Beurteilung und Messung von Drucker- oder Monitorssystemen

Siehe ähnliche Dateien: <http://www.ps.bam.de/Fg64/>; [www.ps.bam.de/Version 2.1, io=1,1, Colspx=0](http://www.ps.bam.de/Version2.1,io=1,1,Colspx=0)
Technische Information: <http://www.ps.bam.de>

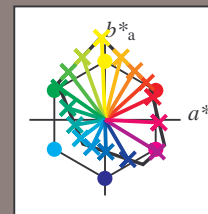
BAM-Registrierung: 20081001-Fg64/10L/L64g00NP.PDF/.PS BAM-Material: Code=thata4ta
Anwendung für Beurteilung und Messung von Drucker- oder Monitorsystemen

Table with 28 columns (A-Z, a-z) and 28 rows (01-27). Each cell contains numerical data representing colorimetric values. The table is bordered by a grid and includes registration marks at the corners.

Ein und Ausgabe:
 Farbmetrisches Drucker-Reflektiv-System FRS12_95a
 Daten für jede Farbe:
 u^*_e und Nummer *Nr.* = 00 .. 15
 Elementar-Bunttext:
 $u^*_e = 16$ Bunttoene *r00j, r25j, ..., b75r*
 Kontrastreduzierungsfaktor:
 $c_R = 1.0$

FRS12_95a; adaptierte CIELAB-Daten

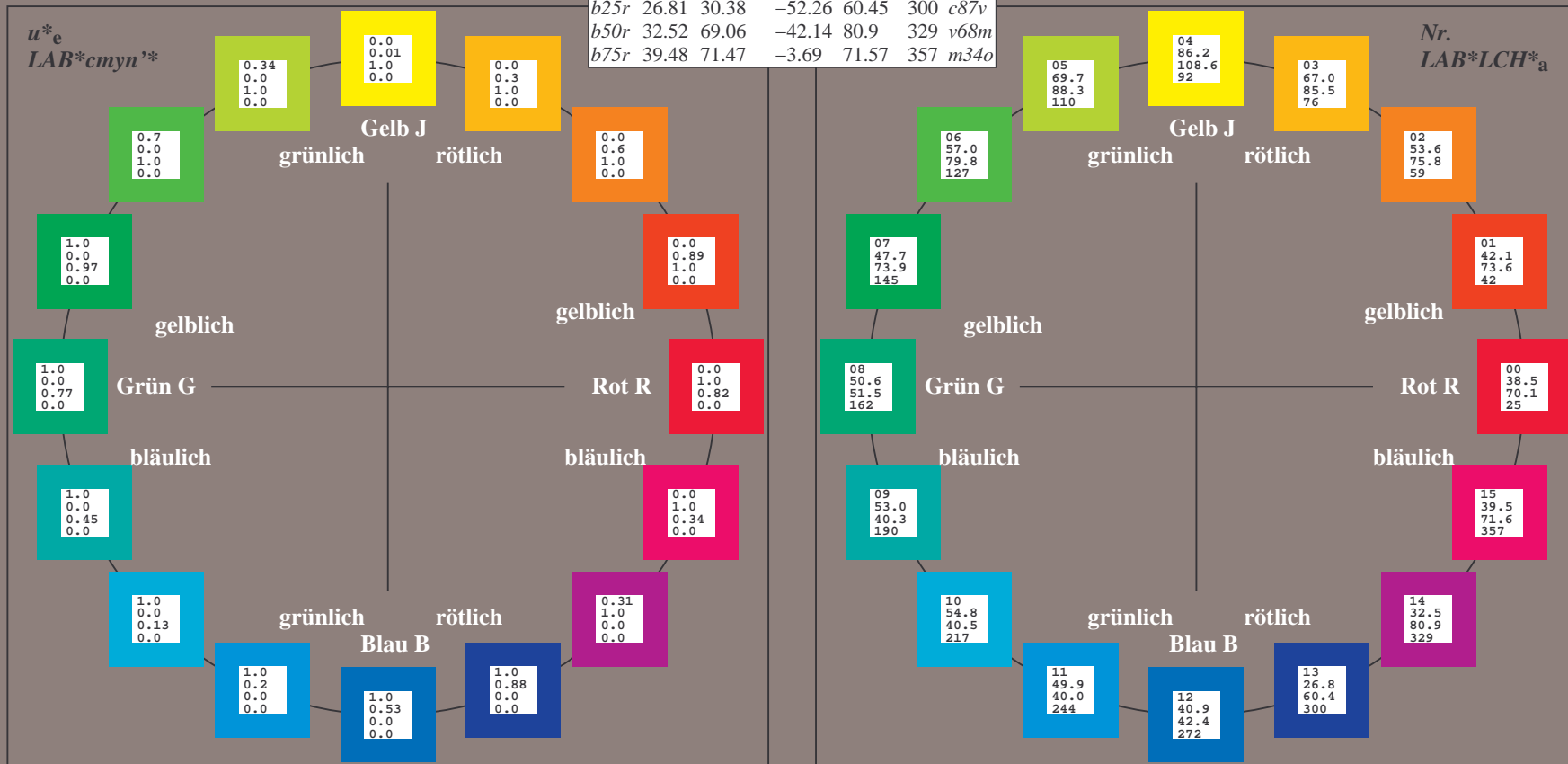
u^*_e	$L^*=L^*_a$	a^*_a	b^*_a	$C^*_{ab,a}$	$h^*_{ab,a}$	u^*_d
r00j	38.47	63.32	30.17	70.15	25	m81o
r25j	42.12	54.56	49.45	73.64	42	o10y
r50j	53.64	39.15	64.89	75.79	59	o40y
r75j	67.01	21.26	82.83	85.52	76	o69y
j00g	86.18	-4.38	108.53	108.62	92	o98y
j25g	69.73	-29.89	83.06	88.28	110	y34l
j50g	57.03	-48.31	63.49	79.78	127	y69l
j75g	47.73	-60.33	42.64	73.88	145	l03c
g00b	50.59	-49.08	15.74	51.54	162	l23c
g25b	52.97	-39.7	-6.72	40.27	190	l55c
g50b	54.85	-32.33	-24.35	40.48	217	l87c
g75b	49.92	-17.29	-36.02	39.96	244	c20v
b00r	40.91	1.28	-42.35	42.37	272	c53v
b25r	26.81	30.38	-52.26	60.45	300	c87v
b50r	32.52	69.06	-42.14	80.9	329	v68m
b75r	39.48	71.47	-3.69	71.57	357	m34o



%Umfang
 $u^*_{rel} = 109$
 %Regularität
 $g^*_{H,rel} = 31$
 $g^*_{C,rel} = 40$

FRS12_95a; CIELAB-Daten

Name	$L^*=L^*$	a^*	b^*	C^*_{ab}	h^*_{ab}
O _M	38.06	60.53	36.66	70.77	31
Y _M	86.77	-4.5	100.15	100.25	93
L _M	47.13	-62.11	40.56	74.18	147
C _M	55.66	-28.56	-39.99	49.14	234
V _M	17.15	50.78	-65.6	82.96	308
M _M	40.37	79.18	-40.93	89.13	333
N _M	11.58	0.46	-6.35	6.37	274
W _M	95.02	0.69	-9.48	9.51	274
R _{CIE}	39.92	58.74	27.99	65.07	25
J _{CIE}	81.26	-2.89	71.56	71.62	92
G _{CIE}	52.23	-42.42	13.6	44.55	162
B _{CIE}	30.57	1.41	-46.47	46.49	272



Siehe ähnliche Dateien: <http://www.ps.bam.de/Fg64/>; www.ps.bam.de/Fg64/HTM
 Technische Information: <http://www.ps.bam.de> Version 2.1, io=1,1, ColSpx=0

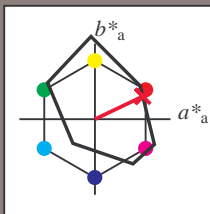
Ein und Ausgabe: Farbmetrisches Drucker-Reflektiv-System FRS12_95a, L*=12_95 für relativen CIELAB-Buntton $h^* = lab^*h^* = h_{ab}/360 = 0.071$ $u^*_e = r00j$

Daten für jede Farbe: lab^*tch^* und lab^*icu^*

Bunttontexte: $u^*_e = r00j$ $u^*_d = m81o$

Kontrastreduzierungsfaktor: $c_R = 1.0$

Dreiecks-Helligkeit t^*



FRS12_95a; CIELAB-Daten						
u^*_e	$L^*=L^*$	a^*	b^*	C^*_{ab}	h^*_{ab}	
O _M	38.06	60.53	36.66	70.77	31	
Y _M	86.77	-4.5	100.15	100.25	93	
L _M	47.13	-62.11	40.56	74.18	147	
C _M	55.66	-28.56	-39.99	49.14	234	
V _M	17.15	50.78	-65.6	82.96	308	
M _M	40.37	79.18	-40.93	89.13	333	
W _M	11.58	0.46	-6.35	6.37	274	
N _M	95.02	0.69	-9.48	9.51	274	
R _M	39.92	58.74	27.99	65.07	25	
J _M	81.26	-2.89	71.56	71.62	92	
G _M	52.23	-42.42	13.6	44.55	162	
B _M	30.57	1.41	-46.47	46.49	272	

Daten für Maximalfarbe (Ma):

$LAB^*LAB^*_{Ma}$: 38 63 30

$LAB^*LCH^*_{Ma}$: 38 70 25

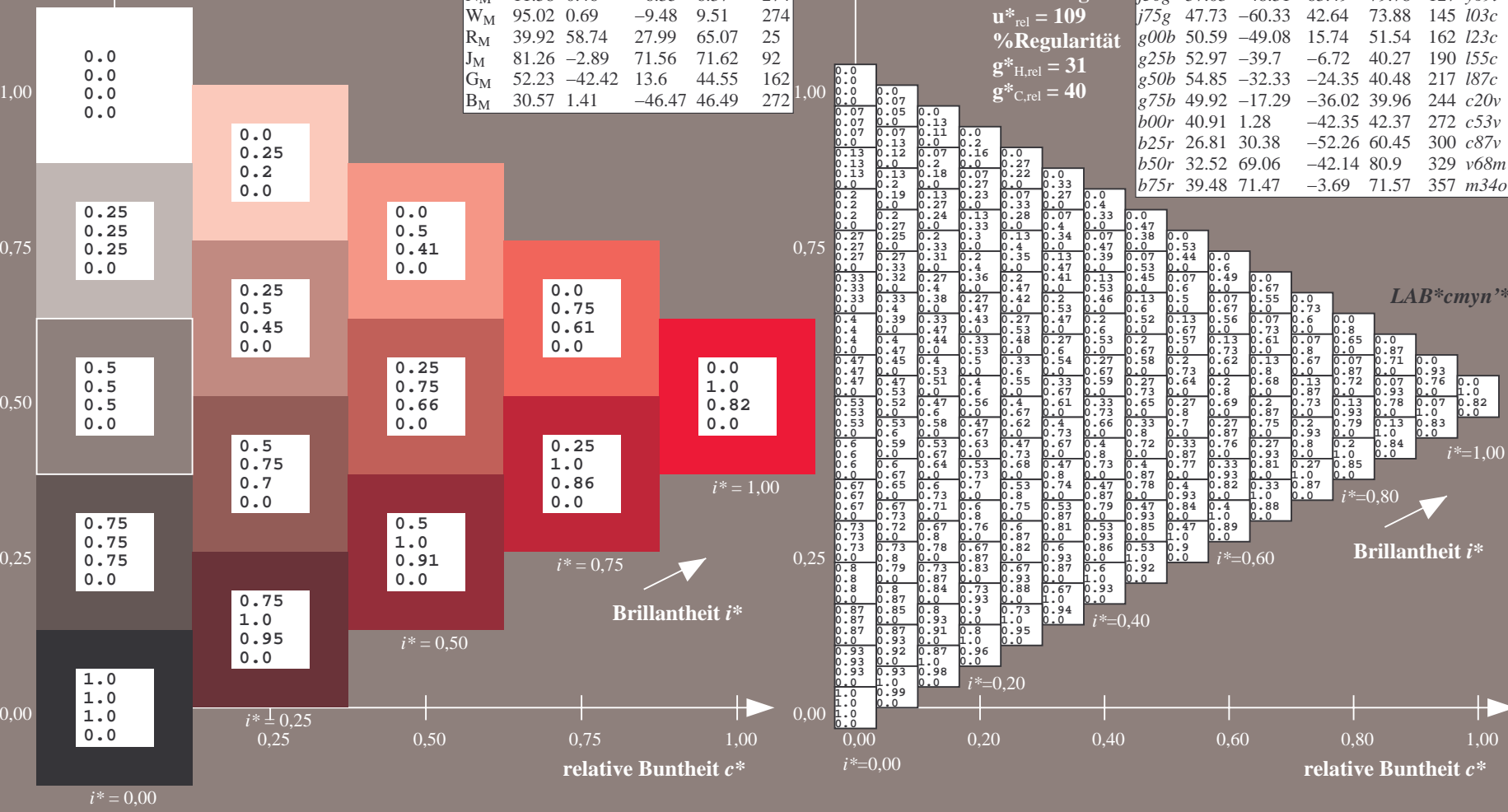
$lab^*rgb^*_{Ma}$: 1.0 0.0 0.0

$lab^*olv^*_{Ma}$: 1.0 0.0 0.18

Dreiecks-Helligkeit t^*

FRS12_95a; adaptierte CIELAB-Daten							
u^*_e	$L^*=L^*_a$	a^*_a	b^*_a	$C^*_{ab,a}$	$h^*_{ab,a}$	u^*_d	
r00j	38.47	63.32	30.17	70.15	25	m81o	
r25j	42.12	54.56	49.45	73.64	42	o10y	
r50j	53.64	39.15	64.89	75.79	59	o40y	
r75j	67.01	21.26	82.83	85.52	76	o69y	
j00g	86.18	-4.38	108.53	108.62	92	o98y	
j25g	69.73	-29.89	83.06	88.28	110	y34l	
j50g	57.03	-48.31	63.49	79.78	127	y69l	
j75g	47.73	-60.33	42.64	73.88	145	l03c	
g00b	50.59	-49.08	15.74	51.54	162	l23c	
g25b	52.97	-39.7	-6.72	40.27	190	l55c	
g50b	54.85	-32.33	-24.35	40.48	217	l87c	
g75b	49.92	-17.29	-36.02	39.96	244	c20v	
b00r	40.91	1.28	-42.35	42.37	272	c53v	
b25r	26.81	30.38	-52.26	60.45	300	c87v	
b50r	32.52	69.06	-42.14	80.9	329	v68m	
b75r	39.48	71.47	-3.69	71.57	357	m34o	

%Umfang
 $u^*_{rel} = 109$
 %Regularität
 $g^*_{H,rel} = 31$
 $g^*_{C,rel} = 40$

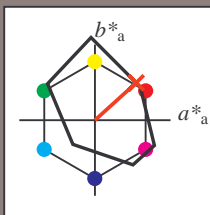


Siehe ähnliche Dateien: <http://www.ps.bam.de/Fg64/>; www.ps.bam.de/Version.2.1,io=1,1,Colspx=0
 Technische Information: <http://www.ps.bam.de>

BAM-Registrierung: 20081001-Fg64/10L/L64g00NP.PDF/.PS BAM-Material: Code=rhatha
 Anwendung für Beurteilung und Messung von Drucker- oder Monitorssystemen

Ein und Ausgabe: Farbmetrisches Drucker-Reflektiv-System FRS12_95a, L*=12_95 für relative CIELAB-Buntton $h^* = lab^*h^* = h_{ab}/360 = 0.117$ $u^*_e = r25j$
 Daten für jede Farbe: lab^*ch^* und lab^*icu^* **LAB*cmyn****

Bunttontexte:
 $u^*_e = r25j$ $u^*_d = o10y$
 Kontrastreduzierungsfaktor:
 $c_R = 1.0$
 Dreiecks-Helligkeit i^*



FRS12_95a; CIELAB-Daten						
	u^*_e	$L^*=L^*$	a^*	b^*	C^*_{ab}	h^*_{ab}
O _M	38.06	60.53	36.66	70.77	31	
Y _M	86.77	-4.5	100.15	100.25	93	
L _M	47.13	-62.11	40.56	74.18	147	
C _M	55.66	-28.56	-39.99	49.14	234	
V _M	17.15	50.78	-65.6	82.96	308	
M _M	40.37	79.18	-40.93	89.13	333	
N _M	11.58	0.46	-6.35	6.37	274	
W _M	95.02	0.69	-9.48	9.51	274	
R _M	39.92	58.74	27.99	65.07	25	
J _M	81.26	-2.89	71.56	71.62	92	
G _M	52.23	-42.42	13.6	44.55	162	
B _M	30.57	1.41	-46.47	46.49	272	

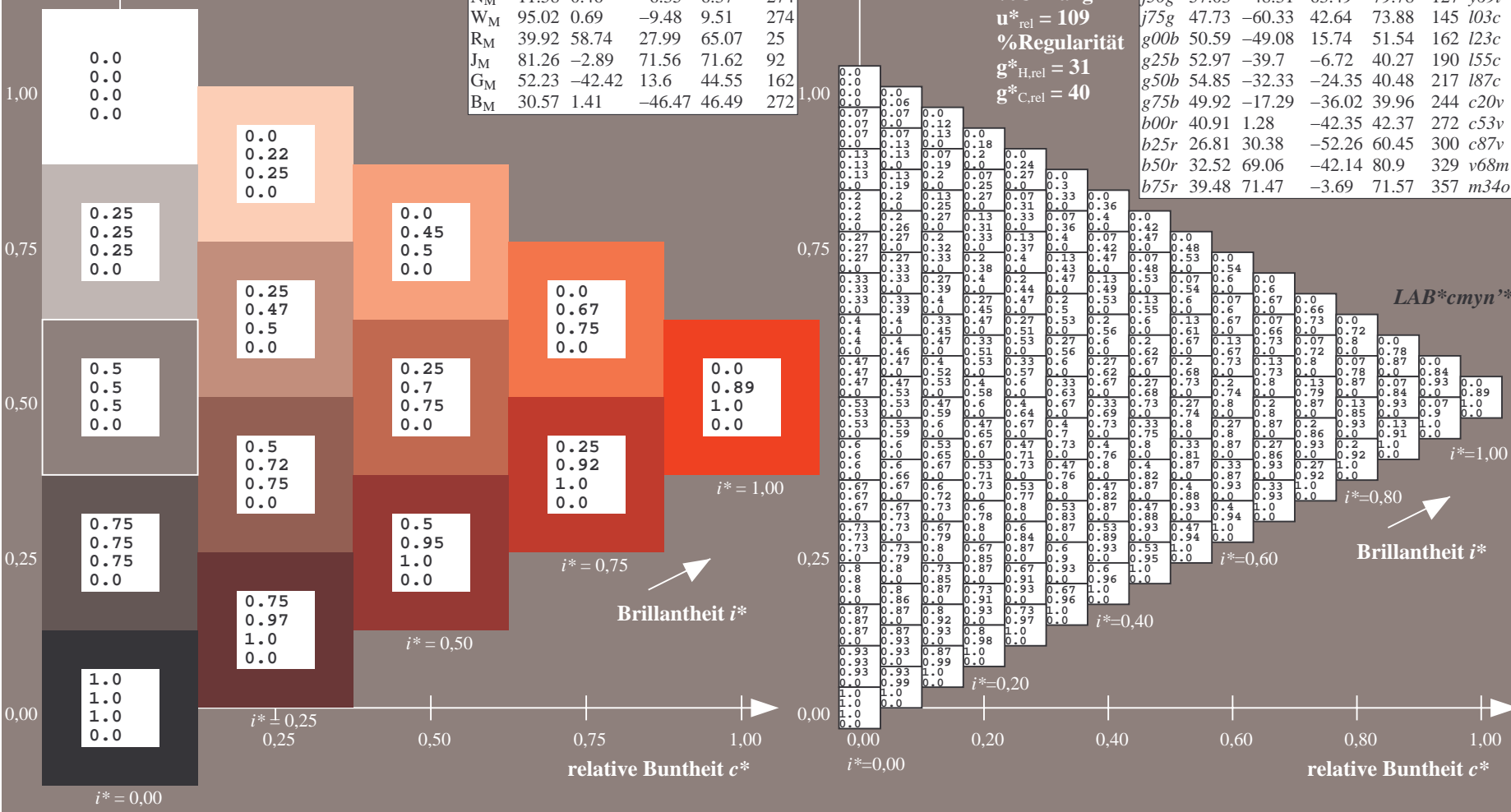
Daten für Maximalfarbe (Ma):

$LAB^*LAB^*_{Ma}$: 42 55 49
 $LAB^*LCH^*_{Ma}$: 42 74 42
 $lab^*rgb^*_{Ma}$: 1.0 0.25 0.0
 $lab^*olv^*_{Ma}$: 1.0 0.11 0.0

FRS12_95a; adaptierte CIELAB-Daten							
	u^*_e	$L^*=L^*_a$	a^*_a	b^*_a	$C^*_{ab,a}$	$h^*_{ab,a}$	u^*_d
r00j	38.47	63.32	30.17	70.15	25	m81o	
r25j	42.12	54.56	49.45	73.64	42	o10y	
r50j	53.64	39.15	64.89	75.79	59	o40y	
r75j	67.01	21.26	82.83	85.52	76	o69y	
j00g	86.18	-4.38	108.53	108.62	92	o98y	
j25g	69.73	-29.89	83.06	88.28	110	y34l	
j50g	57.03	-48.31	63.49	79.78	127	y69l	
j75g	47.73	-60.33	42.64	73.88	145	l03c	
g00b	50.59	-49.08	15.74	51.54	162	l23c	
g25b	52.97	-39.7	-6.72	40.27	190	l55c	
g50b	54.85	-32.33	-24.35	40.48	217	l87c	
g75b	49.92	-17.29	-36.02	39.96	244	c20v	
b00r	40.91	1.28	-42.35	42.37	272	c53v	
b25r	26.81	30.38	-52.26	60.45	300	c87v	
b50r	32.52	69.06	-42.14	80.9	329	v68m	
b75r	39.48	71.47	-3.69	71.57	357	m34o	

Dreiecks-Helligkeit i^*

%Umfang
 $u^*_{rel} = 109$
 %Regularität
 $g^*_{H,rel} = 31$
 $g^*_{C,rel} = 40$

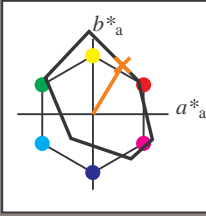


Siehe ähnliche Dateien: <http://www.ps.bam.de/Fg64/>; www.ps.bam.de/Version.2.1,io=1,1,Colspx=0
 Technische Information: <http://www.ps.bam.de>

BAM-Registrierung: 20081001-Fg64/10L/L64g00NP.PDF/.PS BAM-Material: Code=rhatha
 Anwendung für Beurteilung und Messung von Drucker- oder Monitorssystemen

Ein und Ausgabe: Farbmetrisches Drucker-Reflektiv-System FRS12_95a, L*=12_95 für relativen CIELAB-Buntton $h^* = lab^*h^* = h_{ab}/360 = 0.164$ $u^*_e = r50j$
 Daten für jede Farbe: lab^*tch^* und lab^*icu^* **LAB*cmy*n****

Bunttontexte:
 $u^*_e = r50j$ $u^*_d = o40y$
 Kontrastreduzierungsfaktor:
 $c_R = 1.0$
 Dreiecks-Helligkeit t^*



FRS12_95a; CIELAB-Daten

	u^*_e	$L^*=L^*$	a^*	b^*	C^*_{ab}	h^*_{ab}
O _M	38.06	60.53	36.66	70.77	31	
Y _M	86.77	-4.5	100.15	100.25	93	
L _M	47.13	-62.11	40.56	74.18	147	
C _M	55.66	-28.56	-39.99	49.14	234	
V _M	17.15	50.78	-65.6	82.96	308	
M _M	40.37	79.18	-40.93	89.13	333	
N _M	11.58	0.46	-6.35	6.37	274	
W _M	95.02	0.69	-9.48	9.51	274	
R _M	39.92	58.74	27.99	65.07	25	
J _M	81.26	-2.89	71.56	71.62	92	
G _M	52.23	-42.42	13.6	44.55	162	
B _M	30.57	1.41	-46.47	46.49	272	

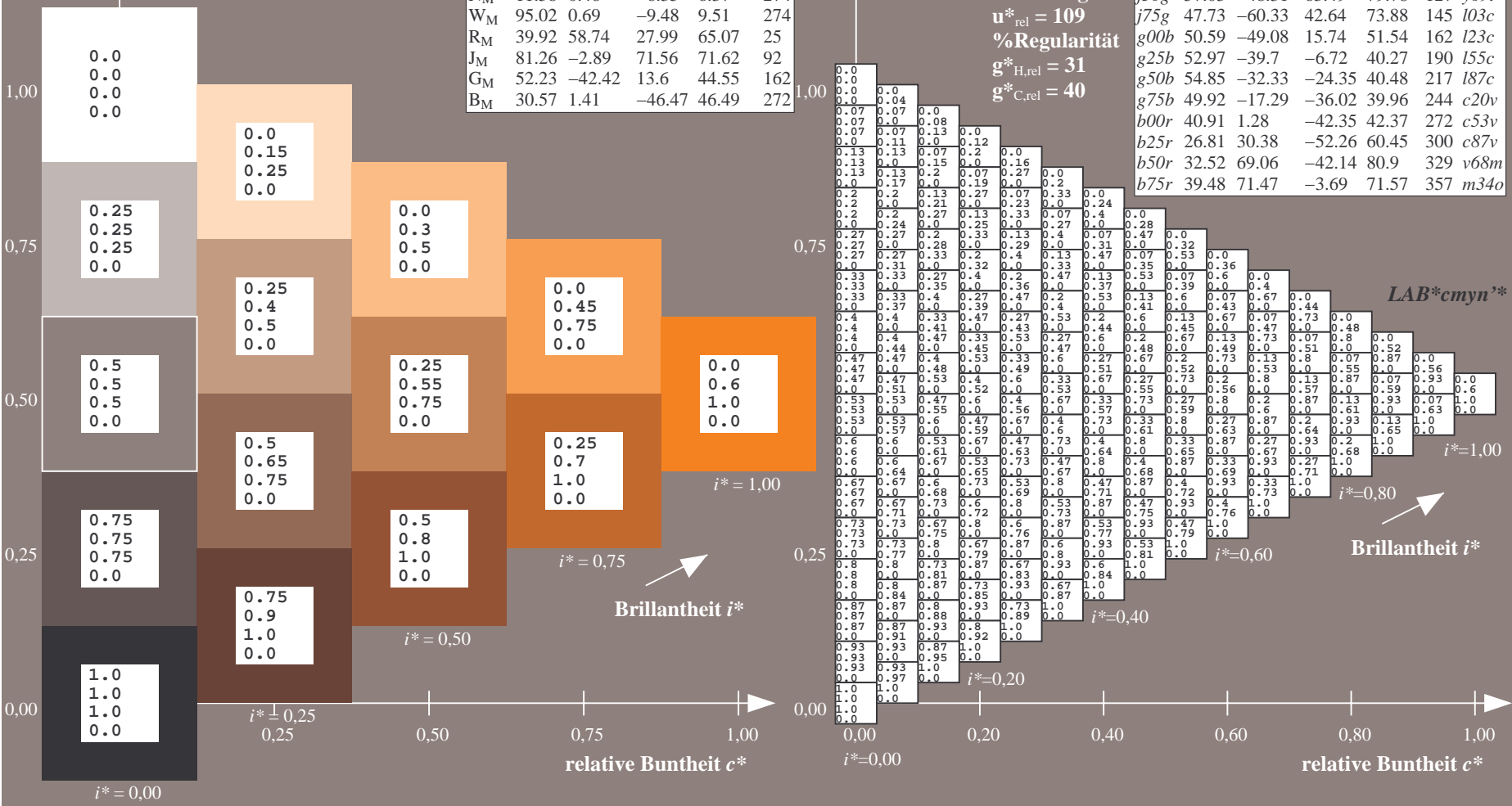
Daten für Maximalfarbe (Ma):

$LAB^*LAB^*_{Ma}$: 54 39 65
 $LAB^*LCH^*_{Ma}$: 54 76 58
 $lab^*rgb^*_{Ma}$: 1.0 0.5 0.0
 $lab^*olv^*_{Ma}$: 1.0 0.4 0.0

FRS12_95a; adaptierte CIELAB-Daten

	u^*_e	$L^*=L^*_a$	a^*_a	b^*_a	$C^*_{ab,a}$	$h^*_{ab,a}$	u^*_d
r00j	38.47	63.32	30.17	70.15	25	m81o	
r25j	42.12	54.56	49.45	73.64	42	o10y	
r50j	53.64	39.15	64.89	75.79	59	o40y	
r75j	67.01	21.26	82.83	85.52	76	o69y	
j00g	86.18	-4.38	108.53	108.62	92	o98y	
j25g	69.73	-29.89	83.06	88.28	110	y34l	
j50g	57.03	-48.31	63.49	79.78	127	y69l	
j75g	47.73	-60.33	42.64	73.88	145	l03c	
g00b	50.59	-49.08	15.74	51.54	162	l23c	
g25b	52.97	-39.7	-6.72	40.27	190	l55c	
g50b	54.85	-32.33	-24.35	40.48	217	l87c	
g75b	49.92	-1.29	-36.02	39.96	244	c20v	
b00r	40.91	1.28	-42.35	42.37	272	c53v	
b25r	26.81	30.38	-52.26	60.45	300	c87v	
b50r	32.52	69.06	-42.14	80.9	329	v68m	
b75r	39.48	71.47	-3.69	71.57	357	m34o	

Dreiecks-Helligkeit t^*
 %Umfang
 $u^*_{rel} = 109$
 %Regularität
 $g^*_{H,rel} = 31$
 $g^*_{C,rel} = 40$



BAM-Registrierung: 20081001-Fg64/10L/L64g00NP.PDF/.PS BAM-Material: Code=rhatha
 Anwendung für Beurteilung und Messung von Drucker- oder Monitorssystemen

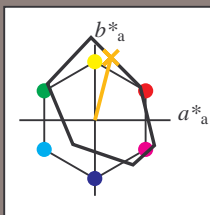
Ein und Ausgabe: Farbmetrisches Drucker-Reflektiv-System FRS12_95a, L*=12_95 für relativen CIELAB-Buntton $h^* = lab^*h^* = h_{ab}/360 = 0.21$ $u^*_e = r75j$

Daten für jede Farbe: lab^*tch^* und lab^*icu^*

Bunttontexte: $u^*_e = r75j$ $u^*_d = o69y$

Kontrastreduzierungsfaktor: $c_R = 1.0$

Dreiecks-Helligkeit t^*



FRS12_95a; CIELAB-Daten						
	u^*_e	$L^*=L^*$	a^*	b^*	C^*_{ab}	h^*_{ab}
O _M	38.06	60.53	36.66	70.77	31	
Y _M	86.77	-4.5	100.15	100.25	93	
L _M	47.13	-62.11	40.56	74.18	147	
C _M	55.66	-28.56	-39.99	49.14	234	
V _M	17.15	50.78	-65.6	82.96	308	
M _M	40.37	79.18	-40.93	89.13	333	
N _M	11.58	0.46	-6.35	6.37	274	
W _M	95.02	0.69	-9.48	9.51	274	
R _M	39.92	58.74	27.99	65.07	25	
J _M	81.26	-2.89	71.56	71.62	92	
G _M	52.23	-42.42	13.6	44.55	162	
B _M	30.57	1.41	-46.47	46.49	272	

Daten für Maximalfarbe (Ma):

$LAB^*LAB^*_{Ma}$: 67 21 83

$LAB^*LCH^*_{Ma}$: 67 86 75

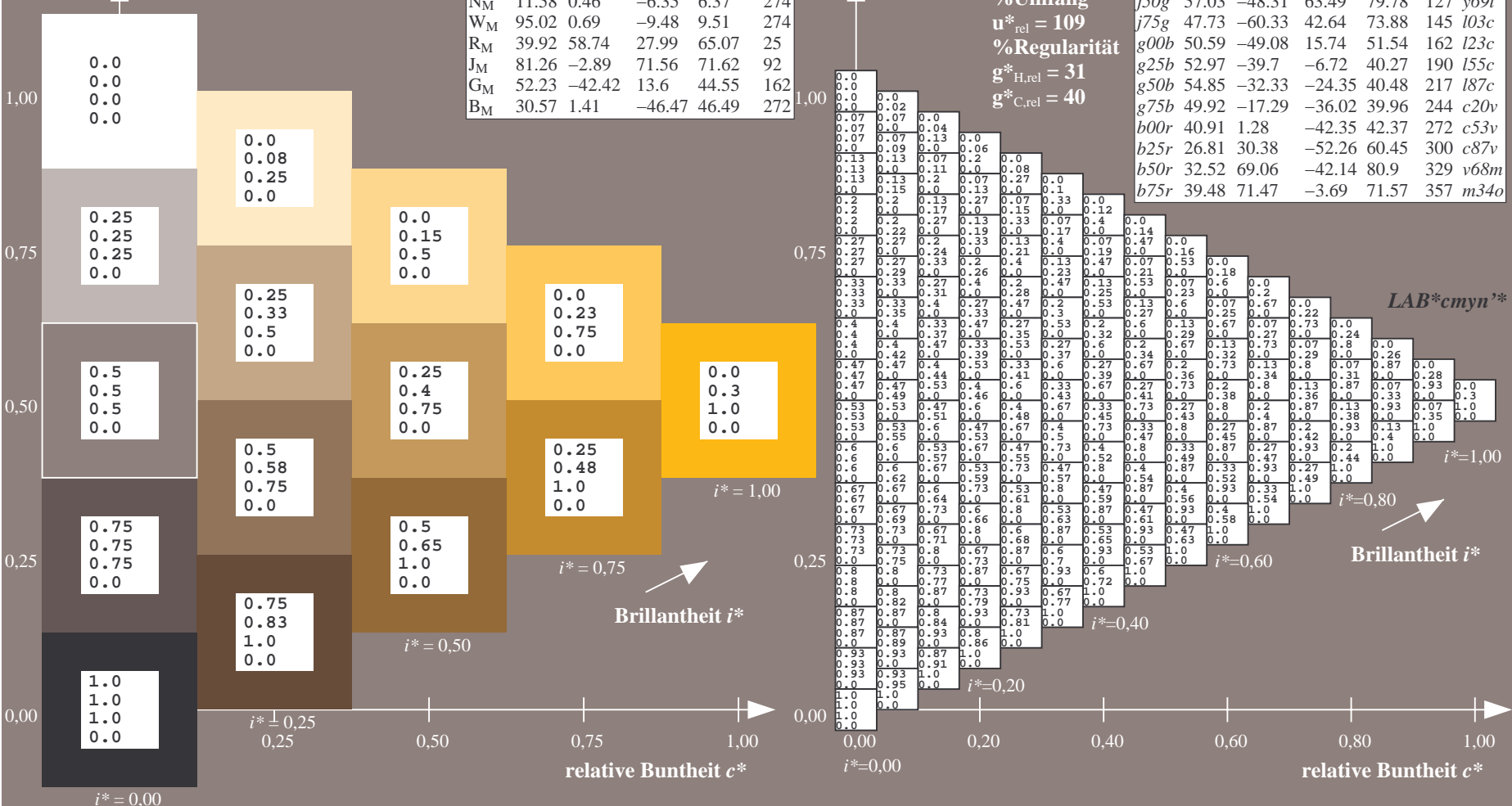
$lab^*rgb^*_{Ma}$: 1.0 0.75 0.0

$lab^*olv^*_{Ma}$: 1.0 0.7 0.0

Dreiecks-Helligkeit t^*

FRS12_95a; adaptierte CIELAB-Daten									
	u^*_e	$L^*=L^*_a$	a^*_a	b^*_a	$C^*_{ab,a}$	$h^*_{ab,a}$	u^*_d		
r00j	38.47	63.32	30.17	70.15	25	m81o			
r25j	42.12	54.56	49.45	73.64	42	o10y			
r50j	53.64	39.15	64.89	75.79	59	o40y			
r75j	67.01	21.26	82.83	85.52	76	o69y			
j00g	86.18	-4.38	108.53	108.62	92	o98y			
j25g	69.73	-29.89	83.06	88.28	110	y34l			
j50g	57.03	-48.31	63.49	79.78	127	y69l			
j75g	47.73	-60.33	42.64	73.88	145	l03c			
g00b	50.59	-49.08	15.74	51.54	162	l23c			
g25b	52.97	-39.7	-6.72	40.27	190	l55c			
g50b	54.85	-32.33	-24.35	40.48	217	l87c			
g75b	49.92	-17.29	-36.02	39.96	244	c20v			
b00r	40.91	1.28	-42.35	42.37	272	c53v			
b25r	26.81	30.38	-52.26	60.45	300	c87v			
b50r	32.52	69.06	-42.14	80.9	329	v68m			
b75r	39.48	71.47	-3.69	71.57	357	m34o			

%Umfang
 $u^*_{rel} = 109$
 %Regularität
 $g^*_{H,rel} = 31$
 $g^*_{C,rel} = 40$

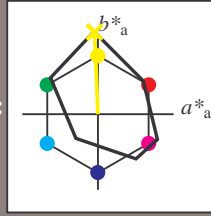


Siehe ähnliche Dateien: <http://www.ps.bam.de/Fg64/>; www.ps.bam.de/Version.2.1,io=1,1,Colspx=0
 Technische Information: <http://www.ps.bam.de>

BAM-Registrierung: 20081001-Fg64/10L/L64g00NP.PDF/.PS BAM-Material: Code=rhatha
 Anwendung für Beurteilung und Messung von Drucker- oder Monitorssystemen

Ein und Ausgabe: Farbmetrisches Drucker-Reflektiv-System FRS12_95a, L*=12_95 für relativen CIELAB-Buntton $h^* = lab^*h^* = h_{ab}/360 = 0.256$ $u^*_e = j00g$
 Daten für jede Farbe: lab^*tch^* und lab^*icu^* **LAB*cmyn****

Bunttontexte:
 $u^*_e = j00g$ $u^*_d = o98y$
 Kontrastreduzierungsfaktor:
 $c_R = 1.0$
 Dreiecks-Helligkeit t^*



FRS12_95a; CIELAB-Daten

u^*_e	$L^*=L^*$	a^*	b^*	C^*_{ab}	h^*_{ab}
O _M	38.06	60.53	36.66	70.77	31
Y _M	86.77	-4.5	100.15	100.25	93
L _M	47.13	-62.11	40.56	74.18	147
C _M	55.66	-28.56	-39.99	49.14	234
V _M	17.15	50.78	-65.6	82.96	308
M _M	40.37	79.18	-40.93	89.13	333
N _M	11.58	0.46	-6.35	6.37	274
W _M	95.02	0.69	-9.48	9.51	274
R _M	39.92	58.74	27.99	65.07	25
J _M	81.26	-2.89	71.56	71.62	92
G _M	52.23	-42.42	13.6	44.55	162
B _M	30.57	1.41	-46.47	46.49	272

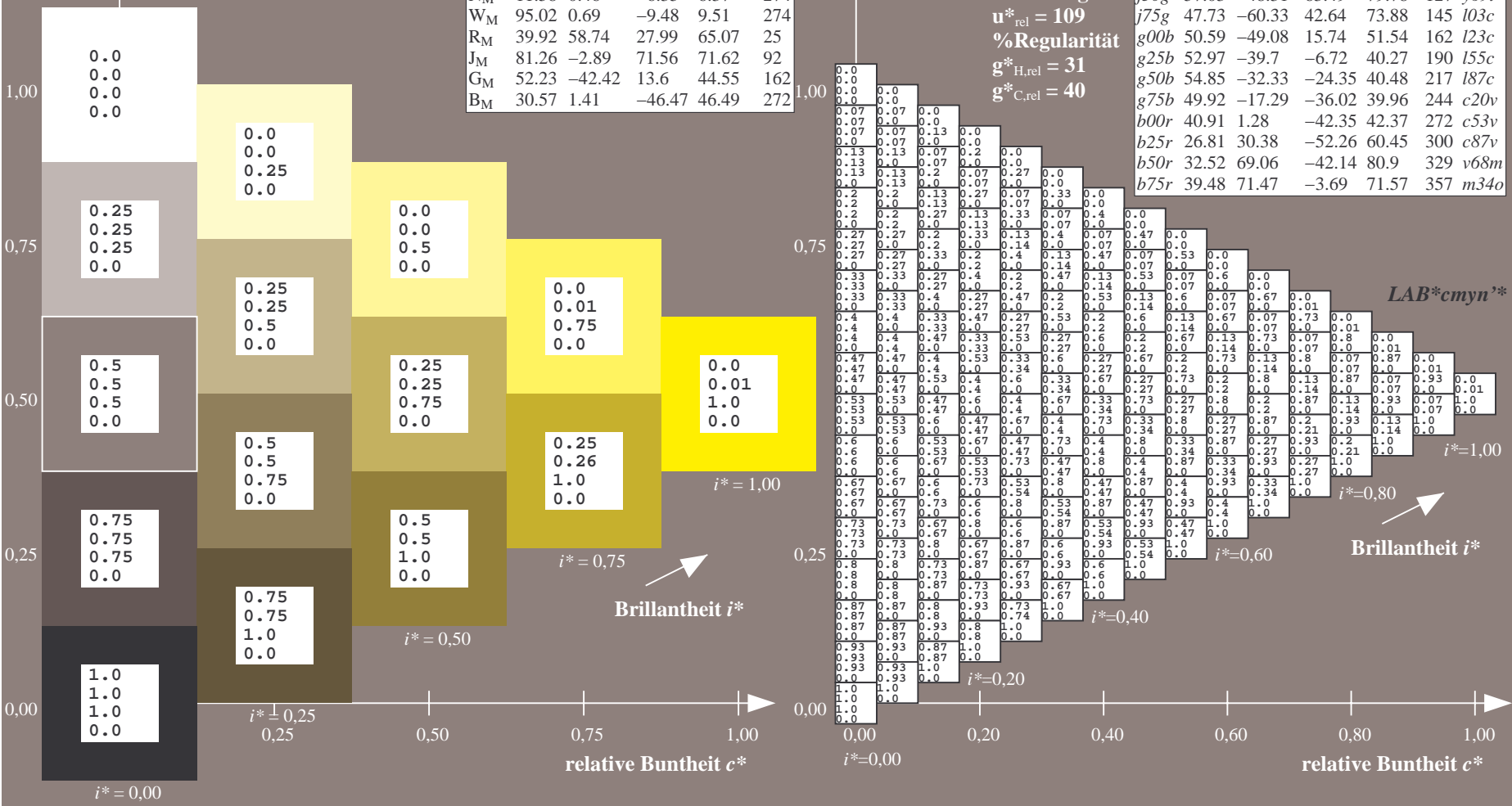
Daten für Maximalfarbe (Ma):

$LAB^*LAB^*_Ma: 86 -4 109$
 $LAB^*LCH^*_Ma: 86 109 92$
 $lab^*rgb^*_Ma: 1.0 1.0 0.0$
 $lab^*olv^*_Ma: 1.0 0.99 0.0$

FRS12_95a; adaptierte CIELAB-Daten

u^*_e	$L^*=L^*_a$	a^*_a	b^*_a	$C^*_{ab,a}$	$h^*_{ab,a}$	u^*_d
r00j	38.47	63.32	30.17	70.15	25	m81o
r25j	42.12	54.56	49.45	73.64	42	o10y
r50j	53.64	39.15	64.89	75.79	59	o40y
r75j	67.01	21.26	82.83	85.52	76	o69y
j00g	86.18	-4.38	108.53	108.62	92	o98y
j25g	69.73	-29.89	83.06	88.28	110	y34l
j50g	57.03	-48.31	63.49	79.78	127	y69l
j75g	47.73	-60.33	42.64	73.88	145	l03c
g00b	50.59	-49.08	15.74	51.54	162	l23c
g25b	52.97	-39.7	-6.72	40.27	190	l55c
g50b	54.85	-32.33	-24.35	40.48	217	l87c
g75b	49.92	-1.29	-36.02	39.96	244	c20v
b00r	40.91	1.28	-42.35	42.37	272	c53v
b25r	26.81	30.38	-52.26	60.45	300	c87v
b50r	32.52	69.06	-42.14	80.9	329	v68m
b75r	39.48	71.47	-3.69	71.57	357	m34o

Dreiecks-Helligkeit t^*
 %Umfang
 $u^*_{rel} = 109$
 %Regularität
 $g^*_{H,rel} = 31$
 $g^*_{C,rel} = 40$



Siehe ähnliche Dateien: <http://www.ps.bam.de/Fg64/>; www.ps.bam.de/Version.2.1,io=1,1,Colspx=0
 Technische Information: <http://www.ps.bam.de/Version.2.1,io=1,1,Colspx=0>

BAM-Registrierung: 20081001-Fg64/10L/L64g00NP.PDF/.PS BAM-Material: Code=rhatha
 Anwendung für Beurteilung und Messung von Drucker- oder Monitorssystemen

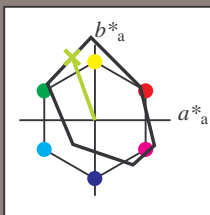
Ein und Ausgabe: Farbmetrisches Drucker-Reflektiv-System FRS12_95a, L*=12_95 für relative CIELAB-Buntton $h^* = lab^*h^* = h_{ab}/360 = 0.305$ $u^*_e = j25g$

Daten für jede Farbe:
 lab^*ch^* und lab^*icu^*

Bunttontexte:
 $u^*_e = j25g$ $u^*_d = y34l$

Kontrastreduzierungsfaktor:
 $c_R = 1.0$

Dreiecks-Helligkeit i^*



FRS12_95a; CIELAB-Daten						
u^*_e	$L^*=L^*$	a^*	b^*	C^*_{ab}	h^*_{ab}	
O _M	38.06	60.53	36.66	70.77	31	
Y _M	86.77	-4.5	100.15	100.25	93	
L _M	47.13	-62.11	40.56	74.18	147	
C _M	55.66	-28.56	-39.99	49.14	234	
V _M	17.15	50.78	-65.6	82.96	308	
M _M	40.37	79.18	-40.93	89.13	333	
N _M	11.58	0.46	-6.35	6.37	274	
W _M	95.02	0.69	-9.48	9.51	274	
R _M	39.92	58.74	27.99	65.07	25	
J _M	81.26	-2.89	71.56	71.62	92	
G _M	52.23	-42.42	13.6	44.55	162	
B _M	30.57	1.41	-46.47	46.49	272	

Daten für Maximalfarbe (Ma):

$LAB^*LAB^*_{Ma}: 70 -30 83$

$LAB^*LCH^*_{Ma}: 70 88 109$

$lab^*rgb^*_{Ma}: 0.75 1.0 0.0$

$lab^*olv^*_{Ma}: 0.66 1.0 0.0$

Dreiecks-Helligkeit i^*

%Umfang

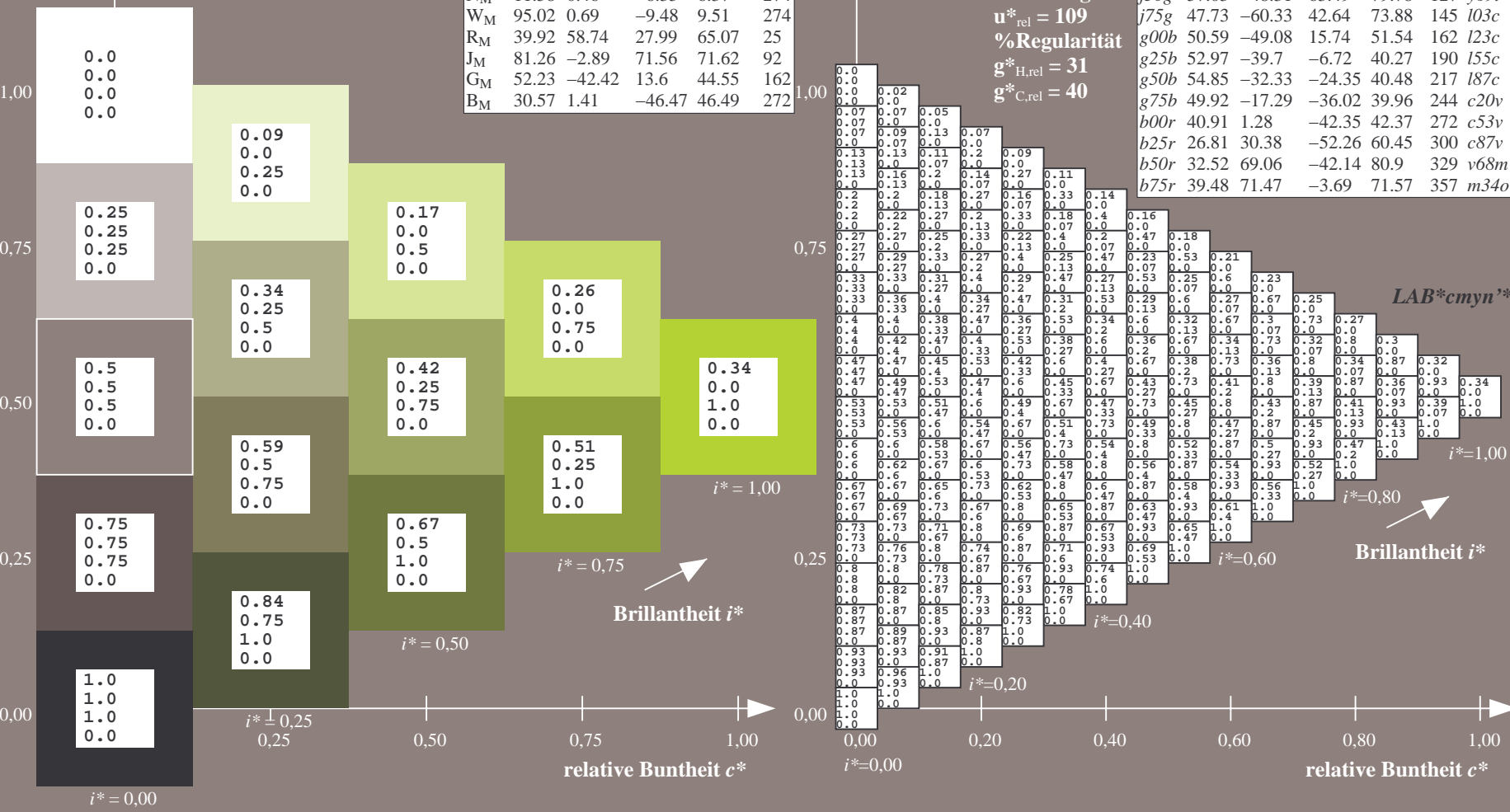
$u^*_{rel} = 109$

%Regularität

$g^*_{H,rel} = 31$

$g^*_{C,rel} = 40$

FRS12_95a; adaptierte CIELAB-Daten									
u^*_e	$L^*=L^*_a$	a^*_a	b^*_a	$C^*_{ab,a}$	$h^*_{ab,a}$	u^*_d			
r00j	38.47	63.32	30.17	70.15	25	m81o			
r25j	42.12	54.56	49.45	73.64	42	o10y			
r50j	53.64	39.15	64.89	75.79	59	o40y			
r75j	67.01	21.26	82.83	85.52	76	o69y			
j00g	86.18	-4.38	108.53	108.62	92	o98y			
j25g	69.73	-29.89	83.06	88.28	110	y34l			
j50g	57.03	-48.31	63.49	79.78	127	y69l			
j75g	47.73	-60.33	42.64	73.88	145	l03c			
g00b	50.59	-49.08	15.74	51.54	162	l23c			
g25b	52.97	-39.7	-6.72	40.27	190	l55c			
g50b	54.85	-32.33	-24.35	40.48	217	l87c			
g75b	49.92	-17.29	-36.02	39.96	244	c20v			
b00r	40.91	1.28	-42.35	42.37	272	c53v			
b25r	26.81	30.38	-52.26	60.45	300	c87v			
b50r	32.52	69.06	-42.14	80.9	329	v68m			
b75r	39.48	71.47	-3.69	71.57	357	m34o			



BAM-Registrierung: 20081001-Fg64/10L/L64g00NP.PDF/.PS BAM-Material: Code=rh4ta
 Anwendung für Beurteilung und Messung von Drucker- oder Monitorssystemen

Ein und Ausgabe: Farbmetrisches Drucker-Reflektiv-System FRS12_95a, L*=12_95 für relative CIELAB-Buntton $h^* = lab^*h^* = h_{ab}/360 = 0.354$ $u^*_e = j50g$

Daten für jede Farbe:

lab^*ch^* und lab^*icu^*

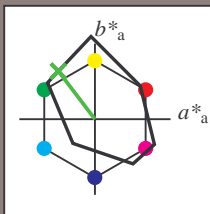
Bunttontexte:

$u^*_e = j50g$ $u^*_d = y69l$

Kontrastreduzierungsfaktor:

$c_R = 1.0$

Dreiecks-Helligkeit i^*



FRS12_95a; CIELAB-Daten

u^*_e	$L^*=L^*$	a^*	b^*	C^*_{ab}	h^*_{ab}
O _M	38.06	60.53	36.66	70.77	31
Y _M	86.77	-4.5	100.15	100.25	93
L _M	47.13	-62.11	40.56	74.18	147
C _M	55.66	-28.56	-39.99	49.14	234
V _M	17.15	50.78	-65.6	82.96	308
M _M	40.37	79.18	-40.93	89.13	333
N _M	11.58	0.46	-6.35	6.37	274
W _M	95.02	0.69	-9.48	9.51	274
R _M	39.92	58.74	27.99	65.07	25
J _M	81.26	-2.89	71.56	71.62	92
G _M	52.23	-42.42	13.6	44.55	162
B _M	30.57	1.41	-46.47	46.49	272

Daten für Maximalfarbe (Ma):

$LAB^*LAB^*_{Ma}$: 57 -48 63

$LAB^*LCH^*_{Ma}$: 57 80 127

$lab^*rgb^*_{Ma}$: 0.5 1.0 0.0

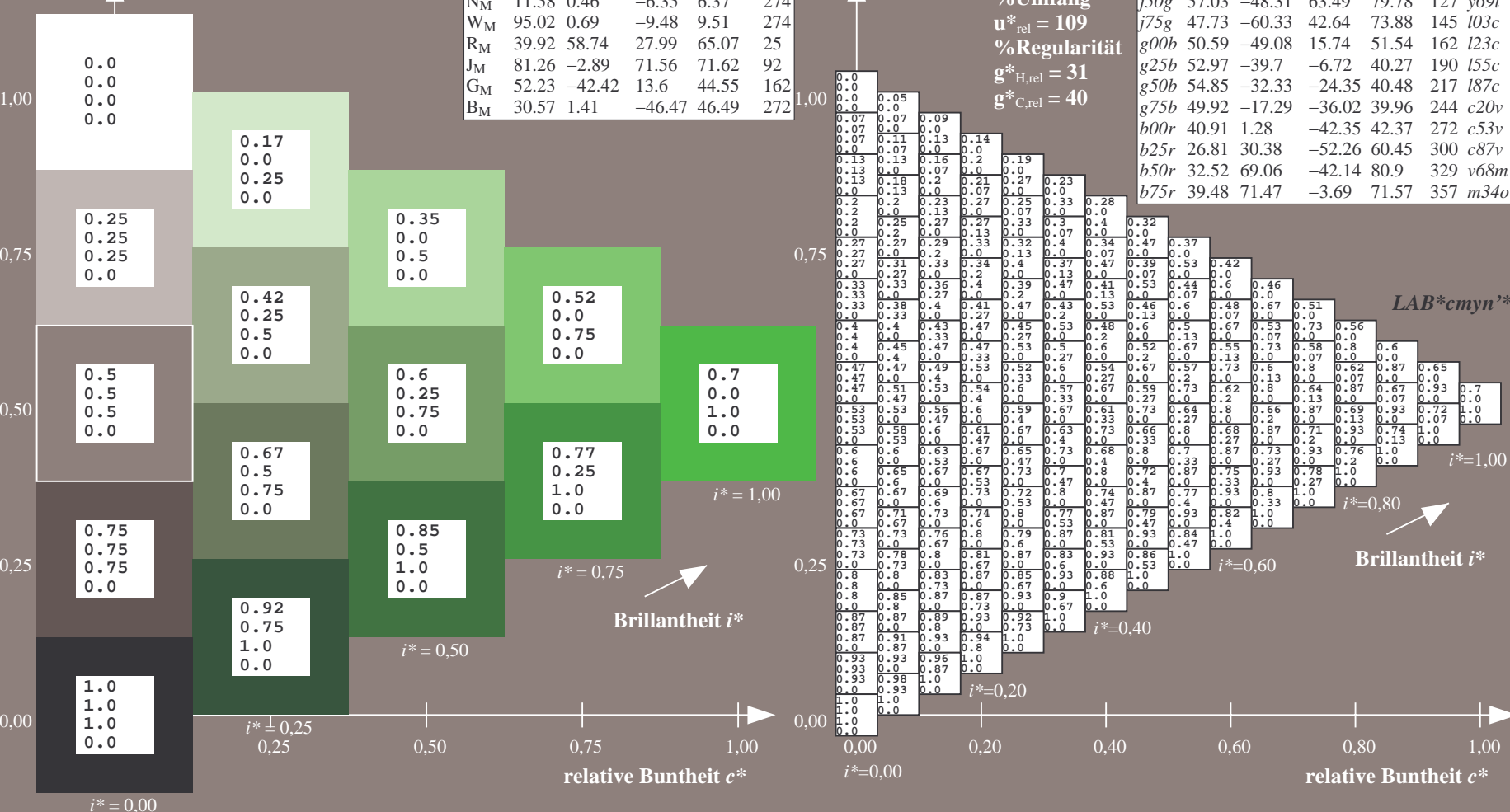
$lab^*olv^*_{Ma}$: 0.3 1.0 0.0

Dreiecks-Helligkeit i^*

%Umfang
 $u^*_{rel} = 109$
 %Regularität
 $g^*_{H,rel} = 31$
 $g^*_{C,rel} = 40$

FRS12_95a; adaptierte CIELAB-Daten

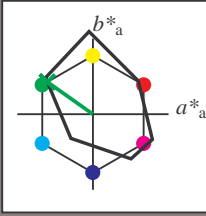
u^*_e	$L^*=L^*_a$	a^*_a	b^*_a	$C^*_{ab,a}$	$h^*_{ab,a}$	u^*_d
r00j	38.47	63.32	30.17	70.15	25	m81o
r25j	42.12	54.56	49.45	73.64	42	o10y
r50j	53.64	39.15	64.89	75.79	59	o40y
r75j	67.01	21.26	82.83	85.52	76	o69y
j00g	86.18	-4.38	108.53	108.62	92	o98y
j25g	69.73	-29.89	83.06	88.28	110	y34l
j50g	57.03	-48.31	63.49	79.78	127	y69l
j75g	47.73	-60.33	42.64	73.88	145	l03c
g00b	50.59	-49.08	15.74	51.54	162	l23c
g25b	52.97	-39.7	-6.72	40.27	190	l55c
g50b	54.85	-32.33	-24.35	40.48	217	l87c
g75b	49.92	-17.29	-36.02	39.96	244	c20v
b00r	40.91	1.28	-42.35	42.37	272	c53v
b25r	26.81	30.38	-52.26	60.45	300	c87v
b50r	32.52	69.06	-42.14	80.9	329	v68m
b75r	39.48	71.47	-3.69	71.57	357	m34o



BAM-Registrierung: 20081001-Fg64/10L/L64g00NP.PDF/.PS BAM-Material: Code=rh4ta
 Anwendung für Beurteilung und Messung von Drucker- oder Monitorssystemen

Ein und Ausgabe: Farbmetrisches Drucker-Reflektiv-System FRS12_95a, L*=12_95 für relative CIELAB-Buntton $h^* = lab^*h^* = h_{ab}/360 = 0.402$ $u^*_e = j75g$
 Daten für jede Farbe: lab^*ch^* und lab^*icu^* LAB*cmyn**

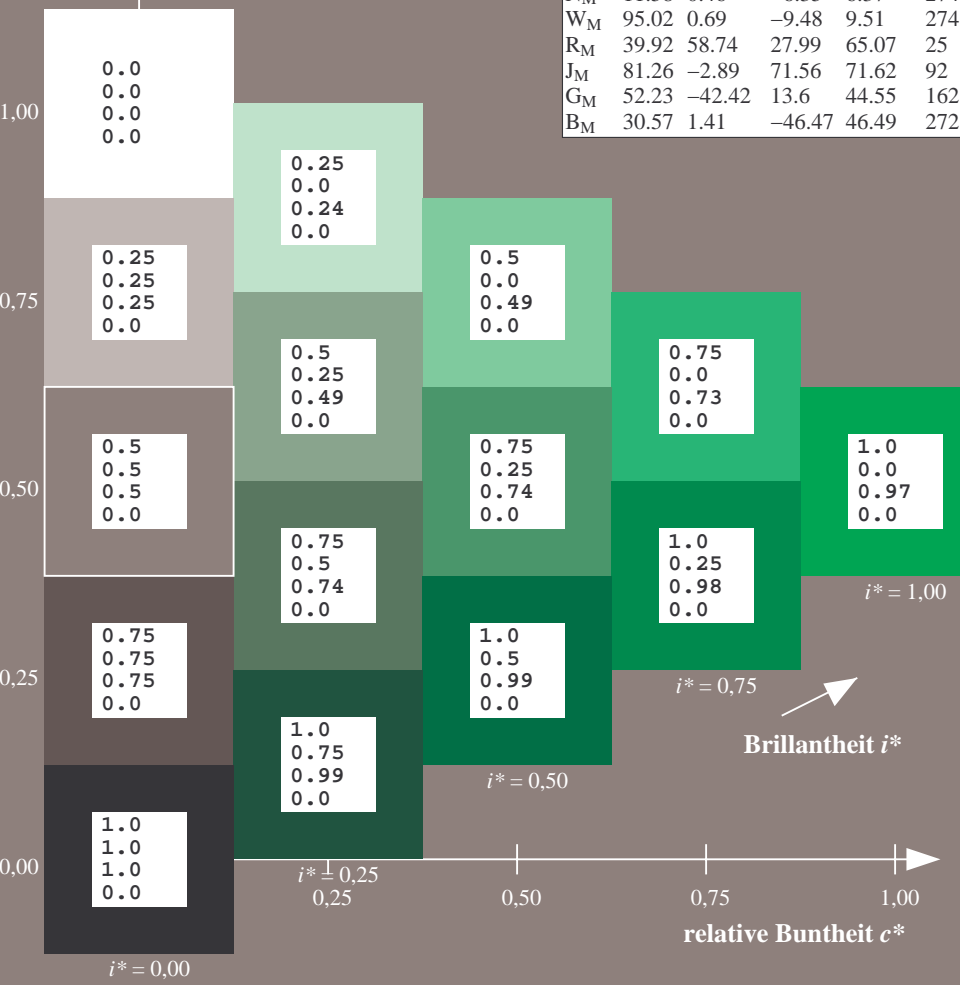
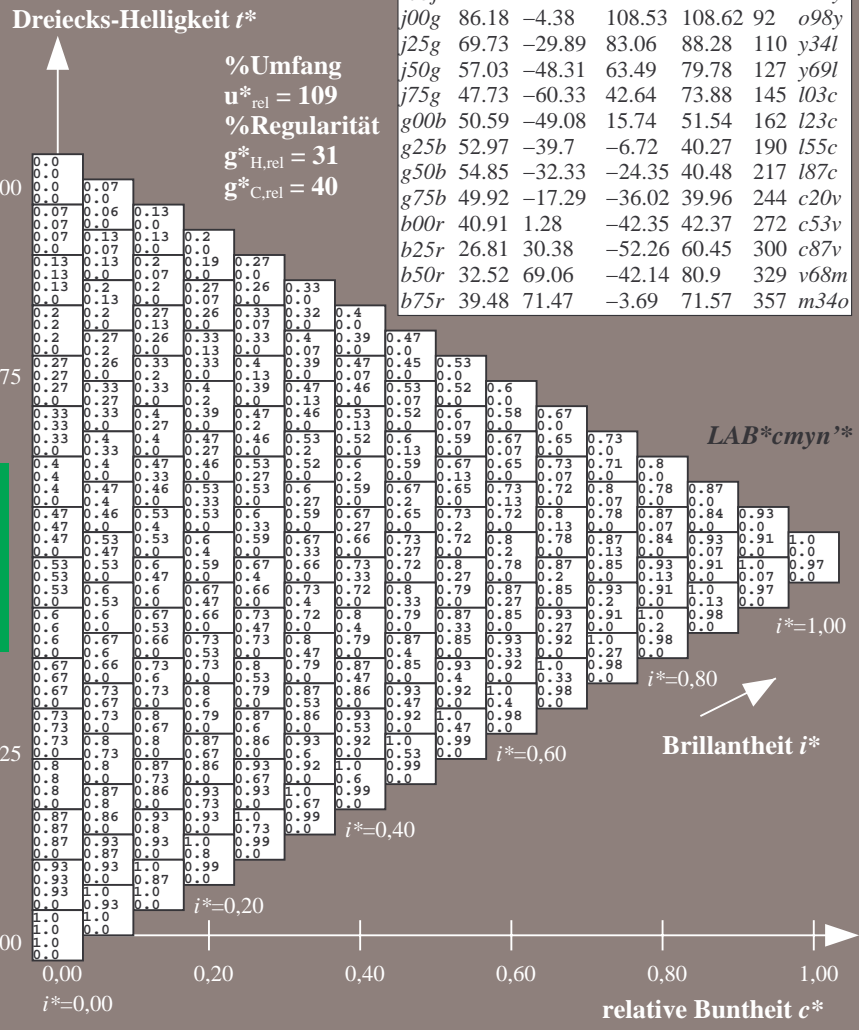
Bunttontexte:
 $u^*_e = j75g$ $u^*_d = i03c$
 Kontrastreduzierungsfaktor:
 $c_R = 1.0$
 Dreiecks-Helligkeit i^*



FRS12_95a; CIELAB-Daten						
u^*_e	$L^*=L^*$	a^*	b^*	C^*_{ab}	h^*_{ab}	
O _M	38.06	60.53	36.66	70.77	31	
Y _M	86.77	-4.5	100.15	100.25	93	
L _M	47.13	-62.11	40.56	74.18	147	
C _M	55.66	-28.56	-39.99	49.14	234	
V _M	17.15	50.78	-65.6	82.96	308	
M _M	40.37	79.18	-40.93	89.13	333	
N _M	11.58	0.46	-6.35	6.37	274	
W _M	95.02	0.69	-9.48	9.51	274	
R _M	39.92	58.74	27.99	65.07	25	
J _M	81.26	-2.89	71.56	71.62	92	
G _M	52.23	-42.42	13.6	44.55	162	
B _M	30.57	1.41	-46.47	46.49	272	

Daten für Maximalfarbe (Ma):
 $LAB^*LAB^*_{Ma}: 48 -60 43$
 $LAB^*LCH^*_{Ma}: 48 74 144$
 $lab^*rgb^*_{Ma}: 0.25 1.0 0.0$
 $lab^*olv^*_{Ma}: 0.0 1.0 0.03$

FRS12_95a; adaptierte CIELAB-Daten							
u^*_e	$L^*=L^*_a$	a^*_a	b^*_a	$C^*_{ab,a}$	$h^*_{ab,a}$	u^*_d	
r00j	38.47	63.32	30.17	70.15	25	m81o	
r25j	42.12	54.56	49.45	73.64	42	o10y	
r50j	53.64	39.15	64.89	75.79	59	o40y	
r75j	67.01	21.26	82.83	85.52	76	o69y	
j00g	86.18	-4.38	108.53	108.62	92	o98y	
j25g	69.73	-29.89	83.06	88.28	110	y34l	
j50g	57.03	-48.31	63.49	79.78	127	y69l	
j75g	47.73	-60.33	42.64	73.88	145	i03c	
g00b	50.59	-49.08	15.74	51.54	162	i23c	
g25b	52.97	-39.7	-6.72	40.27	190	i55c	
g50b	54.85	-32.33	-24.35	40.48	217	i87c	
g75b	49.92	-17.29	-36.02	39.96	244	c20v	
b00r	40.91	1.28	-42.35	42.37	272	c53v	
b25r	26.81	30.38	-52.26	60.45	300	c87v	
b50r	32.52	69.06	-42.14	80.9	329	v68m	
b75r	39.48	71.47	-3.69	71.57	357	m34o	

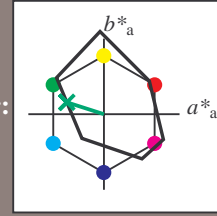


Siehe ähnliche Dateien: <http://www.ps.bam.de/Fg64/>; www.ps.bam.de/Version.2.1,io=1,1,Colspx=0
 Technische Information: <http://www.ps.bam.de>

BAM-Registrierung: 20081001-Fg64/10L/L64g00NP.PDF/.PS BAM-Material: Code=rhatha
 Anwendung für Beurteilung und Messung von Drucker- oder Monitorssystemen

Ein und Ausgabe: Farbmetrisches Drucker-Reflektiv-System FRS12_95a, L*=12_95 für relative CIELAB-Buntton $h^* = lab^*h^* = h_{ab}/360 = 0.451$ $u^*_e = g00b$
 Daten für jede Farbe: lab^*tch^* und lab^*icu^* $LAB^*cmy^n^*$

Bunttontexte:
 $u^*_e = g00b$ $u^*_d = l23c$
 Kontrastreduzierungsfaktor:
 $c_R = 1.0$
 Dreiecks-Helligkeit t^*

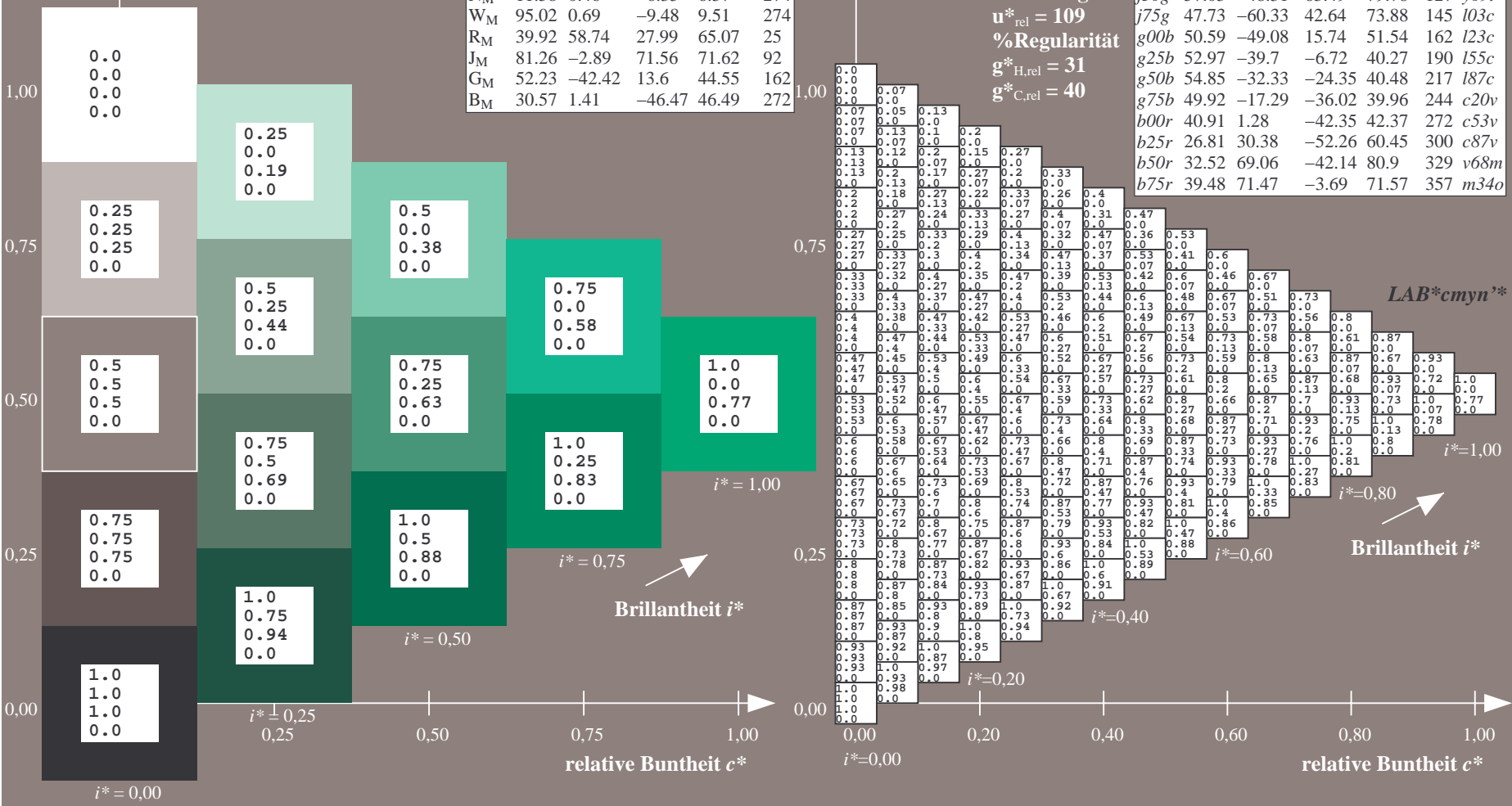


FRS12_95a; CIELAB-Daten						
u^*_e	$L^*=L^*$	a^*	b^*	C^*_{ab}	h^*_{ab}	
O _M	38.06	60.53	36.66	70.77	31	
Y _M	86.77	-4.5	100.15	100.25	93	
L _M	47.13	-62.11	40.56	74.18	147	
C _M	55.66	-28.56	-39.99	49.14	234	
V _M	17.15	50.78	-65.6	82.96	308	
M _M	40.37	79.18	-40.93	89.13	333	
N _M	11.58	0.46	-6.35	6.37	274	
W _M	95.02	0.69	-9.48	9.51	274	
R _M	39.92	58.74	27.99	65.07	25	
J _M	81.26	-2.89	71.56	71.62	92	
G _M	52.23	-42.42	13.6	44.55	162	
B _M	30.57	1.41	-46.47	46.49	272	

Daten für Maximalfarbe (Ma):
 $LAB^*LAB^*_Ma: 51 -49 16$
 $LAB^*LCH^*_Ma: 51 52 162$
 $lab^*rgb^*_Ma: 0.0 1.0 0.0$
 $lab^*olv^*_Ma: 0.0 1.0 0.23$

FRS12_95a; adaptierte CIELAB-Daten							
u^*_e	$L^*=L^*_a$	a^*_a	b^*_a	$C^*_{ab,a}$	$h^*_{ab,a}$	u^*_d	
r00j	38.47	63.32	30.17	70.15	25	m81o	
r25j	42.12	54.56	49.45	73.64	42	o10y	
r50j	53.64	39.15	64.89	75.79	59	o40y	
r75j	67.01	21.26	82.83	85.52	76	o69y	
j00g	86.18	-4.38	108.53	108.62	92	o98y	
j25g	69.73	-29.89	83.06	88.28	110	y34l	
j50g	57.03	-48.31	63.49	79.78	127	y69l	
j75g	47.73	-60.33	42.64	73.88	145	l03c	
g00b	50.59	-49.08	15.74	51.54	162	l23c	
g25b	52.97	-39.7	-6.72	40.27	190	l55c	
g50b	54.85	-32.33	-24.35	40.48	217	l87c	
g75b	49.92	-17.29	-36.02	39.96	244	c20v	
b00r	40.91	1.28	-42.35	42.37	272	c53v	
b25r	26.81	30.38	-52.26	60.45	300	c87v	
b50r	32.52	69.06	-42.14	80.9	329	v68m	
b75r	39.48	71.47	-3.69	71.57	357	m34o	

Dreiecks-Helligkeit t^*
 %Umfang
 $u^*_{rel} = 109$
 %Regularität
 $g^*_{H,rel} = 31$
 $g^*_{C,rel} = 40$



Siehe ähnliche Dateien: <http://www.ps.bam.de/Fg64/>; www.ps.bam.de/Version.2.1,io=1,1,Colspx=0
 Technische Information: <http://www.ps.bam.de>

BAM-Registrierung: 20081001-Fg64/10L/L64g00NP.PDF/.PS BAM-Material: Code=rhatha
 Anwendung für Beurteilung und Messung von Drucker- oder Monitorssystemen

Ein und Ausgabe: Farbmetrisches Drucker-Reflektiv-System FRS12_95a, L*=12_95 für relative CIELAB-Buntton $h^* = lab^*h^* = h_{ab}/360 = 0.527$ $u^*_e = g25b$

Daten für jede Farbe:

lab^*ch^* und lab^*icu^*

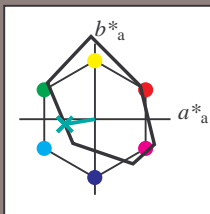
Bunttontexte:

$u^*_e = g25b$ $u^*_d = l55c$

Kontrastreduzierungsfaktor:

$c_R = 1.0$

Dreiecks-Helligkeit i^*



FRS12_95a; CIELAB-Daten						
u^*_e	$L^*=L^*$	a^*	b^*	C^*_{ab}	h^*_{ab}	
O _M	38.06	60.53	36.66	70.77	31	
Y _M	86.77	-4.5	100.15	100.25	93	
L _M	47.13	-62.11	40.56	74.18	147	
C _M	55.66	-28.56	-39.99	49.14	234	
V _M	17.15	50.78	-65.6	82.96	308	
M _M	40.37	79.18	-40.93	89.13	333	
N _M	11.58	0.46	-6.35	6.37	274	
W _M	95.02	0.69	-9.48	9.51	274	
R _M	39.92	58.74	27.99	65.07	25	
J _M	81.26	-2.89	71.56	71.62	92	
G _M	52.23	-42.42	13.6	44.55	162	
B _M	30.57	1.41	-46.47	46.49	272	

Daten für Maximalfarbe (Ma):

$LAB^*LAB^*_{Ma}$: 53 -40 -7

$LAB^*LCH^*_{Ma}$: 53 40 189

$lab^*rgb^*_{Ma}$: 0.0 1.0 0.5

$lab^*olv^*_{Ma}$: 0.0 1.0 0.55

Dreiecks-Helligkeit i^*

%Umfang

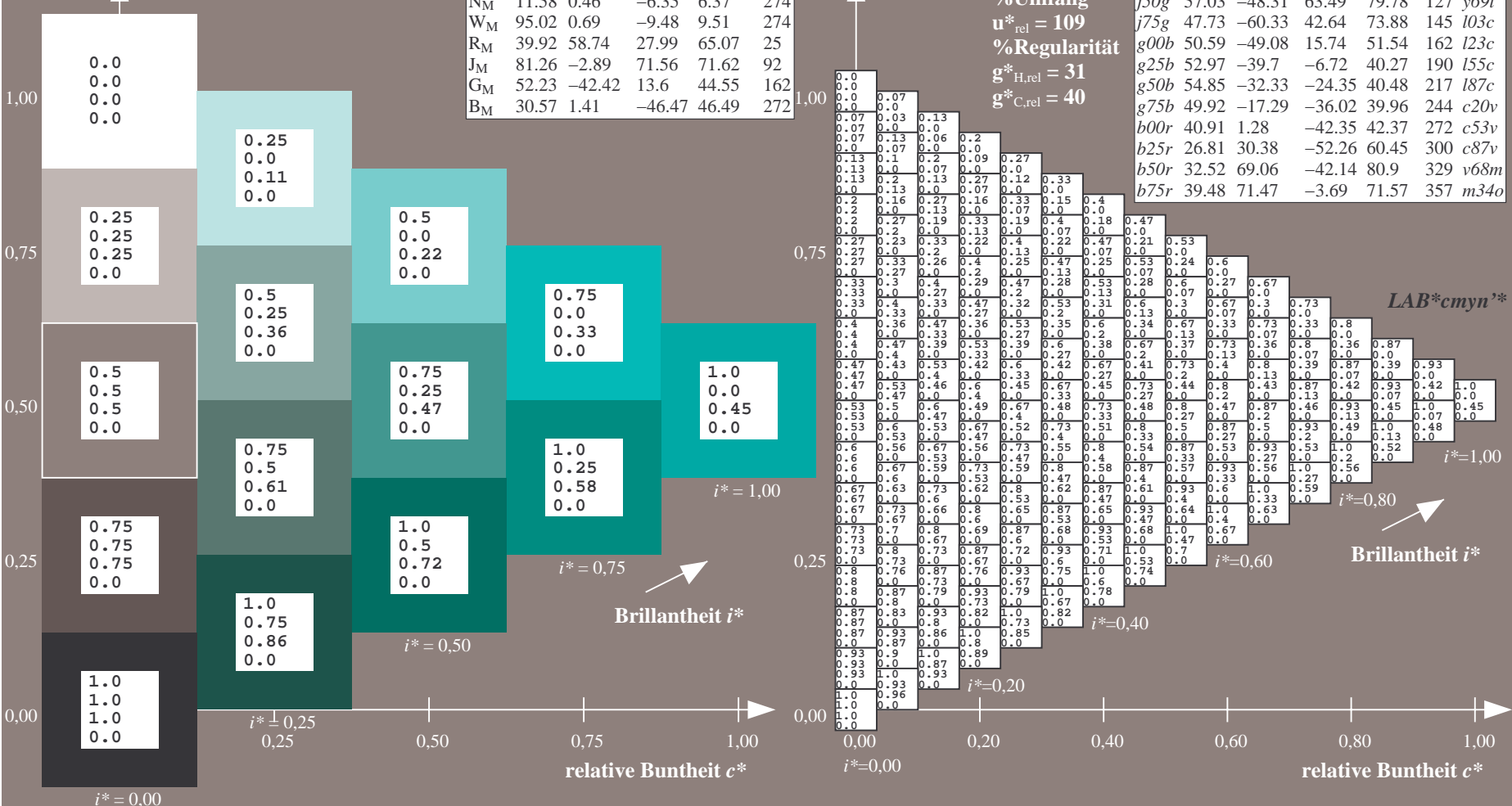
$u^*_{rel} = 109$

%Regularität

$g^*_{H,rel} = 31$

$g^*_{C,rel} = 40$

FRS12_95a; adaptierte CIELAB-Daten								
u^*_e	$L^*=L^*_a$	a^*_a	b^*_a	$C^*_{ab,a}$	$h^*_{ab,a}$	u^*_d		
r00j	38.47	63.32	30.17	70.15	25	m81o		
r25j	42.12	54.56	49.45	73.64	42	o10y		
r50j	53.64	39.15	64.89	75.79	59	o40y		
r75j	67.01	21.26	82.83	85.52	76	o69y		
j00g	86.18	-4.38	108.53	108.62	92	o98y		
j25g	69.73	-29.89	83.06	88.28	110	y34l		
j50g	57.03	-48.31	63.49	79.78	127	y69l		
j75g	47.73	-60.33	42.64	73.88	145	l03c		
g00b	50.59	-49.08	15.74	51.54	162	l23c		
g25b	52.97	-39.7	-6.72	40.27	190	l55c		
g50b	54.85	-32.33	-24.35	40.48	217	l87c		
g75b	49.92	-17.29	-36.02	39.96	244	c20v		
b00r	40.91	1.28	-42.35	42.37	272	c53v		
b25r	26.81	30.38	-52.26	60.45	300	c87v		
b50r	32.52	69.06	-42.14	80.9	329	v68m		
b75r	39.48	71.47	-3.69	71.57	357	m34o		

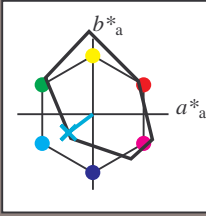


Siehe ähnliche Dateien: <http://www.ps.bam.de/Fg64/>; www.ps.bam.de/Version.2.1,io=1,1,Colspx=0
 Technische Information: <http://www.ps.bam.de>

BAM-Registrierung: 20081001-Fg64/10L/L64g00NP.PDF/.PS BAM-Material: Code=rhatha
 Anwendung für Beurteilung und Messung von Drucker- oder Monitorssystemen

Ein und Ausgabe: Farbmetrisches Drucker-Reflektiv-System FRS12_95a, L*=12_95 für relative CIELAB-Buntton $h^* = lab^*h^* = h_{ab}/360 = 0.603$ $u^*_e = g50b$
 Daten für jede Farbe: lab^*tch^* und lab^*icu^* LAB^*cmyn^*

Bunttontexte:
 $u^*_e = g50b$ $u^*_d = l87c$
 Kontrastreduzierungsfaktor:
 $c_R = 1.0$
 Dreiecks-Helligkeit i^*

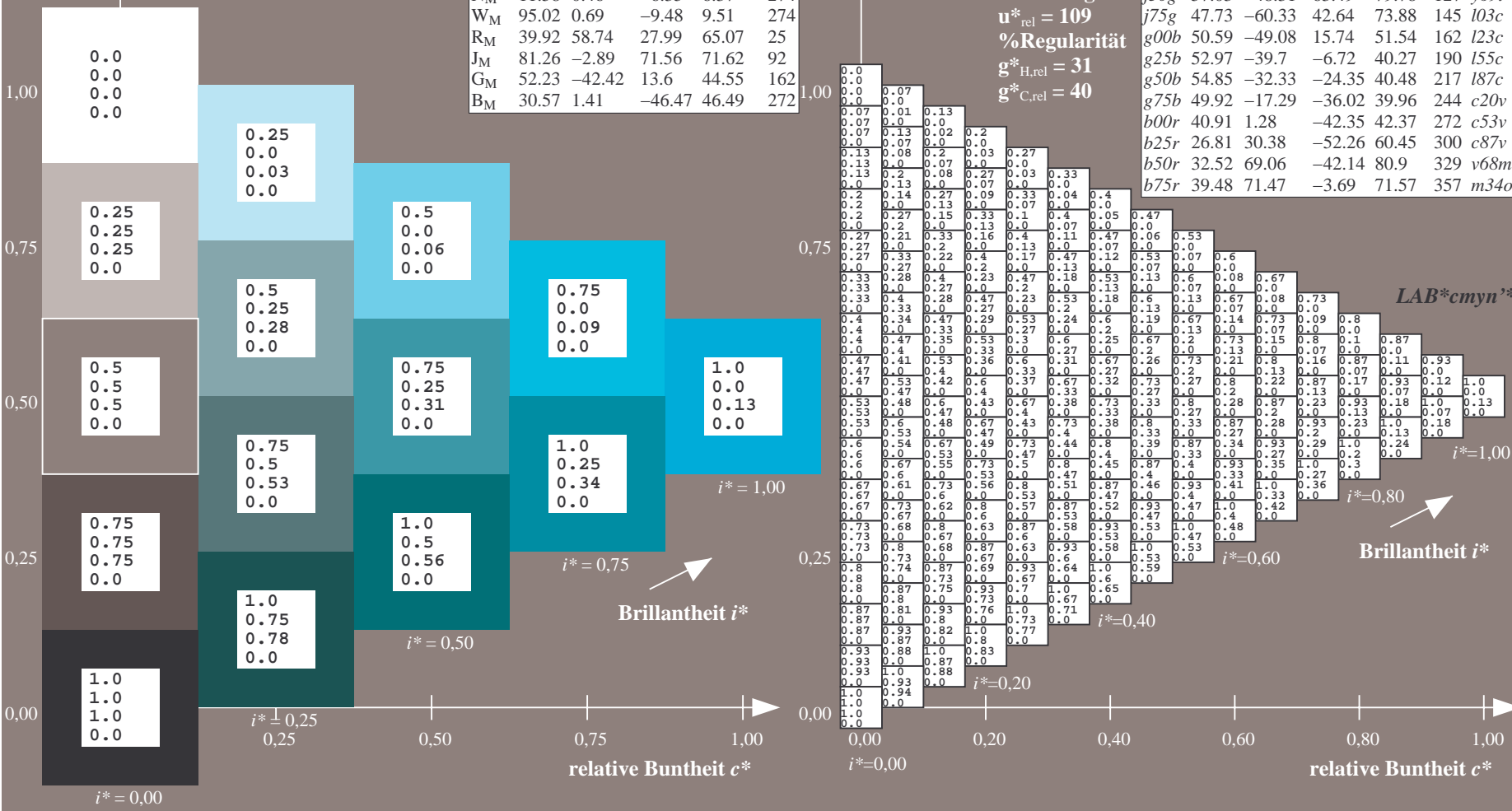


FRS12_95a; CIELAB-Daten						
u^*_e	$L^*=L^*$	a^*	b^*	C^*_{ab}	h^*_{ab}	
O _M	38.06	60.53	36.66	70.77	31	
Y _M	86.77	-4.5	100.15	100.25	93	
L _M	47.13	-62.11	40.56	74.18	147	
C _M	55.66	-28.56	-39.99	49.14	234	
V _M	17.15	50.78	-65.6	82.96	308	
M _M	40.37	79.18	-40.93	89.13	333	
N _M	11.58	0.46	-6.35	6.37	274	
W _M	95.02	0.69	-9.48	9.51	274	
R _M	39.92	58.74	27.99	65.07	25	
J _M	81.26	-2.89	71.56	71.62	92	
G _M	52.23	-42.42	13.6	44.55	162	
B _M	30.57	1.41	-46.47	46.49	272	

Daten für Maximalfarbe (Ma):
 $LAB^*LAB^*_{Ma}: 55 -32 -24$
 $LAB^*LCH^*_{Ma}: 55 40 216$
 $lab^*rgb^*_{Ma}: 0.0 1.0 1.0$
 $lab^*olv^*_{Ma}: 0.0 1.0 0.87$

FRS12_95a; adaptierte CIELAB-Daten								
u^*_e	$L^*=L^*_a$	a^*_a	b^*_a	$C^*_{ab,a}$	$h^*_{ab,a}$	u^*_d		
r00j	38.47	63.32	30.17	70.15	25	m81o		
r25j	42.12	54.56	49.45	73.64	42	o10y		
r50j	53.64	39.15	64.89	75.79	59	o40y		
r75j	67.01	21.26	82.83	85.52	76	o69y		
j00g	86.18	-4.38	108.53	108.62	92	o98y		
j25g	69.73	-29.89	83.06	88.28	110	y34l		
j50g	57.03	-48.31	63.49	79.78	127	y69l		
j75g	47.73	-60.33	42.64	73.88	145	l03c		
g00b	50.59	-49.08	15.74	51.54	162	l23c		
g25b	52.97	-39.7	-6.72	40.27	190	l55c		
g50b	54.85	-32.33	-24.35	40.48	217	l87c		
g75b	49.92	-17.29	-36.02	39.96	244	c20v		
b00r	40.91	1.28	-42.35	42.37	272	c53v		
b25r	26.81	30.38	-52.26	60.45	300	c87v		
b50r	32.52	69.06	-42.14	80.9	329	v68m		
b75r	39.48	71.47	-3.69	71.57	357	m34o		

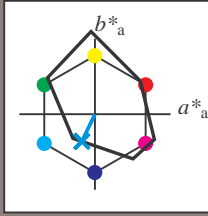
Dreiecks-Helligkeit i^*
 %Umfang
 $u^*_{rel} = 109$
 %Regularität
 $g^*_{H,rel} = 31$
 $g^*_{C,rel} = 40$



Siehe ähnliche Dateien: <http://www.ps.bam.de/Fg64/>; www.ps.bam.de/Version.2.1,io=1,1,Colspx=0
 Technische Information: <http://www.ps.bam.de>

BAM-Registrierung: 20081001-Fg64/10L/L64g00NP.PDF/.PS BAM-Material: Code=rhatha
 Anwendung für Beurteilung und Messung von Drucker- oder Monitorssystemen

Ein und Ausgabe: Farbmetrisches Drucker-Reflektiv-System FRS12_95a, L*=12_95 für relative CIELAB-Buntton $h^* = lab^*h^* = h_{ab}/360 = 0.679$ $u^*_e = g75b$
 Daten für jede Farbe: lab^*tch^* und lab^*icu^*
Bunttontexte: $u^*_e = g75b$ $u^*_d = c20v$
Kontrastreduzierungsfaktor: $c_R = 1.0$
Dreiecks-Helligkeit t^*



FRS12_95a; CIELAB-Daten

u^*_e	$L^*=L^*$	a^*	b^*	C^*_{ab}	h^*_{ab}
O _M	38.06	60.53	36.66	70.77	31
Y _M	86.77	-4.5	100.15	100.25	93
L _M	47.13	-62.11	40.56	74.18	147
C _M	55.66	-28.56	-39.99	49.14	234
V _M	17.15	50.78	-65.6	82.96	308
M _M	40.37	79.18	-40.93	89.13	333
N _M	11.58	0.46	-6.35	6.37	274
W _M	95.02	0.69	-9.48	9.51	274
R _M	39.92	58.74	27.99	65.07	25
J _M	81.26	-2.89	71.56	71.62	92
G _M	52.23	-42.42	13.6	44.55	162
B _M	30.57	1.41	-46.47	46.49	272

Daten für Maximalfarbe (Ma):

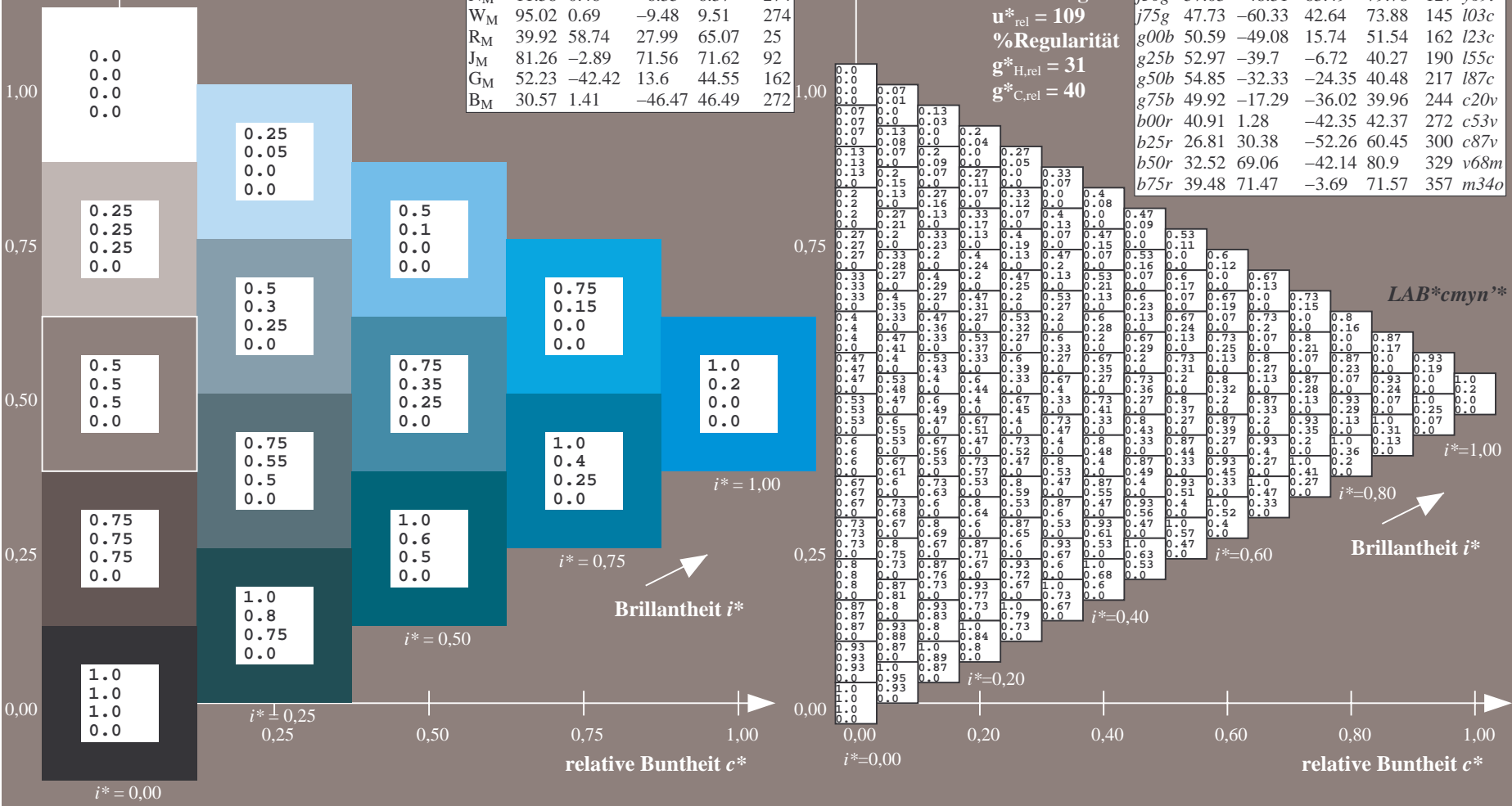
$LAB^*LAB^*_{Ma}$: 50 -17 -36
 $LAB^*LCH^*_{Ma}$: 50 40 244
 $lab^*rgb^*_{Ma}$: 0.0 0.5 1.0
 $lab^*olv^*_{Ma}$: 0.0 0.8 1.0

FRS12_95a; adaptierte CIELAB-Daten

u^*_e	$L^*=L^*_a$	a^*_a	b^*_a	$C^*_{ab,a}$	$h^*_{ab,a}$	u^*_d
r00j	38.47	63.32	30.17	70.15	25	m81o
r25j	42.12	54.56	49.45	73.64	42	o10y
r50j	53.64	39.15	64.89	75.79	59	o40y
r75j	67.01	21.26	82.83	85.52	76	o69y
j00g	86.18	-4.38	108.53	108.62	92	o98y
j25g	69.73	-29.89	83.06	88.28	110	y34l
j50g	57.03	-48.31	63.49	79.78	127	y69l
j75g	47.73	-60.33	42.64	73.88	145	l03c
g00b	50.59	-49.08	15.74	51.54	162	l23c
g25b	52.97	-39.7	-6.72	40.27	190	l55c
g50b	54.85	-32.33	-24.35	40.48	217	l87c
g75b	49.92	-17.29	-36.02	39.96	244	c20v
b00r	40.91	1.28	-42.35	42.37	272	c53v
b25r	26.81	30.38	-52.26	60.45	300	c87v
b50r	32.52	69.06	-42.14	80.9	329	v68m
b75r	39.48	71.47	-3.69	71.57	357	m34o

Dreiecks-Helligkeit t^*

%Umfang
 $u^*_{rel} = 109$
 %Regularität
 $g^*_{H,rel} = 31$
 $g^*_{C,rel} = 40$



BAM-Registrierung: 20081001-Fg64/10L/L64g00NP.PDF/.PS BAM-Material: Code=rhatha
 Anwendung für Beurteilung und Messung von Drucker- oder Monitorssystemen

Ein und Ausgabe: Farbmetrisches Drucker-Reflektiv-System FRS12_95a, L*=12_95 für relative CIELAB-Buntton $h^* = lab^*h^* = h_{ab}/360 = 0.755$ $u^*_e = b00r$

Daten für jede Farbe:

lab^*tch^* und lab^*icu^*

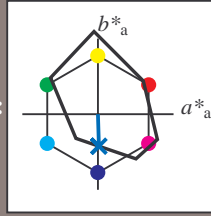
Bunttontexte:

$u^*_e = b00r$ $u^*_d = c53v$

Kontrastreduzierungsfaktor:

$c_R = 1.0$

Dreiecks-Helligkeit t^*



FRS12_95a; CIELAB-Daten						
u^*_e	$L^*=L^*$	a^*	b^*	C^*_{ab}	h^*_{ab}	
O _M	38.06	60.53	36.66	70.77	31	
Y _M	86.77	-4.5	100.15	100.25	93	
L _M	47.13	-62.11	40.56	74.18	147	
C _M	55.66	-28.56	-39.99	49.14	234	
V _M	17.15	50.78	-65.6	82.96	308	
M _M	40.37	79.18	-40.93	89.13	333	
N _M	11.58	0.46	-6.35	6.37	274	
W _M	95.02	0.69	-9.48	9.51	274	
R _M	39.92	58.74	27.99	65.07	25	
J _M	81.26	-2.89	71.56	71.62	92	
G _M	52.23	-42.42	13.6	44.55	162	
B _M	30.57	1.41	-46.47	46.49	272	

Daten für Maximalfarbe (Ma):

$LAB^*LAB^*_Ma$: 41 1 -42

$LAB^*LCH^*_Ma$: 41 42 271

$lab^*rgb^*_Ma$: 0.0 0.0 1.0

$lab^*olv^*_Ma$: 0.0 0.47 1.0

Dreiecks-Helligkeit t^*

%Umfang

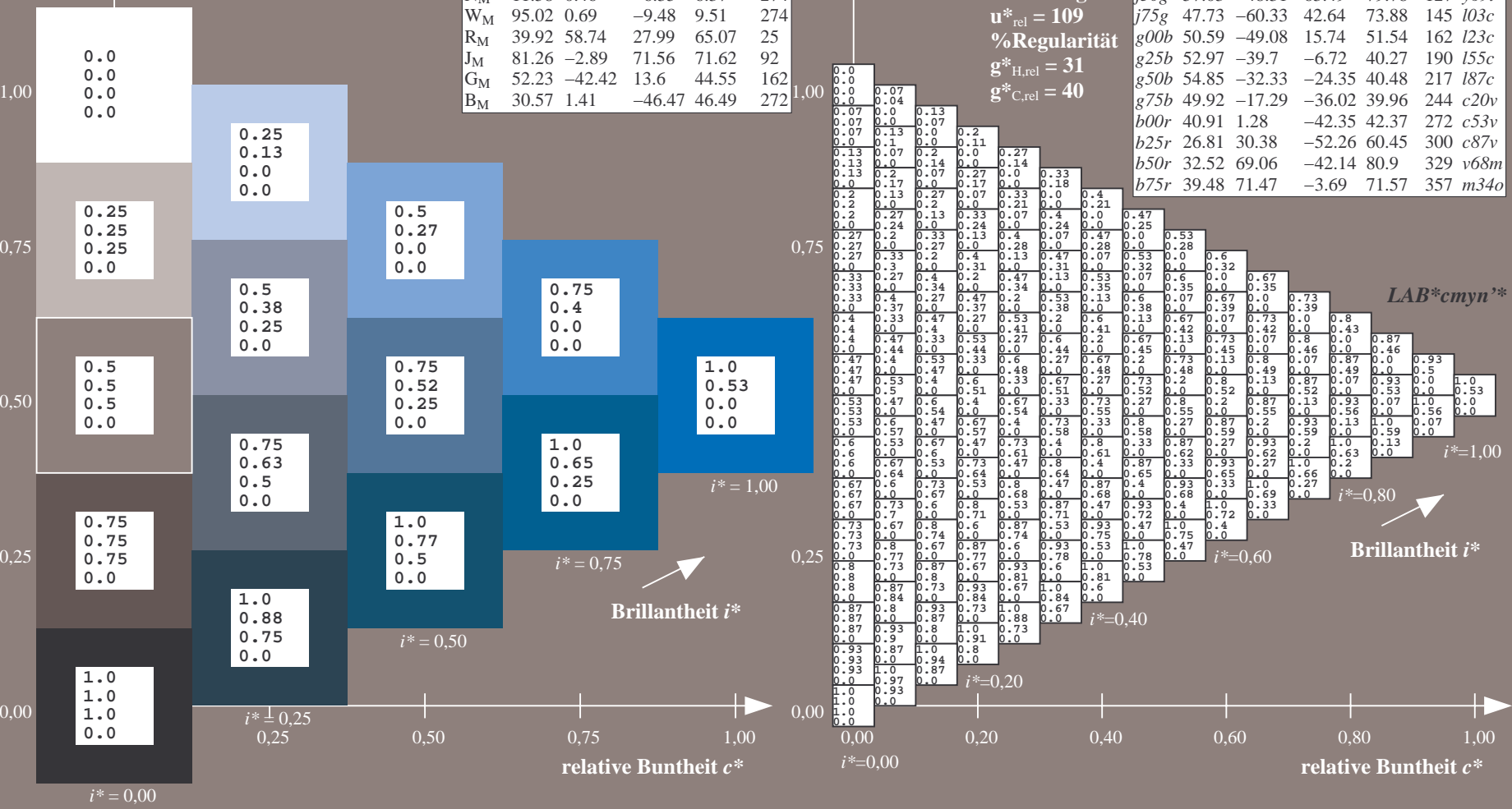
$u^*_{rel} = 109$

%Regularität

$g^*_{H,rel} = 31$

$g^*_{C,rel} = 40$

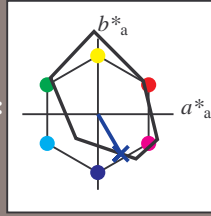
FRS12_95a; adaptierte CIELAB-Daten								
u^*_e	$L^*=L^*_a$	a^*_a	b^*_a	$C^*_{ab,a}$	$h^*_{ab,a}$	u^*_d		
r00j	38.47	63.32	30.17	70.15	25	m81o		
r25j	42.12	54.56	49.45	73.64	42	o10y		
r50j	53.64	39.15	64.89	75.79	59	o40y		
r75j	67.01	21.26	82.83	85.52	76	o69y		
j00g	86.18	-4.38	108.53	108.62	92	o98y		
j25g	69.73	-29.89	83.06	88.28	110	y34l		
j50g	57.03	-48.31	63.49	79.78	127	y69l		
j75g	47.73	-60.33	42.64	73.88	145	l03c		
g00b	50.59	-49.08	15.74	51.54	162	l23c		
g25b	52.97	-39.7	-6.72	40.27	190	l55c		
g50b	54.85	-32.33	-24.35	40.48	217	l87c		
g75b	49.92	-17.29	-36.02	39.96	244	c20v		
b00r	40.91	1.28	-42.35	42.37	272	c53v		
b25r	26.81	30.38	-52.26	60.45	300	c87v		
b50r	32.52	69.06	-42.14	80.9	329	v68m		
b75r	39.48	71.47	-3.69	71.57	357	m34o		



BAM-Registrierung: 20081001-Fg64/10L/L64g00NP.PDF/.PS BAM-Material: Code=rhatha
 Anwendung für Beurteilung und Messung von Drucker- oder Monitorssystemen

Ein und Ausgabe: Farbmetrisches Drucker-Reflektiv-System FRS12_95a, L*=12_95 für relative CIELAB-Buntton $h^* = lab^*h^* = h_{ab}/360 = 0.834$ $u^*_e = b25r$

Daten für jede Farbe:
 lab^*tch^* und lab^*icu^*
 Bunttontexte:
 $u^*_e = b25r$ $u^*_d = c87v$
 Kontrastreduzierungsfaktor:
 $c_R = 1.0$
 Dreiecks-Helligkeit i^*

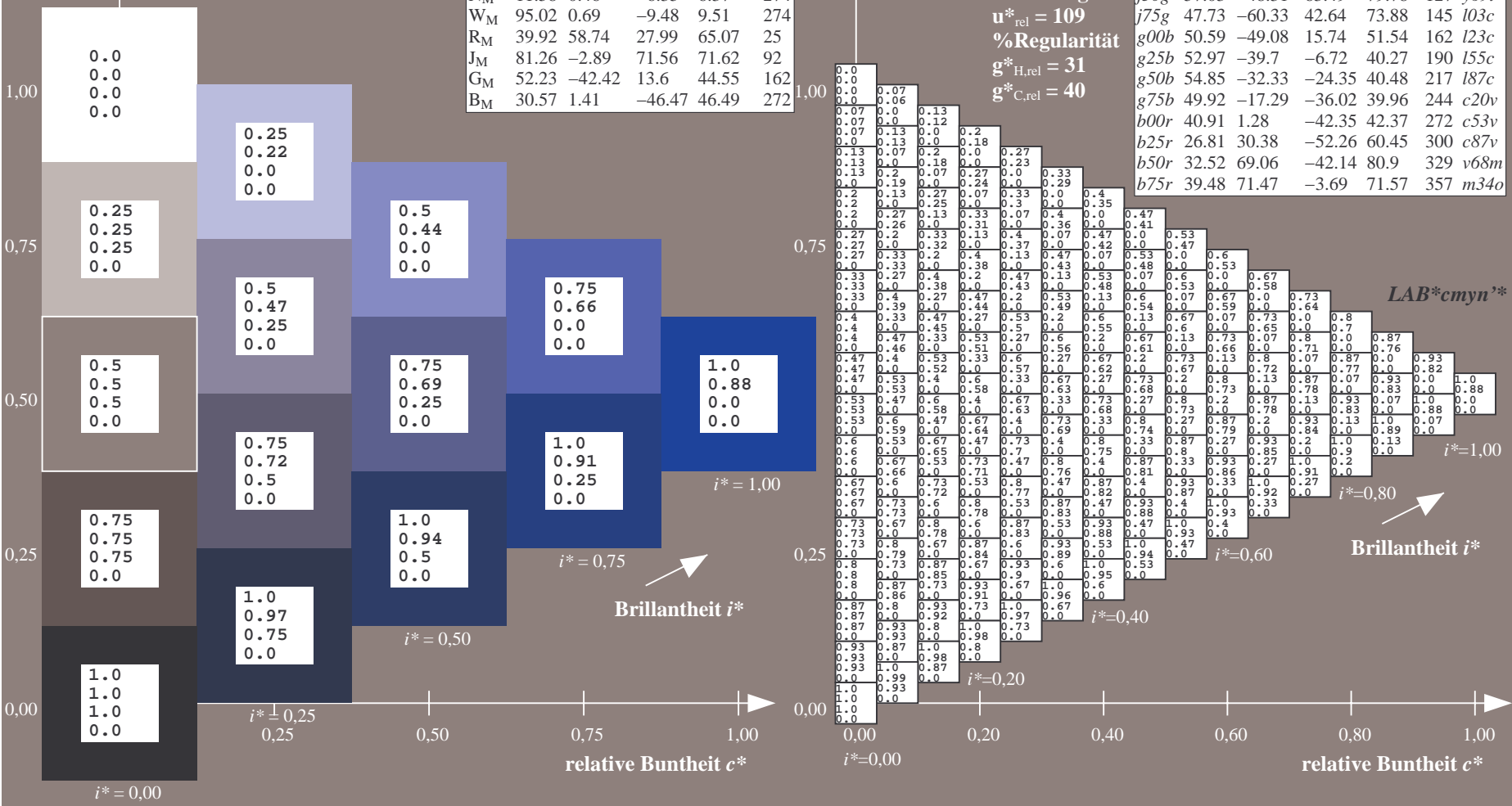


FRS12_95a; CIELAB-Daten						
u^*_e	$L^*=L^*$	a^*	b^*	C^*_{ab}	h^*_{ab}	
O _M	38.06	60.53	36.66	70.77	31	
Y _M	86.77	-4.5	100.15	100.25	93	
L _M	47.13	-62.11	40.56	74.18	147	
C _M	55.66	-28.56	-39.99	49.14	234	
V _M	17.15	50.78	-65.6	82.96	308	
M _M	40.37	79.18	-40.93	89.13	333	
N _M	11.58	0.46	-6.35	6.37	274	
W _M	95.02	0.69	-9.48	9.51	274	
R _M	39.92	58.74	27.99	65.07	25	
J _M	81.26	-2.89	71.56	71.62	92	
G _M	52.23	-42.42	13.6	44.55	162	
B _M	30.57	1.41	-46.47	46.49	272	

Daten für Maximalfarbe (Ma):
 $LAB^*LAB^*_{Ma}: 27\ 30\ -52$
 $LAB^*LCH^*_{Ma}: 27\ 60\ 300$
 $lab^*rgb^*_{Ma}: 0.5\ 0.0\ 1.0$
 $lab^*olv^*_{Ma}: 0.0\ 0.12\ 1.0$

FRS12_95a; adaptierte CIELAB-Daten							
u^*_e	$L^*=L^*_a$	a^*_a	b^*_a	$C^*_{ab,a}$	$h^*_{ab,a}$	u^*_d	
r00j	38.47	63.32	30.17	70.15	25	m81o	
r25j	42.12	54.56	49.45	73.64	42	o10y	
r50j	53.64	39.15	64.89	75.79	59	o40y	
r75j	67.01	21.26	82.83	85.52	76	o69y	
j00g	86.18	-4.38	108.53	108.62	92	o98y	
j25g	69.73	-29.89	83.06	88.28	110	y34l	
j50g	57.03	-48.31	63.49	79.78	127	y69l	
j75g	47.73	-60.33	42.64	73.88	145	l03c	
g00b	50.59	-49.08	15.74	51.54	162	l23c	
g25b	52.97	-39.7	-6.72	40.27	190	l55c	
g50b	54.85	-32.33	-24.35	40.48	217	l87c	
g75b	49.92	-17.29	-36.02	39.96	244	c20v	
b00r	40.91	1.28	-42.35	42.37	272	c53v	
b25r	26.81	30.38	-52.26	60.45	300	c87v	
b50r	32.52	69.06	-42.14	80.9	329	v68m	
b75r	39.48	71.47	-3.69	71.57	357	m34o	

Dreiecks-Helligkeit i^*
 %Umfang
 $u^*_{rel} = 109$
 %Regularität
 $g^*_{H,rel} = 31$
 $g^*_{C,rel} = 40$



Siehe ähnliche Dateien: <http://www.ps.bam.de/Fg64/>; [www.ps.bam.de/Version 2.1, io=1,1, Colspx=0](http://www.ps.bam.de/Version%201.1,io=1,1,Colspx=0)
 Technische Information: <http://www.ps.bam.de>

BAM-Registrierung: 20081001-Fg64/10L/L64g00NP.PDF/.PS BAM-Material: Code=rhatha
 Anwendung für Beurteilung und Messung von Drucker- oder Monitorssystemen

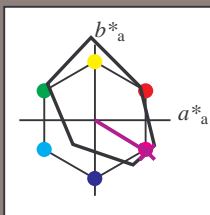
Ein und Ausgabe: Farbmetrisches Drucker-Reflektiv-System FRS12_95a, L*=12_95 für relative CIELAB-Buntton $h^* = lab^*h^* = h_{ab}/360 = 0.913$ $u^*_e = b50r$

Daten für jede Farbe:
 lab^*tch^* und lab^*icu^*

Bunttontexte:
 $u^*_e = b50r$ $u^*_d = v68m$

Kontrastreduzierungsfaktor:
 $c_R = 1.0$

Dreiecks-Helligkeit t^*



FRS12_95a; CIELAB-Daten						
u^*_e	$L^*=L^*$	a^*	b^*	C^*_{ab}	h^*_{ab}	
O _M	38.06	60.53	36.66	70.77	31	
Y _M	86.77	-4.5	100.15	100.25	93	
L _M	47.13	-62.11	40.56	74.18	147	
C _M	55.66	-28.56	-39.99	49.14	234	
V _M	17.15	50.78	-65.6	82.96	308	
M _M	40.37	79.18	-40.93	89.13	333	
N _M	11.58	0.46	-6.35	6.37	274	
W _M	95.02	0.69	-9.48	9.51	274	
R _M	39.92	58.74	27.99	65.07	25	
J _M	81.26	-2.89	71.56	71.62	92	
G _M	52.23	-42.42	13.6	44.55	162	
B _M	30.57	1.41	-46.47	46.49	272	

Daten für Maximalfarbe (Ma):

$LAB^*LAB^*_{Ma}$: 33 69 -42

$LAB^*LCH^*_{Ma}$: 33 81 328

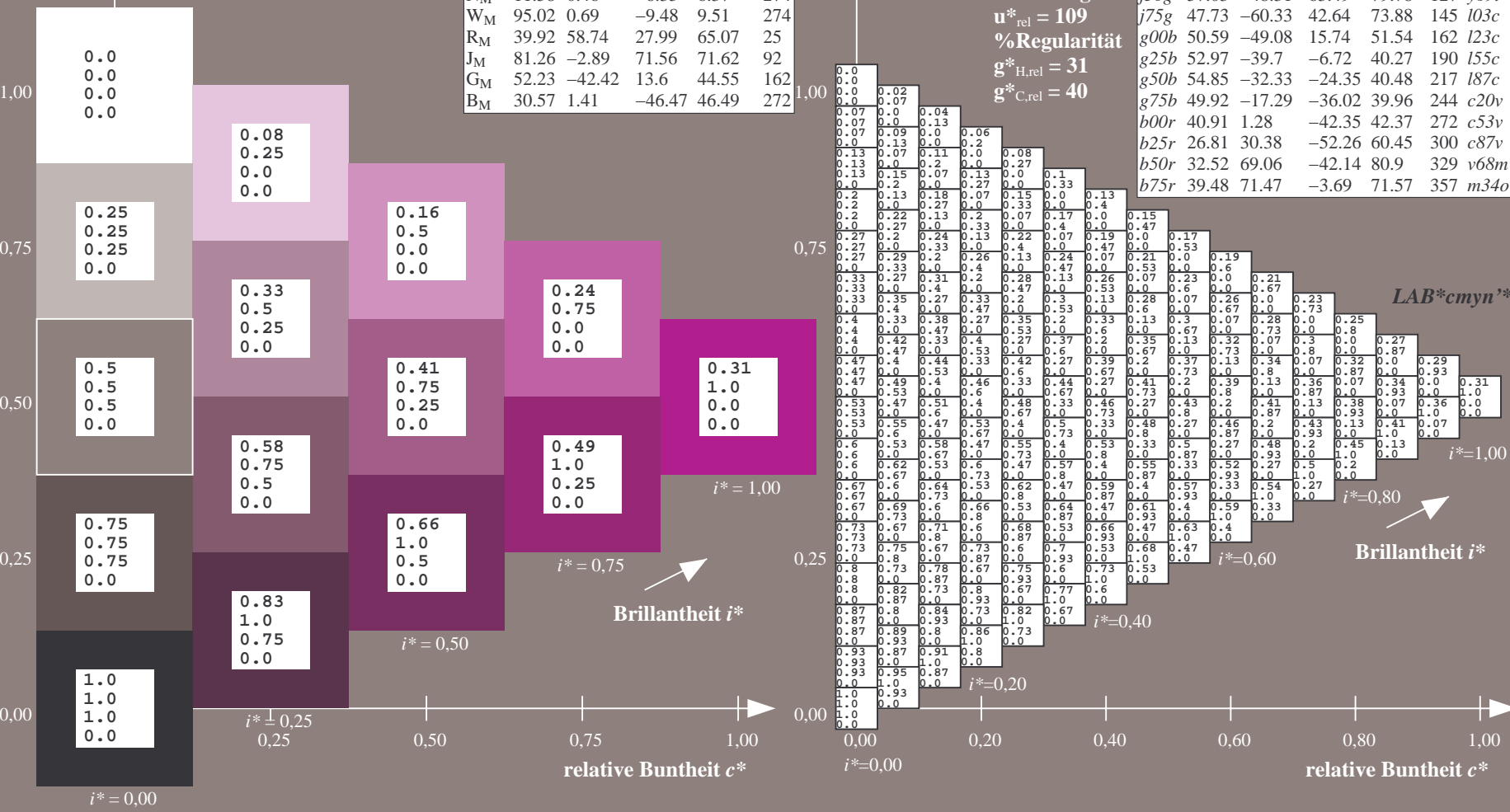
$lab^*rgb^*_{Ma}$: 1.0 0.0 1.0

$lab^*olv^*_{Ma}$: 0.69 0.0 1.0

Dreiecks-Helligkeit t^*

%Umfang
 $u^*_{rel} = 109$
 %Regularität
 $g^*_{H,rel} = 31$
 $g^*_{C,rel} = 40$

FRS12_95a; adaptierte CIELAB-Daten								
u^*_e	$L^*=L^*_a$	a^*_a	b^*_a	$C^*_{ab,a}$	$h^*_{ab,a}$	u^*_d		
r00j	38.47	63.32	30.17	70.15	25	m81o		
r25j	42.12	54.56	49.45	73.64	42	o10y		
r50j	53.64	39.15	64.89	75.79	59	o40y		
r75j	67.01	21.26	82.83	85.52	76	o69y		
j00g	86.18	-4.38	108.53	108.62	92	o98y		
j25g	69.73	-29.89	83.06	88.28	110	y34l		
j50g	57.03	-48.31	63.49	79.78	127	y69l		
j75g	47.73	-60.33	42.64	73.88	145	l03c		
g00b	50.59	-49.08	15.74	51.54	162	l23c		
g25b	52.97	-39.7	-6.72	40.27	190	l55c		
g50b	54.85	-32.33	-24.35	40.48	217	l87c		
g75b	49.92	-17.29	-36.02	39.96	244	c20v		
b00r	40.91	1.28	-42.35	42.37	272	c53v		
b25r	26.81	30.38	-52.26	60.45	300	c87v		
b50r	32.52	69.06	-42.14	80.9	329	v68m		
b75r	39.48	71.47	-3.69	71.57	357	m34o		



BAM-Registrierung: 20081001-Fg64/10L/L64g00NP.PDF/.PS BAM-Material: Code=rh4ta
 Anwendung für Beurteilung und Messung von Drucker- oder Monitorssystemen

Ein und Ausgabe: Farbmetrisches Drucker-Reflektiv-System FRS12_95a, L*=12_95 für relative CIELAB-Buntton $h^* = lab^*h^* = h_{ab}/360 = 0.992$ $u^*_e = b75r$

Daten für jede Farbe:

lab^*tch^* und lab^*icu^*

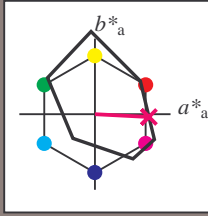
Bunttontexte:

$u^*_e = b75r$ $u^*_d = m34o$

Kontrastreduzierungsfaktor:

$c_R = 1.0$

Dreiecks-Helligkeit i^*



FRS12_95a; CIELAB-Daten						
u^*_e	$L^*=L^*$	a^*	b^*	C^*_{ab}	h^*_{ab}	
O _M	38.06	60.53	36.66	70.77	31	
Y _M	86.77	-4.5	100.15	100.25	93	
L _M	47.13	-62.11	40.56	74.18	147	
C _M	55.66	-28.56	-39.99	49.14	234	
V _M	17.15	50.78	-65.6	82.96	308	
M _M	40.37	79.18	-40.93	89.13	333	
N _M	11.58	0.46	-6.35	6.37	274	
W _M	95.02	0.69	-9.48	9.51	274	
R _M	39.92	58.74	27.99	65.07	25	
J _M	81.26	-2.89	71.56	71.62	92	
G _M	52.23	-42.42	13.6	44.55	162	
B _M	30.57	1.41	-46.47	46.49	272	

Daten für Maximalfarbe (Ma):

$LAB^*LAB^*_{Ma}$: 39 71 -4

$LAB^*LCH^*_{Ma}$: 39 72 357

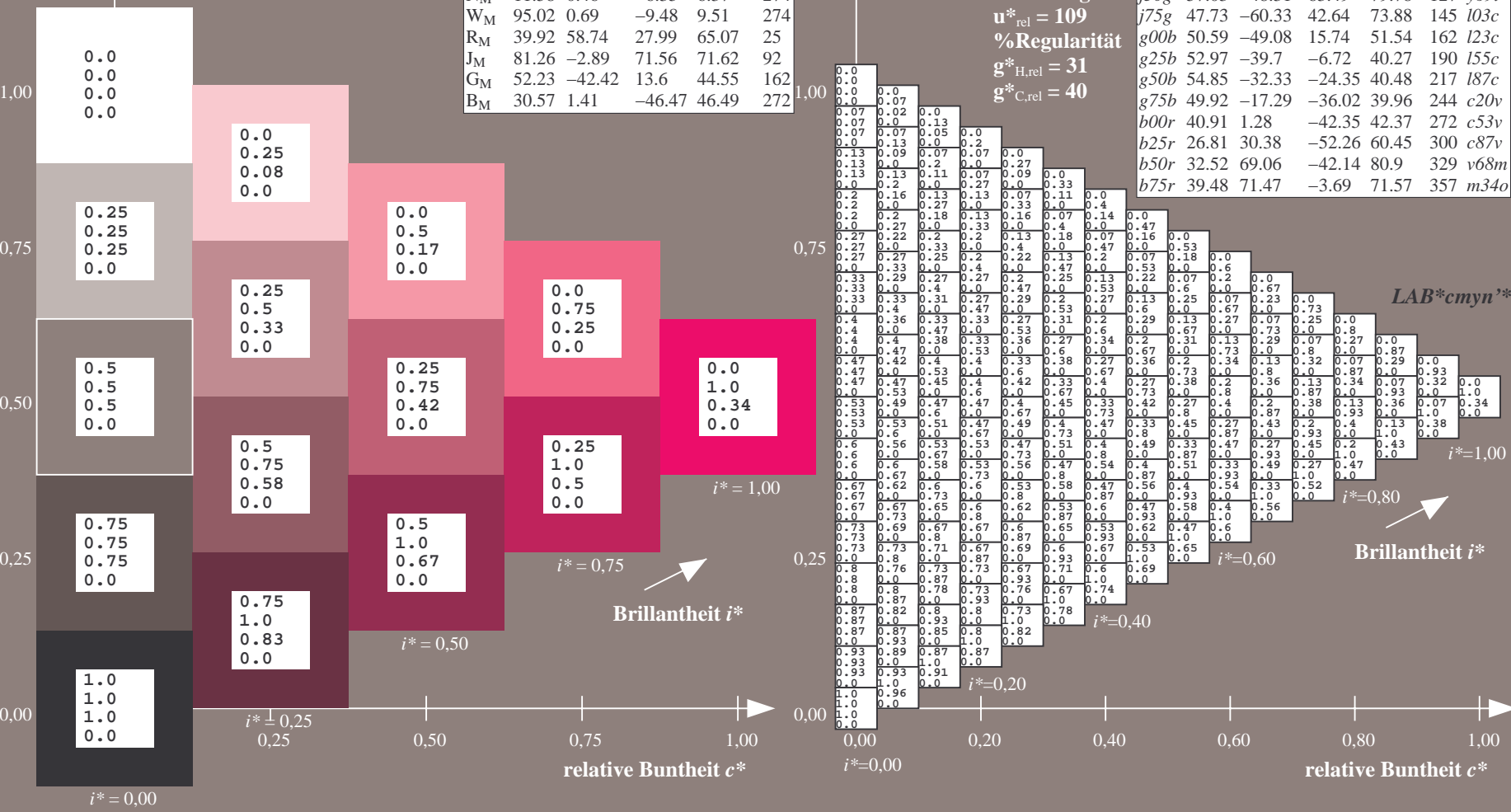
$lab^*rgb^*_{Ma}$: 1.0 0.0 0.5

$lab^*olv^*_{Ma}$: 1.0 0.0 0.66

Dreiecks-Helligkeit i^*

%Umfang
 $u^*_{rel} = 109$
 %Regularität
 $g^*_{H,rel} = 31$
 $g^*_{C,rel} = 40$

FRS12_95a; adaptierte CIELAB-Daten								
u^*_e	$L^*=L^*_a$	a^*_a	b^*_a	$C^*_{ab,a}$	$h^*_{ab,a}$	u^*_d		
r00j	38.47	63.32	30.17	70.15	25	m81o		
r25j	42.12	54.56	49.45	73.64	42	o10y		
r50j	53.64	39.15	64.89	75.79	59	o40y		
r75j	67.01	21.26	82.83	85.52	76	o69y		
j00g	86.18	-4.38	108.53	108.62	92	o98y		
j25g	69.73	-29.89	83.06	88.28	110	y34l		
j50g	57.03	-48.31	63.49	79.78	127	y69l		
j75g	47.73	-60.33	42.64	73.88	145	l03c		
g00b	50.59	-49.08	15.74	51.54	162	l23c		
g25b	52.97	-39.7	-6.72	40.27	190	l55c		
g50b	54.85	-32.33	-24.35	40.48	217	l87c		
g75b	49.92	-17.29	-36.02	39.96	244	c20v		
b00r	40.91	1.28	-42.35	42.37	272	c53v		
b25r	26.81	30.38	-52.26	60.45	300	c87v		
b50r	32.52	69.06	-42.14	80.9	329	v68m		
b75r	39.48	71.47	-3.69	71.57	357	m34o		



Siehe ähnliche Dateien: <http://www.ps.bam.de/Fg64/>; www.ps.bam.de/Version.2.1,io=1,1,Colspx=0
 Technische Information: <http://www.ps.bam.de>

BAM-Registrierung: 20081001-Fg64/10L/L64g00NP.PDF/.PS BAM-Material: Code=rhatha
 Anwendung für Beurteilung und Messung von Drucker- oder Monitorssystemen

